

Scripted Bridge

DIPLOMARBEIT

zur Erlangung des akademischen Grades eines Diplom-Ingenieurs

Studienrichtung Architektur

Christian Pichlkastner

Technische Universität Graz
Erzherzog-Johann-Universität
Fakultät für Architektur

Betreuer
Ass.Prof. Dipl.-Ing. Dr.nat.techn. Andreas TRUMMER
Institut für Tragwerksentwurf

Mai/2010

EIDESSTATTLICHE ERLÄRUNG

Ich erkläre an Eides statt, dass ich die vorliegende Arbeit selbständig verfasst, andere als die angegebenen Quellen/Hilfsmittel nicht benutzt, und die den benutzten Quellen wörtlich und inhaltlich entnommenen Stellen als solche kenntlich gemacht habe.

Ort, Datum

Unterschrift

STATUTORY DECLARATION

I declare that I have authored this thesis independently, that I have not used other than the declared sources/resources, and that I have explicitly marked all material which has been quoted either literally or by content from the used sources.

location, date

signature

Die vorliegende Arbeit spiegelt die Verarbeitung eines Themengebietes wider, welches mich während des Diplomstudiums immer wieder beschäftigt hatte und zu welchem ich abschließend eine Haltung gewinnen wollte.

Danke

Besonderer Dank gilt **Andreas Trummer**, der die Betreuung meiner Diplomarbeit übernommen hat und während der gesamten Zeit neben mir als einziger den Überblick über die Arbeit bewahren konnte. Dabei war Andreas Trummer auch abseits vereinbarter Termine immer zu ausführlichen Diskussionen bezüglich einzelner Problemstellungen bereit und ist dabei hilfreich gewesen, mich auf nützliche Literatur hinzuweisen und unterschiedlichste Kontakte zu vermitteln. Außerdem möchte ich mich bei Andreas dafür bedanken, dass er mir gegenüber viel Geduld entgegengebracht und während der langwierigen Dauer Nervenstärke bewahrt hat.

Herzlicher Dank gilt **Helmut Schober**, der mir bei Detailfragen zu einzelnen Berechnungen sowie deren Überprüfung auf Richtigkeit hilfreich zur Seite stand und sich dabei aufgrund seines knappen Zeitplanes auch am Wochenende beziehungsweise in seiner Freizeit Zeit für mich nahm. Danke auch für die ambitionierte Zusammenarbeit bei dem Realisierungswettbewerb "Connecting Link" im Büro "Structural Design Olipitz".

In diesem Zusammenhang gilt mein Dank auch **Michael Olipitz**, der mir die Teilnahme an dem Realisierungswettbewerb "Connecting Link" und die Erfahrung bezüglich der Zusammenarbeit zwischen Architekten und Ingenieuren in der Praxis ermöglichte.

Danken möchte ich **Daniela Puffer**, die mit mir gemeinsam an dem Studentenwettbewerb "Concrete Student Trophy 2009" teilnahm und dabei im Team die Bauingeurseite vertrat.

Vielen Dank an **Florian Graf** und **Norbert Seyff**, die mich mit Informationen für den Abschnitt der "Architekt als Programmierer" versorgten.

Danken möchte ich auch **Georg Pircher** von der Firma "ABES Pircher & Partner GmbH", der in einem Gespräch detaillierte Auskünfte bezüglich Informationen über Statiksoftware vermitteln konnte.

Ein großes Dankeschön an meine KollegInnen von "**vonhausaus**", die mich während der gesamten Diplomarbeitsphase unterstützt haben. Danke an **Marion Winkler**, die meine Kenntnisse im Layoutbereich entscheidend erweitert hat, an **Johannes Schlattau** für Unterstützung bei Visualisierungen, an **Gernot Siegel** für seine Hilfe bei konstruktiven Detailüberlegungen und an **Christian Sturmaier** für das Mitfeilen an den Berechnungsüberlegungen.

Danken möchte ich auch meinen Freunden der "**Dienstagsrunde**", die immer interessiert an meinem Diplomarbeitsthema gewirkt haben und meine oft längeren Monologe über die Arbeit mit viel Geduld ausgehalten haben.

Außerordentlicher Dank und ein dickes Bussi gebührt meiner Freundin **Bettina Schalmz Mayer**, die diese Arbeit Korrektur gelesen und auch bei so manchen Formulierungen konstruktiv mitgewirkt hat.

Vor allem möchte ich mich hiermit bei meinen Eltern, **Johanna** und **Siegfried Pichlkastner**, bedanken, die meine etwas konservativen humanistischen Ansichten bezüglich des Studiums unterstützten, indem sie mir im Grunde eine unbeschwerte "Zeit" für das Studium ermöglichten.



Einleitend

Zunehmend hat die Diskussion rund um „Freiformdesign“ in der Architektur in den letzten Jahren wieder an Bedeutung gewonnen. Neue computergestützte Entwurfsmethoden ermöglichen dem/-r Architekten/-in - über eine spielerische Herangehensweise - komplexe Formen zu konstruieren oder auch unter bestimmten Rahmenbedingungen generieren bzw. optimieren zu lassen. Durch einen hohen Grad an maschineller Fertigung können nun immer mehr Entwürfe nicht nur in Zeitschriften als gewagte visionäre Illustrationen abgebildet werden, sondern manifestieren sich auch im Alltag vor einem breiten Publikum in gebauter Form. Besonders die erste Welle an realisierten Projekten war oft dem Vorwurf von verschwenderischer Beliebigkeit, einem Mangel an Funktionalität oder auch dem Hinweis auf erhebliche Diskrepanz zwischen Form und Konstruktion ausgesetzt. Als Reaktion auf eine Zeit, in der die Frage nach der Ökonomie und Nachhaltigkeit von Konstruktionen und Begriffe wie jene der Vorfertigung oder Flexibilität große Aufmerksamkeit genießen, zeigen immer mehr Projekte einen weit rationaleren Umgang im Einbinden digitaler Werkzeuge in den Entwurfsprozess. Neben dem Architekten als „Plugin-Scout“, der auf der Suche nach neuer Software in einem gigantischen virtuellen Experimentierlabor interaktiv seine Konzepte entwickeln kann, werden die zunehmend leistungsfähigeren Systeme für den Umgang mit komplexen Aufgabenstellungen verwendet. Letztere Ansätze werden zunehmend dem Begriffsfeld des „parametrischen“ Entwurfes zugeordnet. Diese Entwürfe resultieren tendenziell aus einem mehr oder weniger komplexen Netzwerk an Parametern, die je nach Entwurfskonzept ausgewählt und untereinander verknüpft werden, wodurch sich in den Ergebnissen jeweils individuelle Optimierungsprozesse widerspiegeln. Manche Protagonisten sehen im „Parametrismus“ den neuen internationalen Stil, wohingegen andere bereits auf dessen angeblichen „Tod“ reagieren.

In diesem Kontext ist „Scripted Bridge“ ein Beispielprojekt für die Einbindung digitaler Methoden in den architektonischen Entwurfsprozess. Unter architektonischen Konzeptvorgaben wird ein Brückengenerierungsprozess entworfen, welcher bei Veränderung von Parametern die Generierung von Entwurfsvarianten zulässt. Dabei wird der Frage nachgegangen, inwiefern dieser parametrische Entwurfsansatz den gesamten Entstehungsprozess beeinflusst und wie Zusammenhänge zwischen Material und Konstruktion einfließen können. Insgesamt wurde ein weiteres Beispiel für den aktuellen Diskurs geschaffen.

Inhaltsverzeichnis			
Einleitend	11		
Aufbau der Untersuchung	14		
A: ALLGEMEINES			
Die Entwicklung des Computers – eine Kurzeinführung	18		
Das binäre Zahlensystem	18		
Vom ersten binären Rechner zur ersten EDV-Anlage	18		
Vom Großrechner zum Personal Computer	18		
Visionen und Entwicklungen als Voraussetzung für CAD	20		
CAD und Kybernetik	20		
Vannevar Bush und die Memex	20		
Ursprung von CAD am MIT	21		
Negroponte und die AMG	22		
Max Bense und die Verwissenschaftlichung von Architektur	24		
Kiemle und Ästhetik als Zahlenspiel	26		
Die Entwicklung von CAAD-Software zur Verwendung als Scriptingtool	28		
Der Einfluss der Fertigungsindustrie auf die Entwicklung von CAD-Software	28		
Spezialisierung von CAD und die ersten CAAD-Anwendungen	29		
Die Entwicklung von Animationssoftware	30		
CGS Software und der Einzug in CAAD	33		
Parametergesteuertes Entwerfen mittels Scripting- oder Mashup-Systemen	35		
Aktuelle Tendenzen in CAD	38		
		Parametrisches Entwerfen – Fragmente der aktuellen Debatte	39
		Parametrismus als der neue Internationale Stil	39
		Vitruv und der Parametrismus	40
		Das neue Ornament - Wendepunkt in der Architektur	41
		File to Factory, Mass Customization und Nonstandard Architecture	42
		Algorithmische Architektur - Der Architekt als ProgrammiererIn	44
		Partizipation, Interaktivität – Künstliche Kreativität, generische Algorithmen	45
		"Liberal Views have never built anything of value"	49
		Zusammenfassend	52
		Allgemeines zu Brücken	56
		Überlagerung von Zeit, Technik und Kultur	56
		Ingenieure und Architekten – Bridge Designer	56
		Entwerfen mit Kräften – Grundkenntnisse	59
		Brückenentwurf im digitalen Zeitalter	63
		B: SCRIPTED BRIDGE	
		Aufgabenstellung	71
		Allgemeines	71
		Grundidee	71
		Entwurfsthema	71
		Rahmenbedingung: Brücke über den Wienfluss	73
		Brückengenerierungsprozess	80
		Entwurfskonzept	80
		Ablaufskizze	81

Mashup-System	83	Resümee	160
Allgemeines	83	Abbildungsverzeichnis	162
User Interface - Externe Parameter	83	Quellenangaben	163
Beschreibung der einzelnen Nodes	85	Bibliografie	163
Generate_Basic_Surface[]	85	Internet	164
Simple_Spline_Deformer[]	87	Sonstiges	165
Make_Barrier_Free_Path[]	89	Appendix	166
Make_Path_Modules[]	91	Skizzenauszug	166
Pathfinder[]	93	Entwurfsprozessüberlegungen	170
Make_Attractor_Spheres[]	95	Quellcode	176
Knead_Splines_To_Attractors[]	95		
Knead_To_Paths[]	97		
Path_Clearance[]	99		
Structure_Evaluating[]	101		
Create_Handrail[]	109		
Entwicklungsüberblick	110		
Generieren einer "Scripted Bridge"	112		
Scripted Bridge V1.0	112		
Scripted Bridge V2.0	114		
Fallbeispiele: Brücke über den Wienfluss	121		
Allgemeines	121		
Concrete Student Trophy	123		
Connecting Link	141		

Aufbau der Untersuchung

Generell ist das vorliegende Buch die schriftliche Dokumentation meiner Auseinandersetzung mit dem Einsatz digitaler Methoden in den architektonischen Entwurfsprozess. Die Arbeit wird in zwei Abschnitte unterteilt.

In einem allgemeinen Teil wird ein Überblick der Entwicklungen digitaler Methoden in technischem wie auch theoretischem Hinblick skizziert, um sichtbar zu machen, in welchem Kontext sich der Hauptteil dieser Arbeit bewegt. Weiters begründet sich die etwas breitgefächerte, allgemeine Auseinandersetzung aus dem Grundziel, im Zuge dieser Diplomarbeit abschließend eine Haltung zu einzelnen Tendenzen rund um digitale Methoden im architektonischen Entwurf und dem Brückenentwurf als Königsdisziplin der BauingenieurInnen entwickeln zu können.

Im zweiten Abschnitt folgt eine detaillierte Darlegung der praktischen Auseinandersetzung, die sich im Wesentlichen mit der Machbarkeit eines parametrischen Freiformbrückenentwurfs beschäftigt und den damit verbundenen Aufwand dokumentiert.

A: Allgemeiner Teil

Die Entwicklung von CAD

In diesem allgemeinen Kapitel wird zunächst versucht, über die historische Entwicklung von computergestütztem Entwerfen einen Bezug zwischen der aktuellen und der historischen Debatte herzustellen.

Die Entwicklung des Computers – eine Kurzeinführung

In diesem Kapitel soll lediglich eine Vorstellung vermittelt werden, welches Grundprinzip nach wie vor auch den heutigen Computern zu Grunde liegt. Wie ein Rechner rechnet, „denkt“, in welcher Zeit dieser entwickelt wurde und mit welcher Geschwindigkeit die Entwicklung fortgetrieben wird.

Entwicklungen und Visionen als Voraussetzung für CAD

Am Beginn dieses Kapitels steht die vorwiegend theoretische Auseinandersetzung mit der Verwendung des Computers. Diese Überlegungen werden anhand der in den 1960er Jahren stattfindenden Forschungsarbeiten in den USA am MIT in Cambridge und in Deutschland an der Technischen Hochschule Stuttgart nähergebracht. In einem zweiten Abschnitt wird schließlich auf die daraus resultierende Entwicklung von CAD-Software eingegangen. Dieses Kapitel orientiert sich stark an der Aufarbeitung dieses Themas in dem Buch „Kulturtechnik Entwerfen“.

Die Entwicklung von CAAD-Software zur Verwendung als Scriptingtool

Da heutzutage ein Großteil der digitalen Unterstützung in der Praxis über die Anwendung von unterschiedlichsten Softwareprogrammen stattfindet und sich die vorliegende Arbeit ebenfalls einer solchen Software bedient, wird in diesem Abschnitt die Entwicklung und aktuelle Verwendung von CAAD-Software behandelt. Zunächst wird auf deren Anfänge und Entwicklungsansätze verwiesen, um danach speziell auf die Entwicklung zum Skriptingwerkzeug einzugehen.

Parametrisches Entwerfen – Fragmente der aktuellen Debatte

Zu Beginn wird die aktuelle Diskussion rund um den „Parametrismus“ und die digitalen Methoden anhand von einigen einzelnen Positionen und Beispielen behandelt. Dabei wird dargelegt, inwiefern die gegenwärtige Argumentation mit den im vorangehenden Abschnitt erläuterten geschichtlichen Entwicklungen verknüpft ist und wo neue Tendenzen in der digitalen Avantgarde Architektur sichtbar werden. Dabei wird auch versucht, zumindest die gängige bzw. populäre Kritik an den Entwicklungen durch bekannte Architekten und Theoretiker wie Peter Eisenman und Rem Koolhaas exemplarisch anzudeuten. Weiters wird darauf hingewiesen, dass dieses Kapitel, welches sich vor allem auf Beiträge in Zeitschriften, Berichte und Interviews aus dem Internet bezieht, dazu dienen soll, die vorliegende Arbeit tendenziell einordnen zu können.

Allgemeines zum Entwerfen von Brücken

Um einen unmittelbaren Bezug zum Entwurfsthema herzustellen, wird zunächst versucht die „Königsdisziplin“ der BauingenieurInnen über die rein funktionelle Bedeutung als effektive Tragkonstruktion hinaus zu betrachten. Besonders aus dem Blickwinkel der Architektur ist es wichtig, das Wesen von Brücken als Überlagerung von Zeit, Technik und Kultur zu begreifen. In einem weiteren Abschnitt wird der Konflikt zwischen ArchitektInnen und BauingenieurInnen und deren Rolle beim Entwerfen von Brücken zu verdeutlichen versucht. Da in den Diskussionen rund um die Konstruktion und Ästhetik von Brücken immer wieder die zwingende Kenntnis der Grundprinzipien der Tragwerkslehre betont werden und ein wesentlicher Teil der Scripted Bridge ohne dieses Verständnis nicht verstanden werden kann, werden auch die Bemessungsschritte und Kernbegriffe in Grundzügen erläutert.

Um darzulegen wie Brücken im digitalen Zeitalter entworfen werden, wird in einem letzten Abschnitt auf die Entwurfssoftware eingegangen. Dabei wird untersucht, wie weit neue digitale Methoden wie Analyse-, Simulations-, Modellierungstechniken etc. genutzt und die Softwareprogramme in den Planungsprozess eingebunden werden.

B: Scripted Bridge

Aufgabenstellung

Aus dem allgemeinen Kontext ergibt sich, wie bereits erwähnt die Aufgabe der Gestaltungen eines Brückenentwurfprozesses. Zu Beginn dieses Abschnittes wird zunächst die Wahl des Entwurfsthemas begründet.

Um den Aufwand und einzelnen Probleme eines parametrisierten Entwurfes an einem praktischen Beispiel feststellen zu können, orientiert sich die Entwicklung des Konzepts für die Gestaltung des Entwurfsprozess' an einer konkreten Aufgabenstellung. Als Rahmenbedingung für den Entwurf diente die Aufgabenstellung des von der Vereinigung der Österreichischen Zementindustrie im März 2009 ausgeschriebenen Wettbewerbes „Concrete Student Trophy 2009“. In späterer Folge wurde eine Überprüfung und Weiterentwicklung in der Zusammenarbeit mit dem Ingenieurbüro „Structural Design Olipitz“ an dem von der Stadt Wien im Sommer 2009 ausgeschriebenen einstufigen Realisierungswettbewerb „Connecting Link“ durchgeführt. Der wesentliche Unterschied in den zwei Aufgabenstellungen besteht darin, dass letzterer keine Materialeinschränkung beinhaltet.

Demzufolge werden an dieser Stelle die zwei annähernd identischen Ausschreibungen der Wettbewerbe „Concrete Student Trophy 2009“ und „Connecting Link“ zusammengefasst erläutert.

Brückengenerierungsprozess

In diesem Teil soll dargelegt werden, welche Motivationen und Zielsetzungen bei der Entwicklung des Brückengenerierungsprozess' im Vordergrund standen. Weiters wird die Entwurfsidee für die Automatisierung des Entwurfsprozesses und das damit verbundene Grundkonzept erläutert. Dabei wird beispielsweise festgelegt, welche Eigenschaften der Wettbewerbsausschreibungen bzw. des Themas „Brückenentwurf“ in Form von Parametern berücksichtigt wurden. In einem weiteren Abschnitt wird der Ablauf und die Organisation bzw. Vernetzung der einzelnen Funktionsboxen bzw. Module des Prozesses beschrieben. Anschließend folgt die Erläuterung dieser einzelnen Funktionselemente. Die generelle chronologische Entwicklung dieser Module wird kurz anhand einer Skizze verdeutlicht. Am Schluss des Kapitels wird erklärt, inwiefern man dieses Entwurfstool für das Entwerfen einer Brücke verwenden kann.

Generieren einer "Scripted Bridge"

Um das Verwenden des entwickelten Entwurfstools dem Leser auch praktisch näher zu bringen, soll hier anhand von zwei Grundbeispielen schrittweise der Generierungsprozess erklärt werden.

Fallbeispiele: Brücken über den Wienfluss

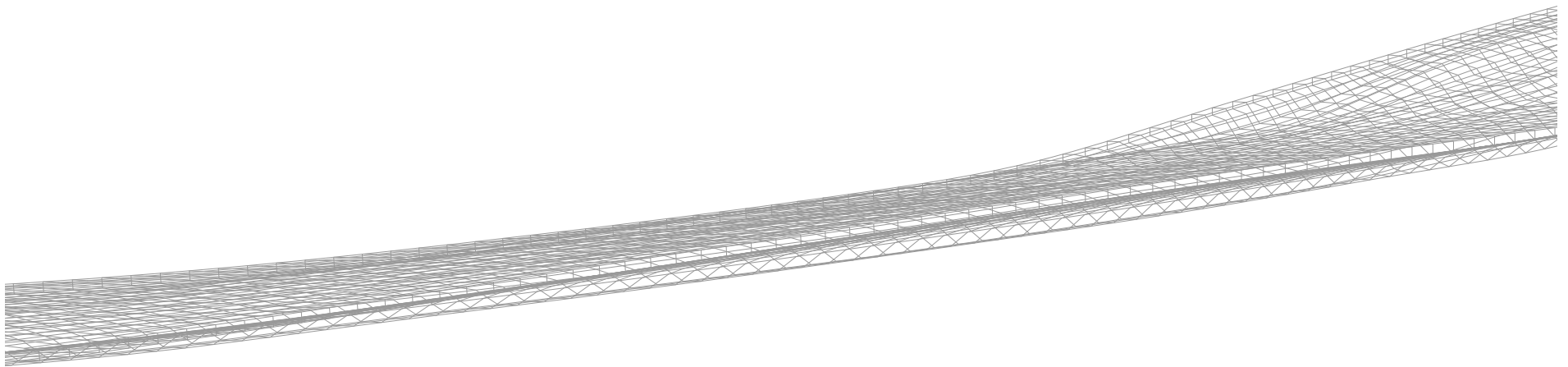
In diesem Abschnitt werden als praktische Beispiele die Ergebnisse der beiden Wettbewerbe „Concrete Student Trophy 2009“ und „Connecting Link“ dokumentiert. Da die Brücken mit diesem parametrisierten Prozess entworfen wurden, war die Teilnahme an den genannten Wettbewerben neben der Parameterfindung auch für die Überprüfung des Konzeptes wichtig.

Resümee

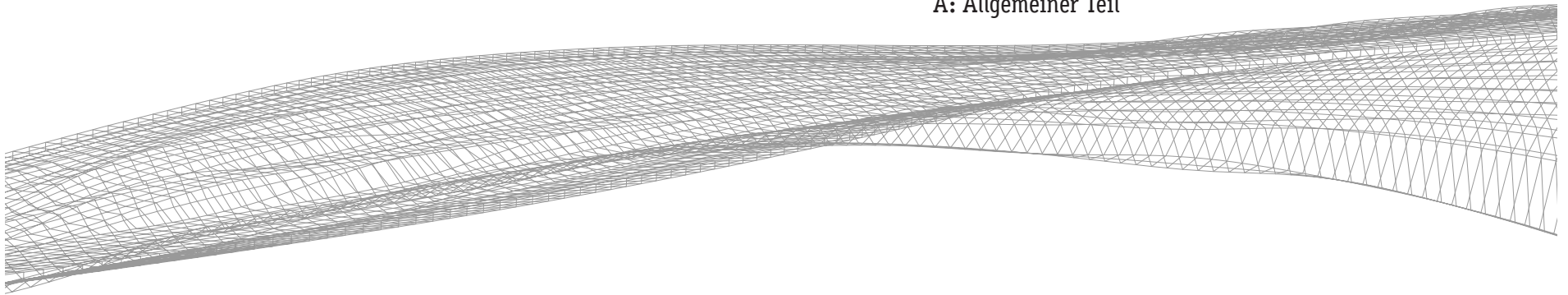
Abschließend werden die wichtigsten Erkenntnisse, die im Zuge dieser Arbeit gewonnen wurden, zusammengefasst und mögliche Perspektiven für die Zukunft vorgeschlagen.

Appendix

Zu Beginn wird auf den ersten Seiten collagenhaft ein kleiner Auszug aus den Skizzenbüchern gezeigt. Damit soll plakativ dargestellt werden, dass während des Entwickeln der digitalen Module bzw. Scripte eine Menge Ideen und Überlegungen vorerst analog in Handskizzen festgehalten wurden. Danach werden Auzüge gezeigt, die die Veränderungen des dynamischen Planungsprozess grafisch dokumentieren sollen. Abschließend werden die Texte der Scripte abgebildet. Dem Verfasser dieser Arbeit ist klar, dass üblicherweise die Quellcodes verschiedenster, mittels Scripting entstandener Entwürfe aus unterschiedlichsten Gründen wie etwa des möglicherweise enormen Platzbedarfes oder des Copyrights nicht bzw. wenn nur in kleinen Ausschnitten abgebildet werden. Auch in Informatikarbeiten ist es nicht üblich, den Quellcode in abgedruckter Form abzubilden. Da diese Diplomarbeit aber in den Architekturbereich fällt und dem Autor aufgrund der Recherche und der unzähligen Gesprächen mit Studien- und ArbeitskollegInnen ein extremer Mangel an Bewusstsein für den Aufwand für banalste Ergebnisse aufgefallen ist und der Zeitaufwand für die Erstellung der einzelnen Scripte in der vorliegenden Arbeit mehr als die Hälfte der gesamten „Scripted Bridge“ eingenommen hat, wird dieser mit marginalen Kürzungen annähernd vollständig gezeigt. Eine genaue Beschreibung ist nicht möglich. Es wird jedoch in der Beschreibung der einzelnen Funktionsblöcke bzw. Module auf einzelne Abschnitte im Quelltext verwiesen.



A: Allgemeiner Teil



A: Allgemeiner Teil:

Allgemeines zur Entwicklung von CAD

Die Entwicklung des Computers – eine Kurzeinführung

Das binäre Zahlensystem

In einem digitalen Zeitalter, in dem digitale Methoden in verschiedensten Bereichen bereits die digitalisierte Normalität darstellen und auch Menschen zumindest zeitweise in digitalen Welten¹ mit digitalen Freunden leben, gilt es hier zunächst einmal der Frage nach der Herkunft und Bedeutung dieses Begriffes nachzugehen. Das Wort „digital“ stammt vom lateinischen Wort „digitus“ ab, bedeutet Finger und verweist auf ein Zahlensystem, mit dem in erster Linie gerechnet wird. Als Basis heutiger Computersysteme ist dieses spezielle Zahlensystem von enormer Wichtigkeit. Auch der Begriff „Computer“ verweist auf den Umgang mit Zahlen und wurde anfangs jedoch noch nicht im Zusammenhang mit Maschinen verwendet. *„Schon im Mittelalter hießen in England mathematische Mitarbeiter, die langwierige und umfangreiche Berechnungen für Astronomen durchführten »Computer«, übersetzt »Rechner«.“*² Dieses duale oder auch binäre Zahlensystem ist ein Stellenwertsystem, welches als Basis auf der Zahl „Zwei“. Das bedeutet, dass für die Darstellung von verschiedensten Zahlen lediglich zwei Zeichen (im Binärsystem üblicherweise „0“ und „1“) zur Verfügung stehen, wobei diese je nach Positionierung in der Zeichenfolge (Stelle) unterschiedliche Wertigkeiten zugewiesen bekommen (siehe Abb. 1). Diese Zeichenfolgen werden in sogenannte Register geschrieben. Ein einzelnes Zeichen wird als Bit bezeichnet. Acht Zeichen ergeben ein Byte.³

Die einzelnen Zeichen werden mittels Aussagenlogik kombiniert, wodurch z.B. alle Grundrechenarten dargestellt werden können. Die Aussagenlogik dient auch als Grundprinzip beim Lösen von Problemstellungen mittels Programmiersprachen und wird deshalb im Kapitel "Parametergesteuertes Entwerfen mittels Skripten oder Node-Systemen" genauer erläutert. Wie das Rechnen mit Binärzahlen genau funktioniert, ist nicht Teil der Untersuchung und wird folglich auch nicht weiterbehandelt.²

Darstellung von Zahlen

$$\begin{array}{r} 2^3 + 2^2 + 2^1 + 2^0 \\ \boxed{01110} = 6 \end{array}$$

$$\begin{array}{r} 2^7 + 2^6 + 2^5 + 2^4 + 2^3 + 2^2 + 2^1 + 2^0 \\ \boxed{11100110011} = 201 \end{array}$$

$$\begin{array}{r} 2^9 + 2^8 + 2^7 + 2^6 + 2^5 + 2^4 + 2^3 + 2^2 + 2^1 + 2^0 \\ \boxed{11111111111} = 1023 \end{array}$$

Addition / Subtraktion

$$\begin{array}{r} \boxed{0111110101111} = 471 \\ + \boxed{001110011101} = 205 \\ \hline \boxed{1011011010100} = 676 \end{array}$$

$$\begin{array}{r} \boxed{0111110101111} = 471 \\ - \boxed{001110011101} = 205 \\ \hline \boxed{0110011010110} = 266 \end{array}$$

Abbildung 1: Binäres Zahlensystem: Mit dieser Methode kann man z.B. mit 10 Fingern bis 1023 zählen.

Bereits Gottfried Wilhelm Leibniz (1646-1716) entdeckte die Möglichkeit, das System der Zahlen binär zu codieren und hatte auch die Idee eines Notationssystems, das später als „Begriffsschrift“ bekannt wurde und schuf damit bereits die Grundlagen der Digitaltechnik. Leibniz entwickelte auch einen eigenen unvollkommenen mechanischen Rechner und stellte diesen 1673 der Öffentlichkeit vor. Für dessen Funktion hat Leibniz allerdings noch keine Binärcodierung verwendet.⁴

Vom ersten binären Rechner zur ersten EDV-Anlage

Nach diesem Prinzip - dem der Binärcodierung - entwickelte der Bauingenieur und Hobbyfinder Konrad Zuse (1910-1995) im Jahr 1938 die erste universelle Rechenmaschine mit dem Namen „Z1“. Diese sollte zum Lösen von einfachen statischen Berechnungen eingesetzt werden. "Z1" gilt als Vorläufer des modernen Computers, wobei das von Zuse entwickelte Modell noch nach elektromechanischen Prinzipien funktionierte. Im Gegensatz zu seinen Vorgängern verwendete Zuse bereits das duale Zahlensystem, bistabile Schaltelemente und nutzte für Berechnungen die Logik des Aussagenkalküls (UND, ODER und NEGATION)⁵. Die Dateneingabe erfolgte mittels Lochkarten, welche bei Zuse für die Abbildung einer binären Codierung eingesetzt wurden. Das Prinzip der Lochkartencodierung wurde von Hermann Hollerith (1860-1929) im Jahr 1886 für eine Zählmaschine entwickelt, wobei noch keine binäre Codierung verwendet wurde⁶. Obwohl die elektrische Telegrafie bereits um 1837 als „die Muttertechnologie aller informatischen Maschinennetzwerke“⁷ als erste Anwendung von Elektrizität im industriellen Stil eingesetzt wurde, verging ein gutes Jahrhundert, bis die erste elektronische Datenverarbeitungsanlage „ENIAC“ (Electronic Numerical Integrator and Computer) 1946 in Betrieb genommen werden konnte. "ENIAC" wurde in Pennsylvania im Auftrag des amerikanischen Verteidigungsministeriums zur Berechnung von Schießtabellen von John W. Mauchly (1907-1980) und J. Presper Eckert (1919-1995) entwickelt. Zum ersten Mal wurden Elektronenröhren als Schaltelemente eingesetzt, wodurch sich die Rechengeschwindigkeit gegenüber den vergleichbaren elektromagnetischen Relaisrechnern um das 2000-fache erhöhte.⁸ An dieser Stelle wird nicht auf weitere Entwicklungen (wie z.B.: Transistorbauteile oder die Entwicklung eines flexiblen Programmspeichers durch John von Neumann), die für das Funktionieren eines modernen Computers notwendig waren, eingegangen.

Vom Großrechner zum Personal Computer

Mit "ENIAC" begann langsam auch die Serienproduktion von Großrechnern, welche für verschiedenste Berechnungen adaptiert wurden. Um die Maschinen nicht immer neu auf ihr Einsatzgebiet anpassen zu müssen, wurden Softwareschnittstellen entwickelt, um verschiedenen Firmen die Entwicklung von zusätzlichen individuellen Erweiterungen zu ermöglichen. In den 1960er Jahren begann eine rasante technische Entwicklung. Diese äußerste sich nicht alleine in den Leistungssteigerungen der Rechner, sondern auch in Erweiterungen und Verbesserungen der Peripherie.

Die Firma IBM entwickelte im Jahr 1964 das erste Betriebssystem namens „OS/360“ und brachte am 12. August 1981 das sehr erfolgreiche Betriebssystem "DOS" auf den Markt.⁹ Für viele beginnt die Geschichte der heutigen Homecomputer in den 1970er Jahren mit der enormen Entwicklung der Mikrocomputertechnologie.¹⁰ Diese Homecomputer oder auch Personal Computer wurden am Beginn der 1980er Jahre zuerst in manchen Firmen einzelnen Mitarbeitern an ihren Arbeitsplatz gestellt, wobei parallel langsam auch immer mehr Privathaushalte mit den Miniaturausgaben der Großrechenanlagen ausgestattet wurden. Die Fortschrittsgeschwindigkeit bei der Entwicklung der Computer wird mit dem ökonomischen Gesetz der Mikroelektronik beschrieben. Dieses Gesetz wurde von Gordon Moore im Jahr 1965 zum ersten Mal formuliert, weshalb es auch nach ihm benannt wurde (Moorsches Gesetz). Es besagt, dass alle zwei Jahre eine Verdoppelung der auf einem Computerchip integrierten Transistorfunktionen zu erwarten ist.¹¹ Gegenwärtig prognostiziert Moore gegenwärtig ein Ende seines Gesetzes in den nächsten 10-20 Jahren.¹² Den aktuellen Fortschritt in der Computerchipindustrie beschreibt Moore aus der Sicht der Firma Intel als dessen Gründungsmitglied positivistisch wie folgt:

*"NO EXPONENTIAL IS FOREVER . . . BUT WE CAN DELAY "FOREVER"."*¹³

- 1 Bemerkung: In dem Computerspiel namens „Second Life“ von der Herstellerfirma Linden Lab kann man sich als virtuellen Charakter in einer virtuellen Welt vertreten lassen und durch diesen an der Gestaltung der immateriellen Umgebung mitwirken. Siehe <http://secondlife.com/?v=1.1> (Stand 14.02.2010).
- 2 Gottfried Wolmeringer, "Coding for Fun", Galileo Press, 1. Auflage, 2009, S.24-27.
- 3 Vgl. Ebd. S.24-27.

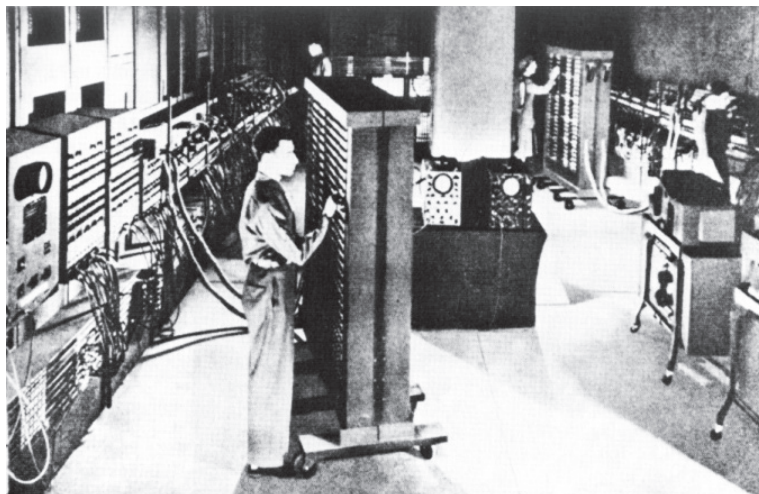


Abbildung 3: Die erste EDV-Anlage "ENIAC" in Pennsylvania USA.



Abbildung 2: Moderne Lochkarte nach DIN 66 018

- 4 Georg Franck, "Maschinelle Entwurfshilfen", Kulturtechnik Entwerfen, Hg. Gethmann u. Hauser, 2009 transcript Verlag Bielefeld Deutschland, S.228 oder auch Edgar P. Vorndran, "Entwicklungsgeschichte des Computers", 1982, VDE-Verlag GmbH, S.40.
- 5 Vgl. Edgar P. Vorndran, "Entwicklungsgeschichte des Computers", a. a. O., S.75.
- 6 Ebd. S.59.
- 7 Wolfgang Pircher, "Entwerfen zwischen Raum und Fläche", Kulturtechnik Entwerfen, Hg. Gethmann u. Hauser, 2009 transcript Verlag Bielefeld, Deutschland, S.115.
- 8 Vgl. Edgar P. Vorndran, "Entwicklungsgeschichte des Computers", a. a. O., S.89.
- 8 Vgl. Gottfried Wolmeringer, "Coding for Fun", a. a. O., S.108.
- 9 Ebd. S.108.
- 10 Vgl. Michael Friedewald, "Der Computer als Werkzeug und Medium", Verlag für Geschichte und Naturwissenschaften und der Technik, Berlin, Diepholz 1999, S.355.
- 11 Ebd., S.250.
- 12 Vgl. Gordon Moor, <http://www.intel.com/cd/corporate/pressroom/emea/deu/archive/2005/212674.htm> (Stand 12.02.2010).
- 13 Gordon Moore, http://download.intel.com/research/silicon/Gordon_Moore_ISSCC_021003.pdf (Stand 16.02.2010).

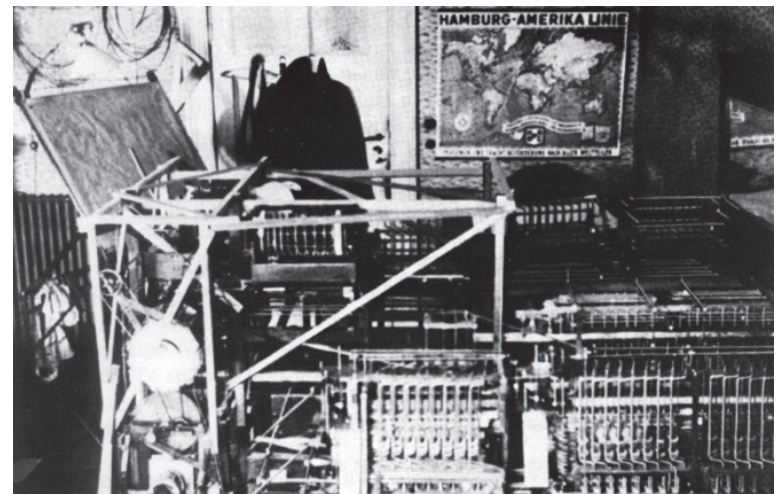


Abbildung 4: Aufbau der Rechenmaschine "ZUSE Z1" in der elterlichen Wohnung (Berlin 1936)

Visionen und Entwicklungen als Voraussetzung für CAD

CAD und Kybernetik

Die Abkürzung „CAD“ kommt aus dem Englischen und steht für „Computer Aided Design“, was üblicherweise als „computergestütztes Entwerfen“ ins Deutsche übersetzt wird.¹⁴ Der englische Begriff „Design“ kann im Deutschen neben dem Begriff des „Entwerfens“ auch als „Konstruieren“ übersetzt werden, wodurch im englischen Sprachgebrauch eine allgemeinere Verwendung möglich ist.

Eine der zwingend notwendigen Grundvoraussetzungen für die Entwicklung des Rechners zum Entwurfs- bzw. Konstruktionswerkzeug war ein Umdenken bezüglich der Erweiterung des Einsatzgebietes des Computers. Als Beispiel dieser neuen Konzepte soll hier zunächst die Entwicklung in den USA am Massachusetts Institut of Technology (im Folgenden: „MIT“) in Cambridge rund um Nicholas Negroponte und danach die Ansätze in Deutschland an der Technischen Hochschule Stuttgart rund um Max Bense anhand der Arbeiten des Architekten Manfred Kiemle in Grundzügen dargestellt werden.

Manche dieser Arbeiten werden oft dem Wissenschaftsgebiet der „Kybernetik“ zugeordnet. Der Begriff „Kybernetik“ geht auf Norbert Wiener (1894-1964) zurück, der im Jahr 1948 in seinem Buch „*Cybernetics or Control and Communication in the Animal and the Machine*“ diesen vom Griechischen „*kybernétes*“ für „*Steuermann*“ abgeleitet hat. Norbert Wiener war später auch an dem, noch weiter unten im Text genannten, Projekt „Whirlwind“ am MIT beteiligt. Die Kybernetik entwickelte sich aus dem Forschungsgebiet der Steuerung und Regelungstechnik. Kernprinzip der Kybernetik ist das Konzept der negativen Rückkopplung in Regelungskreisen, welches als ein universeller Ansatz begriffen über die bis dahin geltende linear-kausale Denkweise hinauswies. Dies bedeutet, dass „*die Wirkungen von Ursachen*“ in einer Art von Kurzschlusschaltung nun „*selbst wieder zu einer Ursache von Wirkungen werden*“ konnten. In weiterer Folge führten diese zu dem Gedanken, dass komplexe Systeme aus Elementen bestehen, die selbst kleine Organisationsgruppen darstellen, also eine Vernetzung von Systemen in Systemen. Besonders die Einbeziehung nichttechnischer Systeme wie etwa den Menschen, ist ein wesentlicher Aspekt der Kybernetik. Begriffen als Konzept für vernetztes Denken wurde dieses besonders in der Forschung rund um „künstliche Intelligenz“ oft als Analogie zu den Denkprozessen im Gehirn gedeutet. Nach dem Zweiten Weltkrieg entwickelte sich die Kybernetik zu einer der umstrittensten Forschungsgebiete des 20. Jahrhunderts und wirkte sich auf die Entwicklung von verschiedensten Wissenschaftsdisziplinen aus.¹⁵

Als der Beginn von computergestütztem Konstruieren bzw. Entwerfen werden im Allgemeinen die Forschungsentwicklungen in den 1960er Jahren am MIT genannt. Dabei wird das von Ivan Sutherland im Jahr 1963 entwickelte

Projekt namens „Sketchpad“ meist als ein signifikanter Entwicklungsschritt in der Entstehung von CAD angesehen. In enger Verbindung dazu stehen auch die zukunftsweisenden Arbeiten der „Architecture Machine Group“ (im Folgenden: „AMG“), die von Nicolas Negroponte im Jahr 1967 ebenfalls am MIT gegründet wurde. Deren visionäre Forschungsprojekte bewirkten einen Wandel in der Betrachtung des Computers als ein einfaches Rechenwerkzeug und öffneten den Horizont für die Entwicklung digitaler Methoden in verschiedensten Anwendungsbereichen.

Vannevar Bush und die Memex

Bis lange nach dem Zweiten Weltkrieg wurde der Computer nämlich als ein „Werkzeug“ verstanden, das in einem sehr eingeschränkten Anwendungsgebiet dem/der IngenieurIn für unterschiedlichste Berechnungsaufgaben zur Seite gestellt werden konnte. Obwohl der Ingenieur Vannevar Bush (1890-1974) in seinem Aufsehen erregenden Aufsatz „As we may think“ in den USA bereits 1945 eine fiktive Maschine namens „Memex“ skizziert hatte, in welchem Bush schon damals eine universelle Verwendung des Computers auch für zivile Zwecke andachte, fanden sich Bush's innovative Überlegungen erst ca. 15 Jahre später als Denkanstoß für neue Entwicklungskonzepte in einigen Forschungsprojekten wieder. Bush, der bereits in den Jahren von 1919 bis 1938 ebenso wie später Sutherland und Negroponte am MIT beschäftigt gewesen war, dachte sich seine Maschine „Memex“ (Memory Extender) als einen individuellen und universellen Wissensspeicher zur Erweiterung des persönlichen Gedächtnisses des Menschen. „Memex“ sollte über verschiedenste Eingabe- und Ausgabegeräte gesteuert werden und Informationen wie Text-, Audio- und Bilddaten speichern können. Hierzu hatte er einige innovative Ansätze entwickelt. So sollte ein/e WissenschaftlerIn eine - später von Zeitungsmagazinen so genannte - Zyklopenkamera mit der Größe einer Walnuss auf der Stirn tragen können, womit er durch die Aktivierung eines auf dem Arm montierten Sensors farbige Bilder seiner Arbeit speichern können sollte. Dabei sollte ein beliebiger Bildausschnitt

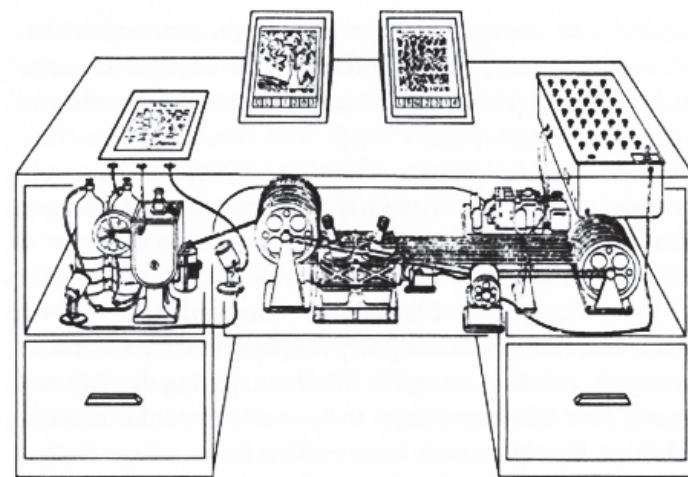


Abbildung 5: Skizze von Vannevar Bush's Gedächtniserweiterungsmaschine - Memex.

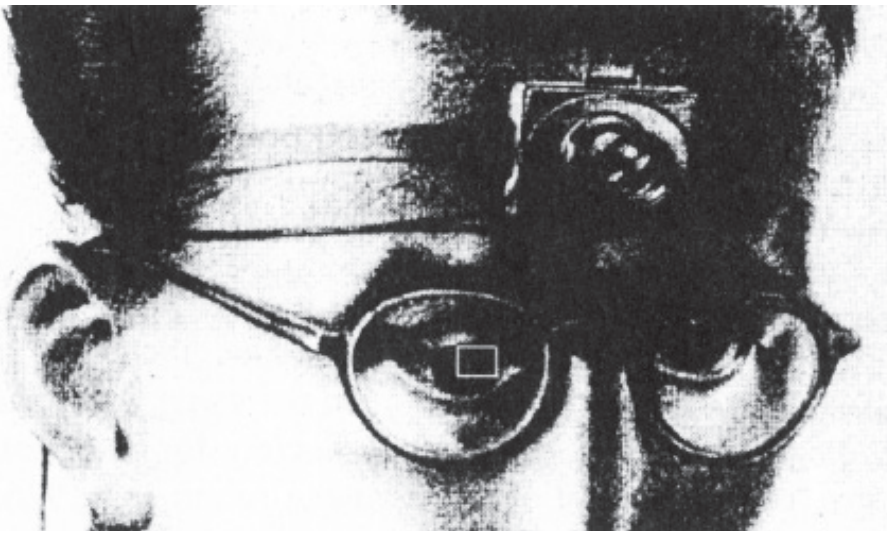


Abbildung 6: Vision der Zyklopenkamera als Unterstützung für wissenschaftliches Arbeiten.

gewählt werden können, wobei das Suchfenster als kleines Rechteck mit feinen Linien auf die Brille des Benutzers projiziert werden sollte. Weiters regte Bush eine Spracheingabe mittels der bereits existierenden Technologie des „Vocoders“ an, wobei durch diese eine natürlichsprachige Kommunikation zwischen „Memex“ und Benutzer ermöglicht werden sollte. Das Vorgängergerät „Voder“ konnte einen Text in Sprache akustisch wiedergeben und wurde von der „Bell Telephone Comp.“ 1939 auf der Weltausstellung in New York einer breiten Masse vorgestellt. Einige Jahre später entwickelte diese Firma schließlich den „Vocoder“, welcher die mittels über ein Mikrofon aufgenommenen Sprachen in Textzeichen transformieren konnte. Weiters hatte Bush Ideen zum Einlesen von gedruckten Vorlagen. Dieses Konzept sollte mittels Fotozellen realisiert werden, welche zu diesem Zeitpunkt noch in ihrem Entwicklungsanfang steckten. Über eine Glasscheibe sollten Vorlagen eingescannt werden können, wobei zusätzlich zum Einlesen von Textvorlagen eine Art Texterkennung überlegt wurde. Alle diese Daten sollten auf einem optischen Speicher (Microfilm) mittels seines entwickelten „Rapid Selectors“ über die „Memex“ kompakt gespeichert werden. Zur Bewältigung der gigantischen Datenmenge, die im Gegensatz zum menschlichen Gehirn für die Ewigkeit archiviert werden sollte, entwickelte Bush eine Methode zur assoziativen Datenspeicherung. Dies bedeutet, dass am Beginn der jeweiligen Datensätze vermerkt wurde welche Information darin abgespeichert wurde. Durch diese Information – wie z.B.: der Informationstyp (Audioaufzeichnung, Bild, Text, etc.) oder die Länge bzw. Größe einer Aufzeichnung – wurde eine Unterscheidung zwischen den Daten und damit deren strukturierte Organisation möglich.¹⁶

Bush erhob keinen Anspruch auf die technische Realisierbarkeit seiner Maschine mit den zu seiner Zeit zur Verfügung stehenden Mitteln. Vielmehr lieferten seine kreativen Kombinationen von existierenden Technologien neue Lösungsvorschläge und Entwicklungsansätze. Wie bereits erwähnt wurde, fielen Teile seiner Visionen erst viel später auf fruchtbaren Boden. Bush selbst schrieb bezüglich der Realisierung und Zukunft seiner Maschine: *„that day is not yet here, but has come far closer...“*¹⁷.

Ursprung von CAD am MIT

Zunächst wurde die Weiterentwicklung von Computersystemen häufig an Universitäten in Zusammenarbeit mit militärischen Einrichtungen vorangetrieben. So resultierten die unmittelbaren technischen Grundvoraussetzungen für die Erfindung von Ivan Sutherlands „Sketchpad“, das meist als der erste Ansatz eines CAD-Programms angesehen wird, aus den intensiven Entwicklungsarbeiten an einem militärischen Flugsimulator, welche im Auftrag des amerikanischen Verteidigungsministeriums im Jahr 1944 am MIT unter dem Projektnamen „Whirlwind“ begonnen wurden. Anfangs war die Entwicklung einer analogen Rechenanlage mit einer rückgekoppelten Steuerung geplant, die eine Echtzeiteingabe ermöglichen sollte. Inspiriert von dem in Pennsylvania gerade fertig gestellten elektronischen Digitalrechner „ENIAC“ machte Jay Forrester – eine der Leitfiguren des Projektes „Whirlwind“ – den Vorschlag, die Aufgabe mit digitalen Methoden zu lösen. Im Zuge der Arbeiten an „Whirlwind“ entwickelte der Assistent Robert Everett eine erste Version der „Light Gun“, mit deren Hilfe einzelne Punkte auf einem Kathodenstrahlröhrenbildschirm (CRT-Screen) identifiziert werden konnten. Light Gun hatte die Form einer Pistole und war der Vorläufer des stiftförmigen Eingabegerätes namens „Light Pen“, welches Ivan Sutherland später für die Steuerung von „Sketchpad“ verwendete. Eines der wichtigsten Ergebnisse – neben der technologischen Verbesserung der Rechenleistungen von Computern – für die Entstehung von CAD-Anwendungen ist die im Zuge der Arbeiten an Whirlwind neu entstandene Echtzeiteingabe, mit deren Unterstützung nun eine interaktive Kommunikation zwischen Benutzer und Computer ermöglicht wurde. Das anschaulichste Ergebnis lieferte Ivan Sutherlands Projekt „Sketchpad“. Sutherland griff bei der Gestaltung der grafischen Darstellung seiner Anwendung auf die theoretische Arbeit von Doug Ross zurück, welcher sich eine CAD-Software Struktur überlegte, die über eine vereinfachte



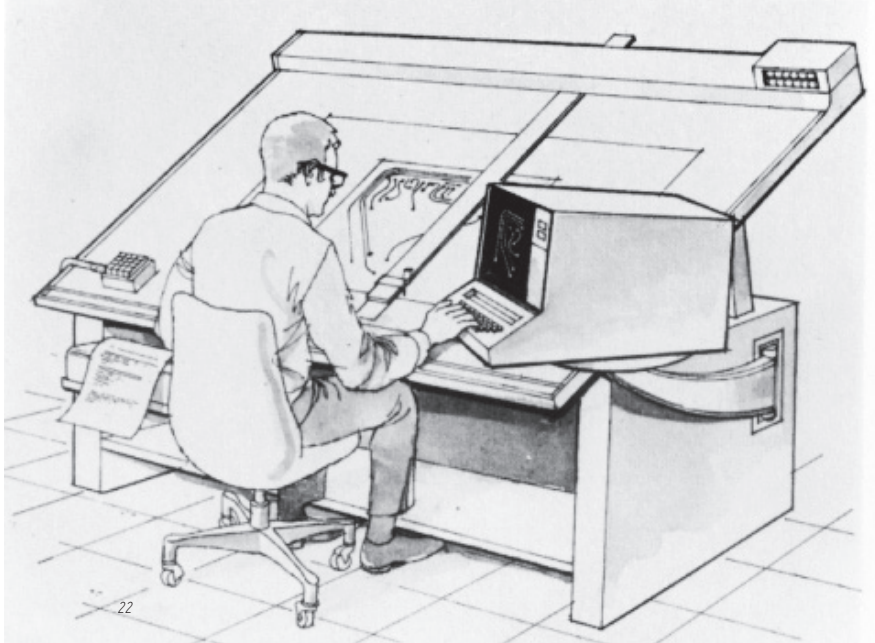
Abbildung 7: Erste Eingabegeräte: Linke Seite Light Gun, rechte Seite Light Pen



Eingabetechnik einem breiteren Benutzerkreis zugänglich gemacht werden sollte. Bei der Verwendung von Sketchpad konnte der Benutzer auf eine vom technischen Hintergrund stark abstrahierte grafische Eingabeoberfläche zurückgreifen, welche mittels Kathodenstrahlröhrenbildschirm (in Folge "CRT-Bildschirm") dargestellt wurde. Es konnte mit vordefinierten grafischen Symbolen gearbeitet werden, die durch die Veränderung von Parametern manipuliert wurden. Sutherlands Terminal bestand aus einem CRT-Bildschirm, einer Light Pen, einem Panel mit mehreren Schaltknöpfen und vier Wähltasten, mit denen diese grafischen Elemente in Echtzeit zu komplexeren Darstellungen kombiniert werden konnten. Diese Zeichenelemente (wie z.B.: Linien, Kreise etc.) konnten - ähnlich wie später Blöcke oder Verbunde in CAD Softwareprogrammen - kopiert und an unterschiedlichste Stellen in der Zeichnung eingefügt werden, wobei Transformationen wie Skalieren, Verschieben und Verdrehen möglich waren. Um eine Linie von einem existierenden Punkt weiter zeichnen zu können, musste man mit der Light Pen am Bildschirm auf einen Punkt (wie z.B.: dem Endpunkt einer Linie oder dem Eckpunkt eines Quadrates) eines dargestellten Elementes tippen, wodurch ein neuer Startpunkt definiert wurde, danach die Taste „LINE“ drücken und schließlich wieder mit der Light Pen kurz auf den gewünschten Endpunkt am Bildschirm zeigen. Egal welchen Pfad der Benutzer vorher am Bildschirm gezeichnet hatte, es wurde immer eine gerade Linie von dem eingegebenen Startpunkt bis zum zuletzt berührten Bildschirmpunkt gezeichnet.¹⁸ Da der Endpunkt je nach zuletzt berührtem Bildschirmpunkt variieren kann, ähnelt die Linie durch ihre Längenveränderung einem Gummiband. Diese Gummibandmetapher wird als „Rubberbanding“ bezeichnet.¹⁹

Damit war der Startschuss zur Entwicklung der ersten Generation von CAD-Anwendungen gefallen. Unter welchen zwei grundlegenden Ansätzen sich die CAAD-Software entwickelt hatte und in welchem Spektrum diese Software heute eingesetzt wird, ist Thema des nächsten Kapitels.

Negroponete und die AMG



Während langsam die erste Generation von CAD-Programmen vorwiegend unter der Motivation entwickelt wurde, den KonstrukteurInnen in verschiedensten Bereichen als flexible digitale Imitation von analogen Zeichenbrettern zu dienen, erkannte Nicholas Negroponete dagegen das Potential des Computers für den Architekturbereich. Mit "AMG" entwickelte Negroponete neue innovative Projekte und Visionen für digitale Medien für den Einsatz im Architekturentwurf und veröffentlichte diese 1970 in dem Buch „The Architecture Machine: Toward a More Human Environment“ in der MIT-Press. Negroponete sah in der Verwendung von CAD die Chance für das Entstehen einer neuen humaneren Architektur. Negroponete's Fokus auf den architektonischen Entwurfsprozess rührt aus einer tiefen Unzufriedenheit, die er der Architektur seiner Zeit entgegenbringt. Er wirft den ArchitektInnen den Verlust der Fähigkeit

Abbildung 8-9: In oberen Abbildung demonstriert Ivan Sutherland sein Projekt "Sketchpas"; darunter ist eine Skizzen von zukunftsvisionen aus "The Architecture Machine" abgebildet.

zur Vermittlung zwischen individuellen Zielen und den Bedürfnissen der Masse besonders beim Entwerfen großer Projekte zugunsten von größeren räumlichen Strukturösungen vor. So verkündet Negroponte, dass mit der Unterstützung durch die neuen digitalen Methoden schließlich „jeder Mensch Architekt sein kann“. Jeder soll Architektur zuhause mit Hilfe digitaler Unterstützung entwerfen können, wobei die Rolle des ExpertInnen vom Computer übernommen werden soll. Bereits auf der ersten Seite seines Buches „The Soft Architecture Maschine“ bemerkt er folgendes:

„This is a book about a new kind of architecture without architects“²⁰.

Negroponte begriff den Computer nicht mehr als ein einfaches Werkzeug, welches eine digitale Analogie zu physischen Gegenständen wie dem digitalen Zeichenbrett oder wie zuvor bei Bush eine persönliche Gedächtniserweiterung des Menschen darstellte, sondern vielmehr als ein leistungsfähiges Medium, welches dem/der EntwerferIn als „Design Amplifier“²¹ ergänzend zur Seite gestellt werden kann. Während Bush seine Memex noch als „gadget“²² - was ins Deutsche übersetzt einem technischen Schnickschnack gleichkommt - bezeichnet, begreift Negroponte den Computer als intelligentes Medium, das über verschiedenste Schnittstellen die Kommunikation zwischen EntwerferIn und Architekturmaschine ermöglicht und einen dialogischen Entwurfsprozess fördert. Einer der Schwerpunkte bei der Betrachtung des Computers als Vermittler zwischen der physischen und imaginären Welt liegt in der Entwicklung von Konzepten bezüglich der möglichen Schnittstellen zwischen Mensch und Maschine. Die Symbiose des/der ArchitektenIn mit der Maschine soll es über eine interaktive Steuerung ermöglichen, Raumkonzepte vor ihrer baulichen Umsetzung erlebbar und auch auf verschiedenste Aspekte hin prüfbar zu machen. Diese Interaktion kann über nahezu unendlich viele Methoden wie z.B.: Sprachsteuerung, Bewegungserkennung, verschiedenste Scantechniken etc. stattfinden.

Als Beispiel für eine Schnittstelle, über welche die visuelle Erlebarkeit von digitalen Räumen ermöglicht wird, führt Negroponte die Arbeiten Sutherlands und Raymond Goertzim's an. Sutherland und Goertzim forschten 1966 an einem ersten „Head Mounted Display“ (in Folge: „HMD“) und einem Datenhandschuh. Diese Arbeiten sind die Vorläufer, der heutigen „Cave-Systeme“, in denen virtuelle Räume erleben werden können.²³

Weiters soll Negroponte's Architekturmaschine neben der Funktion als Analyse- und Simulationsinstrument nicht einfach nur Skizzen bewerten können, sondern auch in der Automatisierung des Entwurfprozesses als intelligente Maschine künstliche Kreativität aufweisen und als Ideenlieferant zur Erzeugung von Varianten beitragen. Anhand des Projektes „HUNCH“ zeigt Negroponte unter anderem eine Arbeit der AMG, durch deren Anwendung Grundrisse auf den Gehalt von Elementen wie Kreisen, Quadraten, Linien etc. analysiert werden konnten, wobei die eventuell verwackelten, kurvigen oder verzitterten Linien der Eingangsskizze nach der Analyse in einfachen

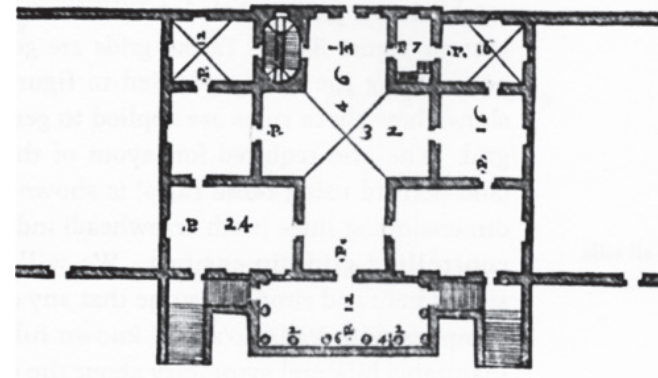


Abbildung 10: William Mitchell originaler Grundriss von Palladio

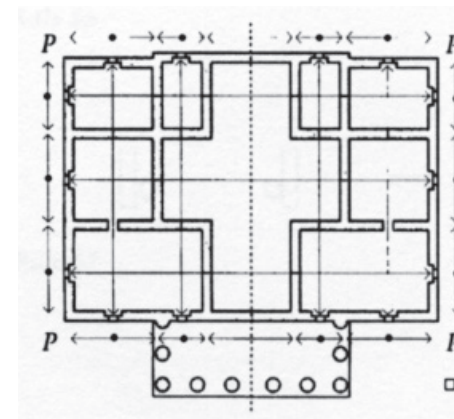


Abbildung 11: William Mitchell; computergenerierter Grundriss

Basisgeometrien transformiert wurden. Zeichnet der/die BenutzerIn ein Quadrat in schnellen Zügen, so interpretiert der Rechner das Quadrat mit einfachen geraden Linienzügen. Wird der/die EntwerferIn beim Zeichnen beispielsweise in den Eckbereichen langsamer, dann wird von der Software angenommen, es sei hier ein höherer Detaillierungsgrad gefordert, wodurch folglich die Ecken des Quadrats als Kreisbögen interpretiert werden. Weiters zeigt Negroponte Softwareprogramme, die in Grundrissen dargestellte Räume auf ihre topologischen Raumzusammenhänge hin analysieren.²⁴

Als Beispiel für künstliche Kreativität soll hier eine Arbeit aus den 1990ern von William Mitchell angeführt werden. Im Buch „The Logic of Architecture“²⁵ zeigt Mitchell ein von ihm entwickeltes Softwareprogramm, welches sich des Formenvokabulars und der Gestaltungsgrammatik des Architekten Andrea Palladio bedient und nun selbständig Grundrissvarianten von palladianischen Villen generiert (siehe Abb. 10-11).

An dieser Stelle sei erwähnt, dass im Jahr 1977 der Architekt Christopher Alexander sein Buch „A Pattern Language: Towns Buildings Construction“ veröffentlichte, in welchem er darzustellen versucht hatte, dass beim Architekturentwurf auf eine Art Grammatik zurückgegriffen wird, in dem immer wiederkehrende archetypische Muster verwendet werden.

Alexander versuchte verschiedenste Architekturthemen und Elemente in Symbole zu fassen – die Alexander Pattern (Muster) nennt -, wobei diese je nach zugewiesener Bedeutung und Wichtigkeit in hierarchisierten Ebenen organisiert werden. Die Beziehung einzelner Architekturelemente untereinander kann über Diagramme anschaulich dargestellt werden. Alexander nimmt Anleihen an Sutherlands Sketchpad, welches mit grafischen Symbolen arbeitet und versucht sich an einer Systemtheorie für die gesamte Architektur. Bei Sutherland dient diese Art von Oberfläche auch dazu, diese Software einem breiteren Benutzerkreis zugänglich zu machen. Ähnliche Auswirkungen haben auch die von Alexander entwickelten „Design Pattern“ auf den in den 1970er Jahren stark forcierten Begriff der „Partizipation“. Durch die streng gegliederte Sammlung einzelner gewerteter Architekturelemente mit den dazugehörigen detaillierten Erklärungen sollte auch bei Alexander einem größeren Kreis an Laien ein Überblick vermittelt und Vokabular zur Verfügung gestellt werden, um im architektonischen Entwurfsprozess mitbestimmen zu können.²⁶ Einleitend schreibt Alexander:

„Du kannst die Sprache verwenden um mit deinem Nachbarn an der Verbesserung deiner Stadt und Nachbarschaft zu arbeiten. Du kannst sie verwenden um mit deiner Familie dein eigenes Haus zu entwerfen und zu bauen, oder um mit anderen Leuten am Entwurf von Büros, Werkstätten oder öffentlichen Gebäuden, wie Schulen zu arbeiten.“²⁷

Hier verfolgt Alexander ähnlich wie Negroponte, die Architektur der Allgemeinheit zugänglich zu machen. Alexanders Herangehensweise hat großen Einfluss auf die Informatik und ist besonderes mit Bereich der Forschungen an der künstlichen Intelligenz von CAD-Systemen verknüpft.

Während sich Alexanders folgende Arbeiten mehr auf die digitale Übersetzung seiner „Pattern Language“ und auf Programmierung von Architektur fokussieren bleibt Negroponte bei einem offeneren allgemeinen Ansatz. Hauptanliegen Negroponte's ist und bleibt die Entwicklung einer humanen Architektur durch die Unterstützung von CAD. Im Jahr 1985 wird die AMG (Architecture Machine Group) passend zu seiner Auffassung des Computers als Medium in MIT „Media Lab“ umbenannt.

Auch für den aktuellen Architekturdiskurs sind Negroponte's Ideen und Prognosen nach wie vor zukunftsweisend. So erkennt man den generellen Anspruch, den Negroponte für die Verwendung digitaler Methoden in verschiedensten Lebensbereichen erhebt, – und diese gehen weit über die Verwendung von CAD hinaus -, in seinem im Jahr 1995 erschienen Buch „Being digital“ in zahlreichen Aussagen wie den folgenden: *„Computing is not about Computers anymore. It's about living.“* Als Beispiel dafür schreibt Negroponte eine Seite später:

„We will socialize in digital neighborhoods in which physical space will be irrelevant and time will play a different role. Twenty years from now, when you look outside your window, what you see maybe five thousand miles and six time zones away“²⁸.

Max Bense und die Verwissenschaftlichung von Architektur

Parallel zu den Arbeiten um Negroponte entwickelte sich in Deutschland ausgehend von den theoretischen Arbeiten Max Bense's der Ansatz, mittels der technischen Errungenschaften eine Verwissenschaftlichung der Architektur vorzunehmen. Im Gegensatz zu Negroponte, der besonderes Augenmerk auf den Entwurfsprozess gerichtet hatte, lag die Aufmerksamkeit der „Stuttgarter Schule“ rund um Max Bense in der quantitativen Bewertung der Ästhetik von fertig gestellten Architektur- und Kunstprojekten.

Ab dem Sommersemester 1949 lehrte der Philosoph Max Bense (1910-1990) an der Technischen Hochschule Stuttgart, welche als ein idealer Ort für die Entwicklung seiner Philosophie der „Technischen Existenz“ diente. Bense versuchte eine Annäherung der technischen Wissenschaften an die Geisteswissenschaften und legte besonders mit seinen theoretischen Arbeiten über die Ästhetik den Grundstein für die von der „Stuttgarter Schule“ unternommenen Versuche einer Verwissenschaftlichung der Architektur. Bense beschrieb das Wesen der realen Welt in seiner „Informationsästhetik“ anhand von zwei symmetrisch gegenüberstehenden gegeneinander gerichteten Prozessen, die zusammen eine Einheit – Welt – bilden sollten.²⁹

„So ging er davon aus, dass ein wirklicher und verwirklichender Prozess für die physikalischen und ästhetischen Erscheinungen der Welt sorgen. Während der physikalische Prozess auf einen Systemzustand maximaler Entropie (Unordnung) zuläuft, wirkt der nach maximaler Negentropie (Ordnung) strebenden ästhetischen Prozess diametral entgegengesetzt.“³⁰

Bense begreift die Perzeption von Kunst als das Auffinden von Ordnungsstrukturen in einem System von Unordnung, die sich seines Erachtens über den Quotienten der beiden Systeme in einem Messwert ergibt, welcher eine objektive Kritik von Ästhetik zulässt. Diese Ordnungsstrukturen werden durch das Auffinden von bekannten Zeichen und deren dynamische Beziehungen untereinander gekennzeichnet. Dabei versucht er in direkter Anlehnung an Claude Elwood Shannons (1916-2001) Ansätze zur Quantifizierung von Information, diese auch auf die Beuteilung des Schönen zu erweitern. Durch den allgemeinen Anspruch, den Bense in seinen theoretischen Arbeiten so wie in praktische Konzepten erhebt, welche unter anderem durch die mit Fritz Martini durchgeführte Gründung eines „Studium Generale“ an der Stuttgarter Universität sichtbar werden, nimmt Bense direkten Einfluss auf verschiedenste Wissenschaftsbereiche.³¹

Meines Erachtens lassen sich Benses Intentionen schon recht gut alleine über die Titulierung seiner Schriften wie zum Beispiel *„Programmierung des Schönen“*, *„Semiotische Prozesse und Systeme in Wissenschaftstheorie und Design, Ästhetik und Mathematik. Semiotik vom höheren Standpunkt“* oder *„Die Unwahrscheinlichkeit des Ästhetischen und die semiotische Konzeption der Kunst“* ablesen.

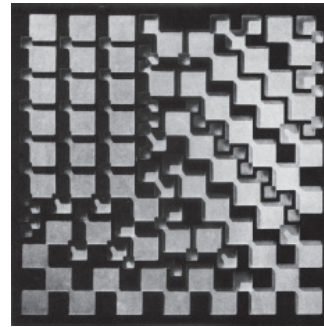
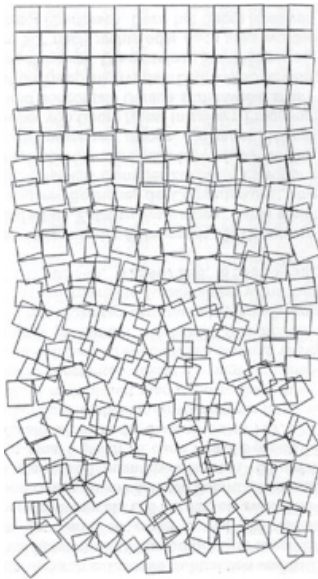


Abbildung 12: Georg Nees. Das Bild ist mit Fräse Aluminium geschnitten worden.

Abbildung 13: Georg Nees. Schotter

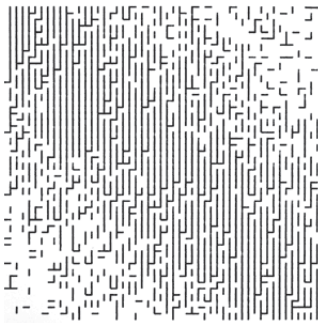


Abbildung 14: Frieder Nake. Walkthrough

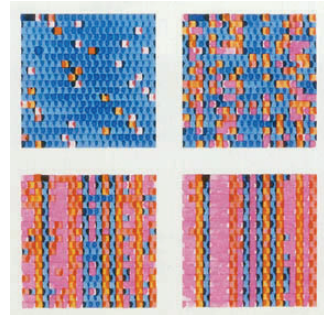


Abbildung 15: Frieder Nake. Plotter Zeichnungen



<pre> FUNCTION juliah(u,v) 'Global f; LOCAL z1,s%; s%=0; z=(u,v) DO z1 = f(z) EXIT IF Cond(z1) EXIT IF ABS(nq(z1)-nq(z))<0.0001 z=z1; s%=s%+1 LOOP RETURN s% ENDFUNC </pre>	<p>(28)</p> <p>(a)</p> <p>(b)</p> <p>(c)</p> <p>(d)</p>	<p>Abb. 8. Halleykarte. Darstellung der phlegmatischsten Punkte</p>
--	---	--

Abbildung 16: Georg Nees. Das obere Bild zeigt das Ergebnis des kleinen Programmes darunter.

Als Experimente und Kunstwerke dieser Zeit lassen sich rund um Bense beispielsweise jene der Mathematiker und Computerkünstler Frieder Nake und Georg Nees anführen. Auch anderorts findet die Auseinandersetzung mit digitaler Kunst etwa in den Arbeiten von Herbert W. Franke oder Hajo Drott in München oder in den Werken von Bela Julesz und A. Michael Noll in New York statt. Die ersten Arbeiten wie die von Nake und Nees stützen sich auf Systemtheorien der Kybernetiker und beschäftigen sich besonders mit Pseudozufallsgeneratoren, der Nachahmung von Vorgängen in der Natur mittels Generativenprozessen und thematisieren auch das Problem der Autorenschaft dieser Kunstwerke. Einige dieser ersten Arbeiten findet man heute relativ einfach im Internet, wo man auch auf zahlreiche aktuelle Künstler der „Digital Art“ stößt.³²

Die unmittelbaren Auswirkungen und Reaktionen auf Benses Denkmodelle sollen hier zunächst anhand der Arbeit des Architekten Manfred Kiemle nähergebracht werden. Als ein Student und temporärer Mitarbeiter in Bense's Team am „Institut für Information“ versuchte Kiemle mit Hilfe von CAD eine digitale Umsetzung der theoretischen Konzepte und veröffentlichte diese in seinem Buch „Ästhetische Probleme in der Architektur unter dem Aspekt

der Informationsästhetik“. In diesem Werk erreichte Kiemle eine kritische Erweiterung und teilweise Umsetzung von Bense's „Informationsästhetik“ in eine algorithmische Logik. Über die ästhetische Kritik schreibt er wie folgt:

„Die ästhetische Kritik gibt kein Urteil über schön oder unschön ab, sondern sie macht Aussagen darüber, ob ein bestimmtes Kunstwerk in einem bestimmten soziokulturellen Raum Originalität, Semantik, usw. hat. Im Gegensatz zur ästhetischen Realisation ist die ästhetische Kritik im Prinzip programmierbar.“³³

Für die Erforschung des genannten soziokulturellen Kontextes welcher für die Interpretation der Information wesentlich ist schlägt er das Forschungsgebiet der „Soziokybernetik“ vor. Ein Kunstwerk wird als eine Nachricht aufgefasst welche aus verschiedenen Zeichen besteht, die als Informationsträger an den Menschen gesendet wird, wobei dieser die Zeichen in ihrem Gesamtext interpretiert. Überspitzt könnte man die Auffassung der Kybernetiker bezüglich des Menschen - besonders die Ansätze in Deutschland - folgend pointieren: „Die SMS „Kunst“ wird über

Funkwellen an die Maschine „Mensch“ gesendet, wobei das Signal über die Antenne „Fotorezeptoren“ des Empfängermodems „Auge“ aufgefangen wird und hier für den internen Datenbus „Nervenstrang“ in Bitmuster „elektrochemische Impulse“ codiert wird. Je nach Muster gelangen die codierten Zeichen über den Datenbus in verschiedenste untereinander vernetzte Postprocessinganlagen „Hirnareale“ die sich schließlich je nach Interpretation für ein Handeln entscheiden und danach für eine Visualisierung „einen bewussten Gedanken“ sorgen.“ Vielleicht wird nun auch verständlich, warum Forscher wie Kiemle etwas Angst vor dem Ersetzen des Menschen durch die Maschine hatten.

Kiemle und Ästhetik als Zahlenspiel

Trotzdem setzte Kiemle die Umsetzung der Theorie in der Praxis fort und versuchte zunächst die Kapazität des menschlichen Bewusstseins mittels mathematischer Formeln zu beschreiben. Dazu teilte Kiemle die Bewusstseinskapazität in eine Gegenwartsdauer „T“, eine Zuflusskapazität „Ck“ und eine Fassungskapazität „Kk“ ein und stellte diese für die digitale Verarbeitung in Bits dar. Die Gegenwartsdauer ist die Zeit, in der ein Eindruck im Kurzspeicher „Bewusstsein“ verweilt, wodurch dieser Reiz bewusst wahrgenommen wird. Die Wahrnehmungsdauer beträgt dabei 8 bis 12 Sekunden. Die menschliche Zeitauflösung beträgt eine 16tel Sekunde, was Rückschlüsse auf die maximale Zuflussgeschwindigkeit von Informationen zulässt. Dies bedeutet, dass Ereignisse die in diesem Zeitfenster stattfinden nicht in ihrer Reihenfolge unterschieden werden können und deshalb als gleichzeitig wahrgenommen werden. Die Zuflusskapazität beschreibt wie viel unterschiedliche Zeichen der Mensch in einer bestimmten Zeit aufnehmen kann. Kiemle berechnet daraus eine Zuflusskapazität von 16 bit pro Sekunde. Multipliziert man die Zuflusskapazität (16 bit) mit der Gegenwartsdauer (10 Sek) bekommt man als Fassungskapazität des menschlichen Bewusstseins 160 bit. Weitere Begriffe, wie der Überraschungswert, der Auffälligkeitswert, die Superzeichen oder die Entwicklung seiner vier notwendigen Kriterien für Schönheit, die für die Auffassung der „Architektur als Nachricht“ unerlässlich sind, werden in dieser Untersuchung nicht weiter erläutert.³⁴

Anhand eines praktischen Beispiels nahm Kiemle eine ästhetische Kritik an der Fassade der Technischen Hochschule Stuttgart vor, womit er seine Überlegungen zu verifizieren versuchte. Dabei demonstrierte Kiemle den wechselnden ästhetischen Informationsgehalt der regelmäßigen Fassade durch das Ein- und Ausschalten von Lichtern. Die gesamte Fassade enthält 216 Fensteröffnungen. Jedes Fenster enthält die Information von einem Bit, was für die gesamte Fassade einen maximalen Informationsgehalt von 216 bit ergibt. Kiemle versteht die Fassade als Bitmuster, welches er nun in einem Bereich von maximaler Ordnung und einem Grenzmaß an maximaler Unordnung untersucht. Dabei berechnet Kiemle auch die Redundanz die die Ordnung einer gegliederten Elementenmenge angibt und für die ästhetische Beurteilung wichtig ist. Ein großen Wert an Redundanz wird als langweilig interpretiert.³⁵

„Wenn ein beträchtlicher Teil der Architektur einer Epoche zu informationsarm ist, dann scheint eine Entwicklung einzusetzen, die eine Informationssteigerung herbeiführt. So kann die informationsästhetische Wahrnehmungstheorie eine Erklärung für gewisse Erscheinungen in der neuesten Architektur liefern“³⁶.

Hingegen kann bei vielen verstreuten Elementen der Informationsgehalt größer als 160 bit sein, also größer als die Fassungskapazität des Bewusstseins, dann muss eine superiert werden. Dies bedeutet, dass durch das Zusammenfassen von Einzelementen zu größeren Elementen, die Redundanz erhöht wird, wodurch schließlich, der Informationsgehalt gesenkt wird. Weiters beschreibt Kiemle, dass ein Gebäude in verschiedene Betrachtungsstufen und Betrachtungsschritte eingeteilt werden kann. Nach jedem Betrachtungsschritt wird das erkannte Muster in einem „Superzeichen“ zusammengefasst, wobei nun im nächsten Schritt weitere Details am Gebäude bemerkt werden können. Je mehr solcher Ebenen ein Gebäude besitzt, desto öfter vollzieht sich der Wahrnehmungsprozess und desto länger bleibt dieses für den Betrachter spannend. Kiemle deutet eine hohe Anzahl von Betrachtungsebenen als einen Grundcharakter des Schönen.³⁷ Die Originalität bzw. den Stil eines Künstlers beschreibt Kiemle über eine hohe Informationsdichte auch in der Mikrostruktur. In diesem Zusammenhang deutet Kiemle in Anlehnung an Bense die Innovation als den zentralen Begriff für den ästhetischen Prozess.

„Die Originalität ist eine Funktion der Unwahrscheinlichkeit einer Zeichenstruktur, wobei sich Unwahrscheinlichkeit auf die subjektive Information einer bestimmten soziokulturellen Gruppe während eines bestimmten Zeitraumes bezieht. Je unwahrscheinlicher, unerwarteter und überraschender eine Zeichenstruktur für eine solche Gruppe ist, desto größer ist ihre Innovation.“³⁸

In einem weiteren Beispielprojekt, der Fassade des Rathauses in Kurashiki von Knezo Tange, kommt Kiemle zu dem Schluss, dass diese mit einer Redundanz von ca. 70 bis 80 Prozent auch in der vierten Betrachtungsstufe „nicht der Eindruck der Langweiligkeit“ wie etwa bei der Fassade der Technischen Hochschule in Stuttgart (mit 98,3 Prozent) aufkommt.³⁹

Claus Pias pointiert diese Auseinandersetzung rund um Bense in Deutschland in seinem Aufsatz in dem Buch Kulturtechnik Entwerfen in Anlehnung an Friedrich Kittler wie folgt etwas spitz:

„Es handelt sich um die Austreibung des Geistes aus den Geisteswissenschaften“⁴⁰.

Das Bestreben zu einer Verwissenschaftlichung der Architektur führt Pias zum einen auf die nationalsozialistische Vergangenheit Deutschlands zurück, die in dem Reinheitsgebot der Ulmer Schule eine Verbannung des Gefälligen äußerte, sowie zum anderen auf die Hoffnung, durch die Versprechen der Kybernetik eine Vereinheitlichung der vielen zerstreuten Wissenschaften zu erreichen.⁴¹

Zusammenfassend zu diesem Kapitel kann gesagt werden, dass sich rasch herausstellte, dass Bense's Forderungen nicht so einfach umsetzbar sind, da in vielen Fällen Unklarheit darüber die Möglichkeit einer mathematischen Problembeschreibung herrschte. „Wie konnten analytische, perzeptive und kreative Prozesse in Algorithmen transponiert werden?“⁴² In vielen Fällen wurde auf die noch wenig ausgereifte Technik und die marginale Anzahl von Arbeiten in den verschiedensten Wissenschaftsdisziplinen verwiesen, auf deren Forschungsergebnisse bei der Entwicklung von komplexen Systemen

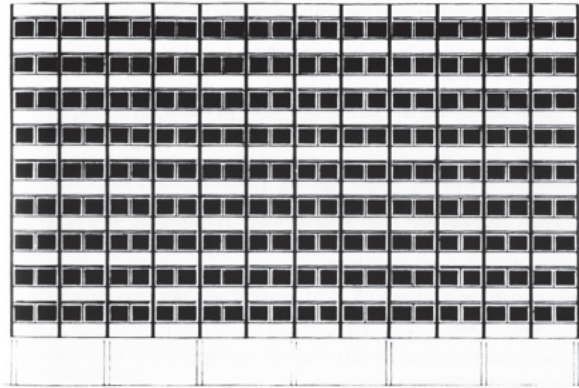


Abbildung 17: Manfred Kiemle. Fassade der Technischen Hochschule Stuttgart. Die Fassade sei informationsarm und deshalb langweilig.

zurückgegriffen werden muss. So werden diese Themen heute aufgrund der gigantischen Entwicklungen und Kapazitäten digitaler Medien unter dem Motto „Aufgeschoben ist nicht Aufgehoben!“ mit wenigen Zusätzen neu diskutiert. Doch für die aktuelle Auseinandersetzung gilt unter anderem nach wie vor:

„Noch niemand hat nun allerdings die Funktion einer Wohnung oder eines Büros erschöpfend beschrieben.“⁴³

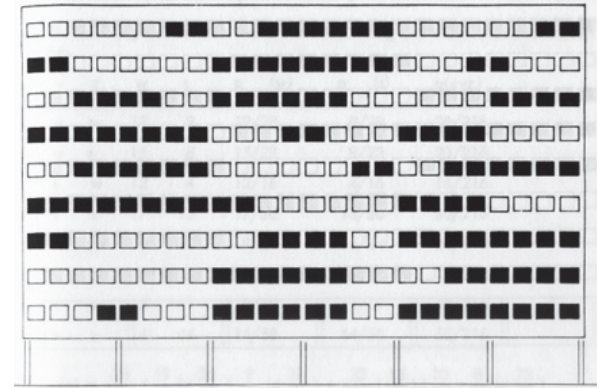


Abbildung 18: Jedes Fenster enthält die Information von einem Bit was für die gesamte Fassade einen maximalen Informationsgehalt von 216 bit ergibt.

- 14 Vgl. Marco Hemmerling, Anke Tiggemann, "Digitales Entwerfen", 2010, Wilhelm Fink GmbH & Co. Verlags-KG, S.12 – 15.
- 15 Michael Friedewald, "Der Computer als Werkzeug und Medium", Verlag für Geschichte und Naturwissenschaften und der Technik, Berlin, Diepholz 1999, S.74-78.
- 16 Vgl. ebd. S.51-69.
- 17 Ebd. S.69.
- 18 Vgl. David E. Weisberg, "The Engeneering Design Revolution", e-Book 2008, <http://www.cadhistory.net> (28.02.2010), Abschnitt 3: Computer-Aided Design Strong Roots at MIT, S.1-25.
- 19 Claus Pias, "Jenseits des Werkzeugs", Kulturtechnik Entwerfen., a. a. O., S.279. oder <http://www.encyclopedia.com/doc/1011-rubberbanding.html> (Stand 14.02.2010)
- 20 Claus Pias, "Jenseits des Werkzeugs", Kulturtechnik Entwerfen, a. a. O., S.282.
- 21 Ebd. S.278.
- 22 Michael Friedewald, "Der Computer als Werkzeug und Medium", Verlag für Geschichte und Naturwissenschaften und der Technik, Berlin, Diepholz 1999, S.54
- 23 Vgl. Nicolas "The Architecture Machine", Nicholas Negroponte, The MIT Press Cambridge, Massachusetts, 1970, S.6. und http://de.wikipedia.org/wiki/Head-Mounted_Display (Stand 17.02.2010).
- 24 Claus Pias, "Jenseits des Werkzeugs", Kulturtechnik Entwerfen, a. a. O., S.278-299.
- 25 William J. Mitchell, "The Logic of Architecture: Design Computation and Cognition", MIT Press, 1990.
- 26 Vgl. Christian Kühn, "Erste Schritte zu einer Theorie des Ganzen", Kulturtechnik Entwerfen, a. a. O., S.161-177.
- 27 Vgl. Christopher Alexander, "A Pattern Language", Oxford University Press, New York 1977. Zitiert nach der im Seminar für Planungsmethoden entstandenen Übersetzung,

- Klaus W. Gartler, Technische Universität Graz 1979, Einleitung.
- 28 Nicholas Negroponte, "Being digital", Vintage Books a division of Random House, 1995 USA, S.6-7.
- 29 Vgl. Ingeborg M. Rocker, "Berechneter Zufall", Kulturtechnik Entwerfen, a. a. O., S.245-259.
- 30 Ebd. S.252.
- 31 Vgl. ebd., S.245-259.
- 32 Vgl. ebd. S.246., <http://www.biologie.uni-muenchen.de/~franke> (Stand 19.02.2010), <http://www.computerkunst-drott.de> (Stand 19.02.2010), <http://hyperallergic.com/5105/early-computer-art>, (Stand 19.02.2010).
- 33 Manfred Kiemle, "Ästhetische Probleme der Architektur unter dem Aspekt der Informationsästhetik", Verlag Schnelle Quickborn, Deutschland, 1967, S.13.
- 34 Claus Pias, "Jenseits des Werkzeugs", Kulturtechnik Entwerfen, a. a. O., S.256-258.
- 35 Ebd.
- 36 Ebd. S.99.
- 37 Vgl. ebd.
- 38 Ebd., S.49.
- 39 Ebd., S.108.
- 40 Originalquelle, Friedrich Kittler, "Austreibung des Geistes aus den Geisteswissenschaften. Programme des Poststrukturalismus." Paderborn: Schöningh 1980. Originalquelle wurde in Anlehnung an Claus Pias, "Jenseits des Werkzeugs", Kulturtechnik Entwerfen, a. a. O., S.271 zitiert.
- 41 Claus Pias, "Jenseits des Werkzeugs", a. a. O., S.277.
- 42 Ingeborg M. Rocker, "Berechneter Zufall", Kulturtechnik Entwerfen, a. a. O., S.253.
- 43 Georg Frank, "Maschinelle Entwurfshilfen", Kulturtechnik Entwerfen, a. a. O., S.238.

Die Entwicklung von CAAD-Software zur Verwendung als Scriptingtool

Der Einfluss der Fertigungsindustrie auf die Entwicklung von CAD-Software

Im Jahr 1949 erhielt Professor Gordon Brown, der Gründer des „Servomechanism Laboratory“ am MIT einen Anruf von John T. Parsons. In diesem Telefonat bekundet Parsons, von der Firma „Parsons Corporation's Aircraft Division“ in Michigan (ein Zulieferunternehmen für Flugzeugteile) ein Interesse an der Entwicklung einer computergesteuerten maschinellen Fertigung von Flugzeugbauteilen. Zur selben Zeit entwickelte das US-amerikanische Militär eine neue Generation von Kampfflugzeugen, bei welcher eine hohe Genauigkeit bei der Herstellung der Metallteile gefordert war.

So startete am MIT, parallel zu den Arbeiten an dem weiter oben im Text genannten Projekt „Whirlwind“, die Forschung an der Herstellung von numerisch gesteuerten Fräsmaschinen, in enger Zusammenarbeit mit der Firma „Parsons Corporation's Aircraft Division“ mittels Finanzierung durch die amerikanische Luftwaffe „Air Force“. Aus diesen NC-Maschinen („NC“ steht für „Numerical Control“) entwickelte sich im Jahr 1972 die erste CNC-Maschine („CNC“ steht für „Computerized Numerical Control“ im Deutschen „computerisierte numerische Steuerung“).

Damit war eine von zwei wichtigen Voraussetzungen gegeben, um das Interesse großer Fertigungsindustrien an der Forschung von CAD und den Einsatz dieser Technologie zu wecken. Der zweite Schritt bestand in der Erweiterung von Sutherlands „Sketchpad“, um eine dritte Dimension durch Tim Johnson, welche noch im Jahr 1963, dem Veröffentlichungsjahr von Sutherlands Projekt, erfolgte. Ab diesem Zeitpunkt erkannten große Fertigungsfirmen langsam das Potential, das in den Möglichkeiten von CAD in der Kombination mit CAM („Computer Aided Manufacturing“) für den Auto- oder Flugzeugbau steckt. Natürlich ist am MIT nach der Entwicklung von Sutherlands „Sketchpad“ weiter an den Möglichkeiten eines praktischen Einsatzes von CAD geforscht worden, doch bestand der nächste große Fortschritt, welcher für den Umgang mit Freiformen und den Praxisbezug wesentlich war, in der Auseinandersetzung der großen Fertigungsindustrien mit „CAD“ bzw. „CAM“.

Während am MIT an der Entwicklung der ersten CAD-Software, welche beispielsweise für das Zeichnen von elektronischen Schaltungen gedacht war, gearbeitet wurde, beschäftigten sich Flugzeug- und Autohersteller wie General Motors, Renault, Citroen oder Lockheed, mit der mathematischen Beschreibung von komplexen Formen und deren computergestützten automatisierten Herstellung.

In der Anfangsphase lassen sich zwei unterschiedliche Herangehensweisen der Firmen ausmachen, die sich allerdings spätestens in den 1980er Jahren in einzelnen Produkten wieder vereinigen. David Weisberg schreibt dazu:

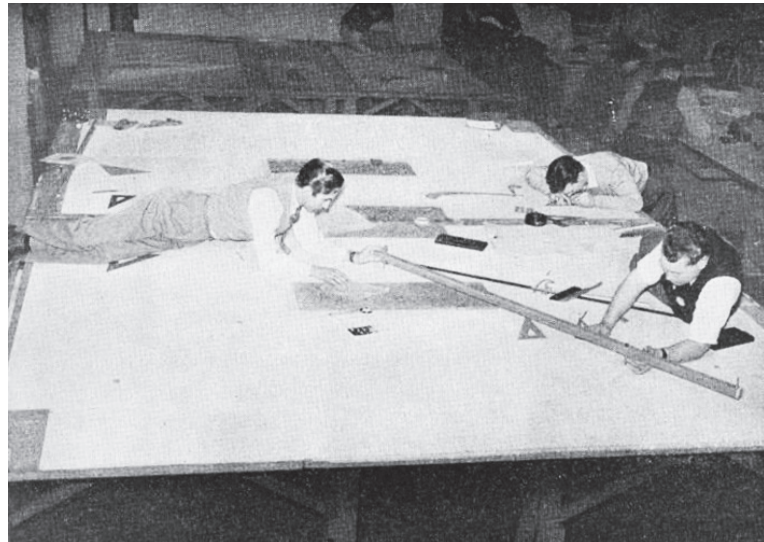


Abbildung 19: Einen Masterlayoutplan für ein Flugzeug zu erstellen war ein großer Aufwand und benötigte viel Personal.

"This early work fell into two categories. On one hand, automotive companies such as Renault and Ford focused on the mathematical definition of complex surfaces while other companies, such as Lockheed California focused on improving drafting productivity."⁴⁴

Beispielsweise begann der Autohersteller General Motors (in Folge: „GM“) Ende der 1950er Jahre in den USA an dem Projekt „DAC“ (Design Augmented by Computers) zu arbeiten. Im Gegensatz zu dem Konzept von Lockheed war DAC schon von Anfang an auf eine dreidimensionale Anwendung ausgerichtet. Als Sutherlands Sketchpad publik wurde, hatte GM mit DAC bereits eine ähnliche Oberfläche entwickelt und konnte um 1964 bereits komplexe dreidimensionale Geometrien konstruieren und darstellen. Um 1970 wurde auch eine kommerzielle Software mit dem Namen „CGS“ (Corporate Graphic System) entwickelt. CGS war allerdings weniger erfolgreich und wurde bereits in den 1990er Jahren von anderen Softwareprogrammen vom Markt verdrängt und findet heute nur noch vereinzelt Verwendung.

Eine der einflussreichsten Entwicklungen für die Entwicklung von CAAD-Software war das Projekt CADAM (Computer-graphics Augmented Design and Manufacturing), welches von dem Flugzeughersteller Lockheed entwickelt und später über IBM bereits in den 1970 Jahren an mehrere Firmen auch in Europa verkauft wurde. Trotz des großen Erfolges Ende der 1980er Jahre wurde CADAM im Jahr 1991 von Lockheed nach finanziellen Schwierigkeiten an Dassault Systèmes verkauft. Für Lockheed war CADAM nicht mehr maßgebend, da ein Großteil der Planungen ohnehin bereits mit der Software „CATIA“ von Dassault Systèmes, einem Unternehmen aus Frankreich, bearbeitet wurde.

Die Entwicklung von „CATIA“ (Computer-Aided Three-Dimensional Interactive Application) geht auf die Arbeiten von Pierre Étienne Bézier (1910-1999) zurück. In den 1960er Jahren beschäftigt sich Bézier als Angestellter des Autoherstellers Renault in Frankreich mit der mathematischen Beschreibung von freien Kurvenlinien. Er entwickelte Formeln mit denen diese geschwungenen Linien anhand von anliegenden Tangenten und wenigen Punkten (auch „Kontrollpunkte“ genannt) interpoliert werden konnten. Die Kurvenlinien werden segmentweise in eine Kette von Polynomen unterteilt, womit die Kurvengeometrie mathematisch angenähert werden kann.

Diese Theorie steckt heute in nahezu jedem CAD-Softwareprogramm, welches diese für die Berechnung von beliebig gekrümmten Linien oder in einer Weiterentwicklung für die Darstellung von Flächen im Raum verwendet. Die Linien werden gängigerweise als „B-Splines“ (Bézierkurven) und die Flächen als „NURBS“ oder auch „Non-Uniform Rational B-Splines“ bezeichnet. Das Wort „Spline“ kommt aus dem Englischen und wird mit *„Kurvenlineal, Schiebekeil oder Fugenbrett“*⁴⁵ ins Deutsche übersetzt. Im Kontext von CAD-Anwendungen nimmt der Begriff einen Bezug zu den Kurvenlinealen, die in der jahrhundertelangen Tradition des Schiffbaus eingesetzt wurden, um dynamisch geschwungene Formen konstruieren zu können. Je nach dem, welchen Ordnungsgrad die verwendete Polynomkette aufweist wird zwischen unterschiedlichen Typen unterschieden. Ein Splinetyp „erster Ordnung“ würde beispielsweise einen Polygonzug mit einer geraden Linienführung zwischen den Kontrollpunkten ergeben und daher als „lineare Spline“ bezeichnet werden. Weiters werden je nach Ordnungstyp auch Namen wie „quadratische, kubische oder auch B-Spline“ vergeben.⁴⁶

Nach dem Kauf von CADAM durch Dassault Systèmes wurden einige Elemente in die Software CATIA eingebunden. In der Kombination der Zeichentechniken von CADAM und der verbesserten 3d-Modellierung von CATIA wurde CATIA zu einem der heute vor allem im Maschinenbau populärsten Softwareprogramme.⁴⁷

Spezialisierung von CAD und die ersten CAAD-Anwendungen

In den 1980er Jahren setzte Frank O. Gehry als einer der ersten Architekten die CAD-Software „CATIA“ in der Architektur ein. Zu diesem Zeitpunkt setzte langsam eine nutzerspezifische Spezialisierung durch einzelne Programmaufsätze ein, wodurch sich eine „zweite Generation“ von CAD-Programmen entwickelte. Bis dahin verwendeten beispielsweise MaschinenbauerInnen und ArchitektInnen dieselben Softwareprogramme.⁴⁸

Aus diesem Vorgang lassen sich zwei Tendenzen ablesen:

Zum Ersten zielen Fertigungsindustrien wie Flugzeughersteller, Automobilhersteller oder auch die Maschinen-, Werkzeug-, Formen-, Modellbauer wie auch Elektronikhersteller verstärkt auf die automatisierte

Herstellung ihrer Produkte mittels NC-Verfahren, wobei die Herstellung komplexer Formen und auch die Simulation und Analyse von dynamischen Prozessen eine große Rolle spielt. An dieser Stelle wird nicht weiter auf die Entstehungsanfänge ähnlicher Softwareprogramme wie Bravo Sketcher, Unigraphics, Solid Edge, SolidWorks, Pro/ENGINEER, Inventor, etc. eingegangen, da hier das Augenmerk auf die Entwicklung von CAAD-Software gerichtet sein soll.

Wie bereits im vorherigen Kapitel erläutert, steht die Abkürzung „CAD“ für „Computer Aided Design“, wobei das zweite „A“ in CAAD für die speziellere Anwendung im Architekturbereich steht.⁴⁹ So setzt sich nun die zweite Richtung tendenziell mit den Bedürfnissen rund um die Planung von Architektur auseinander. Auch Mike Riddle war im Jahr 1982 als einer der zahlreichen Mitbegründer der Firma „Autodesk“, welche heute eines der erfolgreichsten Unternehmen in der CAAD- und auch CAD Branche darstellt, in den Anfängen zeitweise für das Architekturbüro „Frank Lloyd Wright Foundation“ in Arizona tätig. Bei Produkten wie „AutoCAD“ (CAAD-Software von Autodesk) wird der Computer als cleveres Zeichenbrett verstanden, wobei eine dreidimensionale Darstellung von Gebäuden vorläufig sekundär war. Ehemals transparente, übereinander gelegte Papierblätter wurden nun als eine Anzahl von „Layern“ oder auch „Ebenen“ interpretiert, sodass diesen verschiedene Stifte bzw. Linieneigenschaften zugewiesen werden konnten. Zudem waren für ArchitektInnen neben der Erstellung von Plänen auch Werkzeuge für Grundrissflächenberechnungen oder auch integrierte Material- bzw. Zeichnungsbibliotheken für eine bessere Kosten- und Planungsübersicht von Bedeutung.⁵⁰

Dies führte zur Entwicklung der heute weitverbreiteten CAAD-Programme wie beispielsweise Allplan (Nemetschek), ABiS (ABIS Softwareentwicklungs Ges.m.b.H.), AutoCAD (Autodesk), ArchiCAD (Graphisoft), EliteCAD (Roland Messerli AG INFORMATIK), MicroStation (Bentley Systems) oder Revit (Autodesk).⁵¹

Mittels dieser CAAD-Programme konnten Pläne schnell und einfach vervielfacht werden und mit jedem gewünschten Detaillierungsgrad zwischen den unterschiedlichsten an der Planung beteiligten Gewerken ausgetauscht werden. Durch den Einsatz dieser neuen Planungsmethoden wurde an Personal und Zeit gespart. Durch Verwendung von vorgefertigten parametrisierten Objekten wie Wände, Fenster und Treppen konnten Gebäude rasch gezeichnet und durch fertige Bibliotheksobjekte wie Betten, Tische oder Stühle ergänzt werden, wobei etwaige Veränderungen mit einem relativ geringen Arbeitsaufwand verbunden waren. Somit wurde auch eine neue Art des Entwerfens gefördert. Das Arbeiten mit Kopien erleichterte zudem das Erstellen unterschiedlicher Varianten. Dies hat umgekehrt den Auftraggeber zur Tendenz verleitet, vom Planer immer mehr Varianten und Entwurfsversionen je Projekt zu verlangen. Daher ist in manchen Fällen die Zeit- und Arbeitersparnis auf ein gesamtes Projekt gesehen möglicherweise marginal. CAAD-Software wird heute als Standard für die Umsetzung von Architekturkonzepten verwendet und weltweit in nahezu allen Architekturbüros in den Planungsablauf integriert.⁵²

Die Entwicklung von Animationssoftware

Gegen Ende des 20. Jahrhunderts trat die Visualisierung als eine bis dahin sekundäre Komponente von CAD in den Vordergrund und führte zum Aufkommen einer neuen Generation von Softwareprogrammen. Nachdem bereits um 1960 sowohl durch die Arbeiten von insbesondere dem Franzosen Pierre Étienne bei Renault als auch durch jene von Paul de Casteljou bei Citroën eine mathematische Beschreibung beliebiger Freiformobjekte ermöglicht worden war, konnte nunmehr an einer verbesserten Darstellung der Objekte gearbeitet werden. In einem der ersten Schritte wurden die bisher verwendeten Drahtgitterdarstellungen durch Vollkörperdarstellungen ersetzt. Dies konnte mit Hilfe des im Jahr 1974 von Edwin Catmull erfundenen „Z-Buffer“ - Algorithmus umgesetzt werden. Unter Verwendung des sogenannten „Z-Buffers“ konnte die Tiefe im dreidimensionalen Raum berücksichtigt werden, wodurch ermittelt werden konnte, ob Elemente von anderen Objekten verdeckt werden und folglich sichtbar oder unsichtbar zu zeichnen sind. Weiters veröffentlichte Bui-Toung Phong im Jahr 1975 seine Erfindung des „Phong shading“. Ein Jahr darauf präsentierte auch James F. Blinn seine Forschungsergebnisse über das „Reflection / Environment Mapping“. Mithilfe dieser Techniken war bereits eine sehr plastische Darstellung von beliebigen dreidimensionalen Körpern möglich.

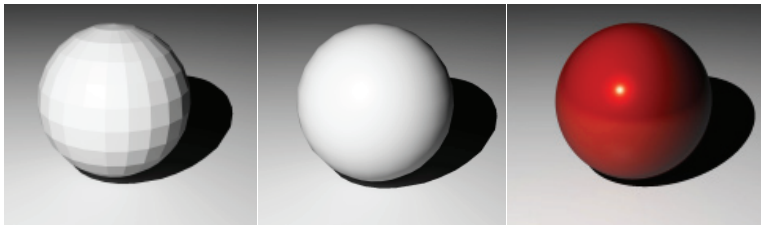


Abbildung 20: Kugelobjekt ohne Phong Shader, mit Phong-Shader und schließlich mit Farbe, Phong-Shader und Reflexionen.

Zunehmend entdeckte die Filmindustrie diese grafischen Errungenschaften für ihr Gebiet und regte über eine starke Wechselbeziehung die Entwicklung voneigenständigen Visualisierungs- und Animationsprogrammen an. Bald wurden einige der heute bedeutendsten Animationsstudios wie Lucas Films (1979), Pixar (1985) oder DreamWorks SKG (1994) gegründet, wobei parallel ab Anfang der 1980er Jahre die ersten digitalen Animationssoftwareprogramme wie Wavefront Advanced (1984, Wavefront Technologies) oder Softimage 3d (1988, Softimage Co.) präsentiert wurden. Die erste kommerzielle Animationssoftware wurde ab dem Jahr 1984 von der Firma „Wavefront Technologies“ vertrieben. „Wavefront Technologies“ fusionierte im Jahr 1995 mit der Firma „Alias“ und brachte mit der Software „Alias Wavefront Maya“ im Jahr 1998 eines der heute erfolgreichsten 3d-Animationspakete auf den damaligen Markt.

Der erste Film, in dem bereits 15 Minuten ausschließlich digital generiert worden waren, wurde von Disney mit dem Titel „TRON“ im Jahr 1982 präsentiert. Der erste komplett animierte Film war „Toy Story“, welcher im

Jahr 1995 nach einer vier Jahre langen Zusammenarbeit zwischen „Pixar“ und „Disney“ hervorging. Für die Weiterentwicklung von „Computer Graphic Software“ (in Folge: „CGS“) waren Animationen wie etwa die Kurzfilme „The Adventures of André and Wally B“ (1984, Pixar) oder „Luxor Jr.“ (1986, Pixar), animierte Szenen aus „The Abyss“ (1989), „Terminator II“ (1991), oder „Jurassic Park“ (1993) sowie Spezialeffekte in Fernsehserien wie „Babylon 5“ (1993-1998) oder „SeaQuest DSV“ (1993-1996) maßgebend. Ab den 1990er Jahren erschienen zahlreiche Animationsprogramme, von denen heute noch einige in weiterentwickelten Versionen erhältlich sind.⁵³

Grundsätzlich sind die meisten dieser Programme heute sehr ähnlich aufgebaut.⁵⁴ Wie allgemein bei CAD-Software im 3d Bereich wird der Hauptarbeitsbereich je nach Wunsch meist aus einem oder mehreren Bearbeitungsfenstern zusammengesetzt, wodurch ein Element meist aus mehreren Blickwinkeln gleichzeitig betrachtet bzw. editiert werden kann. Je nachdem, ob gerade an der Modellierung, der Visualisierung oder der Animation der Objekte gearbeitet wird, stehen vorwiegend ähnliche Werkzeuge zur Verfügung. Für die Modellierung stehen üblicherweise einige einfache Grundobjekte, sogenannte „Primitives“ (z.B.: Würfel, Kugeln, Pyramiden, Zylinder, Ringe, etc.) zur Verfügung, die mittels Grundfunktionen (z.B.: Bool'sche Funktionen) miteinander kombiniert werden können. Bei komplexeren Modellierungsaufgaben gibt es unterschiedlichste Spline- und NURBS-Objekte, die mittels unterschiedlichsten Modifikatoren (z.B.: Extrusionsmodifizier, LoftNURBS, SweepNurbs, LatheNurbs, RailSplineObject) die Erstellung von komplizierten Geometrien ermöglichen. Bei der Visualisierung kann meist auf eine Materialbibliothek und unterschiedlichste Lichtquellen zurückgegriffen werden. Natürlich können auch eigene Materialien mit speziellen Farb-, Reflexions-, Transparenzeigenschaften etc. kreiert werden. Um die Objekte entsprechend zu animieren, können beispielsweise unterschiedlichste Partikelsysteme, Physik Engines, Skriptsprachen und zahlreiche Eingabemöglichkeiten eingesetzt werden.

Von Beginn an lag der Fokus bei der Entwicklung dieser Anwendungen auf Themen wie der einfachen Modellierung von einzelnen Geometrien mitsamt ihren Umgebungen, der photorealistischen Darstellung von Szenen und den Animationstechniken, die jeweils auch physikalische Eigenschaften der Objekte berücksichtigen können, um bei Bedarf eine möglichst wirklichkeitsgetreue Simulation der realen Gegebenheit erreichen zu können. Um komplexere Formen bzw. Bewegungsabläufe nicht manuell mittels Maus und Tastatur modellieren zu müssen, wurde ständig an der Verbesserung der Eingabesysteme gearbeitet. So konnten beispielsweise die Geometrien von Fabelwesen mit der Unterstützung von digitalisierten Handskizzen konstruiert oder durch Abtasten eines physisch realen Vorlagemodells mittels 3d-Laserscannern automatisch generiert werden. Um möglichst reale Gesichtsmimiken oder Körpergesten für die virtuellen Charaktere zu erhalten, wurden Sensorsysteme wie beispielsweise „Motion Tracking“ - bzw. „Motion Capturing“ - Systeme entwickelt, die die Bewegungen von Schauspielern aus Fleisch und Blut digitalisieren können.

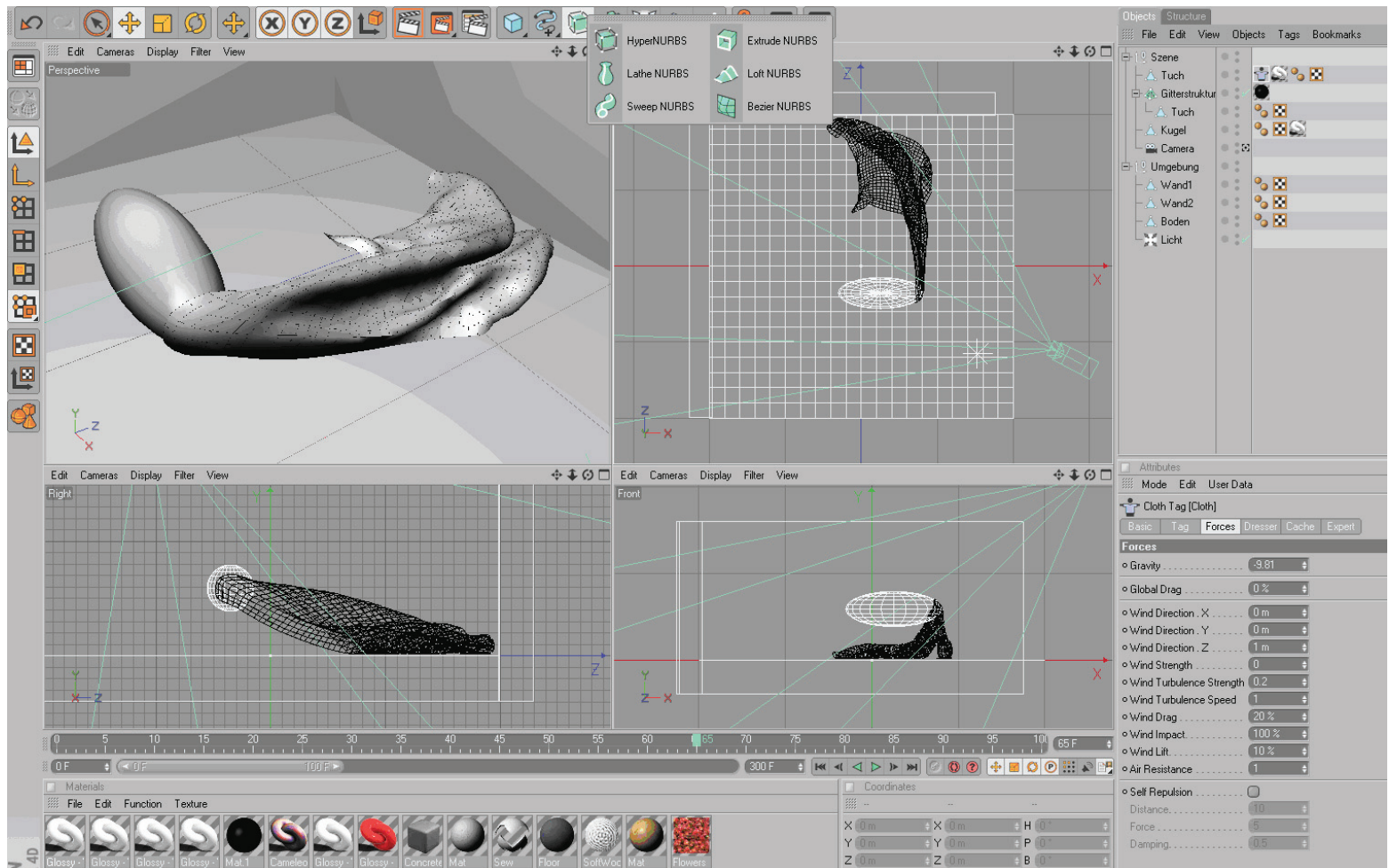


Abbildung 21: Benutzeroberfläche einer Animationssoftware mit vier Bearbeitungsfenstern, Materialien (unten), Modellierungswerkzeugen (oben Mitte), Objektverwaltung (oben Links), etc.

In diesem Zusammenhang wurden auch Gelenkssysteme entwickelt, womit die 3D-Objekte gelenkig untereinander verbunden und damit auch als virtuelle Marionetten ähnlich wie reale Puppen verwendet werden konnten. Bereits im Jahr 1983 entwickelte William T. Reeves im Rahmen des Films „Star Trek - Der Zorn des Kahn“ die ersten „Partikelsysteme“. Diese werden für die gleichzeitige Animation von vielen Objekten verwendet, wobei die einzelnen Elemente zusätzlich untereinander in Abhängigkeiten gesetzt werden können. So können mit diesen Systemen Naturphänomene wie Feuer, Nebel, Rauch, Flüssigkeiten oder auch das intelligente Verhalten von Vogel- oder Fischeschwärmen simuliert werden. Damit Ereignisse wie Kollisionen und deren Folgen ebenfalls mit geringem Aufwand nachgestellt werden konnten, wurden sogenannte „Physik Engines“ entwickelt, um diese Vorgänge nun realitätsnahe simulieren zu können. Somit konnte die virtuelle Umgebungswelt durch Unterstützung der „Physik Engines“ mit Gravitation oder Wind ausgestattet und den Szeneobjekten Masse-, Reibungs-, Elastizitätseigenschaften etc. zugewiesen werden. Um individuelle Objekts- bzw. Geometriezusammenhänge berücksichtigen zu können, wurden einfache Programmiersprachen - „Skriptsprachen“ oder unterschiedliche Vernetzungsplugins - „Node-Systeme“ erfunden.

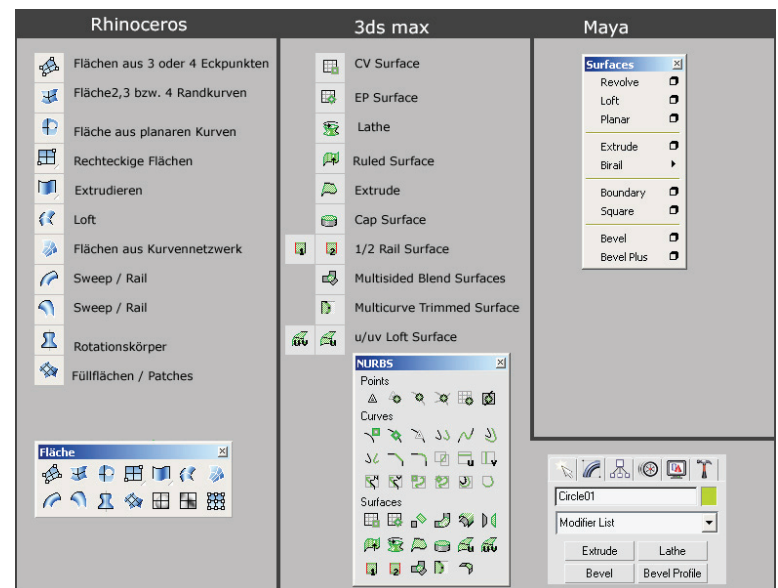


Abbildung 22: Standardwerkzeuge in drei unterschiedlichen Animationsprogrammen für die Modellierung von Grundobjekten.

Mit den genannten Hilfsmitteln konnte auf vordefinierte Eigenschaften von Objekten zugegriffen werden, wobei diese folglich über kleine Algorithmen oder über ein logisches System wie intelligente Knoten, „Nodes“, untereinander verknüpft werden konnten. Damit musste beispielsweise der Fuß eines Radfahrers nicht mehr extra animiert werden, da die Fußobjektsposition in Abhängigkeit zur Position des Fahrradpedals gesetzt werden konnte. Hier sei kurz erwähnt, dass all diese vielschichtigen Entwicklungen auch für die Umsetzung von Computerspielen interessant waren. Aus diesem Grund waren Animationsprogramme schon von Anfang an mit der Computerspielherstellung verknüpft, sodass einige Hersteller etwa auch Konzepte für die Navigation und Echtzeitdarstellung von virtuellen Welten erarbeiteten. Heute gibt es eine nahezu unendliche Anzahl von verschiedenen „Plugin's“, womit diese Programme erweitert werden können. Somit wurde die Animationssoftware zu einem leistungsstarken universellen Experimentierlabor, in dem noch nie dagewesene Situationen simuliert, analysiert und visuell erlebbar gemacht werden konnten.⁶⁶

Auszug einiger Visualisierungs- bzw. Animationsprogramme:

- Autodesk Softimage - Autodesk
1988 Softimage 3d von Softimage, Co
<http://usa.autodesk.com/>
- Blender - NeoGeo
seit 1989
Blender ist eine extrem leistungsfähige Opensource Software
<http://www.blender.org/>
- Electric Image - Electric Image, Inc
<http://www.eitechnologygroup.com/>
- Cinema 4D - Maxon
1991 FastRay
seit 1993 Cinema 4D
seit 2000 70% der Gesellschaftsanteile
von Maxon gehören der Nemetschek AG
<http://www.maxon.net/>
- LightWave 3D - New Tec Inc
1990 LightWave 3d
<http://www.newtek.com/lightwave/>
- Autodesk 3d Studio Max - Autodesk
1990 3d Studio DOS von Antic Software
ab 1996 3d Studio Max
<http://usa.autodesk.com/>
- Autodesk Maya - Autodesk
Ursprünglich 1998 Alias Wavefront Maya,
hervorgegangen aus der Kombination zweier Programme:
1. Wavefront Advanced (1984 von Wavefront Technologies),
2. Alias PowerAnimator (1991, Alias)
<http://usa.autodesk.com/>
- Rhinoceros - McNeel
1993 Skultura von Applied Geometry
seit 1994 Rhinoceros
<http://www.rhino3d.com/>
- Truespace - Microsoft
1986 Anfangs von Octree
später von Caligari
Integriert in Microsoft Virtual Earth
<http://www.caligari.com/>

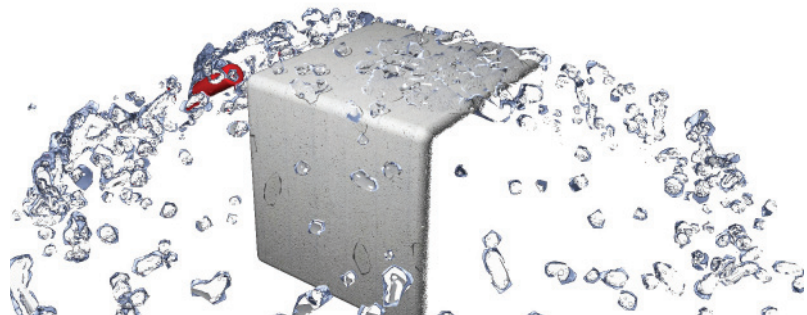


Abbildung 23-24: Animation einer Flüssigkeit, die auf einen Kubus auftrifft und dabei einen Zylinder wegschießt.

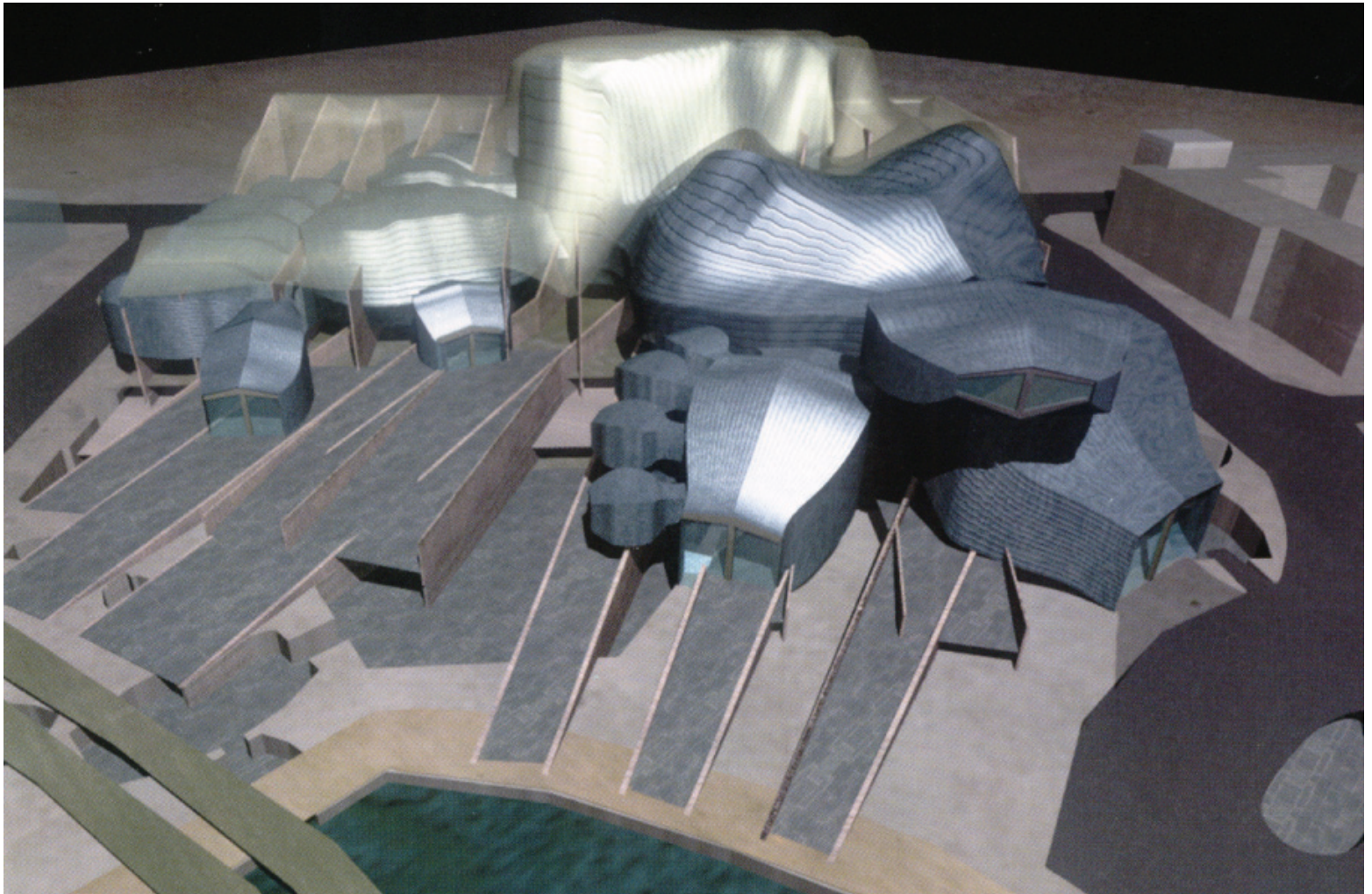


Abbildung 25: Greg Lynn. Modell des Cardiff Bay Opera House aus „Animate Form“ – 1999.

CGS Software und der Einzug in CAAD

Vor allem die rasanten Fortschritte im Grafikbereich führten am Anfang des 21. Jahrhunderts dazu, dass die im vorherigen Abschnitt erwähnten Anwendungen mehr und mehr in den Architekturbereich Einzug nahmen. Einer der ersten Architekten, der mit diesen neuen Techniken experimentiert hatte und damit auch heute noch nach wie vor Formfindung betreibt, war Greg Lynn. Bereits 1999 veröffentlichte er sein Buch "Animate Form", in dem er seine Visionen von bewegten, flüssigen, verdrehten, verzerrten Formen, die mittels Splines und Hyperflächen modelliert werden sollten, beschrieb und einige seiner Projekte vorstellte. Greg Lynn hatte auch wesentlich zur Verbreitung des aus der EDV kommenden Begriffs „Blob“ (Binary Large Objekt) beigetragen, mit dem diese neuen Formen und Objekte heute häufig bezeichnet werden. Weitere Architekten, die sich relativ früh mit diesen Programmen auseinandergesetzt hatten, sind beispielsweise Frank O. Gehry, Ben van Berkel, Rem Koolhaas, Peter Eisenmann, Norman Foster oder Zaha Hadid.

Im Allgemeinen wurden vorerst insbesondere die neuen Visualisierungstechniken in Form von Erweiterungsaufsätzen in CAAD-Programmen adaptiert, da es zunächst tendenziell um die verbesserte Darstellung während der Modellierungsphase von Objekten und danach um die Präsentation von fertigen Projekten ging. So war zum Beispiel die Entwicklungsfirma der Animationssoftware „3d Studio Max“ von Anfang an eng mit dem CAAD-Softwarehersteller „Autodesk“ in Verbindung, da die „Yost Group“ für „Autodesk“ einzelne Grafikanwendungen entwickelte.⁵⁵ Durch die vermehrte Verwendung dieser Werkzeuge begann langsam eine neue Ära in der Architekturvisualisierung. Da in den künstlichen Computerbildern „Renderings“ inzwischen ganze Gebäudekomplexe und einzelne Räume mitsamt ihren Oberflächenmaterialien dargestellt werden konnten, wurden diese Visualisierungen auch zur Überprüfung von Architekturkonzepten verwendet. Weiters konnten Architekten mit diesen neuen Methoden über eine je nach Konzept mehr oder weniger realitätsnahe Projektdarstellung,

in der auch Umgebungsobjekte wie Menschen, Bäume, Autos enthalten sein konnten, ihre Idee somit dem Laien kommunizieren. Die ständig steigende Qualität der „Renderings“ führte zu einem neuen Darstellungsstandard in der Architekturpräsentation.⁵⁶

Neben ihrer Funktion zur Visualisierung nutzten Architekten die Animationssoftware in einem weiteren Schritt als Modellierungsmöglichkeiten zur Konstruktion von „Blobs“. Bei der Modellierung stellt sich nach wie vor oft heraus, dass diese Programme zwar gut für die Erstellung von komplizierten Formen geeignet sind, es ihnen aber häufig an Genauigkeit mangelt und diese Formen nicht einfach bemaßt und direkt in ernstzunehmende Pläne umgesetzt werden können. Hinzu kommt, dass bei der Übergabe der Geometriedaten an Fertigungsmaschinen wie CNC-Fräsen zwar unzählige Austauschformate, auch „Export-Formate“ genannt, unterstützt werden, aufgrund von Ungenauigkeiten oder Konvertierungsfehlern bei der Umwandlung zwischen den Formaten aber fehlerhafte Objektgeometrien

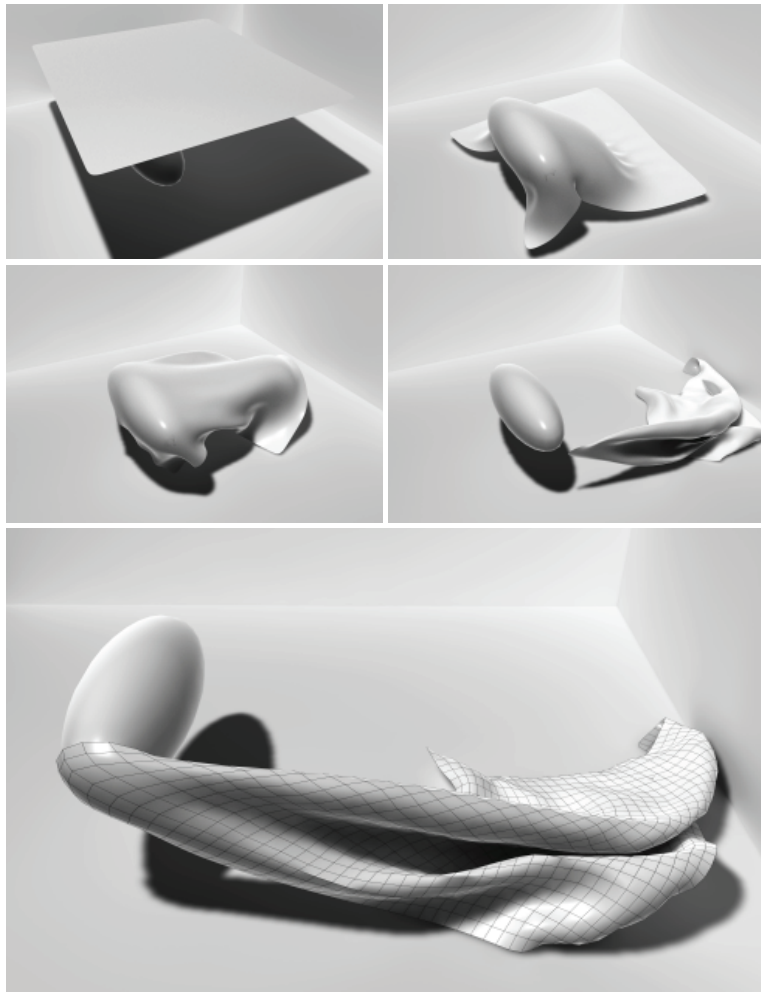


Abbildung 26: So kann die Formfindung mittels der Animationssoftware und ihren unterschiedlichsten Plugins durch Experimentieren mit physikalischen Eigenschaften stattfinden. In diesem Beispiel wurde versucht, eine Form zu generieren, die einem fallendem Tuch unter Windeinfluss entspricht.

entstehen. Nicht zuletzt aus diesen Gründen wird beim Konstruieren von komplizierten Geometrien häufig auf CAD-Softwareprogramme wie „CATIA“ zurückgegriffen, die, da sie aus der Fertigungsbranche kommen, mehr Nähe zur praktischen Herstellung von Formen aufweisen.

Trotzdem zeigen aktuelle Tendenzen, dass Animationsprogramme wie Autodesk 3d Studio, Autodesk Maya, Cinema 4d oder Rhinoceros immer stärker in den Entwurfsprozess eingebunden werden. Wie auch Greg Lynn beispielhaft zeigt, wird in aktuellen Entwürfen der Computer oft als virtuelles Experimentierlabor verstanden und vermehrt als Formenfindungstool genutzt. Hierbei werden alle möglichen Effekte und Erweiterungen ausprobiert und miteinander verknüpft. Dazu sei bemerkt, dass viele dieser „Plugins“ wie beispielsweise Wassersimulationsprogramme in der Regel für die Filmbranche entwickelt wurden, wobei es vorwiegend um das Erzeugen des optischen Eindrucks geht und es keine Rolle spielt, ob sich diese Flüssigkeit nun wirklich wie in etwa Wasser verhält.

Zum Beispiel ist die „Fluid Dynamics Software“ (auch „Flüssigkeiten - Simulations - Programm) von der Firma „Next Limit Technologies“ in zwei Varianten erhältlich. Das Produkt „Real Flow“ wurde für die Filmbranche entwickelt und führt in relativ wenigen Schritten zu einem optisch scheinbar richtigen Verhalten von Flüssigkeiten. Für wissenschaftliche Forschungsarbeiten bietet Next Limit Technologies ein professionelleres Produkt mit dem Namen „XFlow“ an. Dieses Programm wird unter anderem im Flugzeug- bzw. Autobau für Aerodynamikstudien, im Schiffsbau für Wasserströmungsuntersuchungen, in der Medizin im Bereich des Bioengineering zur virtuellen Messung von Blutströmen in Gefäßen oder auch in der Architektur und Bauforschung für Windstrommessungsstudien von unterschiedlichen Gebäudeanordnungen oder auch zur Simulation von Überschwemmungssituationen verwendet.⁵⁷

So gibt es zurzeit, wie bereits erwähnt, eine große Auswahl an Erweiterungen, anhand derer Animationsprogramme zu virtuellen Experimentierlaboren werden und den ArchitektInnen zur Analyse von bestimmten Objektanordnungen sowie zur Konstruktion, Generierung oder Inspiration von neuen Formen dienen. Abschließend sei bemerkt, dass Lynn die eigentliche Revolution nicht in der bewegten Form an sich sieht, sondern in der Verwendung der Infinitesimalrechnung (engl. Calculus), die eine Interpolation zwischen Punkten im Raum in unendlich kleinen Schritten beschreibbar macht und somit fließende Formen und Bewegungen erst ermöglicht. So bemerkt Lynn:

„I initially, in Animate FORM, focused my thinking on the revolution in motion and only later realized that real revolution was in the use of a 300-year-old invention, calculus.“ Aus diesem Grund bezeichnet Lynn diese neuen digitalen Formen als „Calculus Forms“⁵⁸.


```

println("Haven't found yet");
}
} // Ende ARRAY ERZEUGEN FOR SCHLEIFE
return BRIDGE_POINTS_ARRAY;
}

//TZ-Abstand zwischen 2 Punkten berechnen
XYZ_Dist_2_Points_Calc(p1,p2)
{
    var DistPoint_X,DistPoint_Y,DistPoint_Z;

    DistPoint_X=p2.x-p1.x;
    DistPoint_Y=p2.y-p1.y;
    DistPoint_Z=p2.z-p1.z;
    Dist_current_Points=sqrt((DistPoint_X*DistPoint_X)+(DistPoint_Y*DistPoint_Y)+(DistPoint_Z*DistPoint_Z));

    return Dist_current_Points;
}

//MAKE_SPHERE
MAKE_SPHERE (Scale,Name,Position,Parent)
{
    var Sphere;

    if(!doc->FindObject(Name))
    {
        Sphere = new(SphereObject);
        Sphere->SetName(Name);
        Sphere#PRIM_SPHERE_RAD=Scale;
        Sphere->SetPosition(Position);

        doc->InsertObject(Sphere,Parent, null);
    }
    else
    {
        Sphere = doc->FindObject(Name);
        Sphere->SetPosition(Position);
        Sphere#PRIM_SPHERE_RAD=Scale;
    }
    Sphere->Message(MSG_UPDATE);
}

```

Abbildung 27: „Coffee“ Script in Cinema 4d.

Parametergesteuertes Entwerfen mittels Scripting- oder Mashup-Systemen

In aktuellen Architekturdebatten wird rund um das stark präsenste Thema des parametrischen Entwerfens neben der Konstruktion von intelligenten Formen durch den Einsatz von generativen Algorithmen als neues Thema im Entwurfsprozess auch der Umgang mit Komplexität betont.⁵⁹ Da Entwürfe, die in diesem Kontext diskutiert werden, in der Regel in Animationssoftware mittels „Scripting“ und intelligenten „Mashup-“ bzw. „Node-Systemen“ entworfen wurden und auch in der vorliegenden Arbeit der „Brückengenerierungsprozess“ mittels solcher Systeme realisiert wurde, sollen diese Methoden hier kurz näher gebracht werden.

Zur Erstellung von parametergesteuerten Entwürfen oder zur Programmierung von generischen Algorithmen mittels Animationssoftware sind Kenntnisse im sogenannten „Scripten“ notwendig. Mit Hilfe von Scripten kann auf vordefinierte Softwarefunktionen wie Kopieren, Verschieben, Verdrehen, Skalieren, Punkte auswählen, Extrudieren etc. zugegriffen werden, wobei diese Befehle in Befehlsketten organisiert werden können. Dadurch kann die Objektbearbeitung automatisiert und von verschiedenen Faktoren abhängig gemacht werden.⁶⁰ Die Werkzeugbearbeitungsbefehle können ähnlich wie in Programmiersprachen beispielsweise in sogenannten „For“-oder „Do-While“-Schleifen wiederholt werden, bis eine bestimmte Abbruchbedingung erfüllt oder - in anderen Worten gesagt - auf „True“ gesetzt wurde. Weiters können auch Objekteigenschaften wie Radius, Position, Verdrehung, Material etc. abgefragt werden und beispielsweise durch „If-Then-Else Bedingungen“ mit anderen Parametern verknüpft oder über Formeln verändert werden. Ein

```

float $xpos = 1;
float $ypos1 = 1;
int $zpos = 0;
int $Wuerfel = 50;
int $Reihen = 6; //Anzahl der Reihen nebeneinander
int $FARBE = 0;
int $Winkel=0; //Sinus Startwinkel
int $Schichten = 3; //Anzahl der uebereinander liegenden Schichten
$Distanz= 2; //Abstand zwischen den Schichten
int $Abstand= 5;
int $sinus=2; //Amplitude der Sinuskurve

//-----Schichten uebereinander-----
for ($c; $c <=$Schichten; $c++)
{
    $zpos = 0;
    $Abstand= $Abstand + $Distanz;
    $a=1;
    //-----Reihe in die Breite-----
    for ($a; $a <=$Reihen; $a++)
    {
        $zpos=$zpos+3;
        $i=1;
        $xpos = 1;
        $Winkel=0;//Winkel ein/aus
        //-----Wuerfel erzeugen-----
        for ($i; $i <= $Wuerfel; $i++)
        {
            print ("Z-Position: " + $zpos + " \n");
            $xpos = $xpos +1;
            $ypos1=(sin(deg_To_rad($Winkel)))*$sinus + $Abstand;
            // $xpos = $zpos+1;
            $Winkel=$Winkel+15;
            print ($i+"Y-Position: " + $ypos1 + " \n");
            polyCube -w 1 -h 1 -d 1 -sx 1 -sy 1 -sz 1 -ax 0 1 0 -tx 1 -ch 1;
            move -r $xpos $ypos1 $zpos;
        }
    }
}

viewFit -all; //Alle vorhandenen Objekte im Bild anzeigen;
refresh; //Neuzeichnen
}

```

Abbildung 28: „MEL“ Script editiert in Notepad ++.

Script wird in einem Texteditor geschrieben, wobei der Text aus Befehlen besteht und gewissen Grammatikregeln, der sogenannten „Syntax“, unterliegt. Damit ähneln Scriptsprachen den sogenannten modernen „höheren Programmiersprachen“ wie „C++“ oder „Java“. Allerdings bauen Scriptsprachen auf den vorher genannten höheren Programmiersprachen auf, sind bei weitem nicht so umfangreich, nur in starken Grenzen je nach Animationssoftware verwendbar und viel langsamer als die anderen Hochsprachen. Aus Übersichtsgründen verfügen die meisten Texteditoren über eine Text- „Highlighting“- Funktion, womit einzelne Befehle, Zeichen etc. je nach Bedeutung Farben zugewiesen bekommen. Gängige Scriptsprachen sind zum Beispiel „Coffee“ (Maxon Cinema 4d), „Form*Z Script“ (AutoDesSys Form*Z), „Max Script“ (Autodesk 3d Studio Max), „MEL“ (Autodesk Maya) oder „RhinoScript“ (McNeel Rhinoceros).

An dieser Stelle sei erwähnt, dass auch andere CAD-Programme wie etwa „AutoCAD“ mit „LISP“ ebenfalls Scriptsprachen unterstützen.⁶¹ AutoCAD war das erste am Personal Computer verwendete CAD-Programm, das das Aufzeichnen von „Command-Line-Befehlen“ erlaubte und damit eine sequenzielle Organisation von Zeichenoperationen ermöglichte.⁶² Viele Softwarehersteller bieten neben ihren internen Scriptsprachen Plugins für weitere Sprachen an, wobei „Python“ eine der beliebtesten Scriptsprachen ist. Mit Python kann zum Beispiel in „Blender“, „Cinema 4d“, „Autodesk Maya“ und „Rhinoceros“ „gescripted“ werden.⁶³ Scripten werden auch in Form von Plugins als Befehlserweiterungen von Programmen zur Lösung von gängigen Problemstellungen im Internet in zahlreichen Foren privat oder kommerziell angeboten.

Als Alternativen zum „Scripting“ bieten einige Hersteller speziell für DesignerInnen und ArchitektInnen auch „Node-Systeme“ bzw. „Mashup-Tools“⁶⁴ an, die für das Realisieren von parametergesteuerten Formen praktisch keine Programmiergrundkenntnisse voraussetzen. In der Informatik werden diese - in dieser Arbeit als „Node-Systeme“ bezeichneten - Werkzeuge als „Mashup-Tools“ bezeichnet, die das Mixen verschiedener Daten ermöglichen sollen. Diese Systeme stellen eine Menge von unterschiedlichsten Funktionsboxen bereit, die als „Black Boxes“ jeweils Ein- und Ausgänge besitzen und über diese miteinander vernetzt werden können. So können auch Objekte als Eigenschaften/Funktionsbox dargestellt werden, wobei in den einfachsten Fällen etwa die X-Position eines Würfelobjekts mit dem Radius eines Kugelobjekts verbunden werden kann (siehe Abb. 29).

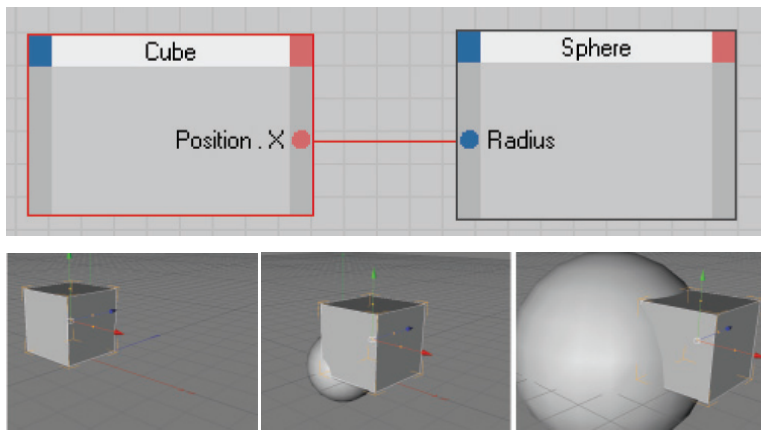


Abbildung 29-30: Die obere Abbildung zeigt „XPRESSO“-Schaltung in Cinema 4d. Hier wurde die X-Position des Würfels mit dem Radius der Kugel verbunden. In der Abbildung darunter erkennt man, dass die Kugel unsichtbar wird, wenn der Würfel sich im negativen Koordinatenbereich bewegt, da es keinen negativen Radius gibt.

In ihrer grafischen Erscheinung orientieren sich die Node-Systeme an der Optik von elektrischen Schaltungen. Da solche „Node-Schaltungen“ bei komplexeren individuellen Aufgaben schnell unübersichtlich werden können, kann ein solcher „Node“ auch ein ganzes Script enthalten, womit eine Kombination zwischen Script- und Node-Systemen möglich wird. Weiters werden Bedienoberflächen unterstützt, über die Eigenschaften und Werte mittels Schieberegler, Textfeldern oder ähnlichen Möglichkeiten eingegeben werden können. Über spezielle Knoten lassen sich auch externe Daten wie Textdateien oder Audiosignale einlesen. Beliebte Node-Systeme sind zum Beispiel „Grasshopper“ in Rhino oder „XPRESSO“ in Cinema 4d.

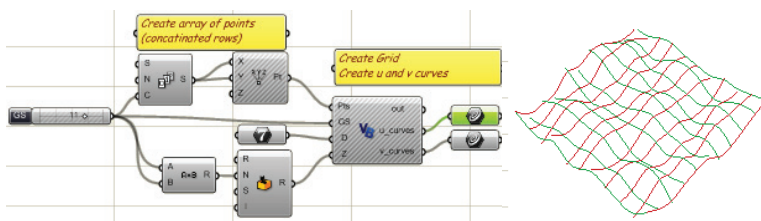


Abbildung 31: „Grasshopper“ – Schaltungen in Rhinoceros.

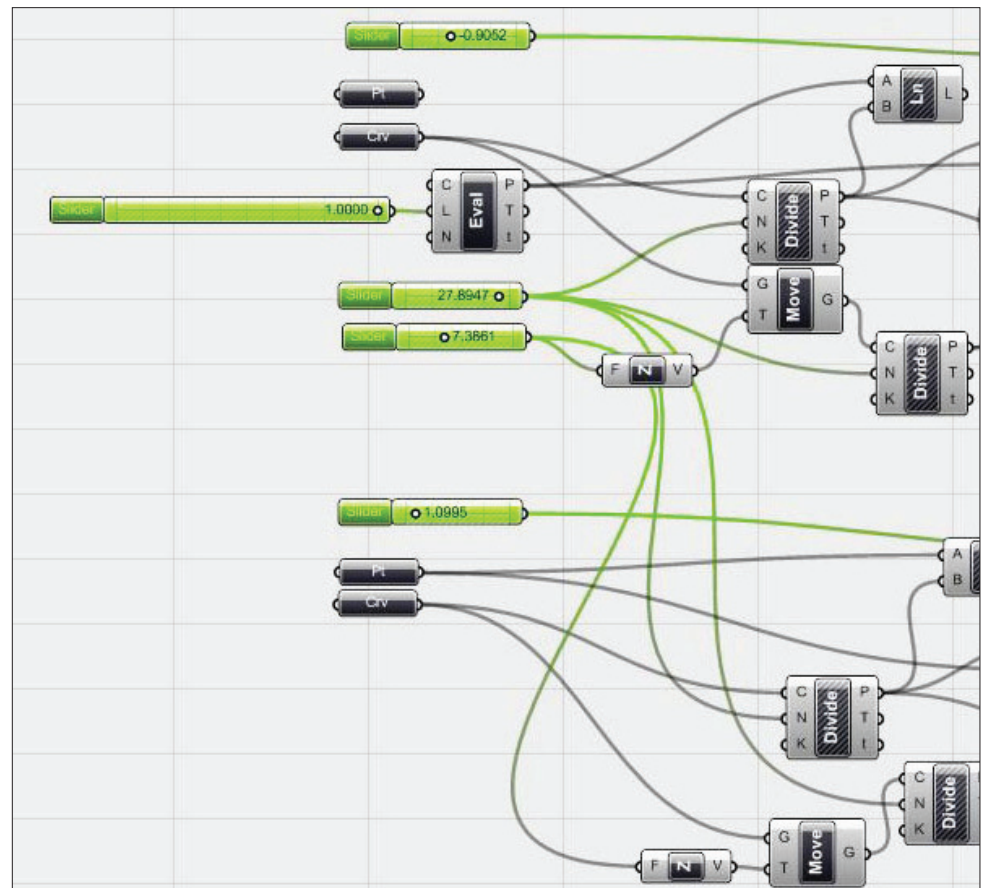


Abbildung 32: „Grasshopper“ – Schaltungen in Rhinoceros. Achtung: kein Objekt der restlichen Abbildung wurde mit dieser Schaltung generiert.

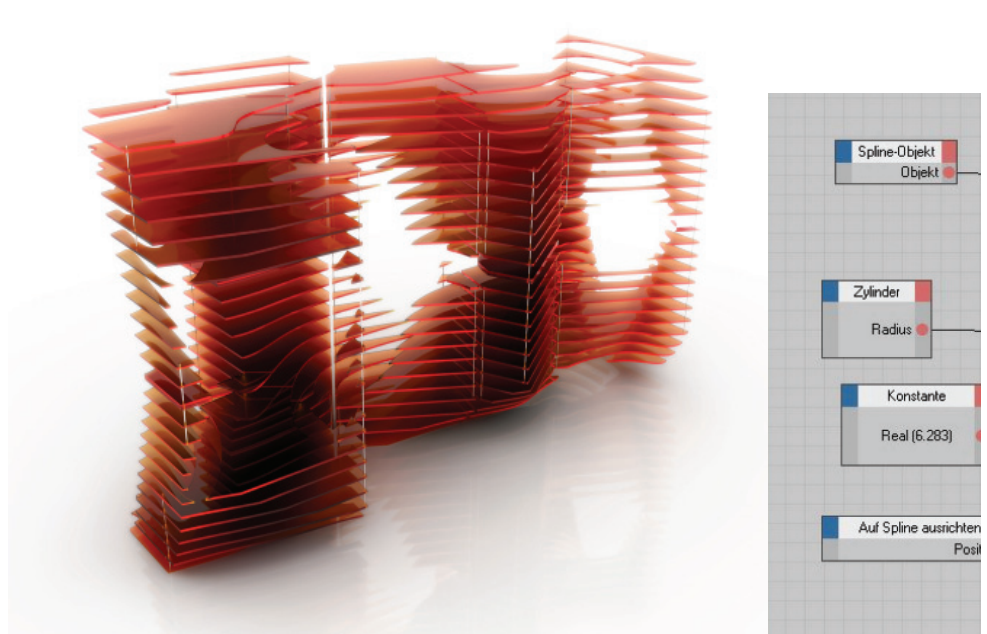


Abbildung 33: Grasshopper - Objekt mit Hilfe von Grasshopper in Rhinoceros.

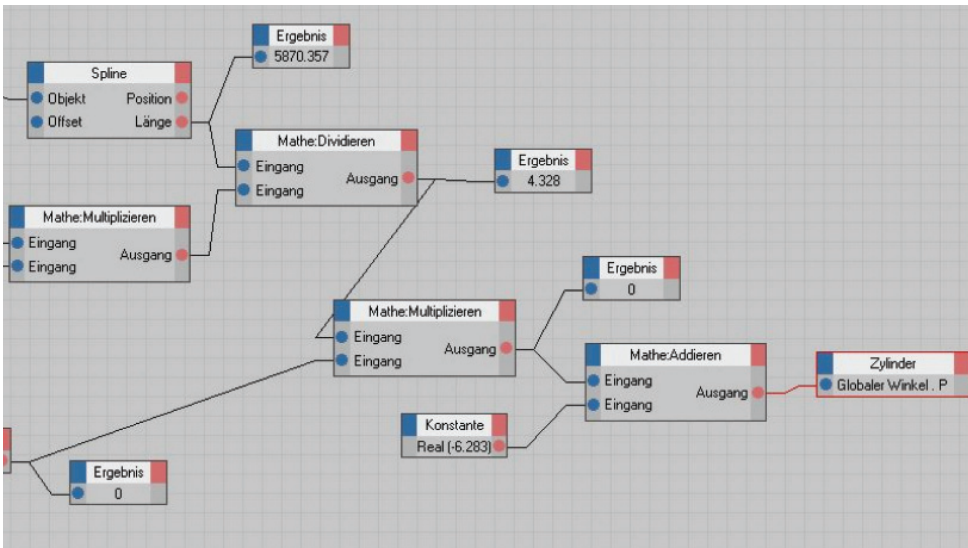
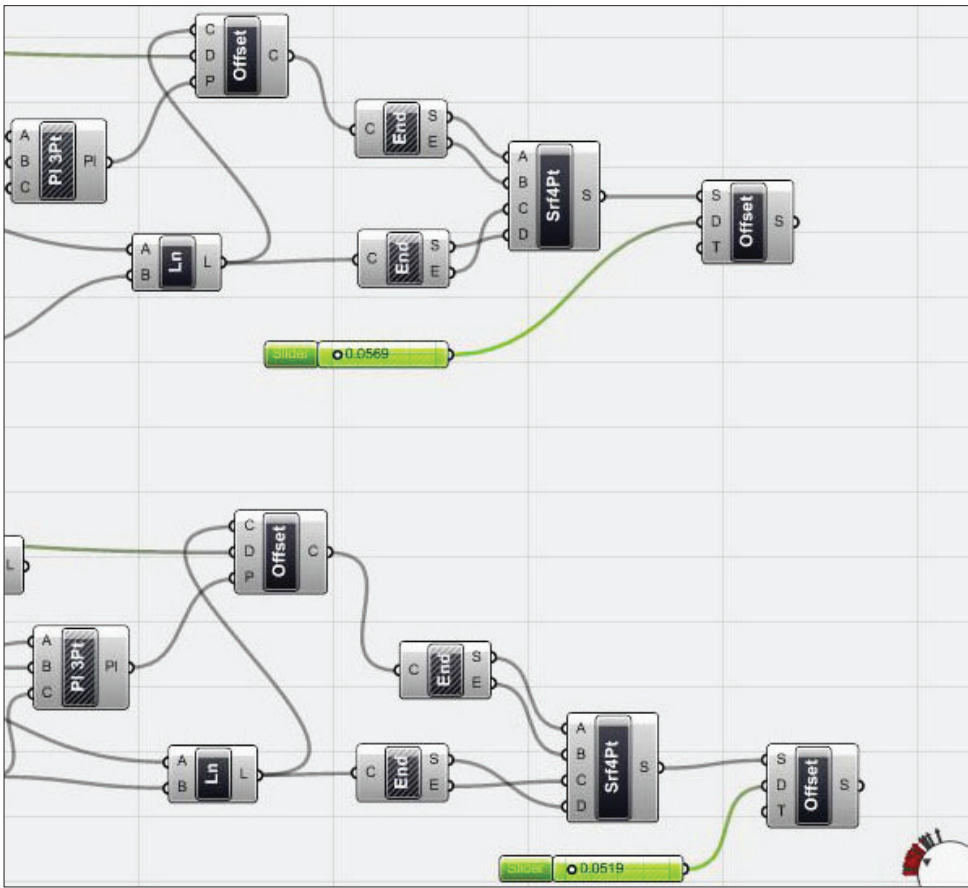


Abbildung 34: "XPresso"-Schaltung in Cinema 4d.

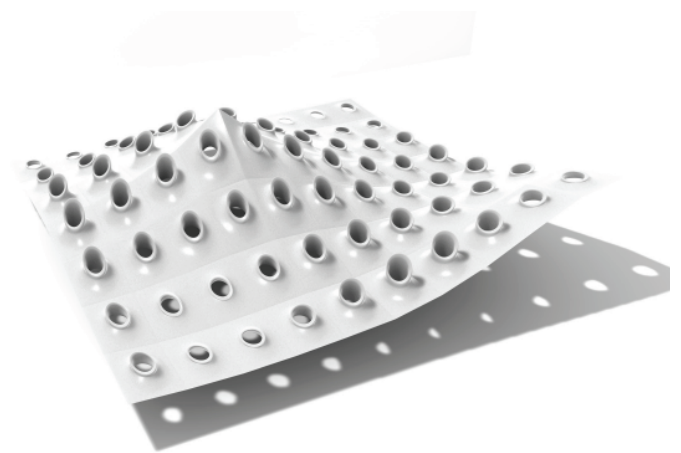
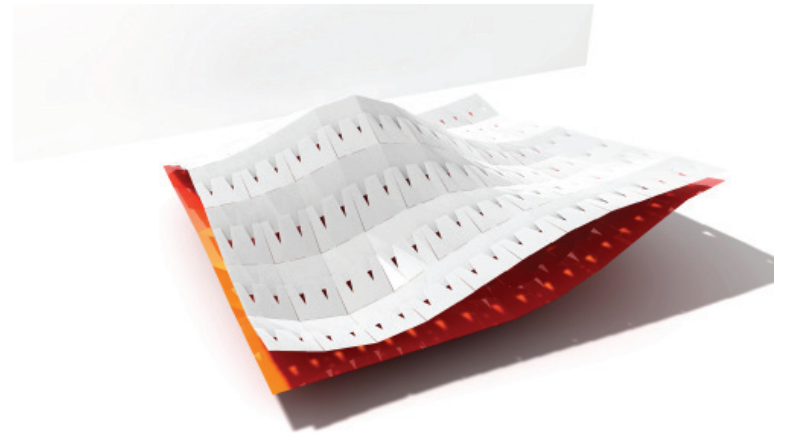
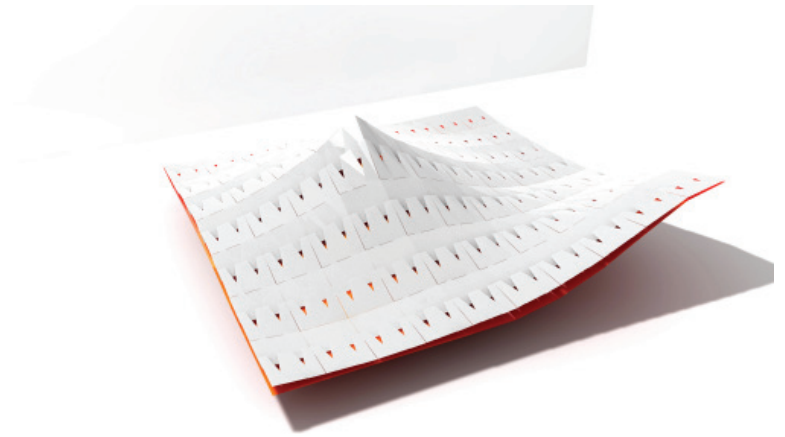


Abbildung 35: Diese drei Objekte sind mittels eines sogenannten Paneling-Werkzeuges generiert worden. Dieses Werkzeug wurde mit Hilfe von „Coffee“ und „XPresso“ in Cinema 4d selbst entworfen. Mit Hilfe dieses Werkzeuges können Objekte (Panele) auf beliebigen Obflächen positioniert und ausgerichtet werden, dabei kann das Panel zusätzlich zwischen zwei Oberflächen verzerrt werden. In Rhinoceros ist das sogenannte Paneling Tool bereits integriert. Die zwei oberesten Bilder zeigen Plattenelemente, die zwischen zwei Ebenen positioniert werden. Das untere Bild zeigt ein dreidimensionales Objekt, das ebenfalls vervielfacht und an die zwei Ebenen angepasst wird.

Aktuelle Tendenzen in CAD

Zusammenfassend kann festgehalten werden, dass bei der Entwicklung von CAD-Programmen versucht wird, eine möglichst geschlossene Kette vom Entwurfsstadium bis zur Ausführungs- und Fertigungsphase zu erreichen. Immer mehr Programme versuchen, ihr Funktionsspektrum zu erweitern und streben eine „All in One Lösung“ in Form einer flexiblen Plattform an. Dies funktioniert in der Regel durch Kooperation mit anderen Herstellern, wobei versucht wird, die unterschiedlichsten Produkte in Form von Plugins in das eigene Programm zu integrieren. Werden CAD-Programme als Werkzeuge verstanden, die einerseits zur bewussten Konstruktion und andererseits auch im Entwurfsprozess zur Formfindung eingesetzt werden,

dann ist in vielen Fällen nicht mehr ganz klar, was nun eine CAD-Software ist und was nicht. So können beispielsweise etwa mit Open Source Software wie „Processing“⁶⁵, einer Java basierten objektorientierten Scriptsprache, welche für den Grafik- und Simulationsbereich entwickelt wurde, oder auch mit Multi-Agentenprogrammiersprachen wie „NetLogo“⁶⁶ generative Prozesse simuliert werden. Die Ergebnisse können dabei zum Beispiel in Form von „Dxf-Dateien“ ausgegeben werden. So versucht man nach Negropontes Erfolgsrezept „Moving bits instead of atoms“⁶⁷ analoge Prozesse weitest möglich zu digitalisieren, wobei über das Schlagwort „File to Factory“ auch der Fertigungsprozess direkt eingebunden und dadurch die Virtualität mit der physischen Realität verknüpft werden soll.

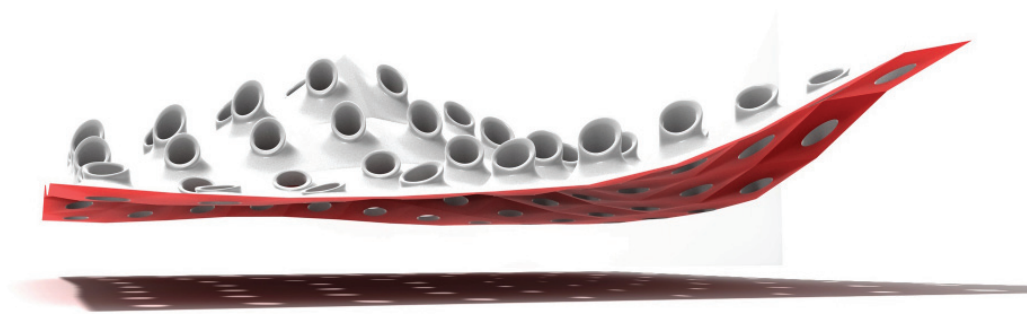


Abbildung 36:
Mittels "Mashup-Tool" und
"Scripting" generierte Form.

44 David E. Weisberg, "The Engineering Design Revolution", e-Book 2008, <http://www.cadhistory.net> (28.02.2010), Abschnitt 2: A Brief Overview of the History of CAD, S.8.
45 <http://dict.leo.org>, Online Wörterbuch (Stand 08.03.2010).
46 Vgl. Oliver Fritz, "CAM of Freeforms in Architecture", Hg. Institut für Raumplanung der Hochschule Liechtenstein, Michael Imhof Verlag GmbH & Co. KG, S.29–30.
47 Vgl. dieses gesamte Kapitel "Der Einfluss der Fertigungsindustrie auf die Entwicklung von CAD-Software" mit David E. Weisberg, The Engineering Design Revolution, e-Book 2008.
48 Vgl. Marco Hemmerling, Anke Tiggemann, "Digitales Entwerfen", 2010 Wilhelm Fink GmbH & Co. Verlags-KG, S.15.
49 Vgl. ebd., S.12–15. a
50 Vgl. ebd., S.14.
51 Eine Liste von einigen CAD-Softwareprogrammen: http://de.wikipedia.org/wiki/Liste_von_CAD-Programmen
http://www.experiencefestival.com/a/List_of_CAD_companies_-_Commercial_CAD_Software/id/1590580
<http://crunkish.com/top-ten-cad-software>
52 Vgl. Marco Hemmerling, Anke Tiggemann, "Digitales Entwerfen", a. a. O., S.15.
53 Vgl. <http://www.dma.ufg.ac.at/app/link/app> (Stand 15.03.2010).
54 Vgl. ebd., ab S.16.
55 Vgl. http://www.maxunderground.com/the_history_of_3d_studio, (Stand 13.03.2010).

56 Vgl. Marco Hemmerling, Anke Tiggemann, "Digitales Entwerfen", a. a. O., S.87-89.
57 Vgl. http://www.nextlimit.com/techno_fluid.php (Stand 15.03.2010).
58 Greg Lynn, Interview mit Ingeborg Rocker, Architectural Design, Ausgabe July/August 2006, S.90.
59 Vgl. GAM06, Grazer Architektur Magazin, Herausgeber Architektur Fakultät Technische Universität Graz 2010.
60 Vgl. Marco Hemmerling, Anke Tiggemann, "Digitales Entwerfen", a. a. O., S.200.
61 <http://usa.autodesk.com/adsk/servlet/item?siteID=123112&id=2309147>, (16.03.2010).
62 Vgl. Malcolm McCullough, Article: 20 Years of Scripted Space, Architectural Design, July/August 2006, EditorHelen Castle, Wiley-Academy, S.13.
63 Vgl. <http://www.py4d.com>, (16.03.2010); <http://usa.autodesk.com/adsk/servlet/index?siteID=123112&id=9469002>, (16.03.2010), <http://blog.rhino3d.com/2010/03/python-scripting-in-rhino-os-x.html>, (16.03.2010), <http://wiki.blender.org/index.php/Doc:Manual/Extensions/Python>, (16.03.2010), <http://blog.rhino3d.com/2010/03/python-scripting-in-rhino-os-x.html>; (16.03.2010.)
64 <http://technologydriven.wordpress.com/2007/02/09/yahoo-pipes-visual-mashup-tool> (Stand 01.04.2010).
65 Siehe Beispiele auf <http://processing.org>, (Stand 17.03.2010).
66 Siehe Beispiele auf <http://ccl.northwestern.edu/netlogo>, (Stand 17.03.2010).
67 Vgl. Nicholas Negroponte, Being digital, Vintage Books a division of Random House, 1995 USA, S.11-20.

Parametrisches Entwerfen – Fragmente der aktuellen Debatte

Parametrismus als der neue Internationale Stil

Im November 2009 schrieb Patrik Schumacher von „Zaha Hadid Architects“ in der Zeitschrift „Arch+“ in seinem Beitrag „PARAMETRISMUS – Der neue Internationale Style“⁶⁸ der aktuellen Avantgarde-Architektur die Fähigkeit zur Bildung eines neuen eigenständigen Stils zu. Nach einer langen Inkubationszeit könne nun nach der „Moderne“ erstmals endlich wieder ein neuer internationaler Stil ausgerufen werden. Dabei betrachtete Schumacher Entwicklungen wie etwa die „Postmoderne“ und den „Dekonstruktivismus“ als unausgereifte Stile, die als bloße Vorboten des nun vollkommenen „Parametrismus“ zu verstehen seien. Doch hätten diese Wegbereiter des neuen Stils wesentlich zur Forschung und Entwicklung der neuen Techniken beigetragen. So schrieb Schumacher dazu u.a. folgendes:

*„Die Verwendung von Animation, Simulation und Formfindungstechniken ebenso wie das parametrische Modellieren und Scripten hat eine neue Architekturrichtung mit radikal neuen Zielen und Werten inspiriert.“*⁶⁹

In den gegenwärtig zahlreich zur Verfügung stehenden digitalen Methoden sieht Schumacher das Pendant zur heutigen heterogenen pluralistischen Gesellschaft, welche durch eine zunehmende Differenzierung eine immer komplexere Dynamik beschreibt. Der Begriff der „kontinuierlichen Differenzierung“, welcher in den 1990er Jahren von Greg Lynn und Jeff Kipnis geprägt wurde, markiert den Zusammenhang zwischen der vermehrt individualisierten Massengesellschaft und dem Umgang mit der steigenden Komplexität mittels digitaler Techniken und soll als Schlüsselbegriff der aktuellen Entwicklung verstanden werden. Bereits im Jahr 2002 betonte Schumacher in dem Text „The Autopoiesis of Architecture“⁷⁰ die Möglichkeit der Schaffung einer neuen automatisierten oder sich selbstgenerierenden Poesie durch digitale Medien, wobei er in Anlehnung an Niklas Luhmanns (1927-1998) allgemeiner Theorie in der fortschreitenden Zerstreuung der Wissenschaften untereinander eine damit verbundene Autonomisierung ausmachte, in der er eine geniale evolutionäre Strategie sah. So schrieb Luhmann: *„Im Kontext dieser Evolutionstheorie und bei entsprechender Anreicherung der Begriffe Selektion und Anpassung gelangt man zu einer Neueinschätzung der (zunächst technischen) Erfindungen interaktionsfreier gesellschaftlicher Kommunikation; und ferner zur Neueinschätzung von Formen gesellschaftlicher Komplexität (zum Beispiel Systemdifferenzierung, die nicht mehr durch Interaktion gefährdet werden können).“*⁷¹

Kurz: Aufgrund der vielen unabhängigen Einzelsysteme besteht eine geringe Gefahr eines Totalversagens des Gesamtsystems. Schumacher pointiert den Unterschied des Reaktionsverhaltens der seines Erachtens nach erfolgreichen Chaossysteme gegenüber jenen der Kausalität in dem Absatz *„Irritation versus Determination“* wie folgt: *„It's the difference between kicking a dog versus kicking a ball.“*⁷²

Zu den aktuellen Schwerpunkten und allgemeinen Tendenzen in der Gegenwartsarchitektur bemerkte Schumacher im Jahr 2002 zudem folgendes:

*„Current experimental work focuses on issues of organizational complexity (layering, interpenetration of domains), the production of diversity (iteration vs. repetition), the spatial recognition of fuzzy social logics (smooth vs. striated space), ways of coping with uncertainty (virtuality vs. actuality), and engagement with new production technologies (file to factory), etc.“*⁷³

Im Umgang mit komplexen Systemen - unterstützt durch neue Techniken wie Scripten und parametrische Modellierung - sieht Schumacher das Potential, Innovationen systematisch mit wissenschaftlichen Methoden anreichern zu können. In diesem Sinn beschrieb Schumacher „Stile“ als Forschungsprogramme, die durch ihre unterschiedlichen Zielvorstellungen und Werte zu unterschiedlichen Praktiken und damit verschiedenen architektonischen Innovationen führen. Bei einem Stilwechsel sei die Aufgabe der Avantgarde-Architektur das Produzieren von Manifesten und paradigmatischen Illustrationen, wodurch das Potential der neuen Strömung demonstriert werden soll, um somit den epistemischen Kern des neuen Stils zu festigen. Hierbei soll das Entwerfen von funktionierenden Gebäuden keine Rolle spielen, denn über die ersten Werke sollen eben vorerst neue Werte und Forschungsziele etabliert werden. In seiner Euphorie stellte Schumacher anhand von städtebaulichen Beispielen in Ahnlehnung an Frei Otto und Le Corbusier (1887-1965) fünf Punkte zur *„Definition einer Heuristik und Zielsetzung“*⁷⁴ des Parametrismus auf. Vorab werden in diesem Text die Verwendung von strengen geometrischen Formen wie Rechtecken, Dreiecken und Kreisen etc., die einfache Wiederholung sowie die Folge von unverbundenen Elementen als Tabus definiert. Im Wesentlichen lassen sich die fünf Punkte auf den mehrfach erwähnten vielschichtigen Umgang mit „Komplexität“ in allen Ebenen reduzieren, woraus laut Schumacher eine Ästhetik - bestimmt durch elegante fluide Formen - resultiert.

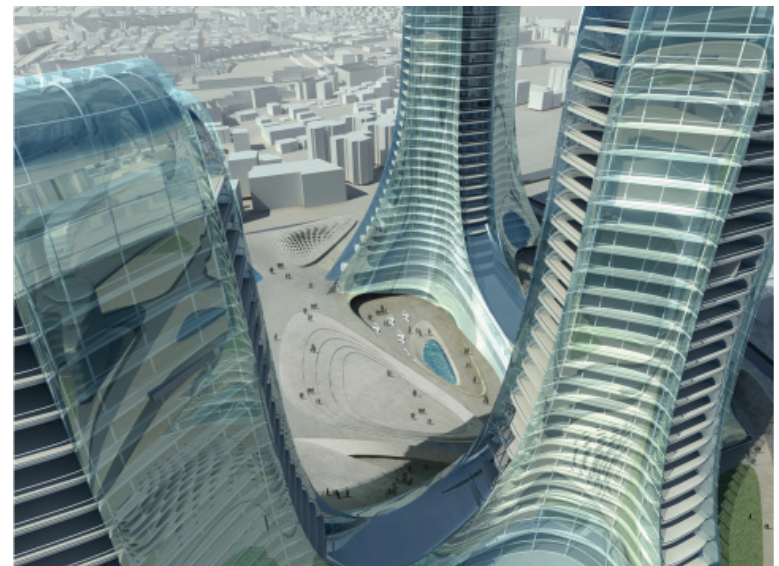


Abbildung 37: Städtebauliches Projekt von Zaha Hadid Architects.

Als Beispiel vergleicht Schumacher diese neuen Formen mehrmals mit der Dynamik von Schwärmen, denen die Grundprinzipien der neuen Ästhetik als immanent scheinen. So sollen beispielsweise Gebäude oder Fassadenelemente wie Fische in einem Schwarm organisiert werden. Meines Erachtens wird in Schumachers Argumentation deutlich, dass die Selbstverständlichkeit der Existenz und Begründung des „Parametrismus“ vor allem über die mehrfache Betonung einer offensichtlichen Verwandtschaft zu natürlichen Systemen zu erreichen versucht wird. Generell lassen sich die mE nur wenig neue Ansätze erkennbaren Ausführungen Schumachers auf die Tradition der Kybernetiker in den 1950er Jahren zurückführen, wobei in diesem Zusammenhang insbesondere die Arbeiten rund um Max Bense oder Joseph C. R. Licklider hervorzuheben sind.

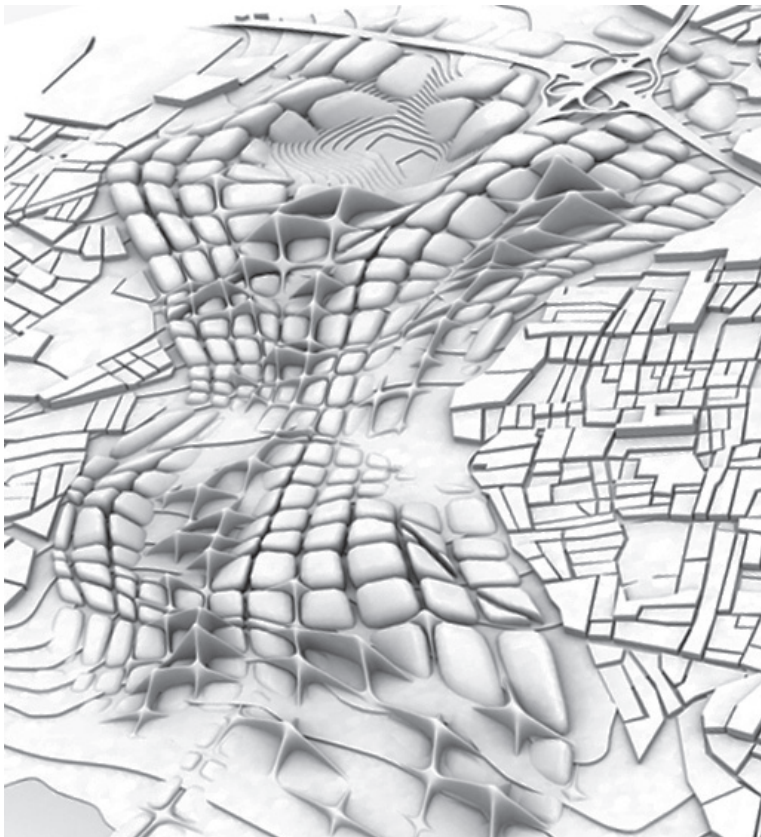


Abbildung 38: Städtebauliches Projekt von Zaha Hadid Architects.

Vitruv und der Parametrismus

Im Gegensatz zu Schumacher versteht Bernard Cache den Parametrismus nicht als Neuerscheinung am Himmel der Architekturgeschichte, sondern begreift das parameterabhängige Modellieren und Beschreiben von Architektur als einen schon seit jeher bekannten integralen Bestandteil des architektonischen Entwerfens. Etwas sarkastisch bemerkt Cache in seinem Artikel „After Parametrics“⁷⁵, dass er den von einigen Architekturschulen bereits als überholt bezeichneten „Parametrismus“ mit Freude zu Grabe

tragen helfen würde, aber er doch sehr verwundert darüber sei, welche Neuerungen denn nun folgen sollten. Versteht man das parametrische Entwerfen als eine Methode zur Formfindung, in der unterschiedlichste Eigenschaften aus dem Entwurfskontext abstrahiert und in Form von Geometrie bestimmenden Parametern untereinander verknüpft werden, dann finden sich laut den Ausführungen von Cache bereits in der ersten Architekturbeschreibung um 30 v. Chr. Hinweise auf diese Praxis, woraus sich eine mindestens etwa 2040 Jahre lange Tradition für diese Technik ergibt. So stellt sich Cache in seinem Text gegen Anfang folgende Fragen:

„Wann hat jemand zuerst begonnen, die verschiedenen Bestandteile eines Gebäudes durch Zahlenverhältnisse zu bestimmen? Wann wurden Architektur und Mechanik miteinander verknüpft? Und seit wann haben wir Maschinen verwendet, um diese Verhältnisse mittels komplexer Funktionen zu berechnen?“⁷⁶

Dabei demonstriert Cache beispielhaft anhand der von Marcus Vitruvius Pollio um 30 v. Chr. verfassten „De Architectura libri decem“, wie der Parametrismus in Rom bereits zu Cäsars Zeiten bei der Erstellung von Gebäuden und Kriegsmaschinen exerziert wurde. So stehen bei der Auswahl des geeigneten Entwurfsortes und der Ausrichtung des Gebäudes bis zu den Entscheidungshilfen für die richtige Material- oder Säulenwahl eine Vielzahl von Methoden und Regeln zur Verfügung, die für das Entwerfen einer einwandfreien Architektur zur Anwendung kommen sollten. Zur Herleitung von bestimmten Zahlenverhältnissen werden als Ausgangspunkt einzelne „Module“ definiert. Als Beispiel schreibt Cache:

„Im Tempel wird dieses Modul der Durchmesser oder der untere Umfang der Säule sein, abhängig davon, ob man die ionische, korinthische oder dorische Säulenordnung verwendet. D.h., die Größe dieses Moduls ist im Wesentlichen das Ergebnis der Teilung der Fassadenbreite, die sich wiederum aus der Ordnung, der Anzahl der Teilungen und des Rhythmus, die zur Anwendung kommen, generiert.“⁷⁷

Eine weitere interessante Beobachtung macht Cache bezüglich der offensichtlichen Distanz zur kulturellen bzw. funktionalen Bedeutung von Gebäuden, die Vitruv in seinen Ausführungen einnimmt. So könne man bei Vitruv als jemanden, der zwei Bücher über den Tempelbau geschrieben hat, praktisch nichts über Gebäudefunktionen oder Abläufe wie Opferrituale, Prozessionen etc. erfahren. Vitruv hätte obendrein mit spöttischen Anmerkungen über Religion nicht gegeizt, wie Cache mit folgendem Beispiel darlegt: *„Man sollte daher die Tempel der heilenden Götter an gesunden Orten errichten, empfiehlt der Architekt ironisch. Wenn sich dann die Gesundheit der Kranken verbesserte, sobald sie diese Orte aufsuchten, könnte man die Heilung immer auf Aesculap und seine Brüder zurückführen.“⁷⁸*

Mit diesen Erläuterungen relativiert Cache mE Schumachers Ansage, den Parametrismus als neuen Stil etablieren zu wollen, indem er darlegt, dass eine parametrische Konzeptionierung bereits seit Jahrtausenden integraler Bestandteil des architektonischen Entwerfens sei.

Das neue Ornament - Wendepunkt in der Architektur

„Parametrismus“ als Stil oder Nichtstil - laut Jörg H. Gleiter indiziert die aktuell aufflammende Diskussion über das „neue Ornament“ einen Wendepunkt in der Architektur. So behauptet Gleiter in Anlehnung an Gérard Raulet und Burghart Schmidt, dass das Ornament keine autonome gestalterische Praxis sei, sondern über dessen „diskursiv-architektonische Funktion“ in Kontext zum dynamischen „allgemein-kulturellen Kräftefeld“ steht. Nach Gleiter *„ist das Wiederaufleben des Ornaments in der zeitgenössischen Architektur heute, am Übergang vom mechanischen zum digitalen Zeitalter, weniger erstaunlich als dies oft suggeriert wird; es ist Zeichen eines tief greifenden Wandels der Architektur“*⁷⁹.

Dementsprechend unterliegt das Ornament dem Wandel und Schwerpunkten der jeweiligen Zeit und ist hingegen der weit verbreiteten Ansicht im letzten Jahrhundert nicht überwunden worden, sondern war stets in unterschiedlichsten Formen äußerst präsent. Als Beispiele und zentrale Themen nennt Gleiter das „strukturelle Ornament“ in Verbindung mit den Debatten des „Strukturalismus“ Mitte des Jahrhunderts sowie das „ironisch-allegorische Ornament“, hervorgerufen durch die Zeichenhaftigkeit des Poststrukturalismus in der Postmoderne um die 1970er Jahre und das „performativ-kritische Ornament“ gegen Ende des 20. Jahrhunderts. So erlebte etwa das „strukturelle Ornament“ zu Beginn der Entwicklung des Computers ihre Blütezeit, wobei man hierzu Arbeiten wie die Computergrafiken Frieder Nakes oder Georg Nees' (siehe Abb. 12-15) oder Konstruktionen wie die geodätischen Dome von Buckminster Fuller oder das Waisenhaus in Amsterdam von Aldo van Eyck diesem Typus zuordnen kann. Was ist nun als Ornament zu verstehen und worin liegen die Unterschiede der vorhergehenden Ornamente zum „neuen Ornament“? Dazu führt Gleiter als grundlegende Eigenschaft den „doppelten Verweis“ eines Ornaments ein, der einerseits auf anthropologische Bedeutungen und andererseits auf die konstruktive Gemachtheit – die Umstände des Werdens – eines Objekts hinweist und damit einen Zusammenhang zur jeweiligen Zeit herstellt. Je nach Epoche schwanken die jeweiligen Betonungen. So liegt der Schwerpunkt des „klassischen“ Ornaments auf der Betonung der anthropologischen Komponente, indem das Artefakt über das Ornament auf die zusätzliche Präsenz von etwas Abwesendem deutet. *„Nach Sempers Bekleidungslehre verweisen Ornamente unmittelbar darauf, dass die Wand ihren Ursprung in textilen Wandbehängen besitzt.“*⁸⁰

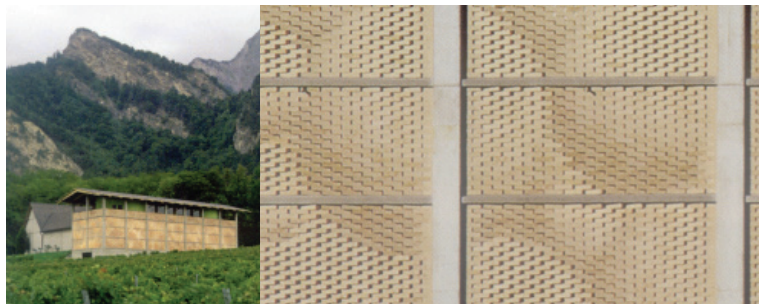


Abbildung 39: Die Mauern des Weingutes Gantenbein wurden mittels Industrieroboter aufgebaut.

Im Gegensatz dazu pendelt laut Gleiter im maschinellen Zeitalter die Betonung mehr in Richtung einer Gemachtheit und den Verfahrenscharakter einer Konstruktion.

Als bekanntes Beispiel nennt Gleiter Otto Wagners (1841-1918) Fassade der Postsparkasse in Wien. Die dort verwendeten Aluminiumanker verweisen auf den Herstellungsprozess. Die Anker dienten zur Positionierung der Fassadenplatten und wurden erst nach dem Aushärten des Mörtels überflüssig. An dieser Stelle sollen weitere Differenzierungen und komplexe Theorien, wie sie Adolf Loos (1870-1933) in seinem Text *„Ornament und Verbrechen“* oder Michael Müller in seinem Buch *„Die Verdrängung des Ornaments – Zum Verhältnis von Architektur und Lebenspraxis“*⁸¹ entwickelt haben, zwar erwähnt, aber nicht weiter behandelt werden. Zwar verschiebt sich laut Gleiter mit den neuen digitalen Technologien, der Mass Customization und der Scripting-Software der Fokus des „neuen Ornaments“ in Richtung der konstruktiven Seite, doch kommt es aufgrund des starken Bezugs zum digitalen Entstehungsprozess zu keiner Neuauflage des analogen Maschinenornaments.

Nach diesen Kriterien bewertet Gleiter die Fassade des Weingutes Gantenbein (siehe Abbildung 39) als „Muster“ und nicht als „Ornament“, was nichts über die Qualität des Projektes aussagen soll. Der Bildeffekt der Fassade weise, wenn dies überhaupt in der klassischen Tradition des Ornaments zu sehen sei, durch die vielschichtigen Effekte keine Beziehung zu den digitalen Techniken, die sie erzeugt haben, auf. Die mittels Roboterarm aufgebaute Ziegelmauer ist zwar innovativ und komplex organisiert, könnte aber dennoch von Menschenhand gefertigt sein. Als Beispiel für ein „neues Ornament“ nennt Gleiter den Entwurf des Bahnhofs von Florenz von Arata Isozaki (siehe Abb. 47-49). Die baumartig verzweigte fließende Gestalt des Tragwerks deutet auf den computerbasierten Entstehungsprozess hin, der mittels eines Algorithmus die optimale Form für eine durch die angreifenden Kräfte verursachte gleichmäßige Spannungsverteilung errechnet hat. Demgemäß liegen die Bedingungen für das neue Ornament *„in der interaktiven Verknüpfung zwischen Design- und Konstruktionsverfahren.“*⁸²

Bemerkung:

Hiermit sei bemerkt, dass Michael Müller eine sehr ausführliche und interessante Analyse des Ornaments darbietet. Insbesondere analysiert Müller Abhandlungen und Texte von Autoren wie Walter Benjamin (1892-1940), Ernst Bloch (1885-1977), Theodor Adorno (1903-1969), Max Horkheimer (1895-1973) und Siegfried Kracauer (1889-1966). So betont beispielsweise Bloch in Bezug auf die Gründerzeit die Abwaschbarkeit der neuen Architektur und die Angst vor Utopien, Kracauer das Ornament der Masse, das sich in der Dynamik, Bewegung, Choreografie und Organisation der neuen urbanen Kultur widerspiegelt oder Benjamin den Verlust der Aura und die Wertminderung des Originals im Zeitalter der technischen Reproduzierbarkeit von Produkten. In seiner Theorie weist Müller darauf hin, dass selbst bei Loos nie wirklich eine Abwesenheit des Ornaments feststellbar ist. Nach der scheinbaren Verbannung und Brandmarkung des Ornaments als Spiegel niedriger sexueller Triebe findet sich das Ornament in den von Loos verwendeten Materialien wieder. Jörg H. Gleiter verweist in dem hier behandelten Text darauf, dass der Cipollinmarmor, den Loos üppig in Innenräumen einsetzt, in seiner Texturierung auf den prähistorischen Entstehungsprozess hinweist.

File to Factory, Mass Customization und Nonstandard Architecture

"Hier ist Geld, warum bauen sie das nicht?". Mit dieser Frage versuchten die Autoren gegen Ende ihres Textes mit dem Titel „Computeranimismus“ im Jahr 1995 auf einen ihres Erachtens wunden Punkt der digitalen Avantgardearchitektur hinzuweisen. Damit waren beispielweise Projekte von Frank O. Gehry oder Greg Lynn gemeint, die die Autoren unter den Computer-Utopismus der Neuzigerjahre einordneten. So lautete das Resümee in dem genannten Text wie folgt: „Diese Projekte sind ... überaus provozierend, aber mindestens ein Teil der fragilen Gefährdung dieser Architektur liegt in ihrem eigenen Wunsch, wie gebaut zu wirken, und auch dies gehört zum Ethos des Computers“⁸³.

Dementsprechend fokussiert etwa 15 Jahre später in der aktuellen Diskussion ein Teil der Fragestellungen auf die neuen digitalen Fertigungstechnologien und der effektiven Herstellung von komplexen Objekten und den damit verbundenen Chancen und Wegen, die sich daraus für zukünftige Architektur ergeben könnten. Unter dem Slogan „File to Factory“ versucht man nun, die gesamte Kette des Architekturproduktionsprozesses - parallel zur Ideen- bzw. Konzeptfindung mittels CAD-Software an dem einen Ende - bis hin zur vollständig automatisierten baulichen Umsetzung durch CAM-Systeme an dem anderen Ende, zu erweitern. Dabei wird auf Fertigungstechnologien wie Industrieroboter oder CNC-Fräsen zurückgegriffen, die im Gegensatz zum Menschen eine große Menge an Daten kontrollieren und präzise verarbeiten können und bei mehrmaliger Wiederholung der Arbeitsschritte am Endprodukt keine Qualitätsschwankungen erzeugen, da sie keinen Gemütsänderungen oder ähnlichem unterliegen. Wenn gewünscht, können diese Schwankungen gezielt maschinell über eine parametrisierte Modellierung produziert werden, wodurch an jeder neuen Objektkopie bewusst Adaptionen bzw. Individualisierungen vorgenommen werden können. Dadurch kann eine Vielzahl von Varianten hergestellt werden, wobei allerdings keine einzige eine „Ausnahme“ darstellt, denn sie alle folgen demselben Algorithmus.⁸⁴

Unter dem Schlagwort „Mass Customization“ (zu Deutsch „Massenindividualisierung“) wird versucht, über mehr oder weniger stark modifizierte Reproduktionen eines Objekts auf die Vorlieben der Kunden einzugehen und damit schlussendlich „Unikate“ anzufertigen. Der Begriff „Mass Customization“ steht als Oxymoron einerseits für die industrielle Massenproduktion (mass) und andererseits für die individuelle Anpassung (customization)⁸⁵.

„Die Mass Customization grenzt sich von der Variantenfertigung ab, kann jedoch in Baukastensystemen organisiert sein, ...“⁸⁶

So kann man heute über den Einsatz von parametrisierten Objekten und digitalen Steuerungen etwa individuelle Hemden, Hosen, Schuhe, Kinderwagen, Sportwagen und auch Einfamilienhäuser über das Internet konfigurieren bzw. herstellen lassen⁸⁷. Zu letzterem Beispiel sei bemerkt, dass eines der wesentlichen Merkmale von Architektur die Komplexität eines Gebäudes darstellt, weshalb sich in diesem

Fall die Konfigurationsmöglichkeiten stark auf die Gestaltung von Oberflächenmerkmalen oder das Hinzufügen von Accessoires beschränken. Um diese Produkte kostengünstig produzieren zu können, stecken Hersteller viel Geld in die Entwicklung und Einrichtung von neuen Fertigungssystemen. In diesem Kontext traut man diesen industrialisierten Fertigungstechniken zunehmend die „Standardisierung“ von „Nonstandard“ Produkten zu, was schlussendlich zur vermehrten Verbreitung von Unikaten führen sollte und damit zur sogenannten Massenindividualisierung beitragen würde. Hier warnt Fabian Scheurer von der Firma „Design to Production“ davor, Etiketten wie „Mass Customization“ oder „Nonstandard“ nicht einfach nur als „Buzz Words“ zu verwenden, sondern verlangt, um eine ernsthafte Diskussion zu ermöglichen, diese Begriffe jeweils sauber in ihrem Kontext zu definieren.

„Bezieht sich beispielsweise das „Nonstandard“ auf die Form des Gebäudes oder auf die Form und den Herstellungsprozess einzelner Komponenten?“⁸⁸

Weiters zweifelt Scheurer auch an dem Zauberwort „File to Factory“ und weist darauf hin, dass es sich vom Modellbaumaßstab nicht einfach zur 1:1 Produktion hochskalieren lässt. ArchitektInnen würden zwar immer häufiger Laserschneider und 3d-Drucker im Modellbau einsetzen, womit relativ einfach komplexe dreidimensionale Volumina hergestellt werden können, doch verleite dies zum Vergessen, dass bei einer 1:1 Umsetzung eine Maschine beispielweise Monate an der Fertigung von Teilen arbeiten und dabei verschiedenste Detailprobleme auftreten würden, deren Lösung Expertenwissen verlange. Im Realisierungsprozess müsse eine hohe Verantwortung übernommen und Entscheidungen gefällt werden, die nur sehr begrenzt an CAD/CAM-Software delegiert werden könne. „Eine

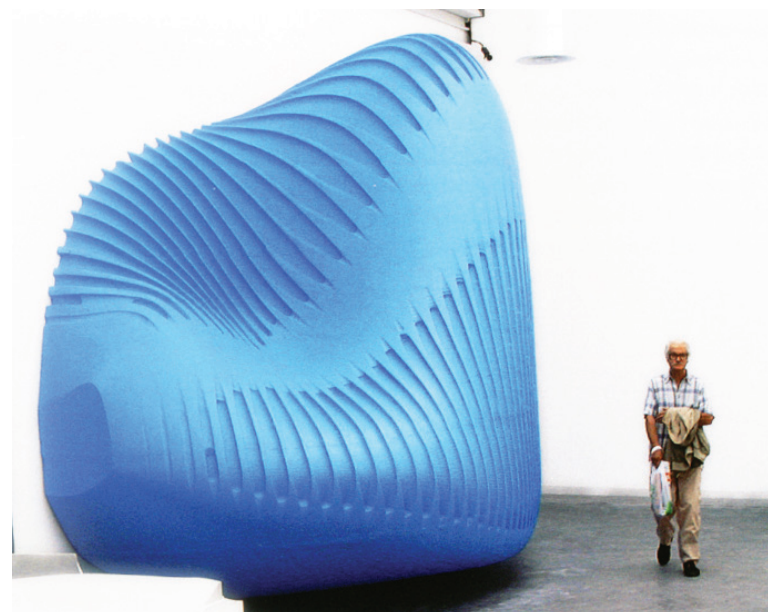


Abbildung 40: Greg Lynn. Nonstandard - Houses on Demand. Die Embriological Houses können je nach Bedürfnissen der Nutzer am Computer generiert werden und maschinell gefertigt werden.

5-Achs-Fräse kann denselben Punkt im Raum aus beliebig vielen Richtungen anfahren und irgendwer muss dann entscheiden, welche davon am besten geeignet ist, um ein optimales Ergebnis zu erzielen. Wenn man dann noch mit einem anisotropen Material wie Holz zu tun hat, das sich nicht in allen drei Dimensionen homogen verhält, weil es eine bestimmte Faserrichtung hat, dann ist plötzlich eine ganze Menge Spezialwissen gefragt⁸⁹. Das größte Potential für die digitale Architekturproduktion und die Entwerfer sieht Scheurer in der Entwicklung von parametrisierbaren Regelsystemen, die an allen Stellen eines Gebäudes funktionieren, da seiner Ansicht nach kein Computer diese Abstraktionsleistung schaffen könne.

Da generische Fertigungsmaschinen wie Industrieroboter nicht für eine bestimmte Tätigkeit spezialisiert sind und durch verschiedenste Aufsätze universell eingesetzt werden können, sind genaue Handlungsanweisungen und auch Kenntnisse über die Arbeitsweise der Maschinen notwendig. Dadurch tut sich ein weiteres Feld für die Architektur in der Entwicklung neuer Konstruktionen und Bauteile auf. Durch die bewusste Nutzung spezifischer Eigenschaften einzelner Fertigungsmaschinen ergibt sich die Möglichkeit, die Gestaltung von Fertigungsprozessen neu zu überdenken und diese Auseinandersetzung zum Teil der architektonischen Entwurfsplanung zu machen.

Beispiele für aus der Auseinandersetzung mit dem Fertigungsprozess resultierende innovative Lösungen bringen die Autoren des Textes „Digitales Handwerk“ in Projekten wie dem „Weingut Gantenbein“ und „Die sequenzielle Wand“ näher. In diesen Projekten wurden Ziegelwände mittels eines Industrieroboters aufgebaut. So stellt die individuelle Rotation und Position einzelner Ziegelsteine für den Roboter einen geringen Aufwand im Vergleich zu jenem für den Menschen dar, wohingegen andererseits für die maschinelle Fertigung für den Zusammenhalt der Ziegel ein Kleber gewählt werden musste, da das gleichmäßige und vollflächige Auftragen von Mörtel, die dabei exakte waagrechte Positionierung des Ziegelsteins in dem Mörtelbett und das Abstreifen des überschüssigen Materials für den Roboter im Vergleich zum Menschen einen unvermeidbaren Aufwand bedeuten würde.⁹⁰

Neben der Entwicklung neuer Konstruktionen, die aus der Auseinandersetzung mit dem Fertigungsprozess resultieren, können dem Bauteil durch die präzise Bearbeitungsgenauigkeit und die Handhabung großer Datenmengen zusätzliche Qualitäten und eine noch nie dagewesene Detaillierung zugeschrieben werden. „Anstatt Bauteile gemäß dem industriellen Paradigma in funktional getrennten Schichten aufzubauen, ermöglicht das digitale Handwerk, durch Informierung einfacher Materialien leistungsfähige und homogene Bauteile zu erstellen.“⁹¹

„Digitale Materialität“ beschränkt sich nicht auf physische Materialeigenschaften oder Gesetze wie der Gravitation, sondern wurzelt in der digitalen Welt und bedient sich daher der Regeln der Virtualität. Somit kann ein physischer Bauteil mit virtuellen Eigenschaften versehen werden, wobei dieser beispielsweise über die Repräsentation von organisierter



Abbildung 41: Die ETH Zürich kann mittels ihres Industrieroboters Ziegelwände voll automatisiert aufbauen lassen.

Komplexität um verschiedenste Informationsebenen erweitert werden. Demzufolge können Materialien durch „Informierung“ unterschiedlichste Wahrnehmungsebenen affizieren.

Dies bedeutet, dass durch den intelligenten Einsatz der neuen digitalen Fertigungsmethoden durch eine bewusste Planung bzw. Kontrolle des Fertigungsprozesses und der digitalen „Informierung“ von Bauteilen Materialien, die bereits seit Jahrtausenden bekannt sind, in neuen Formen und Einsatzgebieten erscheinen können.⁹²

Algorithmische Architektur - Der Architekt als ProgrammiererIn

Der Begriff „Algorithmus“ geht auf den Namen des arabischen Mathematikers „Al-Khwarizmi“ zurück. Ein „Algorithmus“ ist eine Prozedur, um Probleme über eine festgelegte Anzahl von Schritten lösen zu können, wobei logische Operationen verwendet werden.⁹³ Diese Operationen sind in Programmiersprachen als „Befehle“ in einem strengen Regelwerk organisiert. Dieses Regelwerk wird als „Code“ bzw. „Kode“ in Form von sogenannten „Quelltexten“ dargestellt und unterliegt einer Syntax - ähnlich der Grammatik einer Sprache. Der Begriff „Code“ geht auf das lateinische Wort „Codex“ zurück, welches die hölzernen Tafeln bezeichnet, auf denen die Römer ihre Prinzipien und Regeln für das römische Imperium schriftlich festgehalten haben. In diesem Sinn wird auch das Regelkonstrukt, welches die Information über die Rahmenbedingungen für die Ausführungen eines „Algorithmus“ definiert, als „Code“ bezeichnet. Ingeborg Rocker bemerkt in diesem Zusammenhang, dass Architektur schon immer in allen Planungsebenen einem strengen Regelwerk unterlag und damit seit jeher „kodiert“ war. Architektur könne nicht „nichtkodiert“ sein.⁹⁴ „Architecture is always already coded.“ Weiters bemerkt Claus Dreyer, dass durch den „Code-Begriff“ eine seit den 1960er Jahren zunehmende Problematisierung des überkommenen „Stil-Begriffes“ stattfände und diese Entwicklung noch nicht abgeschlossen sei.⁹⁵

Ein wichtiger Punkt in der Diskussion rund um parametrische bzw. algorithmische Architektur ist die Transformation des Entwurfansatzes vom „*architecture programming*“ zu „*programming architecture*“⁹⁶. In diesem Kontext bemerkt Antoine Picon:

*„Im Unterschied zu den traditionellen Werkzeugen des Architekten schlagen Grafikprogramme dem Nutzer implizit bestimmte Arten von geometrischen Lösungen vor. Um zu verhindern, dass man an ein System von Regeln gebunden wird, die der Architekturpraxis fremd sind, wird es unerlässlich, der Maschine und der Software selbst gewisse Regeln vorzugeben.“*⁹⁷

So kann Architektur mit Hilfe neuer Techniken wie dem Scripten nun beispielsweise geschrieben bzw. programmiert oder auch generiert werden, womit der/die ArchitektIn vom reinen „Softwareanwender“ zumindest teilweise zum „Entwickler“ wird. Über die Verwendung von veränderlichen Parametern oder etwa dem Einsatz von generischen Algorithmen liegt der Fokus nun auf einer dynamischen Gestaltung des Entwurfsprozesses. Der/Die Architektin besitzt die Möglichkeit, über den Einsatz digitaler Informationstechnologien sein Entwurfswerkzeug selbst weiter zu entwickeln und den Entwurfsprozess zu kodieren, womit der/die ArchitektIn zum/zur „Architektur-ProgrammiererIn“ wird. Im Gegensatz dazu sei bemerkt, dass in der Informatik bei der Entwicklung von Software vom „Entwerfen“ von Programmen bzw. in diesem Kontext auch von „Softwarearchitekturen“ gesprochen wird, sodass der/die InformatikerIn zum/zur „Software-ArchitektIn“ wird.

Um jedoch den Entwurfsprozess über digitale Codierung individualisieren bzw. dynamisieren zu können, muss sich der Architekt bzw. Designer

digitalen Regeln unterwerfen. Denn für die digitale Übersetzung analoger Problemstellungen ist trotz der immer benutzfreundlicheren Bedienungsoberflächen nach einem Verständnis der Logik auch eine Kenntnis der Sprache des Entwurfmediums nötig. In der Informatik versucht man seit längerem unter dem Schlagwort „*End-User-Programming*“⁹⁸ es Nutzern von Software zu ermöglichen, diese zu erweitern, anzupassen oder selbst eigene Programme zu erstellen.

Derzeit wird unter anderem versucht, Software oder Softwarebauteile als Services anzubieten. In einer sogenannten Service-orientierten sollen Endbenutzer dann intuitiv ohne tiefgreifende Programmierkenntnisse Anwendungen an ihre individuellen Ansprüche anpassen, Software erweitern oder Programme selbst erstellen können. Die in dieser Arbeit bereits erwähnten „*Mashup-Tools*“⁹⁹ stellen Werkzeuge für diese Art der Softwareentwicklung dar. Wie schon vorangehend in der vorliegenden Arbeit (Seiten 31-33) erwähnt, sollen solche Werkzeuge dem Anwender ohne große Kenntnisse der Scripting- bzw. Programmiersprachen die Gestaltung von individuellen Softwarelösungen über die Vernetzung von fertigen Funktionsboxen ermöglichen. Allerdings befindet sich diese Entwicklung derzeit noch in einer frühen Phase und die meisten „Mashup-Tools“ können gegenwärtig nur von EndbenutzerInnen mit zumindest geringer programmatischer Kenntnis eingesetzt werden. Neue Ansätze erlauben den EndbenutzerInnen selbst Anforderungen zu dokumentieren, die die Grundlage für die Entwicklung von an die Wünsche der Benutzer angepasster Software darstellen.

Ein Beispiel für einen derartigen Ansatz ist das „*iRequire*“¹⁰⁰ Werkzeug, welches eine benutzerfreundliche Softwareoberfläche und Struktur bereitstellt, mit der ein individuelles Problem geordnet, erfasst, kategorisiert und via Internet einer breiten Gemeinschaft zur Bearbeitung zur Verfügung gestellt werden kann. Ziel von „iRequire“ ist es, Endbenutzern zukünftig zu ermöglichen, einen Entwicklungswunsch in allgemein verständlicher Form über eine Plattform im Internet einer breiten Masse zugänglich machen. Die Rückmeldung auf so einen Wunsch könnte eine fertige Softwarelösung sein oder Lösungsangebote, Vorschläge und Hinweise in einer forumähnlichen Plattform. „iRequire“ zielt derzeit darauf ab, Softwareanwendungen zur Lösung alltäglicher Probleme, die zum Beispiel im Verkehr oder beim Shopping auftreten, zu entwickeln, doch lasse sich diese Art von Problemerkennung nach Ansicht der Entwickler auch auf architektonische Problemstellungen anwenden.

Meines Erachtens ist ein spannender Punkt an „iRequire“ eine möglichst klar verständliche Erfassung und Differenzierung des Problems. Denn über eine klare Darstellung der Problemstellung kann eine möglichst direkte Zuordnung zu bereits fertigen „Design Patterns“ oder Themengebieten erfolgen, wodurch das Problem beispielsweise in Zukunft mit einem „Mashup-Tool“ schnell und einfach gelöst werden könnte. So könnte der/die ArchitektIn oder DesignerIn mit marginaler programmatischer Kenntnis und geringem Bezug zu Softwareentwicklung zukünftig individuelle parametrische Systeme entwickeln, die seinen/ihren Bedürfnissen entsprechen.¹⁰¹

Partizipation, Interaktivität – Künstliche Kreativität, generische Algorithmen

Zudem erreicht mit der Transformation analoger Gegebenheiten in digitale Codes die Verwissenschaftlichung der Architektur - deren Anfangsphase in dieser Arbeit bereits im Abschnitt „Visionen und Entwicklungen als Voraussetzung für CAD“ mit der Forschung rund um Max Bense beschrieben wurde - einen neuen Höhepunkt. Mit systematischen Problemlösungsstrategien werden analoge Vorgänge, Eigenschaften etc. in digitale logische Muster und Parameter abstrahiert. So sind zum Beispiel die im „Parametrismus“ verwendeten mathematisch beschreibbaren Parameter die digitalen Äquivalente analoger Eigenschaften, welche in der Regel durch Zahlenwerte ausgedrückt werden. Die in den 1970er Jahren entwickelten systematischen Entwurfsmethoden und Strategien, die für eine rationale Herangehensweise im architektonischen Entwurf entwickelt wurden, dienen als direkter Ausgangspunkt für aktuelle Ansätze.

Neben der zunehmenden Einbindung der maschinellen Fertigung in den Entwurfsprozess zeichnen sich aktuell zwei weitere Argumentationstendenzen in der digitalen Avantgardearchitektur ab, die jeweils eine starke Verwurzelung in Arbeiten der 1970er Jahre aufweisen. Zum Einen wird der Begriff der „Partizipation“ - gepaart mit dem Begriff der „Interaktivität“ - zu einem wichtigen Argument in der digitalen parametrischen Architektur und zum Anderen wird unter dem Schlagwort der „künstlichen Kreativität“ Formfindung über die Nachahmung natürlicher selbstorganisierender Systeme betrieben.

Der Begriff der „Partizipation“ wurde besonders in den 1970er Jahren geprägt und soll über die Verwissenschaftlichung, die Erläuterung und eine strukturierte symbolische Darstellung von Architekturelementen einem Laientum die Mitsprache am architektonischen Entwurfsprozess ermöglichen. Hierbei sei im Besonderen auf die „Pattern Language“



Abbildung 42: Der „Functionmixer“ von der Architektengruppe MVRDV. Es können 12 Parameter berücksichtigt werden.

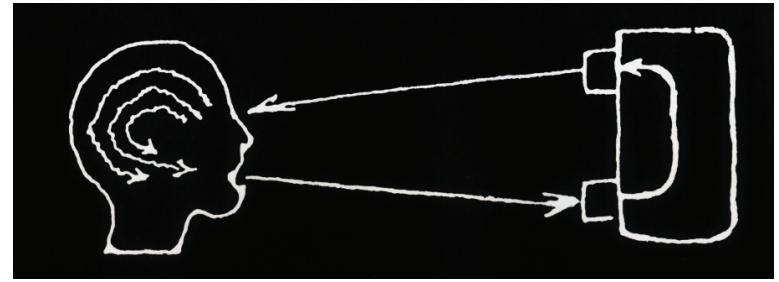


Abbildung 43: Grafik zur Interaktivität aus Negropontes "The Architecture Machine".

Christopher Alexanders und die Arbeits- bzw. Entwurfslehrebücher von Jürgen Joedicke oder Ernst Neuferts (1900-1986) hingewiesen, die mit ihren Schematisierungs-, Kategorisierungs-, Analysemethoden und Diagrammen die Ausübung der Architektur als Wissenschaft förderten. So wird heute beim Entwerfen von Algorithmen auf fertige Problemlösungsmuster zurückgegriffen, die in der Informatik in Anlehnung an Christopher Alexanders „Pattern Language“ als „Design Patterns“ bezeichnet werden und ähnliche Strukturen aufweisen.¹⁰² Die Idee der „Partizipation“ wird in parametrischen Entwürfen aufgegriffen, wo einem breiten Benutzerkreis Zugang zum Entwurfsprozess verschafft werden kann. Als Reaktion auf den neuen Umgang mit digitaler Komplexität mittels parametrischen Modellen nennt Michael Meredith eine Grundeigenschaft des parametrischen Designs: „...parametric design typically reduces the number of formal variables, but maximizes their variability through transformational affects which are engendered via quantity.“¹⁰³

Somit können unterschiedlichste Nutzer über eine Softwareplattform untereinander und mit dem parametrischen Entwurfsmodell in Interaktion treten und durch Veränderung dieser reduzierten ausgewählten Parameter somit Varianten und Kombinationen des Entwurfs erzeugen. So werden in manchen Entwürfen einige Parameter dem/der zukünftigen NutzerIn bereitgestellt, wobei dieser beispielsweise über Internet Veränderungen vornehmen kann. Darüber können etwa WohnungskäuferInnen ihre Wünsche äußern, indem sie bereitgestellte Elemente beliebig kombinieren können und Parameter wie Farben, Materialien etc. auswählen und dadurch den Entwurfsprozess wesentlich mitbestimmen. Der/Die ArchitektIn stellt also eine Plattform zur Verfügung und übernimmt im Entwurfsprozess die Rolle eines Moderators/einer Moderatorin, wodurch er/sie einen Teil seiner Autorenschaft abgibt. Als Beispiel solcher Entwurfsansätze werden hier der „Functionmixer“ von MVRDV und ein Projekt von KAISERSROT angeführt.

Der „Functionmixer“ ist eine eigens entwickelte Software, die einen offenen Prozess widerspiegelt und ermöglicht. Mit dieser Software können unterschiedliche Funktionen wie beispielsweise Büros, leichte Industrie und Wohnen räumlich organisiert werden, wobei jeweils verschiedenste Eigenschaften und Bedürfnisse in Form von Parametern vergeben werden. Der „Functionmixer“ versucht eine optimale städtebauliche Anordnung zu organisieren, indem 12 Kriterien wie Akustik, Dichte, Lichteinfall, Flexibilität, Kriminalität etc. berücksichtigt werden.¹⁰⁴

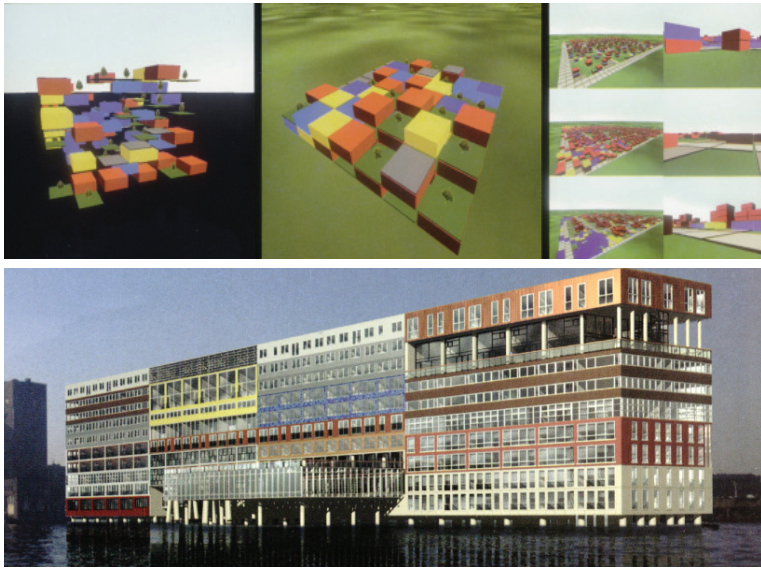


Abbildung 44: Mittels des „Funktionmixer“ lassen sich unterschiedliche Variationen von städtebaulichen Raumorganisationen generieren. Das Projekt „Wohnsilo“ in Amsterdam wurde von MVRDV mittels „Funktionmixer“ organisiert und wie abgebildet in die bauliche Realität umgesetzt.

Ein weiteres Beispiel für ein parametergesteuertes Entwurfsmodell ist das Projekt „Build your own Neighbourhood“ der Gruppe KAISERSROT. Mit einer eigens entwickelten Software lassen sich Siedlungsstrukturen planen, wobei die Wünsche der zukünftigen BewohnerInnen in die Planung einfließen können und daraus je nach Bedürfnissen eine optimale Aufteilung der Grundstücke, Zufahrtsstraßen etc. berechnet wird. So können zukünftige BewohnerInnen „ihre Wünsche bezüglich Größe der Parzelle, Typologie und Ausstattung der Häuser sowie gewünschte Nähe zum Wald, Wasser, Bushaltestelle oder Lieblingsnachbarn angeben.“ Laut Oliver Fritz könne man sich die Häuser wie in einem Schwarm organisiert vorstellen, wobei diese sich je nach Eigenschaften wie Magneten in einem

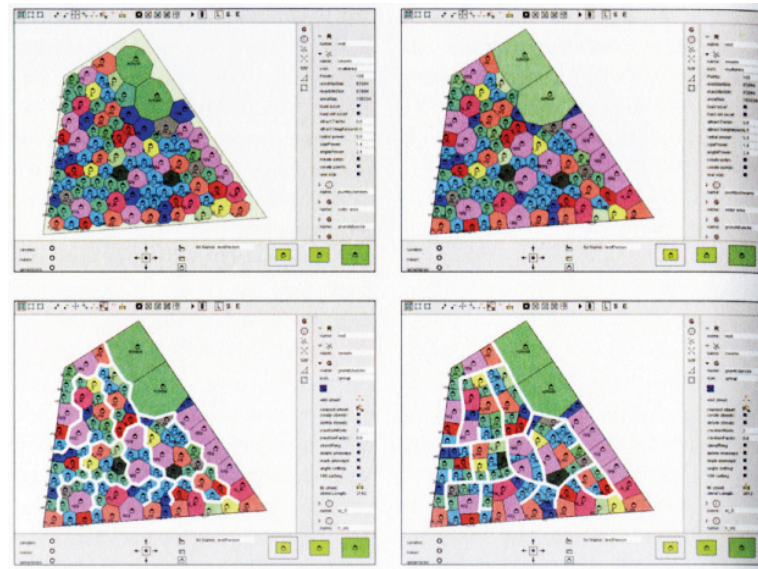


Abbildung 46: Hier werden die vier im Text bereits beschriebenen Entwicklungsschritte von der Aufteilung der Grundstücke bis zur Begradigung der Straßen dargestellt.

Kräftefeld untereinander mehr oder weniger anziehen oder abstoßen oder zu städtebaulichen Anziehungspunkten hingezogen werden. Kommt ein neues Haus hinzu, wird das System wieder neu ausbalanciert. In einem ersten Schritt werden die Häuser auf dem gesamten Areal aufgeteilt und optimal platziert. Danach erfolgt eine Aufteilung des Areals in polygonale Grundstücke. In weiterer Folge wird ein ideales Straßensystem für die Erschließung berechnet. Zuletzt werden die Straßenzüge begradigt und die Grundstückszuschneite nachkorrigiert. Nach der erfolgreichen Ausstellung dieses Projekts im Niederländischen Architektur Institut wurde die Software für die Planung einer neuen 10 Hektar großen Siedlung im Stadtteil „Schuytgraaf von Arnheim (NL)“ eingesetzt.¹⁰⁵

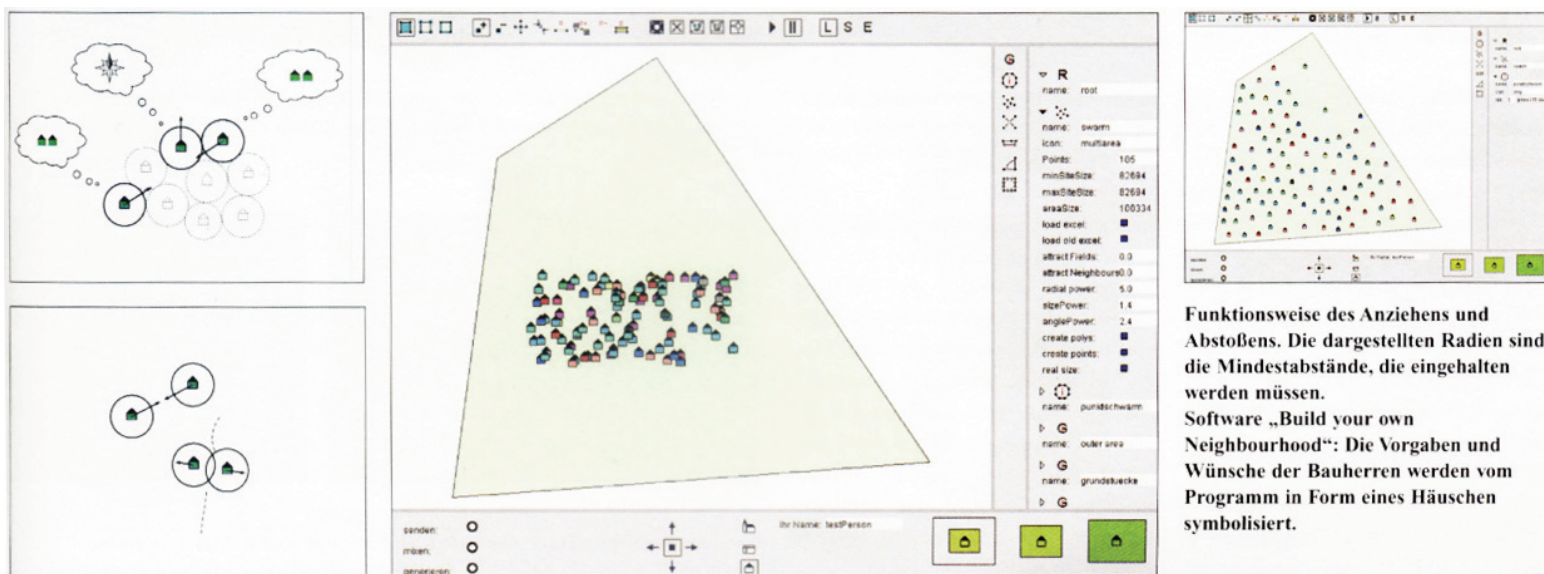


Abbildung 45: Die Software der Gruppe KAISERSROT ermöglicht die Organisation von Häusern und Aufteilung von Grundstücken mittels Algorithmen unter Berücksichtigung einzelner Bedürfnisse der Bewohner.

Neben der „Partizipation“ ist eine zweite Tendenz rund um den Begriff der „künstlichen Kreativität“ erkennbar. Diese entspringt den Theorien der Kybernetiker und geht insbesondere auf die Arbeiten des Architekten John Hamilton Frazer zurück. Frazer beschäftigte sich in den 1970er Jahren besonders mit evolutionären Strategien und der damit verbundenen Entwicklung von generischen Algorithmen, wobei er diese für den digitalen Formfindungsprozess in der Architektur einsetzte. Durch die Verwendung von generischen Algorithmen oder sogenannten Agentensystemen können in der Natur vorkommende selbstorganisierende Systeme künstlich simuliert bzw. nachgeahmt werden. Hierbei kann der linear determinierte Prozess gebrochen werden und der ursprünglich festgelegte „Code“ in endlosen Schleifen „de-codiert“ und „re-codiert“ werden. Hierbei kann ein völlig neuer Informationsgehalt erzeugt werden, weshalb man hierbei dem Computer „künstliche Kreativität“ zuschreibt. So spricht man im Kontext des sogenannten „Selfgenerativ Design“ nicht mehr von „Formgebung“, sondern von „Formgenerierung“. Damit scheint die Negropontes Vision vom Computer als Ideenlieferant wahr geworden zu sein. Wurden früher

komplexe Systeme mit hohem Aufwand vom großen Maßstab zum kleinen abgearbeitet und dabei relativ starr organisiert, kehrt sich jetzt der Entwurfprozess um. Komplexe Systeme werden „Bottom-up“ vom kleinen in Richtung großen Maßstab entwickelt.¹⁰⁶ Dabei orientiert man sich an natürlichen Systemen wie beispielsweise Ameisenkolonien, Bienen- oder Fischschwärmen. Beispielsweise ist das Gedächtnis einer einzelnen Ameise im Verhältnis zur gesamten Ameisenkolonie gering. Dazu ein sehr weit verbreitetes und oft zitiertes Beispiel:

„Eine Ameise die Futter gefunden hat, versprüht auf ihrem Weg zurück zum Nest ein Pheromon. Andere Ameisen folgen bei der Futtersuche der Spur dieses Duftstoffes und produzieren beim Finden erneut Pheromone. Mit der Zeit wird auf dem kürzesten Pfade zwischen Nest und Futterstelle die höchste Pheromonkonzentration vorherrschen. Die Ameisen werden diesen Weg bevorzugt wählen. Es entsteht eine Ameisenstraße.“¹⁰⁷

Diese kollektiven Problemlösungen werden den sogenannten „Agentensystemen“ zugeordnet, wobei die Lösungsfindung mittels „Trial and Error“ einzelner Artgenossen bzw. „Agenten“ erfolgt. Ein anderer der Natur entlehnter Ansatz findet sich in den evolutionären, genetischen bzw. generischen Algorithmen. Evolutionäre bzw. genetische Algorithmen orientieren sich im Gegensatz zu generischen Algorithmen an natürlichen Systemen, wobei die letzteren etwas allgemeiner „aus sich selbst heraus erzeugte Formen“ bezeichnen. Evolutionäre, genetische bzw. generische Algorithmen erzeugen schrittweise von Generation zu Generation bessere Lösungen. Anfangs wird eine Anzahl von zufälligen Lösungen generiert. Diese Lösungen werden nach einer Zielfunktion bzw. nach Qualitätskriterien bewertet. Die als günstigste bewerteten Ergebnisse werden als „the fittest“ leicht verändert (mutiert) und danach mit den anderen Lösungen kombiniert (gekreuzt). Somit enthält die nächste Generation von Lösungen im Mittel bessere Ansätze als die vorhergehende. Nach diesem Prinzip werden von Generation zu Generation immer bessere Lösungen für die gestellte Aufgabe erreicht.¹⁰⁸ „Daher erfolgt die Bestimmung der Systemvariablen nicht zielgerichtet, auch weil das Ziel in den meisten Fällen zunächst nicht definiert werden kann.“¹⁰⁹ Umkehrt werden diese Algorithmen genau deshalb für die Lösung und Analyse komplexer Systeme eingesetzt, weil bei einer großen Anzahl an Einflussparametern keine Aussage über Prioritäten, Auswirkungen bzw. Vorhersagen auf das Gesamtsystem gemacht werden kann. Somit richten sich mE ArchitektInnen und DesignerInnen bei der Gestaltung digitaler Formfindungsprozesse und Aufgabenstellungen aktuell gegen streng determinierte, linear kausale Systeme und den sogenannten Laplace'schen Dämon und orientieren sich an der Chaos- beziehungsweise Emergenztheorie.

Als Beispiel das Einsatzgebietes eines generischen Algorithmus wird hier der Entwurf des Bahnhofs von Florenz von Arata Isozaki gewählt (siehe Abb.47-49). Bezugnehmend auf die vorliegende Arbeit wurde dieses Projekt gewählt, da die Form des Entwurfes im Kern aus der Auseinandersetzung mit dem Themengebiet des „Entwerfens mit Kräften“ resultiert. Bei der



Abbildung 47: Visualisierung des Entwurfs des Bahnhofs von Florenz von Arata Isozaki.

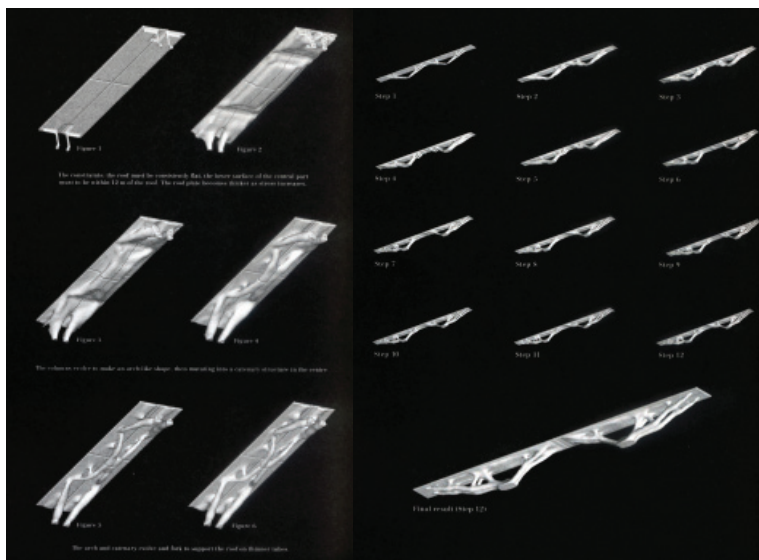


Abbildung 48: In den zwei linken Bildern kann man den evolutionären Formfindungsprozess erkennen. Schritt für Schritt wird nach der optimalen Form für die Lastableitung der Kräfte von der Deckenplatte zu den zwei definierten Auflagerpunkten am Boden.

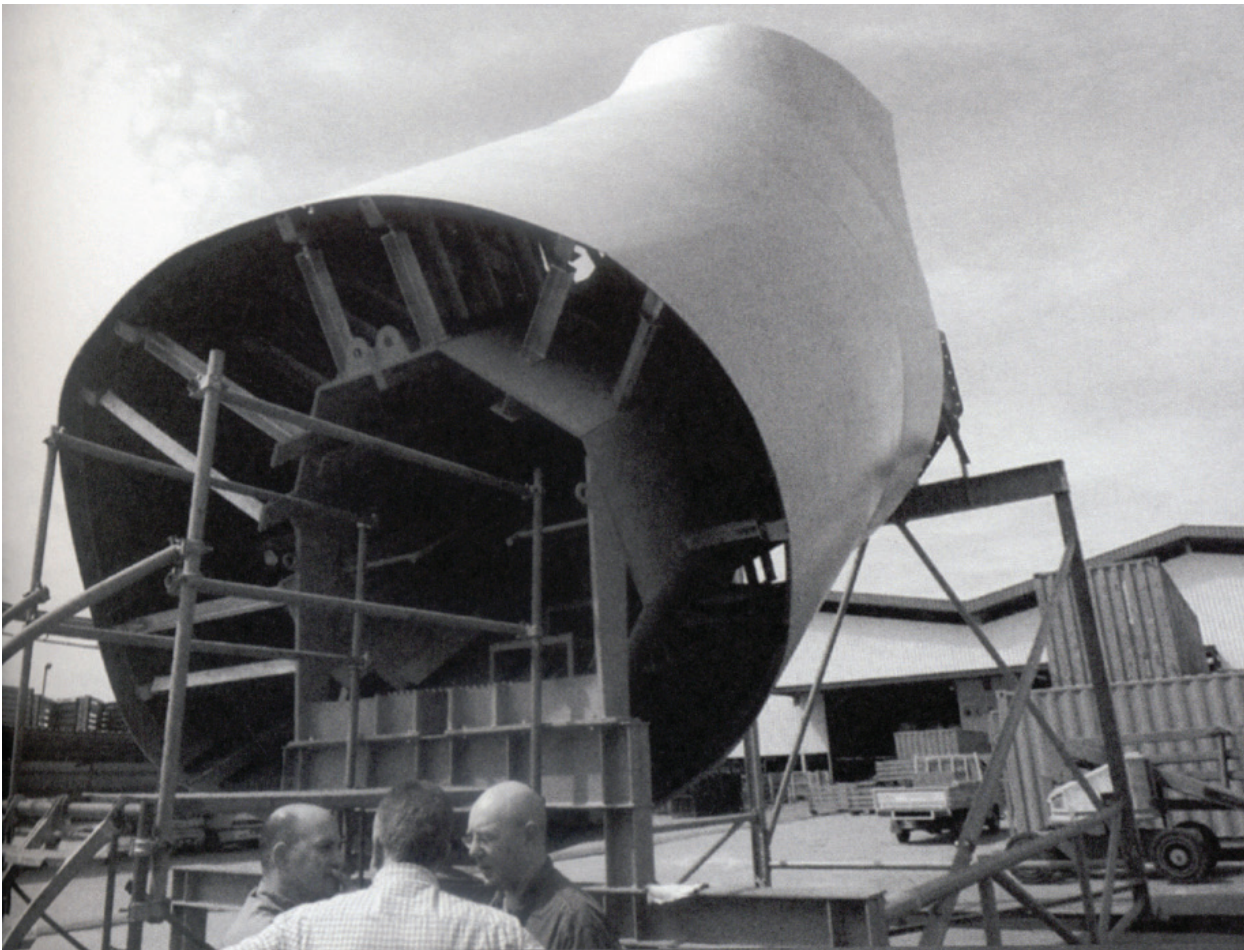


Abbildung 49: Tragkonstruktion des Bahnhofs in Florenz von Arata Isozaki. Im Inneren befindet sich der sechseckige tragende Kern, auf dem Abstandshalterungen zur Befestigung der finalen Freiformoberfläche montiert sind.

Formfindung verwendet Isozaki evolutionären Algorithmus, der in einem iterativen Prozess Schritt für Schritt eine immer optimalere Tragwerksform für das Abtragen der Kräfte von der Deckenplatte zu den zwei definierten Auflagerpunkten am Boden automatisch generiert. Der Optimierungsprozess läuft theoretisch unendlich lange und wird daher abgebrochen, wenn keine wesentlichen Veränderungen mehr ersichtlich sind. Daher spiegelt die am Computer generierte Form ein nahezu optimale Tragwerksform für dieses spezielle Kräftesystem dar.

Abschließend sei bemerkt, dass die Komplexität des Entwerfens eines Tragwerks offensichtlich nicht ganzheitlich bis zur Konstruktion durchgedacht wurde. Dies kann man mE an dem gebauten Endergebnis deutlich erkennen. Das eigentlich relativ konventionelle Tragwerk - achteckiges Stahlblech - befindet sich im Kern, wobei die vorher als optimales Tragwerk argumentierte Form als rein optisch wirksame Hülle mit Abstandhalter auf die eigentliche Konstruktion aufgebracht wird. Dieses Beispiel wird zu einem späteren Zeitpunkt in der Aufgabenstellung der vorliegenden Arbeit noch einmal aufgegriffen.

"Liberal Views have never built anything of value"

Während Architekten/-innen wie Frank O. Gehry, Greg Lynn, Zaha Hadid, Patrik Schumacher und viele andere neue digitale Methoden feiern, indem sie das Potential der neuen Technologien ausreizen und ihre Gebäudekonzepte tendenziell über Begriffe und Themen wie digitale Vernetzung, Interaktivität, Partizipation, Simple Systems - Simplicity, evolutionäre, genetische und generische Entwurfsprozesse, künstliche Kreativität, fluide natürliche Formensprachen, File to Factory, Mass Customization, Massen-Unikate, Variantenreichtum, Nonstandard Architecture bzw. Nonstandard Structures, performative Architektur, Complex Capacities, intelligente Bauteile bzw. Form Follows Performance bis hin zum „Bilbaoeffekt“ als zukunftssträftig feiern bzw. argumentieren, äußern Kritiker wie etwa Christopher Alexanders, Peter Eisenman, Rem Koolhaas, Peter Zumthor ihre Bedenken und verweisen auf mögliche Mängel der gegenwärtigen digital-technisierten Architektur.

Antoine Picon

„Ist die digitale Kultur tatsächlich etwas qualitativ anderes als die zur Reife gelangte industrielle Kultur der Moderne?“¹¹⁰ Mit diesem Einwurf beginnt Antoine Picon in diesem Artikel (siehe Zitat) der Frage nachzugehen, ob die Architektur sich tatsächlich schon in der Postmoderne befinde oder sich im Grunde noch immer von Prinzipien und Regeln der Moderne nähre. Dies sei nicht so einfach zu beantworten, doch lässt sich laut Picon deutlich feststellen, dass es gegenwärtig zumindest zu einer Schwächung des Geistes der Moderne komme. Dafür käme es zu einer Konzentration und Neustrukturierung des Entwurfprozesses und einer Betonung von Aspekten wie der Bearbeitung von Oberflächen und der Fragen um Textur und Licht im Allgemeinen, die früher als sekundär empfunden wurden. Es bestehe ein vermehrtes Interesse an der tektonischen Theorie Gottfried Sempers (1803-

1879), die das gleichzeitige Verständnis von Architektur und Ornament bzw. von Projekt und Wand gestatte. So kämen bei zeitgenössischen Arbeiten die Wirkung der Wand und ein neues Gefühl von Materialität zur Entfaltung.

„Diese neue Materialität geht oftmals einher mit der Bereitschaft, sich den Gesetzen der Wirtschaft zu fügen, und mit der Bejahung der bestehenden Ordnung, einschließlich aller Ungleichheiten und Spannungen, anstatt diese, wie es die moderne Avantgarde getan habe, in Bausch und Bogen abzulehnen. Es ist, als hätte man die politischen und sozialen Ideale, die die Herausbildung der Moderne begleiteten, ein für allemal über Bord geworfen zugunsten eines Strebens nach wirtschaftlicher und programmatischer Effizienz.“¹¹¹

Damit ist der Kern-, bzw. vorsichtiger ausgedrückt, ein häufig genannter Kritikpunkt der zeitgenössischen digitalen Avantgarde formuliert. So sei die zeitgenössische Architektur laut Picon in einer Welt, in der Effizienz zum höchsten Ideal geworden ist, weniger von einer Entmaterialisierung durch Digitalisierung gefährdet, sondern eher vom Verlust aller politischen und gesellschaftlichen Ordnung und einer damit verbundenen Orientierungslosigkeit bedroht.¹¹²

Peter Eisenman

„...and I do not believe you can do architecture and not have ideas that come out of the culture in some way.“¹¹³ So betont Peter Eisenman in einem Interview den Zusammenhang von Architektur und Kultur bzw. Politik und der damit verbundenen Informierung der Gebäude durch diese Diskurse. In einem anderen Interview präzisiert er wie folgt: "I think architecture is a form of politics. I believe that architecture does make political statements. There is no doubt."¹¹⁴ Als Beispiel nennt Eisenman dabei faschistische Bauten in Italien, die er auch in seinem Buch „Giuseppe Terragni: Transformations, Decompositions, Critiques“ analysiert. Eisenman betont, dass sowohl er als auch seine Bauten sehr konservativ seien und sein Klientel dadurch mehrheitlich Republikaner seien bzw. generell eher vom politischen Rechtenlager stammen würde, wobei er sich deshalb aber nicht zwingend als politisch „rechts“ einordnen lasse. Doch räumt Eisenman in diesem Kontext ein:

"...I have the most rapport with right-leaning political views, because first of all, liberal views have never built anything of any value, because they can't get their act together."¹¹⁵

Damit geht es Eisenman mE grundsätzlich um Ideale bzw. Haltungen und den damit verbundenen Inhalt. Eisenman sei nach seinen Ausführungen zwar kein Fundamentalist, sei aber an den Fundamenten der Dinge interessiert. Doch geschehe eine Politisierung von Architektur auch ohne eine dezidierte Deklaration durch den/der ArchitektenIn. Als Beispiel unter seinen Projekten nennt Eisenman in diesem Kontext das „Denkmal für die ermordeten Juden Europas“, welches im Jahr 2005 in Berlin fertig gestellt worden ist. Eisenman wollte damit kein bestimmtes Image suggerieren. Das Denkmal könne an einen Friedhof oder auch an ein Kornfeld erinnern. Es gäbe nichts, das den Holocaust repräsentieren könne. Eisenman selbst

dachte an ein Kornfeld, als er sich einmal in Iowa verloren hatte und daraufhin das Konzept entwickelte. Nachdem der Wettbewerb entschieden worden war, wäre Richard Karl Freiherr von Weizsäcker - der ehemalige Bürgermeister Berlins - auf Eisenman zugekommen und habe gesagt:

*"You know, Peter, my problem with your project is this: the left wing hates it because they think it's right wing and the right wing hates it because they think it's left. Nobody can make an assessment. You have created something that is, in a sense, problematic for everybody, because they can't label it. And if they can't label it, then they can't tell whether they like it or dislike it."*¹¹⁶

Eisenman selbst wolle kein bestimmtes Label oder seine Gebäude mit einer bestimmten Bedeutung beladen und somit nicht rechts, nicht links, nicht gut und nicht schlecht sein. Eisenman wolle Gefühle provozieren. Das „Denkmal für die ermordeten Juden Europas“ würde nun als öffentlicher Platz von verschiedensten Menschen für verschiedenste Tätigkeiten, wie Picknicken, Essen, Spielen, Drogen verkaufen etc. verwendet werden. Kinder kämen vom Besuch des „Holocaust Denkmals“ zurück und würden ihren Eltern mitteilen: *„We were at the holocaust memorium today, we had a great time!“*¹¹⁷. Somit könne Architektur laut Eisenman ein politisches, soziologisches Phänomen re-orientieren. In dem genannten Beispiel würde versucht, eine Brücke zu einem brisanten Thema zu schlagen, dieses in das Alltagsleben zu integrieren und damit ein normales Verhältnis und eine Verarbeitung zu ermöglichen. In diesem Zusammenhang bemerkt Eisenman weiters, dass ein Jude nicht als „Normal“ behandelt werden würde, sondern sich auch heute noch in unangenehmen Situation wiederfinden und ständigen Entschuldigungen und Sonderbehandlungen ausgesetzt werden würde. Eisenman beendet seinen Vortrag in Bezug auf das "Holocaust Memorium" mit folgenden Worten: *„You cannot continue to insight guilt... and to never forget does not mean to never forgive!“*¹¹⁸

Johan Bettum

In diesem Sinn bemerkt auch Johan Bettum, dass der architektonische Entwurf mehr als eine reine Gestaltungsübung ist und zur Produktion von Raum als ein kulturelles, politisches Projekt etwas beitragen muss. Wie schon Picon stellt Bettum einen Bezug zu Sempers Bekleidungstheorie her, wobei er feststellt, dass die neuen hyperperforierten, „um nicht zu sagen mottenzerfressnen“ Oberflächen zwar an Textilien erinnern und ähnlich eingesetzt werden, sich jedoch in keiner Art und Weise vom tatsächlichen Aufbau in den Materialeigenschaften stark unterscheiden. Bei genauerer Analyse dieser perforierten Oberflächen entdeckt man nach Bettum

*„den intellektuellen Mangel, welcher charakteristisch für die meisten zeitgenössischen Entwürfe ist. Die Gebäude erinnern an reine Skelette als Drahtgitter oder an ausgedehnte Netze, ein Symptom der Mode und Fetischisierung von hyperperforierten Oberflächenmustern.“*¹¹⁹

Bezugnehmend auf Bettums Kritik an der derzeitigen Auseinandersetzung mit Oberflächen und der architektonischen Praxis als reine Gestaltungsübung,

ließe sich an dieser Stelle mit dem Text *„Von der Box zum Blob und wieder zurück“*, der jedoch bereits im Jahr 1999 verfasst worden war, wie folgt etwas Gegenteiles behaupten:

*„Denn die freie Form bzw. der Blob ist heute nicht mehr Ausdruck von Spontaneität, sondern wird am Rechner generiert und ist damit als rein geometrische und damit rationalisierte Form zu betrachten, während die Vertreter der Box offenkundig nur noch an der Wirkung von Oberflächen und Materialien interessiert zu sein scheinen.“*¹²⁰

Es sei jedoch bemerkt, dass ein rationalistischer bewusster Umgang mit Formen und Oberflächen selbstverständlich nicht zwingend Objekte und Räume erzeugt, die einen Beitrag zum aktuellen kulturellen, politischen Geschehen liefern. Der Ausweg zu einer sinnvollen Gestaltung von Räumen und Oberflächen führt nach Bettums Ansicht über den Einsatz der neuen präzisen digitalen Methoden zur Untersuchung der mikrostrukturellen Logik der verwendeten Materialien und deren Übersetzung in die Makroebene. Dadurch soll eine durchgehende Logik von Mikro- zu Makrostruktur herrschen und dadurch materialgerechte Raumstrukturen entworfen werden können.¹²¹

Sollte Bettums Text hier im Kern richtig wiedergegeben worden sein, dann kann meines Erachtens schlussgefolgert werden, dass auch Bettums Ansatz lediglich einen rationalisierten technischen Denkansatz darstellt, der keine Aussage über die kulturellen politischen Qualitäten der damit geplanten Objekte zulässt.

Rem Koolhaas

Auch Rem Koolhaas bemerkt in einem Interview ähnlich wie Picon, dass sich die aktuelle Architektur dem Wirtschafts-„Markt“ und seinen Gesetzen unterwirft und als inhaltslose Hüllen nicht mehr als eine „Landmark“-wirkung zu bieten hätte. Auf die Aussage des Interviewpartners, dass die Avantgarde-ArchitektInnen aber sehr erfolgreich wären, kontert Koolhaas:

*„That's fine. But Gehry, to focus on him for a moment, would never be asked about his political views. On the other hand, our firm AMO has worked for the European Union in Brussels. We tried to make the EU's political message clearer, more attractive and easier to communicate.“*¹²²

So ist Rem Koolhaas als Mitglied im „Rat der Weisen“, welche offiziell als „Reflexionsgruppe“ bezeichnet wird, für die EU tätig und soll mit dieser Gruppe Zukunftsperspektiven mit einem Zeithorizont von 10 bis 20 Jahren in unterschiedlichsten Themengebieten für die Europäische Union erarbeiten.¹²³ In einem anderen sehr ausführlichen Interview drückt Koolhaas die Problematik folgend aus:

*„Ich glaube eher, dass wir gerade den globalen Triumph des Exzentrischen erleben. Lauter extravagante Bauten entstehen, Bauten ohne Inhalt, ohne Funktionalität. Es geht ausschließlich um spektakuläre Formen und natürlich ums Ego der Architekten.“*¹²⁴

Einen wesentlichen Beitrag zu dieser Entwicklung hätten die Medien geliefert, indem diese in Sensationsgier den „Stararchitekten“ geschaffen hätten, der ausschließlich vermarktbar Icons und Wahrzeichen produzieren sollte. Die zunehmend privaten BauherrInnen würden Architektur als Werbemaßnahme bzw. Renditenbringer betrachten und auch Städte und andere staatliche Institutionen investieren nicht in Kultur, sondern in Marketing und Effekte, eine offensichtliche Anspielung Koolhaas' auf den sogenannten „Bilbaoeffekt“. Es gebe zwar auf Grund der Risikobereitschaft vieler UnternehmerInnen zurzeit mehr Freiheiten in der Architektur, paradoxerweise führe dies aber zu mehr Begrenzungen als früher. Hier bezieht sich Koolhaas unter anderem auf die Begnügung von manchen ArchitektInnen mit der Gestaltung von Gebäudehüllen, die in diesem Text bereits mit Picon oder insbesondere Bettum erwähnt wurden. Auf die Frage nach möglichen Alternativen betont Koolhaas, keine Antwort darauf geben zu können und verweist lediglich darauf, dass er sich im Zusammenhang mit seinen Arbeiten in jedem Fall für Inhalte interessiere.¹²⁵

Koolhaas bekräftigt seine Ansicht über die Architektur, indem er auf die seines Erachtens seit der Aufklärung bestehende Gültigkeit folgender Fragen hinweist: *„Wie wollen wir leben? Welche Möglichkeiten eröffnet uns die Moderne mit ihren Freiheiten und dem technischen Fortschritt? Am Ende also: Was macht uns glücklich?“*.¹²⁶

Christopher Alexander

Christopher Alexander reagiert in einem Interview auf die neue extravagante Architektur und die von Koolhaas angesprochenen Betonung des mächtigen Egos der ArchitektInnen, indem er diesen Drang zum Neuen als einen Zwang aus Angstmotiven entlarvt und den gegenwärtigen KollegInnen eine sehr oberflächliche Auseinandersetzung mit dem Vergangenen vorwirft.

*„Einige Architekten haben Angst vor diesen [...] wie soll ich sie nennen tief verwurzelten Archetypen. Und weil sie solche Furcht davor haben, etwas zu entwerfen, das an etwas Vorhandenes erinnert, fühlen sie sich gezwungen bestimmte Dinge nicht zu tun, die ansonsten jeder vernünftige Mensch machen würde, einfach weil sie praktisch sind.“*¹²⁷

Den Begriff der Morphogenese mittels biologischer Differenzierung in Verbindung mit der Computertechnik zu nennen, hält Alexander für problematisch. *„Mit einem Computer kann man zwar eine Reihe von Parametern definieren und endlos viele Kombinationen und Variationen am laufenden Band produzieren, aber wenn sie keine Bedeutung haben, dann ist das ganze nur ein banales Spiel. Die Vorstellung einer solchen Welt finde ich sogar beängstigend, weil sie nicht aus etwas Realem entsteht. Man kann ihre Unaufrichtigkeit geradezu herauslesen, denn sie propagiert eine falsche Art von Vielfalt.“* So sei Morphogenese mit dem Computer nur schwer zu bewerkstelligen, da echte Variationen sich aus jeweiligen Situationen entwickeln, wobei diese Art von Differenzierung sich an allen an ihre Umgebung gut angepassten Gebäuden findet.¹²⁸

Peter Zumthor

So bemerkt Peter Zumthor hinsichtlich des Verhältnisses des Entwurfskontextes zur Architektur und besonders zur Auseinandersetzung

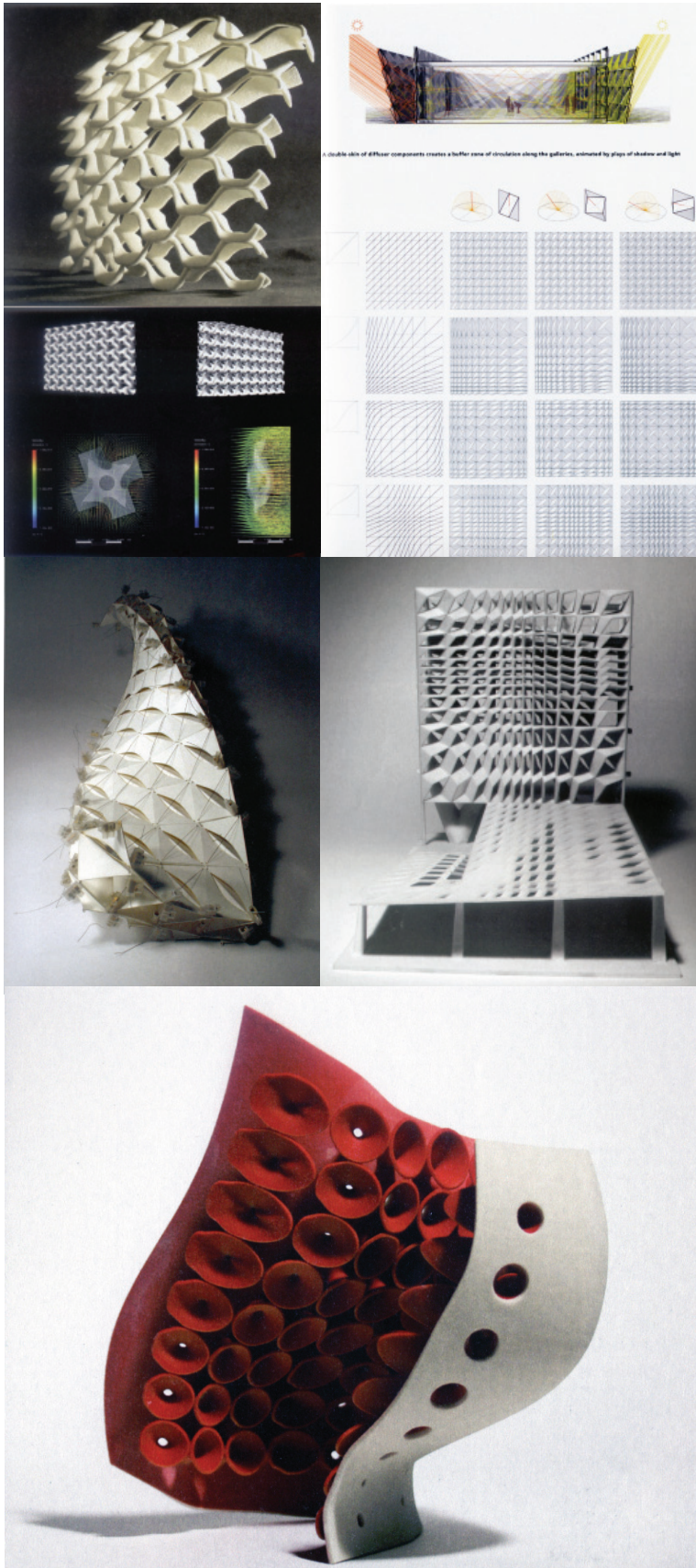
mit den örtlichen Gegebenheiten: *„Schöpft ein Entwurf allein aus dem Bestand und der Tradition, wiederholt er das, was sein Ort ihm vorgibt, fehlt mir die Auseinandersetzung mit der Welt, die Ausstrahlung des Zeitgenössischen. Erzählt ein Stück Architektur nur Weltläufiges und Visionäres, ohne ihren konkreten Ort zum Mitschwingen zu bringen, vermisst ich die sinnliche Verankerung des Bauwerks an seinem Ort, das spezifische Gewicht des Lokalen.“*¹²⁹ Außerdem bemerkt Zumthor zur zeitgenössischen Trendarchitektur, dass häufig eine mangelnde Disziplin in der Ausführung und Detailplanung erkennbar wäre und Gebäude oft in einer viel zu kurzen Zeitdauer realisiert werden würden. Es ärgere Zumthor, wenn er an einem Gebäude erkennen könne, dass eine Knappheit im Terminplan offensichtlich zu „Schlampereien“ und Oberflächlichkeiten geführt habe.¹³⁰

Daniel Gethmann

Als Beispiel für einen Text¹³¹, der sich im Gegensatz zu den hier bereits genannten weit verbreiteten und populären Kritiken, die in ihren Grundzügen meist die Oberflächigkeit bzw. Inhaltslosigkeit der gegenwärtigen Avantgarde betont und die sich in ähnlicher Form auch auf viele andere Phänomene in unsere Gesellschaft umlegen lässt, sei eine Auseinandersetzung gezeigt die noch eine Ebene tiefer gräbt und damit versucht eine konkrete Praxis als Ursache für ein bestimmtes Versagen ausfindig zu machen. Mittels der Rezeption eines Textes von Bruno Latour versucht Daniel Gethmann, einen möglichen Grund für die Unfähigkeit zur Selbstreflexion in der zeitgenössischen Architektur auszumachen. So seien die „Nonstandard Structures“ aus ihrer eigenen Perspektive zwar aus dem Geist der Moderne entstanden, doch könne dies Gethmann zufolge mit Latour aus umgekehrter Sicht – nämlich aus dem Blickwinkel der Moderne – nicht bestätigt werden.

Der Begriff der Moderne beschreibt laut Latour im Wesentlichen zwei Praktiken. Als erstere Tätigkeit nennt Latour den Vorgang des „Übersetzens“ und in weiterer Folge jenen des „Reinigungs“. Das „Übersetzen“ als erste Praktik sei vom Bestreben zur Differenzierung bzw. der Aufteilung von Dingen in menschliche und kulturelle Objekte und einer damit verbundenen Begriffsfindung geprägt. In einem weiteren Schritt folgt das Reinigen bzw. Schärfen der Kanten der differenzierten Objekte mittels deren genaueren Definierung. Dies ermögliche einen klaren Blick und eine Reflektion und Einordnung der Objekte. Die gegenwärtigen Tendenzen kehren den ersteren Schritt um, indem sie verschiedenste Begriffe zu Neuen kombinieren und versuchen den Diskurs dennoch weiter laufen zu lassen. Dabei entstehen aus Sicht der Moderne unmögliche Begriffskombinationen, die neue Objekte als sogenannte „Hybride“ gebären. Diese Hybride lassen sich im zweiten Schritt nicht mehr reinigen, also weder als kulturell noch als menschlich bestimmen und sind mit modernen Methoden in letzter Konsequenz auch nicht mehr begreif- bzw. reflektierbar. Aus dieser Sicht seien die aktuellen Tendenzen „nichtmodern“, auch nicht „post-modern“, höchstens „vormodern“.

So zitiert Gethmann Latour wie folgt: *„Wenn man aber von Embryonen im Reagenzglas, Expertensysteme, digitalen Maschinen, Robotern mit Sensoren, hybriden Mais, Datenbanken, Drogen auf Rezept, Walen mit Funksendern,*



synthetisierten Genen, Einschaltmessgeräten, etc. überschwemmt wird, wenn unsere Tageszeitungen all diese Monstren seitweise vor uns ausbreiten und wenn diese Chimären sich weder auf der Seite der Objekte noch auf der Seite der Subjekte, noch in der Mitte zu Hause fühlen, muss wohl oder übel etwas geschehen.[...] Wo soll man die Hybriden unterbringen? Sie sind unser Werk. Sind sie also menschlich? Aber sie sind nicht unser Tun. Sind sie also natürlich?"¹³²

Die zeitgenössische Architektur werde von Mensch-Maschine Hybriden erzeugt und mit virtuellen Eigenschaften zu neuen Hybriden informiert, womit wir diese nicht mehr klar einordnen könnten. Es gäbe es also keine Schublade, keine Haltung, keine Ideologie, in der man diese Hybriden-Objekte ablegen könnte, denn es existieren nur Schubladen aus der Moderne. So schlägt Gethman mit Latour vor, beispielsweise zunächst die aus der Moderne stammende Praxis der Differenzierung zwischen „Nonstandard“ und „Standard“ aufzugeben, womit man zunächst gedanklich im handwerklichen vorindustriellen Zeitalter lande. Damals gab es nur individuelle Produkte und damit keinen Standard. Übertragen in ein Zeitalter des digitalen Handwerks spielt diese Differenzierung ebenfalls keine Rolle mehr, da es für die maschinelle Fertigung keinen Unterschied macht, ob ein Objekt als Kopie vervielfältigt wird oder ein Unikat hergestellt werden soll.¹³³

Zusammenfassend

Um die Wende vom 20. zum 21. Jahrhundert waren populäre Themen in der Architekturdebatte vorwiegend über den Einsatz von Animationsprogrammen im Entwurf, das vermehrte Auftauchen von „Blobs“ und die zunehmende globale Vernetzung via Internet beeinflusst. Dies regte beispielsweise zu Überlegungen bezüglich eines neuen Raumzeitverständnisses, des Zusammenhangs zwischen Form und Bewegung, der Generierung und Konstruktion von Freiformen oder auch zu Diskursanalysen der geschichtlichen bzw. stilistischen Verbindung zwischen „Box“ und „Blob“ an. Häufig wurden Projekte der Kritik einer beliebigen Formgebung, resultierend aus dem ziellosen Experimentieren mit den neuen digitalen Methoden, einer mangelnden Funktionalität und der verhältnismäßig aufwendigen Umsetzbarkeit ausgesetzt. Eine Dekade später richtet sich der Fokus der Diskussionen nach dem vermehrten Einsatz digitaler Werkzeuge und der Realisierung einiger Projekte mittels industrieller Fertigungstechniken, auf die mögliche Digitalisierung bzw. Automatisierung des architektonischen Entwurfsprozesses und den damit verbunden Chancen, die sich daraus für die nahe Zukunft ergeben könnten. Der Grundtenor ist, in einer Zeit der „Krisen“ wie jenen der globalen Erwärmung oder der Wirtschaft und den damit verbundenen oft genannten Begriffen wie etwa der „Nachhaltigkeit“ oder maximalen „Effizienz“ die Umsetzung einer performativen Architektur mittels neuer Technologien. Dementsprechend wird beispielsweise eine kostengünstige Produktion von individuellen Objekten für die breite Masse, die Herstellung von intelligenten bzw. leistungsoptimierten Bauteilen mittels

Abbildung 50: An den Masterarbeiten der Architectural Association London kann man die starke Fokussierung auf leistungsfähige Architektur bzw. Fassaden deutlich erkennen.

digitaler Analyse-, Generierungs- bzw. Optimierungsalgorithmen und dem Einsatz digitaler Fertigungsmethoden forciert. Gleichzeitig ist die in diesem Kontext entstehende Architektur der Kritik ausgesetzt, sich aufgrund eines mangelnden Intellekts zu sehr an den Gesetzen der Marktwirtschaft zu orientieren, sich widerstandslos den gegenwärtigen Ordnungen zu unterwerfen und damit keinen bzw. einen geringen Beitrag zur kulturellen bzw. politischen Entwicklung der Gesellschaft zu liefern. Insofern würden die neuen Werkzeuge für die Erweiterung der bestehenden Machtstrukturen eingesetzt, wobei sich die aktuelle Argumentation tendenziell mit den Worten „Ich tue es, weil ich es kann.“¹³⁴ pointieren lassen kann. So schlussfolgern Hensel und Menges bezogen auf die Debatten der 1970er Jahre wie folgt:

*„Damals wurde der Mythos von Objektivität, Neutralität und Allgemeingültigkeit methodisch hinterfragt – heute könnte man auf ähnliche Art und Weise den Mythos von Individualität, Selbstorganisation und die Hoffnung auf marktförmig organisierte Prozesse hinterfragen.“*¹³⁵

- 68 Patrik Schumacher, Arch +, Zeitschrift für Architektur und Städtebau, Ausgabe 195, Nov. 2009, S.106-113. Original Text: : "Parametricism - A New Global Style for Architecture and Urban Design", erschienen in der Zeitschrift Architectural Design, Digital Cities, Ausgabe 79, Julie/August 2009, Editoren Neil Leach und Hellen Castle.
- 69 -Vgl. Patrik Schumacher, Arch +, Zeitschrift für Architektur und Städtebau, Ausgabe 195, Nov. 2009, S.11.
- 70 Patrik Schumacher, "Latente Utopien", The Autopoiesis of Architecture, Zaha Hadid/Patrik Schumacher, steirischer Herbst 2002, S.17.
- 71 Niklas Luhmann, "Soziale Systeme, Grundriss einer allgemeinen Theorie", Suhrkamp Verlag, Erste Auflage 1987, S.592.
- 72 Patrik Schumacher, "Latente Utopien", The Autopoiesis of Architecture, Zaha Hadid/Patrik Schumacher, steirischer Herbst 2002, S.14.
- 73 Ebd., S.17.
- 74 Patrik Schumacher, Arch +, Zeitschrift für Architektur und Städtebau, Ausgabe 195, Nov. 2009, S.108.
- 75 Bernd Cache, "After Parametrics", Grazer Architektur Magazin, Ausgabe 06, 2009, S.51-61.
- 76 Ebd. S.52.
- 77 Ebd., S.56
- 78 Ebd., S.53.
- 79 Jörg H. Gleiter, "Zur Genealogie des neuen Ornaments im digitalen Zeitalter", Arch+, Ausgabe 189, 2008, S.79.
- 80 Ebd., S.80.
- 81 Michael Müller, "Die Verdrängung des Ornaments – Zum Verhältnis von Architektur und Lebenspraxis", Suhrkamp Verlag, Erste Auflage 1977.
- 82 Jörg H. Gleiter, "Zur Genealogie des neuen Ornaments...", a. a. O., S.83.
- 83 Ingraham, Hays, Kennedy, Artikel, Computeranimismus, 1995, "architektur_theorie.doc", 2003, Hrsg. Gerd de Bruyn, Stephan Trüby, Birkhäuser Verlag, S.149.
- 84 Vgl. Fabian Scheurer, Was da gefordert wird sind Kathedralen zum Nulltarif, Grazer Architektur Magazin, Ausgabe 06, 2009, S.214.
- 85 Vgl. Urs Hirschberg, "Augmented Architecture", Kulturtechnik Entwerfen, a. a. O., S.306.
- 86 Vgl. Oliver Fritz, "CAM of Freeforms in Architecture", Hg. Institut für Raumplanung der Hochschule Liechtenstein, Michael Imhof Verlag GmbH & Co. KG, S.37.
- 87 Beispielsweise: <http://www.tailorstore.de/>, <http://www.zazzle.de/>, <http://nikeid.nike.com/>, <http://www.lbs-city.de/> (Stand 24.03.2010).
- 88 Fabian Scheurer, "Was da gefordert wird sind Kathedralen zum Nulltarif", a. a. O., S.208.
- 89 Ebd., S.213.
- 90 Vgl. Bonwetsch, Gramazio, Kohler, "Digitales Handwerk", Grazer Architektur Magazin, Ausgabe 06, 2009, S.175.
- 91 Ebd., S.177.
- 92 Vgl. Gramazio, Kohler, "Digital Materiality in Architecture", Lars Müller Verlag, 2008, S.7-87
- 93 Vgl. Kostas Terzidis, "Algorithmic Architecture", Architectural Press is an imprint of Elsevier, First Edition 2006, Prologue S.12.
- 94 Vgl. Ingeborg Rocker, "Re-coded: Studio Rocker", Aedes Berlin, Juni 2005, Introduction.
- 95 Claus Dreyer, "Semiotik und Ästhetik in der Architekturtheorie der sechziger Jahre", Kulturtechnik Entwerfen, a. a. O., S.200.
- 96 Vgl. Kostas Terzidis, Algorithmic Architecture, a. a. O., S.56.
- 97 Antoine Picon, Das Projekt, Arch+, Ausgabe 189, 2008, S.17.
- 98 Vgl. A. Sutcliffe and N. Mehandjiev, "End-user development: tools that empower users to create their own software solutions," Communications of the ACM, vol. 47(9), 2004, S. 31-32.
- 99 Vgl. D. Benslimane, S. Dustdar, and A. Sheth, "Service Mashups: The New Generation of Web Applications," IEEE Internet Computing, vol. 12(5), 2008, S. 13-15.
- 100 N. Seyff and F. Graf, "User-Driven Requirements Engineering for Mobile Social Software," Proceedings of 3rd. International Workshop on Social Software Engineering, 24. Feb. 2010 Paderborn, Germany.
- 101 Gespräch mit Dipl. Ing. Florian Graf und Dipl. Ing. Dr. Norbert Seyff, City University of London am 23.02.2010.
Bemerkung: Graf und Seyff forschen an Endbenutzerzentrierten Anforderungserhebungsmethoden und entwickelten im Rahmen ihrer Forschung den werkzeugunterstützten iRequire Ansatz.
- 102 Vgl. Christian Kühn, "Christopher Alexanders Pattern Language", Arch +, Ausgabe 189, 2008, S.27.
- 103 Michael Meredith, From Control to Design, Editiert von Sakamoto u. Ferré, Verlag Actar-D 2008, S.6.
- 104 Vgl. MVRDV, The Functionmixer, "Latent Utopias", a. a. O., S.174-179.
- 105 Oliver Fritz, "Programmiertes Entwerfen", Arch +, Ausgabe 189, 2008, S.61-62.
- 106 Vgl. Ebd. S.60 oder Georg Vrachliotis, "Generatives Design", Arch +, Ausgabe 189, 2008, S.59.
- 107 Oliver Fritz, "Programmiertes Entwerfen", Arch +, Ausgabe 189, 2008, S.61.

- 108 Vgl. Georg Vrachliotis, "Generatives Design", Arch +, Ausgabe 189, 2008, S.56-57 oder Oliver Fritz, Programmierendes Entwerfen, a. a. O., S.63.
- 109 Achim Menges, "Unkomplizierte Komplexität", Grazer Architektur Magazin, Ausgabe 06, 2009, S.144.
- 110 Arch +, Ausgabe 188, Juli 2008, S.25.
- 109 Antoine Picon, Das Projekt, Arch+, Ausgabe 189, 2008. S.17.
- 110 Vgl. ebd. S.17.
- 111 Vgl. ebd. S.17.
- 112 Vgl. ebd. S.12-17.
- 113 Peter Eisenmann, Interview von Urban Center Books, About Books and book collecting, YouTube Video, <http://www.youtube.com/watch?v=JvdDQzT56ks> (03.04.2010).
- 114 Interview mit Peter Eisenmann von Robert Locke am 27.07.2004, http://architect.com/features/article.php?id=4618_0_23_0_M (02.04.2010).
- 115 Ebd.
- 116 Ebd.
- 117 Peter Eisenman, Vortrag an der Vanderbilt University <http://www.youtube.com/watch?v=AJMMnb0qrXA&NR=1>, (Stand 05.04.2010).
- 118 Ebd.
- 119 Johan Bettum, Architectural Form and Saturated Space, Grazer Architektur Magazin, Ausgabe 06, 2009, S.86-103.
- 120 Nikolaus Kuhnert, Angelika Schnell, "Von der Box zum Blob und wieder zurück", Arch +, Ausgabe 148, 1999, S.20.
- 121 Johan Bettum, Architectural Form and Saturated, a. a. O., S.86-103.
- 122 Interview mit Rem Koolhaas am 27.03.2006, Spiegel Online International, <http://www.spiegel.de/international/spiegel/0,1518,408748,00.html> (02.04.2010).
- 123 Vgl. Europa Journal, Ö1, Nachdenken über die Zukunft Europas, Sendung am 14.08.2009, oder <http://oe1.orf.at/highlights/141799.html> oder <http://www.euractiv.com/de/prioritaeten/eu-rat-weisen-erwgt-ausschlussffentlichkeit-arbeiten/article-178725>.
- 124 Interview mit Rem Koolhaas am 12.06.2008, Zeit Online, <http://www.zeit.de/2008/24, Koolhaas-Interview> (02.04.2009).
- 125 Vgl. ebd.
- 126 Ebd.
- 127 Interview mit Christopher Alexander von Koolhaas und Orist, Von fließender Systematik und generativen Prozessen, Arch+, Ausgabe 189, 2008, S.24.
- 128 Vgl. ebd., S.24-25.
- 129 Peter Zumthor, Zitiert nach <http://irge-uni-stuttgart.de/lehre/themenreihe/identitaet.html>, (03.04.2010).
- 130 Vgl. Peter Zumthor in einem Interview am 14.06.2008 mit dem Schweizer Radiosender DRS2, Audiodatei erhältlich bei <http://www.drs2.ch/www/de/drs2/sendungen/focus/2655.sh10040734.html> (Stand 03.04.2010).
- 131 Daniel Gethmann, "Nichtmoderne Objekte", Grazer Architektur Magazin, Ausgabe 06, 2009,, S.43-49.
- 132 Ebd., S. 44-45.
- 133 Vgl. ebd., S.43-49.
- 134 Mario Carpo, The Digital „Mouvance“, and the End of History, Grazer Architektur Magazin, Ausgabe 06, 2009,, S.22.
- 135 Michael Hensel, Achim Menges, Am Anfang einer neuen Architektur des Performativen, Arch+, Ausgabe 188, 2008, S.16.

Allgemeines zu Brücken

Überlagerung von Zeit, Technik und Kultur

Seit Jahrtausenden prägen Brücken das Erscheinungsbild von verschiedensten Orten und Landschaften entscheidend mit. Die Gestalt einer Brücke wird im Kern wesentlich durch den Umgang mit den an und in der Konstruktion auftretenden Kräften, den verwendeten Materialien und der Wegführung über die gesamte Länge bestimmt. Trotz alltäglicher Präsenz und der mehrfachen Nutzung durch Menschen, Autos, Züge, Flugzeuge oder auch Boote erregen die meisten Brücken als Verbindungswege zwischen Orten als reines Mittel zum Zweck in der Regel wenig Aufmerksamkeit. *„Im Gegensatz zu einem Wohnhaus, einem Bürogebäude, einer Konzerthalle oder einem Krankenhaus müssen Brücken keine umfassende, dauerhafte Beziehung mit menschlichen Tätigkeiten, Bedürfnissen oder Dienstleistungen aufbauen; die Menschen leben oder arbeiten nicht auf Brücken.“*¹³⁶ Demzufolge hinterlässt eine große Anzahl von Brücken bei ihren BenutzerInnen meist einen sehr vergänglichen Eindruck. Doch ermöglichen Brücken mehr als den Fluss von unterschiedlichsten Bewegungen und dokumentieren neben dem aus Kräftespiel resultierendem Tragwerk mehr als nur den technischen Fortschritt der Geschichte. Als gebaute Symbole, Icons, Wahrzeichen oder Denkmäler verkörpern Brücken über eine bewusste Wahl von Konstruktionen und den Einsatz von bestimmten Materialien und ihrer Fähigkeit zur Verbindung von Gesellschaften, Kulturen und Ideologien den Willen, die Politik und die Kultur einer Gesellschaft. So schreiben Ursula Baus und Mike Schlaich in diesem Kontext:

*„Denn manche Konstruktionstypen sind das Ergebnis technologischer, wissenschaftlicher Entwicklungen, die an bestimmte Zeiten gebunden sind; manche gestalterischen Ansätze gehören daneben zu Epochen, die zu einem bestimmten formalen Ausdruck gefunden haben. Mal stachelt das Ausreizen der Leichtigkeit die Ingenieure an, mal begreifen Architekten den Typus als homöopathisch wirksames Mittel zur Reparatur der geschundenen Stadt, mal verliert sich das technische Artefakt im ästhetischen Ganzen einer arkadischen Landschaft.“*¹³⁷

So werden Brücken laut Baus und Schlaich beispielsweise nach der Eroberung der Städte durch das Automobil und deren damit verbundenen Zerstückelung sowie der Zerschneidung von Landschaften durch mehrspurige Straßen zur Überwindung dieser Hindernisse und damit zur Reparatur dieser Orte eingesetzt. Weiters können durch Flüsse, Täler oder Meere getrennte Orte oder Wohn-, Arbeits- bzw. Industriegebiete in Städten mittels Brücken miteinander verknüpft und dadurch deren Integration in einer Gesamtstruktur verbessert werden.¹³⁸ Auch die Auswirkungen wirtschaftlicher Phänomene können sich auf die Wahl von Brückenkonstruktionen auswirken. Mit Beginn der „Ölkrise“ im Jahr 1973 wurden Begriffe wie „Umweltverantwortung“ und „Effizienz“ zu populären politischen Zielen, wodurch der Leichtbau als besonders ressourcensparende Konstruktion bevorzugt wurde. Als Vorbilder

für diese sogenannten „ehrlichen“ und „materialgerechten“ Konstruktionen dienten beispielsweise Pionierarbeiten wie die von Buckminster Fuller (1895-1983). So waren etwa Fullers Arbeiten Inspiration für Frei Ottos filigrane Bauten wie etwa das Dach der Münchner Olympiastätten.¹³⁹ Als Beispiel für die Verwüstung eines politisch sozialen Symbols nennt Dirk Bühler die Zerstörung der alten „Brücke von Mostar“, die als Zeichen des Zusammenlebens verschiedener Volksgruppen im Bosnienkrieg bewusst bombardiert wurde. Damit sei der Beschuss des muslimischen Stadtteils durch die Kroaten und der Zusammenbruch der Brücke am 9. November 1993 nicht bloß als militärischer Eingriff, sondern als bewusster symbolischer Akt, der die Spaltung der Bevölkerung vertiefen sollte, zu deuten.¹⁴⁰ Auch im Sprachgebrauch lässt sich in der Verwendung des Wortes wie etwa „überbrücken“ im Sinne von „überwinden“, „verbinden“ etc. die kulturelle Verankerung und symbolische Deutung von Brücken erkennen.

Bezugnehmend auf die vorliegende Arbeit sei erwähnt, dass seit der Jahrtausendwende nach dem Vorbild von Weltausstellungen vermehrt Milleniumparks, -towers und auch -bridges gebaut werden. Dabei wird häufig auf kleinere multifunktionale Objekte wie Fußgängerbrücken mit „Icon-Wirkung“ bzw. den damit in Verbindung stehenden „Bilbaoeffekt“ gesetzt. Besonders kleinere Brücken werden in urbanen Gebieten und Parks zu Orten der Begegnung, die neben ihrer Wahrzeichenwirkung von den Menschen auch als Joggingwege, Boulevards, Promenaden, Orten für Rendez-vous etc. adaptiert werden. Ein Meister dieser zeichenhaften extravaganter Skulpturen ist der seit den 1970er Jahren besonders erfolgreiche Architekt und Ingenieur Santiago Calatrava, der vorzugsweise den „hohen Bogen“ in verschiedensten Ausführungen vorwiegend gekippt, verdreht oder verzogen einsetzt. Weitere gegenwärtig bekannte aktive BrückenentwerferInnen in diesem Bereich sind beispielsweise Ney & Partners in Belgien, Feichtinger Architekten oder Marc Mimran in Frankreich, Schlaich Bermann und Partner oder Leonhardt-AnrÄ und Partner in Deutschland, Juan Arenas in Spanien oder Wilkinson Eyre, Buro Happold oder Knight Architects in Großbritannien.¹⁴¹

Mit diesen Beispielen sei nun verdeutlicht, dass Brücken in verschiedenster Hinsicht ein Spiegel bzw. Ausdruck einer bestimmten Zeit, eines Ortes und einer Kultur sind. „Gute Brücken sparen Ressourcen, sind also ökologisch, schaffen Arbeit, sind also sozial und am Ende sind sie auch noch auf natürliche Weise schön. Ökologisch, sozial, kulturell, was könnte zeitgemäßer sein?“¹⁴²

Ingenieure und Architekten – Bridge Designer

Die geschichtliche Entstehung des Ingenieurwesens und dessen Abspaltung von der Architektur wird üblicherweise mit der „Industrialisierung“ gegen Ende des 18. Jahrhunderts in Verbindung gebracht. Anfangs steht dabei oft die im Jahre 1747 in Frankreich gegründete „Zivilingenieurschule“ oder auch die später folgende polytechnische Schule sowie die Schule für Straßen- und Brückenbau „École Nationale des Ponts et Chaussées“

mit ihren Bestrebungen, wissenschaftlich und konstruktiv zu bauen, im Vordergrund.¹⁴³ Die geschichtliche Entwicklung wird in dieser Arbeit nicht weiter behandelt, da der Fokus auf der gegenwärtigen Rollenverteilung von IngenieurIn und ArchitektIn bei aktuellen Brückenentwurfsaufgaben liegt. Daher werden die Entstehungsumstände hier abschließend mit den Worten des erfolgreichen Brückenbauers und Ingenieurs Jörg Schlaich pointiert. Schlaich verwies in einem Interview auf die Frage nach der Geburtsstunde des Ingenieurs auf die im Jahre 1889 abgehaltene Weltausstellung in Paris:

„Die Fußgelenke dieser riesigen Hallen stellten das Denken und bisherige Verständnis der Baumeister auf den Kopf, weil sie dort den Querschnitt einschnüren, wo die Kräfte am größten sind: am Fuß, knapp über dem Boden, dort, wo das Bauwerk doch am dicksten sein müsste, wie uns die Natur lehrt! Damit war denen die Bauen ohne Statik gelernt und höchstens ein Gefühl für, aber keine Erfahrung mit Kraftfluss haben, den Architekten also, der Boden entzogen. Sie überließen schmallend solche Konstruktionen den Ingenieuren und dekorierten deren filigrane Bahnhofshallen und Brücken mit prunkvollen Fassaden und bombastischen Türmen.“¹⁴⁴

Wie bereits erwähnt, ist die Gestalt von Brücken im Allgemeinen wesentlich durch die „an“ und „in“ der Konstruktion auftretenden Kräfte und den Umgang mit den daraus resultierenden Spannungen in der Konstruktion geprägt. So wird bei der Ableitung der Kräfte in die Auflager besonders darauf geachtet, dass sich die Brückenform möglichst mit dem Kräftefluss deckt, wodurch die Konstruktion optimal ausgenutzt werden soll und folglich kein unnötiger Materialverbrauch entsteht. Wird die Brückenform nicht aus ihrem Tragverhalten entwickelt und ist der Kraftfluss an ihrer Gestalt nicht ablesbar, ist diese nach Schlaich nicht wahrhaftig, sondern unehrlich.¹⁴⁵ In diesem Kontext gibt es unzählige Kommentare wie beispielsweise jenen von Michel Virlogeux:

„...selecting shapes for pure fantasy and appearance without any structural logic, and then trying to amend the design to balance loads and effects is a pure nonsense.“¹⁴⁶

Nach weit verbreiteter Ansicht deckt sich die Form einer optimierten Tragkonstruktion mit einer ästhetisch gelungenen Brückengestalt. Demgemäß äußerte sich der berühmte Bauingenieur und Betonbauexperte Robert Maillart (1872-1940) wie folgt:

„Ein gut konstruiertes Tragwerk ist auch schön.“¹⁴⁷

So hätte nach Schlaich auch Maillart weniger Wert auf Ästhetik gelegt, sondern setzte vorrangig auf die Wirtschaftlichkeit der Konstruktion, woraus eine schöne Gestalt automatisch folge. So bemerkt Schlaich: *„Dass ein konstruktiv falsch angelegtes Bauwerk ästhetisch gut ist, kann ich mir kaum vorstellen, wobei wie immer Ausnahmen die Regel bestätigen, wie das Sydney Opera House von Jorn Utzon.“¹⁴⁸*

Bezugnehmend auf die vorliegende Arbeit ist darauf hinzuweisen, dass sich Schlaich zu den gegenwärtigen Entwicklungen, den digitalen Methoden

und den damit verbundenen formalen Freiheiten und zur Ästhetik äußerst kritisch wie folgt äußerte:

„Wenn also zukünftig dank dem Computer ‚alles möglich‘ ist, muss man sich um beispielsweise in einem Wettbewerb aufzufallen, künstlich etwas einfallen lassen, etwas draufsetzen [...]. So übertreffen sich ‚die Wilden‘ mit aufgeblasenen und zerknautschten Blobs, oft Persiflagen und Karikaturen missinterpretierter ‚Vorbilder‘ – ich weiß aus unserer spannenden Zusammenarbeit mit Frank O. Gehry, wovon ich rede, bar jeden Bezugs zwischen Form, Funktion und Kraftfluss. Hoffentlich eine schnell vergängliche Mode der Spaßgesellschaft.“¹⁴⁹

Um eine möglichst effiziente Tragwerkskonstruktion entwickeln bzw. die verwendeten Materialien optimal nutzen zu können, sind fundierte Kenntnisse in der Statik, Mechanik und Materialkunde erforderlich. Schlaich behauptet, dass es aufgrund der engen Verknüpfung mit dem Tragverhalten eher dem/der BauingenieurIn mit einer Zusatzausbildung in Baukultur sowie auch im Entwerfen möglich wäre, eine gelungene Brücke zu konzipieren, als einem/einer Architekten/in mit einer Grundausbildung in der Tragwerkslehre. So würden *„Architekten zwar in der Tragwerkslehre mit Grundkenntnissen versorgt, doch daraus erwächst nur selten eine Tragwerksentwurfskompetenz.“¹⁵⁰*

Aus diesem Grund schrieb Schlaich über den Brückenentwurf als „Königsdiziplin“ der Ingenieure/Innen: *„Dieser gesellschaftspolitische und kulturelle Hintergrund verpflichtet die Bauingenieure, über ihr Wissen und Können hinaus ihre Phantasie einzusetzen, um ihre Bauten, insbesondere in ihrer Königsdiziplin, dem Brückenbau, so zu gestalten, dass sie die Natur, die sie verbauen (müssen), mit der einzigen adäquaten Gegenleistung entschädigen: mit Baukultur.“¹⁵¹*

Solche Aussagen enthalten naturgemäß Konfliktpotential. Meines Erachtens wird bewusst der Begriff „Baukultur“ und nicht „Baukunst“ verwendet, da letzterer Begriff aus einer technisch funktionalen Perspektive höchstwahrscheinlich zu homöopathisch klingt. ArchitektInnen könnten im Gegenzug behaupten, dass der/die BauingenieurIn aufgrund seiner/ihrer mangelnden Ausbildung in Kultur- oder Kunstgeschichte oder anderen gestaltungsrelevanten Themen und auch der fehlenden Übung im Entwerfen die Qualitäten des Entwurfskontexts nicht lesen, beurteilen bzw. in ein entsprechendes Konzept umsetzen können. Für einen/eine technisch versierten/e BauingenieurIn ist es höchstwahrscheinlich schwierig, ein abstraktes Gesamtkonzept zu entwerfen und beispielsweise unterschiedlichste örtliche Gegebenheiten zu beurteilen und die Atmosphäre mit dem notwendige Vokabular bzw. Entwurfswerkzeug in eine adäquate Sprache von Proportion, Rhythmus, Anordnung, Materialien, Oberflächen, Lichtkonzepten etc. zu übersetzen.

Nach Virlogeux, Baus, Schlaich u.a. können ArchitektInnen jedoch viel zum Brückenentwurf beitragen und dem/der IngenieurIn neben der Beschäftigung mit dem Ort, Licht und Schatten und den Oberflächenwirkungen beim Ausdrücken und Formulieren der gewählten Strukturen helfen und elegante Details entwerfen. Auch Michael Blaschko thematisierte das Spannungsfeld

zwischen ArchitektInnen und BauingenieurInnen und merkt dazu an, dass sich eine Rivalität nicht leugnen lässt:

„Bezeichnen die einen die anderen gerne mit Technokraten, so charakterisieren die anderen die einen schon mal mit Phantasten“¹⁵². Über die Vorteile der Ausbildung in beiden Fachgebieten und deren Nutzung für den Entwurfsprozess antwortet der Stararchitekt Santiago Calatrava in einem Interview:

*"I think certainly [...] the knowledge of materials [...] of mechanism [...] of mechanics helps you a lot in this process, because it becomes part of yourself and your thoughts and you can make natural references and at the same time implement them in terms of mechanical processes [...] it's so interesting [...] to be well trained as an engineer [...] being an architect. [...] The building itself want to be an expression of this what you can do with the language of an engineering to the service of an architecture"*¹⁵³.

Um die angesprochene Qualität und Expression in einer Zusammenarbeit von ArchitektIn und BauingenieurIn zu erreichen, ist es allerdings zwingend, dass der/die ArchitektIn von Anfang an in den Entwurfsprozess integriert ist.¹⁵⁴ Der Bauingenieur Fritz Leonhardt (1909-1999) war ein berühmter Brückenbauer und arbeitete in vielen Projekten mit unterschiedlichen Architekten zusammen, wobei er sich vor allem in ästhetischen Formulierungen wie bezüglich günstiger Proportionen, Ordnungen und der Ausformulierung von Details beraten ließ. Zur Zusammenarbeit bemerkt Leonhardt folgendes:

„Der Ingenieur entwirft die Brücken, und der Architekt hilft als künstlerischer Berater. [...] Die künstlerische Beratung durch geeignete Architekten sollte auch in Zukunft für das Entwerfen von Brücken gepflegt, ja sogar gefordert werden.“¹⁵⁵ Je größer der Umfang des Brückenentwurfes, desto eher ergibt sich über die steigende Anzahl von technischen Fragen bezüglich der Machbarkeit in der Regel eine klare Kompetenzverteilung zu Gunsten des/der Ingenieurs/Ingenieurin. So wird zum Beispiel bei der 2460 Meter langen und 343 Meter hohen Schrägseilbrücke „Viaduc de Millau“ üblicherweise der Ingenieur Michel Virlogeux als Entwerfer und der Stararchitekt Norman Foster als Gestalter genannt¹⁵⁶. Laut Virlogeux hat der/die IngenieurIn bei jedem Brückenentwurf generell die Hauptverantwortung zutragen; insbesondere im Bereich der Finanzen und der Sicherheit.¹⁵⁷ Ferner schreibt Virlogeux:

*"The Designer – who must be an engineer – has the responsibility for the bridge design, or at least for the conceptual and detailed design which is the basis of the tender."*¹⁵⁸

Aus diesen Gründen kommt es besonders bei kleineren Projekten - dem Einfamilienhaus vergleichbaren Bautypus „Fußgängerbrücke“ - zu Konflikten zwischen ArchitektInnen und IngenieurInnen, sodass die viel beschworene Zusammenarbeit auf die Bewährungsprobe gestellt wird.¹⁵⁹

Gegenwärtig wird die Zusammenarbeit besonders seitens der Politik immer häufiger gefordert. Wie bereits erwähnt, werden vermehrt Prestigeobjekte gewünscht, die als Wahrzeichen und Touristenattraktoren wirken sollen. Solche Entwürfe traut man eher ArchitektInnen als BauingenieurInnen zu. In der Öffentlichkeit bringt man Ingenieurbrücken vor allem mit den

oft misslungenen Autobahn- bzw. Eisenbahnbrücken, die im Zuge der rasch vorangetriebenen Infrastrukturerweiterungen der 1960er Jahre in westlichen Staaten in großer Anzahl gebaut wurden, in Verbindung.

Als einen naheliegenden Grund für die Zusammenarbeit beider Disziplinen schrieb der Architekt Kurt Ackermann folgendes: „Außerdem bin ich noch heute der Überzeugung, dass Entwicklungen und Erneuerungen in der Architektur vor allem durch neue Technologien, neue Baustoffe und neue Konstruktionen ermöglicht werden; [...]“¹⁶⁰.

Um das gegenseitige Rollenverständnis zu fördern, die Kommunikation zu verbessern und dadurch schließlich auch später in der Praxis in einer Partnerschaft qualitativ hochwertige Projekte entwickeln zu können, fordert Ackermann bereits im Studium die gemeinsame Arbeit an Projekten für Studierende der Architektur und des konstruktiven Ingenieurbaus.¹⁶¹ Dabei beschreibt Hans Kammerer die Annäherung seitens der BauingenieurstudentInnen an die Architektur folgend:

„Auch die Auflockerung der strengen Zucht des Grundstudiums der Unterstufe reizte manchen; der Architekt als gelegentlicher Alleinunterhalter schien anziehend. [...] Stufe um Stufe gewann dieses zunächst unverbindlich-naive Bild schärfere Konturen.“¹⁶² Ackermann stellte allerdings mit Bedauern fest, dass es den Fakultäten für Bauingenieurwesen und der Architekturfakultät nicht gelungen ist, gemeinsame Lehrveranstaltungen wie „Tragwerkslehre, Baustoffkunde, Baubetrieb, Bauphysik, Teile des Baurechts, Haustechnik oder auch Teile der Baugeschichte“ anzubieten.¹⁶³

Hiezu sei zu erwähnen, dass es an der Technischen Universität Graz seitens des Instituts für Tragwerksentwurf den Versuch gibt, zusammen mit dem Institut für Betonbau einer Lehrveranstaltung anzubieten, in welcher Architektur- und BauingenieurstudentInnen zusammen an einem Entwurf arbeiten. Als Aufgabenstellung dient dabei seit ein einigen Jahren die „Concrete Student Trophy“, die jährlich von der Vereinigung der Österreichischen Zementindustrie ausgeschrieben wird.

Zusammenfassend wird festgestellt, dass die Rolle und Verantwortung von ArchitektInnen oder IngenieurInnen im Brückenentwurf ein heikles Thema bleibt, da diese nur tendenziell und nicht eindeutig definiert werden kann. Auch Baus und Schlaich weisen diplomatisch darauf hin, dass die Bewertung der einzelnen Leistungen höchst individuell je nach Projekt und am finalen Ergebnis orientiert vorgenommen werden muss.¹⁶⁴ Um diesem Kategorisierungskonflikt zu entkommen, bezeichnete sich bereits Fritz Leonhardt selbst weder als „Bauingenieur“ noch als „Architekt“, sondern als „Baumeister. In diesem Sinn sei abschließend die von Sir Ove Nyquist Arup (1895-1988) versuchte professionsunabhängige Definition des „Brücken-Architekten“ bzw. „Brücken-Designers“ genannt:

*„bridge architects, or bridge designers can be considered those professional who have been designing bridges with a specific concern for aesthetics for at least ten continuous years, or that have been involved in at least one hundred projects over time or that have been involved in the actual construction of ten bridges.“*¹⁶⁵

Entwerfen mit Kräften – Grundkenntnisse

Bezugnehmend auf die vorliegende Arbeit, die sich im Hauptteil wesentlich mit der Bemessung eines Tragwerkes auseinandersetzt, soll für diejenigen, die in der Tragwerkslehre nicht bewandert sind, skizziert werden, welche Kenntnisse bzw. Grundprinzipien für die Bemessung eines Kräftesystems unerlässlich sind. Ohne das Verständnis dieser Zusammenhänge kann die „Scripted Bridge“ im Kern nicht ernsthaft verstanden werden. Im Folgenden werden die Bemessungsschritte verallgemeinert dargestellt.¹⁶⁶ Die nachstehenden Beispielgrafiken beziehen sich auf das vereinfachte Tragsystem der „Scripted Bridge“ - ein Kragarmsystem.

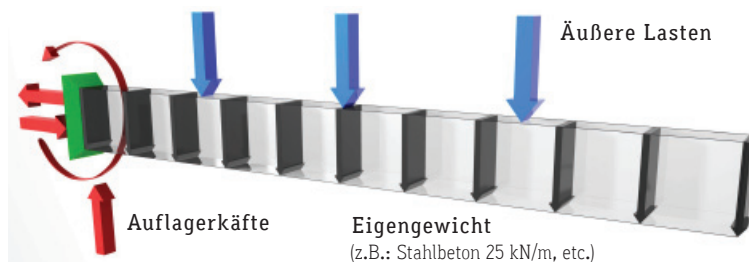


Abbildung 51: Kragarm mit den auftretenden Lasten. Die „Scripted Bridge“ wurde auch nach diesem System berechnet.

Bemessung eines Tragwerks

Schritt 1: Idealisierung der Wirklichkeit - Modellbildung

In einem ersten Schritt muss der überlegte Entwurf in ein statisches System abstrahiert werden. Dazu müssen zunächst die Auflagerbedingungen definiert sowie Einwirkungen determiniert werden.

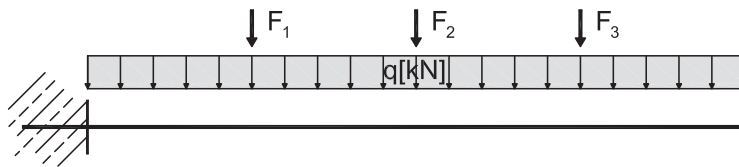


Abbildung 52: Statisches System. Kragarm mit drei Einzellasten und dem Eigengewicht als Gleichlast.

Diese Einwirkungen (auch äußere Kräfte genannt) werden durch ständige (Eigengewicht) oder veränderliche Lasten wie beispielsweise Nutzlasten (Personen, Autos, etc.) Wind, Schnee etc. verursacht. Lasten werden in Kilonewton pro Volumen [kN/m³], Fläche [kN/m²], pro Länge [kN/m] oder in einem einzelnen Punkt wirkend [kN] angegeben.

Die äußeren Kräfte müssen über die Auflager in den Baugrund abgeleitet werden können. Prinzipiell kann sich ein Tragwerk im Raum in x-, y-, z-Richtung verschieben sowie um selbige Richtungen verdrehen (Freiheitsgrade). Je nach Anzahl und Art der gesperrten Freiheitsgrade spricht man auch von der Wertigkeit eines Lagers, wobei zwischen Gleitlagern, Festlagern und Einspannungen unterschieden wird.

Schritt 2: Auflagerreaktionen berechnen

Allen angreifenden Lasten (Aktionskräften) muss durch die Auflagerreaktionskräfte insofern das Gleichgewicht gehalten werden, dass sich das Tragwerk weder verschieben noch verdrehen darf. Nach diesem Prinzip werden die Gleichgewichtsbedingungen (Gleichungen) aufgestellt und die unbekanntenen Auflagerreaktionen berechnet.

Schritt 3: Schnittkraftermittlung

Allein die Bestimmung der Auflagerreaktionen sagt jedoch noch nichts über die Beanspruchung des Materials aus. Da die auftretenden Kräfte in der Regel nicht an jener Stelle, an der sie angreifen, in den Baugrund abgeleitet werden können, müssen diese über eine gewisse Distanz innerhalb der Konstruktion zu den Auflagern geführt werden (Lastableitungspfad), wodurch

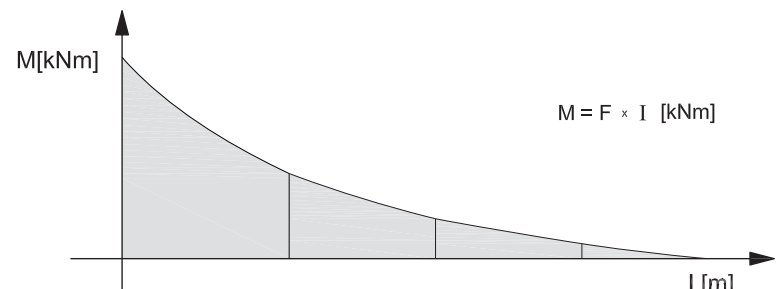


Abbildung 53: Beispiel für einen Momentenverlauf über die Länge eines Kragarmsystems.

ein Kraftfluss im Tragwerk entsteht. Bei dieser inneren Beanspruchung des Tragwerks können Kräfte in Richtung der Stabachse (Normalkräfte in x-Richtung), rechtwinklig zur Stabachse (Querkräfte in y- und z-Richtung) sowie Momente, welche die Stabachse verbiegen (um y- bzw. z-Achse) und verdrehen (um x-Achse = Torsion), unterschieden werden. Generell werden die oben angeführten Schnittkräfte an jeder Stelle des Tragwerkes ermittelt, wodurch sich die sogenannten Schnittkraftverläufe ergeben.

Schritt 4: Tragfähigkeit überprüfen

Durch die Kenntnis des gesamten Schnittkraftverlaufes über dem Tragwerk lassen sich jene Stellen mit extremalen¹⁶⁷ Werten leicht bestimmen. Es wird sichtbar, wo das System am meisten gezogen, gedrückt, gebogen, abgeschernt bzw. tordiert wird. Dort muss überprüft werden, ob das Material den Belastungen genügend Widerstand entgegen zu bringen vermag oder versagt.

Das Verhältnis von Schnittkraft zu Fläche bei Normal- und Querkraftbeanspruchung bzw. zu Widerstandsmoment bei Momentenbeanspruchung wird Spannung [kN/cm²] genannt. Durch die inneren Kräfte wird der Bauteil stets auch verformt.

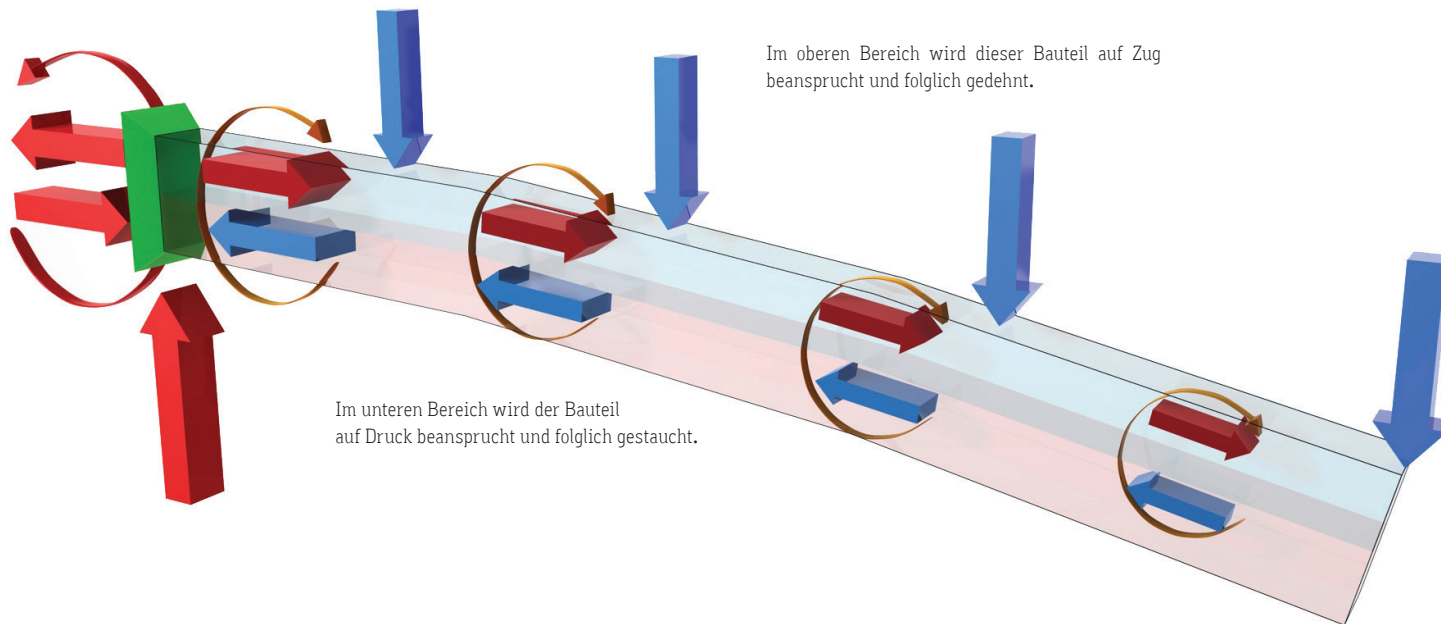


Abbildung 54: Zerlegen einer Momentenbeanspruchung in eine kombinierte Zug- und Druckbeanspruchung (Kräftepaar).

Der Querschnitt muss dem durch die Spannungen verursachten Biegemoment (Orange) ein Widerstandsmoment (Gelb) entgegensetzen.

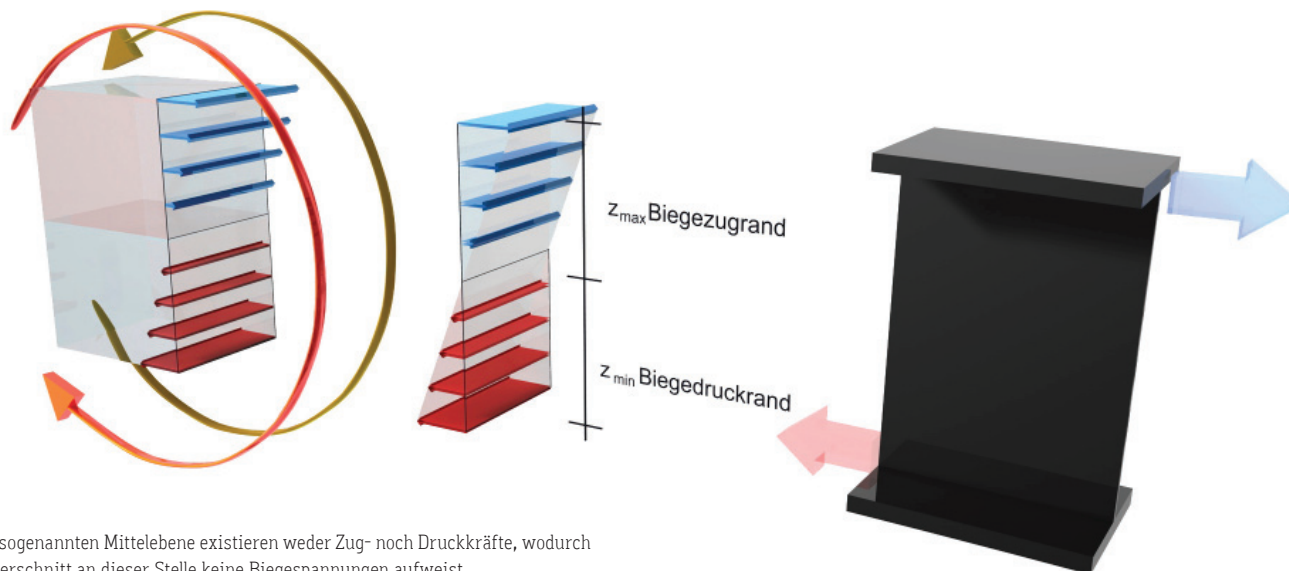


Abbildung 55: Kragarm. Spannungsverteilung bei Biegebeanspruchung.

Die größte Beanspruchung (Spannung) tritt an den jeweiligen Rändern des Querschnitts (Randspannungen) auf. Der Spannungsverlauf im Querschnitt in Folge "Biegemomentenbeanspruchung" errechnet sich wie folgt:

$$\sigma(z) = \frac{M}{I} \times z \quad [\text{kN/cm}^2]$$

Das Moment „M“ entspricht dem Maximalmoment „Mmax“ aus der Schnittkraftermittlung, „z“ ist die Laufvariable der vertikalen Richtung des lokalen Koordinatensystems mit Ursprung in der Schwerachse des Querschnitts.

Flächenträgheitsmoment [I]: $I = \int z^2 dA$

Das Flächenträgheitsmoment gibt ebenso wie das Widerstandsmoment an, wie resistent ein bestimmter Querschnitt gegenüber Biegung ist. Das Flächenträgheitsmoment hängt lediglich von der Geometrie des Querschnittes (Querschnittwert) ab.

Für beliebige Querschnitte wird die Ermittlung schnell komplex. Freiformquerschnitte werden zur Vereinfachung in linear berandete Teilflächen zerlegt. Das Flächenträgheitsmoment eines zusammengesetzten Querschnittes um seine Schwerachsen ergibt sich durch Anwendung des „Satz von Steiner“. Für Standardgeometrien (Quadrat, Rechteck, Kreis, etc.) gibt es fertige Formeln.

Aus obiger Formel für den Spannungsverlauf im Querschnitt „ $\sigma(z)$ “ kann abgeleitet werden, dass die Spannung für maximale bzw. minimale Werte von „z“ ebenfalls extremal wird. Für diesen Fall kann der Ausdruck „ $I/z_{\min/\max}$ “ durch das Widerstandsmoment „W“ ersetzt werden.

Es ergibt sich die minimale bzw. maximale Randspannung zu:

$$\sigma_{\min/\max} = \frac{M}{W} \quad [\text{kN/cm}^2]$$

Das $\sigma_{\min/\max}$ wird mit der zulässigen des Materials verglichen. Damit der Spannungsnachweis erfüllt ist, muss die vorhandene Maximalspannung im Querschnitt kleiner sein als die zulässige:

$$\sigma_{\min/\max} \leq \sigma_{\text{zulässig}}$$

Schritt 5: Gebrauchstauglichkeit überprüfen

Zusätzlich zum Nachweis, dass die vorhandenen Spannungen in sämtlichen Querschnitten nicht größer sind als die zulässigen, muss überprüft werden, ob auch die maximal vorhandenen Verformungen des Tragwerkes nicht über die zulässigen Werte hinausgehen. Zulässige Verformungen liegen je nach statischem System zwischen $l/150$ und $l/400$.

$$f_{\text{vorh.}} \leq f_{\text{zul.}}$$

Die Berechnung der Durchbiegung der Scripted Bridge wurde mittels der „Winkelgewichte Theorie“¹⁶⁸ ermittelt, die hier nicht genauer erklärt werden kann.

Bemessungsschritte zusammengefasst:

1. Statisches System bestimmen:

Lasten und Auflagerkräfte definieren

2. Lasten ermitteln und Auflagerreaktionen berechnen:

Prinzip "Aktion ist gleich Reaktion"

3. Schnittkraftermittlung:

Normalkraft, Querkraft sowie Momentenverläufe über den Bauteil bestimmen.

4. Tragfähigkeit überprüfen:

Überprüfen, ob die Querschnitte den auftretenden Kräften genug Widerstand entgegensetzen.

5. Gebrauchstauglichkeit nachweisen:

Überprüfen, ob die maximal zulässige Verformung nicht überschritten wird.

Diesem Ablauf folgt auch die automatisierte Berechnung der Scripted Bridge.

Bemerkung:

Sollte ein Bauteil erheblich unterdimensioniert oder auch überdimensioniert sein und wird daher der Querschnitt oder das Material geändert, reicht es nicht, lediglich die Überprüfung der Tragfähigkeit bzw. der Gebrauchstauglichkeit zu wiederholen. Es muss wieder bei „Schritt 2“ angesetzt werden, da sich über die Veränderung des Querschnittes bzw. des Materials auch das Eigengewicht und damit eine Last im System verändert.

Sicherheit

Die Berücksichtigung unterschiedlichster Sicherheitsbestimmungen in Form von unterschiedlichsten Normen wie beispielweise der geforderte Nachweis der Stabilität gegenüber unterschiedlichsten Lasten machen besonders den Brückenentwurf komplex. In der vorliegenden Arbeit wurde versucht zumindest das sogenannte semiprobabilistische Sicherheitskonzept in die Berechnungen einzubeziehen. Das semiprobabilistische Sicherheitskonzept sieht sowohl auf Einwirkungsseite als auch auf Widerstandsseite sogenannte Teilsicherheitsbeiwerte vor. Mit anderen Worten werden Lasten mit Faktoren größer eins multipliziert (erhöht) sowie die Widerstände mit einem Faktor ebenfalls größer eins dividiert (abgemindert).

Generell lautet ein Nachweis im semiprobabilistischen Sicherheitskonzept, wie folgt:

$$S_k \times \gamma_k \leq \frac{R_k}{\gamma_k} \quad S_d \leq R_d$$

Bemerkung zur Torsionsbeanspruchung:

Grundsätzlich wird bei den Querschnitten zwischen offenen oder geschlossenen unterschieden. Dabei leisten die offenen Querschnitte im Verhältnis zu geschlossenen Querschnitten gegen Torsionsbeanspruchung marginalen Widerstand. Auf eine detaillierte mathematische Definition wird hier nicht weiter eingegangen.

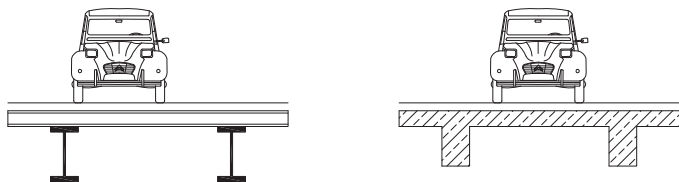


Abbildung 56: Unterschiedliche Querschnitte auf Torsionsbeanspruchung

Abschließend muss in Bezug auf die vorliegende Arbeit erwähnt werden, dass die Torsion um die Brückenlängsachse nicht berücksichtigt wurde, da vor allem bei beliebigen Querschnitten die Berechnung sehr komplex ist. Es wurde ein mehrzelliger Kastenquerschnitt vorgesehen, der für diese Art von Brückenform günstig und bei dem in der Regel ein Versagen aufgrund von Torsion unwahrscheinlich ist.

Typische Brückenquerschnitte:

offene Querschnitte:



geschlossene Querschnitte:

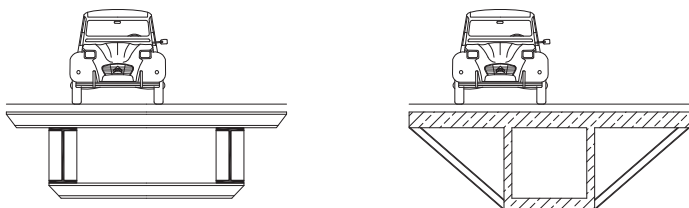


Abbildung 56: Ähnlich wie die einzelnen Profile unterteilt man ganze Brückenquerschnitte in "offene" und geschlossene Querschnitte.

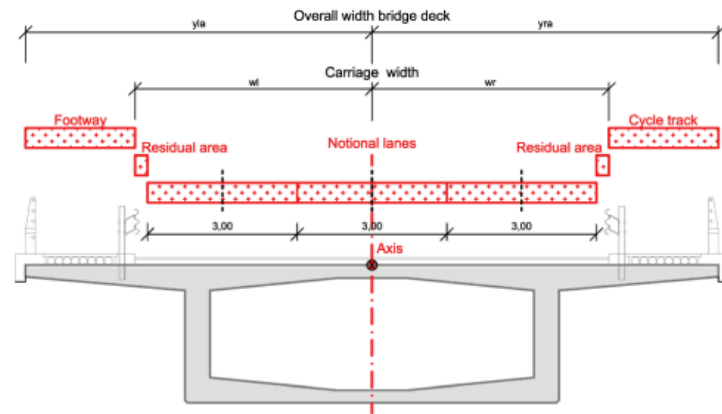


Abbildung 60: Definieren der Lastaufteilung auf dem Querschnitt.

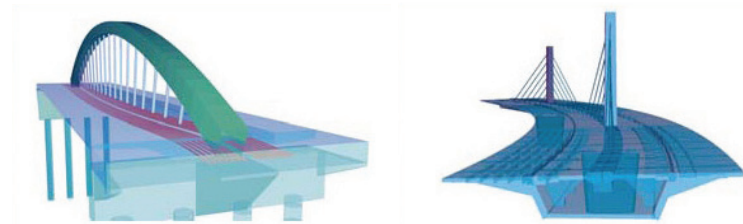


Abbildung 57: Brückenmodelle mit der Software Sofistik.

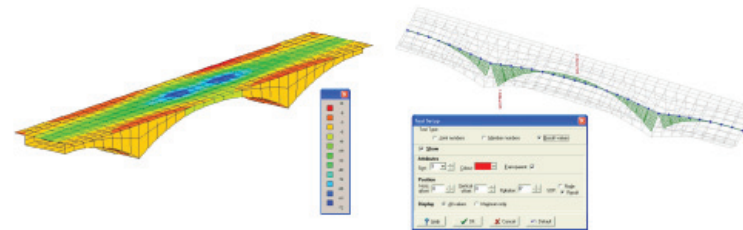


Abbildung 62: Analyse der Spannungen im Tragwerk.

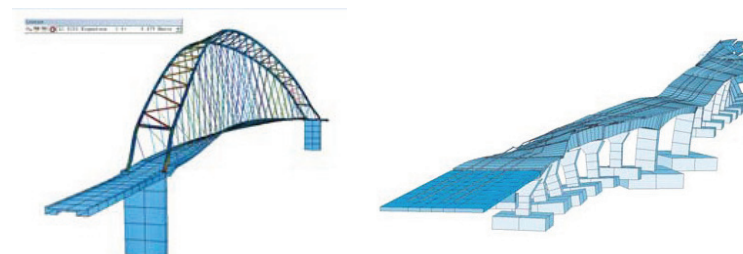


Abbildung 63: Simulation von Wind und Erdbebenlasten.

Brückenentwurf im digitalen Zeitalter

Der Computer wurde schon relativ früh für die Berechnung von Tragwerken eingesetzt. Der Bauingenieur Konrad Zuse arbeitete als Statiker in Berlin und entwickelte seinen ersten Rechner zu dem Zweck, Berechnungsaufgaben, die hin und wieder mehrere Tage in Anspruch nehmen konnten, zu automatisieren und damit rasch lösen zu können.¹⁶⁹

Bereits Vannevar Bush (zu Bush siehe S.20-21) entwickelte am MIT ein mechanisches System zur Lösung von Differentialgleichungen und schuf damit die Grundlagen für die heutige „Finite Elemente Methode“ (in Folge FEM). Mit der FEM können komplexe Differentialgleichungen gelöst werden, indem zwei- oder auch dreidimensionale Objekte in einen Raster zerlegt werden, der aus einer begrenzten Anzahl von Elementen zusammengesetzt wird. Je feiner der Raster, desto genauer und zeitaufwändiger wird die Berechnung. Gegenwärtig werden die sogenannten FE-Programme in Kombination mit den bereits erwähnten Entwicklungen im CAD und CGS Bereich im Bauingenieurwesen als leistungsfähige Analyse- bzw. Simulationsprogramme für das Entwerfen und Dimensionieren von Tragwerken eingesetzt.¹⁷⁰

Je nach Aufgabengebiet der AnwenderInnen werden mehr oder weniger stark spezialisierten Softwarepakete verwendet. Dementsprechend haben sich einige Hersteller ausschließlich auf Brückendesignsoftware (BDS) spezialisiert oder bieten eigenständige Programme oder Erweiterungen bzw. Aufsätze zu ihren anderen Produkten an.¹⁷¹

Bezugnehmend auf die vorliegende Arbeit sei erwähnt, dass das Büro „Structural Design Olipitz (SDO)“ zwar einige Brücken entworfen und realisiert hat, dazu jedoch keine spezifische Brückenentwurfssoftware verwendet. Daher wurde die im Zuge des Wettbewerbs „Connecting Link“ entstandene Variante der „Scripted Bridge“ mit RStab (Dlubal) analysiert und bemessen.¹⁷²

Die Spezialisierung einzelner Programme auf den Brückenentwurf erlaubt eine schnellere Bearbeitung der Konzepte von der Idee bis zur Realisierung der Entwürfe. Die Software Sofistik stellt neben den weitverbreiteten parametergesteuerten Brücken- und Straßenquerschnitten beispielsweise komplexe Bauteile wie Autobahnauffahrten, Rampen, Kurven, Straßenabzweigungen etc. bereit, wobei diese sich ebenfalls über Parameter wie Radien, Steigungen usw. an individuelle Situationen anpassen lassen. Es wird versucht, eine hohe Automatisierung und eine möglichst durchgehende Kette im Planungsprozess und damit eine möglichst starke Einbindung in den Entwurfsprozess zu erreichen. In der Regel sind Brückenentwurfsprogramme sehr ähnlich aufgebaut.

Laut Georg Pircher¹⁷³ unterstützen die meisten Programme benötigte Normen, typische Lastfälle (Fußgänger, Autos, Züge, etc.) und eine große Anzahl an parametrisierten Querschnitten. Brückenentwürfe werden zwar häufig mittels veränderlicher Parameter entworfen, diese seinen laut



Abbildung 58: Aashto Girder Brücke Typ 4 in Georgia USA. Diese Brücken werden mittels Tabelleneingabe automatisch generiert.

Pircher aber sehr umfangreich und bei jedem Entwurf individuell. Komplette fertige Brückenentwurfssysteme gibt es vor allem in den USA. Dort werden etwa die „AASHTO Girder Bridges“¹⁷⁴ mittels Ausfüllen von fertigen Tabellen entworfen und folglich automatisch generiert.

Der Planungsprozess ist meist in unterschiedliche Modellierungsschritte wie die der Geometrie bzw. des statischen Grundmodells, Lastenmodellen sowie auch Simulationsszenarien unterteilt. Durch diesen in Schritte unterteilten Prozess entsteht in der Regel ein linearer Arbeitsfluss bei der Konstruktion von statischen Systemen. Dabei ergibt sich das Problem, dass bei Veränderungswünschen vor allem an komplexeren Systemen, diese in das interne oder externe Modellierungssystem zurück exportiert bzw. nach einer neuen Modellierung wieder importiert werden müssen und dabei die Informationen über das System wie etwa Auflager, Gelenke, Lasten

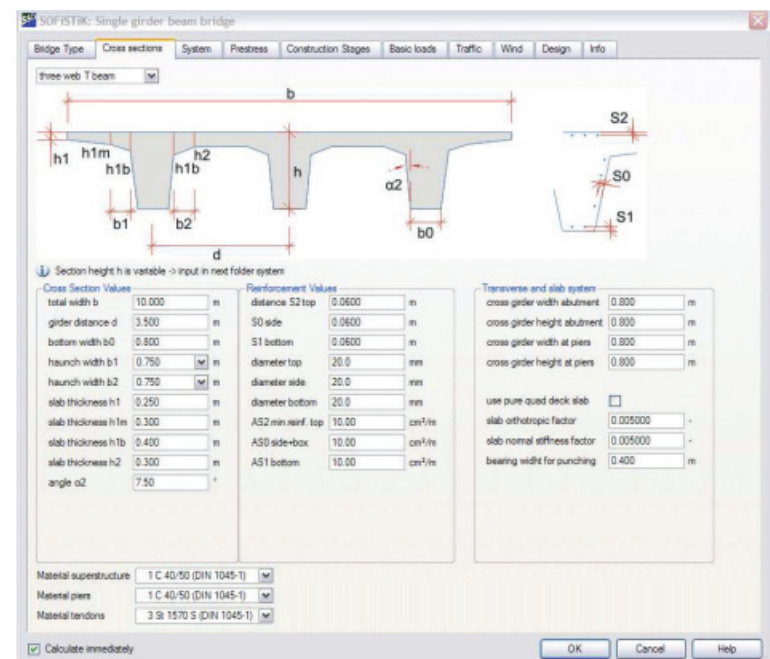


Abbildung 59: Typische Querschnittseditor. Querschnitte können mittels Parameter definiert werden.

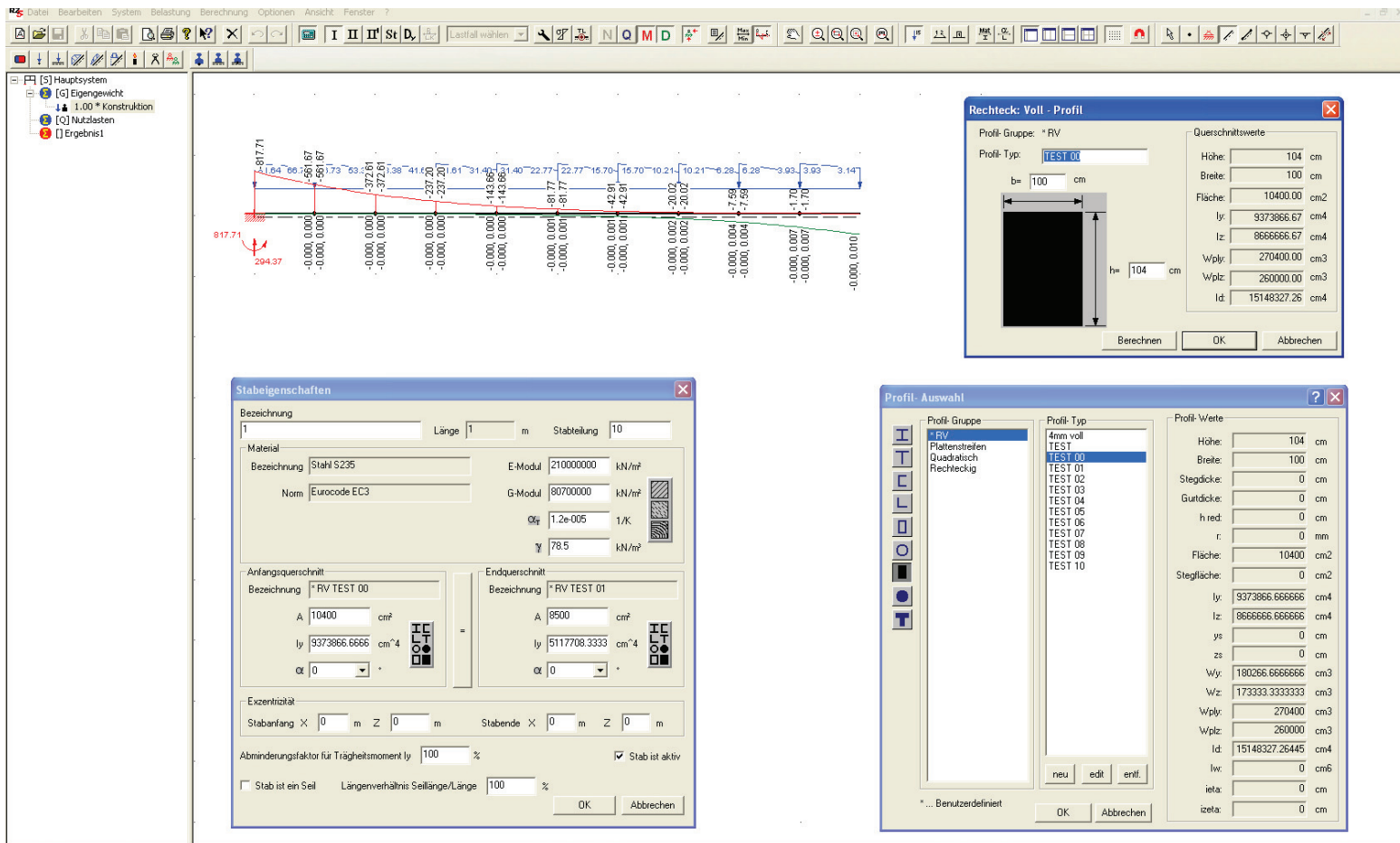


Abbildung 61: Benutzeroberfläche der Software Ruckzug von Mursoft.

etc. verloren gehen. Dadurch wird ein intuitives direktes Modellieren und spielerisches Ausprobieren im Entwurfsprozess unmöglich. Wird etwa die Grundgeometrie geändert, müssen die Folgeschritte meist angepasst oder komplett neu modelliert werden.

Üblicherweise wird in einem ersten Schritt das statische Grundmodell als Achsenmodell mit Hilfe eines einfachen Editors erstellt.

In einem weiteren Schritt werden den einzelnen Linien des Achsmodells Querschnitte zugewiesen, wodurch das gesamte Modell ein Volumen und ein Material erhält. Die Modellierungsmöglichkeiten für Flächen- oder Volumengeometrien sind meist nicht vorhanden oder sehr beschränkt. Funktionen wie Loften, Extrudieren, das Erstellen von Rotationskörpern etc. sind zumeist nicht möglich. Aus diesen Gründen wird die Grundgeometrie komplexer Modelle in der Regel aus anderen Programmen (CAD oder CG-Software) über gängige Austauschformate (dxf, dwg, 3ds, obj, iges, etc.) importiert werden. Die Software Sofistik (SOFiSTiK AG) kann beispielsweise als Plugin in AutoCad (Autodesk) integriert werden, wodurch das Grundmodell in AutoCad erstellt werden kann. Nach Fertigstellung des Models muss diese zur Berechnung in Sofistik konvertiert werden.

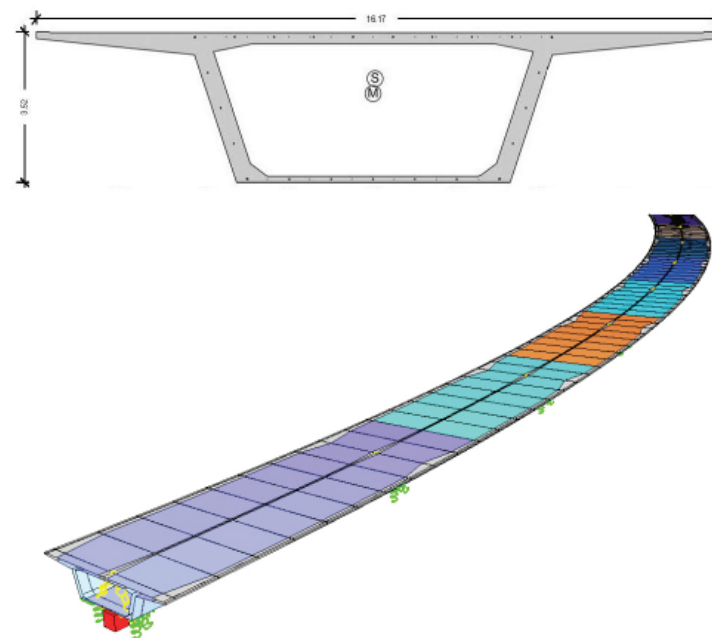


Abbildung 64: Hier wird ein Brückenquerschnitt entlang einer Achse definiert.

Nachdem die Grundgeometrie feststeht, kann das statische System modelliert werden, indem die Verbindung der einzelnen Stäbe bzw. Elemente und die Lagerung des Gesamtsystems definiert wird. Je nachdem, welches Verhalten analysiert bzw. simuliert werden soll, müssen nun ständige Lasten wie Eigenlast oder Lasten durch Vorspannungen etc. sowie nicht ständige Lasten wie Wind, Schnee, Erd-/Wasserdruck etc. sowie auch außergewöhnliches Lasten wie Erdbeben, Brände, Explosionen etc. definiert werden. Möglich sind auch Kombinationen einzelner Lastfälle. Ähnlich wie in CAD- bzw. Animationsprogrammen werden auch in diversen Statikprogrammen Scripting-Techniken unterstützt, um dem/der BenutzerIn individuelle Funktionserweiterungen und Automatisierungen bei der Modellierung zu ermöglichen. Dabei geht es laut Georg Pircher meist um das Scripten unterschiedlicher Lastfälle.¹⁷⁵

So wird beim Entwerfen von Brücken in der Regel auf Statiksoftware zurückgegriffen, die für eine sinnvolle Verwendung bereits für die Beurteilung einfacher Systeme große Fachkenntnisse voraussetzt, wodurch diese Software vorwiegend von BauingenieurInnen verwendet wird. Die Software „RuckZuck“ der Firma Mursoft ist ein Beispiel für eine relativ einfach zu bedienende Software, weshalb diese an der Technischen Universität Graz am Institut für Tragwerksentwurf den ArchitekturstudentInnen einführend nähergebracht wird. Ein großer Nachteil besteht jedoch darin, dass dieses Programm stark zwei dimensional operiert und die Modellierung von freieren Systemen nicht möglich ist.

Eine als Alternative für die Findung von Tragwerksstrukturen sind etwa Topologieoptimierungssysteme wie sie etwa Arata Isozaki im Entwurf einsetzt (Beispiel siehe S.48-49). Diese Programme sind zwar einfach zu bedienen, sind jedoch lediglich wie in der Natur auf einen Lastfall hin optimiert und verwenden isotrope Materialien zur Generierung der Formen (siehe Freeware Beispiel-Applikation im Internet)¹⁷⁶. Daher wird die Konstruktion beim Entwerfen nicht berücksichtigt, wodurch sich meist eine große Diskrepanz zwischen der finalen Geometrie und dem Tragwerk ergibt. Das Problem besteht mE etwa beim Bahnhof von Arata Isozaki nicht darin, dass das Tragwerk nicht wirklich effizient ist, sondern in der gebauten Form so tut als ob. Weiters produzieren letztgenannte Programme feinmaschige Netze mit einer Vielzahl an mehr oder weniger regelmäßigen Polygonen. Dies erschwert die nachträgliche Weiterverarbeitung insbesondere bei Veränderungen der Geometrie erheblich.

Schlaich und Baus bemerken in ihrem Buch „Fußgängerbrücken“, dass Brückenentwürfe zwar immer häufiger mit dem Computer generiert werden, weisen aber darauf hin, dass nur ambitionierte ArchitektInnen und IngenieurInnen, „die das Entwerfen und Konstruieren von Tragwerken von Grund auf gelernt haben“¹⁷⁷, bei diesem Experimentieren sinnvolle Brückenentwürfe hervorbringen können. Bezüglich der Rolle des Computers im Entwurf führen Schlaich und Baus aus: „Mehr als ein Werkzeug kann und darf der Computer beim Experimentieren nicht sein.“¹⁷⁸

Softwarehersteller:

D.I.E. CAD und Statik Software GmbH:
D.I.E, <http://www.die.de>

Ing.-Software Dlubal GmbH:
RFEM, RSTAB, RX-Holz, etc., <http://www.dlubal.de>
Mursoft:
RuckZuck, <http://www.ruckzuck.co.at>

Computers & Structures Inc.:
SAP2000 Bridge Design (BDS), SAP2000, ETABS, SAFE, PERFORM-3D, etc., <http://csiberkeley.com>

RISA Technologies:
RISA-3D, RISA Tower, RISA Base, RISA Masonry, etc.
<http://www.risa.com>

SOFiSTiK AG:
SOFiSTiK Brückenbau (BDS), SOFiSTiK Structural Desktop, SOFiSTiK Dynamik, etc.
<http://www.sofistik.de>

LUSAS:

Lusas Bridge (BDS), Lusas Civil Structural, Lusas High Precision Moulding, etc., <http://www.lusas.com/>

Bentley Systems:
RM Bridge (BDS), STAAD.beava (Brückendesign), STAAD.Pro, STAAD(X). Tower, etc., <http://www.bentley.com>

Bestech Systems Limited:
Sam (BDS), <http://www.bestech.co.uk>

LARSA, Inc.:
LARSA 4D (BDS), <http://www.larsausa.com>

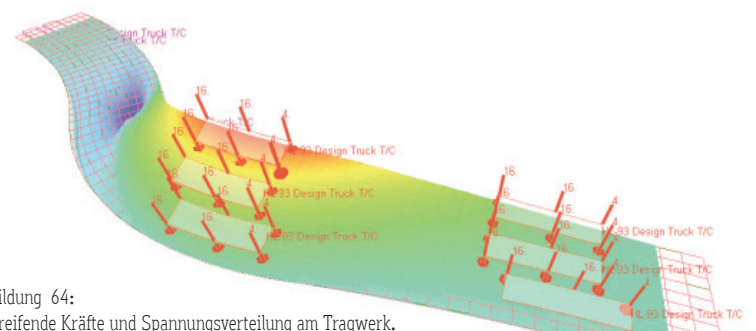
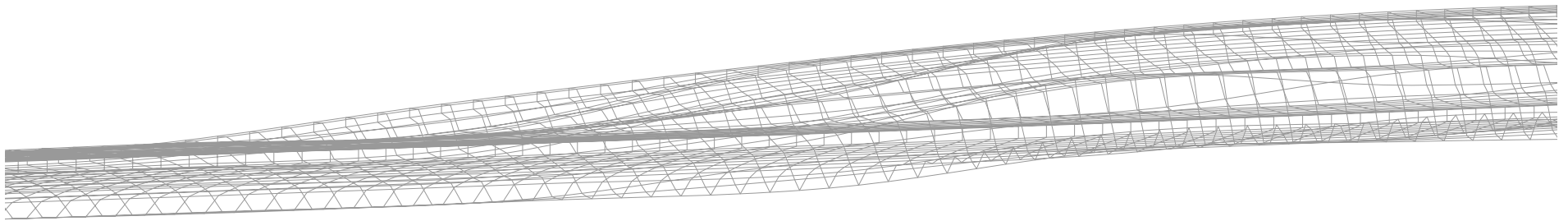


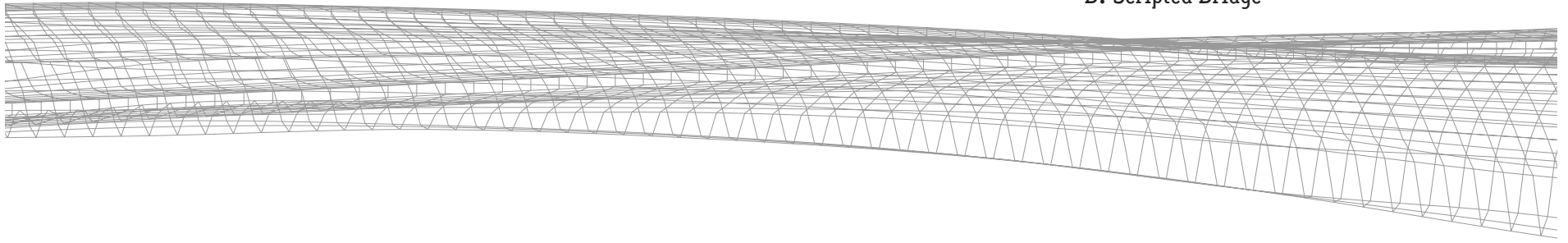
Abbildung 64:
Angreifende Kräfte und Spannungsverteilung am Tragwerk.

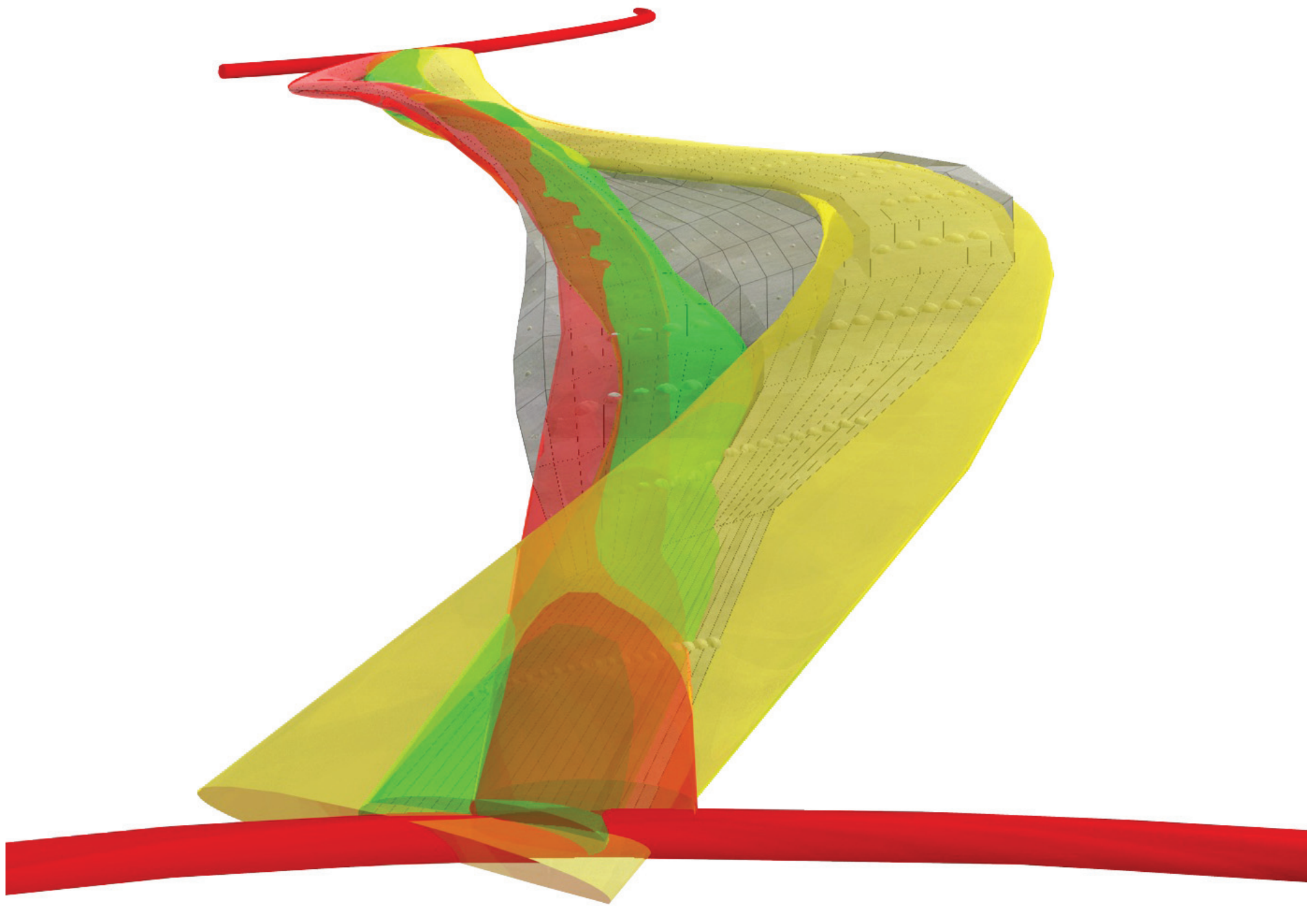
- 136 David J. Brown, "Brücken: Kühne Konstruktionen über Flüsse Täler Meere", deutsche Übersetzung, Verlag Georg D. W. Callwey GmbH & Co. KG, 2005, S.6.
- 137 Ursula Baus, Mike Schlaich, "Fußgängerbrücken: Konstruktion Gestalt Geschichte", Birkhäuser Verlag 2008, S.6.
- 138 Vgl. ebd., S.120.
- 139 Vgl. ebd., S.71.
- 140 Vgl. Dirk Bühler, "Brückenbau im 20. Jahrhundert", Verlag Georg D. W. Callwey GmbH & Co. KG, 2005, Jörg Schlaich, S.10.
- 141 Vgl. Ursula Baus, Mike Schlaich, "Fußgängerbrücken [...]", a. a. O., S.163.
- 142 Vgl. Dirk Bühler, "Brückenbau im 20. Jahrhundert", a. a. O., Jörg Schlaich, S.7.
- 143 Vgl. „Volkwin Marg, "leicht weit: Light Structures", Jörg Schalich, Hg. Annette Bögle, Peter Cachola Schmal, Ingeborg Flagge, Prestel Verlag Deutschland, 2004 S.44-51 oder mit dem Fokus auf Brücken Vgl. Leonardo Fernández Troyano, Bridge Engineering: A Global Perspective, 2003, S.9-20.
- 144 Jörg Schlaich, im Gespräch mit Ingeborg Flagge, "leicht weit: Light Structures", a. a. O., S.10.
- 145 Vgl. Dirk Bühler, "Brückenbau im 20. Jahrhundert", a. a. O., Jörg Schlaich S.8.
- 146 Michel Virlogeux, International Federation for Structural Concrete (fib), "Guidance for good bridge design", 2000, S.1.
- 147 Maillart, zitiert nach Schlaich, Robert Maillart, "Brückenschläge", Höhere Schule für Gestaltung Zürich, Schriftenreihe Nr. 13, Redaktion Claude Lichtenstein, 1990, S.31.
Originalquelle: D. P. Billington, Civil Engineering: History, Heritage of Humanities II, Princeton 1973, S.149.
- 148 Jörg Schlaich, im Gespräch mit Ingeborg Flagge, a. a. O., S.8.
- 149 Ebd., S.14.
- 150 Vgl. Ursula Baus, Mike Schlaich, "Fußgängerbrücken [...]", a. a. O., S.12.
- 151 Dirk Bühler, "Brückenbau im 20. Jahrhundert", Schlaich, Jörg Schlaich S.7.
- 152 Michael Blaschko, "Massivbau in ganzer Breite", Förderverein Massivbau der TU München e.V. u. Roland Niedermeier, Springer Verlag Berlin Heidelberg, 2005, Abschnitt: Architektur fordert Ingenieure - Die neue Svinesundbrücke, S.43.
- 153 Santiago Calatrava, Interview mit Charlie Rose, <http://kempton.wordpress.com/2009/07/30/calgary-peace-bridge/> (09.04.2010).
- 154 Vgl. Michel Virlogeux, International Federation for Structural Concrete (fib), a. a. O., S.37-38 oder Ursula Baus, Mike Schlaich, "Fußgängerbrücken [...]", a. a. O., S.16.
- 155 Fritz Leonhardt, Brücken: Ästhetik und Gestaltung, Deutsche Verlags-Anstalt, 3. Auflage 1990. S.10.
- 156 Vgl. http://de.wikipedia.org/wiki/Viaduc_de_Millau, (12.04.2010) oder Richard Hammond's, Fernsehserie: Engineering Connections, Millau Bridge, 8. September 2008 (UK).
- 157 Vgl. Michel Virlogeux, International Federation for Structural Concrete (fib), a. a. O., S.37-38.
- 158 Ebd., S.27.
- 159 Vgl. Ursula Baus, Mike Schlaich, "Fußgängerbrücken [...]", a. a. O., S.12.
- 160 Kurt Ackermann, Architekt – Ingenieur, Karl Krämer Verlag, 1997, S.7.
- 161 Ebd., S.8.
- 162 Ebd., S.15.
- 163 Vgl. ebd., S.9.
- 164 Vgl. Ursula Baus, Mike Schlaich, "Fußgängerbrücken [...]", S.12.
- 165 Arup, Definiton Bridge Architect bzw. Bridge Designer http://en.wikipedia.org/wiki/Bridge_architect (11.04.2010).
- 166 Als Studienassistent des Instituts für Tragwerksentwurf sind mir diese Grundlagen bekannt. Die Informationen wurden mit Ass.Prof. Dipl.-Ing. Dr.nat.techn Andreas Trummer dem Betreuer dieser Arbeit genau durch besprochen. Besondere Dank für detaillierte Informationen gilt Dipl.-Ing. Helmut SCHOBER.Diese allgemeinen Grundlagen finden sich beispielsweise in den Büchern:
Leicher Gottfried, Tragwerkslehre in Beispielen und Zeichnungen, 2006, Werner Neuwied Verlag oder auch Franz Krauss, Wilfried Führer, Hans J. Neukäter Grundlage der Tragwerkslehre, 2002, Verlagsgesellschaft Müller.
- 167 Anmerkung: Der Grundbegriff „extremal" kommt aus der Graphentheorie und bezeichnet lokale extreme Werte wie maximale und minimale Werte (beispielsweise Hoch- und Tiefpunkte in einer Kurve).
Siehe dazu: <http://de.wikipedia.org/wiki/Extremwert> (16.04.2010).
- 168 Die Berechnung der Durchbiegung mittels Winkelgewichten wird beispielsweise im Baustatik 1 Skript des Instituts für Baustatik an der TU-Graz detailliert erklärt. http://www.ifb.tugraz.at/backup_old_homepage/educ/teaching_material/Baustatik/Baustatik1_Skriptum_IBK.pdf, (Stand 04.04.2010).
- 169 Vgl. Edgar P Vorndran, Entwicklungsgeschichte des Computers, VDE-Verlag GmbH Berlin und Offenbach, S.75.
- 170 Vgl. http://en.wikipedia.org/wiki/Finite_element_method (15.04.2010).
- 171 Die Aussagen dieses Kapitels beziehen sich auf die Information die ich in Gesprächen am Institut für Tragwerksentwurf mit dem Betreuer dieser Arbeit geführt habe. Detaillierte Informationen bezüglich der Einsatzgebiete bestimmter Statiksoftware erhielt ich in einem Gespräch mit dem Softwareentwickler Georg Pircher von ABES Pircher & Partner GmbH am 20.10.2010 in Graz.
Als weitere Quellen diente die Information auf den Homepages verschiedener Softwarehersteller (siehe Liste).
- 172 Gespräch mit Dipl.- Ing. Helmut Schober; Schober arbeitet oft mit SDO zusammen, <http://www.olipitz.com>, (19.04.2010).
- 173 Georg Picher ist Geschäftsführer und Gesellschafter von der Software Entwickler Firma ABES Pircher & Partner GmbH. <http://www.abes-austria.com>, (20.10.2010).
- 174 AASHTO steht für "American Association of State Highway and Transportation Officials". Die Brückenentwürfe für das amerikanische Straßennetzwerk sind hochautomatisiert. <http://www.transportation.org> (20.10.2010).
- 175 Gespräch mit Georg Pircher am 20.10.2010, Graz, im Büro von ABES Pircher & Partner GmbH. Bemerkung: In diesem Gespräch hat mich Georg Picher allgemein über Statiksoftware informiert.
- 176 Beispiel für ein frei zugängliches Topologie Optimierungsprogramm im Internet, TopOpt 3d, Topopt Research Group, Dänemark, <http://www.topopt.dtu.dk/?q=node/11>, (Stand 20.04.2010).

- 177 Ursula Baus, Mike Schlaich, Fußgängerbrücken: Konstruktion Gestalt Geschichte,
Birkhäuser Verlag 2008, S.105.
- 177 Ebd., S.105.



B: Scripted Bridge





B: Scripted Bridge

Aufgabenstellung

Allgemeines

Wie bereits in der Einleitung erwähnt, soll es Ziel dieser Arbeit sein, anhand eines konkreten Entwurfes zu überprüfen, inwieweit sich dieser über Parametersteuerung automatisieren lässt, um etwa unterschiedliche Varianten erzeugen zu können und zu erwägen, wie stark sich die Animationssoftware mittels „Scripting“ und der Verwendung von „Mashup-Tools“ in den Entwurfsprozess einbinden lässt. Im folgenden wird in der Aufgabenstellung das übergeordnete Ziel für den Brückengenerierungsprozess in Form einer Grundidee präzisiert, die Themenwahl des Brückenentwurfes begründet, um anschließend die konkreten Rahmenbedingungen anhand der Wettbewerbsausschreibungen zu erläutern.

Grundidee

Für das Entwerfen von Tragsystemen greifen insbesondere Architekten zumindest in der Entwurfsphase häufig auf gängige Vorbemessungsformeln zurück. Diese allgemeinen Formeln gelten nur sehr eingeschränkt für gängige statische Systeme, übliche Konstruktionstypen sowie nur für Querschnitte, die über die gesamte Länge eines Systems konstant bleiben. Dementsprechend wird in dieser Arbeit in Bezug auf gegenwärtige Tendenzen in der Architektur geprüft, inwieweit mittels Scripting- bzw. Mashup-Systemen eine Vorbemessung für Konstruktionen, die von der Norm abweichen, möglich ist. Da die Gestalt von Brücken vor allem aus Sicht der ArchitektInnen nicht ausschließlich aus Problemen des Tragverhaltens bestimmt wird, wurde dabei versucht, einen offenen Prozess zu gestalten, in den auch andere Kriterien einfließen können.

Entwurfsthema

Die Motivation, einen Brückengenerierungsprozess als allgemeines Entwurfsthema zu wählen, wird damit begründet, dass das Entwerfen von Brücken als Königsdisziplin der BauingenieurInnen stark verwissenschaftlicht gilt und für die Organisation in einem parametrisierten Regelwerk hervorragend geeignet zu sein schien. Außerdem markiert der Brückenentwurf als „Königsdisziplin der BauingenieurInnen“ ein interessantes Spannungsfeld zwischen ArchitektInnen und IngenieurInnen, dessen Betrachtung insbesondere in Hinblick auf meine Tätigkeit als Studienassistent am Institut für Tragwerksentwurf besonders anredend darstellte.



Abbildung 65: Der Entwurfsort liegt am Donaukanal und befindet sich nordöstlich des historischen Zentrums von Wien. Der gelbe Pfad markiert den aktuellen Hauptradfahrweg während das kurze rote Stück die geplante Lückenschließung kennzeichnet.

Rahmenbedingung: Brücke über den Wienfluss

Im Folgenden werden die Ausschreibungen der zwei Wettbewerbe "Concrete Student Trophy 2009" und "Connecting Link" zusammenfassend dargestellt.¹⁷⁹ Diese Ausschreibung geben die grundlegenden Rahmenbedingungen für den Brückenentwurf vor und werden für die Parameterfindung verwendet.

Allgemeines

Die Stadt Wien ist bestrebt, im Zuge von Infrastrukturverbesserungen das derzeit bestehende, lückenhafte Radwegenetz auszubauen. Dadurch soll insbesondere die Sicherheit von Fußgängern und Radfahrern erhöht werden. Als derartige Infrastrukturverbesserung soll eine Brücke im Mündungsbereich des Wienflusses in der Nähe der Urania im ersten Wiener Gemeindebezirk entstehen. Die Brücke soll das Ufer des Herrmannparks mit dem Vorkai der Urania verbinden. Derzeit sind Radfahrer und Fußgänger an dieser Stelle gezwungen, den Wienfluss über die Radetzkybrücke zu überqueren, wobei dies nur durch die Nutzung von bestehende Stiegen und Rampen möglich ist. Für diese Vorhaben sind vorwiegend zwei örtliche Gegebenheiten prägend. Zum einen befindet sich der gewünschte Brückenstandort in historischem Kontext bzw. in denkmalgeschützter Umgebung. Zum anderen dient der Donaukanal im Bereich zwischen Aspern und Franzensbrücke als Wendepunkt für den Schiffsverkehr. Dabei wird für diese Wendemanöver besonders der Mündungsbereich des Wienflusses bis zur Sohlschwelle knapp vor den Pfeilern der Radetzkybrücke ausgenutzt.

Der Entwurfsort

Wie bereits erwähnt liegt das gesamte Planungsgebiet in einem denkmalgeschützten Bereich. Demzufolge ist das Planungsgebiet seit dem Jahr 2001 ein Teil des Weltkulturerbe-Areals "Wien-Innere Stadt". Die direkt umliegenden Bauten wie beispielsweise das Gebäude der Urania, die Radetzkybrücke oder der Zollamtsteg stehen unter Denkmalschutz. Außerdem sind die Kaimauern des Donaukanals und die Wienflussverbauung denkmalgeschützt.

Der Entwurfsort liegt an der Schnittsstelle zwischen historischem und modernem Wien. Dies bedeutet, es herrscht ein Kontrast zwischen den um die Wende des 19. Jahrhunderts entstandenen späthistoristischen Gebäuden und den modernen Gebäuden des 20. und 21. Jahrhunderts. Beispielsweise steht sich das historistische „Urania“ Gebäude von Max Fabian dem „Uniqua Tower“ von Neumann und Partner direkt gegenüber.

Das heutige Erscheinungsbild von Wienfluss und Donaukanal geht auf den gegen Ende des 19. Jahrhunderts erfolgten großen Ausbau der Verkehrsanlagen in Wien zurück. „Während der Donaukanal bis heute im Wesentlichen von der architektonischen Gestaltung durch Otto Wagner gekennzeichnet ist, verdankt der Wienfluss im Mündungsgebiet seine architektonische Prägung vor allem den Architekten Friedrich Ohmann und Josef Hackhofer.“

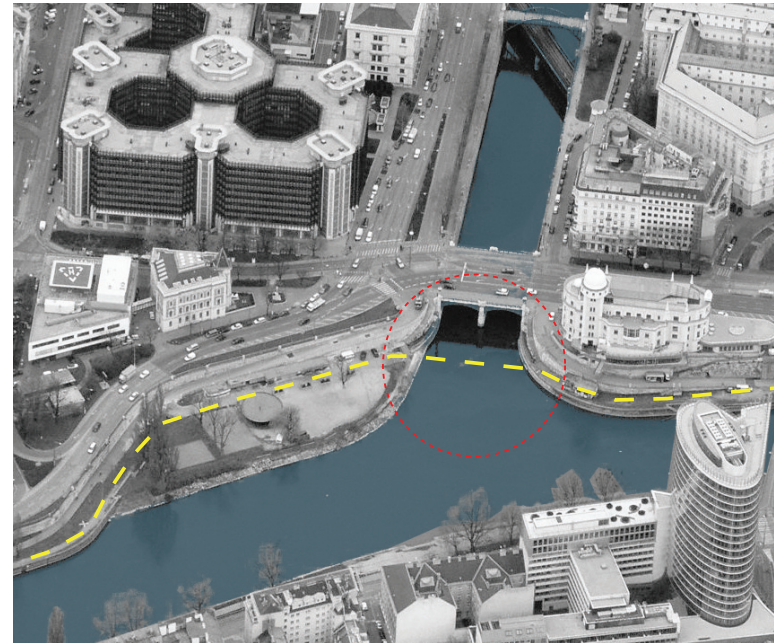


Abbildung 66: Der Donaukanal fließt von rechts nach links während der Wienfluss vom Zollamtsteg - oberer Bildrand) kommend nach der Radetzkybrücke in den Donaukanal mündet. Links im Mündungsbereich befindet sich der Herrmannpark und rechts gegenüber das Gebäude der Urania. Der Uniqua Tower ist rechts im unteren Bildrand gegenüber der Urania zu erkennen.

Der Donaukanal wurde als natürlicher Seitenarm der Donau erstmalig um die Wende vom 16. zum 17. Jahrhundert künstlich ausgebaut und wurde später wie bereits erwähnt wesentlich von Otto Wagner als Mitglied der ehemaligen Donauregulierungskommission architektonisch geprägt. Während im 20. Jahrhundert das Erscheinungsbild des Areals hauptsächlich durch den Neubau der Stadtbahn bzw. der Einbeziehung des U-Bahnnetzes bestimmt wurde, unterliegt dieses nun Veränderungen durch gegenwärtige Tendenzen in Richtung einer Planung eines Freizeit- und Nahversorgungsraumes. Dennoch sollen laut der Stadt Wien auch in Zukunft die historischen Gestaltungselemente, Promenaden und Ufergestaltungen kennzeichnend für diesen Stadtraum bleiben.

Der Wienfluss entspringt dem Wienerwald westlich der Stadt. Zwar wurde der natürliche Flusslauf bereits im 18. Jahrhundert verändert. Wie



Abbildung 67: Der denkmalgeschützte Zollamtsteg mit darunterliegender U-Bahntrasse.





bereits erwähnt wird das heutige Erscheinungsbild von den Änderungen gegen Ende des 19. Jahrhunderts bestimmt, welches bereits im Jahr 1903 vom Stadtbauamt bis auf wenige Teilarbeiten fertig gestellt wurde. „Der gesamte Mündungsbereich ist durch das regulierte Wienflussbett mit den hohen, senkrechten, mit Naturstein verkleideten Stützmauern mit ihren gusseisernen Gittern, gekennzeichnet. [...] Für den unmittelbaren Bauplatz ist die Radetzkybrücke sowie die Sicht auf den Zollamtssteg mit der darunter schräg kreuzenden ehemaligen Stadtbahnbrücke von besonderer Bedeutung.“

Die Radetzkybrücke wurde an der Stelle eines Vorgängerbaus errichtet und wurde im Jahre 1899 zur Benützung freigegeben. Die Planung und Ausführung erfolgte durch das Stadtbauamt, wobei für die architektonische Gestaltung die Architekten Josef Hackhofer und Friedrich Ohmann verantwortlich waren. Hackhofer und Ohmann waren zur selben Zeit auch für die Gestaltung der Stubenbrücke, der kleinen Marxerbrücke und den Zollamtssteg zuständig. Das Tragwerk der Radetzkybrücke wird mit Bogenträger aus Eisen realisiert, die an den Uferzonen jeweils auf Mauern und in der Mitte des Wienflusses auf einem Steinpfeiler aufliegen. Die geplanten Leuchttürme an den Brückenenden wurden erst Jahre später realisiert. Im Jahr 1945 wurde die Brücke beschädigt und erst 1952 wieder in Betrieb genommen. Nach einer zweiten Renovierung im Jahre 2001 erscheint die Brücke wieder in ihrer ursprünglichen Gestalt.

Das Gebäude der Wiener Urania bildet den städtebaulichen Abschluss der Wiener Ringstraße und wurde vom Architekten Max Fabiani – einem Schüler Otto Wagners – in den Jahren 1909-1910 als Volksbildungshaus errichtet. Das Erscheinungsbild des späthistoristischen Gebäudes wird vor allem durch den originalen Warteturm und dem später im Jahr 1935 hinzugefügtem Kassenanbau bestimmt. Auch dieses Gebäude erlitt wie auch schon die Radetzkybrücke schwere Kriegsschäden und wurde mehrmals

saniert. Das heutige innere Erscheinungsbild wurde nach Ausbauplänen des Architekten Dimitris Manikas im Jahr 2003 verändert.

Der Hermannpark ist nach Emanuel Herrmann (1839 - 1902) dem Schöpfer der ersten Postkarte (1869) der Welt benannt. Im Jahr 1930 wurde an der näher der Flussmündung ein Park geschaffen indem das Anschwemmungsgebiet des Donaukanalufer erhöht wurde. Ein im Jahr 1981 oberirdisch geführte Fernwärmeleitung wurde aus gestalterischen Gründen im Jahre 2004 wieder abgetragen durch eine Leitung in Tiefelage ersetzt. „Eine weitgehende Neugestaltung erhielt das Gelände im Rahmen der Aufwertung des Donaukanals zu einem Freizeit- und Nahversorgungsraum mit der Zielsetzung die Menschen barrierefrei näher an das Wasser zu bringen. Kern dieses neuen Nutzungskonzeptes ist eine Strandbar mit Boule- bzw. Boccia-Spielplätzen, 2003 eröffnet. Mittelfristig wird es in diesem Bereich zur Verlängerung des Entlastungskanals des rechten Sammelkanals kommen, die allerdings in Tiefelage geplant ist.“¹⁷⁹

Wettbewerbsaufgabe

Als Resultat der speziellen Anforderungen seitens des Entwurfortes wurde in den Wettbewerben eine klappbare und barrierefreie Fuß- und Radwegbrücke gefordert. Diese sollte für bis zu 25 Hübe pro Tag ausgelegt werden. Im günstigsten Fall beträgt die zu überbrückende Distanz zwischen den zwei Uferzonen in etwa 43 Meter. In diesem Fall befindet sich die Brücke über dem unterirdischen Dükersystem, welches unter dem Wienfluss von einem Ufer zum anderen geführt wird und auf welchem keine Gründung erlaubt wird. Weiters dürfen auch die Uferzonen nicht wesentlich verändert werden, da diese dem Denkmalschutz unterliegen. Bereits in der Einführungsveranstaltung der "Concrete Student Trophy" wurde besonders häufig auf die Problematik des historischen Umfeldes hingewiesen. Ebenso deuten die Beschreibungen des Entwurfortes in der Ausschreibung des



Abbildung 68: Unmittelbare Entwurfsumgebung. Linker Bildrand - Hermannpark; Linke Bildmitte - Radetzkybrücke; Rechte Bildmitte - Urania; Rechts neben der Urania - Aspernbrücke; Rechts - Uniqua Tower



Abbildung 69: Unmittelbare Entwurfsumgebung. Linker Bildrand - Herrmannpark; Linke Bildmitte - Radetzkybrücke; Rechte Bildmitte - Urania; Rechts neben der Urania - Aspernbrücke; Rechts - Uniqua Tower

Realisierungswettbewerb "Connecting Link" auf die Wichtigkeit dieser Gegebenheiten hin.

Abschließend werden exemplarisch die geforderten technischen Rahmenbedingungen der Concret Student Trophy aufgelistet:

- Lastannahmen: EUROCODE 1 speziell für Fuß- und Radfahrstege: 500 kg/m², kl. Schneeräumgerät, ev. kl. Einsatzfahrzeuge.
- Auf den Betrieb des Twin City Liners und damit auf die Wendemanöver der Schiffe soll durch die Ausformung als Klappbrücke Rücksicht genommen werden. Der Wendepunkt befindet sich im Donaukanal zwischen Aspernbrücke und Franzensbrücke. Große Schiffe manövrieren dabei in den Wienfluss bis zur Sohlschwelle knapp vor dem Pfeiler der Radetzkybrücke, in diesem Bereich ist auch die Lage der Fuß- und Radwegbrücke geplant. Für die Wendemanöver muss unbedingt der gesamte Mündungsbereich des Wienflusses zur Verfügung stehen (freie Durchfahrtsbreite 30 m, lichte Durchfahrtshöhe 8 m über höchstem Schiffahrtswasserstand). Eine Klappbrücke kann die erforderliche Manövrierfreiheit gewähren. Es ist je nach Fahrplan ist mit 5 bis 25 Hüten pro Tag zu rechnen.
- Hochwassersituationen sind für die Klappbarkeit der Brücke mit zu berücksichtigen. Aus Gründen des Personenschutzes wird es erforderlich sein den Zugang ab einem kritischen Wasserstand – vor Überflutung des Vorkais – zu verhindern. Da das Hochwasserregime des Wienflusses durch sehr rasch ansteigende Hochwasserwellen charakterisiert ist, ist ein Vorwarnsystem anzudenken, das auch bei Brückenklappung eingesetzt werden kann.
- Im Bereich des geplanten Standortes befindet sich der Dücker im Zuge des Rechten Hauptsammelkanal Entlastungskanal. Die Brückenfundierung ist aus Erhaltungs- und Haftungsgründen vom

Kanal entkoppelt zu planen.

- Es ist darüber hinaus ein Tragwerk zu entwickeln, das den umliegenden historischen und unter Denkmalschutz stehenden Objekten wie Urania, Radetzkybrücke und Zollamtsteg Rechnung trägt. Der visuelle Gesamteindruck der Wienflussmündung mit dem tiefen Mauerprofil, den dahinter liegenden Brücken und Stegen soll möglichst wenig gestört werden und die offene Wasserfläche möglichst erhalten bleiben.
- Unterschiedliche Höhenangaben auf den Planunterlagen: „Wiener Null“: Bezugspunkt für absolute Höhenangaben im Wiener Höhenkotensystem (156,680 Meter über Adria Null) im Gegensatz zum Meeresspiegel (in Landkarten) oder "Niveau" (als Ausgangspunkt für Bauklassen oder Bauhöhen). Das "Wiener Null" ist ein historisch vom Pegel der Ferdinandbrücke (heutige Schwedenbrücke) abgeleiteter Höhenbezug.

Anmerkung:

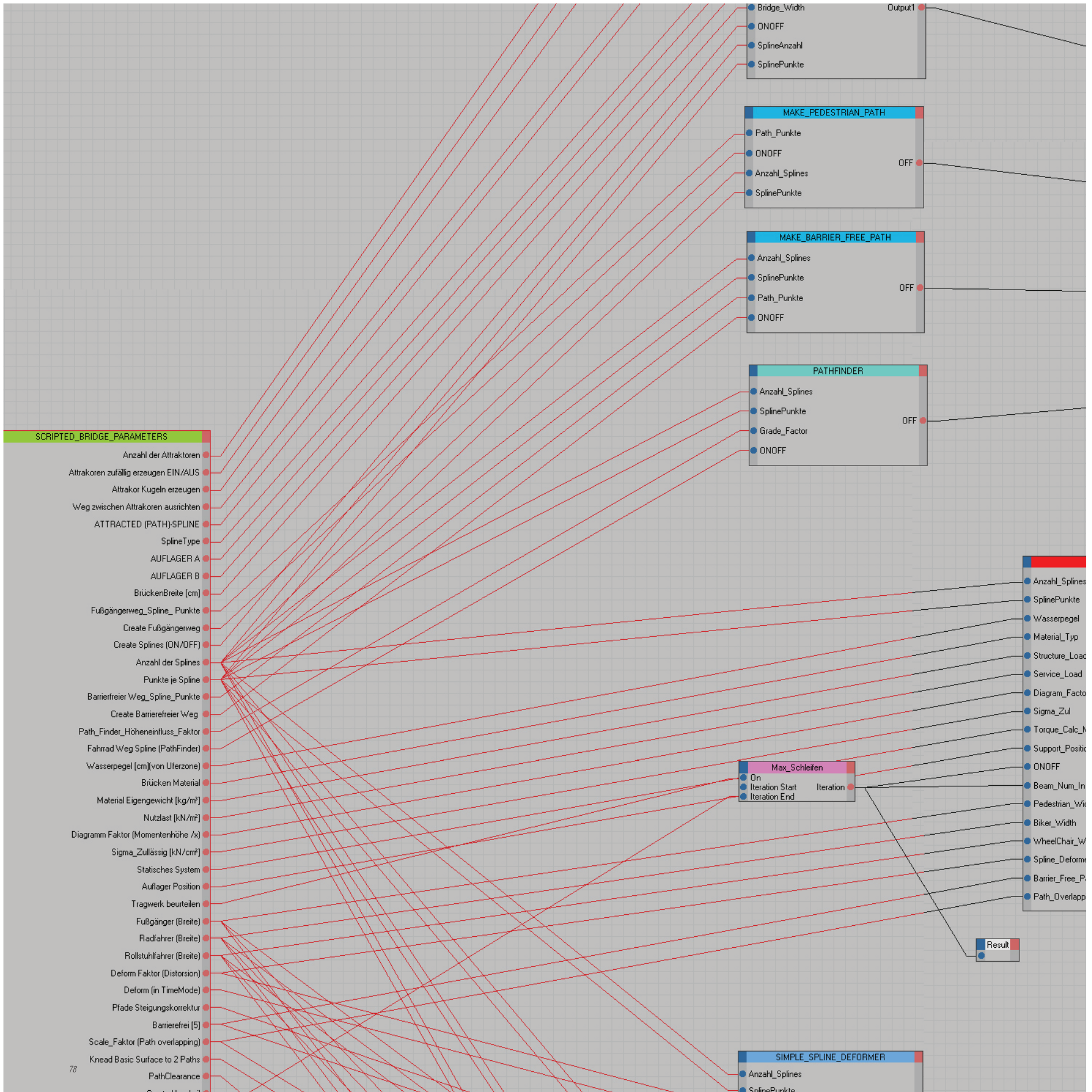
Die obige Auflistung wurde wörtlich übernommen und aus Layoutgründen nicht unter Anführungszeichen gesetzt. Weitere Informationen wie etwa Lagepläne, Ansichten etc. sind den zwei Fallbeispielen gegen Ende der vorliegenden Arbeit zu entnehmen.

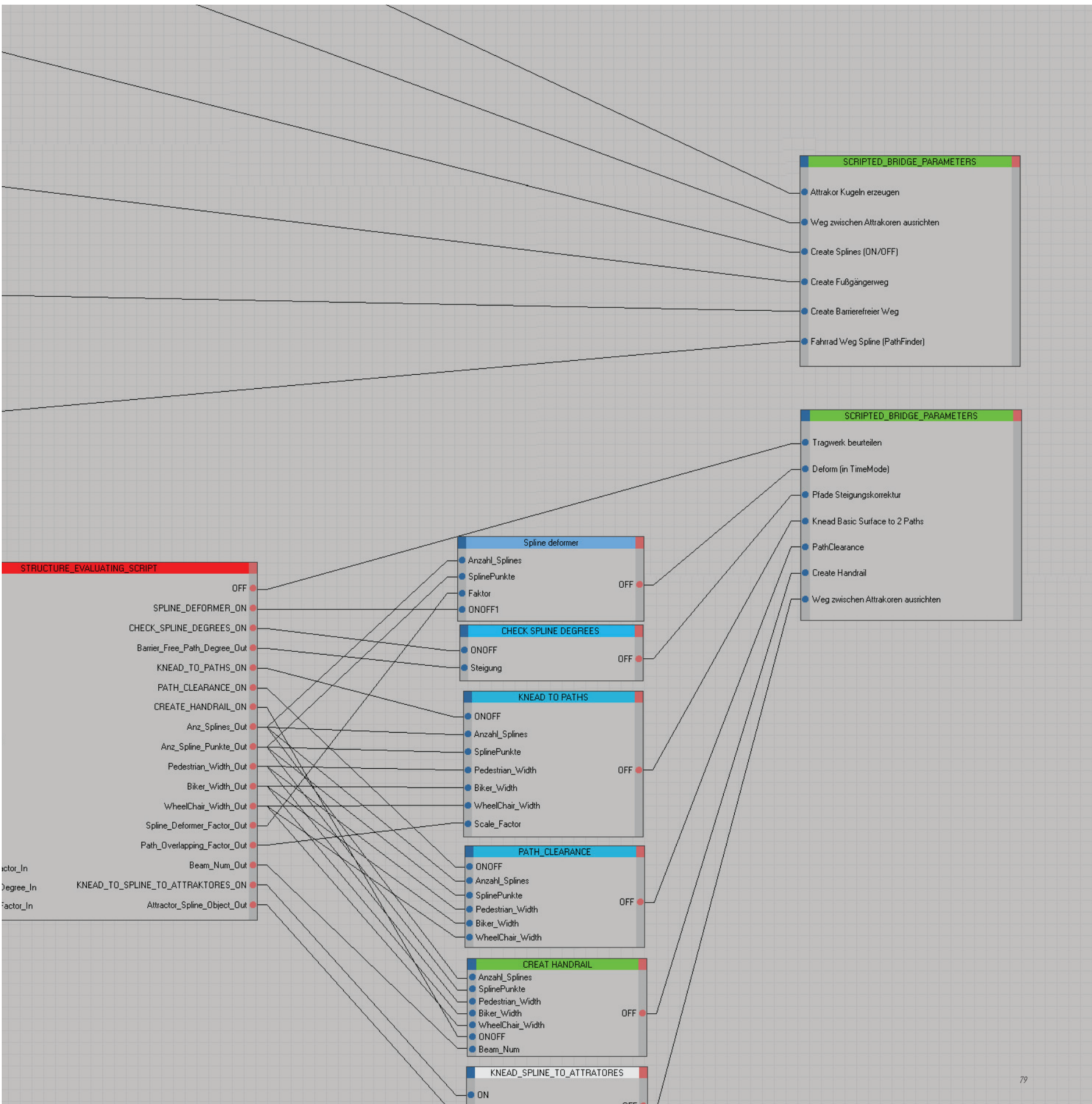
178 Vgl. gesamtes Kapitel mit den Ausschreibungen der zwei Wettbewerbe: "Concrete Student Trophy 2009", Vereinigung der Österreichischen Zementindustrie, <http://www.zement.at>.

"Connectiong Link", Magistrat der Stadt Wien Magistratsabteilung MA 29, <http://www.wien.gv.at/verkehr/brueckenbau/index.html>.

Bemerkung: Die Wettbewerbsunterlagen sind inzwischen nicht mehr öffentlich erhältlich.

179 Vgl. Ausführungen in der Ausschreibung des Wettbewerbes "Connectiong Link".





STRUCTURE_EVALUATING_SCRIPT

- OFF
- SPLINE_DEFORMER_ON
- CHECK_SPLINE_DEGREES_ON
- Barrier_Free_Path_Degree_Out
- KNEAD_TO_PATHS_ON
- PATH_CLEARANCE_ON
- CREATE_HANDRAIL_ON
- Anz_Splines_Out
- Anz_Spline_Punkte_Out
- Pedestrian_Width_Out
- Biker_Width_Out
- WheelChair_Width_Out
- Spline_Deformer_Factor_Out
- Path_Overlapping_Factor_Out
- Beam_Num_Out
- KNEAD_TO_SPLINE_TO_ATTRAKTORES_ON
- Attractor_Spline_Object_Out

Spline deformer

- Anzahl_Splines
- SplinePunkte
- Faktor
- ONOFF1

CHECK SPLINE DEGREES

- ONOFF
- Steigung

KNEAD TO PATHS

- ONOFF
- Anzahl_Splines
- SplinePunkte
- Pedestrian_Width
- Biker_Width
- WheelChair_Width
- Scale_Factor

PATH CLEARANCE

- ONOFF
- Anzahl_Splines
- SplinePunkte
- Pedestrian_Width
- Biker_Width
- WheelChair_Width

CREAT HANDRAIL

- Anzahl_Splines
- SplinePunkte
- Pedestrian_Width
- Biker_Width
- WheelChair_Width
- ONOFF
- Beam_Num

KNEAD SPLINE_TO_ATTRATOIRES

- ON

SCRIPTED_BRIDGE_PARAMETERS

- Attraktor Kugeln erzeugen
- Weg zwischen Attraktoren ausrichten
- Create Splines (ON/OFF)
- Create Fußgängerweg
- Create Barrierefreier Weg
- Fahrrad Weg Spline (PathFinder)

SCRIPTED_BRIDGE_PARAMETERS

- Tragwerk beurteilen
- Deform (in TimeMode)
- Pfade Steigungskorrektur
- Knead Basic Surface to 2 Paths
- PathClearance
- Create Handrail
- Weg zwischen Attraktoren ausrichten

Brückengenerierungsprozess

Entwurfskonzept

Zwischen den Uferzonen sollen drei Wege generiert werden können, welche die Grundgeometrie der Brücke definieren. Für diese Geometrie soll ein statisches System gewählt werden können, mittels dem eine automatische Vorbemessung durchführbar sein soll. Bei dieser Vorbemessung soll ein Kubatur- und Querschnittsvorschlag für die aktuelle Brückenfläche gemacht werden können, wobei weiters signifikante Bemessungsdaten wie der Momentenverlauf über das System, das Gesamtgewicht der Brücke, die Schwerpunktsposition sowie die Durchbiegung der Konstruktion etc. für den Entwerfer textlich sowie auch grafisch ausgegeben werden können sollen.

Diese drei genannten Wege beeinflussen über ihre Breiten und jeweiligen Positionierungen untereinander die Form des Brückenquerschnittes wesentlich mit und haben dadurch auch Einfluss auf die Tragwirkung bzw. auf das Flächenträgheitsmoment. Somit können die Wege über das Flächenträgheitsmoment direkt miteinander in Beziehung gebracht werden. Aus diesen Gründen sollen nach der Tragwerksbeurteilung bei automatischen Verbesserungsversuchen auch die Wegeverläufe und damit die gesamte Brückenform markant geändert werden können. Dies bedeutet, dass Querschnitte nicht ausschließlich durch Aushöhlen oder Höhenveränderung von der bestehenden Oberfläche ausgehend vorgenommen werden können sollten, sondern auch durch Verändern der Wegeführungen untereinander.

Pfade

Neben einer jeweils einzuhaltenden Weglichte und maximal zulässigen Steigungen besitzen die Pfade noch weitere Qualitäten, die in weiteren Modulentwicklungen berücksichtigt werden sollen.

Fußgängerweg

Der Fußgänger benützt die Brücke am häufigsten und verharnt im Vergleich zu den anderen Nutzern tendenziell am längsten in dieser Umgebung. Daher soll der Verlauf des Weges durch Ortseinflüsse geprägt werden. Dies bedeutet, dass lokale Qualitäten bewertet werden können sollen und der Weg aufgrund dieser Bewertung verzerrt werden können soll.

Barrierefreier Weg

Der barrierefreie Weg unterliegt einer starken Steigungseinschränkung und hat diesbezüglich gegenüber den anderen Wegen höchste Priorität.

Radfahrweg

Da der Radfahrer meist schnell und direkt die Brücke überqueren will, weil er ohnehin nicht stehenbleiben kann, ist der Verlauf durch eine möglichst kurze und gerade Verbindung zwischen den Brückenden geprägt. Es soll möglich sein, diesen Weg automatisch generieren zu können.

Nach diesem Entwurfskonzept soll nun der gesamte Brückenentwurfsprozess mit den einzelnen Modulen entwickelt werden. Es sei jedoch bemerkt, dass bewusst versucht wurde, die Module, die aus diesem Konzept resultieren, wenn möglich flexibel zu konzipieren, damit diese auch für andere als die ursprünglich vorgesehenen Zwecke verwendet werden können. Wie dieses Entwurfskonzept im Detail umgesetzt wird, ist in der Beschreibung der einzelnen Module im nächsten Kapitel oder gleich im jeweiligen Script im Appendix nachzulesen.

Veränderungsmöglichkeiten des Brückenquerschnittes

Dem Tragwerksbeurteilungsmodule sollen Veränderungsmöglichkeiten zur Verfügung stehen, um die Tragfähigkeit der Brücke zu verbessern. Wird in der Berechnung des Vorentwurfes ein ungünstiges Tragverhalten der aktuellen Brücke festgestellt, sollen vom Modul automatisch Verbesserungsvorschläge gemacht werden. Dabei soll auf vier unterschiedliche Veränderungsmöglichkeiten zurückgegriffen werden können.

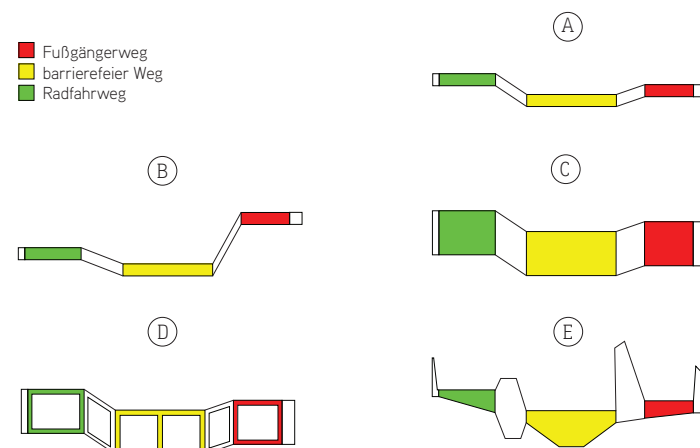
A: Skizze "A" stellt den Querschnitt beispielsweise nach dem ersten Vorbemessungsversuch dar.

B: Als erste Möglichkeit stellt sich Skizze "B" dar, in der eine Verbesserung des Widerstandsmomentes des gesamten Querschnittes durch Höhenveränderung der Wege untereinander zu erreichen versucht wird.

C: Durch Variation der Höhe des Trägers kann ebenfalls das Tragverhalten günstig beeinflusst werden.

D: Durch das Aushöhlen des Trägers wird die gesamte Konstruktion leichter, wobei bei einer geschickten Vorgehensweise das Flächenwiderstandsmoment relativ hoch bleibt.

E: Generell ist es möglich, für eine Verbesserung der Tragleistung alle Oberflächenpunkte des Brückenprofils zu manipulieren. Es muss lediglich die Begehbarkeit der Brücke garantiert werden.

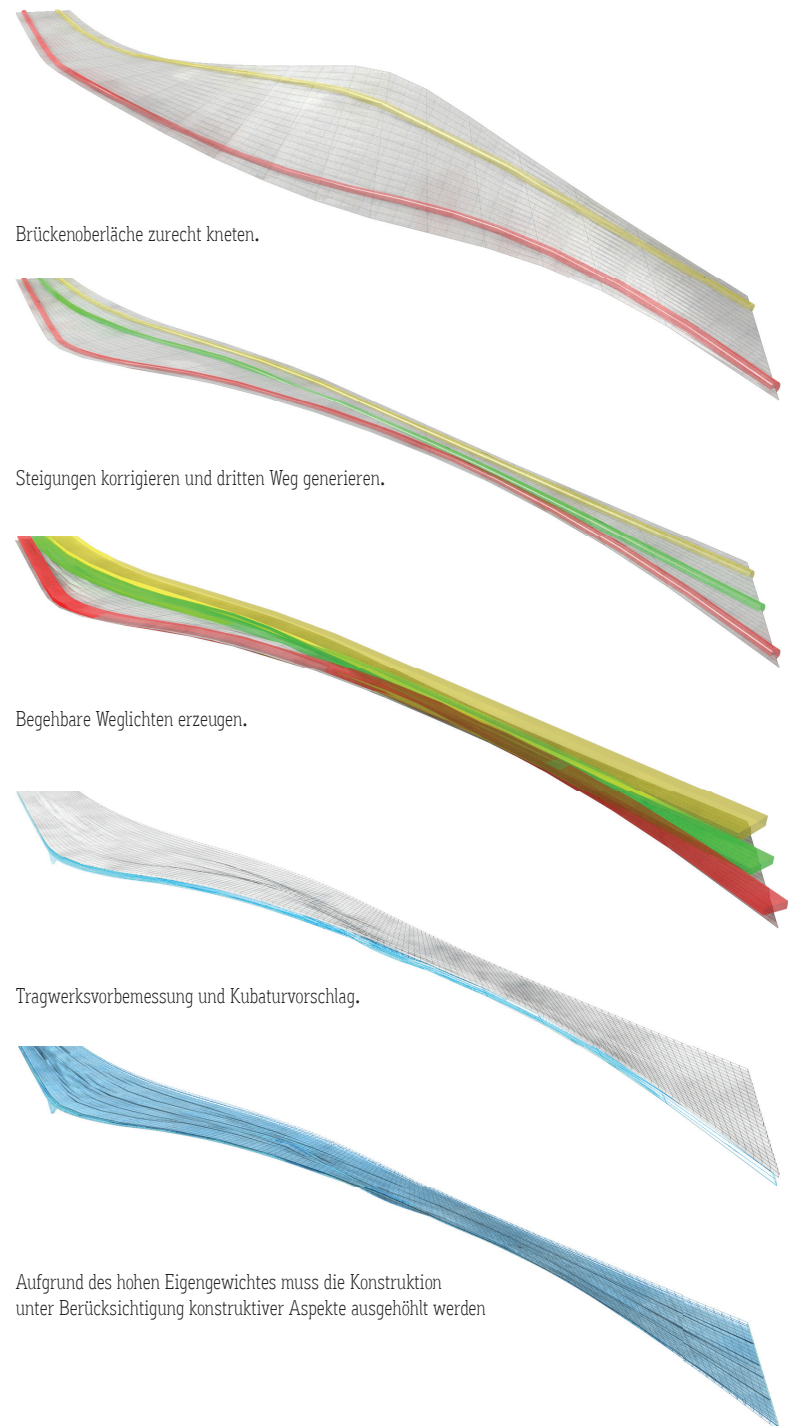


Ablaufskizze

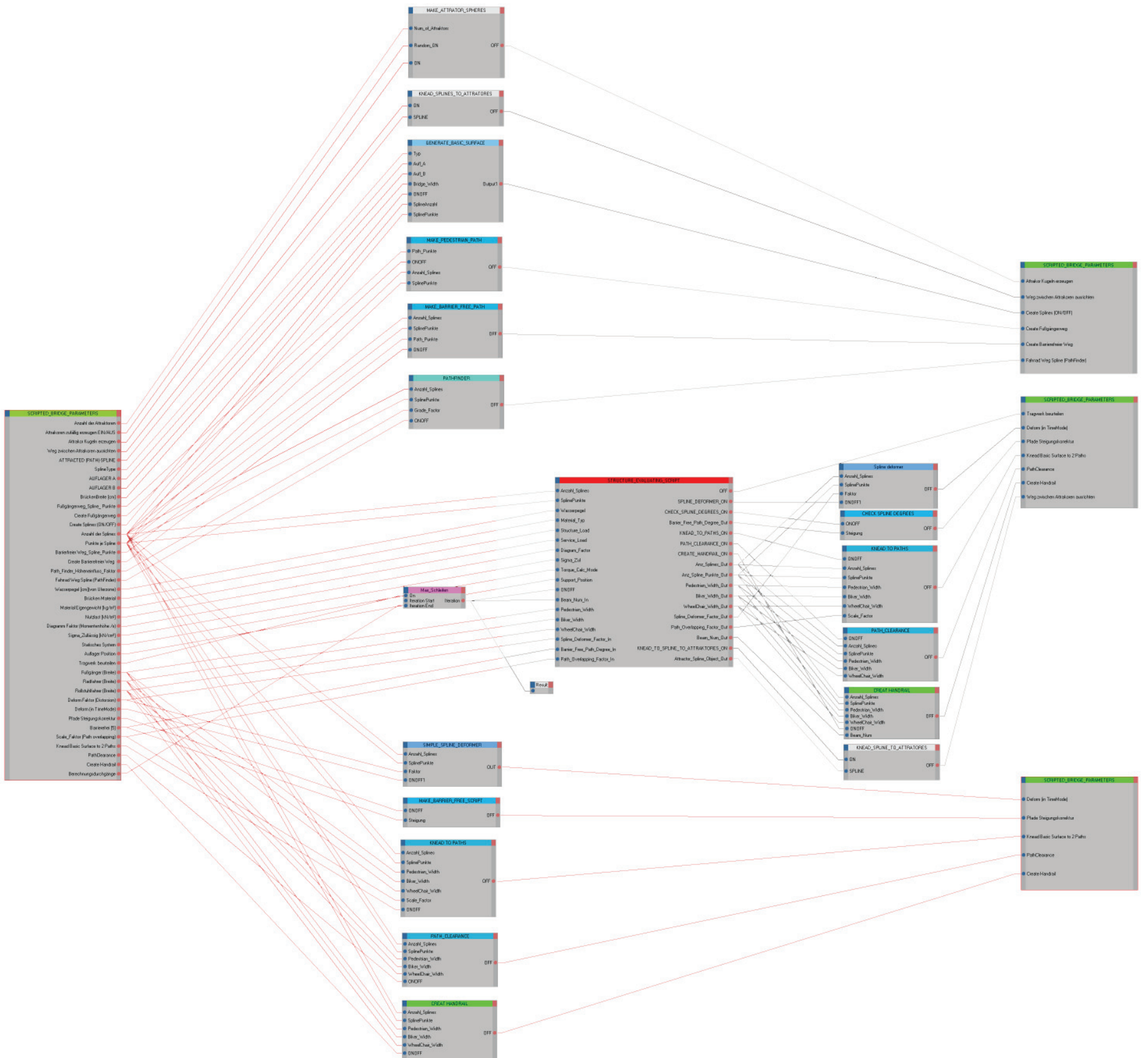
Aus dem vorhergehenden Entwurfskonzept folgt zunächst eine Überlegung bezüglich eines möglichen Entwurfsvorganges. Dabei soll sichtbar gemacht werden, welche Freiheiten während des Entwerfens in diesem Prozess herrschen sollen beziehungsweise können. In jedem der folgenden Schritte können einige Parameter geändert werden (z.B. Weglichten, Maximalsteigungen, Grad der Aushöhlung der Querschnitte, Nutzlasten, Betongewicht).

- Es werden zwei Pfade generiert, welche die Kontur der Brücke definieren. Diese Pfade werden manuell nach einer architektonischen Konzeptvorstellung geformt. Zwischen den zwei Pfaden wird eine Fläche aufgespannt, wodurch eine erste Brückenoberfläche entsteht.
- Nun wird ein dritter Weg automatisch generiert. Dieser Weg ist der kürzeste Weg von einem Brückeneende über die aktuelle Oberfläche zum anderen.
- Da die einzelnen Wege laut Normen jeweils maximal zulässige Höhenentwicklungen nicht überschreiten dürfen, wird in diesem Schritt kontrolliert, ob die zulässigen Maximalsteigungen der einzelnen Wege über die Brücke eingehalten wurden. An den Stellen, wo die zulässigen Steigungswinkel überschritten werden, werden die Wege geglättet.
- Damit die Änderungen von einzelnen Pfaden bzw. Wegen auch Veränderungen an der aktuellen Brückengeometrie verursachen, muss eine Art "Zurechtkneten-Befehl" ausgeführt werden, der die Oberfläche den Wegeführungen anpasst.
- Damit die Wege je nach Nutzung nutzbar zu machen, wird die Brückenoberfläche in den Weglichten-Bereichen eingeebnet.
- Schließlich wird eine automatische Vordimensionierung des Brückentragwerks vorgenommen. Da das Eigengewicht der Brücke für die Dimensionierung maßgeblich ist, wurde ein Algorithmus programmiert, der die Brücke nach bestimmten Bedingungen aushöhlt und genügend Obergurt-, Untergurthöhen sowie Steganzahl und Stegbreiten im Querschnittsinneren übrig lässt.
- Das Brückengeländer kann am Ende automatisch passend zur Brücke generiert werden. Hier lässt sich eine Mindestgeländerhöhe einstellen.

Wenn einzelne Ergebnisse nicht der gewünschten Ästhetik entsprechen, kann der Prozess an beliebiger Stelle neugestartet werden. Nahezu alle Schritte können untereinander ausgetauscht oder gar nicht ausgeführt werden, woraus sich ein nicht-linearer Entwurfsprozess ergibt.



Nach dieser Skizze werden folgend die einzelnen Module entwickelt und zu einer Gesamtschaltung vernetzt. Über dieses Netzwerk von Einzelfunktionen wird der Rahmen der Entwurfsmöglichkeiten definiert, innerhalb dessen mehrere Varianten von ähnlichen Brücken rasch generiert werden können.



Mashup-System

Allgemeines

Nach dem im vorhergehenden Kapitel genannten Entwurfskonzept bzw. den formulierten Forderungen an das Entwurfstool wurden nun einzelne Funktionen entwickelt. Diese einzelnen Funktionen werden ähnlich wie in einem elektrischen Schaltplan in kleinen "Blackboxes" organisiert, die gängigerweise als Funktionsmodule, -boxen, -knoten oder auch als Nodes bezeichnet werden (mehr dazu siehe S.35-37). Die Nodes können über eine Vernetzung miteinander interagieren und bilden zusammen eine Schaltung. Die Schaltung spiegelt nun den gesamten parametrisierten Entwurfsprozess wider. Das gesamte Konzept wurde in der Animationssoftware Cinema 4D mittels der internen Pluggins mit "Xpresso" und die Scripte mit "Coffee" umgesetzt. Alle Entwicklungen werden in dem sogenannten "Xpresso-Tag" gespeichert. Diese wird als kleines Icon dargestellt und kann ähnlich wie ein 3d-Objekt kopiert und in die Gesamtszene eines anderen Entwurfsprojektes eingefügt werden. Damit kann dieser parametrisierte Prozess wie ein Plugin in anderen Projekten verwendet werden (siehe Beispiel S.110-111).

Im Folgenden werden zunächst die grafische Eingabemöglichkeit und danach die einzelnen Nodes näher erklärt. Die Scripte, die sich hinter den einzelnen Funktionsboxen befinden, werden im Appendix dargestellt.

Bemerkungen

Die Vernetzung der einzelnen Nodes erfolgt über ihre Ein- und Ausgänge, die in der Schaltung mittels blauen und roten Kreisen dargestellt werden.

Damit die Funktionen der Boxen nicht ständig unkontrolliert automatisch ausgeführt werden, wurden in dieser Arbeit alle Nodes mit "ON/OFF" Eingang ausgestattet. Da dieser Ausführungsbefehl etwa über die grafische Benutzeroberfläche durch Aktivieren (enable) eines "Kästchens" gegeben wird, wurden die einzelnen Module mit OFF-Ausgängen versehen, um damit nach Ausführen der Funktion diese Kästchen wieder automatisch zu deaktivieren (disable).

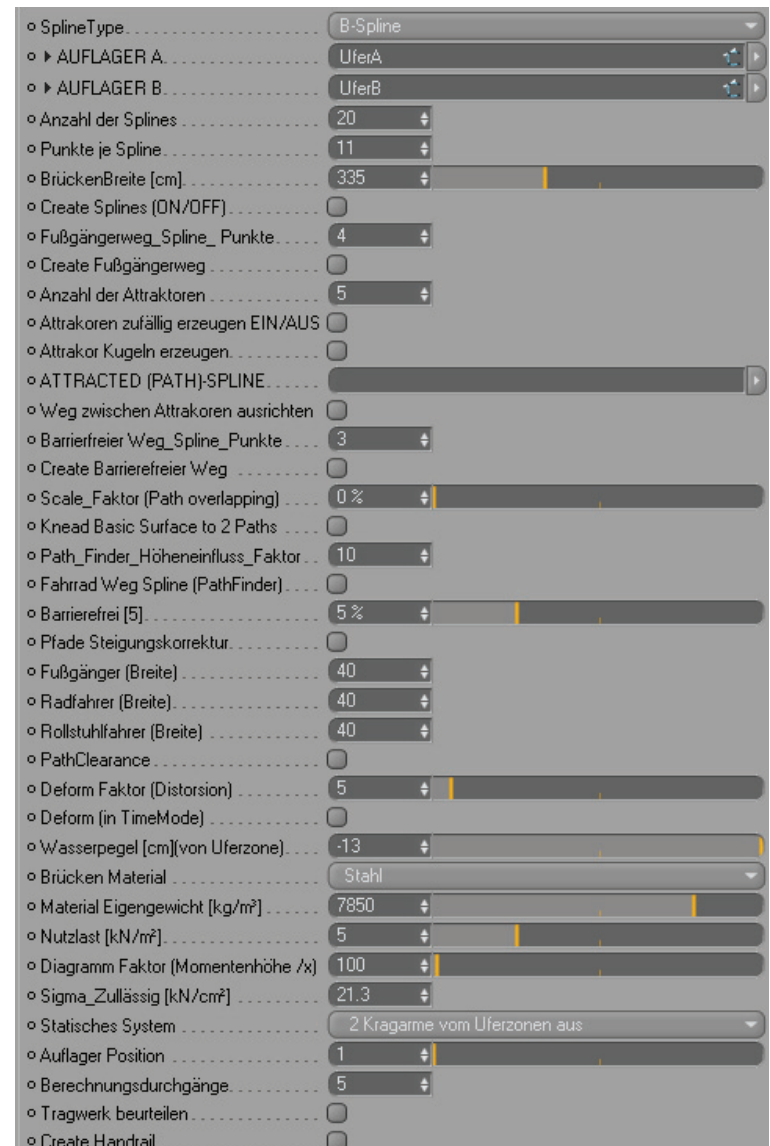
Die Ein- und Ausgänge besitzen unterschiedliche Grundeigenschaften. Daher muss beim Hinzufügen eines Ein- oder Ausgangs entschieden werden, ob beispielsweise eine Zahl, ein String, ein ganzes Objekt etc. aus- oder eingegeben werden soll.

Da viele dieser Module relativ am Anfang der Entwicklung programmiert wurden und noch nicht genau bekannt war, wie man genauere Objektdetails ausliest, wurden die Module mit Eingängen ausgestattet, über die immer die Splineanzahl und Splinepunkte der Grundmatrix übergeben werden. Diese Eingänge könnten bei einer Überarbeitung wegfallen.

Die Abbildung links zeigt die fertige Xpresso-Schaltung.

User Interface - Externe Parameter

Da es Ziel war, zwar einen flexiblen Prozess über Parametersteuerung zu gestalten, wurde während der Entwicklung der Module bzw. dem Schreiben der einzelnen Scripte generell darauf geachtet, dass möglichst viele Funktionen und Abläufe mit allgemeinen Variablen beschrieben werden anstatt jeweils fixe Werte zu vergeben. Dabei entstand eine große Menge nachträglich verstellbarer Variablen, wobei einige davon dem Entwerfer als Parameter direkt über eine grafische Eingabeoberfläche - dem "User-Interface" - zugänglich gemacht wurden. Dabei wurde darauf geachtet, dass vorerst nur die notwendigsten Parameter im Auswahl-Menü zur Verfügung gestellt werden, da dieses ansonsten sehr komplex wird und das ursprüngliche Ziel einer leichten intuitiven Benutzbarkeit verloren gehen würde. Natürlich lassen sich die Menüpunkte ohne großen Aufwand verändern. Diese Auswahl-Menü bzw. User-Interface ist direkt über einen Funktionsnode (Grün) mit den anderen Nodes verbunden.



```

//SURFACE_CALC
BRIDGE_SURFACE_CALC(); //ERGEBNIS: EntirePlane,SinglePlane_BalancePoint[cnt][a],SinglePlanes[cnt][a], Sector_Plane[a]

//Vom tiefsten Uferpunkt das Wasserlevel abziehn
WATERLEVEL_POINT_CALC();

Beam_Number_Intern=Beam_Num_In;

if(Beam_Num_In<=1) //Externe BeamNummer
{
  println("Es werden die Daten für den IDEALTRÄGER erzeugt! BeamNr.: ",Beam_Num_In,"!");
  println("Minimalhöhe vergeben!");

  if(Material_Typ==0) Formula_Divident_Arm_1=20; //Stahl
  if(Material_Typ==0) Formula_Divident_Arm_2=20; //Stahl
  if(Material_Typ==1) Formula_Divident_Arm_1=16; //Beton
  if(Material_Typ==1) Formula_Divident_Arm_2=16; //Beton

  //Volumshöhepunkte zuweisen -> Für die Erste Volumsberechnung - Momentenverlauf
  for (a=0;a<SplinePunkte;a++)
  {
    for (cnt=0;cnt<Anzahl_Splines;cnt++)
    {
      BRIDGE_VOLUME_POINTS_ARRAY[cnt][a]=BRIDGE_POINTS_ARRAY[cnt][a];
      BRIDGE_VOLUME_POINTS_ARRAY[(Anzahl_Splines*2-1)-cnt][a]=BRIDGE_POINTS_ARRAY[cnt][a];
      BRIDGE_VOLUME_POINTS_ARRAY[(Anzahl_Splines*2-1)-cnt][a].y=BRIDGE_VOLUME_POINTS_ARRAY[(Anzahl_Splines*2-1)-cnt][a].y-Minimal_Construction_Height;
    }
  }

  //START DER BERECHNUNG DES IDEALTRÄGERS -> 1.Vorbemessung
  //-----

  //Profiltypen pro Segmente vergeben
  DEFINE_PROFILETYPES();

  //Berechnung der Einzel_Volumen und des Gesamten Trägers
  BRIDGE_VOLUME_CALC();

  //LOADCALC
  LOAD_CALC(); //Achtung Load stimmt nicht da konstante Höhenannahme -> Minimal_Construction_Height

  //TORQUE_CALC
  TORQUE_CALC(); //Achtung Torque stimmt nicht da konstante Höhenannahme -> Minimal_Construction_Height

  //IDEAL_BEAM_CALC
  Section_Shape_Mode=0; //Rechtecksquerschnitt;
  Faktor_1_Enable==False; //Für Idealträger wird dieser Faktor ausgeschalten -> Sollte aber eigentlich eingeschalten werden!!!
  Torque_Curve_Calc=True;
  BEAM_CALC(Beam_Number_Intern);
  //Section_Shape_Mode=1; //Konkaver Querschnitt
} //if(Beam_Num_In<=1) ENDE

//-----
//IDEALTRÄGER WURDE BERECHNET -> ES WURDE EIN ERSTES VOLUMEN VERGEBEN -> BRIDGE_VOLUME_POINTS_ARRAY
//-----
println("-----");

//-----
//ACHTUNG: DER VORHERGEHENDTE TEIL KONNTE ÜBERSPRUNGEN WORDEN SEIN -> ES WIRD EIN AKTUELLES VOLUMEN BENÖTIGT

if(Beam_Number_Intern>1)
{ Beam_Number_Intern=Beam_Number_Intern-1; //Da die vorhergehende Geometrie eingelesen werden muss
  println("Es wird der vorhergehende Träger Nummer: ",Beam_Num_In," eingelesen!");

  //VERÄNDERTE VARIABLEN EINLESEN
  READ_VARIABLE_FOLDER();

  //DAS BRIDGE_VOLUME_POINTS_ARRAY BERECHNEN
  READ_BRIDGE_SHAPE();
  Beam_Number_Intern=Beam_Number_Intern+1;
  //-----
  //VORHER ERZEUGTES TRÄGERVOLUMEN WURDE EINGELESEN -> Soll nun beurteilt werden!!!
  //-----
  //CHANGE Bridge Shape;
  CHECK_AND_CHANGE_BRIDGE_SHAPE();

  //Profiltypen pro Segmente vergeben
  DEFINE_PROFILETYPES(); //Wenn die Beam_Number_Intern<=1 dann wird ein Vollquerschnitt berechnet
  //Externe Daten den Internen übergeben
  Formula_Divident_Arm_1=Formula_Divident_Arm_1_Extern;
  Formula_Divident_Arm_2=Formula_Divident_Arm_2_Extern;
  if(Torque_Curve_Calc_Mode==1) Torque_Curve_Calc=True;
  if(Torque_Curve_Calc_Mode==0) Torque_Curve_Calc=False;
  if(Faktor_1_Enable_Extern==0) Faktor_1_Enable=False;
  if(Faktor_1_Enable_Extern==1) Faktor_1_Enable=True;
  if(Faktor_2_Enable_Extern==0) Faktor_2_Enable=False;
  if(Faktor_2_Enable_Extern==1) Faktor_2_Enable=True;
}

```

Beschreibung der einzelnen Nodes

Generate_Basic_Surface[]

Allgemeine Beschreibung

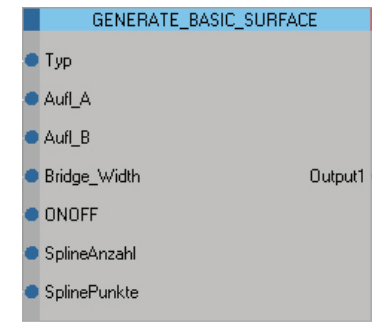
Mit diesem Modul kann eine Loft_Oberfläche mit einer bestimmten Grundauflösung bzw. Punktmatrix zwischen zwei beliebigen dreidimensionalen Splines im Entwurfsraum aufgespannt werden.

Motivation

Der Grundgedanke, anfangs eine solche Matrix bzw. in diesem Fall Brückenoberfläche definieren zu müssen, war die Annahme, dass eine Brücke sich immer über eine Längsausdehnung von einem Bereich "A" nach "B" entwickelt. Diese Zonen können als Auflager, Uferzonen oder allgemein als Brückendenen verstanden werden. Die Punkte an den Brückendenen können zwar manuell verändert werden, jedoch werden diese im Regelfall von keinem der anderen Module automatisch verzerrt. Diese Fläche wird als Grundmatrix verstanden, mit der alle anderen Module interagieren können, indem sie aktuelle Punktkoordinaten auslesen oder auch verändern können.

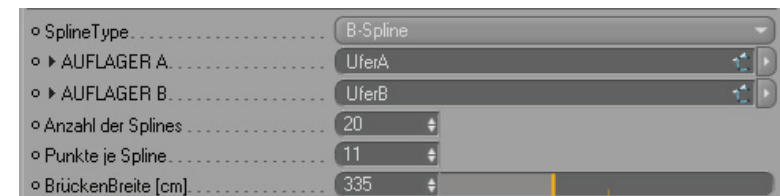
Im Entwurf

Grundsätzlich bestimmt diese Fläche die Oberflächengeometrie der Brücke. Während des Entwerfens kann diese Fläche als Knetfläche verstanden werden, die mit verschiedensten Modulen verändert werden kann. Diese Funktion ist die einzige, die als Grundvoraussetzung vor allen anderen Funktionen ausgeführt werden muss, da ohne Knetfläche kein Kneten bzw. Entwerfen möglich ist.



Detail

Die Loftoberfläche wird nicht direkt über die zwei genannten Splines (Rot) bestimmt, sondern über eine definierbare Anzahl von Splines (Grün) erzeugt. Diese (Grün) werden zwischen zwei Splines (Rot) generiert und können selbst jeweils durch eine bestimmte Anzahl von Kontrollpunkten (Gelb) unterteilt und beschrieben werden. Dabei lassen sich Splintypen wie etwa lineare, cubische, B-Spline, Akima auswählen. Die Splines (Grün) werden untereinander in einem gleichmäßigen Abstand angeordnet, wobei deren Distanz untereinander mittels einer Gesamtbreiteneingabe festgelegt werden kann. Dabei werden die Abstände der Splines (Grün) nicht auf die Normalen untereinander, sondern jeweils entlang der zwei Grundsplines (Rot) gemessen. Sind diese zwei Grundsplines beispielsweise länger als die eingegeben Breiten, dann wird pro Spline (bsp. Uferzone) eine zufällige Positionierung der Splines gewählt, wobei die Splineabstände untereinander an den Anfangs- und Endpunkten konstant bleiben.



Bemerkung

Die Verwendung einer solchen Grundmatrix hat sich als geschickt herausgestellt. Es wird versucht, im gesamten Prozess eine möglichst gleichmäßige Rasterung zu erhalten, da die Knetfläche so etwa auch zur Definition von signifikanten Geometriepunkten oder auch zur Festlegung von Schnittlinienführung etc. dienen kann. Durch diese Methode lässt sich die Brückengeometrie grundsätzlich mit einer klaren übersichtlichen regelmäßigen Anzahl von Punkten beschreiben.

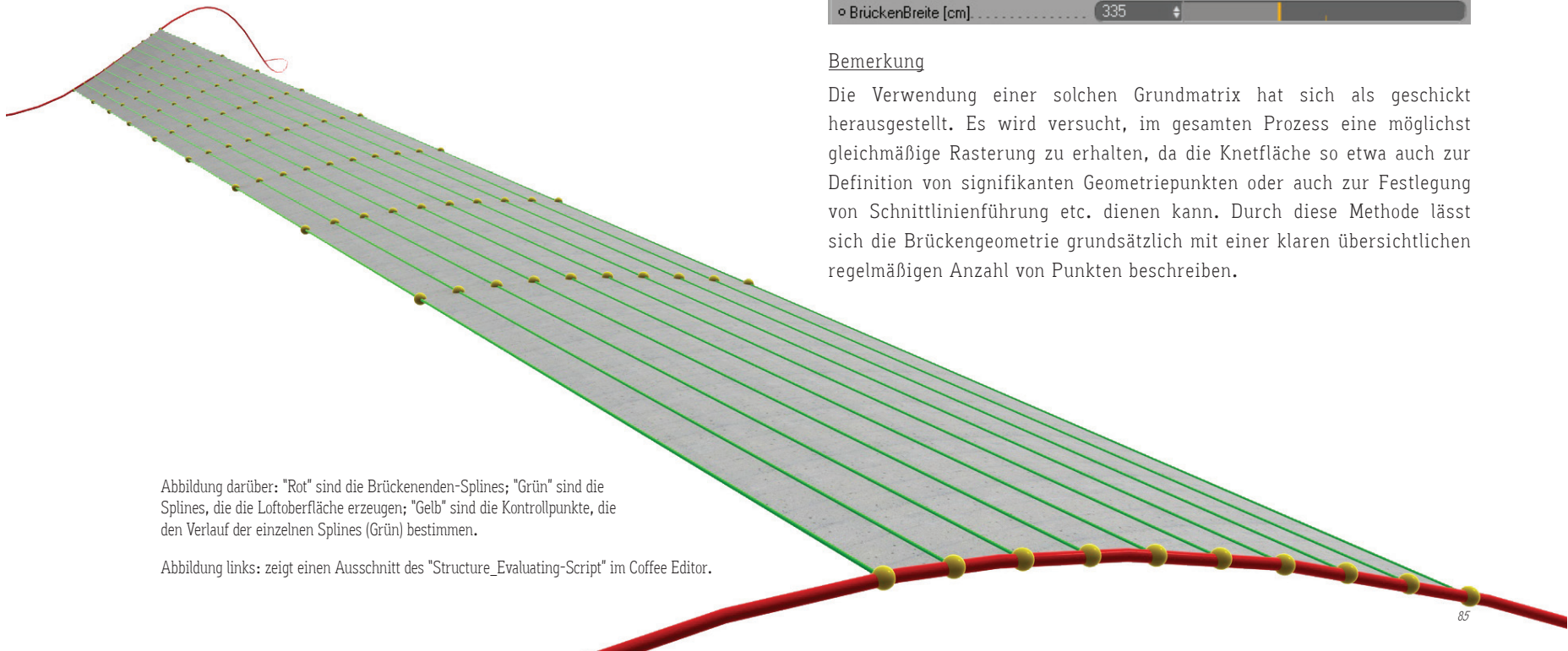
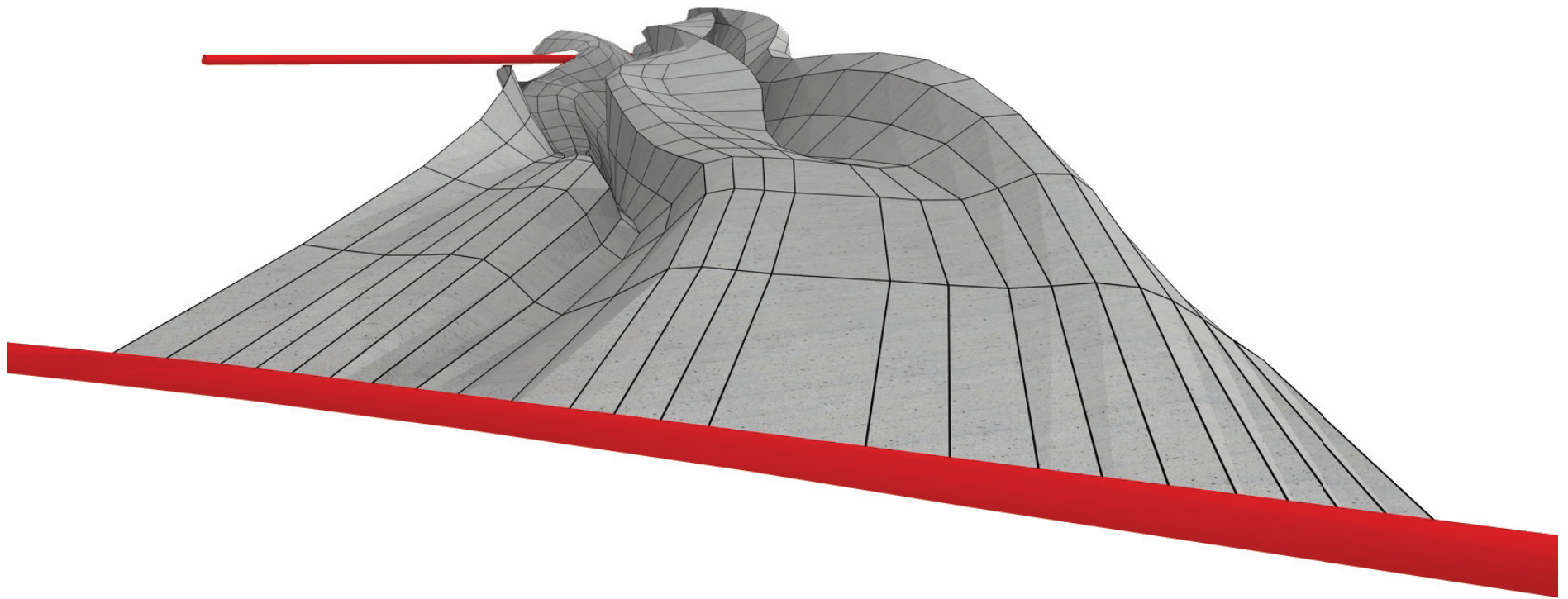


Abbildung darüber: "Rot" sind die Brückendenen-Splines; "Grün" sind die Splines, die die Loftoberfläche erzeugen; "Gelb" sind die Kontrollpunkte, die den Verlauf der einzelnen Splines (Grün) bestimmen.

Abbildung links: zeigt einen Ausschnitt des "Structure_Evaluating-Script" im Coffee Editor.



Simple_Spline_Deformer[]

Allgemeine Beschreibung

Mittels dieser Funktionsbox kann eine bestimmte Anzahl von Splines mittels Zufallsgenerator verzerrt werden, wobei die Stärke der Verzerrung der einzelnen Kontrollpunkte der Splines im Raum über einen Faktor bestimmt werden kann.

Motivation

Dieses Script wurde geschrieben, um andere Module schneller testen bzw. überprüfen zu können. Aus diesem Grund kann die manuelle Verzerrung einzelner Splinekontrollpunkte durch eine automatisierte ersetzt werden.

Im Entwurf

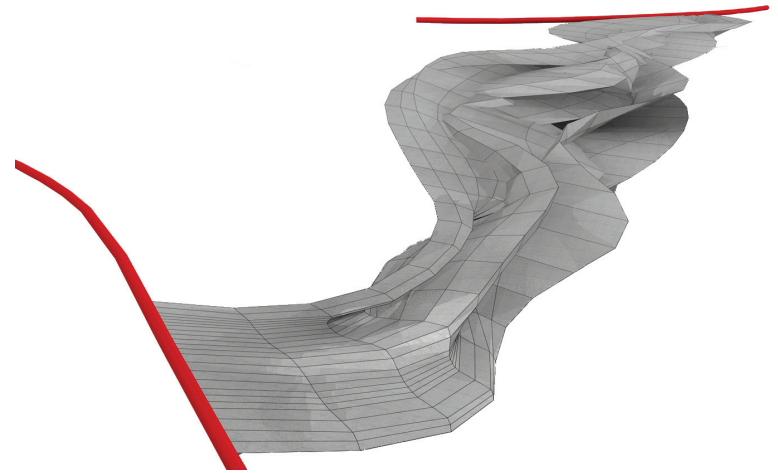
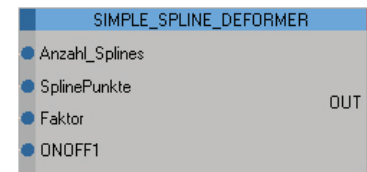
Dieses Modul ist nicht zur Verwendung im eigentlichen Entwurfsprozess gedacht, da es zum Testen von verschiedensten Funktionen entwickelt wurde.

Detail

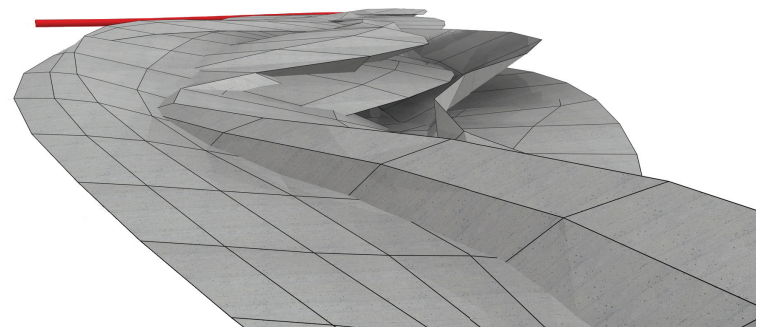
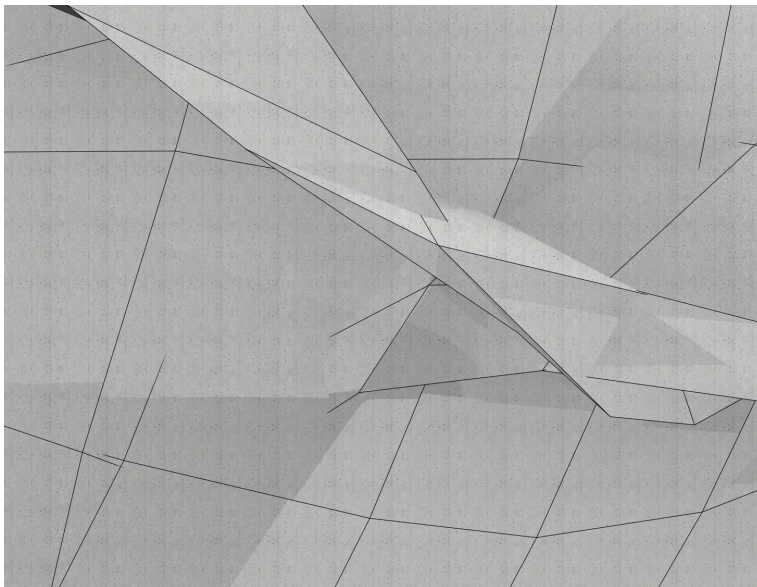
Die zu verzerrenden Splines müssen einen bestimmten Grundnamen aufweisen, der innerhalb der Programme festgelegt wurde und sich nur in ihrem Suffix unterscheiden darf (beispielsweise O_Spline.1, O_Spline.2, O_Spline.3).

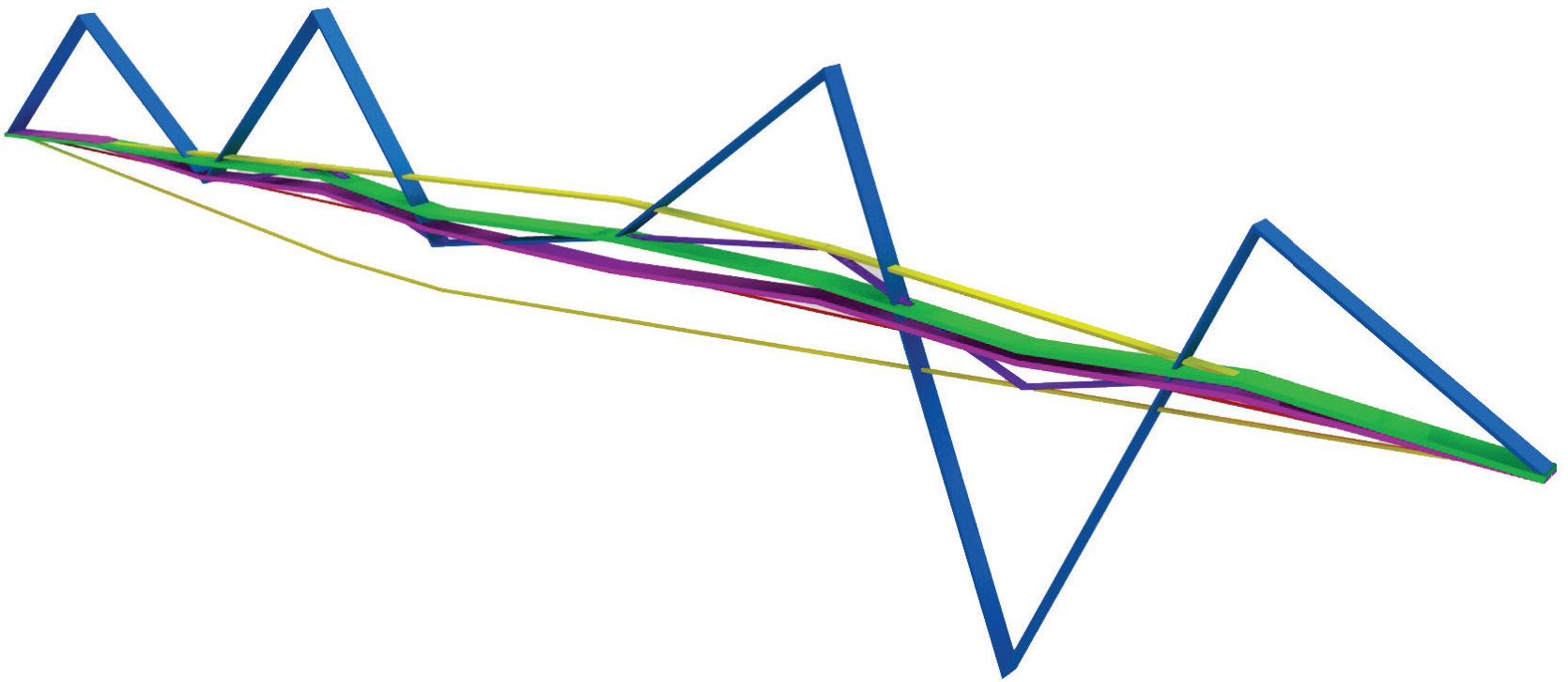
Bemerkungen

Der Funktions-Node könnte erweitert werden, indem man beispielsweise diesem extern bestimmte Namen von zu verzerrenden Objekten übergeben kann.



Die Ergebnisse mit diesen Modulen haben dazu geführt, die Entscheidung zu treffen, dass die Punkte der Knetfläche sich nicht überlappen dürfen, denn dies führt zu unkontrollierbaren Überschneidungen. Außerdem wurde angenommen, dass solche Überlappungen und Verschneidungen von Flächen schnell zu einer unnutzbaren Brückenoberfläche führt.





Make_Barrier_Free_Path[]

Allgemeine Beschreibung

Diesem Node können einzelne Splines übergeben werden, wobei diese darauf überprüft werden, ob die von dem/der BenutzerIn definierte maximal zulässige Steigung überschritten wurde. Im Falle einer Überschreitung werden die Splines korrigiert.

Motivation

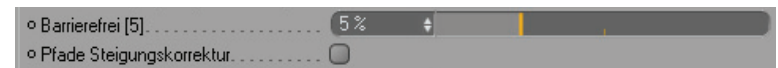
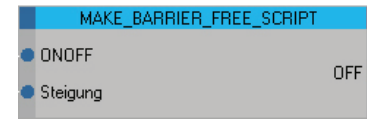
Dieses Modul wurde entwickelt, um den Entwurf in einem realisierbaren Rahmen zu halten, indem die Brücke für verschiedenste Nutzer in vorgesehenen Wegbereichen nutzbar gehalten werden kann.

Im Entwurf

Im Entwurf kann durch dieses Modul garantiert werden, dass die Fußgänger- und Radfahrwege sowie vor allem der barrierefreie Weg ihre maximal zulässigen Steigungen nicht überschreiten und dadurch für die Nutzergruppen benutzbar bleiben.

Detail

Ein maximal zulässiger Steigungswert kann von dem/der BenutzerIn in Prozent eingegeben werden. Dieser definiert einen maximal möglichen Bereich (gelbe Linien), in dem sich die jeweilige Spline unter diesen Einschränkungen befinden muss. Bei der Veränderung gibt es grundsätzlich zwei Modi, wie die Original-Spline (Blau) verzerrt werden kann. In einer ersten Variante wird die Original-Spline (Blau) zunächst als Ganzes in den zulässigen Bereich (Gelb) skaliert und erst dann geglättet. Dabei wird der Grundcharakter der Original-Spline erhalten (Hellviolett), wobei der Nachteil entsteht, dass der Verlauf meist sehr flach wird. Im zweiten Modus wird die Original-Spline (Blau) nicht skaliert, sondern es werden nur die einzelnen Punkte, die den zulässigen Bereich überschreiten, an

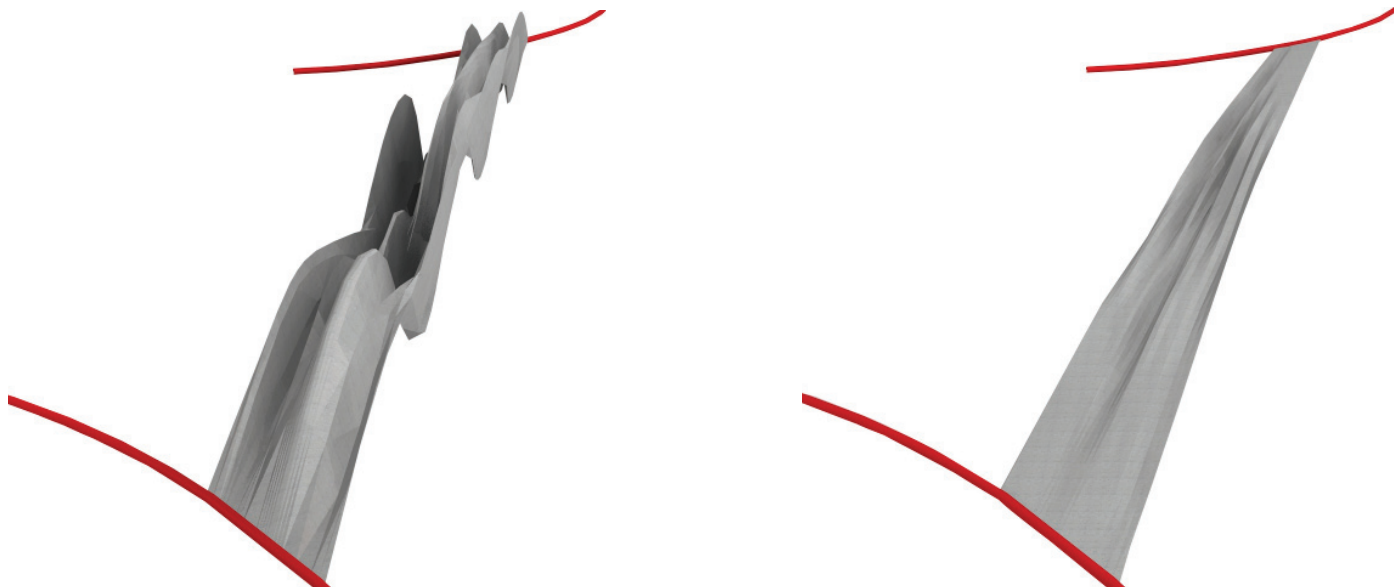


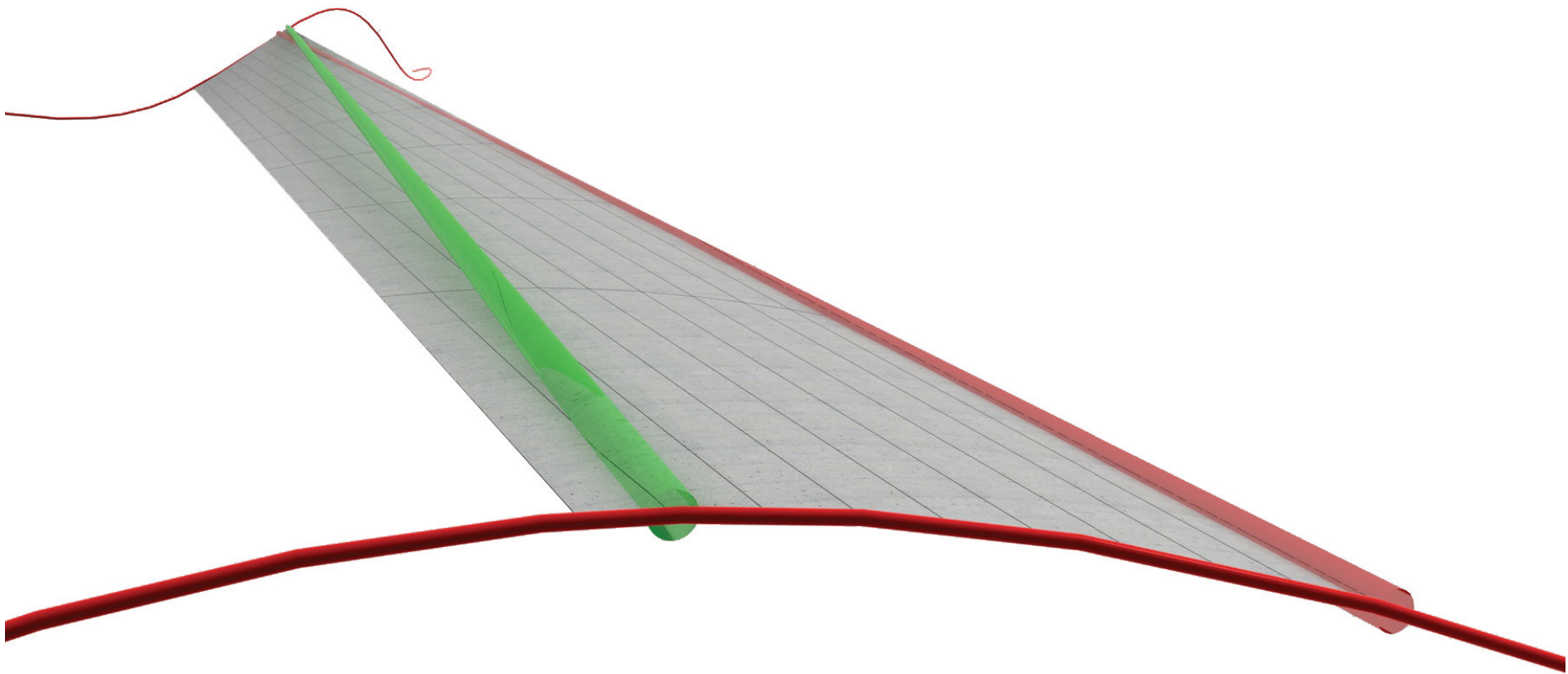
die Grenzen verschoben. Danach erfolgt ebenfalls die Glättung. Insgesamt entstehen in der Regel Linienführungen mit markanteren Höhendifferenzen (Grün) als mittels der ersten Methode (hell Violett). Der ideale Verlauf dient als allgemeine Referenz und wird als direkte Verbindung zwischen dem Anfangs- und Endpunkt der einzelnen Splines verstanden.

Bemerkungen

Die Modi müssen aktuell innerhalb des Moduls direkt im Script eingestellt werden. Diese Auswahl könnte man auch extern dem/der BenutzerIn zugänglich machen.

Weisen die Endpunkte der einzelnen Splines eine zu große Höhendifferenz auf, entstehen Fehler, da eine Korrektur ohne seitliches Ausweichen (im Grundriss) prinzipiell nicht möglich ist. In einem solchen Fall entstehen Rampen, die am Ende einen Knick aufweisen. Weiters sei an dieser Stelle erwähnt, dass in der Entwicklungsphase zur Überprüfung die Steigungen der einzelnen Splines der Knetflächen getestet wurden. Als Ergebnis resultierten zwar einzelne geglättete Splines, doch die gesamte Oberfläche erschien zerknittert und war daher nicht begehbar. Um definieren zu können, in welchem Bereich die Brückenoberfläche eben verlaufen soll, mussten daher zunächst die Wege erzeugt werden, damit in einem nächsten Schritt das Weglichtenüberprüfungsprogramm entwickelt werden konnte.





Make_Path_Modules[]

Allgemeine Beschreibung

Mit Hilfe der Pfadgenerierung-Nodes kann jeweils eine Spline mit einer frei definierbaren Anzahl an Kontrollpunkten zwischen den Brückendenen generiert werden.

Motivation

Um die Pfade nicht für jeden Test oder auch während des Entwerfens manuell neu eingeben zu müssen, können die Pfade automatisch generiert werden. Die Pfade werden in diesem Entwurfskonzept auch erzeugt, um später für die Definition der Geometrie sowie für das Bestimmen der Position von Nutzlasten verwendet werden zu können.

Im Entwurf

Die Geometrie der Brücke wird wesentlich von der Wegführung bestimmt. Um die Wege nicht bei jedem Entwurf manuell neu zeichnen zu müssen, können diese automatisch erzeugt werden. Der Pfad kann nach der Generierung beliebig manipuliert und weiterbearbeitet werden. Auch die Anfangspositionen können jederzeit verändert werden.

Detail

Dabei wird die Spline zwischen den Brückendenen innerhalb des Knetmassenbereichs generiert. Die Wege-Splines werden intern als B-Splinetypen definiert. Als Vorschlag wird je Pfad ein zufälliger Anfangs- und Endpunkt vergeben, der natürlich nach Generierung direkt manuell verändert werden kann.

Bemerkung

Im Entwurfsprozess werden diese Pfadgenerierungsmodule zweimal für die Erzeugung von zwei Wegen annähernd ident verwendet. Der einzige Unterschied besteht darin, dass für die jeweilig generierten Pfade unterschiedliche Namen vergeben werden.

Make_Pedestrian_Path[]

Erzeugt ein Spline Objekt mit dem Namen "Pedestrian_Path_Spline".

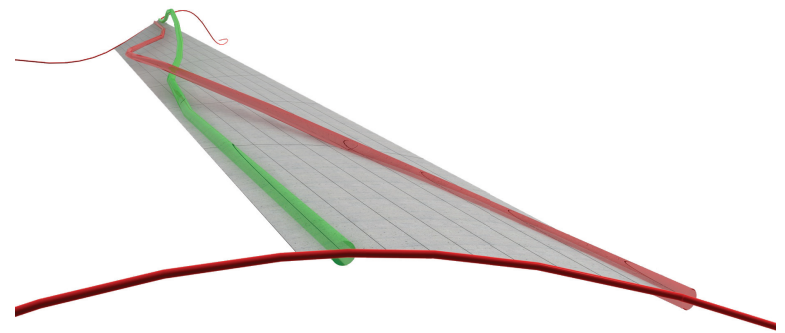
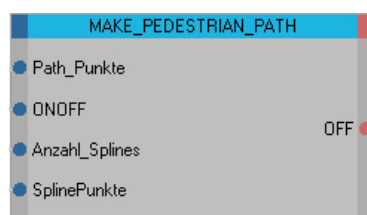


Abbildung 71: Die Wege (Rot und Grün) werden mit diesen Modulen lediglich generiert und führen durch ihr Vorhandensein nicht sofort zu einer Verformung der Knetfläche bzw. Brückenoberfläche.

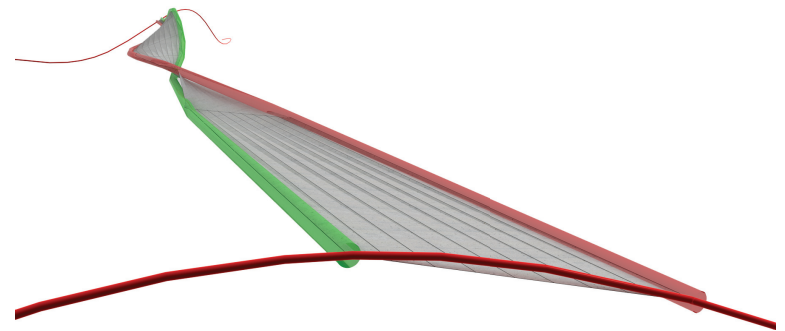
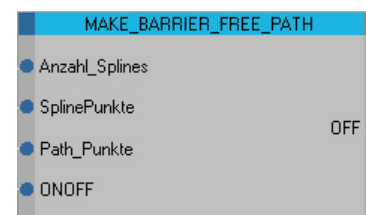


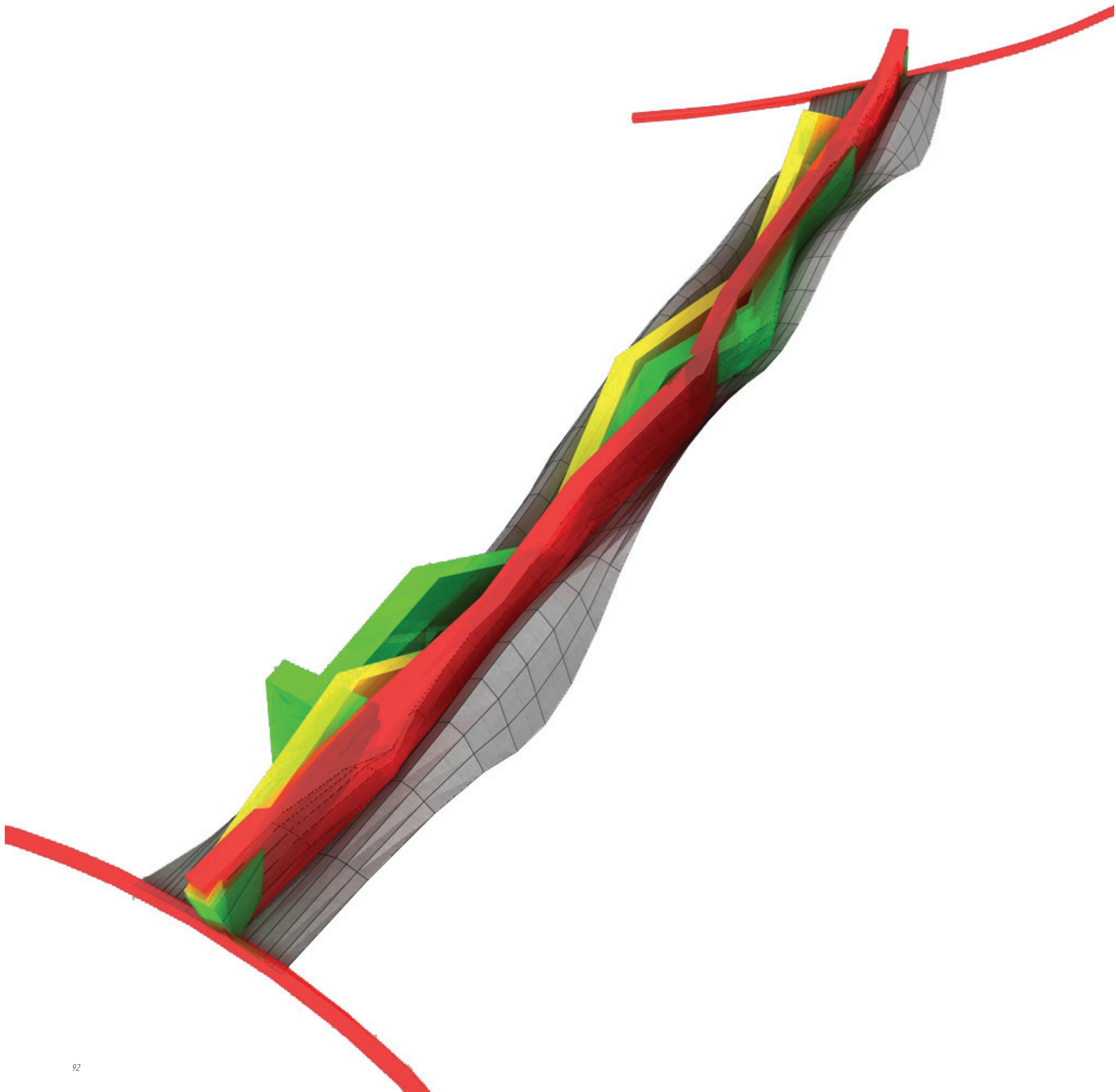
Abbildung 72: Achtung! Um die Brückengeometrie dem Verlauf der einzelnen Wege anzupassen, muss erst das "Knead_to_Paths-Modul" aktiviert werden.

Als Modulerweiterung könnte die Splinetypwahl dem/der BenutzerIn extern über das User-Interface zugänglich gemacht werden.

Make_Barrier_Free_Path[]

Erzeugt ein Spline Objekt mit dem Namen "Barrier_Free_Path_Spline".





Pathfinder[]

Allgemeine Beschreibung

Mit dem "Pathfinder-Modul" kann eine Spline generiert werden, die den kürzesten Weg zwischen einem definierten Anfangs- und Endpunkt in einer Punktematrix widerspiegelt. Mit einem Faktor kann die Empfindlichkeit gegenüber Höhenveränderungen eingestellt werden.

Motivation

Beim Entwurf freier Brückengeometrien kann es manchmal schwierig sein, einen günstigen Weg für unterschiedliche Nutzergruppen über die Brücke zu finden und dabei manuell zu konstruieren. Mit der Pathfinder-Funktion wird dieser Vorgang automatisiert.

Im Entwurf

Im Entwurf wird dieses Modul genutzt, um den günstigsten Radfahr- oder auch barrierefreien Weg über die Brückenoberfläche zu finden. Es werden zwei Punkte auf der Brücke gewählt, um danach den kürzesten Weg über die entworfene Oberfläche zu berechnen und diesen als Pfad-Objekt darzustellen. Je nachdem, wie der Höhenempfindlichkeitsfaktor eingestellt wird, ergibt sich ein eher direkter oder indirekter Pfadverlauf. So kann beispielsweise der günstigste Verlauf für einen barrierefreien Weg gesucht werden. In einem weiteren Schritt kann dieser Weg mit dem "Make_Barrier_Free_Path-Modul" auf die maximal zulässige Steigung korrigiert werden, um danach einen ebenen Verlauf entlang des Pfades mit einer definierten Lichte mittels des "Path_Clearance-Modul" generieren zu können.

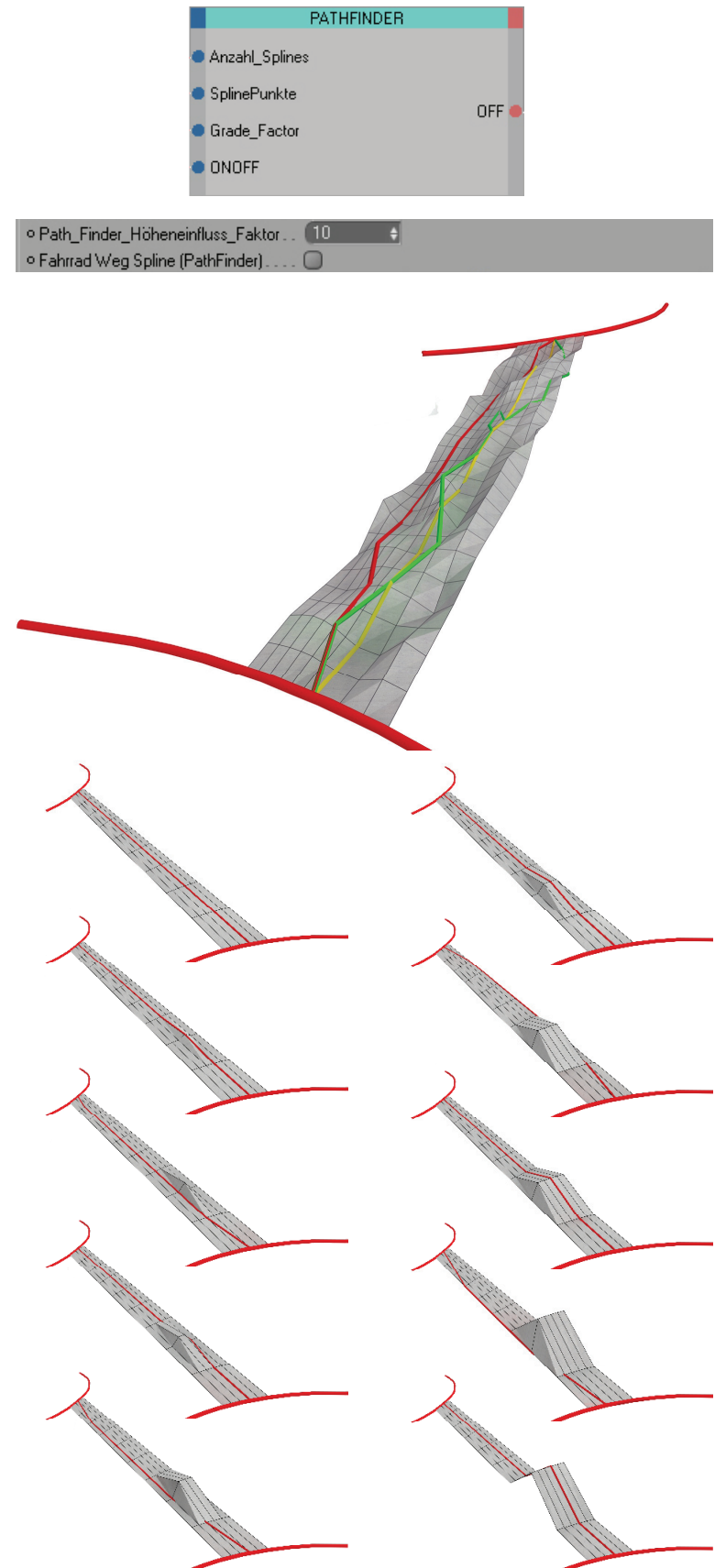
Detail

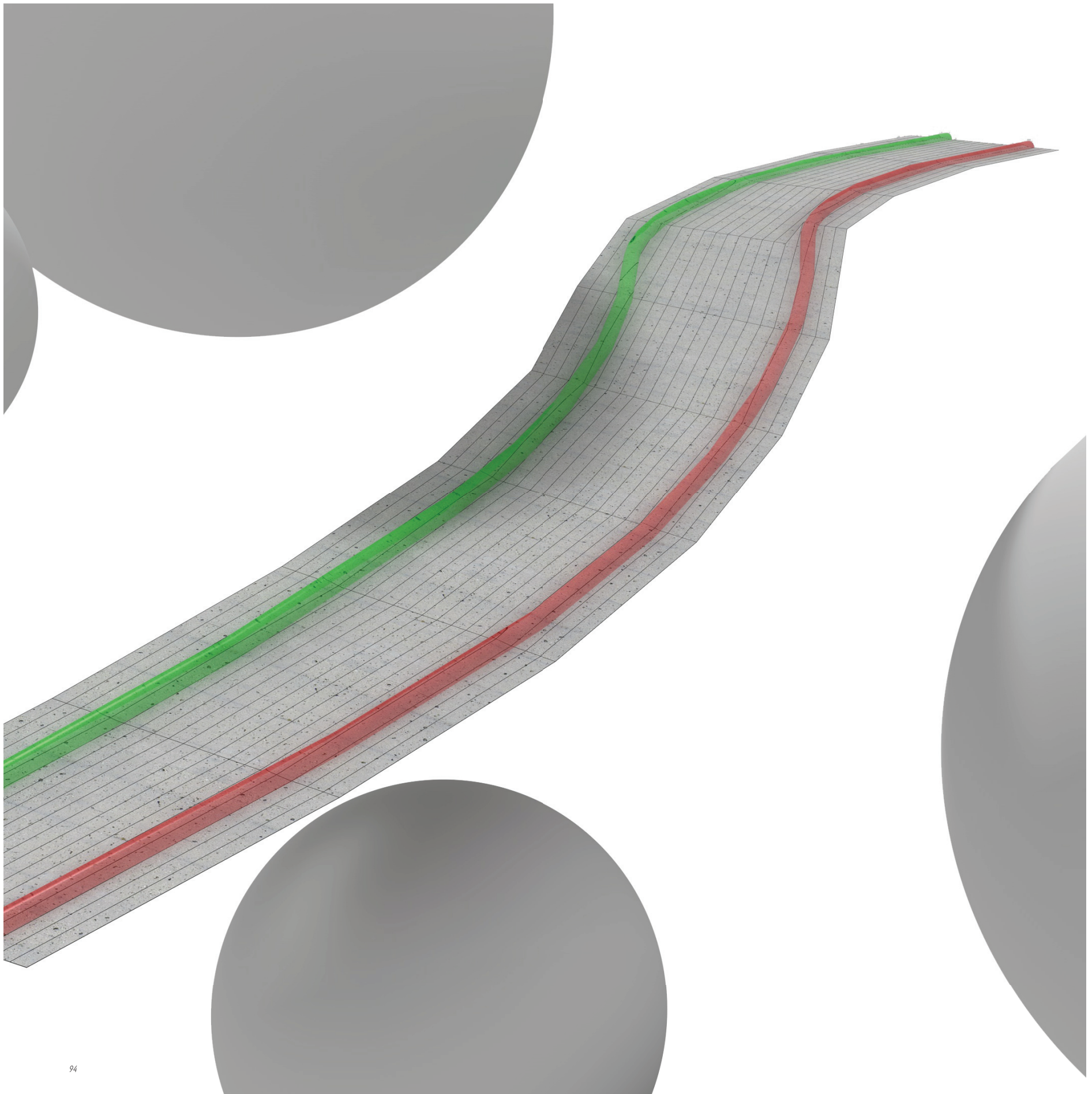
Die zwei Punkte, zwischen denen der kürzeste Weg berechnet wird, werden im Modul-Script festgelegt. Diese Pfadanfangs- bzw. Pfadendpunkte werden mittels Zufallsgeneratoren an den Brückenenden festgelegt. Der Weg wird mittels des sogenannten "Dijkstra Algorithmus" berechnet, welcher eine gängige Methode für diese Art von Problemstellung darstellt. Grundsätzlich werden mittels dieses Algorithmus' einzelne Strecken bewertet bzw. gewichtet, weshalb man dieses Vorgehen der Graphentheorie zuordnet.

Bemerkung

Die Definition der zwei Zielpunkte könnten dem/der NutzerIn extern über das User-Interface zugänglich gemacht werden.

Die einzelnen Pfade in den Abbildungen wurden mit diesem Modul automatisch generiert. Dabei wurde der "gelbe Pfad" mit einem niedrigen Höheneinflussfaktor generiert, weshalb dieser einen relativ geradlinigen Verlauf über die Oberfläche einnimmt, da dieser gegen Höhensprünge relativ unempfindlich ist. Der "grüne Pfad" wurde mit einer hohen Empfindlichkeit berechnet, weshalb dieser einen Zickzackkurs wählt, um Höhenüberwindungen zu vermeiden. Man erkennt in den Abbildungen, dass alle Pfade aus denselben Endpunkten entspringen, sich jedoch unterschiedlich über die Oberfläche entwickeln.





Make_Attractor_Spheres[]

Allgemeine Beschreibung

Mit diesem Modul werden Kugelobjekte mit zwei unterschiedlichen Namensgebungen wie etwa "POSITIVE_ATTRACTOR_Sphere13" und "NEGATIV_ATTRACTOR_Sphere13" erzeugt. Bei der Generierung kann die Anzahl der Kugeln bestimmt und ein Zufallsmodus aktiviert oder deaktiviert werden.

Motivation

Um im Verlauf der Pfade bestimmte Qualitäten des Ortes reflektieren zu können, sollte es ermöglicht werden, diesen mittels anziehenden und abstoßenden Attraktoren auszustatten, die zunächst verschiedenst interpretiert werden können.

Im Entwurf

Das Entwurfskonzept sieht vor, dass ein Pfad im Verlauf besonders Rücksicht auf die Qualitäten der Umgebung nimmt. In der Wegeverlaufsfindungsphase können die Kugeln als Magneten verstanden werden, die je nach Radius und Bezeichnung eine mehr oder weniger stark anziehende oder abstoßende Wirkung auf den jeweils selektierten Pfad besitzen. Mittels diesem Modul kann zunächst die Entwurfsumgebung mit negativen und positiven Attraktoren bewertet werden.

Detail

Bei der Generierung kann der Zufallsmodus, der unterschiedliche Radien und Positionen im Entwurfsraum vergibt, aktiviert oder deaktiviert werden. Ist der Zufallsmodus deaktiviert, werden alle Kugeln mit dem gleichen Radius in derselben Position erzeugt, um dann manuell verändert zu werden. Bei der Attraktorentypenbestimmung bzw. der Namensgebung der Kugeln wird die gewünschte Anzahl halbiert, wobei eine Hälfte den Präfix "NEGATIV_" und die andere "POSITIV_" vergeben bekommt. Bei einer ungeraden Anzahl wird zugunsten der Erzeugung von positiven Attraktoren aufgerundet.

Knead_Splines_To_Attractors[]

Allgemeine Beschreibung

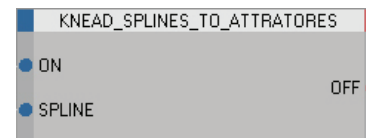
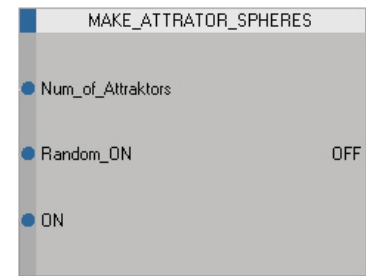
Mit diesem Node kann eine Spline selektiert werden, die auf die Attraktorkugeln in der Entwurfsszene reagiert.

Im Entwurf

Zusammen mit dem vorhergehenden Modul wird dieser Funktionsknoten wie bereits erwähnt für die Wegeformfindung eingesetzt. Es kann ein Pfad selektiert werden, der auf die Attraktoren im Entwurfsraum mit einer Verformung reagiert.

Motivation

Die vergebenen Attraktoren sollten Auswirkungen auf die Wegeführung haben, weshalb dieses Wegeausrichtungmodul entwickelt wurde.



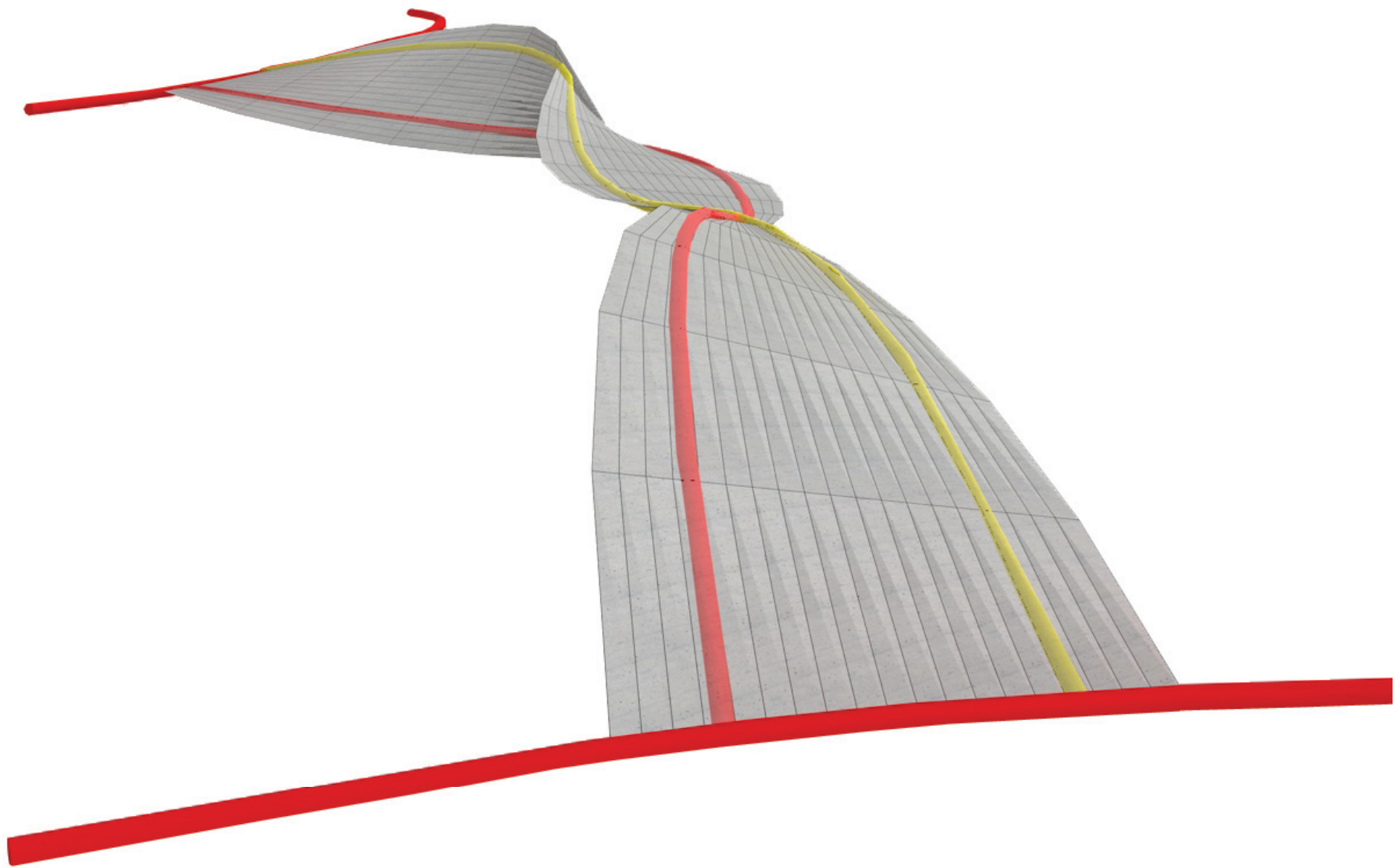
Detail

Genau genommen wirken sich die Attraktoren auf die einzelnen Kontrollpunkte der Splines aus. Der Ausrichtenbefehl kann mehrmals ausgeführt werden. Bei mehrmaliger Befehlausführung pendelt relativ rasch eine optimale Ausrichtung ein und es finden keine sichtbaren Positionsverschiebungen der Kontrollpunkte statt.

Bemerkungen

Eigentlich könnte man diese zwei Module in einem zusammenfassen.

Diese zwei Funktionen wurden zwar im anfänglichen Entwurfsstadium als Inspirations- und Testzwecke verwendet, wurden aber bei der Generierung beim Entwerfen der zwei Fallbeispiele nicht verwendet. Es hat sich herausgestellt, dass es sehr schwierig ist, eine objektive Bewertung der Umgebung vorzunehmen. Das Problem ist weniger die Position des Attraktors, als vielmehr die Evaluierung seiner Stärke gegenüber anderen.



Knead_To_Paths[]

Allgemeine Beschreibung

Das "Knead_To Path-Modul" spannt die Grundmatrix zwischen zwei Splines auf, wobei eingestellte Pfadbreiten und ein zusätzlicher Faktor für die Überlappung berücksichtigt werden können.

Motivation

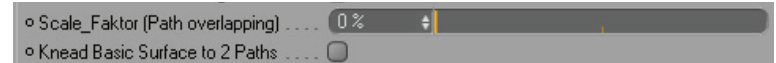
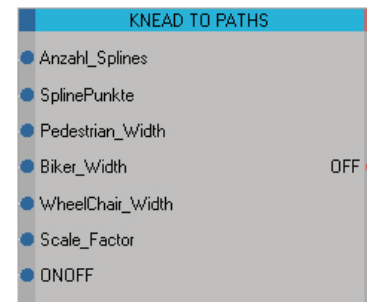
Wie bereits mehrfach erwähnt ist die Grundform der Brücke von der Wegeführung abhängig, weshalb diese Knet-Funktion für ein schnelles Ausprobieren von Geometrien entwickelt wurde.

Im Entwurf

Nach dem Entwurfskonzept wird die Grundform der Brückenoberfläche wesentlich durch die Wegeführung zwischen den Uferzonen bestimmt. Es ist vorgesehen, dass die Oberflächegeometrie direkt von der Linienführung zweier Wege abhängig gemacht wird. Im Entwurfsprozess kann die Brücke beispielsweise bei Veränderung von Wegbreiten oder Verläufen jederzeit neu aufgespannt werden, wodurch ein schnelles intuitives Ausprobieren von Formen ermöglicht wird.

Detail

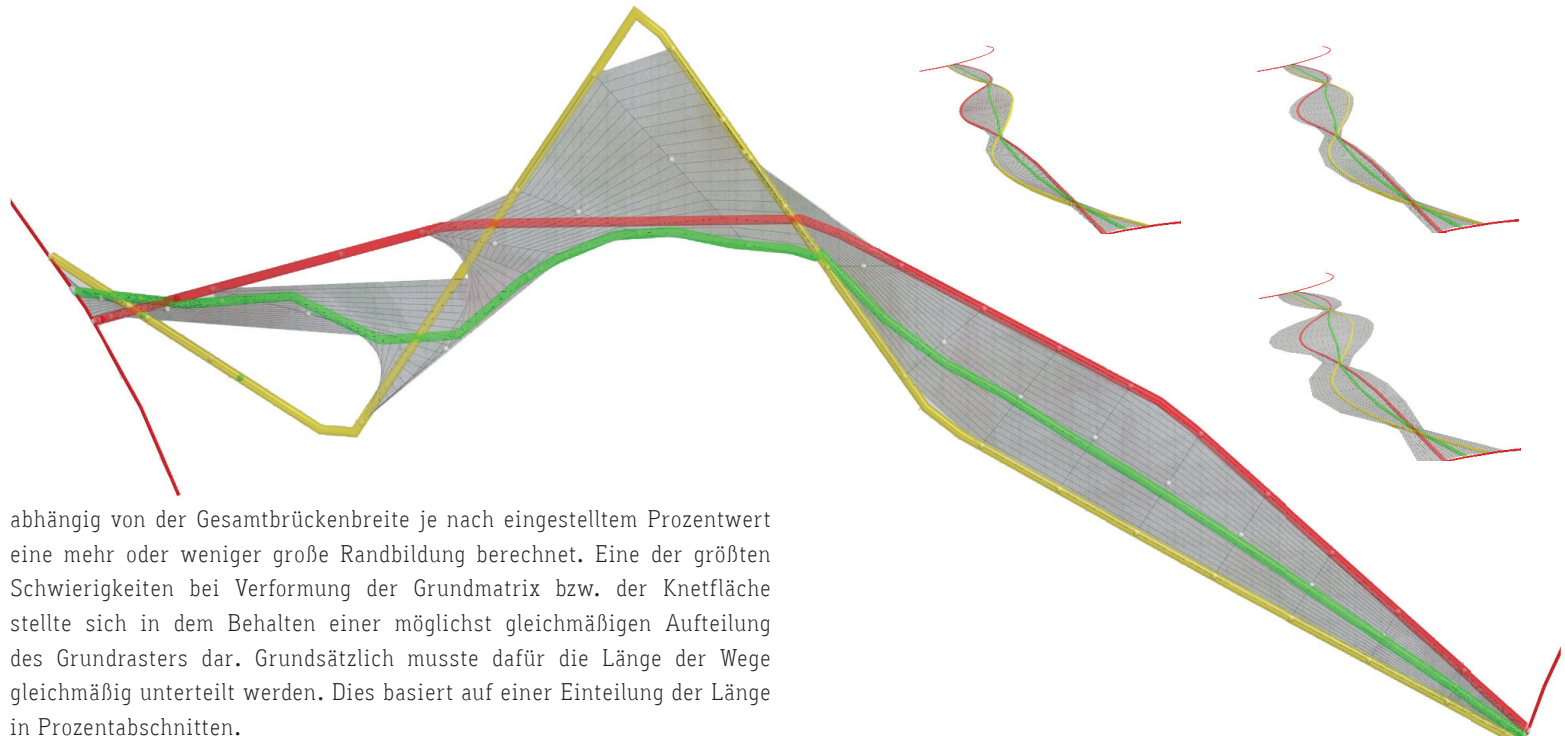
Da Splines als Linienobjekte selbst keine Breite besitzen, definieren sie die Mittelachsen der jeweiligen Wege. Beim Kneten der Fläche muss die Lichte der Wege berücksichtigt werden, indem jeweils die halbe Wegbreite normal auf die Spline in der aufgespannten Ebene liegend hinzugefügt wird. Für den Fall, dass die Wege nicht direkt mit dem Brückenrand abschließen sollen, wird ein zusätzlicher Faktor bereitgestellt, der



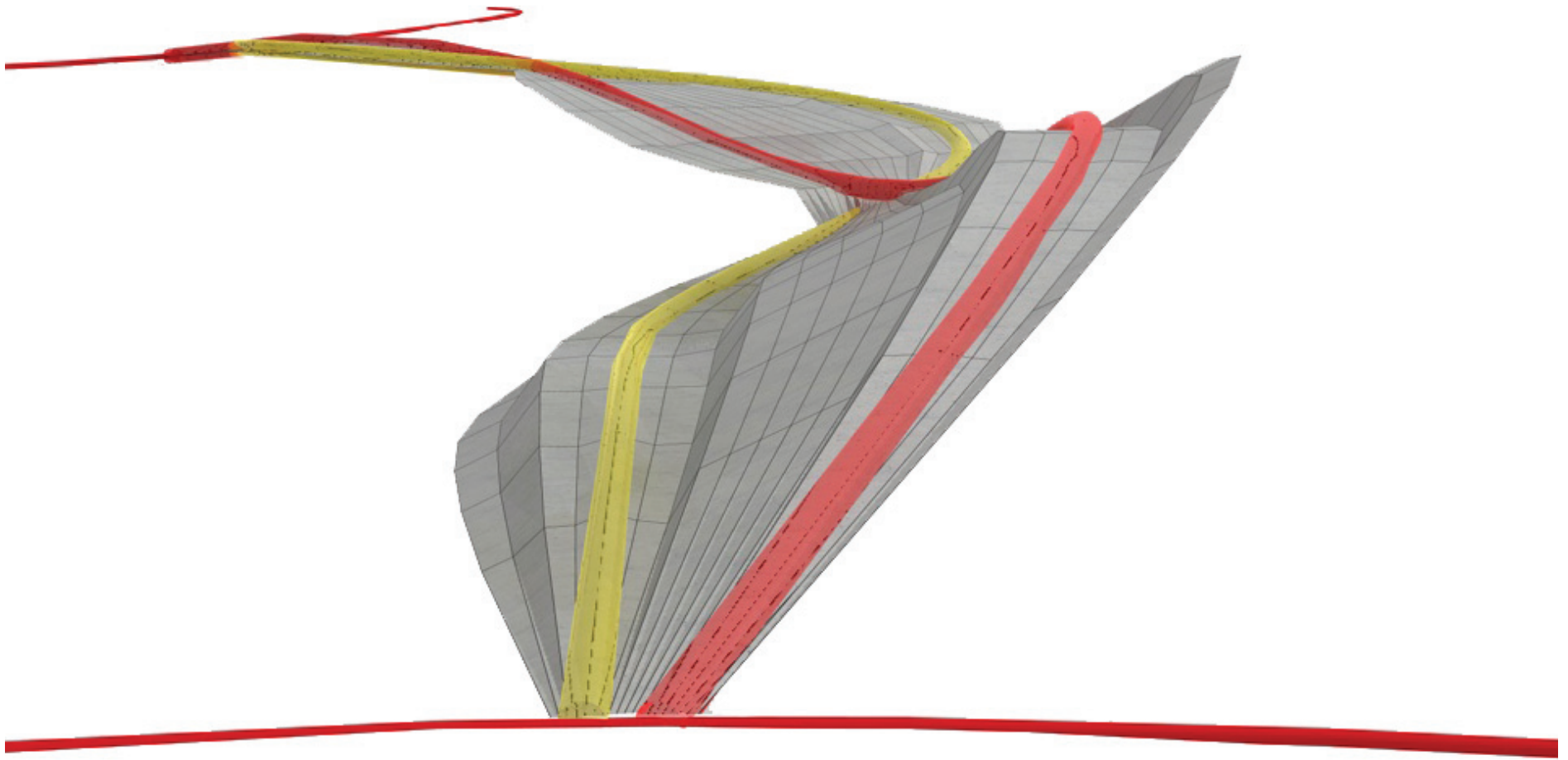
Bemerkungen

Diese geknetete Oberfläche muss nicht automatisch begehbar sein. Wenn beispielsweise zwar die einzelnen Steigungen der Wege vor dem Kneten korrigiert wurden, kann es trotzdem vorkommen, dass durch den Unterschied der Wegeführung untereinander eine zu große Querneigung entsteht. Dieses Problem kann mit dem Path_Clearance-Modul behoben werden.

Weiters wurde anfangs auch versucht, das Programm so zu gestalten, dass die Fläche immer zwischen den äußersten Pfaden ausgerichtet wird. Da zu diesem Zeitpunkt aufgrund des Mangels der Kenntnis einer programminternen Unterscheidung zwischen zwei Prozentrechnungsbefehlen immer wieder Fehler auftauchten (siehe Abbildung), wurde die Ausrichtung auf zwei Pfade beschränkt. Dies könnte in neuen Versionen wieder eingeführt werden, wurde jedoch hier aus Zeitgründen nicht wieder integriert.



abhängig von der Gesamtbrückenbreite je nach eingestelltem Prozentwert eine mehr oder weniger große Randbildung berechnet. Eine der größten Schwierigkeiten bei Verformung der Grundmatrix bzw. der Knetfläche stellte sich in dem Behalten einer möglichst gleichmäßigen Aufteilung des Grundrasters dar. Grundsätzlich musste dafür die Länge der Wege gleichmäßig unterteilt werden. Dies basiert auf einer Einteilung der Länge in Prozentabschnitten.



Path_Clearance[]

Allgemeine Beschreibung

Mittels der "Path_Clearance"-Funktion können die Höhenkoordinaten der einzelnen Punkte einer Matrix, die sich innerhalb eines definierten Normalabstandes links und rechts neben einer Spline befinden, dem Höhenverlauf der Spline angeglichen werden.

Motivation

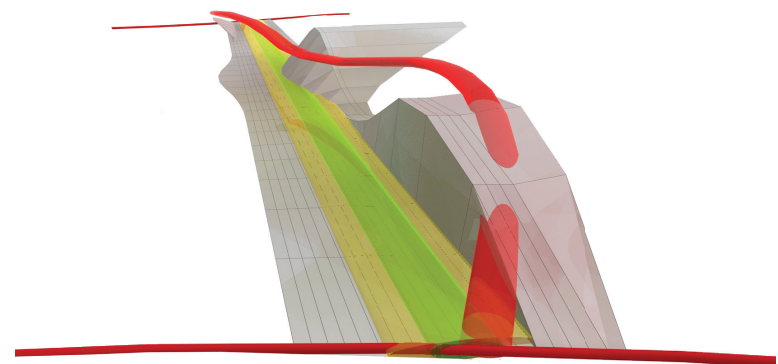
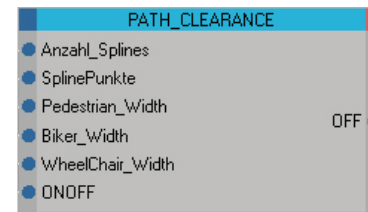
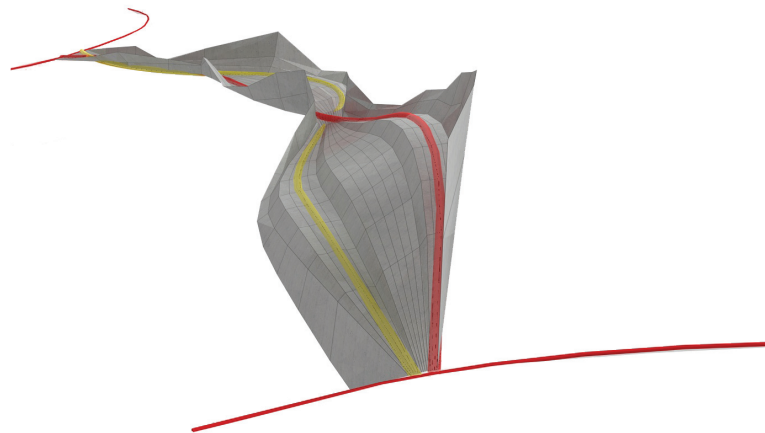
Um einen Freiformbrückenentwurf realisierbar bzw. benutzbar zu machen, muss zumindest in den vorgesehenen Verkehrszonen wie etwa Radfahrer- und Fußgängerbereich eine relativ ebene Fläche garantiert werden. Um diese ebenen Zonen rasch automatisch generieren zu können, wurde die sogenannte "Path_Clearance"-Funktion entworfen bzw. das "Weglichte_machen_Script" geschrieben.

Im Entwurf

Um eine eventuell äußerst freigeformte Brückengeometrie begehbar zu machen, kann mittels dieser Funktion eine freizuhaltende Lichte jederzeit geschaffen werden, indem die Flächen links und rechts der Wegachse eingeebnet werden können. Dadurch entstehen in den Wegbereichen in der Brückenoberfläche stufenförmige Einschnitte.

Detail

Grundsätzlich sollte aufgrund eines möglichst hohen Freiheitsgrades beim Entwerfen das Kreuzen von Wegen zugelassen werden. Dabei wurde etwa die Frage aufgeworfen, nach welchem der Pfade nun geebnet werden soll. Etwa nach dem niedrigsten, höchsten Pfad? Die Frage wurde mit einer Prioritätenvergabe beantwortet, die sich danach richtete, welche Wege mehr oder weniger Flexibilität gegenüber Höhenveränderungen aufweisen. Oberste Priorität erhielt der barrierefreie Weg, da er die meisten Einschränkungen besitzt. Dies bedeutet, die beiden anderen Pfade müssen sich bei einem Zusammentreffen bzw. Überlappen in ihrer Höhenentwicklung nach diesem Pfad richten. Als zweitwichtigster Pfad wurde der Radfahrerweg eingestuft. Der Fußgängerweg, welcher den größten Freiheitsgrad gegenüber Veränderungen besitzt, muss sich nach

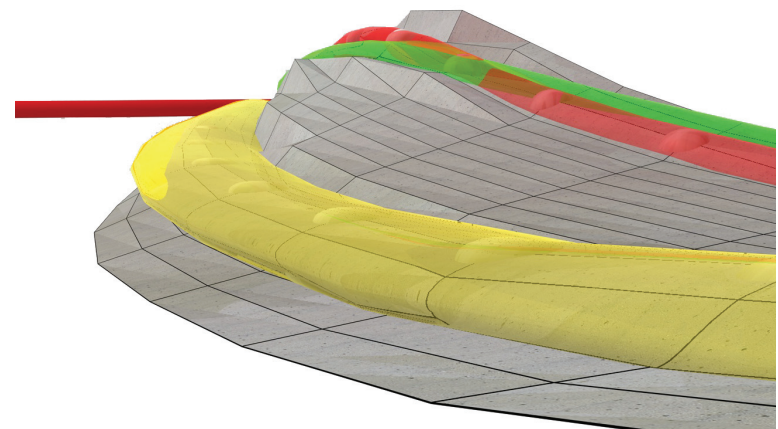


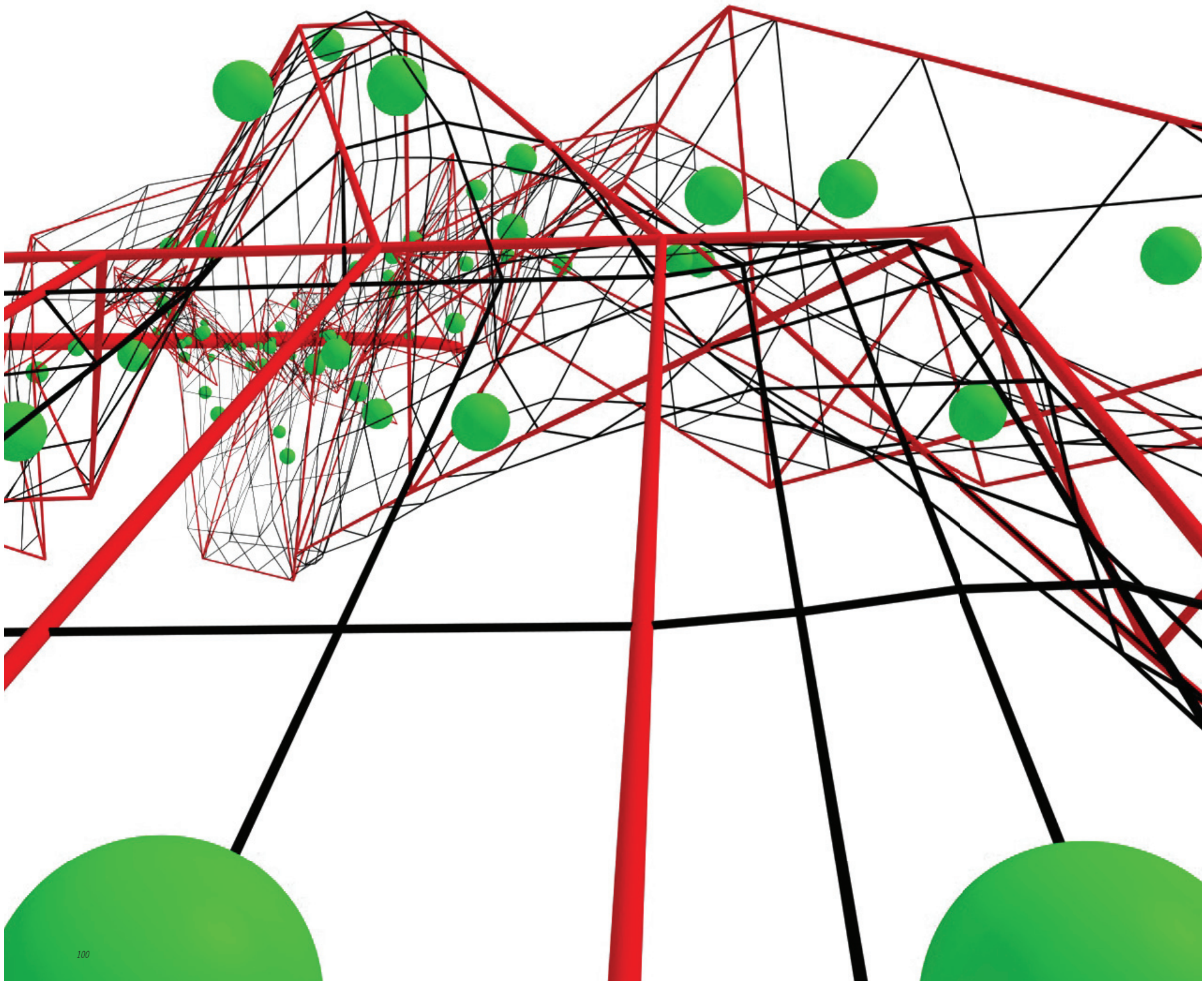
dieser Prioritätensetzung allen anderen Pfaden angleichen.

Weiters ergibt sich das Problem, dass nach dem Angleichen der Pfade untereinander deren maximal zulässige Steigungen eventuell nicht mehr eingehalten werden. Bei einer neuerlichen Steigungskorrektur entstehen wieder Pfade, die sich in unterschiedlichen Höhen überlappen. Dadurch kann eine Endlosschleife entstehen. Dieses Problem wurde minimiert, indem das "Path_Clearance"-Script die Änderungen mit einer kleinen Toleranz ausführt, wodurch sich im Regelfall ein Optimum einpendeln kann.

Bemerkung

Als Erweiterung könnte man beispielsweise das Weglichtenprofil etwa über eine grafische Eingabe definierbar machen.





Structure_Evaluating[]

Allgemeine Beschreibung

Das "Structure_Evaluating"-Modul generiert für eine aktuelle Brückenoberfläche mehrere Kubatur- sowie auch Brückenquerschnittsvorschläge, wobei einige Daten der Berechnungen schriftlich im Consolen-Fenster der Animationssoftware sowie auch grafisch am Brückenobjekt sichtbar gemacht werden.

Motivation

Wie bereits in der Aufgabenstellung erwähnt wurde dieses Modul mit dem Ziel entwickelt, eine Vorbemessung für von der Norm abweichende Formen zu entwickeln und dabei Material- und Konstruktionsüberlegungen zu berücksichtigen.

Im Entwurf

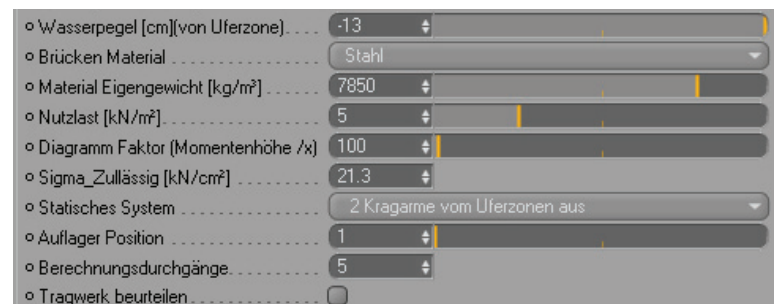
Da standardmäßig als Vorschlag bereits einige Daten im User-Interface vorläufig festgelegt sind, muss als Voraussetzung für eine Berechnung lediglich die Grundmatrix bzw. die sogenannte Knetfläche generiert worden sein. Grundsätzlich kann jeweils zwischen zwei gängigen statischen Systemen und Materialien gewählt werden. Weiters können beispielsweise das Materialgewicht, die Nutzlast, die maximal zulässige Spannung (Sigma) sowie verschiedene Auflagerpositionen extern vom Benutzer über das User-Interface eingegeben werden. Weiters können mehrere Berechnungsdurchgänge gefordert werden. Bis zum vierten Berechnungsdurchgang wird versucht, für die aktuelle Brückenoberfläche vier unterschiedliche Kubatur- und Querschnittsvarianten zu erzeugen. Danach schlägt das Script Veränderungen der gesamten Brückenform vor, indem es selbstständig auf die anderen Module zugreift und beispielsweise die einzelnen Wegeführungen etc. zu manipulieren beginnt.

Da sich der Entwurfsort laut Wettbewerbsausschreibungen in einem hochwassergefährdeten Gebiet befindet, wird versucht, einen Wasserpegel zu berücksichtigen, in den die Brücke nicht eintauchen sollte. Der Wasserpegel kann im User-Interface eingetragen werden, wobei dieser vom tiefsten Brückenoberflächenpunkt gemessen wird. Taucht nun die vorgeschlagene Brückenkonstruktion in das Wasser ein, wird versucht, die Brücke in diesem Bereich aus dem Wasser anzuheben.

Als Ergebnis wird jede Brückenvariante als dreidimensionales Objekt mitsamt den wichtigsten Daten in einer Ordnerstruktur in der Entwurfsszene archiviert, um die einzelnen Berechnungsschritte nachvollziehen zu können. Es können beispielsweise jederzeit Veränderungen manuell oder automatisch über das Aktivieren anderer Module getätigt werden und eine erneute Berechnung gestartet werden.

Detail

Als statisches System kann zwischen einem Kragarm und einem Einfeldträgersystem gewählt werden. Beim Kragarmsystem kann zusätzlich



zwischen zwei unterschiedlichen Kragarmsverläufen gewählt werden. Es kann entschieden werden, ob zwei Kragarme an der veränderbaren Auflagerposition eingespannt sind oder ob diese vom Ufer ausgehen und die im User-Interface einstellbare Auflagerposition lediglich die Spitzen der Kragarme definiert. Wird nun etwa im User-Interface die Auflagerposition in der Mitte der gesamten Überbrückung gewählt, werden nun im ersten Fall zwei Kragarme beispielsweise in der Mitte eines Flusses auflagen und mit der Spitze in Richtung der beiden Uferenden zeigen. Im letzteren Fall würde dies den umgekehrten Fall bedeuten, dass in diesem Modus die Auflagerposition im User-Interface eigentlich die Brückenspitze bezeichnet. So würden sich in diesem Fall die Auflager an Uferzonen befinden und die zwei Kragarme mit deren Spitzen zur Flussmitte zeigen. Wird für die Auflagerposition die erste oder letzte mögliche Position gewählt, dann wird nur ein Kragarm generiert.

Weiters kann entweder Beton oder Stahl für die Brückenkonstruktion gewählt werden. Dies hat vor allem Auswirkungen auf die unterschiedlichen Grundparameter bei der Definition der Brückenquerschnitte und der Tragfähigkeits- und Gebrauchstauglichkeitsprüfung.

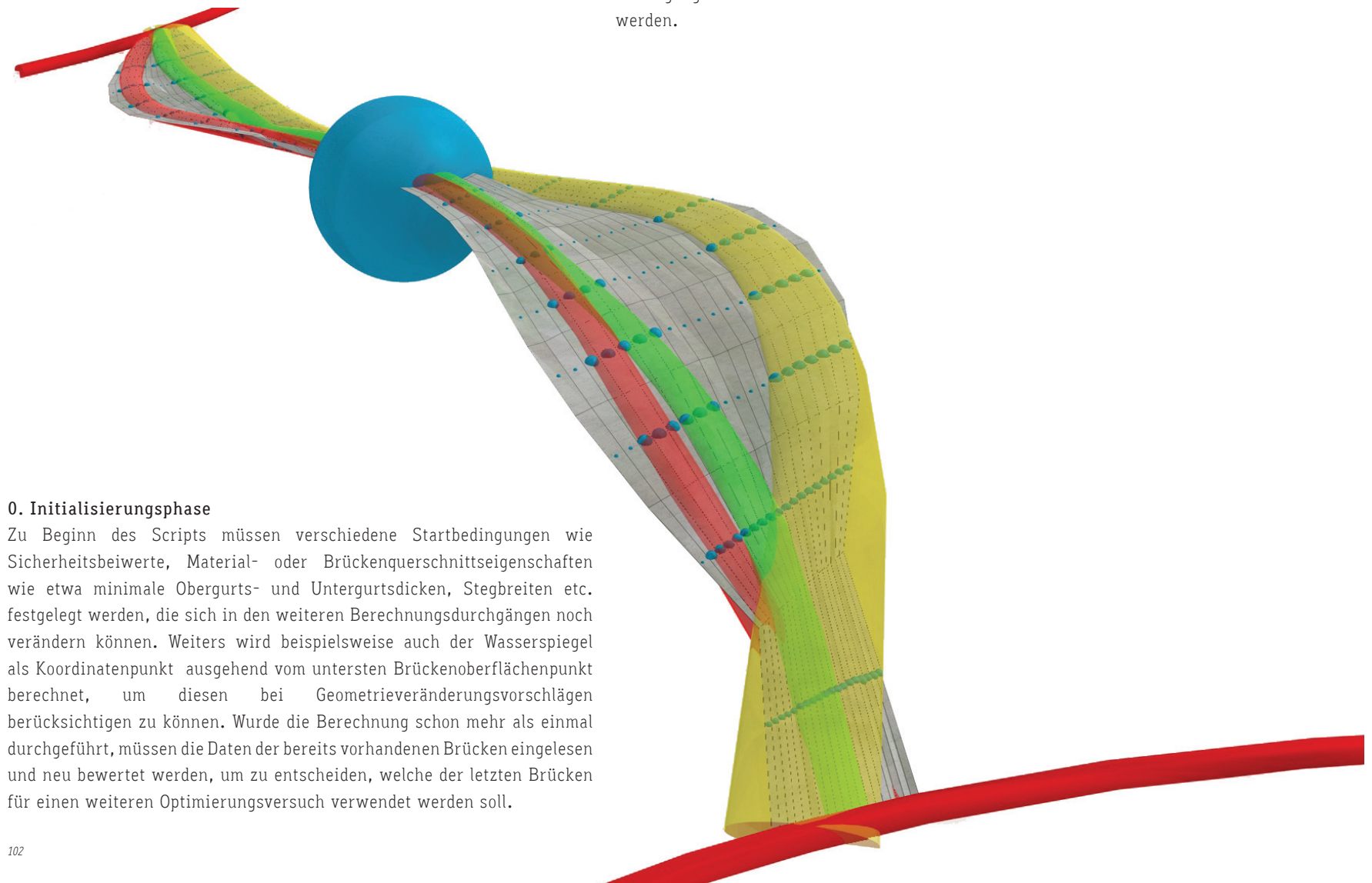
Vereinfachte Beschreibung des Tragwerksfindungsprozess'

Der Ablauf einer Tragwerksbemessung wurde bereits im Kapitel "Entwerfen mit Kräften - Grundkenntnisse" von Seite 59 bis 61 allgemein dargestellt.

Kurz:

1. Statisches System bestimmen
2. Lasten ermitteln und Auflagerreaktionen berechnen
3. Schnittkraftermittlung
4. Tragfähigkeit überprüfen
5. Gebrauchstauglichkeit nachweisen

Im Folgenden wird in groben Zügen versucht darzustellen, wie die Brücken Kubatur bzw. die Querschnittsfindung im Script aufgebaut wurde:



0. Initialisierungsphase

Zu Beginn des Scripts müssen verschiedene Startbedingungen wie Sicherheitsbeiwerte, Material- oder Brückenquerschnittseigenschaften wie etwa minimale Obergurts- und Untergurtdicken, Stegbreiten etc. festgelegt werden, die sich in den weiteren Berechnungsdurchgängen noch verändern können. Weiters wird beispielsweise auch der Wasserspiegel als Koordinatenpunkt ausgehend vom untersten Brückenoberflächenpunkt berechnet, um diesen bei Geometrieänderungsvorschlägen berücksichtigen zu können. Wurde die Berechnung schon mehr als einmal durchgeführt, müssen die Daten der bereits vorhandenen Brücken eingelesen und neu bewertet werden, um zu entscheiden, welche der letzten Brücken für einen weiteren Optimierungsversuch verwendet werden soll.

1. Statisches System bestimmen

Das statische System wurde bereits im User-Interface festgelegt und wird später in der Momenten- und Durchbiegungsberechnung berücksichtigt.

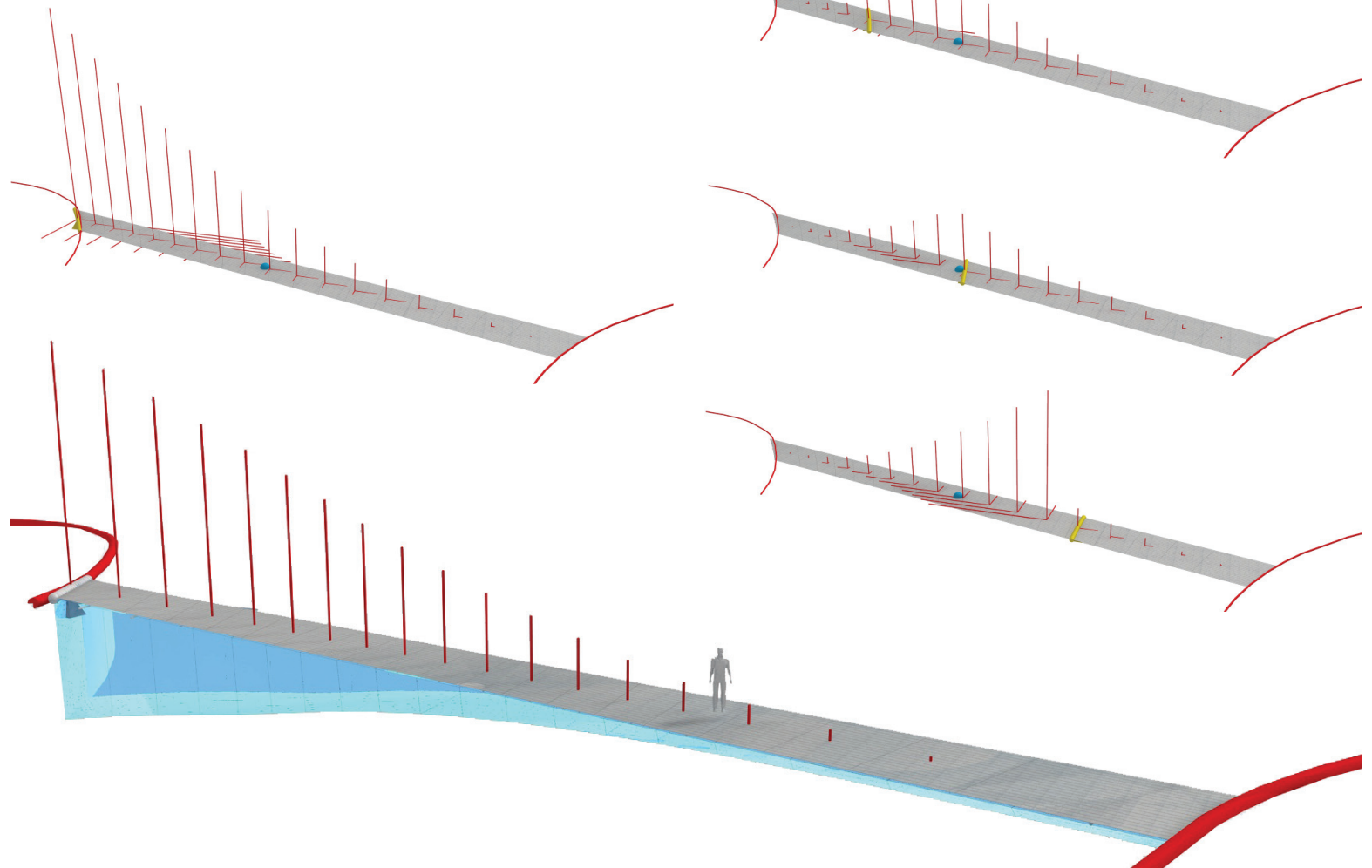
2. Lasten ermitteln und Auflagerreaktionen berechnen

Um die Nutzlasten berechnen zu können, muss zunächst die Brückenoberfläche ermittelt werden. In Bereichen, in denen sich Verkehrswege befinden, können zusätzliche Lasten angenommen werden. Laut "EUROCODE 1" müssen, wie auch in der Wettbewerbsausschreibung angeführt wurde, die Lasten bei Fuß- und Radfahrstegen mit 5kN/m^2 angenommen werden. Um das Eigengewicht als Last zu bestimmen, wird danach das Brückenvolumen berechnet. Dazu müssen zuvor die Brückenquerschnittsprofile definiert werden. In den ersten zwei Durchläufen werden über die gesamte Brückenlänge Vollquerschnitte vergeben. Weiters wird in der ersten Berechnung die Brückenhöhe über die gesamte Systemlänge konstant angenommen, da es lediglich darum geht, einen ersten Momentenverlauf zu berechnen, der die Variation der Brückenbreite und die damit veränderte Nutzlast über die gesamte Oberfläche berücksichtigt. Nun können Lasten wie Eigengewicht und Nutzlasten an verschiedenen Stellen der Brücke addiert werden.

3. Schnittkraftermittlung

In einem nächsten Schritt kann je nach dem gewählten statischen System und den Lastannahmen an den verschiedenen Brückenstellen der Momentenverlauf berechnet werden.

Beim ersten Berechnungsdurchgang wird je nach Tragwerkssystem mit einer Vorbemessungsformel festgelegt, welche Höhe der Querschnitt an der Stelle mit dem größten Biegemoment besitzen müsste. Mit diesen Daten wird ein erster Idealträger generiert, indem das "maximale Schnittmoment" mit der aus der Vorbemessungsformel resultierenden "Maximalhöhe" gleichgesetzt wird. Danach wird in Orientierung an der "Maximalhöhe" der vorläufige Höhenverlauf über die Brückenlänge anhand der Momentenlinie interpoliert. Bei dieser groben Vorbemessung fließen zusätzlich zwei eigens überlegte Korrekturfaktoren ein. Diese Korrekturfaktoren bewerten die Brückengeometrie an verschiedenen Stellen auf günstige oder ungünstige Querschnittsproportion und stärken oder schwächen die geschätzte Querschnittshöhe an den jeweiligen Stellen zusätzlich. Beim ersten Berechnungsdurchgang wird hier abgebrochen, um die Brücken mit dieser ersten geschätzten Kubatur neu zu berechnen.



4. Tragfähigkeit überprüfen

Nachdem der Schnittmomentenverlauf berechnet wurde, werden nun die Flächenträgheitsmomente (I) und die Widerstandsmomente (W) der Brückenprofile an verschiedenen Schnittstellen über die Brücke berechnet. In der Folge werden mit den Schnittmomenten und den Widerstandswerten an den verschiedenen Brückenstellen die Spannungsauslastungen gegenüber den maximal zulässigen Spannungen berechnet und überprüft.

5. Gebrauchstauglichkeit nachweisen

Mit der "Winkelgewichtentheorie" wird schließlich die Gesamtdurchbiegung festgestellt, indem die Verformungen an den einzelnen Brückenstellen ermittelt werden. Wie dies im Detail funktioniert, soll hier nicht weiter erläutert werden.

6. Brückeneigenschaften bewerten und abspeichern

Nun werden die Ergebnisse bewertet und abgespeichert.

Bemerkungen

Wasserpegel:

Die Wasserpegelkontrollfunktion könnte als Extramodul vom Structure_Evaluating-Modul ausgekoppelt werden.

Optimierung:

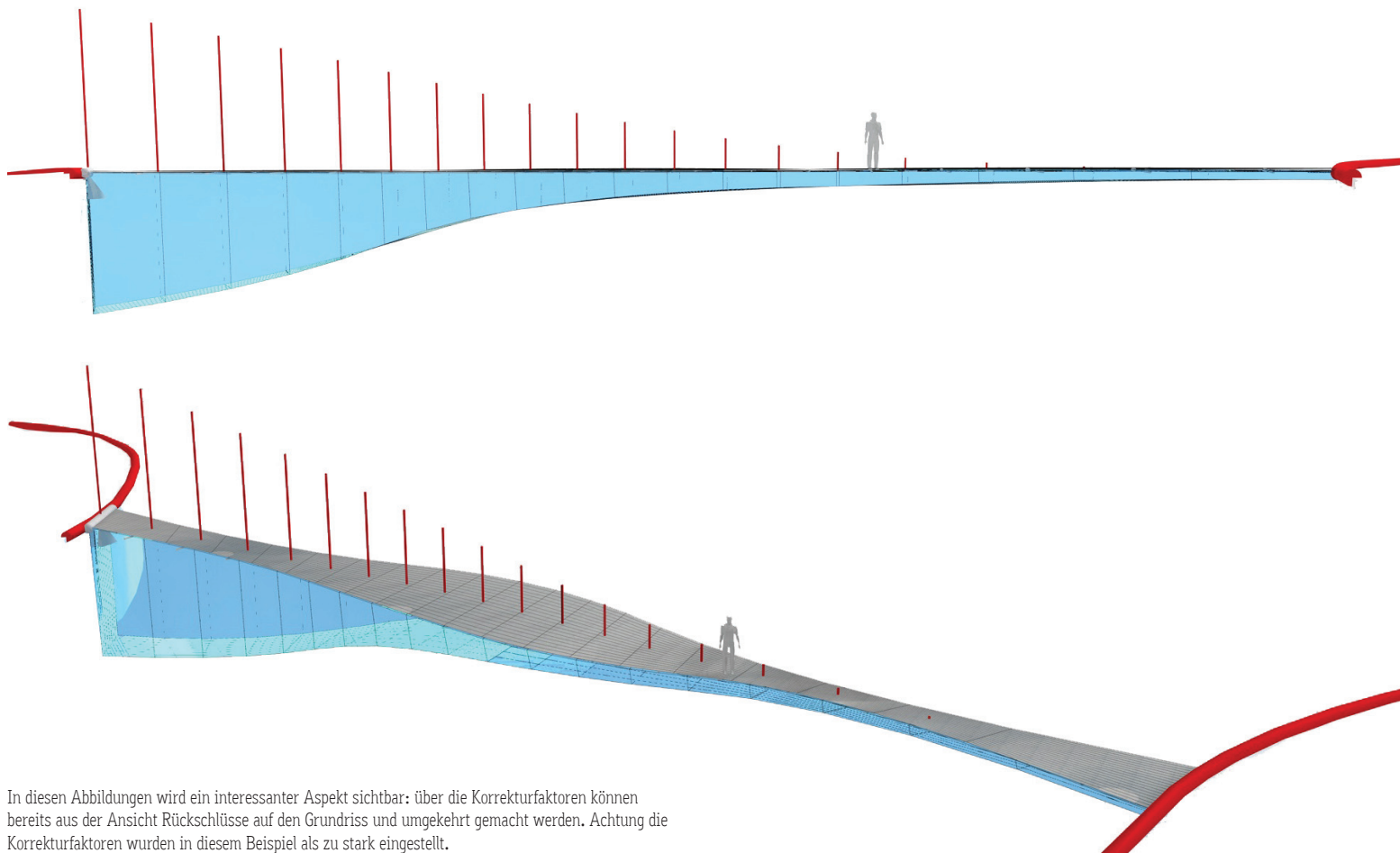
Die Optimierung des Tragwerkes war in dem Entwurfskonzept sekundär, da es vorrangig um das Parametrisieren einer Tragwerksbemessung für eine Vorbemessung ging. Dabei wurde versucht, über eigens entworfene Korrekturfaktoren, welche die Brückenproportionen auf günstig und ungünstig zu bewerten versuchen, die gängigen Vorbemessungsformeln zu ergänzen.

Für eine weitere Optimierung können aufgrund der Ergebnisse automatisch Veränderungen an der Brücke vorgenommen werden, wobei der Vorschlag für das Hauptkriterium lautet: Mit wenig Masse bei zulässigen Spannungen und wenig Durchbiegung die Distanz überbrücken.

Dafür gibt es im Grunde zwei Möglichkeiten:

Zum Einen kann der Brückenquerschnitt mehr oder weniger ausgehöhlt werden, wodurch das Eigengewicht, die Schnittmomente und damit auch die Querschnittbelastungen ab- oder zunehmen. Natürlich nimmt bei zunehmender Aushöhlung auch die Widerstandsleistung des Querschnittes ab. Es wird sich irgendwann ein optimaler Aushöhlungsgrad einpendeln, wobei allerdings nie die anfangs angenommene Brückenhöhe verändert wurde. Es kann allerdings auch zu gar keinem brauchbaren Ergebnis kommen, wenn bei der fix vorgegebenen Höhe kein Aushöhlungsgrad gefunden werden kann, bei dem die Brücke die zulässigen Werte einhalten kann.

Als zweite Variante kann der Höhenverlauf der Brücke je nach Berechnungsergebnissen variiert werden. Dabei nimmt ebenfalls das Eigengewicht und die Querschnittsleistung zu oder ab und es pendelt sich eine optimale Querschnittshöhe ein. Bei dieser Variante wird allerdings der Aushöhlungsgrad nie verändert, wodurch es passieren kann, dass aufgrund der geringen Hohlräume eine sehr schwere Brücke mit einer extremen Querschnittshöhe gewählt werden muss, um den auftretenden Spannungen genügend Widerstand entgegenzusetzen zu können. Auch hier kann es dazu kommen, dass keine Lösung möglich ist, da das Brückengewicht durch die eventuell enorme notwendige Höhe zu schwer ist und das Material den auftretenden Spannungen nicht standhält.



In diesen Abbildungen wird ein interessanter Aspekt sichtbar: über die Korrekturfaktoren können bereits aus der Ansicht Rückschlüsse auf den Grundriss und umgekehrt gemacht werden. Achtung die Korrekturfaktoren wurden in diesem Beispiel als zu stark eingestellt.

Als Lösung wird eine Mischung in Form einer evolutionären Optimierungsstrategie angestrebt. Es wird immer der letzte günstigste Träger ausgewählt und per Zufall entweder im Aushöhlungsgrad oder in der Trägerhöhe variiert. Wenn sich die Werte verbessern, dient nun diese neue Brücke als Vorbild für den nächsten Mutationsversuch. Verschlechtern sich hingegen die Werte, wird der Vorgänger erneut verändert.

Achtung! Aufgrund der Probleme, die sich bei der Übergabe von Eigenschaftswerten in den nächsten Berechnungsdurchgang ergeben, wurde diese Optimierung nur teilweise realisiert. Diese Probleme resultieren aus den Eigenschaften der gängigen "Mashup-Tools", die bei der Vernetzung der einzelnen Module keine Schleifenbildungen ermöglichen. Dies bedeutet, es wird nicht erlaubt, dass ein Modul ein zweites Modul ansteuert und dabei der Ausgang des zweiten Moduls wieder mit dem Eingang des ersten Moduls verbunden wird.

Dieses Problem wurde in dieser Arbeit nach langen Überlegungen insofern gelöst, als dass alle Berechnungsergebnisse in den Eigenschaften unsichtbarer dreidimensionaler Objekte abgespeichert werden. Aus diesem Grund wurde auch die Option der Berechnungsdurchgänge geschaffen, um mit einem Iterator-Modul das gesamte Netzwerk mehrmals auszuführen. So müssen nun in jedem Durchgang die Ergebnisse außerhalb der Schaltung extern aus den Objekten ausgelesen werden. Dies stellt einen erheblichen Scriptingaufwand dar, weshalb die vorgeschlagene Optimierung nur teilweise realisiert wurde.

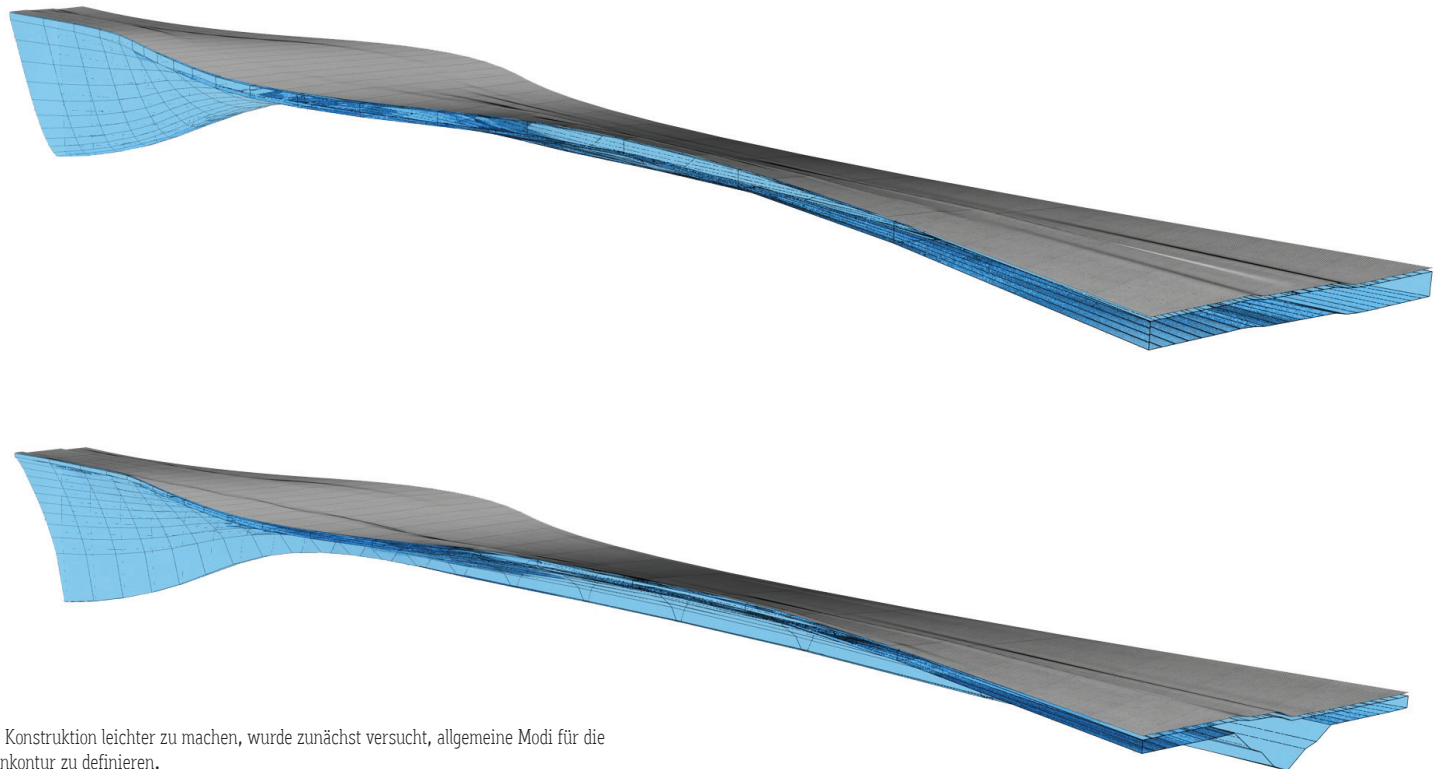
Der Benutzer ist gezwungen, aus den generierten Brückenvarianten selbst die günstigste auszuwählen. Da die Werte der Brücken jeweils dargestellt werden, stellt dies keinen großen Aufwand dar.

Flächen und Volumsberechnung:

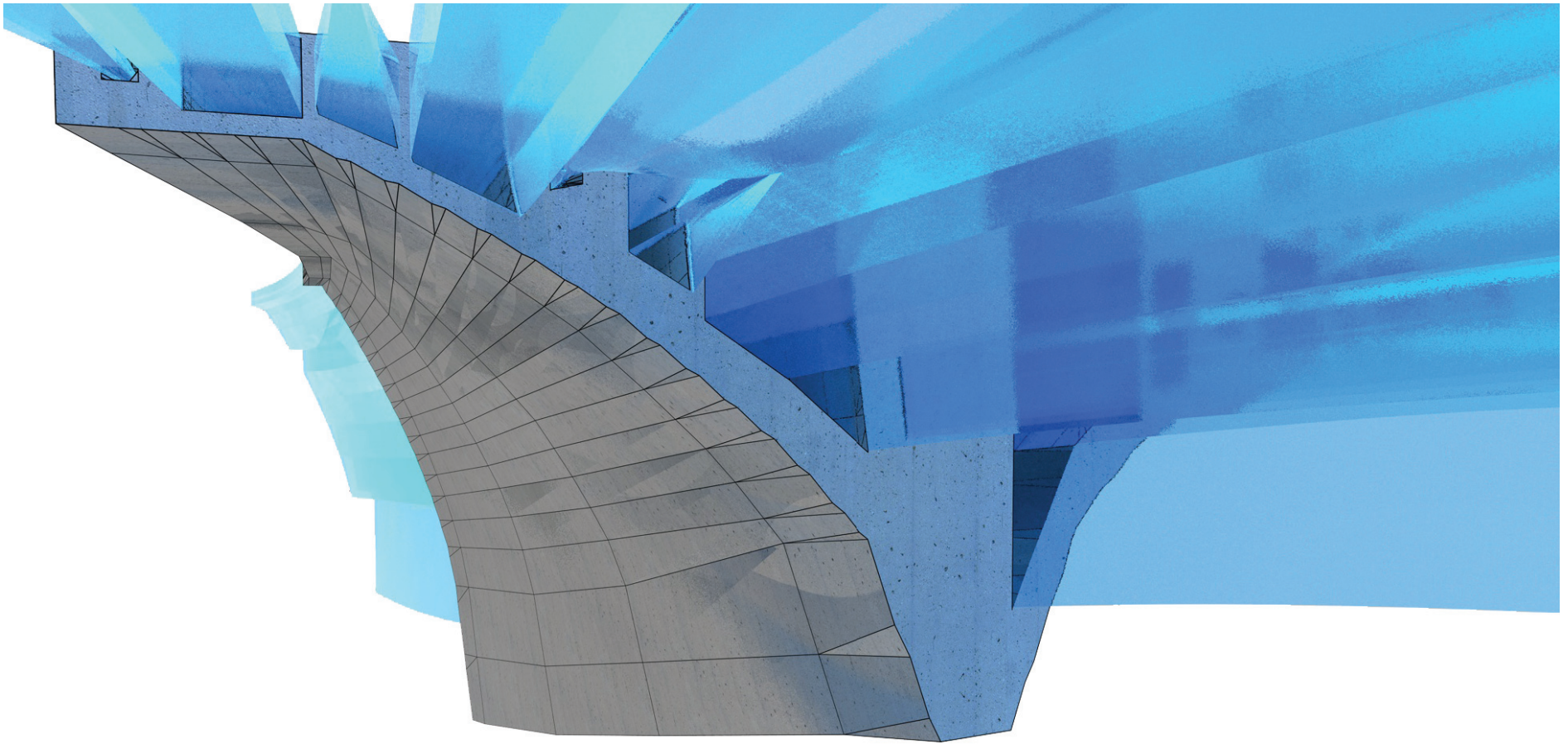
Da die Kubatur von Freiformen mittels NURBS bzw. gekrümmten Flächen beschrieben werden und eine genaue Flächen- sowie Volumsberechnung aufwändig ist, wurde die Brückenoberfläche in einzelne schiefwinklige Dreiecke sowie auch das Volumen in Pyramiden aufgelöst und für die Gesamtflächen und Volumsermittlung addiert. Dabei entstehen auch im Detail einige Probleme. So stellt sich die Oberfläche beispielsweise als Raster aus verzerrten Vierecken dar, die bei genauerer Betrachtung jeweils hyper-parabolische Flächen beschreibt. Diese Flächen müssten eigentlich mittels Integral berechnet werden. Wie bereits erwähnt wurden diese Flächen für eine vereinfachte Berechnung in jeweils zwei schiefwinklige Dreiecke zerlegt, wobei die Entscheidung getroffen werden musste, zwischen welchen Eckpunkten der einzelnen HP-Flächen die Diagonale bei der Aufteilung verlaufen soll. Es hat sich dabei herausgestellt, dass die Art von Annäherung ausreichend ist und der Fehler meist im Promillbereich liegt.

Wasserpegel:

Die Wasserpegelkontrollfunktion könnte als Extramodul vom Structure_Evaluating-Modul ausgekoppelt werden.



Um die Konstruktion leichter zu machen, wurde zunächst versucht, allgemeine Modi für die Brückenkontur zu definieren.



Materialwahl:

Als zu wählende Konstruktionsmaterialien werden Beton und Stahl zur Verfügung gestellt. Diese wurden etwa in der Nachweisberechnung und in dem Aushöhlungs-Algorithmus differenziert behandelt.

Aushöhlungs-Algorithmus:

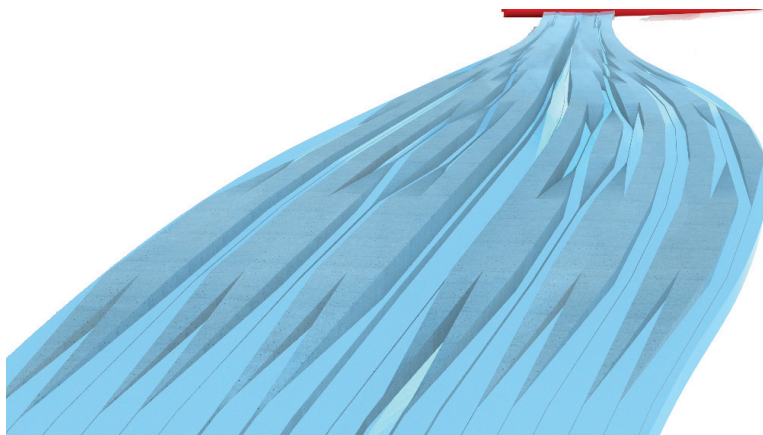
Der Aushöhlungsalgorithmus entstand aus der Notwendigkeit, die gesamte Tragwerkskonstruktion leichter zu machen, da diese sich ansonsten aufgrund ihres Eigengewichts zu stark verformt. Die meisten Überlegungen bezüglich der Konstruktion der Brücke sind in die Definition der Querschnitte eingeflossen. Es musste überlegt werden, welche Art von Querschnitt für solche Brücken am geeignetsten erscheint, wobei

dieser nach architektonischem Konzept ein homogenes Erscheinungsbild ermöglichen sollte.

Wie bereits im allgemeinen Teil (S.62) hingewiesen wurde, sind geschlossene mehrzellige Querschnittstypen als Grundkonzept gewählt worden. Der Hauptgrund liegt darin, dass bei Freiformen die Tragwerke meist auch auf Torsion beansprucht werden und mehrzellige Querschnitte gegen diese Art von Beanspruchung eine hohe Stabilität aufweisen. Weiters sind diese Querschnitte weitverbreitet; die Hohlräume können beispielsweise für Leitungsführungen oder auch externen Vorspannungen genützt sowie bei großen Projekten für Personen zu Wartungszwecken begehbar gemacht werden.

Es wurde versucht, diese Querschnitte so allgemein wie möglich zu definieren, um dabei material- und konstruktionspezifische Eigenschaften berücksichtigen zu können. So werden je nach Material unterschiedliche Mindestbauteildicken vergeben. Diese Dicken sind etwa aus herstellungstechnischen Umständen begründet. Dementsprechend können die Profilwände bei der Stahlkonstruktion um einiges zarter als bei einer Betonstruktur dimensioniert werden. Weiters wird beim Aushöhlen der Querschnitte darauf geachtet, dass die Stege aus konstruktiven Gründen im Schnitt exakt senkrecht verlaufen. Dadurch lassen sich die Profile einfacher herstellen, da solche Stegeplatten sich mit wenig Aufwand gießen

In den zwei Abbildungen wurden Bilder mit einer groben Aushöhlung gewählt, um diese plaktiv leichter sichtbar zu machen. Im Regelfall ist etwa besonders bei der Stahlkonstruktion ein sehr hoher Hohlanteil (Grau), denn die Stege können sehr zart ausgeführt werden.



oder oder aus Metallplatten ausschneiden lassen. Außerdem wurden auch Mindesthohlraumbreiten und -höhen vergeben. Müssen diese unterschritten werden, da die gesamte Brücke an dieser Stelle sehr schmal oder zu niedrig wird, werden gleich Vollprofile vergeben, da sich die Herstellung von winzigen Hohlräumen als äußerst aufwändig darstellt. Alle diese Parameter lassen sich innerhalb des Scriptes auch verändern.

Daten:

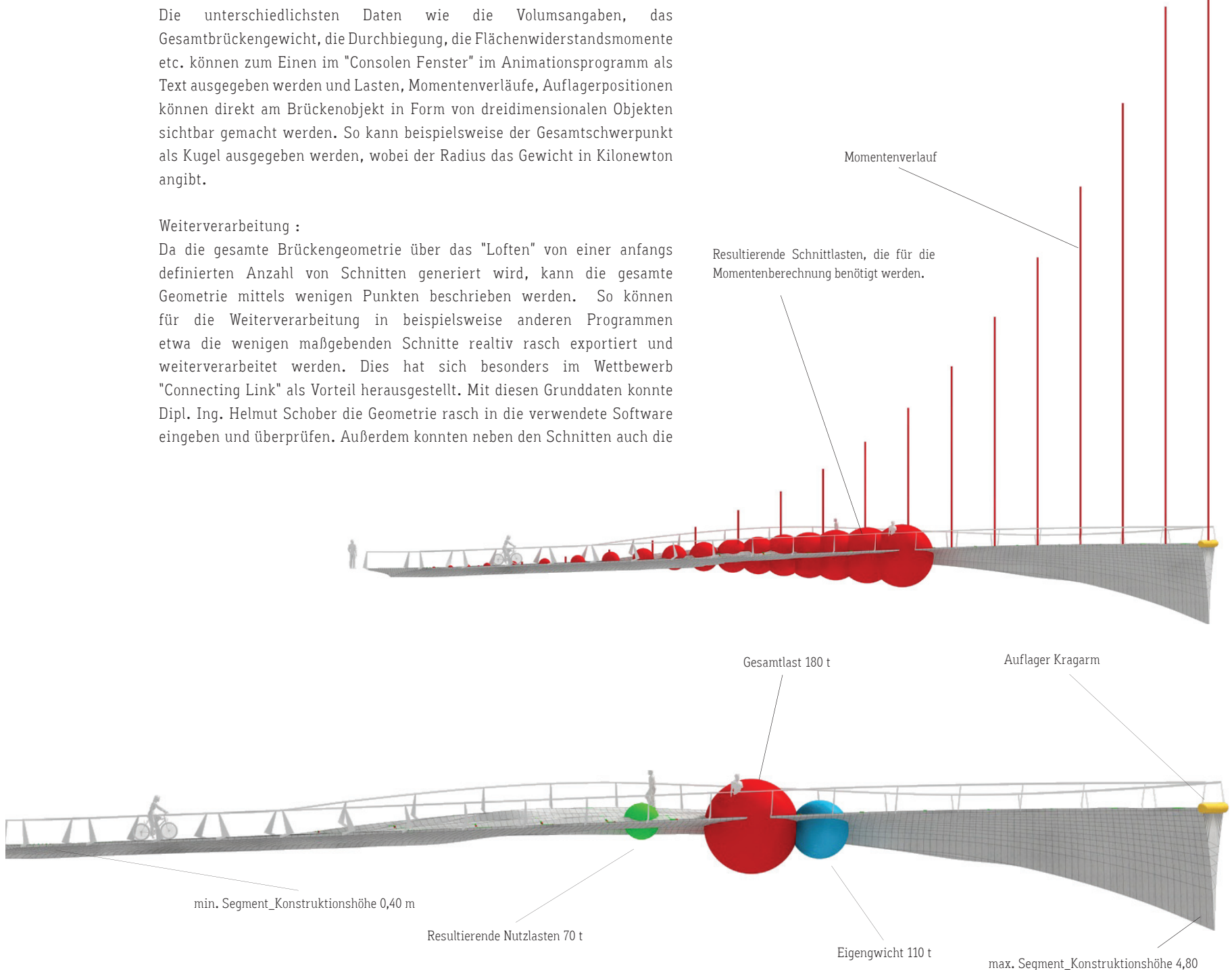
Die unterschiedlichsten Daten wie die Volumangaben, das Gesamtbrückengewicht, die Durchbiegung, die Flächenwiderstandsmomente etc. können zum Einen im "Consolen Fenster" im Animationsprogramm als Text ausgegeben werden und Lasten, Momentenverläufe, Auflagerpositionen können direkt am Brückenobjekt in Form von dreidimensionalen Objekten sichtbar gemacht werden. So kann beispielsweise der Gesamtschwerpunkt als Kugel ausgegeben werden, wobei der Radius das Gewicht in Kilonewton angibt.

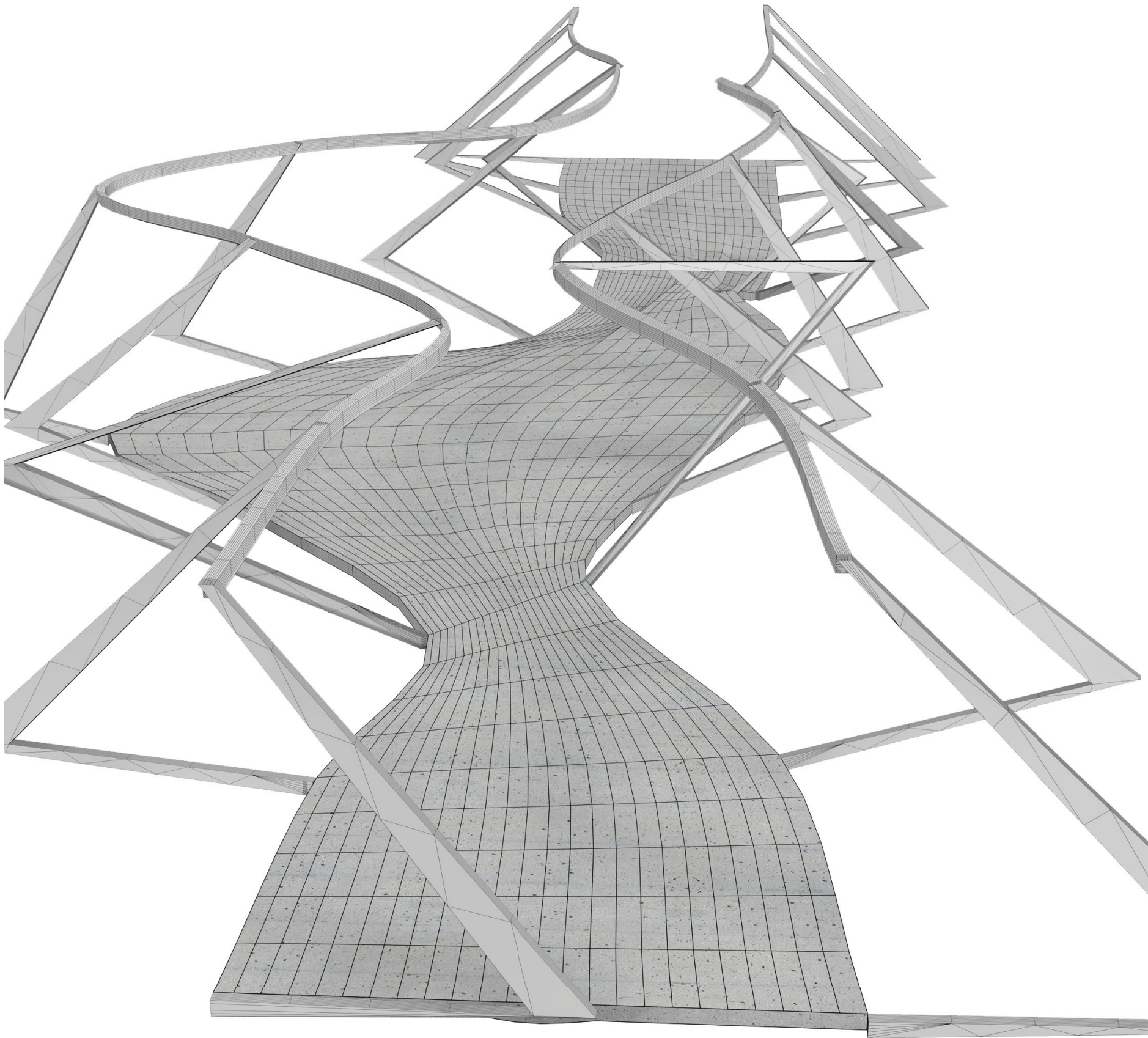
Weiterverarbeitung :

Da die gesamte Brückengeometrie über das "Loften" von einer anfangs definierten Anzahl von Schnitten generiert wird, kann die gesamte Geometrie mittels wenigen Punkten beschrieben werden. So können für die Weiterverarbeitung in beispielsweise anderen Programmen etwa die wenigen maßgebenden Schnitte relativ rasch exportiert und weiterverarbeitet werden. Dies hat sich besonders im Wettbewerb "Connecting Link" als Vorteil herausgestellt. Mit diesen Grunddaten konnte Dipl. Ing. Helmut Schober die Geometrie rasch in die verwendete Software eingeben und überprüfen. Außerdem konnten neben den Schnitten auch die

Systemachsen als Polygonlinie und der Gesamtschwerpunkt als Kugelobjekt etc. exportiert werden.

Natürlich kann die gesamte Brückenoberfläche für die Weiterverarbeitung auch in ein Polygongnetz umgewandelt werden. Dadurch entsteht allerdings eine große Anzahl an Punkten, wodurch eine nachträgliche Bearbeitung der Brückengeometrie relativ aufwändig wird.





Create_Handrail[]

Allgemeine Beschreibung

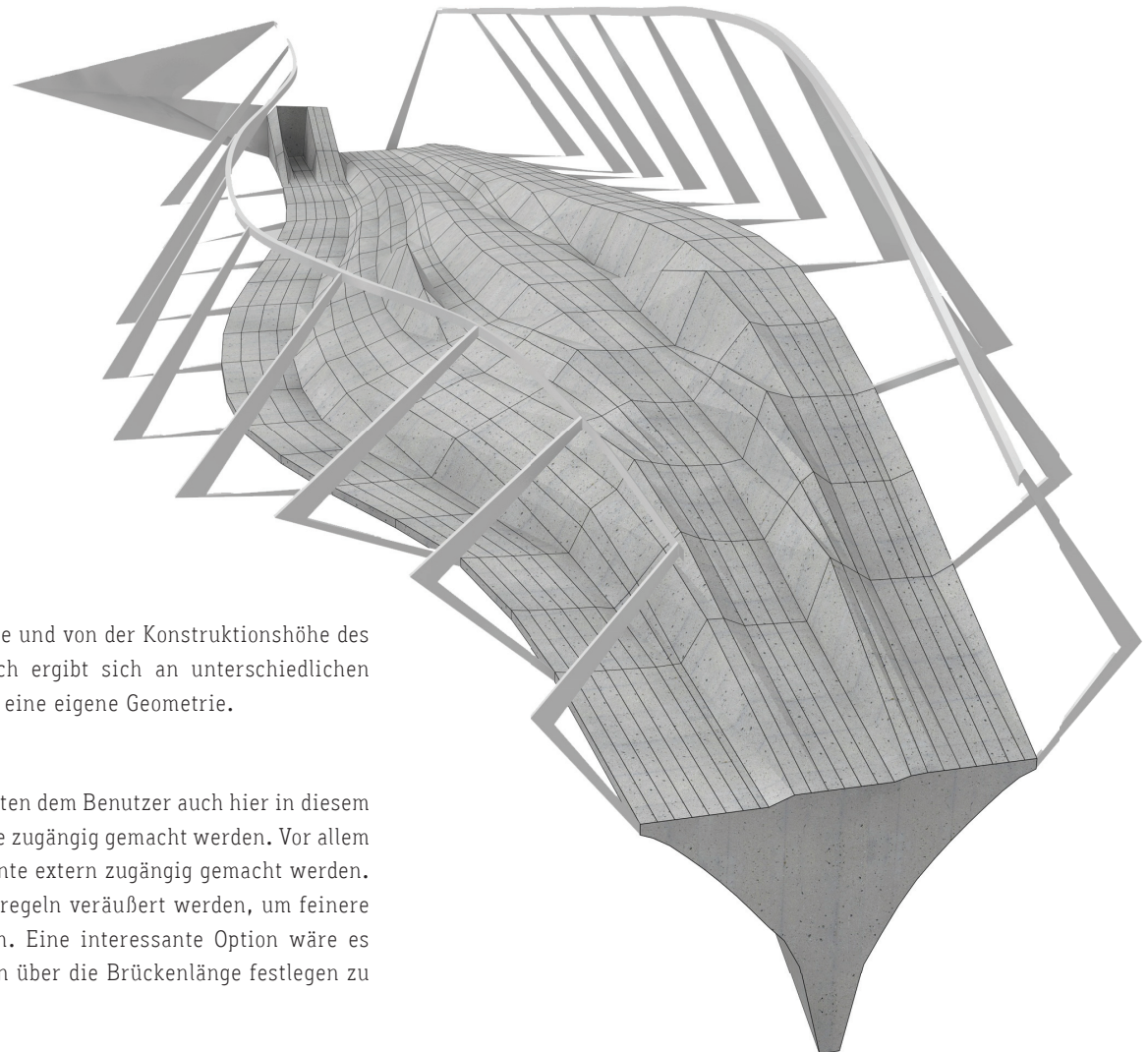
Dieses Modul generiert eine von der Brückengeometrie abhängige Absturzsicherung.

Im Entwurf

Da die gesamte Geländergeometrie von der Brückenkubatur abhängig ist, kann diese erst nach der Volumsgenerierung durch das "Structure_Evaluating-Modul" ausgeführt werden.

Motivation

Damit nicht bei jeder Brückenvariante ein neue Absturzsicherung manuell konstruiert werden muss, wurde ein Grundkonzept festgelegt, um auf Wunsch ein Vorschlag für ein Brückengeländer automatisch generieren zu können. Außerdem ist besonders bei freieren Formen eine individuelle Geländeranpassung aufwendig.

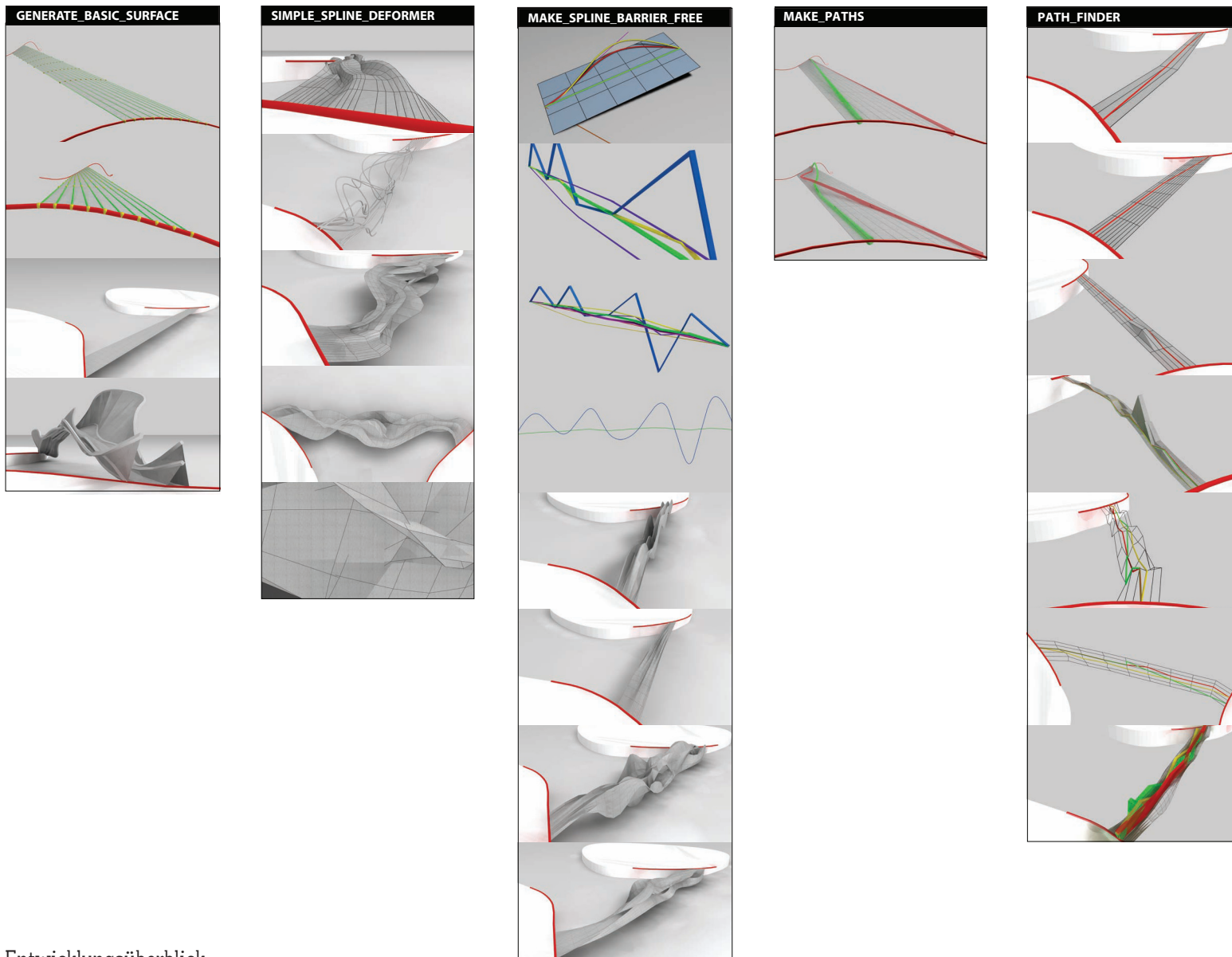


Detail

Das Geländer ist von der Brückenbreite und von der Konstruktionshöhe des Brückentragwerkes abhängig. Dadurch ergibt sich an unterschiedlichen Brückenstellen für jede Geländerstütze eine eigene Geometrie.

Bemerkung

Wie in jedem der anderen Module könnten dem Benutzer auch hier in diesem Node mehr Variablen über das Userface zugänglich gemacht werden. Vor allem die Einstellung der Handlaufhöhe könnte extern zugänglich gemacht werden. Weiters könnten auch die Proportionsregeln veräußert werden, um feinere Abstimmungen vornehmen zu können. Eine interessante Option wäre es die Anzahl der Geländerunterteilungen über die Brückenlänge festlegen zu können.



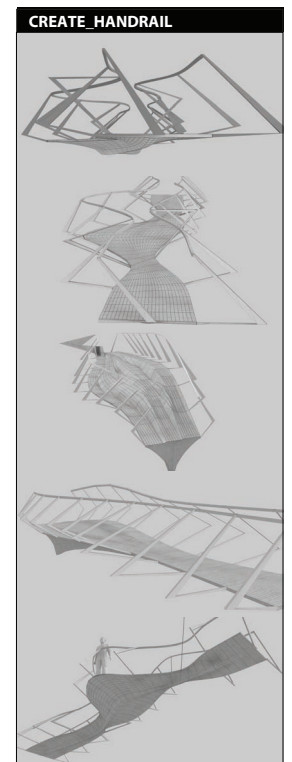
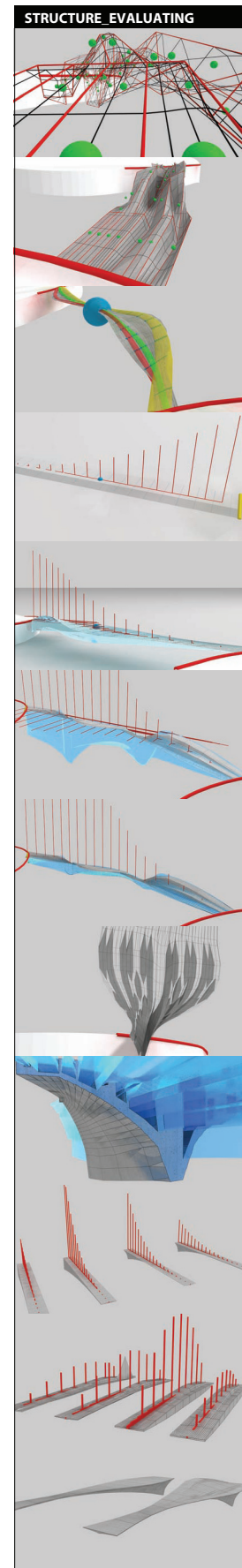
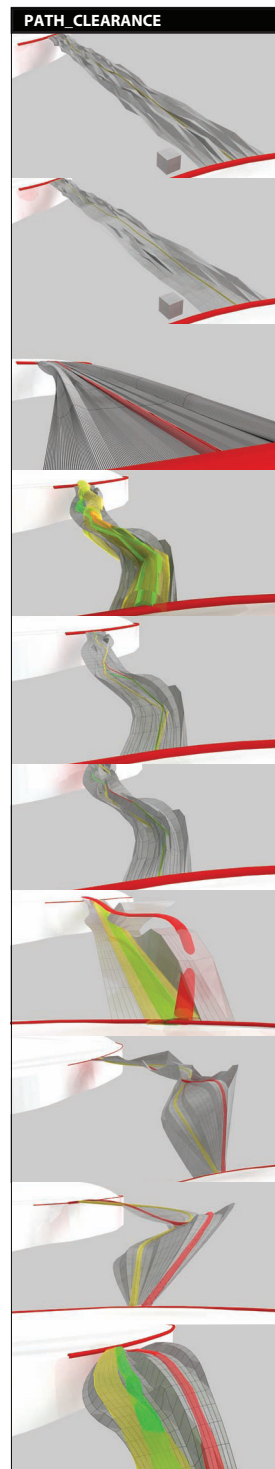
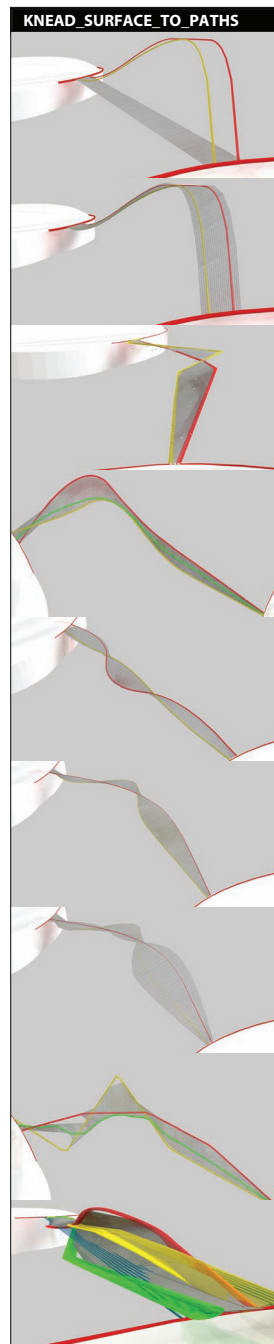
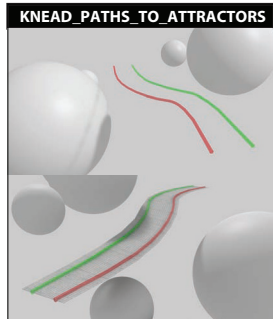
Entwicklungsüberblick

Um abschließend noch einen Überblick über die soeben beschriebenen Module und deren Entwicklung gewinnen zu können, wird an dieser Stelle versucht, anhand der obigen Grafiken skizzenhaft darzustellen, welchen ungefähren Verlauf dieser genommen hat. Dabei muss hinzugefügt werden, dass die Entstehung der einzelnen Module keinesfalls separat zu betrachten ist und nicht streng linear stattgefunden hat. Während des gesamten Prozess' wurden immer laufend wieder Veränderungen in Form von Korrekturen und Erweiterungen vorgenommen. So wurde beispielsweise das "Structure_Evaluating"-Modul bereits nach dem "Make_Barrier_Free"-Modul begonnen. Es wurde bereits der Teil für die Oberflächenberechnung entwickelt. Da jedoch noch keine Pfade für die Verkehrslastannahme vorhanden waren wurde an dieser Stelle pausiert und die zwei "Make_Paths" Module entworfen.

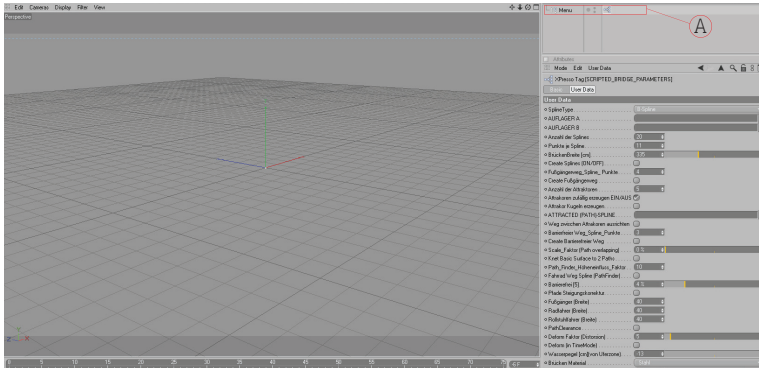
So wird mit den oben dargestellten Abbildungen, in welchen die einzelnen Module von links nach rechts angeführt werden, lediglich eine chronologische Entwicklungstendenz markiert. Dies bedeutet folglich jedoch noch nicht, dass die Module chronologisch dargestellt werden.

Weiters soll die vertikale Länge den Arbeits- bzw. Zeitaufwand andeuten. Einzig das "Structure-Evaluating"-Script konnte layouttechnisch aufgrund Platzmangels nur verkürzt dargestellt werden, da für dieses Modul im Gegensatz zu dem "Path_Clearance"- oder dem "Knead_Surface_To_Path"-Modul ungefähr der vier-, wenn nicht sogar der fünffache Aufwand anfiel.

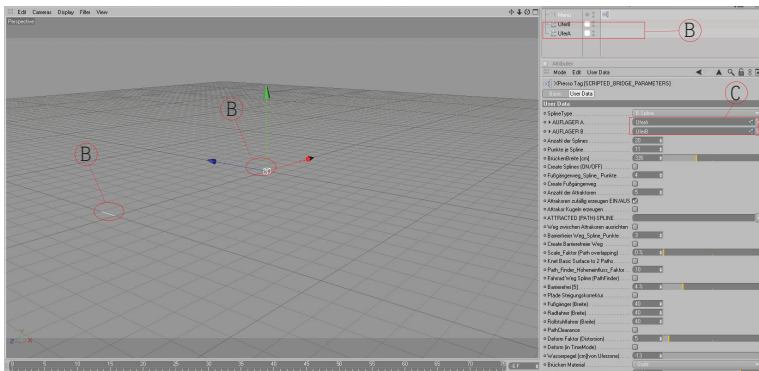
Weiters ist darauf hinzuweisen, dass die gesamte Entwicklung in dieser Arbeit als Experiment betrachtet wurde und daher der Prozess nicht streng determiniert war, sodass diese häufig durch mangelnde Scriptingkenntnisse



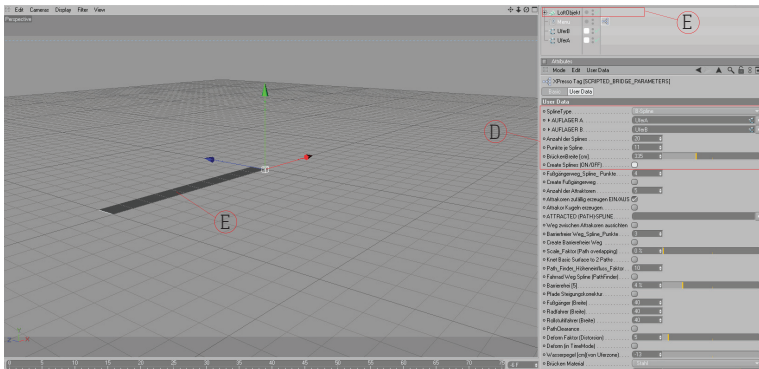
und dem Auftauchen unterschiedlichster Probleme zu einem stark dynamischen, offenen Prozess wurde. Wie sich demzufolge das gesamte Entwicklungskonzept während der Entwurfsphase verändert hat, wird im Appendix auf den Seiten 170 bis 175 dargestellt.



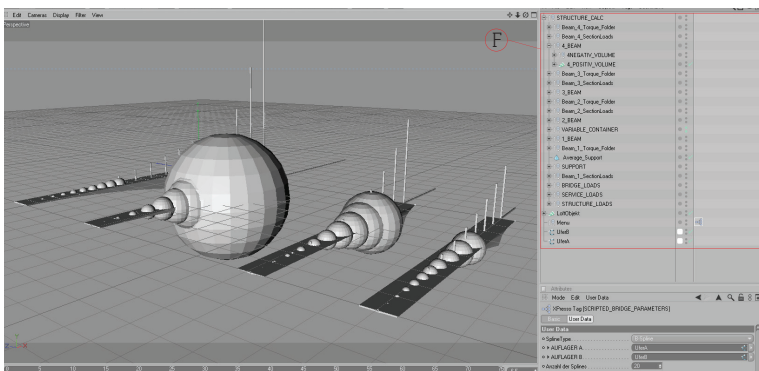
Die leere Szene enthält nur das Xpresso Tag.



Schritt 1: Brückenden werden definiert.



Schritt 2: Oberfläche bzw. Grundmatrix wird generiert.



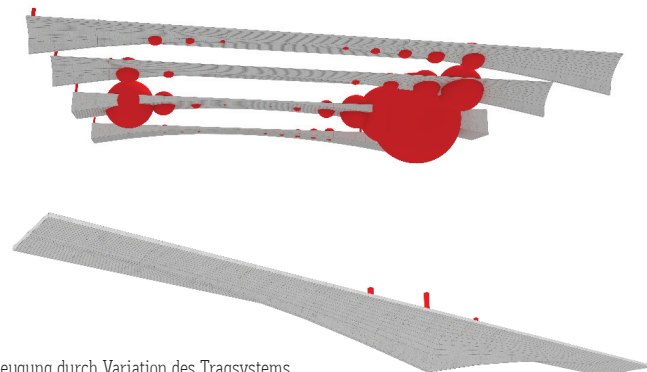
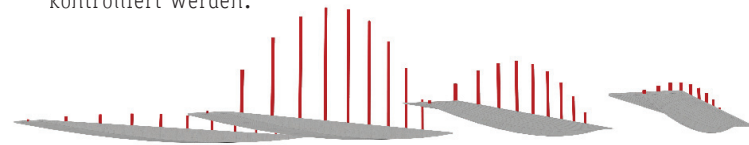
Schritt 3: Tragwerksberechnung mit vier Berechnungsschritten wurde gestartet.

Generieren einer "Scripted Bridge"

Scripted Bridge V1.0

In diesem Beispiel soll der schnellste Weg für eine erste Tragwerksbemessung verdeutlicht werden.

- Als Startbedingung muss lediglich das "Xpresso Tag" ("A") im gesamten Projekt vorhanden sein.
- In einem ersten Schritt müssen die Brückenden definiert werden. In diesem Beispiel wurden die Splines für die Brückenden in Form von dxf-Dateien aus einer CAD-Software importiert. Diese 3d-Objekte müssen nun mittels "Drag and Drop"-Funktion an die Stelle "C" im User-Interface eingefügt werden. Da in dem dargestellten Beispiel lediglich das Eigengewicht als Entwurfsbedingung der Konstruktion gewählt wird, müssen keine Wege generiert werden.
- Im nächsten Arbeitsschritt muss nur noch die Grundmatrix bzw. Grundknetfläche ("E") im User-Interface in den Punkten im Bereich "D" eingestellt werden.
- In einem letzten Schritt müssen noch die gewünschten Berechnungsschritte ins Interface eingetragen werden, um anschließend den Tragwerksevaluierungsprozess zu starten. Da im gewählten Beispiel vier Berechnungsschritte gewählt wurden, hat das Script nach Betätigen des Startbuttons in der Folge vier verschiedene Varianten von Brücken generiert. Dabei werden in der Entwurfsszene neben der reinen Brückentragwerksgeometrie auch eine Menge anderer 3d-Objekte "F" erzeugt. Weiters können die Berechnungsergebnisse auch in der sogenannten Console in Textform nachverfolgt bzw. kontrolliert werden.



Variantengenerierung durch Variation des Tragsystems.


```

Das Schnittmoment am Schnitt[9] beträgt162.964264
Flächenträgheitsmoment_Y[9]= 747.615295 cm^4.
Das Winkelgewicht an Schnitt[9] beträgt0.001389
Segmentlänge Schnitt[9]:100.000000
Durchbiegung Schnitt[9]: 1.735164cm.
-----
Das Schnittmoment am Schnitt[10] beträgt0.000000
Flächenträgheitsmoment_Y[10]= 605.897095 cm^4.
Das Winkelgewicht an Schnitt[10] beträgt0.000213
Durchbiegung Schnitt[10]: 2.537500cm.

Max_Bending_of_Arm_1: 0.000000
Max_Bending_of_Arm_2: 6.666667
Current_Bending_of_Arm_1: 0
Current_Bending_of_Arm_2: 2.537500
Kragarm 1 Länge (Brückenlänge)= 0.000000 cm.
Kragarm 2 Länge (Brückenlänge)= 1000.000000 cm.
Träger 1 darf sich max. um 0.000000 cm durchbiegen!
Träger 2 darf sich max. um 6.666667 cm durchbiegen!
Träger 1 biegt sich 0cm durch!
Träger 2 biegt sich 2.537500cm durch!
Das E-Modul beträgt: 210000N/cm².
Das durchschnittliche Flächenträgheitsmoment beträgt nilcm^4.
Bending_Arm_1_Efficiency: 0%
Bending_Arm_2_Efficiency: 38.062500%

AUF ZULÄSSIGE SPANNUNGEN ÜBERPRÜFEN
Obergut ist zu 29.189257% ausgelastet!
Untergut ist zu 14.415875% ausgelastet!
Obergut ist zu 32.648113% ausgelastet!

```

```

Untergut ist zu 14.415875% ausgelastet!
Obergut ist zu 32.648113% ausgelastet!
Untergut ist zu 15.865648% ausgelastet!
Obergut ist zu 37.525627% ausgelastet!
Untergut ist zu 17.656441% ausgelastet!
Obergut ist zu 66.492416% ausgelastet!
Untergut ist zu 21.941221% ausgelastet!
Obergut ist zu 81.689423% ausgelastet!
Untergut ist zu 25.508913% ausgelastet!
Obergut ist zu 33.807907% ausgelastet!
Untergut ist zu 27.607325% ausgelastet!
Obergut ist zu 121.463074% ausgelastet!
Untergut ist zu 31.804142% ausgelastet!
Obergut ist zu 113.556885% ausgelastet!
Untergut ist zu 34.090473% ausgelastet!
Obergut ist zu 80.759880% ausgelastet!
Untergut ist zu 31.404060% ausgelastet!
Obergut ist zu 25.765440% ausgelastet!
Untergut ist zu 14.163925% ausgelastet!
Obergut ist zu 0.000000% ausgelastet!
Untergut ist zu 0.000000% ausgelastet!

BRÜCKENGEOMETRIE VERÄNDERN!
Formula_Divident_Arm_1:20.000000 Bending_of_Arm_1_Efficiency: 0
Formula_Divident_Arm_2:20.000000 Bending_of_Arm_2_Efficiency: 0.380625
MODIFY_PATHS_ON=True

Die Wegeföhrung wird verändert!
KNEAD_TO_PATHS_ON=True
PATH_CLEARANCE_ON=True

```

Abbildungen XX: Kleiner Ausschnitt der Berechnungsergebnisse in der Console.

BRÜCKE

statisches System: Kragarmsystem
 Material Stahl: 7850 kg/m³
 Länge: 10 m
 Breite: 1 m

Schritt 1:

Trägerhöhe wurde konstant angenommen, wodurch das Volumen für die erste Berechnung nicht korrekt ist.

Schritt 2:

Momente werden nun mit richtigem Volumen berechnet.

Volumen: 3,750 m³
 Gewicht: ca. 29,437 t
 Durchbiegung: 0,952 cm

Schritt 4:

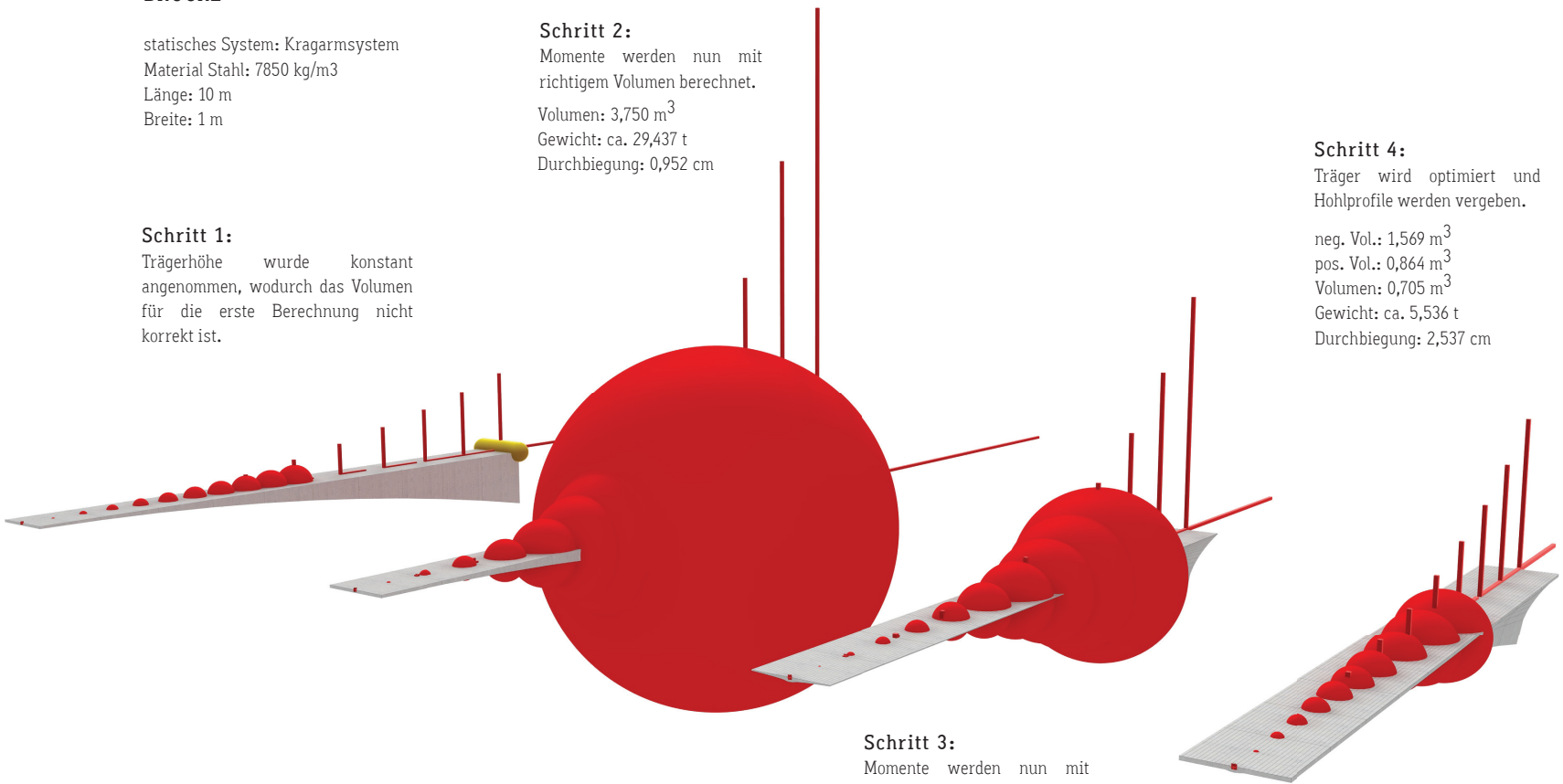
Träger wird optimiert und Hohlprofile werden vergeben.

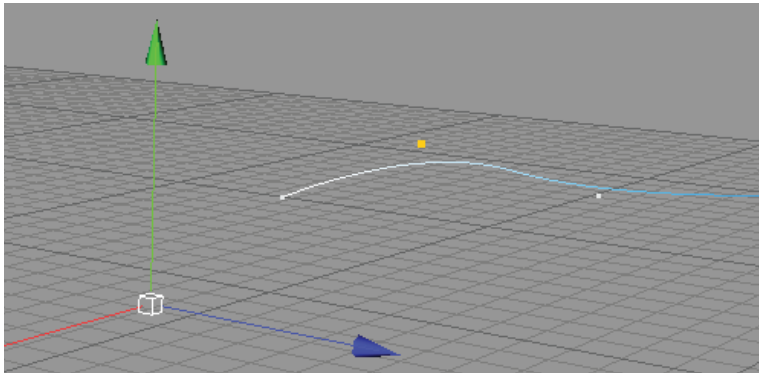
neg. Vol.: 1,569 m³
 pos. Vol.: 0,864 m³
 Volumen: 0,705 m³
 Gewicht: ca. 5,536 t
 Durchbiegung: 2,537 cm

Schritt 3:

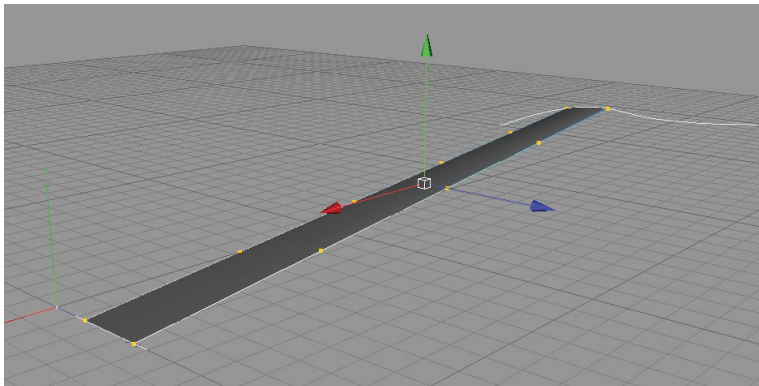
Momente werden nun mit richtigem Volumen berechnet.

Volumen: 1,569 m³
 Gewicht: ca. 11,942 t
 Durchbiegung: 1,514 cm

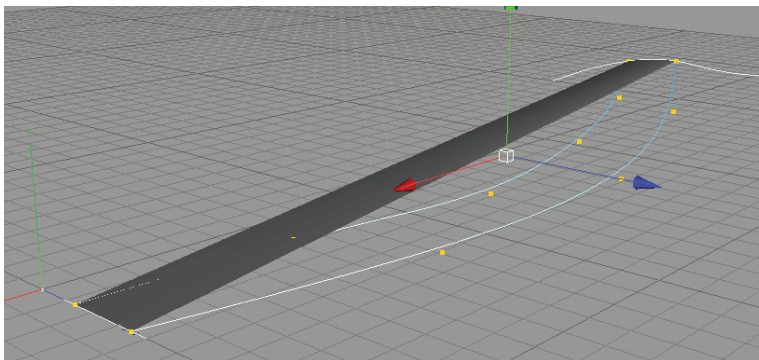




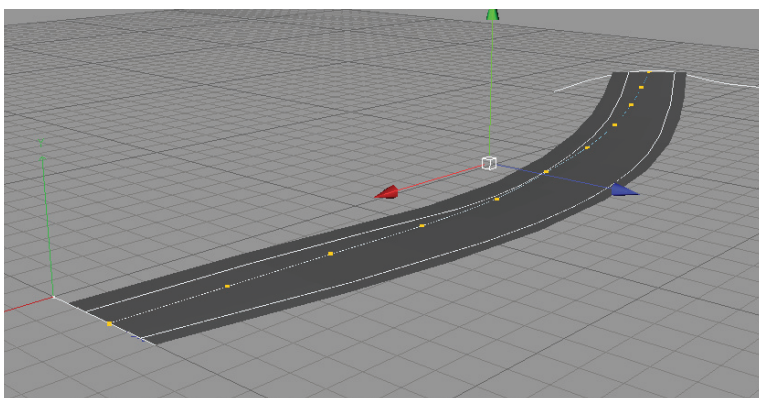
Schritt 1: Brückenenenden werden manuell definiert.



Schritt 2: Nachdem Oberfläche bzw. Grundmatrix erzeugt wurde werden nun die Wege generiert.



Schritt 3: Manipulation der Kontrollpunkte der Wege.

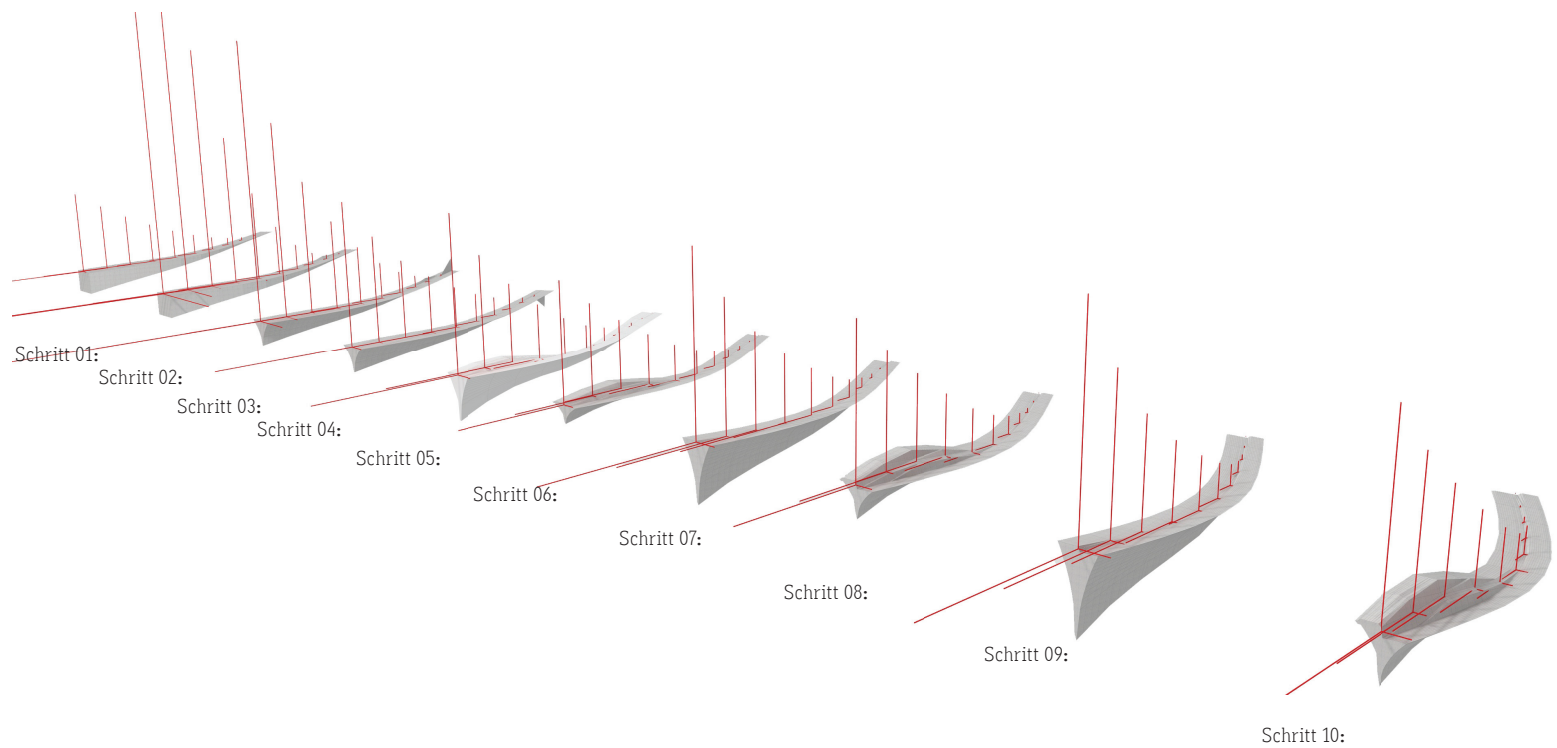


Schritt 4: Nachdem die Oberfläche mit dem Knead_to_Path-Modul den Pfaden angepasst wurde, ist zusätzlich ein dritter Pfad, der den kürzesten Weg zwischen den Brückenenenden anzeigt automatisch erzeugt worden

Scripted Bridge V2.0

Im zweiten Beispiel soll bereits die Brückengeometrie mittels der einzelnen Wege verzerrt werden und mehrere Berechnungsschritte mit weiteren Optimierungsvorschlägen generiert werden.

- Wie schon im ersten Beispiel ist auch hier die Grundvoraussetzung das Vorhandensein des "XPresso Tag", welches die gesamten Module und Scripten enthält, in der Entwurfsszene.
- Im Unterschied zum ersten Beispiel wurden in diesem die Splines für die Brückenenenden im Programm erstellt und verzerrt. Erst danach wurde die Grundmatrix erzeugt.
- Mittels Eingabe im User-Interface wurden nun zwei Wege (Splines) mit einer jeweils unterschiedlichen Anzahl an Kontrollpunkten generiert. Danach wurden diese zu einer Bogenform verzerrt.
- Um schließlich die Brückenoberfläche zwischen den aktuellen Wegesplines aufzuspannen, musste nun die Option "Knet Basic Surface to 2 Paths" (Knead_to_Paths-Modul) aktiviert werden.
- Anschließend wurde noch eine dritter Weg mit dem Pathfinder Modul generiert. Dieser gibt die kürzeste Distanz über zwischen den Brückenenenden an.
- Zusätzlich wird diesmal auch ein Wasserspiegel nicht allzuweit unter den Auflagerpunkten angenommen.
- Daraufhin kann die Berechnung gestartet werden, wobei dafür zehn Berechnungsschritte gewählt wurden. Als Ergebnis werden einige Objekte erzeugt, wobei dieses Mal auch generelle Veränderungsvorschläge für die Brückengeometrie gemacht werden. So werden beispielsweise auch die Wegeführungen verändert, indem etwa versucht wird, die Brücke im Auflagerbereich - wenn möglich - anzuheben, da andernfalls die Brückenkonstruktion ins Wasser ragen würde. Aufgrund der Steigungsbeschränkungen der Startpositionen der Wege an den Brückenenenden ist eine Anhebung der Konstruktion nicht direkt am Auflager möglich. In späteren Varianten schlägt das Programm auch andere Startpositionen vor.



Schritt 07:

pos. Vol.: 66,726 m³
 neg. Vol.: 48,347 m³
 Volumen: 18,379 m³
 Gewicht: ca. 187,341 t
 Durchbiegung: 7,610 cm (ca. 40,7%)

Schritt 08:

pos. Vol.: 25,959 m³
 neg. Vol.: 13,488 m³
 Volumen: 12,470 m³
 Gewicht: ca. 142,336 t
 Durchbiegung: 45,301cm (ca. 242%)

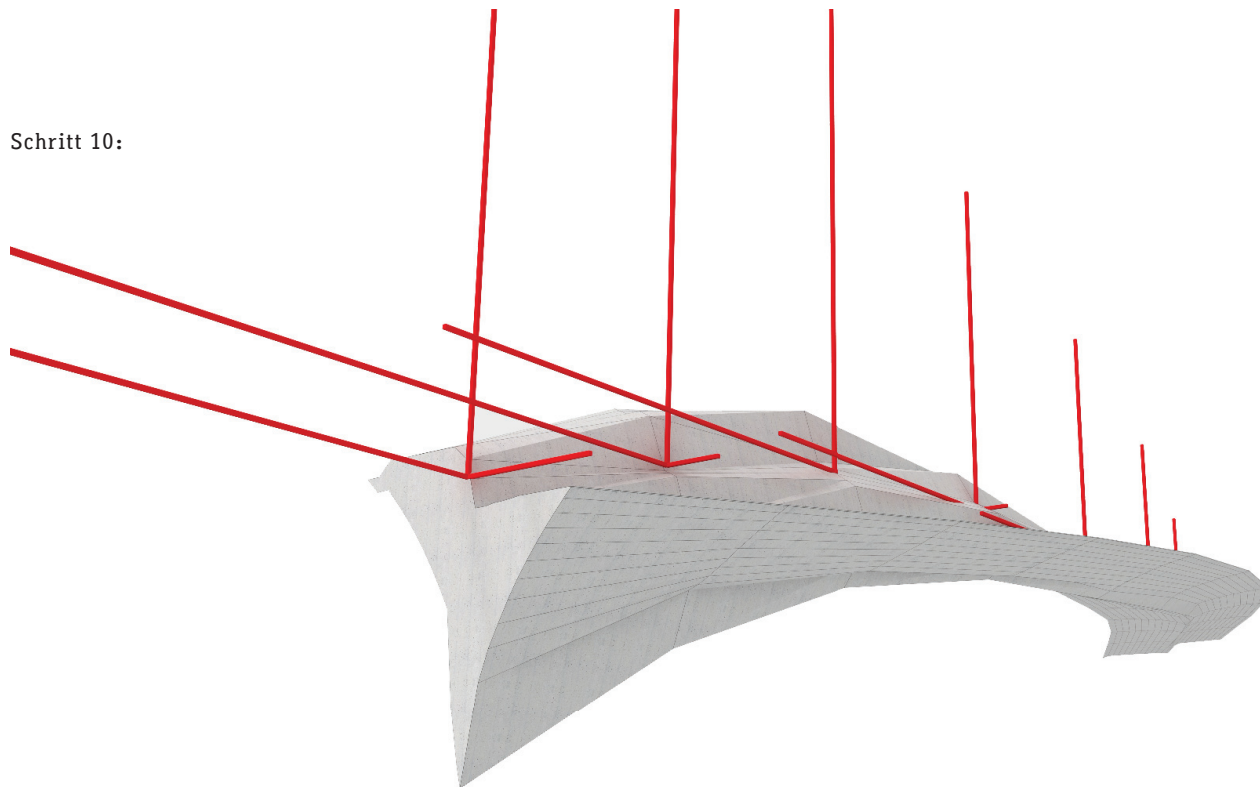
Schritt 09:

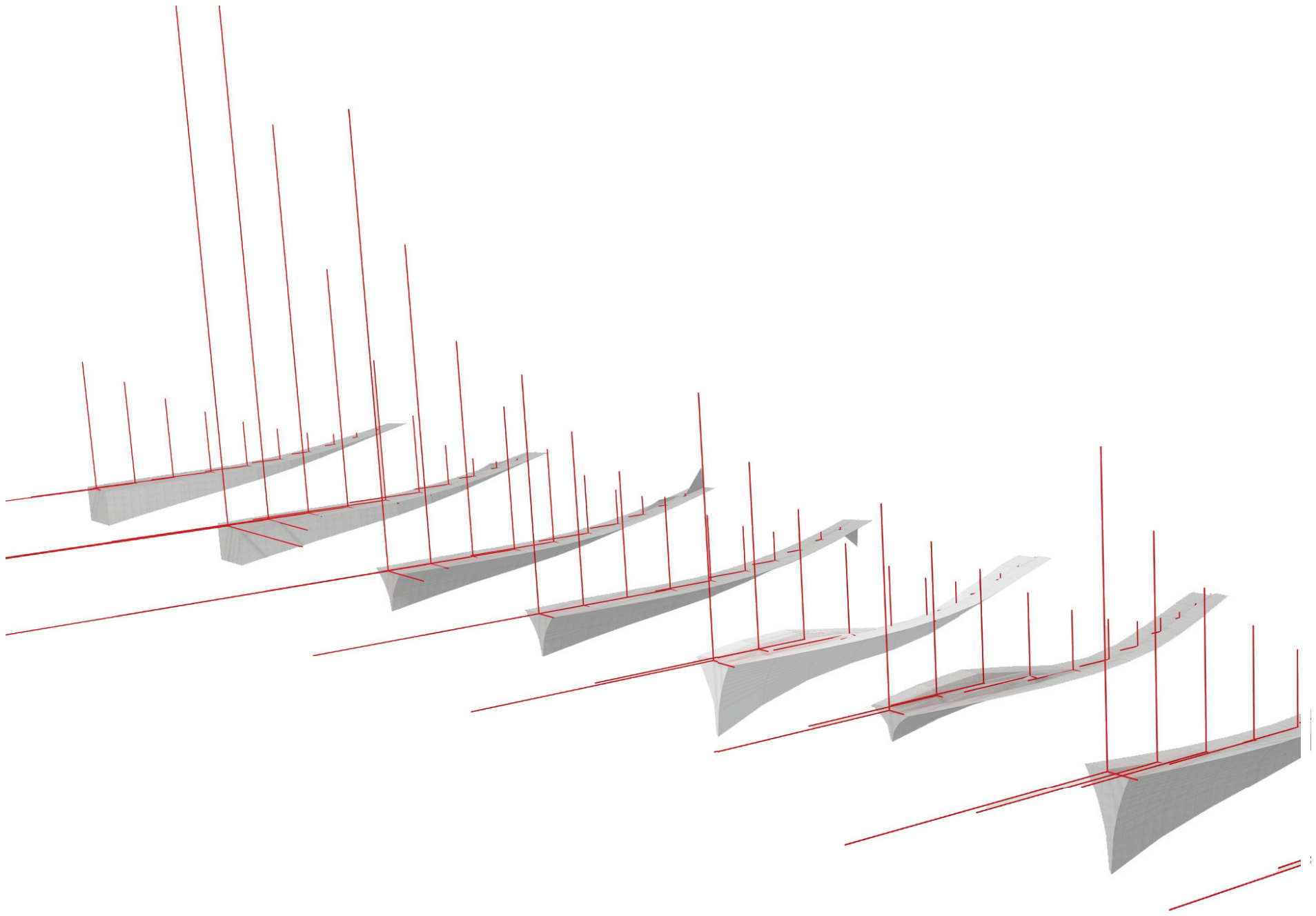
pos. Vol.: 76,361 m³
 neg. Vol.: 52,874 m³
 Volumen: 23,487288 m³
 Gewicht: ca. 227,244 t
 Durchbiegung: 8,153 cm (ca. 43%)

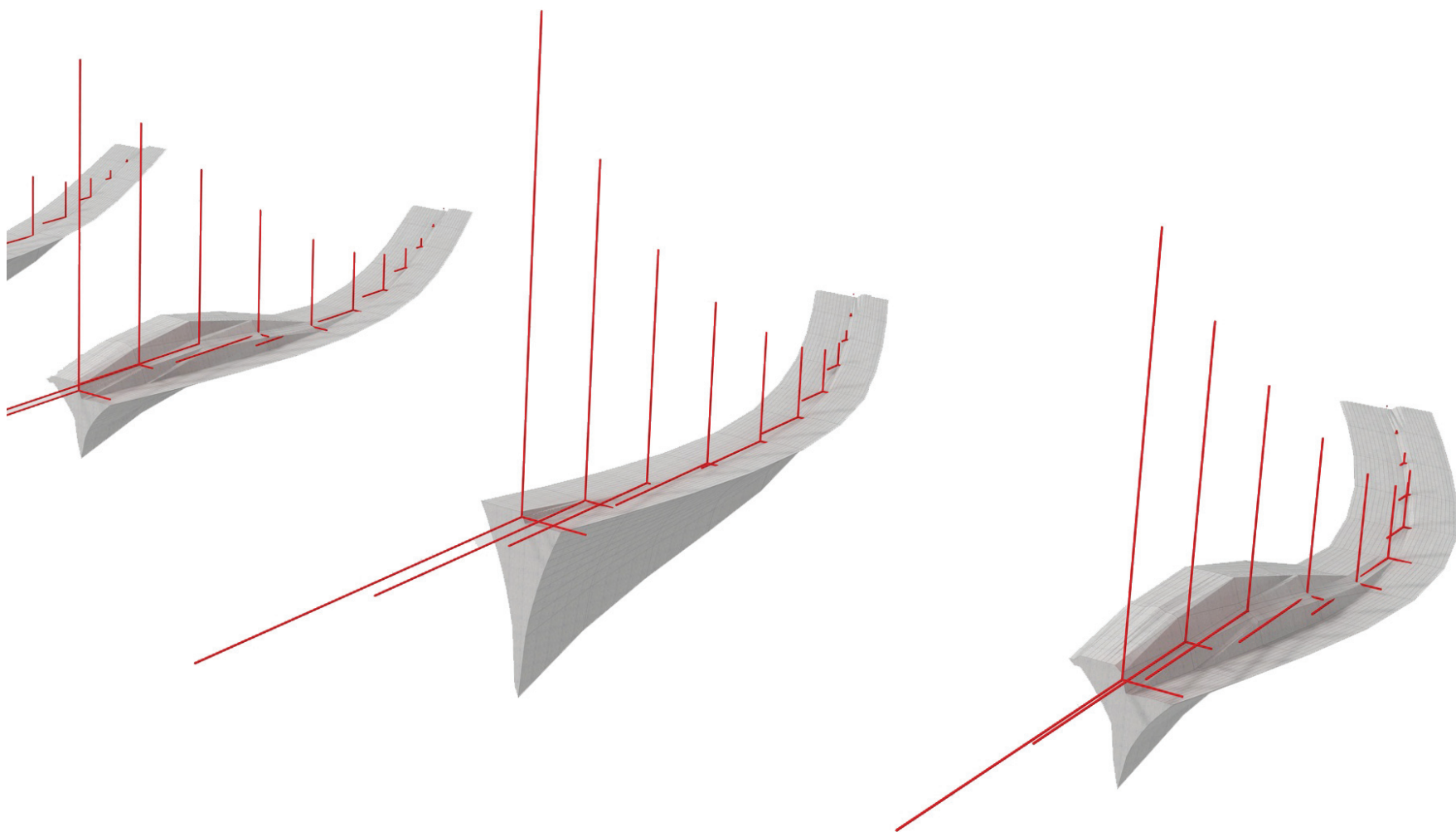
Schritt 10:

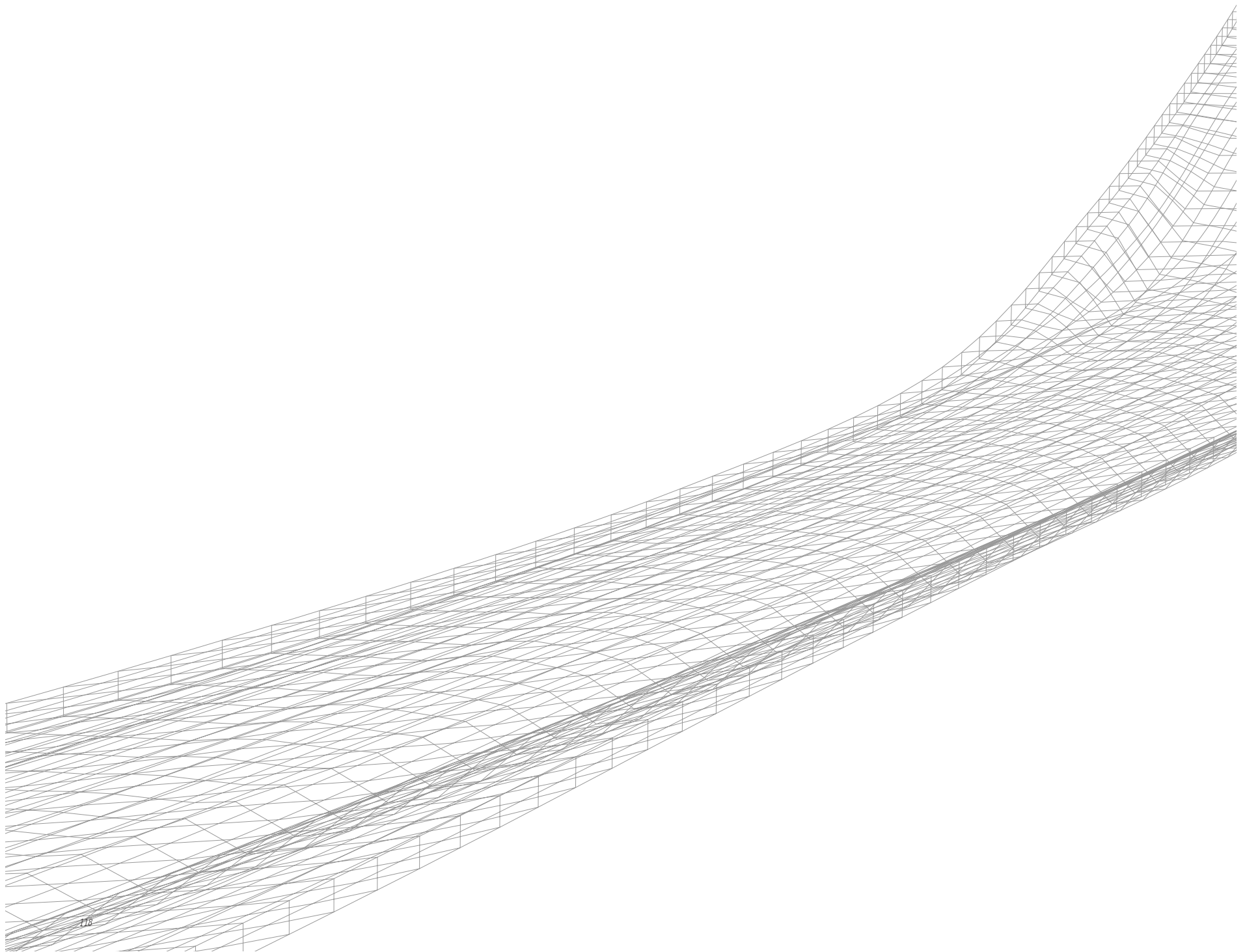
pos. Vol.: 30,061 m³
 neg. Vol.: 14,639 m³
 Volumen: 15,422 m³
 Gewicht: ca. 165,260 t
 Durchbiegung: 40,354 cm (ca. 216%)

Schritt 10:

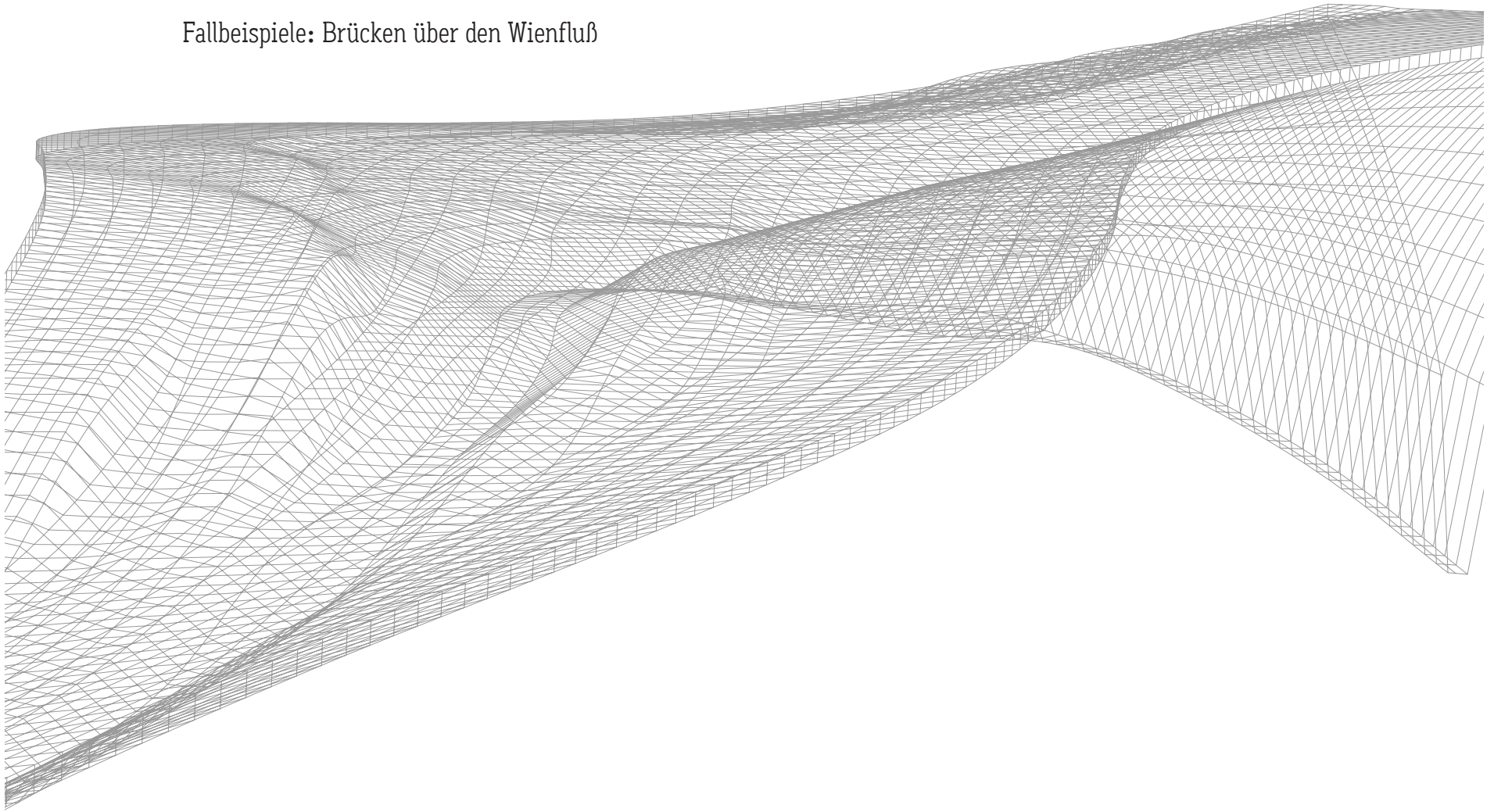








Fallbeispiele: Brücken über den Wienfluß





Untere Donaustraße

Donaukanal

Aspernbrücke

Hermannpark

scripted bridge

Urania

Obere Weißgerberstraße

Uraniastraße

Radezkybrücke

Julius Raab Platz

Wienfluß



Fallbeispiele: Brücke über den Wienfluss

Allgemeines

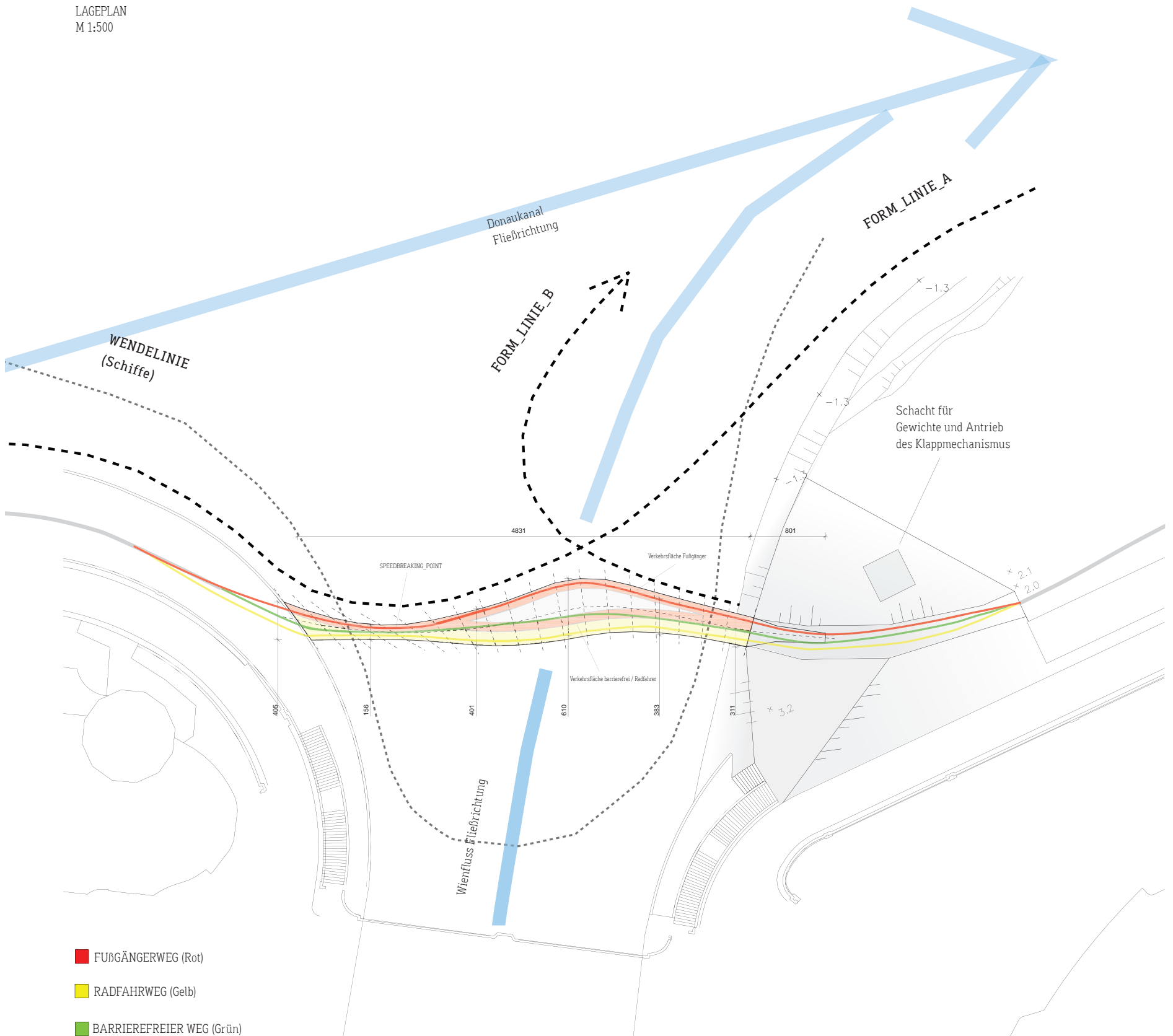
Es wurde bereits mehrfach ausgeführt, dass für die Entwicklung des parametergesteuerten Brückengenerierungsprozesses die Ausschreibungen zweier Wettbewerbe als Rahmenbedingungen verwendet wurde/-n. Die einzelnen Module bzw. die gesamte Schaltung wurden ständig in Bezug auf die Wettbewerbe getestet und weiterentwickelt. So wurden die Wettbewerbsbrücken mittels des entwickelten "Mashup-Systems" entworfen, wobei sich dieses jeweils in einem unterschiedlichen Entwicklungsstadium befand.

Die "Concrete Student Trophy 2009" wurde als erster Wettbewerb wesentlich für die Parameter- sowie Grundkonzeptfindung verwendet. Zwar wurden auch bereits Vorschläge für eine Brückenkubatur sowie für mögliche Brückenprofile gemacht, doch konnten noch keine Ergebnisse bezüglich der Querschnittswerte oder der auftretenden Spannungen und Durchbiegungen an verschiedenen Stellen des Systems ausgegeben werden.

Der Realisierungswettbewerb "Connectiong Link" diente folglich zur Weiterentwicklung der im Zuge des ersten Wettbewerbes nicht fertiggestellten Funktionen und darüber hinaus zu einer praktischen Überprüfung der Ergebnisse in einem Ingenieurbüro. Weiters konnte festgestellt werden, inwiefern sich die produzierten Daten für eine Weiterverarbeitung auch mit anderen CAD-Programmen eignen.

Das architektonische Entwurfs- und Formenkonzept für die Wettbewerbsentwürfe entwickelte sich einerseits aus den Ideen und Formvorschlägen, die während der Entwicklung des parametrisierten Prozesses auftauchten und andererseits aus der Abstrahierung örtlicher Gegebenheiten.

LAGEPLAN Concrete Student Trophy
M 1:1000



Concrete Student Trophy

Allgemeines

Vorweg ist festzuhalten, dass das architektonische Entwurfskonzept grundsätzlich bei beiden Wettbewerben annähernd ident ist und deshalb im Folgenden für beide wiedergegeben wird. Bei den Ausführungen zum Wettbewerb "Connecting Link" sollen aus diesem Grund lediglich dessen Ergänzungen beschrieben werden.

Entwurfskonzept

Der Standort befindet sich in einem historischen Umfeld, das aus Denkmalschutzgründen einen sensiblen Umgang mit dem Bestand erfordert. Durch die Fließgewässer, die unterschiedlichen Wasserpegel, die Klappbrücke sowie den Schiffsverkehr ist das Entwurfsareal durch Begriffe wie Veränderung, Bewegung und Transformation geprägt. Es herrscht ein Kontrast zwischen urbaner Dichte und der großzügigen Weite der Flussmündung.

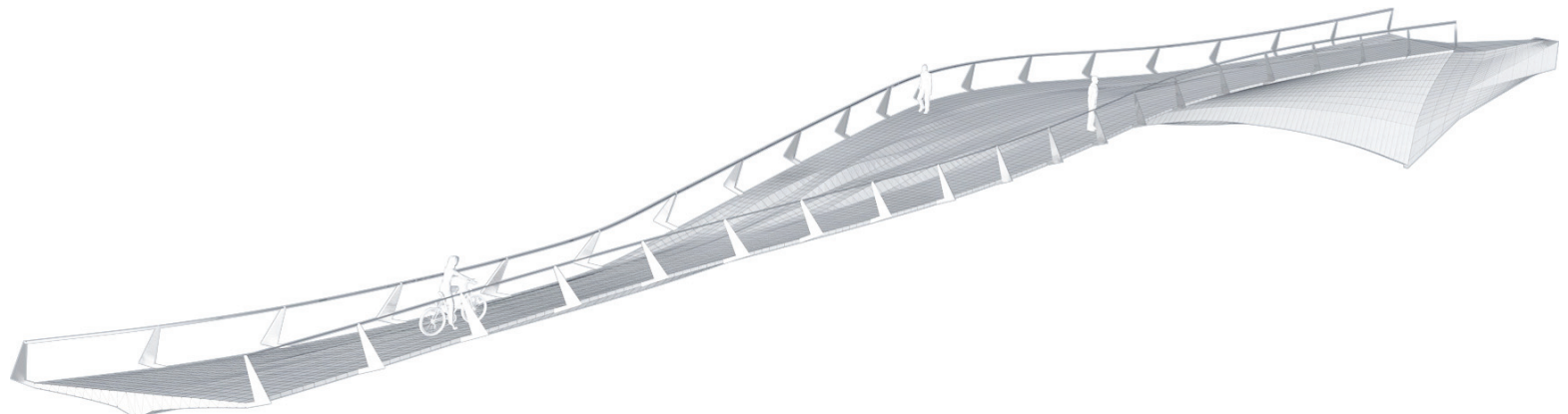
Diese Randbedingungen wurden in den Entwurfsgedanken aufgenommen und spiegeln sich in der Wahl einer dezenten, dynamischen Brückenformgebung wider. Im begehbaren Zustand stellt der Entwurf die Dominanz der Urania einerseits sowie der Radetzkybrücke andererseits nicht in Frage. Bewusst wird auf eine zweiteilige Ausführung des Brückenkörpers verzichtet, um Interventionen auf Uraniaseite möglichst gering zu halten. Sämtliche

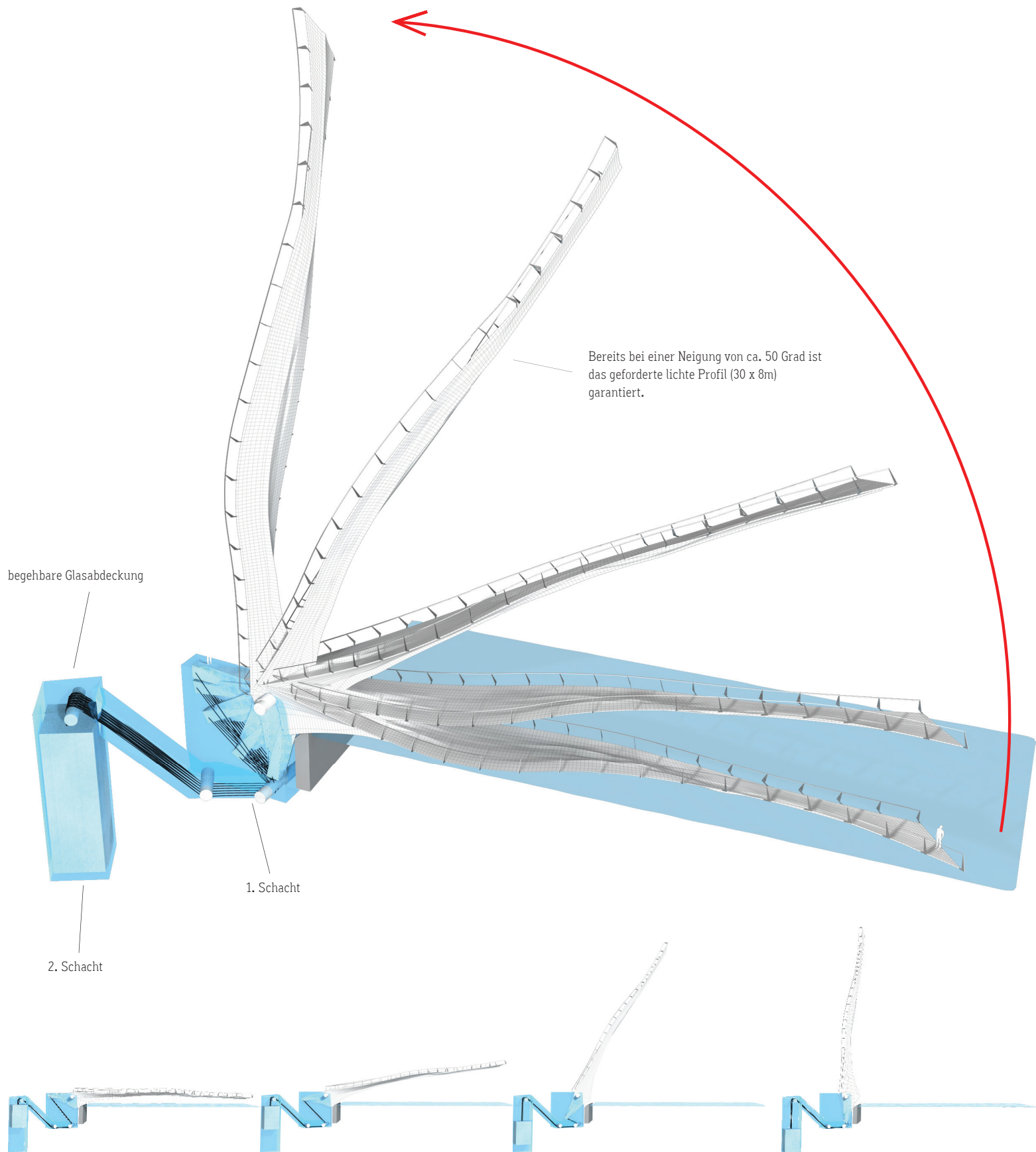
mechanische Einrichtungen zum Klappen der Brücke werden auf Hermannparkseite konzentriert (Denkmalschutz). Durch die Spannweite von annähernd 50m wird im aufgeklappten Zustand zumindest temporär mit der Höhenentwicklung und - was gleichbedeutend ist - mit den Wertigkeiten der umgebenden Gebäude (Urania, Uniqa-Tower, Finanzministerium) gespielt. Es entsteht eine temporäre Skulptur, die von ihrer Umgebung als Landmark wahrgenommen wird.

Formgebung

An der Kragarmeinspannseite (Hermannparkufer) neigt sich die Brücke in Fließrichtung des Wienflusses (FORM_LINIE_B), damit bei extremem Unwetter und Hochwasser kein Treibgut am Schwert (Kragarmsbeginn) hängenbleiben kann. Weiters soll dadurch das physikalische und ästhetische Gewicht betont werden, das vom Fluss zunächst mitgerissen wird. In den restlichen zwei Dritteln der Brückenlänge wird mit der Form ein gedachter weicher Mündungsverlauf nachempfunden (FORM_LINIE_A).

In der Seitensansicht hebt sich die Brücke zur Brückenmitte hin etwas weiter vom Wasser ab und nimmt eine flache Bogenform an. Dies hat zur Folge, dass während des Klappvorganges das geforderte Mindestraumprofil (Lichte) für die Schiffsdurchfahrt bereits bei einem Klappwinkel von 50 Grad erreicht wird. Dieser Effekt wird zusätzlich durch die annähernd konvexe Form des Kragarms verstärkt.





Klappmechanismus

Damit die Urania und die Radetzkybrücke in ihren Ansichten möglichst nicht durch Konstruktionen verdeckt werden, ist auf abgespannte Zugseilkonstruktionen und hohe Pylone verzichtet worden. Der gesamte Klappmechanismus befindet sich unterirdisch auf der Hermannparkseite. In Verlängerung der Brücke wurde unter der Erde ein Hebelarm ausgebildet, an dem über eine Seilkonstruktion ein Gegengewicht angreift. Über dieses Gewicht wird die Brücke im Gleichgewicht gehalten.

Der Vorteil dieser Art von Konstruktion liegt einerseits in seiner unterirdischen Durchführbarkeit und in der Unempfindlichkeit gegen mögliche Umwelteinflüsse (Wasser). Der Drehpunkt der Brücke ist so gewählt, dass bis zum höchsten schiffbaren Wasserstand kein Wasser in den 1. Schacht eindringen kann.

Es gibt 2 Schächte, die zu realisieren sind:

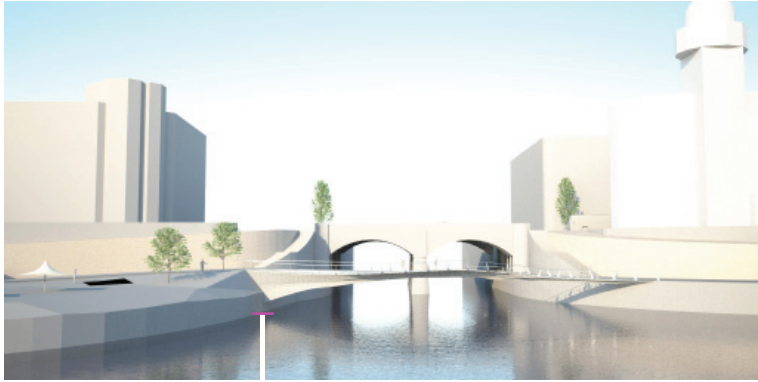
1.) Der erste tiefe schmale Schacht befindet sich unmittelbar hinter dem Auflager und ermöglicht die Drehbewegung der Brückenverlängerung (Hebelarm ca. 8m Länge). Dieser Schacht kann bei extremen Wasserständen ohne Konsequenzen auf den Mechanismus geflutet werden.

2.) Die Grundposition des 2. Schachtes ist flexibel und kann verändert werden. In diesem Schacht befindet sich das Gegengewicht und der Antriebsmotor.

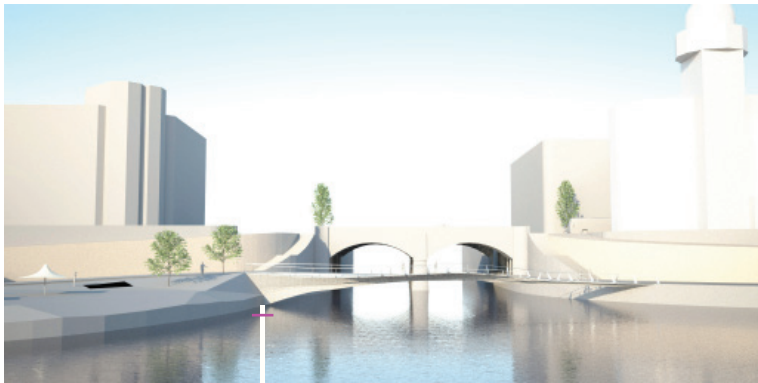
Das gesamte Raumprofil zwischen den Uferzonen wird freigehalten.

Durch einen mit einer begehbaren Glasabdeckung geschützten Schacht kann die Konstruktion eingesehen werden. Dies verstärkt die Erlebbarkeit des Bewegungsvorganges.

Bei 90 Grad aufgestellter Position wird die Brücke als temporäre Skulptur erkennbar, die gleichzeitig als Landmark wirksam wird.



Regulierungswasserstand



Mittelwasser



höchster Schifffahrtswasserstand



100-jähriges Hochwasser

Wasserstand

Die Uferzone auf der Herrmannparkseite wurde um 1.30 m angehoben, damit die Brücke im Regelfall nie im Wasser ist.

Brücke in horizontaler Position:

- Regulierungsniederwasser
- Mittelwasser
- Höchster Schifffahrtswasserstand

Brücke in aufgeklappter (vertikaler) Position:

- 100-jährliches Hochwasser
- Projekthochwasser

Bauablauf

Die Brücke besteht aus 20 einzelnen Segmenten, die alle in einer Fabrik vorgefertigt werden können. Jedes dieser Elemente verfügt über Schubrippen, womit ein Schubverbund zwischen den Segmenten hergestellt werden kann (siehe 1:50 Schnittdetails).

Grundsätzlich wird die Brücke in aufgestellter Position (vertikale Stellung) montiert. Dies hat den Vorteil, dass nicht über dem Gewässer gearbeitet werden muss und die Zukräfte in den Fugen der Konstruktion vermieden werden können.

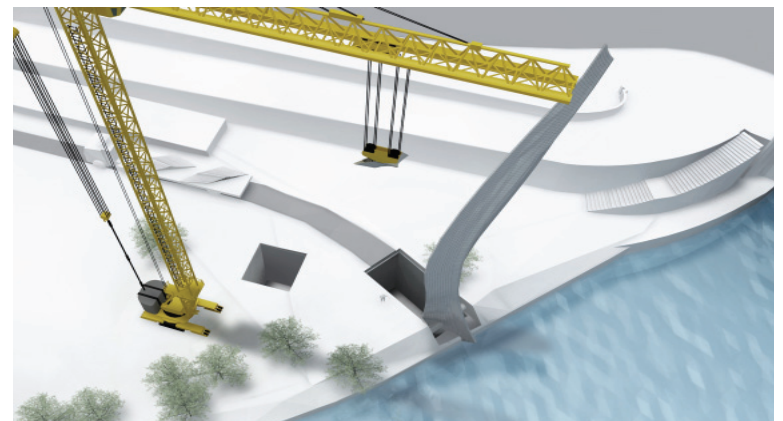
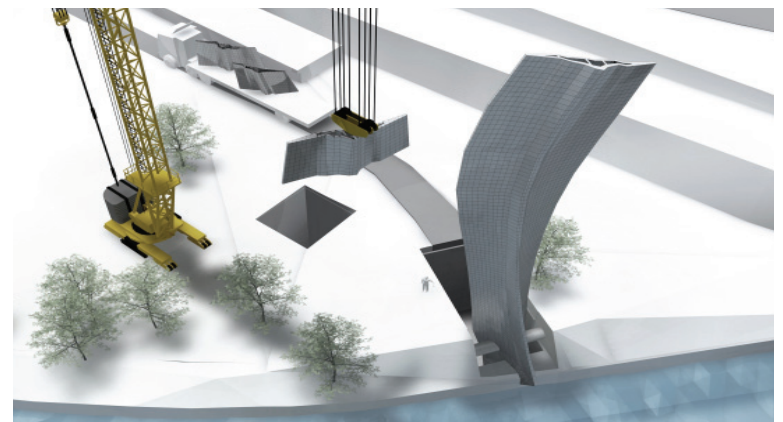
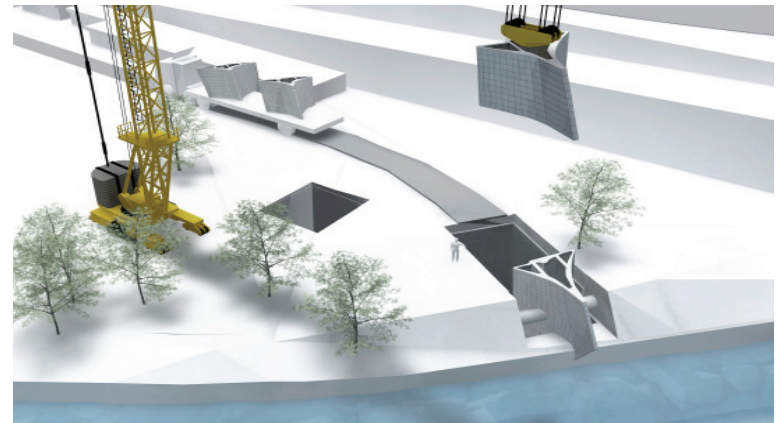
Die einzelnen Bauteile können mittels Baustelleinrichtungen relativ unkompliziert schrittweise übereinandergeschichtet werden. Die Schubrippen helfen bei der korrekten Positionierung.

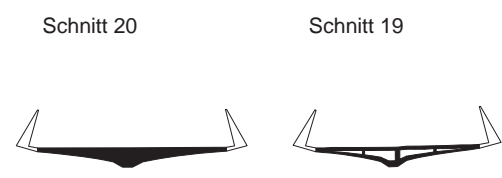
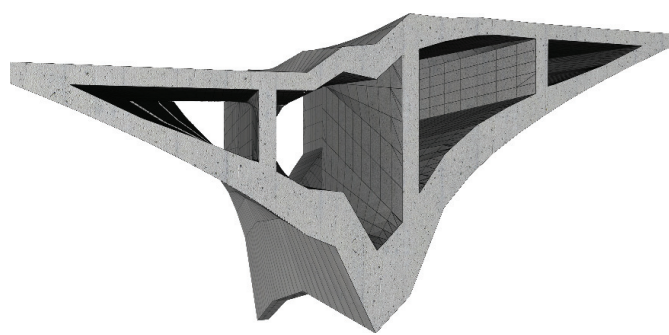
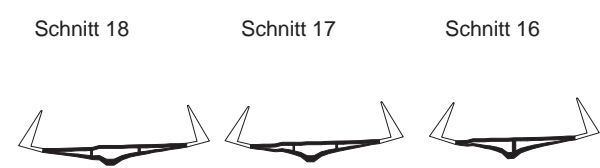
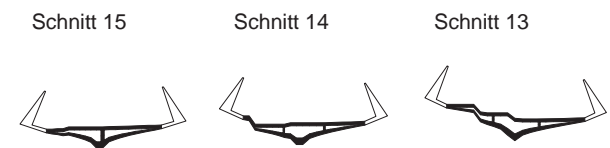
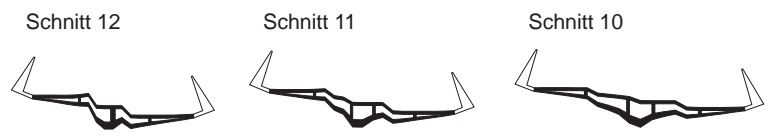
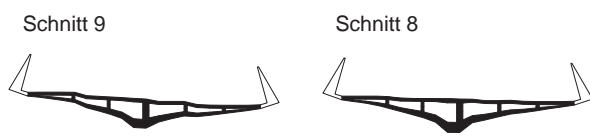
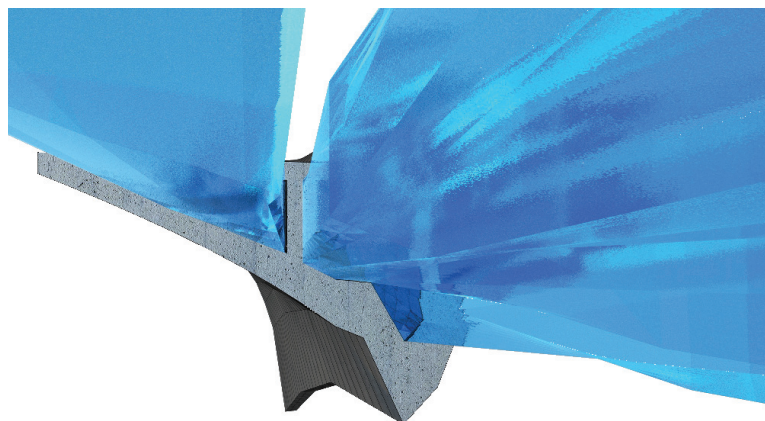
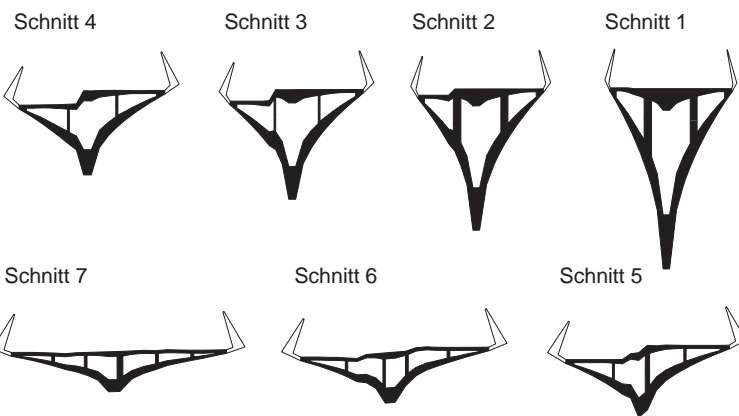
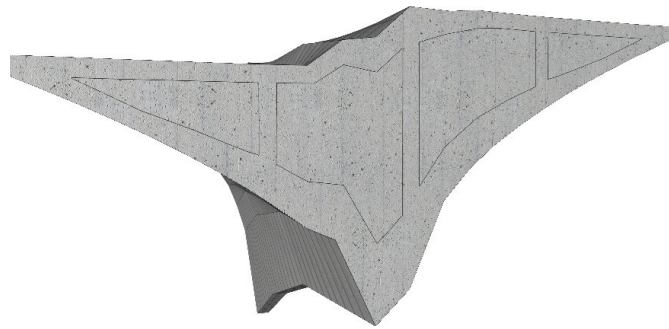
Die Spannglieder werden mit den Elementen gleichzeitig in die Segmenthohlräume eingezogen. In den einzelnen Hohlräumen sind Führungskonstruktionen für den Verlauf der Spannglieder vorgesehen.

Die Konstruktion wird während des Aufbaus vorgespannt und immer wieder nachjustiert.

Nun kann die Brücke in die horizontale Position gebracht und die Oberfläche finalisiert werden.

Schlussendlich kann das Geländer auf den fertig eingelassenen Konsolen befestigt werden.



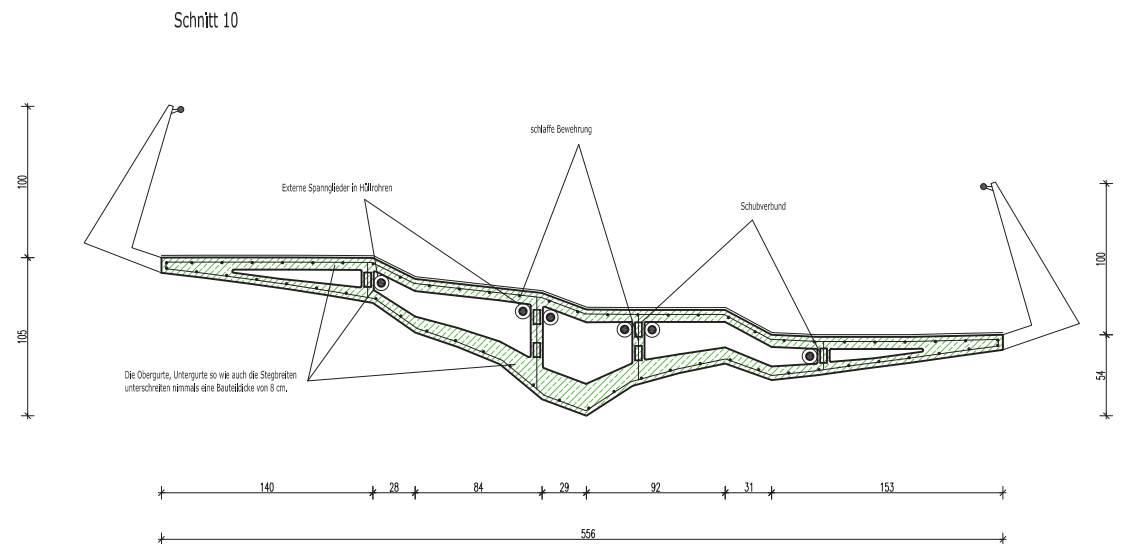
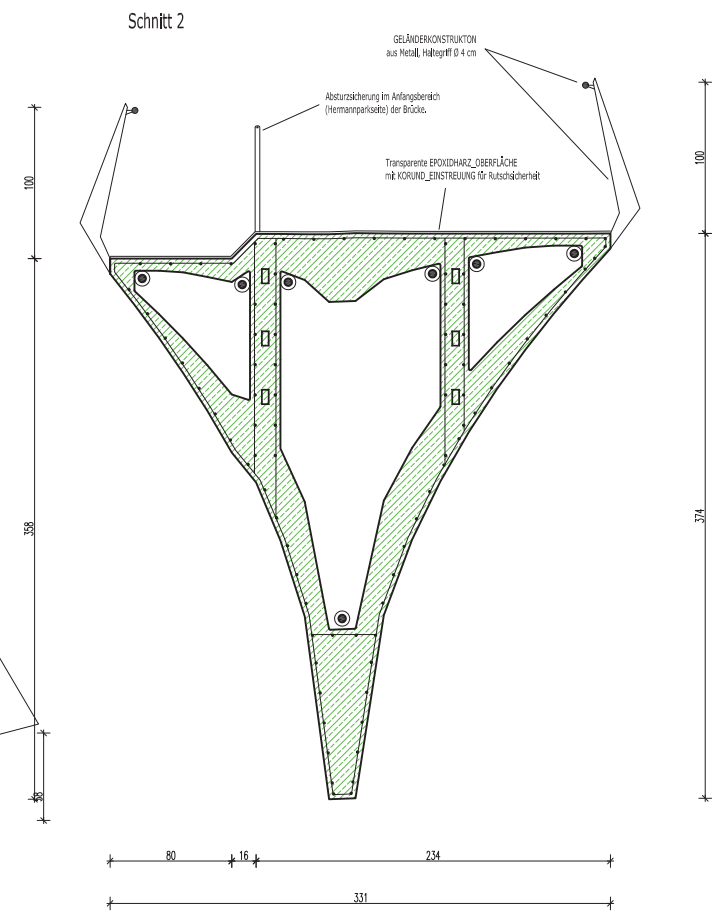
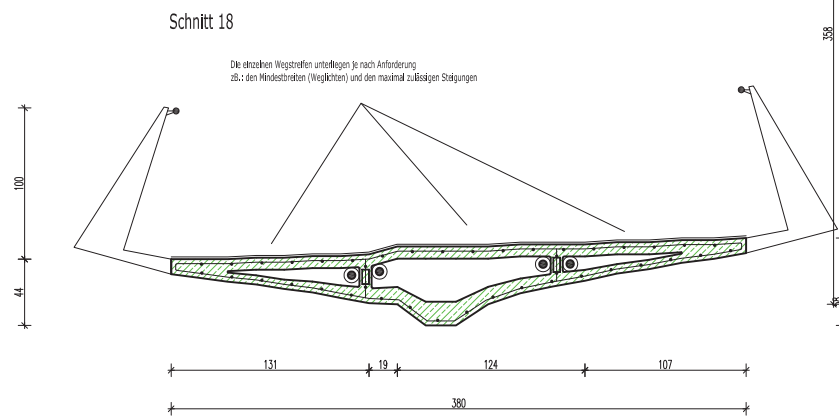


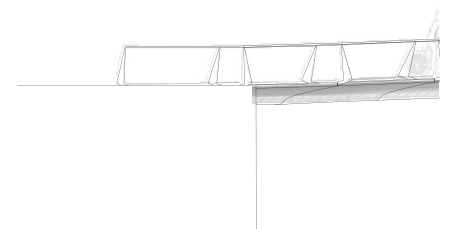
Brückenquerschnitte M 1:200

Die Systemquerschnitte werden automatisch über den Aushöhlungs-Algorithmus generiert und können relativ einfach in einem CAD-Programm weiterverarbeitet werden. Es sei jedoch darauf hingewiesen, dass diese Schnitte lediglich Vorschläge sind und diese selbstverständlich noch weiterbearbeitet bzw. vereinfacht werden können.

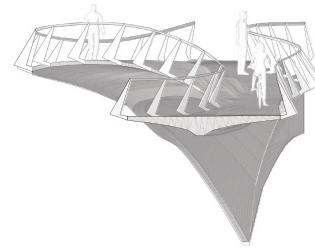
Detailschnitte M 1:50

In dieser Detailierung wurden die vom Script vorgeschlagenen Querschnitte nicht mehr idealisiert, sondern direkt weiterverarbeitet.

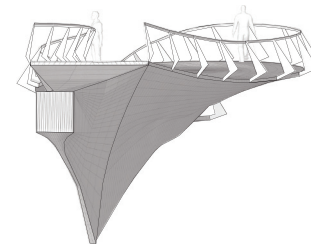




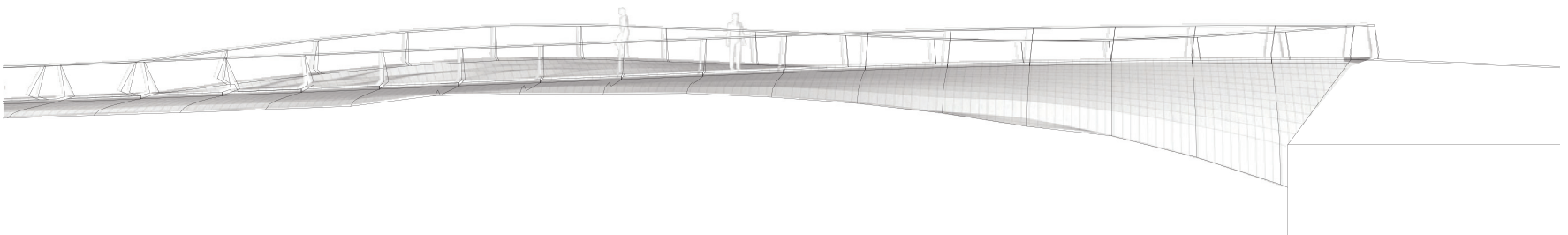
OST_ANSICHT
M 1:200



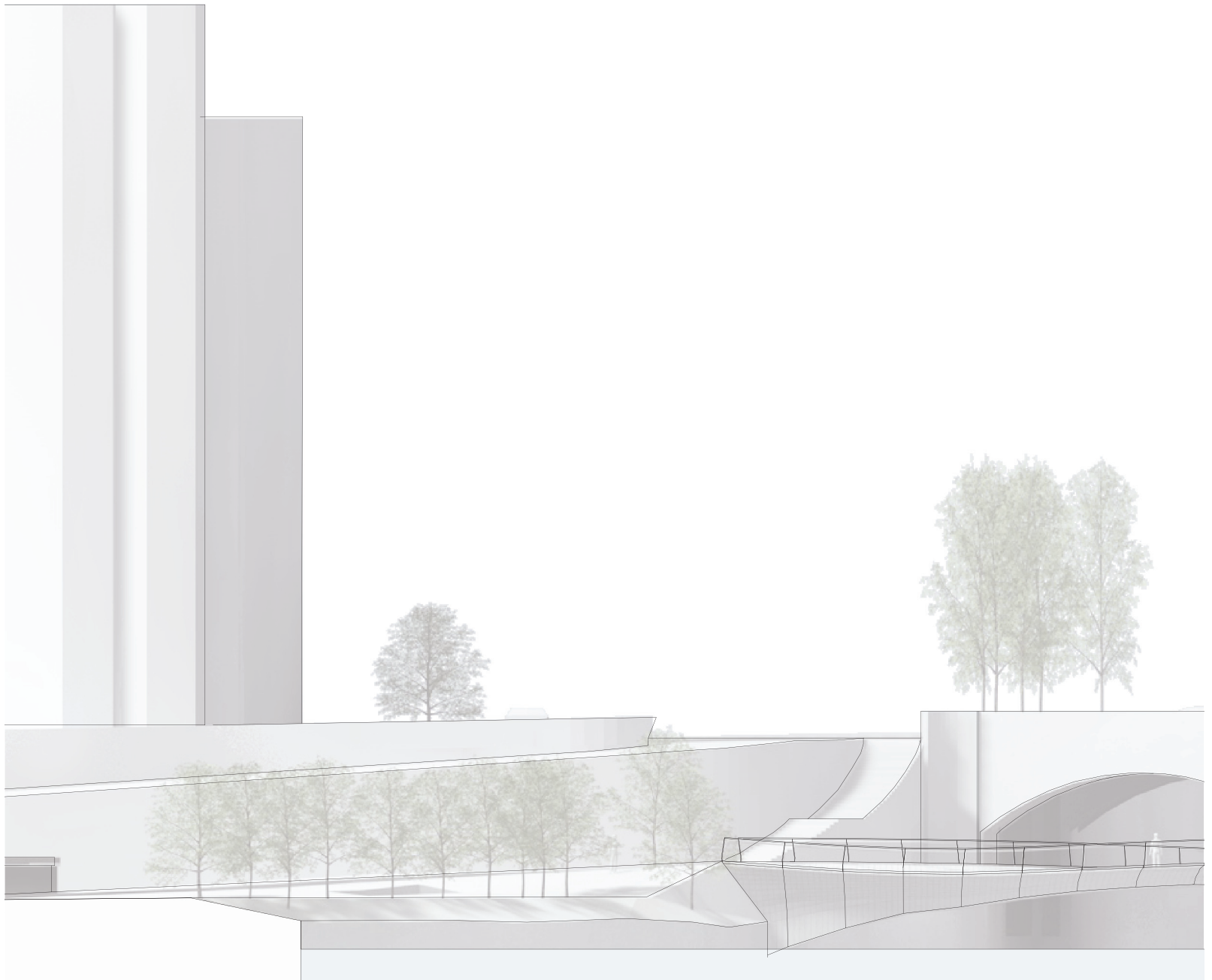
WEST_ANSICHT
M 1:200

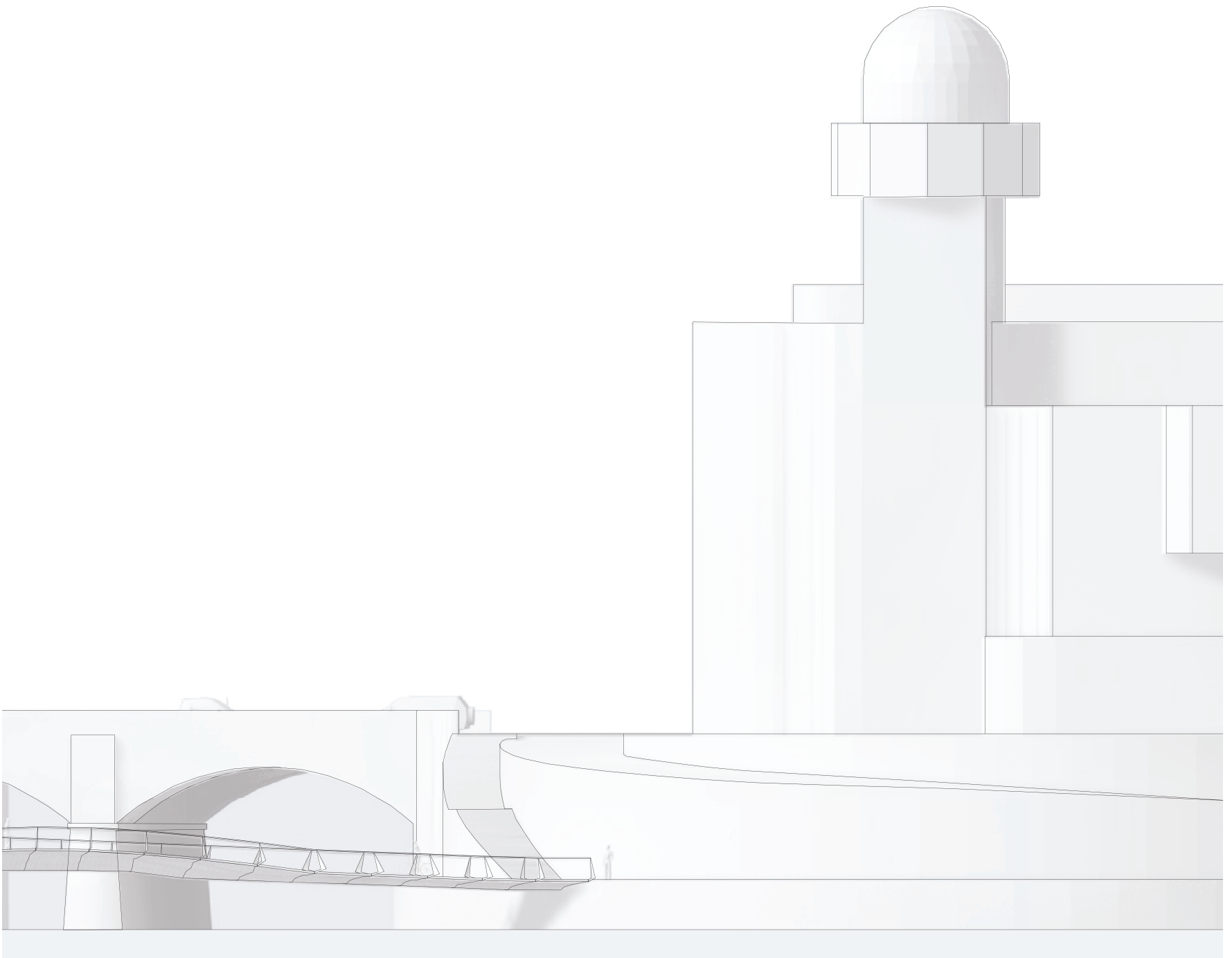


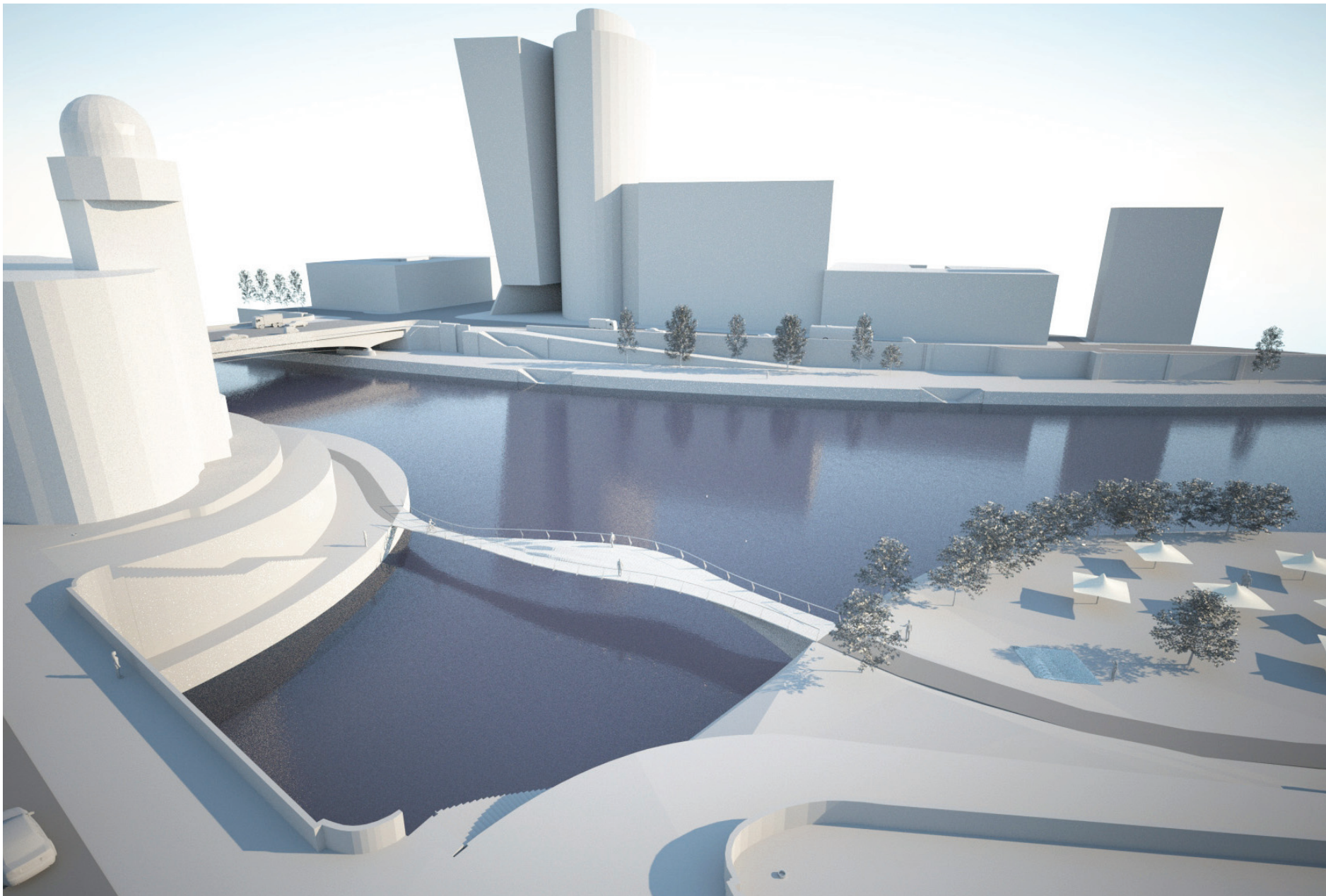
SÜD_ANSICHT
M 1:200

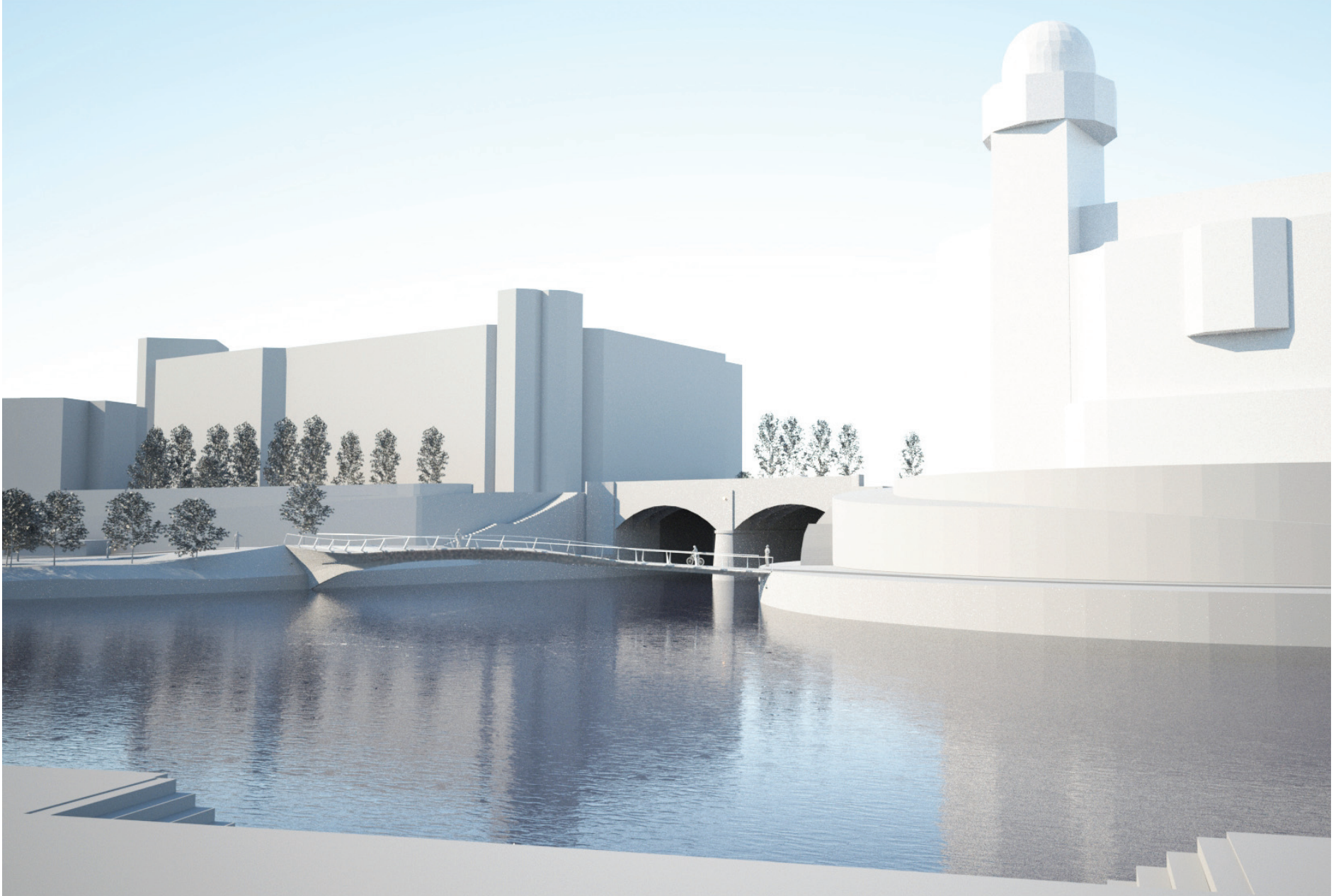


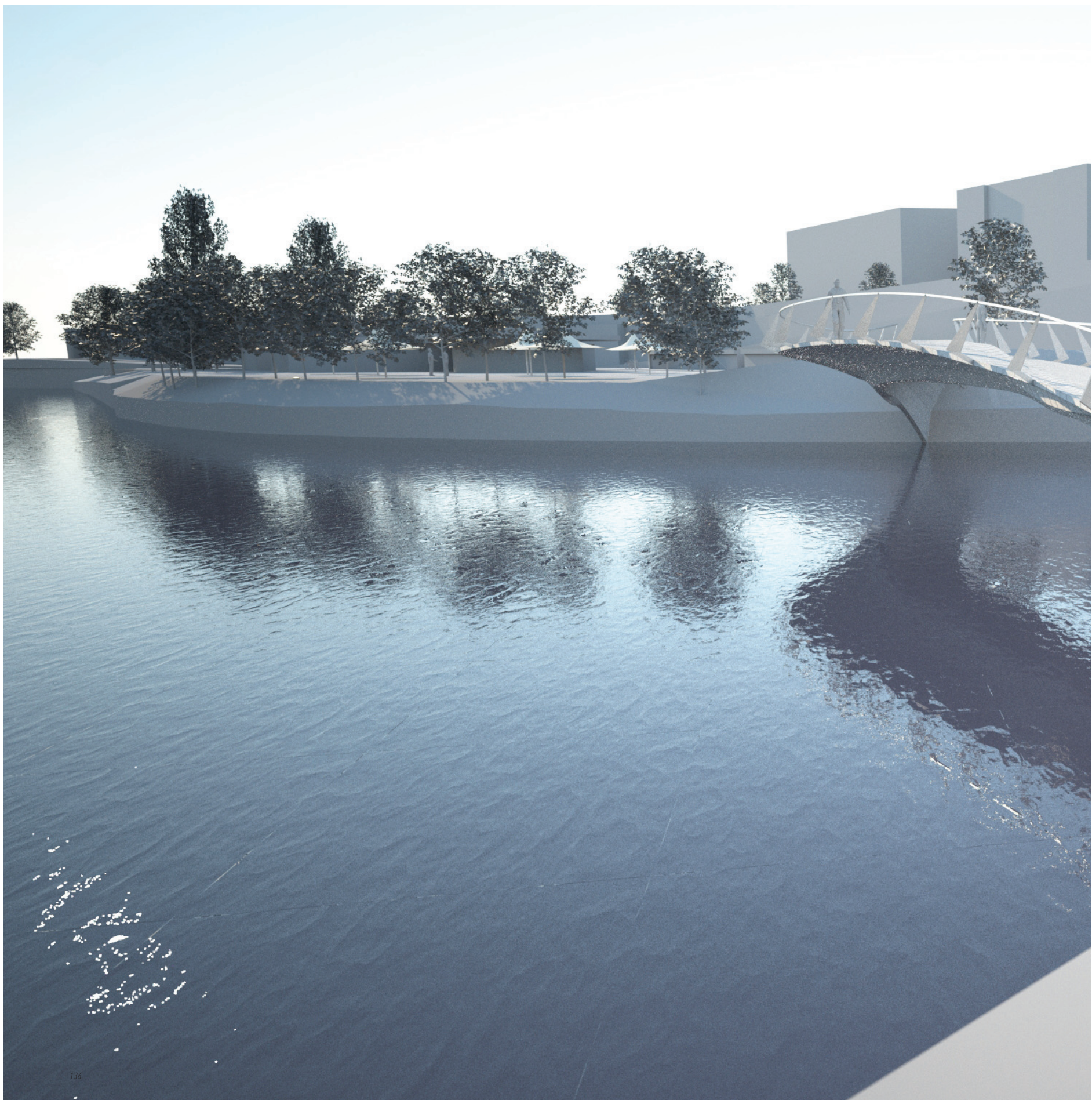
NORD_ANSICHT
1:200

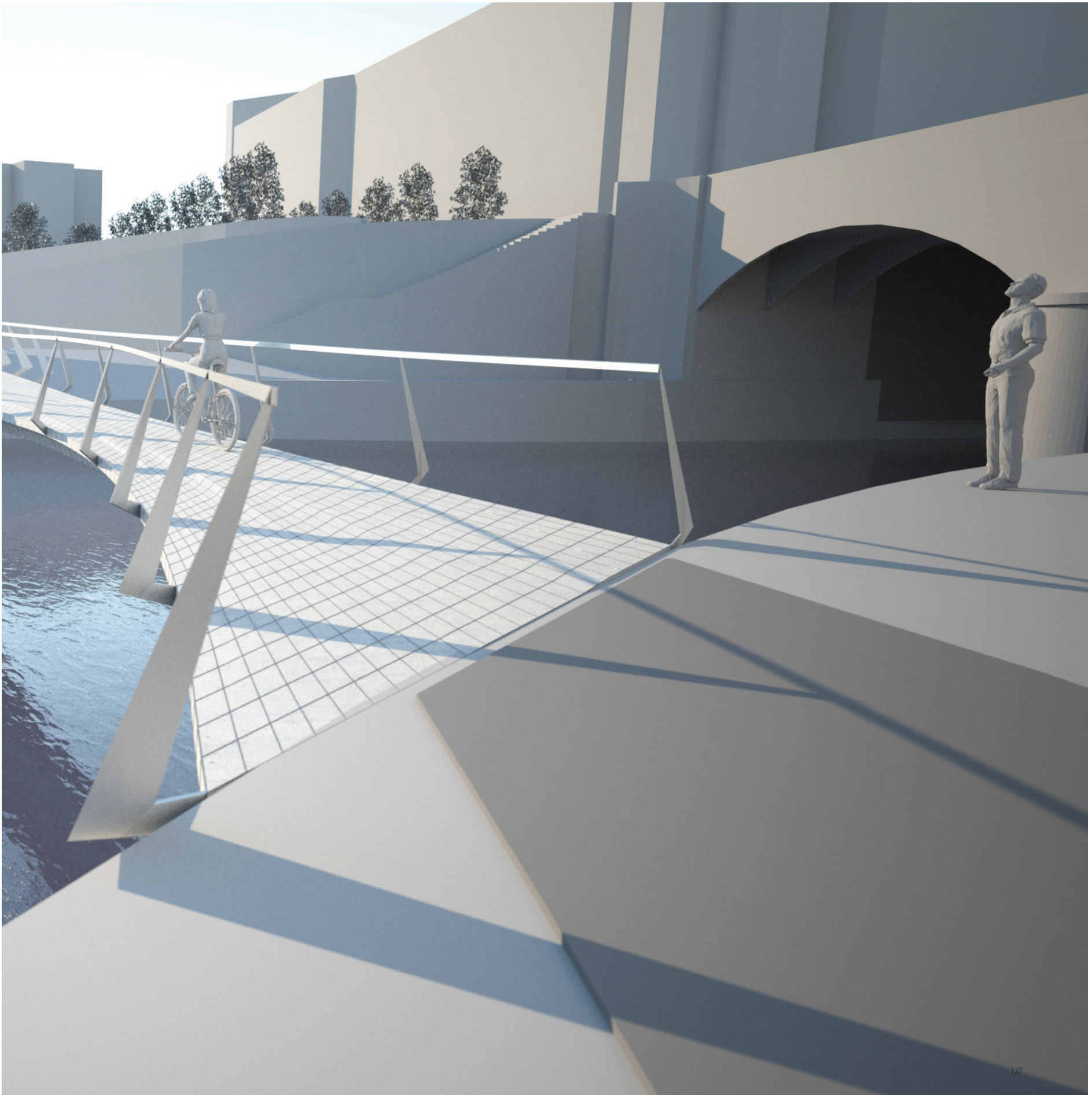


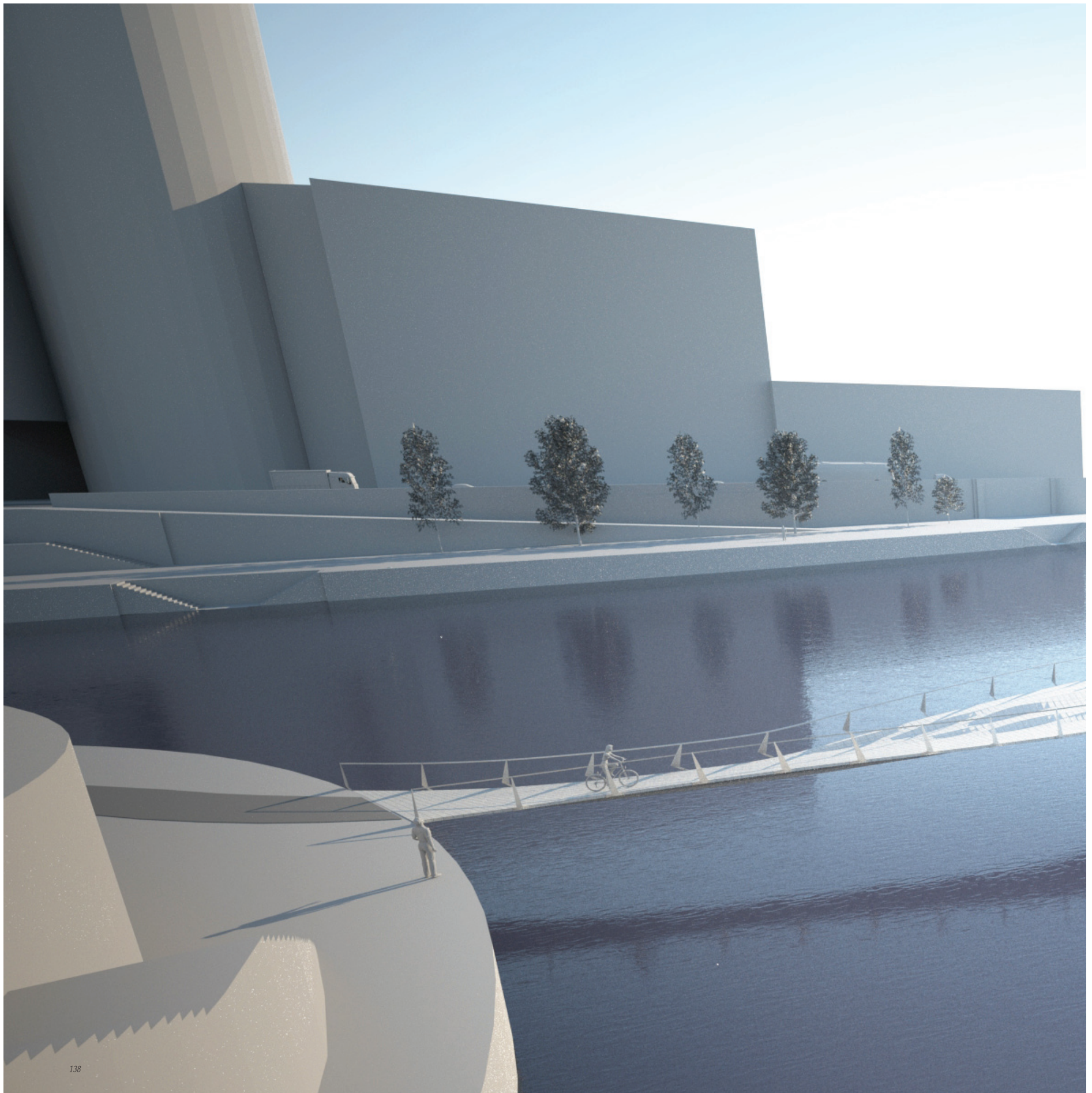


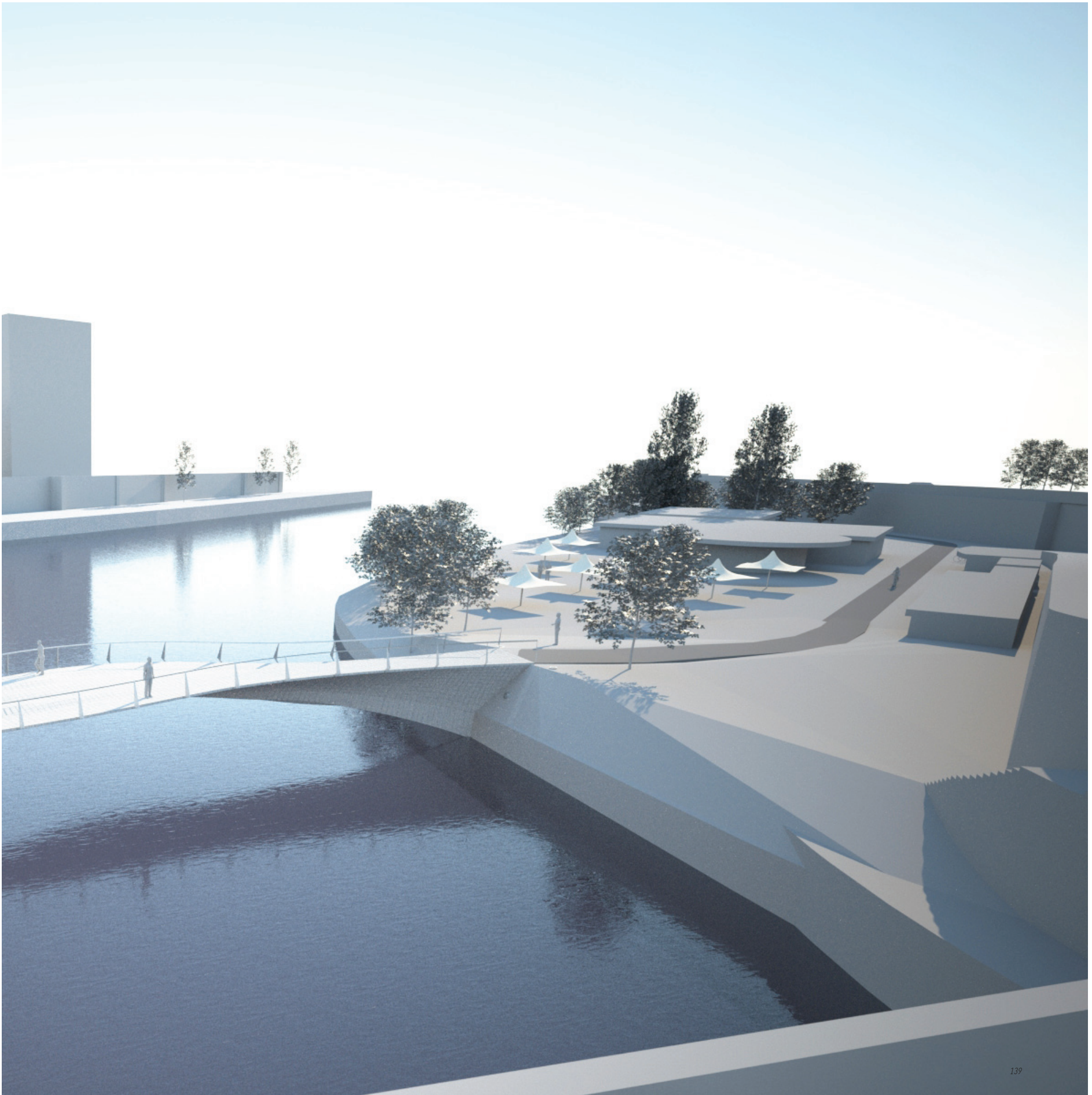


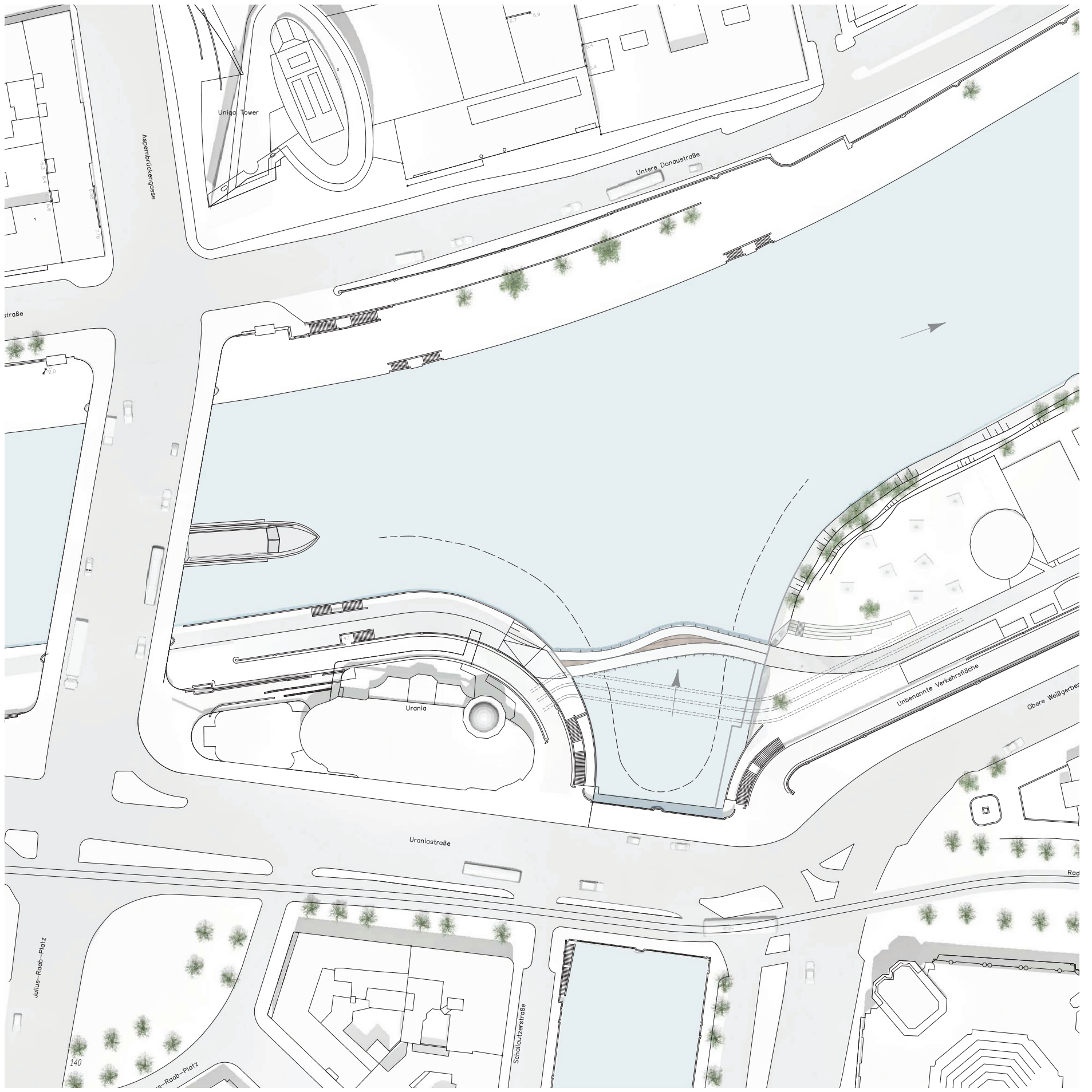












Unica Tower

Untere Donaustraße

Asperndickengasse

straße

Urania

Unbenannte Verkehrsfläche
Obere Weißgerber

Uraniastraße

Julius-Raab-Platz

140

Raab-Platz

Scharlauzerstraße

Rad



Connecting Link

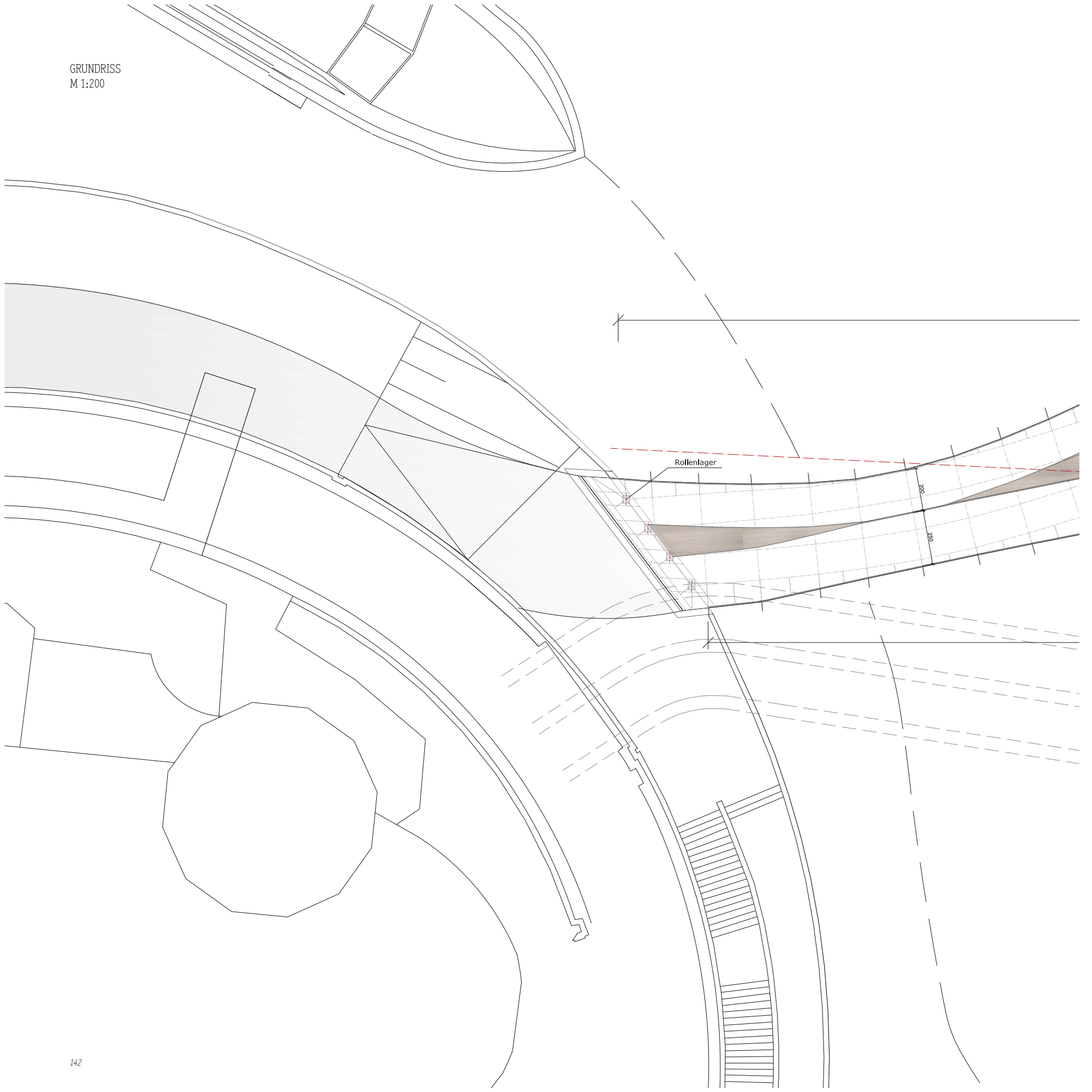
Konzepterweiterung

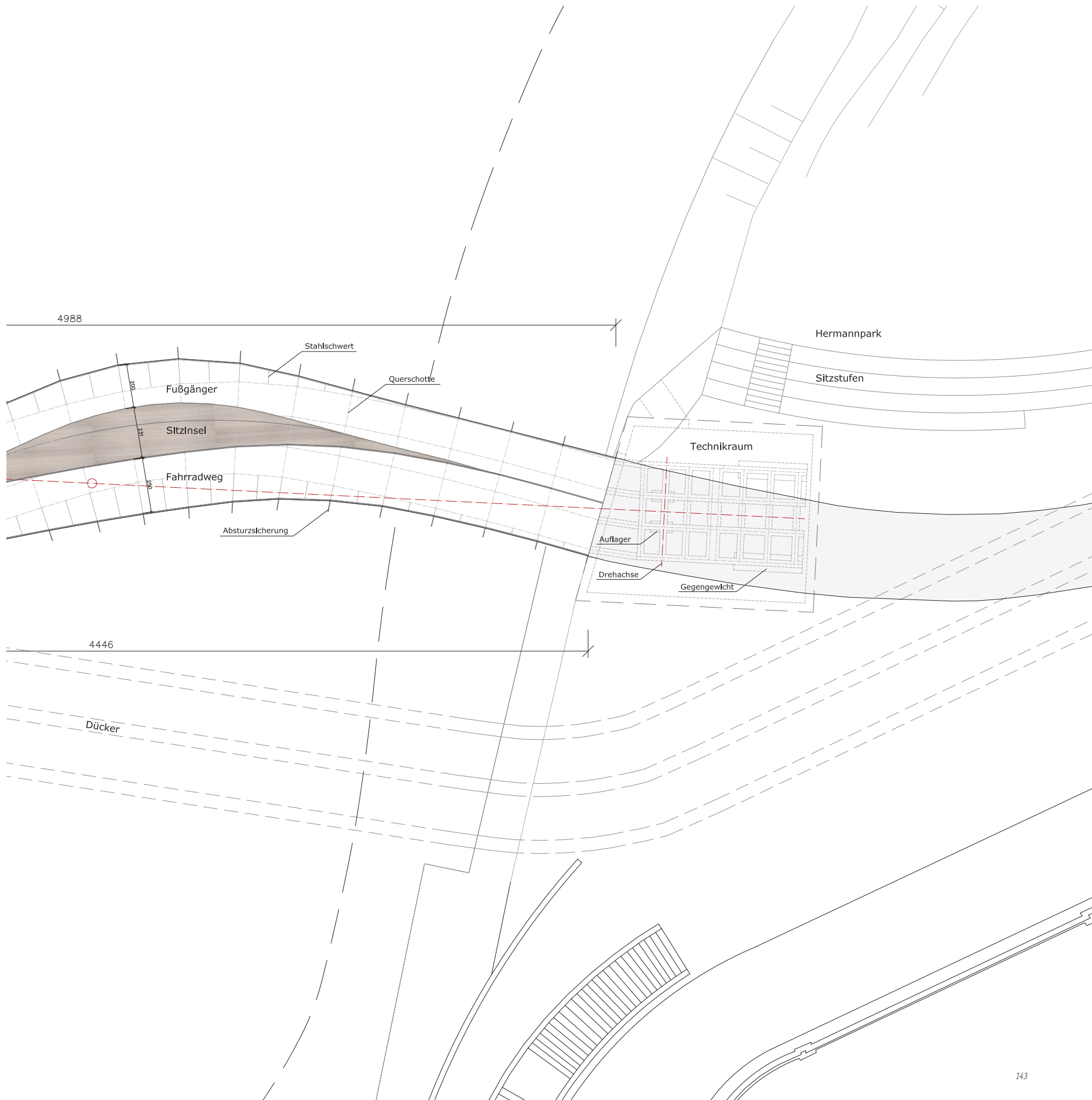
Durch Schaffung eines Kommunikationsraumes im Hermannpark in Form einer Freilufttribüne und einer attraktiven Parkgestaltung findet eine Aufwertung des bestehenden Areals statt. Der vom Radweg bestimmte Durchzugsraum wird durch Ruhezone vor und auf der Brücke entschleunigt. Die Sitzinsel auf der Brücke ermöglicht ein Verweilen in einer speziellen städtischen Situation über einer bewegten Wasserfläche und lässt durch ihre Großzügigkeit unterschiedliche Nutzungsformen zu.

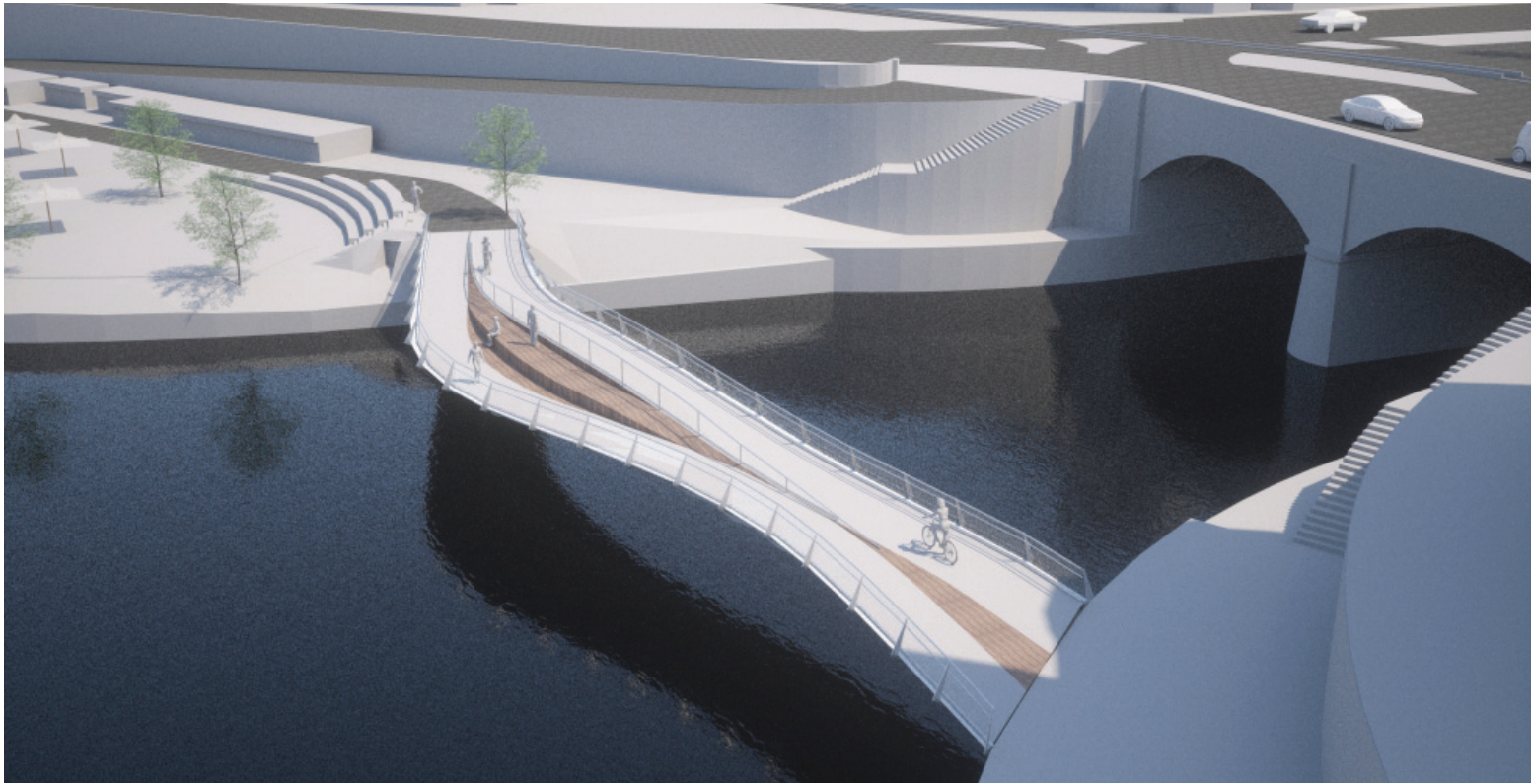
Formgebung

Hermannparkseitig nimmt die Brücke die Fließrichtung des Wienflusses auf und dreht sich im Grundriss in Richtung Donaukanal. Im restlichen Brückenverlauf werden die Uferkanten der Flussmündung durch einen Gegenbogen fortgeführt. Die Ansicht wird vor allem durch das Tragwerk und das Höhenspiel des Radfahrweges bestimmt. Dieser steigt zur Brückenmitte hin bis auf eine Höhendifferenz von 70cm gegenüber dem Fußgängerbereich an, welcher barrierefrei ausgeführt ist. Das Tragwerk (Raumfachwerk) folgt dem Höhenverlauf des Brückendecks, ist jedoch bei Tag nicht sichtbar, weil es durch eine weiße, transluzente Membran umhüllt wird. Diese ist einerseits durch das Erzeugen der Kontur, andererseits zur horizontalen Gliederung (Segmente) für das äußere Erscheinungsbild der Brücke unverzichtbar. Durch eine interne Beleuchtung wird die Tragstruktur an die Innenseite der Membran projiziert und so bei Nacht erlebbar.

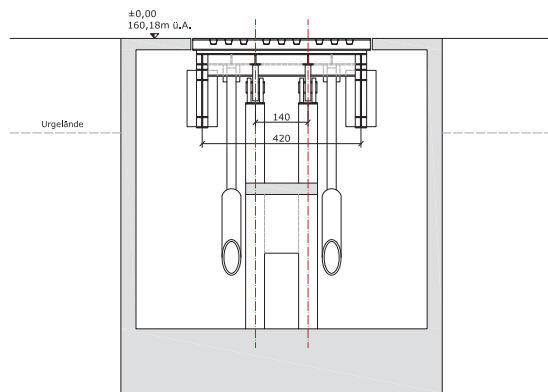
GRUNDRISS
M 1:200



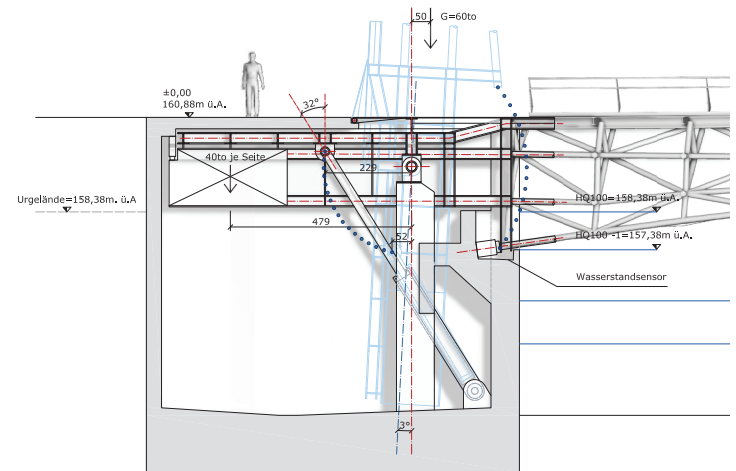


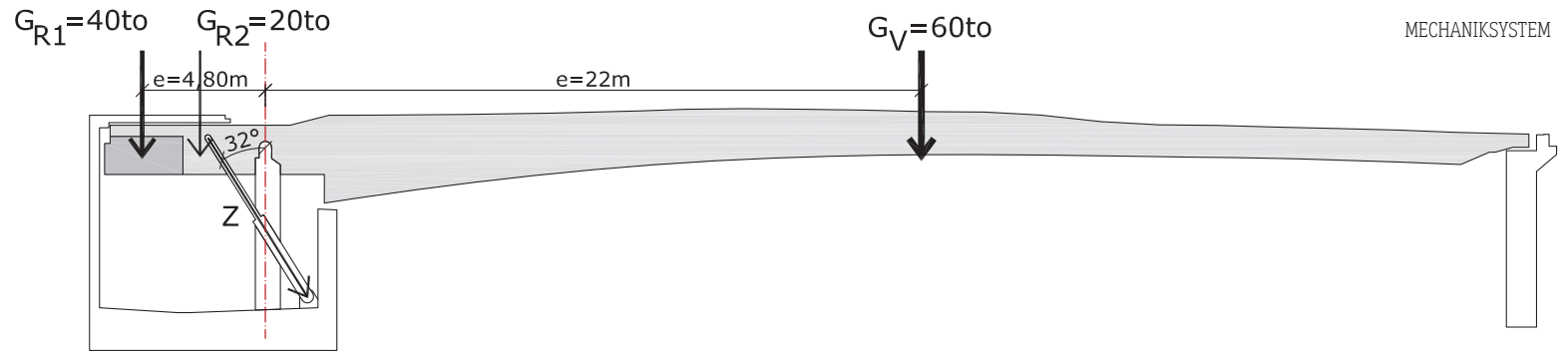


QUERSCHNITT DURCH AUFLAGER
M 1:200



LÄNGSSCHNITT
M 1:200

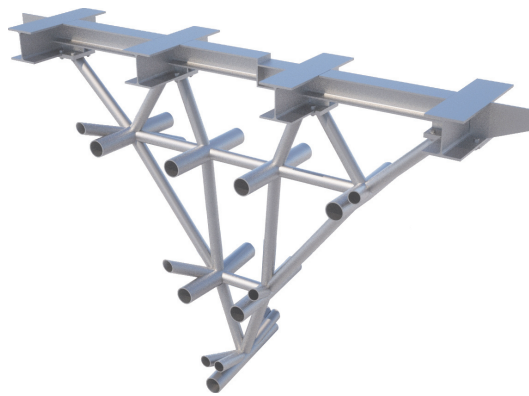




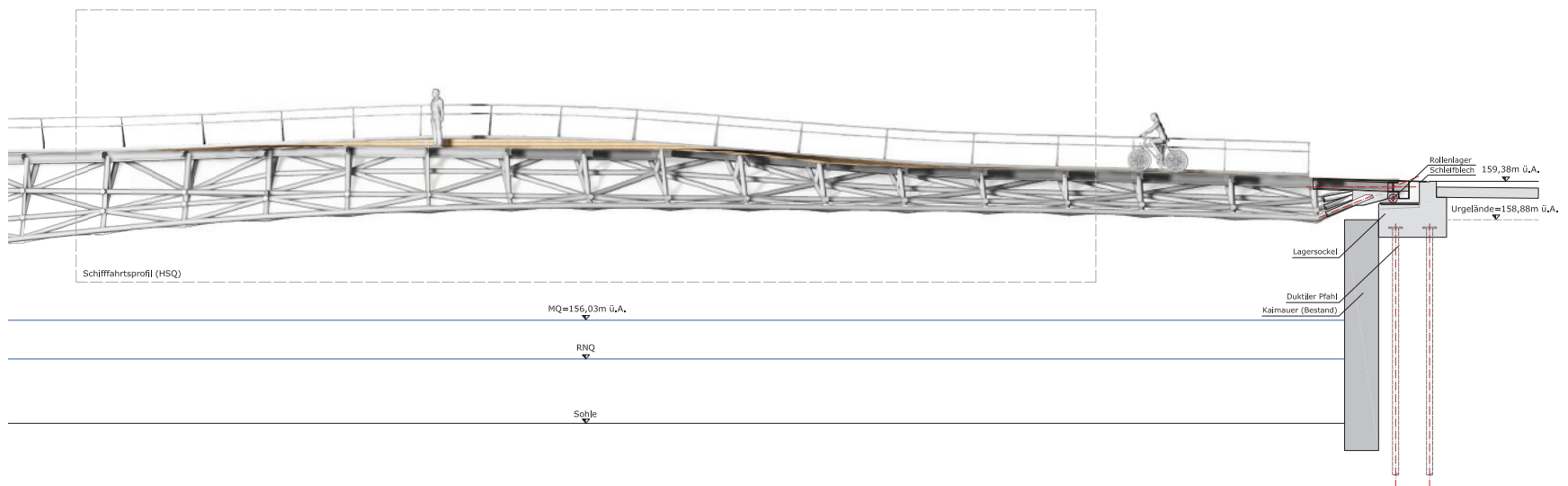
Mechanikkonzept

Als Konzept wird ein Klappmechanismus mit Hilfe eines Druckmittelgetriebes gewählt. Der Mechanismus besteht aus einer Drehachse auf der Seite des Hermannparks, die es ermöglicht, die Brücke über zwei symmetrisch zur vertikalen Drehachse angeordneten Hydraulikantriebe (=Kipphydraulik) zu kippen. Bei einem gewählten Kolbendurchmesser von ca. 400mm und einem Verhältnis der Ausladungs- zur Gegengewichtsstrecke von 8:1 sind Drücke von max. 20 MPa erforderlich, um auf der Seite des Gegengewichtes das notwendige Drehmoment zu erzeugen. Zur Verringerung des Kippmoments sind Gegengewichte von 40to je Hauptträger vorgesehen. Nach erfolgtem Klappvorgang wird die Brücke durch zwei weitere Getriebe in ihrer vertikalen Lage fixiert (=Fixierhydraulik).

KONSTRUKTIONSDetail



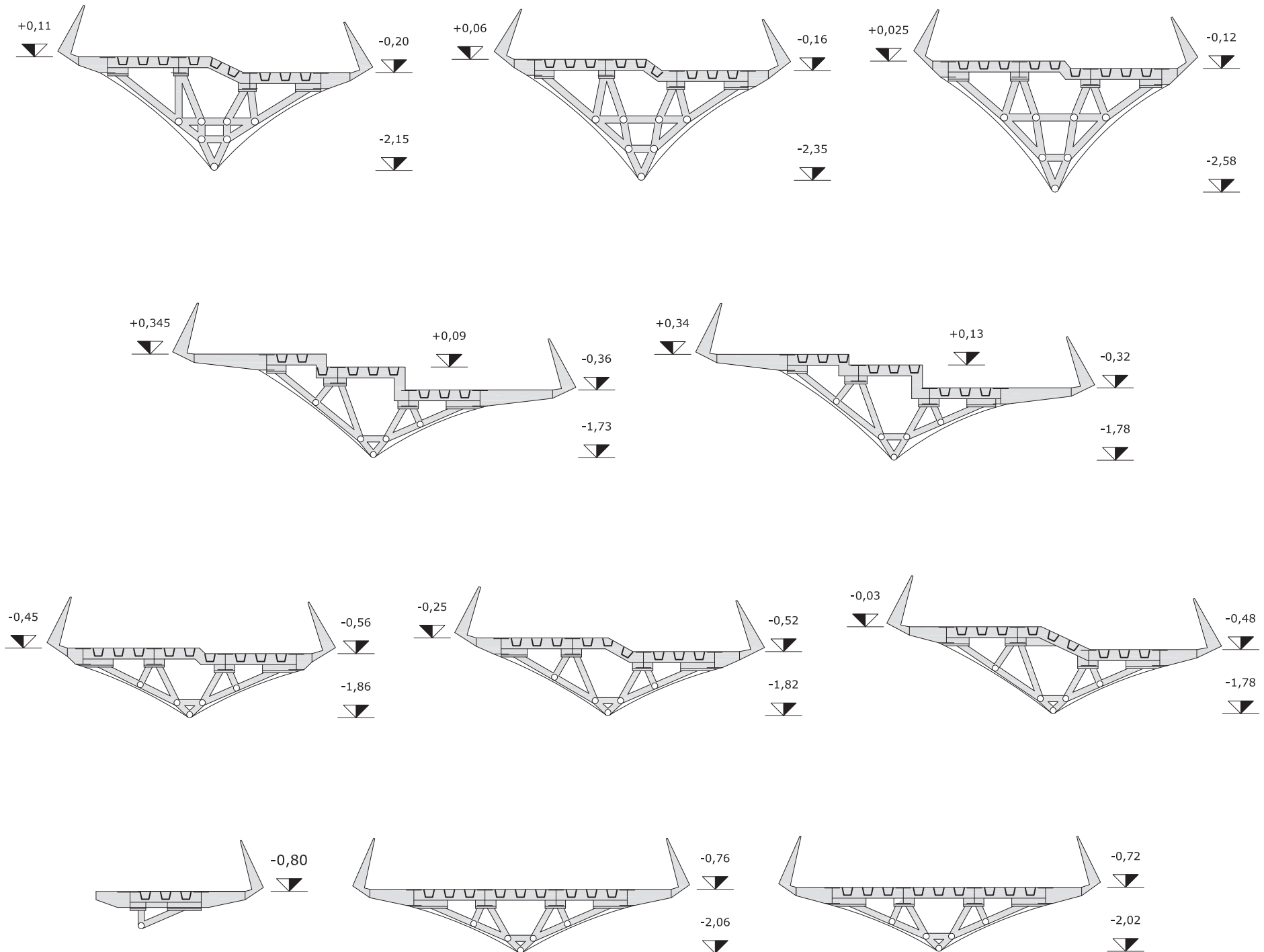
Zwei Hydraulikzylinder mit einem Kolbendurchmesser von ca. 200mm mit Drücken bis ca. 8 MPa im Bereich der Gegengewichte ermöglichen ebenso wie ein zentrisch zur Brückenachse angeordneter Zylinder mit Kolbendurchmesser von ca. 400mm und Drücken bis ca. 20 MPa im Bereich der Kaimauer das Fixieren des Tragwerks für den Arretierungszustand. Die Steuerung sowohl der Kipp- als auch der Fixierhydraulik erfolgt für die unterschiedlichen Kreisläufe zentral von einem Aggregat.

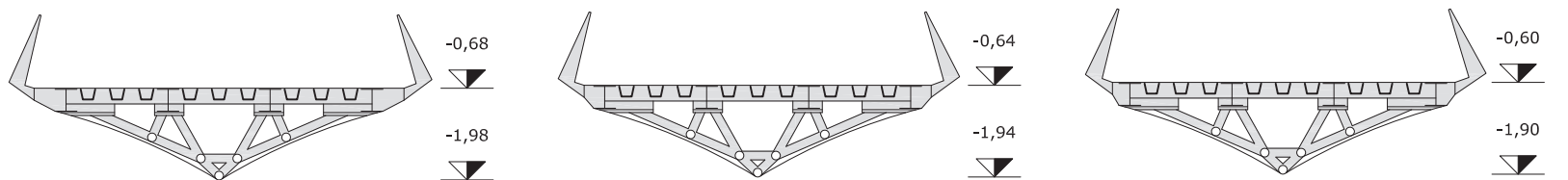
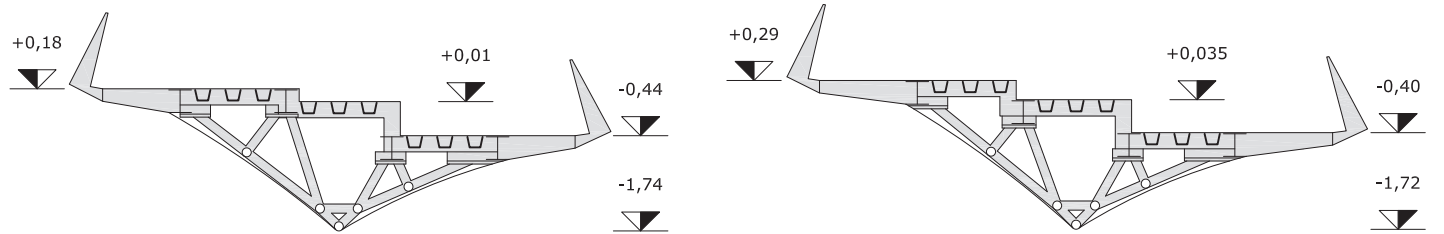
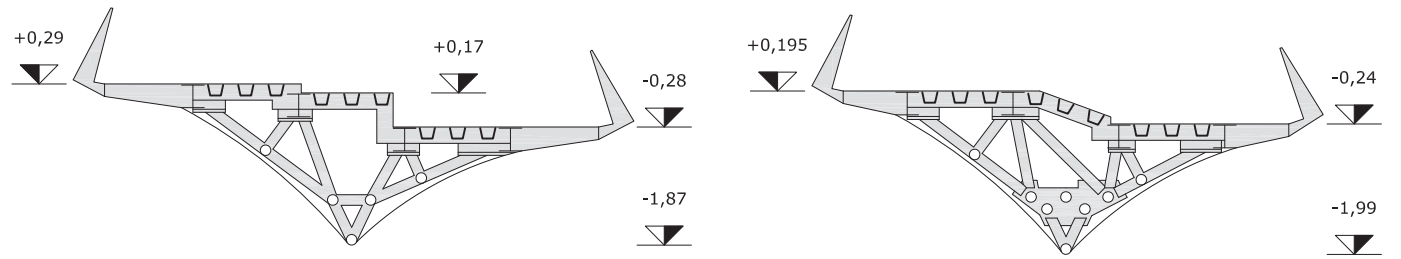
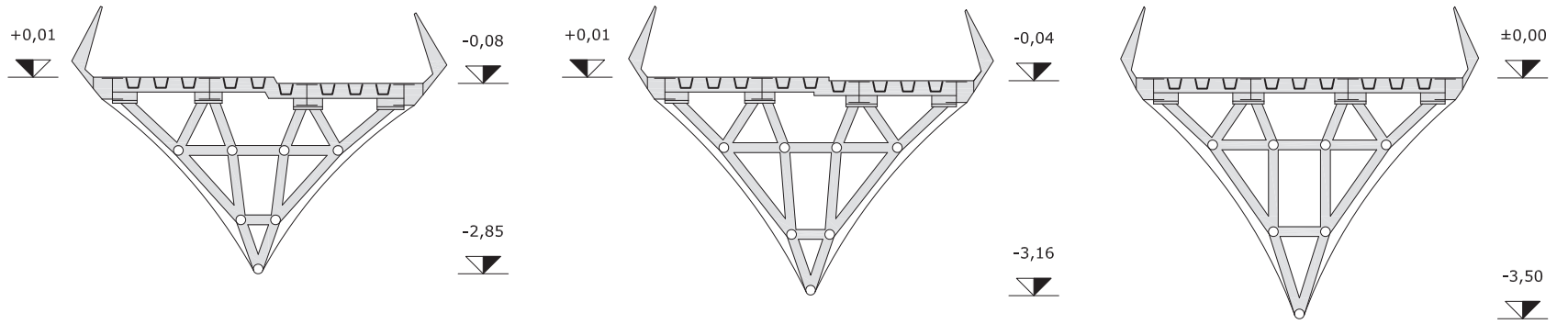


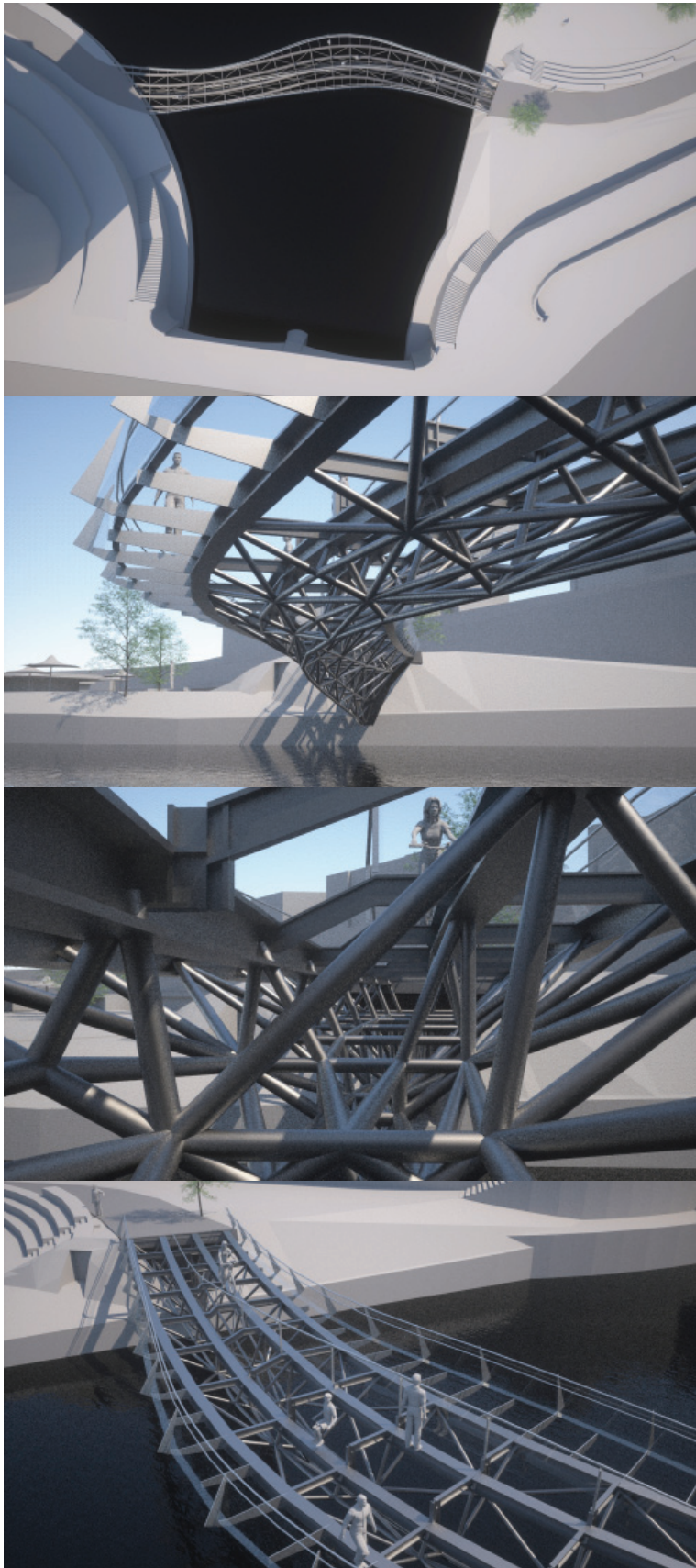
Brückenquerschnitte 1:200

Die automatisch generierten Systemquerschnitte mussten aufgrund des Konstruktionswechsels von einer Stahlplatten- zu einer Fachwerkskonstruktion umgezeichnet werden. Dieser Systemwechsel

wurde im Ingenieurbüro beschlossen, da die Fachwerkskonstruktion eine wesentliche Gewichtsersparnis gegenüber der Stahlplattenkonstruktion bedeutet. Außerdem ist eine Realisierung einfacher, da ein Fachwerk über einen dreidimensionalen Stabplan und einzelne Profizuweisungen mittels Roboter zu einem hohen Grad automatisiert hergestellt werden kann.







Montagekonzept

Das Tragwerk wird in zwei Teilen im vertikalen Zustand montiert. In einem ersten Schritt wird der Blechquerschnitt bis zur Drehachse im Hermannpark vormontiert, vertikal eingehoben und anschließend werden die hydraulischen Antriebe montiert. Im zweiten Schritt wird die Fachwerkskonstruktion ebenfalls auf der Baustelle vormontiert und anschließend als Gesamtkonstruktion mit einer Länge von 48m vertikal eingehoben und im Übergangsbereich mit dem Blechquerschnitt verschraubt.

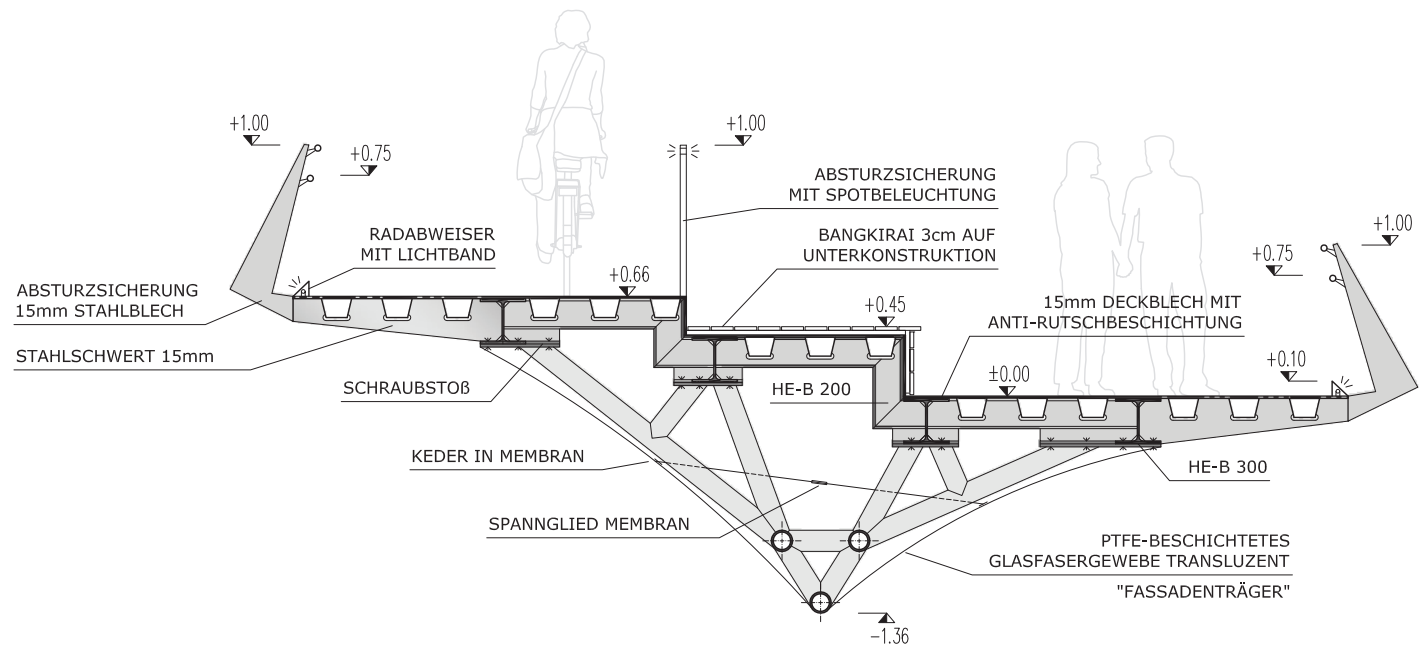
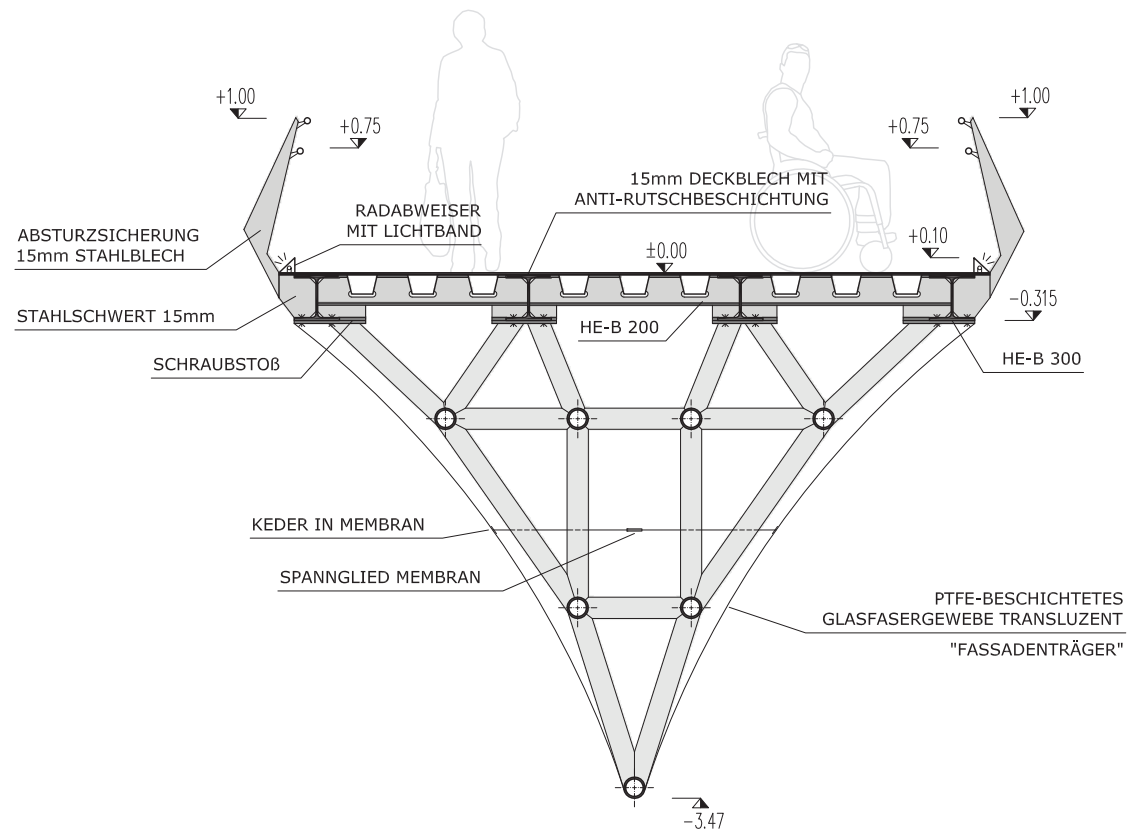
Sicherheitskonzept

Der Klappvorgang wird durch eine Ampelregelung (optisch) an beiden Tragwerksseiten sowie einer Sirene (akustisch) angekündigt. Ein installiertes Scansystem erkennt auf der Brücke verbleibende Passanten und kann den Kippvorgang stoppen. Zusätzlich zum Scansystem ist eine Videüberwachung installiert, die es ermöglicht, den Kippvorgang auf Bildschirmen zu verfolgen bzw. bei Notwendigkeit Räumungseinsätze anzuordnen. Uraniaseitig sind automatisierte und klappbare Barrieren sowie Absturzsicherungen vorgesehen. Sicherheitspersonal vor Ort ist nicht notwendig.

Beleuchtungskonzept

Zwei Lichtbänder im Bereich des Brückendecks sowie einzelne Lichtspots im fahrbahntrennenden Geländerbereich sorgen für eine adäquate Orientierung bei schlechten Sichtbedingungen. Die in den äußeren Radabweisern integrierten Lichtbänder betonen die dynamische Form der Brücke. In aufgeklapptem Zustand abstrahieren die Lichtstreifen die Brücke zu einem unverkennbaren Wahrzeichen. Durch das Beleuchten der Tragkonstruktion im Inneren der Brücke wird die Membranoberfläche ornamentiert, wodurch in moderner Form auf den historischen „Fassadenträger“ hingewiesen wird.

DETAILLSCHNITTE
M 1:50



Verformungsverhalten

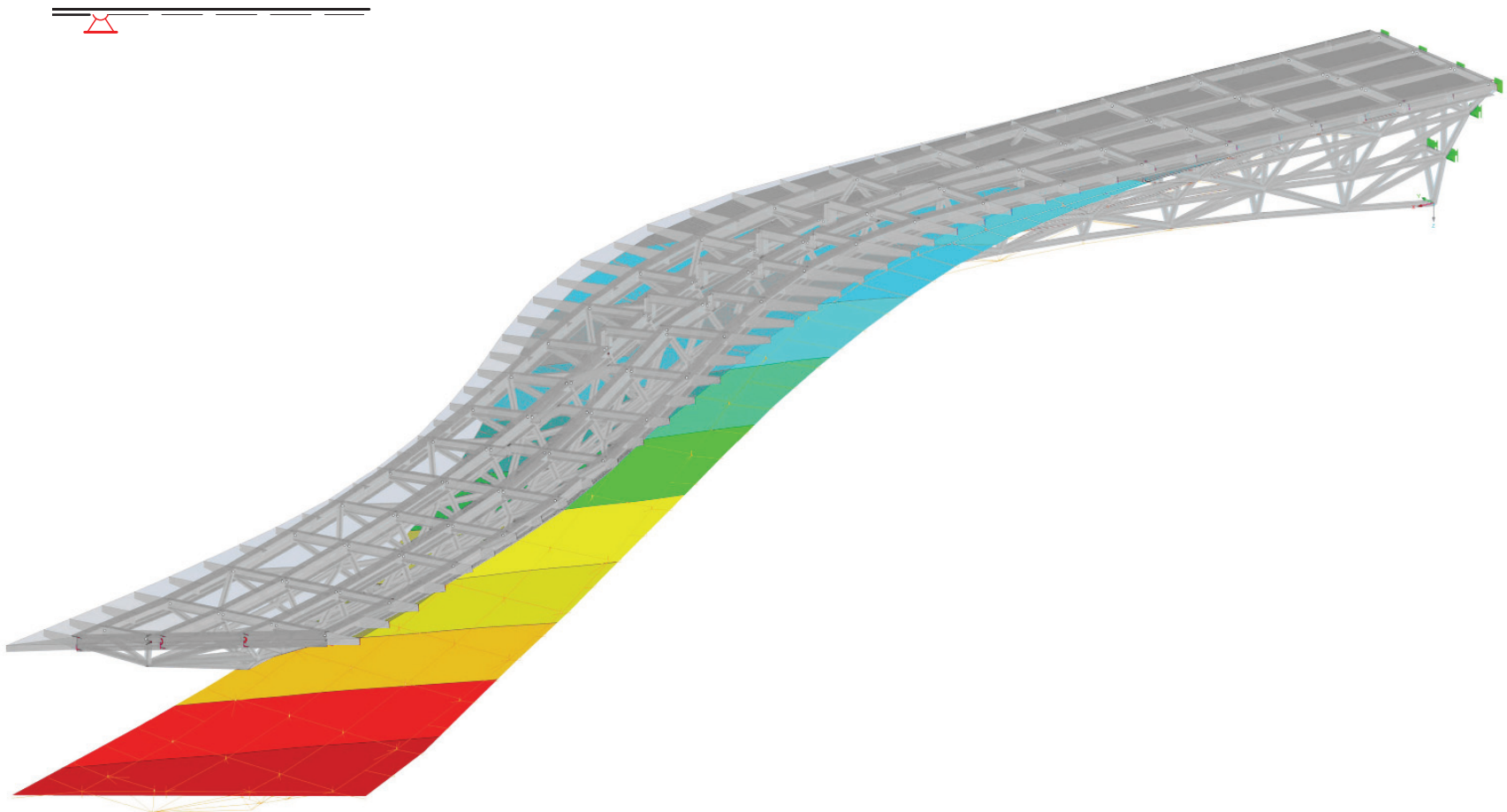
Die Brücke ist im Kippzustand als Waagebalken mit Gegengewicht wirksam. Das Kragverhältnis beträgt 8:1, wobei das Differenzmoment mit Hilfe eines Druckmittelgetriebes aufgebracht wird. Im völlig gekippten Zustand (87°) wirkt die Brücke als Skulptur, wobei hierfür eine zusätzliche mechanische Fixierung vorgesehen ist. Die seitlichen Windkräfte werden durch die Spreizung ($e=1,40\text{m}$) der beiden Drehachsen aufgenommen.

Im Arretierungszustand ist die Brücke als einseitig eingespannter Balken mit frei aufliegendem Ende konzipiert. Die Fixierhydraulik auf der Hermannparkseite ermöglicht die Aufnahme des Einspannmomentes. Die Gegengewichtslänge hinter der Drehachse beträgt ca. 6m und wird zur Gewichtssteigerung als geschweißter, vollwandiger Blechträger ($t=40\text{mm}$) ausgeführt. Die Brücke mit einer Länge von 48m wird als Fachwerkskonstruktion mit orthotroper Platte (Fahrbahnblech $t=15\text{mm}$,

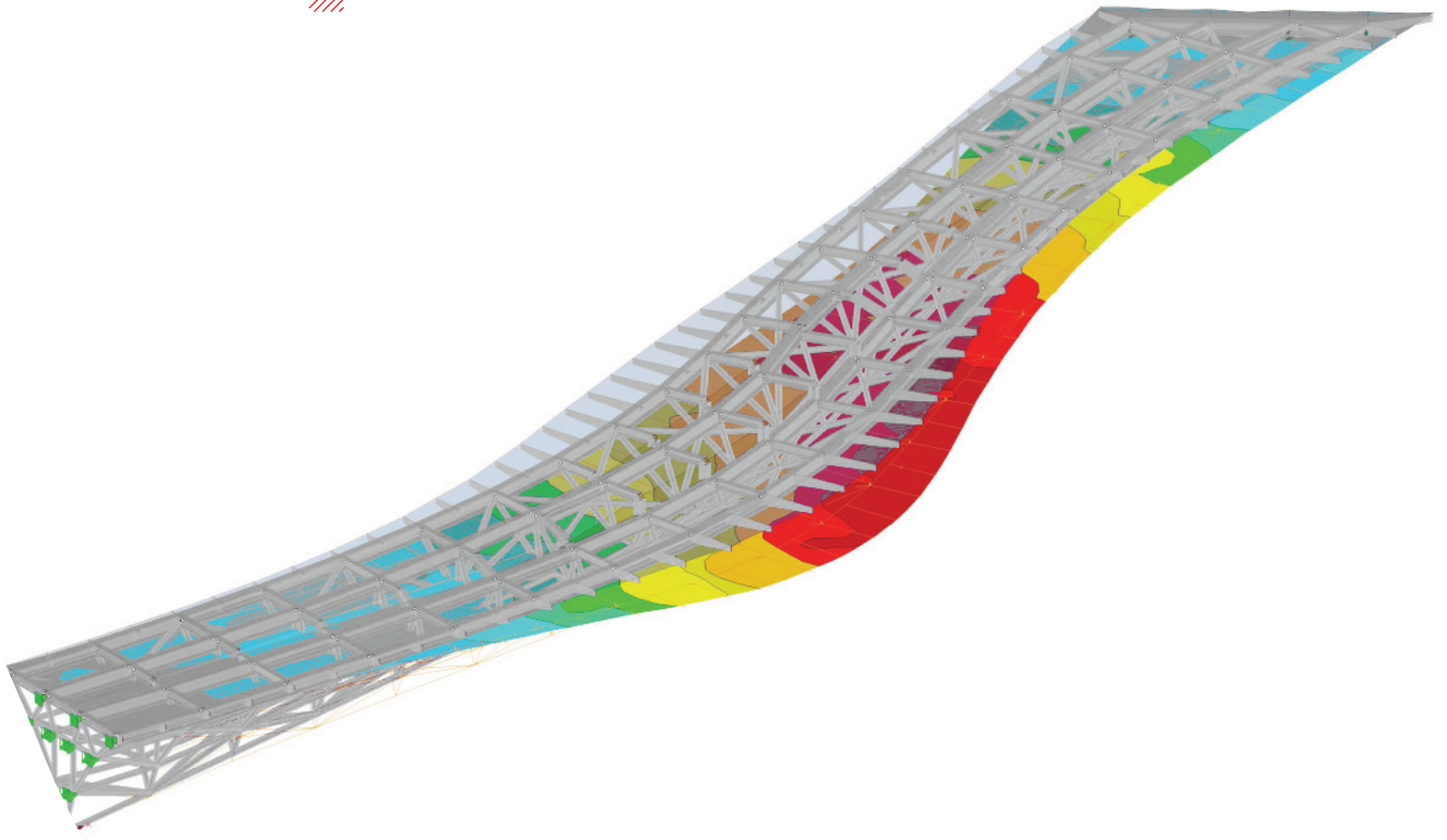
Längs- und Querrippen) ausgeführt. Die variable Fahrbahnbreite wird durch auskragende Blechschwerter erzeugt, sodass der Fachwerksobergurt mit einheitlicher Breite ausgeführt werden kann. Die Fachwerksstäbe werden aufgrund ihrer komplexen Knotengeometrie aus Rundrohren in Feldabschnitten von $e=2400\text{ mm}$ ausgeführt. Die Lagerung auf Seite der Urania wird als bewegliches Auflager ausgebildet. Damit können die Verformungen des Tragwerks im Öffnungs- und Schließvorgang zwängungsfrei aufgenommen werden.

Der Korpus der Fachwerkskonstruktion wird in Anlehnung an den historisch begründeten „Fassadenträger“ (Ohmann und Hackhofer) - "losgelöst von einer statisch determinierten Dimension" - von einer Membran umspannt. Die Membran wird an den Rändern geklemmt und mittels eines innenliegenden Spannseils in ihre konkave Form gebracht.

Kippzustand (A)



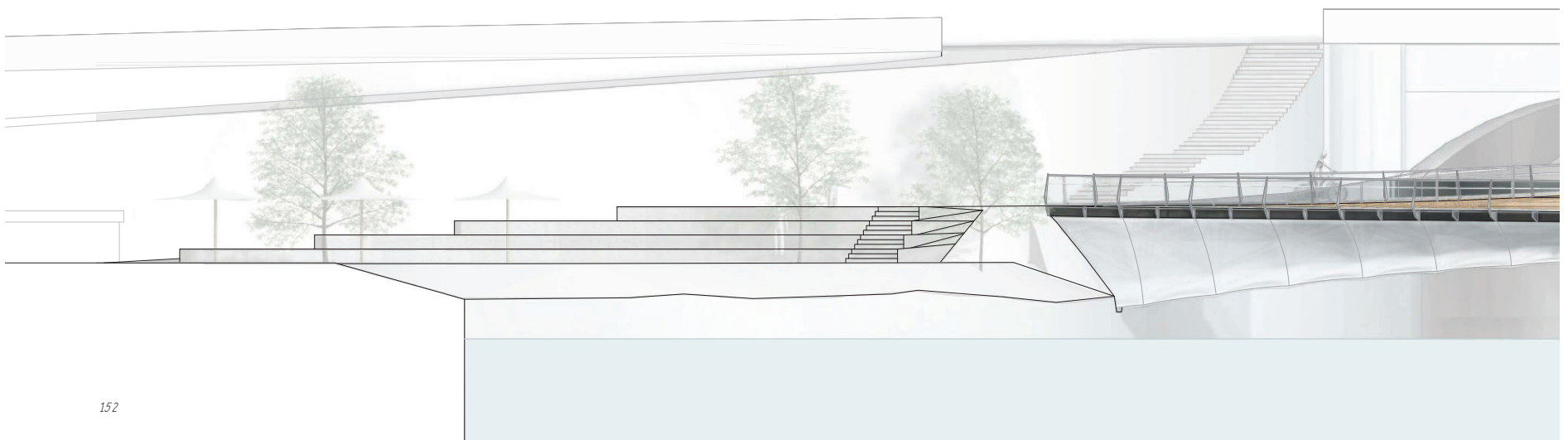
Arretierungszustand (B)

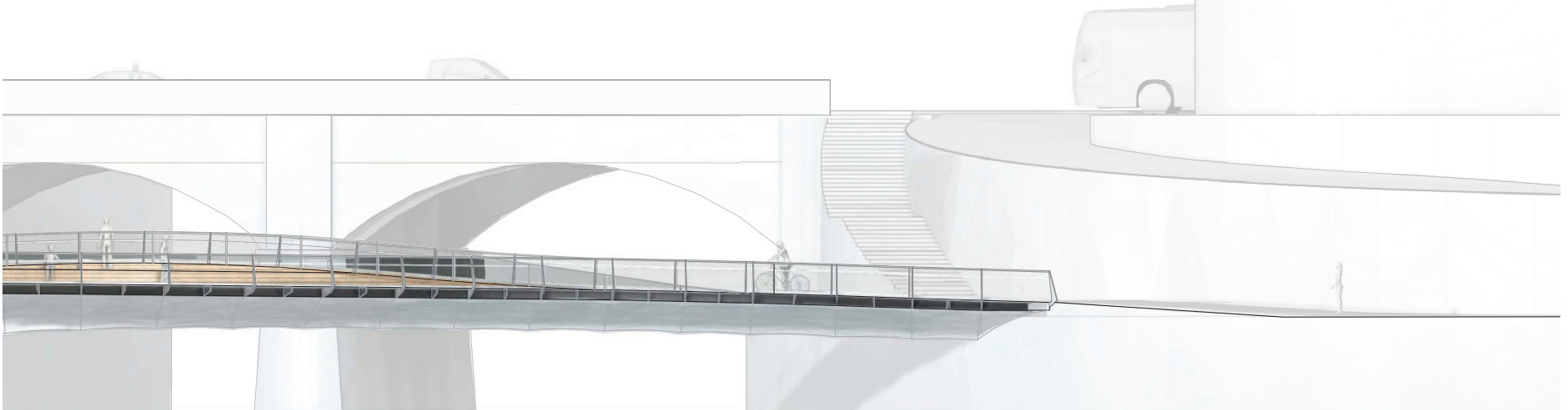
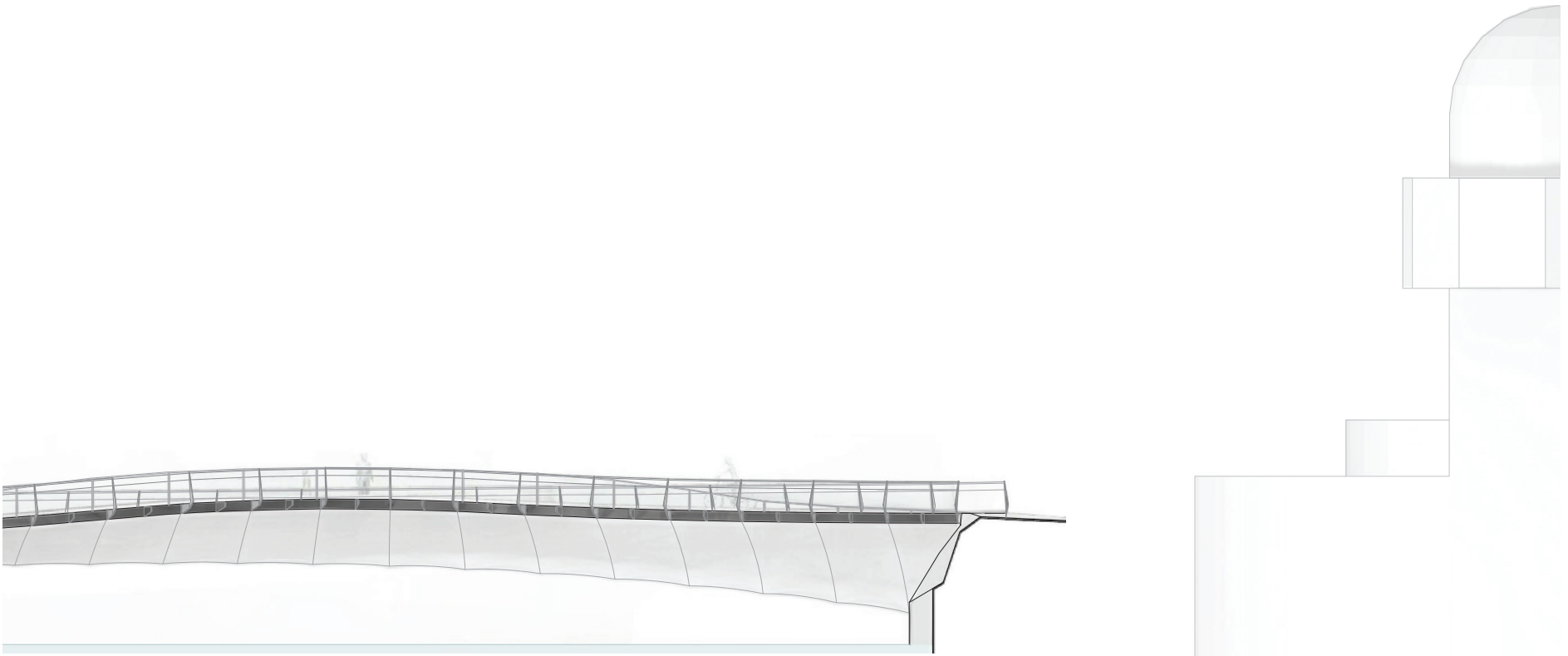


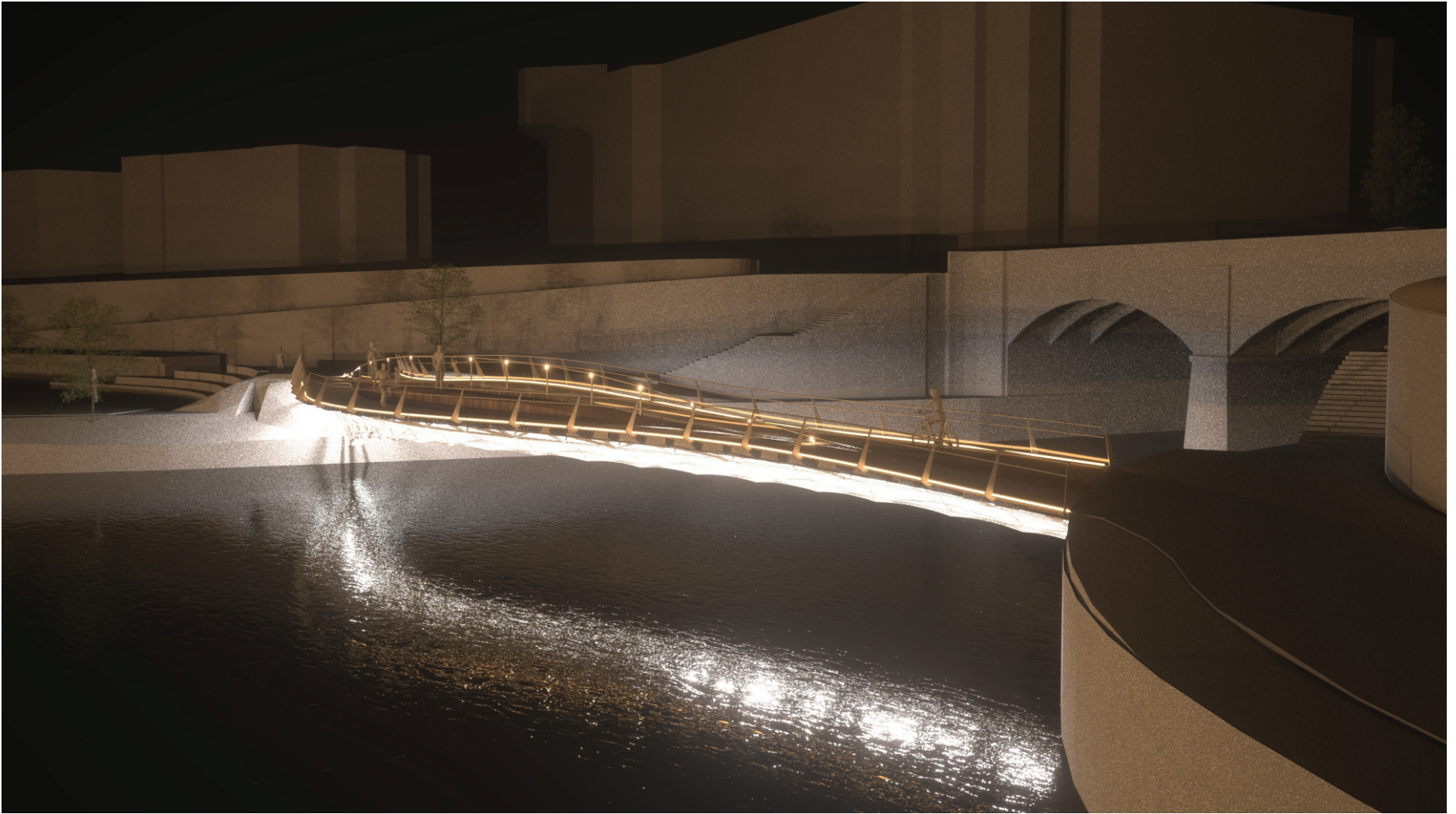
SÜD_ANSICHT
M 1:200

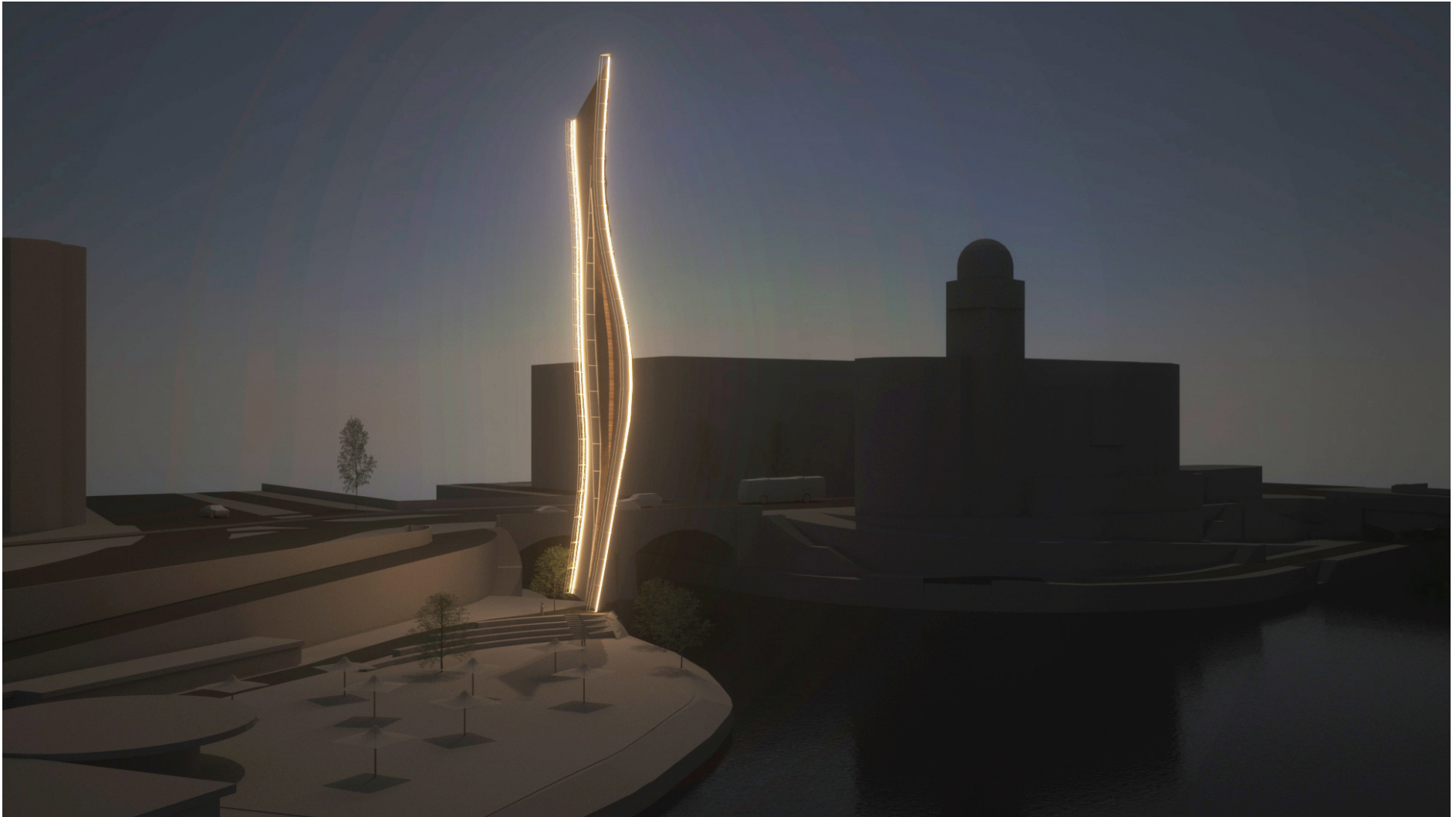


NORD_ANSICHT
M 1:200

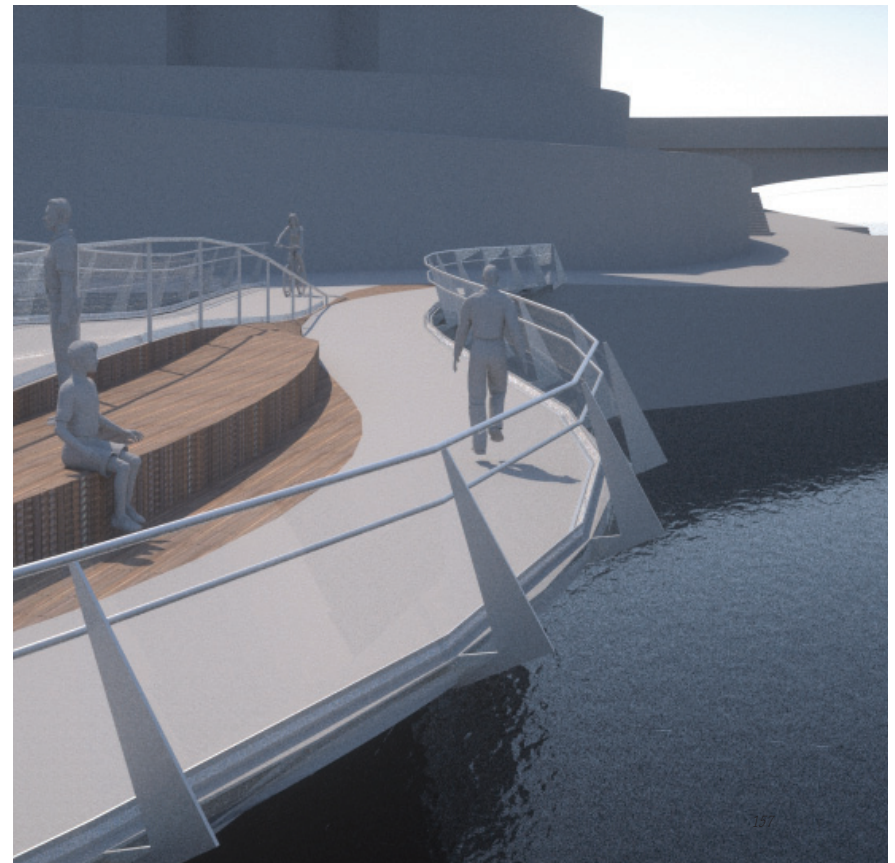
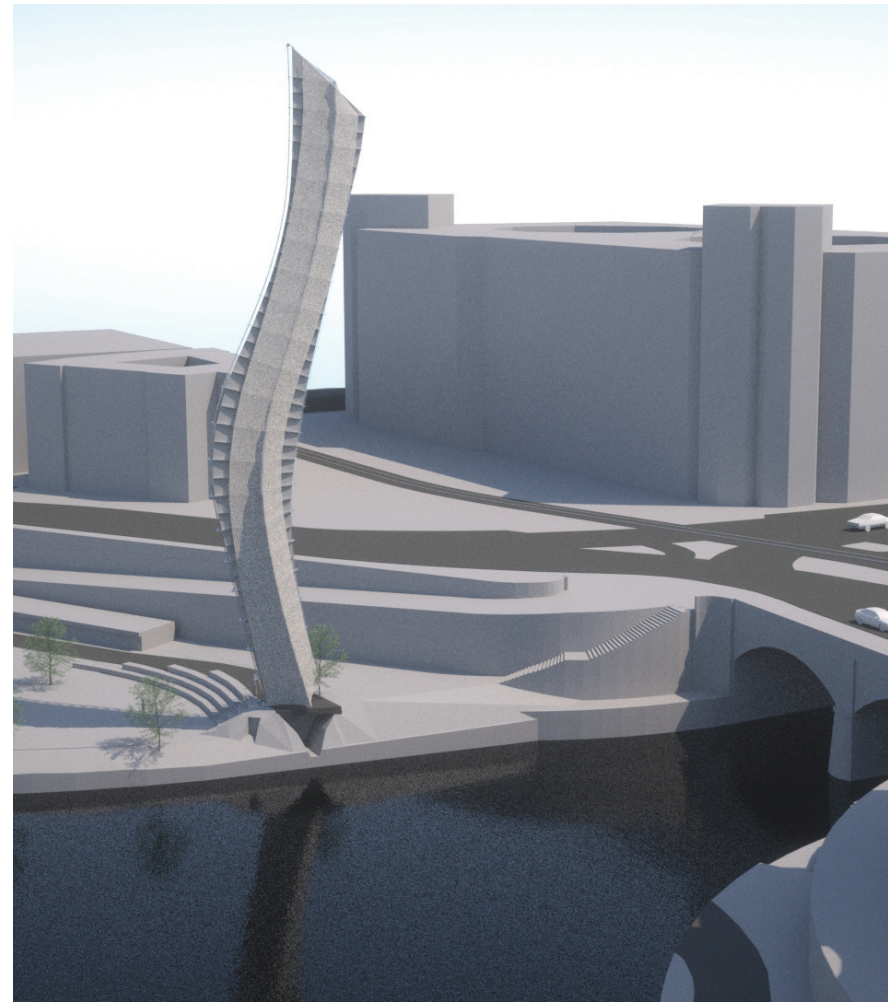
















Resümee

Grundsätzlich kann gesagt werden, dass die Auseinandersetzung mit dem gewählten Thema insofern eine besondere Herausforderung darstellte, als am Beginn der Diplomarbeitsphase noch nicht abschätzbar war, inwieweit ein Brückenentwurfsprozess, mit welchem intuitiv Variantenstudien erstellt werden können, parametrisierbar gemacht werden kann und letztlich auch sinnvolle Tragwerke für einzelne Entwurfsintentionen herauskommen können.

Wettbewerbe

Zunächst ist hervorzuheben, dass es sich im Rahmen der Beschäftigung mit dem Entwurfsthema als vorteilhafte Konstellation erwiesen hat, dass zwei Wettbewerbe mit nahezu identischen Aufgabenstellungen ausgeschrieben wurden. So dienten zum einen die Rahmenbedingungen des von der Vereinigung der Österreichischen Zementindustrie im März 2009 ausgeschrieben Studentenwettbewerbs "Concrete Student Trophy 2009" im Wesentlichen zur Parameterfindung sowie zur Entwicklung des Grundkonzepts des Entwurfsprozesses. Wenige Monate später konnte zudem im Zuge der Teilnahme an dem Realisierungswettbewerb "Connecting Link" der Stadt Wien im September 2009 eine praxisbezogene Verifizierung der Ergebnisse und Korrektur bzw. Weiterentwicklung des Prozesses stattfinden.

Zu den Erfahrungen aus den Wettbewerben muss im Hinblick auf den Brückenentwurf als "Königsdisziplin der BauingenieurInnen" bemerkt werden, dass aus der Sicht der BauingenieurInnen der Begriff der Innovation, wie er tendenziell von ArchitektInnen verstanden wird, vor allem aus Gründen der wirtschaftlichen Machbarkeit sehr nahe an jenem der Utopie zu liegen scheint und Brückenkonstruktionen sehr schnell als „Nonstandard“ deklariert werden. Dies fiel auch schon - trotz der positiven Reaktion der JurorInnen in Form eines Anerkennungspreises - beim Studentenwettbewerb auf. Generell wird mE nur allzu gerne auf bereits bewährte Systemlösungen zurückgegriffen.

Für die Teilnahme am Realisierungswettbewerb ergab sich die Möglichkeit zur Zusammenarbeit mit dem Ingenieurbüro "Structural Design Olipitz". Dabei stellte sich etwa beim Überprüfen der Ergebnisse heraus, dass einer der zwei eigens für die Vorbemessung entwickelten Korrekturfaktoren in manchen Fällen die Form zu extrem veränderte, sodass die Konstruktion ab dem zweiten Drittel an der Brückenspitze eine zu geringe Höhe aufwies. Aufgrund der spannenden Ästhetik, die sich aus einem eigentlichen Konzeptfehler ergab und das Tragwerk an die Grenzen der Machbarkeit brachte, wurde dieser Formvorschlag von den Ingenieuren jedoch nicht als unmachbar abgetan, sondern vielmehr wurde nach einer möglichen Lösung gesucht.

Eine der gravierendsten Änderungen, die im zweiten Wettbewerb aus Sicht des leitenden Ingenieurs Michael Olipitz relativ kurzfristig gemacht werden musste, war die Konstruktionsänderung von einer gedachten flächenhaften Stahlplatten- in eine Fachwerkkonstruktion, um die Gesamtkonstruktion leichter zu machen. Da die Zerlegung der gekrümmten Flächen in ein

Stabwerk wesentlich einfacher handhab- und herstellbar ist, ist mE das "Leichtermachen" nicht nur aufgrund des physischen Gewichts, sondern auch aus monetären Gründen geschehen.

Generell musste meinerseits in der Zusammenarbeit sowie in Gesprächen mit IngenieurInnen festgestellt werden, dass stets versucht wurde, das Originalsystem für die Berechnung extrem zu vereinfachen. Aus meiner Sicht geschah dies nicht zuletzt deshalb, weil eine komplexe Volumsgeometrie als Tragwerk in einer Statiksoftware praktisch schwer handhabbar und deren Eingabe unüblich oder zumindest mit einem extremen Aufwand verbunden ist. Aus diesem Grund konnte - fernab der Diskussion rund um die Machbarkeit - mein Ziel, die originale Geometrie als tragfähiges Volumen exakt zu überprüfen, nicht erreicht werden.

Prinzipiell hat sich im Rahmen der beim Realisierungswettbewerb durchgeführten Überprüfung einer komplexeren Geometrie herausgestellt, dass mit dem entwickelten Entwurfstool außerordentlich brauchbare Brückentragwerke generiert werden können, solange diese keine "Extremstverformungen" annehmen. Dies bedeutet, dass die Berechnungsergebnisse umso ungenauer werden, je verzerrter die Geometrien sind. Da die Brückengeometrie laut Konzept durch wenige signifikante Schnittprofile und eine überschaubare, möglichst regelmäßige geordnete Anzahl von Punkten definiert wird, konnten die Ergebnisse außerordentlich einfach und schnell in anderen Softwareprogrammen weiterverarbeitet werden. In der Praxis hat sich die Parametrisierung des Entwurfes als extremer Vorteil herausgestellt, da etwa laut Ansicht der Ingenieure beispielweise die vom "Entwurfstool" vorgeschlagene Brückenhöhe sogar verringert werden konnte, wobei diese Änderung letztlich nur mit der Änderung einer Zahl verbunden war und der Entwurf somit durch einen geringen Aufwand innerhalb von einer Minute neu generiert werden konnte.

Brückengenerierungsprozess

Zum Brückengenerierungsprozess als Hauptteil dieser Arbeit ist anzumerken, dass in der Entwicklungsphase immer wieder Entscheidungen getroffen werden mussten, die die Möglichkeit einer Vielzahl an unterschiedlichen Ergebnissen zu einem variierbaren Lösungstypen eingeschränkt haben. So mussten insbesondere aus konstruktions- bzw. materialspezifischen Gründen oder auch einem unverhältnismäßig hohen Arbeitsaufwand sowie mangelnden Scriptingkenntnissen die Entscheidungsfreiheiten im Entwurf zugunsten eines sinnvollen weiterverarbeitbaren Ergebnisses stark begrenzt werden. Innerhalb dieser eingeschränkten Möglichkeiten lassen sich unterschiedlichste Variationen des parametrisierten Grundtypus erzeugen, wobei diese als gleichwertig zu betrachten sind. Dies bedeutet, die Variierbarkeit wurde nicht geschaffen, um einen optimalen Entwurf generieren zu können, sondern um viele einzelne Varianten, die sich aufgrund ihrer gemeinsamen Entstehungsprozessgeschichte in ihrem Erscheinungsbild und ihren Qualitäten ähneln, erzeugen zu können.

In diesem Kontext kann auf die Ansicht von Greg Lynn verwiesen werden, der sich zu den Entwurfsstudien seiner "Embriological Houses" dergestalt äußerte, dass er diese Häuser ähnlich wie seine Kinder betrachten und keines von ihnen bevorzugen würde.¹⁸⁰

Als einer der größten Nachteile bei der Entwicklung von Prozessen mit "Mashup-Tools" hat sich herausgestellt, dass in der Vernetzung der Module keine Schleifenbildungen möglich sind. Dementsprechend ist an dieser Stelle insbesondere darauf aufmerksam zu machen, dass es zum Beispiel nicht möglich ist, dass ein Modul einen Wert an ein zweites Modul weitergibt und das zweite Modul den bearbeiteten Wert über seinen Ausgang wieder zurück an den Eingang des ersten Moduls gibt. Schleifen sind nur innerhalb der einzelnen Scripts möglich. Dazu tritt häufig noch das Problem, dass die Ein- und Ausgänge eines Moduls immer erst nach Ablauf des internen Scripts aktualisiert werden. Diese Eigenschaften erschweren insgesamt die Zerlegung des Prozesses in einzelne Module.

Trotz der genannten Schwierigkeiten ergibt sich in Hinblick auf den Entwurfsprozess bei der Verwendung von Mashup-Systemen mE der größte Vorteil in der Möglichkeit der Organisation eines flexiblen, offenen Prozesses über die Vernetzung einzelner Funktionsmodule zu einem gesamten Entwurfssystem. Die einzelnen Module können dabei nicht nur verändert bzw. erweitert, sondern auch in anderen Kombinationen für die Generierung neuer Entwürfe verknüpft werden. In diesem Zusammenhang kann etwa das Steigungskorrektur-Modul angeführt werden, welches mit Sicherheit nicht nur für die Bewertung und Korrektur von Brückenwegen einsetzbar ist. Weiters können die genannten Schaltungen besonders in Animationssoftwareprogrammen mit zahlreichen Simulationstools und Plugins zusammengeschaltet werden.

Meines Erachtens könnte der/die "ArchitektIn der Zukunft" im Laufe seiner/ihrer Auseinandersetzung mit dieser Art von Modulen ein Repertoire an individuellen Plugins entwickeln, die im Entwurfsprozess immer wieder verwendet werden können, wodurch aus den vernetzten Funktionsfragmenten eine eigene "Handschrift" resultieren könnte. Diese lässt sich jedoch einfach kopieren. So hat Helmut Schober die letzte Brückenvariante für den Wettbewerb "Connecting Link" mittels des in dieser Arbeit entwickelten Entwurfstools generiert, sodass diese mit meiner "Handschrift" entworfen wurde.

Ästhetik der Ergebnisse

Einer der interessantesten Aspekte bezüglich der ästhetischen Erscheinung der generierten Brückengeometrien war das in Zusammenhang bringen von Ansicht und Grundriss der Konstruktion, das vor allem über die eigens entwickelten Korrekturfaktoren hergestellt und eben durch eine Fehleingabe besonders stark sichtbar wurde. So nimmt die Brückenkuratur in der Ansicht nicht etwa den klassischen Momentenverlauf in Form einer Parabellinie an, sondern verbeult beziehungsweise verformt sich aufgrund der Wegbreitenänderungen im Grundriss (siehe Grafik S.104)- da sich ja die Widerstandsmomente, das Eigengewicht etc. an dieser Stelle ändern und dadurch ein konstanter Brückenquerschnittsverlauf tendenziell nicht sinnvoll ist.

Generell kann man mE bezugnehmend auf Jörg Gleiter (S.41) die gesamte Brückenform als modernes Ornament betrachten, da diese ihrer Gestalt nach auf den digitalen, virtuellen Entstehungsprozess hinweist. Je nachdem, wieviele der einzelnen Funktionen in der Entstehung angewendet

wurden, umso besser kann am Endergebnis der Entstehungsprozess bzw. der Hinweis auf eine digitale Generierung abgelesen werden.

Zusammenfassend

Wie bereits im allgemeinen Teil festgestellt wurde, kann gesagt werden, dass die aktuelle Diskussion bezüglich des Einsatzes digitaler Entwurfsmethoden in der Architektur in die Richtung einer Entwicklung von leistungsoptimierten, effizienten Bauteilen bzw. Architekturen und der Bildung einer lückenlosen digitalen Planungskette, die von der Entwurfs- bis zur Ausführungsphase reicht, geht. Vor diesem Hintergrund lässt sich auch die vorliegende Arbeit in ihrer Grundmotivation und Haltung einordnen. Jedoch wurde versucht, den Begriff der Effizienz und die alleinige Fokussierung auf das Brückentragwerk über die Gestaltung eines offenen Prozesses, in dem verschiedene Aspekte einfließen können, etwas zu relativieren. Dies bedeutet, dass das Erreichen eines optimierten Tragwerkes nicht primär im Vordergrund stand, sondern ein Vorschlag für eine wahrscheinlich sinnvolle Brückenkonstruktion unter Berücksichtigung unterschiedlichster Parameter geliefert werden sollte. Dies geschah nicht zuletzt aufgrund der Überzeugung, dass bei einer starren Zielsetzung und den knappen Beurteilungskriterien des Computers viele möglicherweise aus anderen Aspekten interessantere Lösungen ausgeschlossen werden könnten. Aus diesem Grund werden dem/der BenutzerIn auch alle Ergebnisschritte zugänglich gemacht, damit dieser/diese nicht gezwungen wird, die vom Rechner als am geeignetsten beurteilte Brückengeometrie weiterverarbeitet zu müssen, sondern aus unterschiedlichsten Gründen eine andere Variante bzw. Entwicklungsstufe zur Weiterverarbeitung wählen kann. Demzufolge wurde insgesamt ein Vorschlag bzw. eine Idee formuliert, wie ArchitektInnen in Zukunft in ihren Entwürfen mittels digitaler Methoden das Tragwerk als Teil eines komplexen Formfindungsprozesses in den Entwurfsprozess integrieren könnten.

Abschließend kann festgestellt werden, dass das entwickelte Entwurfstool sehr weit und brauchbar von der Formfindungsphase bis zur Übergabe der erzeugten Geometriedaten in eine andere CAD-Software in den Entwurfsprozess eingebunden werden konnte. Da mit diesen neuen digitalen Entwurfstools nach wie vor Ideen aus den 1970er Jahren mit relativ großem Zeitaufwand realisiert und für sinnvolle Ergebnisse in der Regel umfangreiche Basiskenntnisse benötigt werden, möchte ich hinsichtlich einer zukünftigen Standardisierung der generierten Architekturen und der praktischen Alltagstauglichkeit dieser Entwurfstools im Planungsprozess mit Vannevar Bushs Worten schließen: *„that day is not yet here,“* und um die Spannung weiter aufrecht zu erhalten *„but has come far closer...“*¹⁸¹.

180 Greg Lynn im Interview mit Ingeborg Rocker, Zeitschrift, Architectural Design, Programming Cultures, July/August 2006, Wiley Academy, S.92.

181 Michael Friedewald, Der Computer als Werkzeug und Medium, Verlag für Geschichte und Naturwissenschaften und der Technik, Berlin, Diepholz 1999, S.69

Abbildungsverzeichnis

Im Folgenden werden ausschließlich Abbildungen aus externen Quellen angeführt. Die restlichen Abbildungen wurden entweder mit der eigenen Fotokamera aufgenommen oder mit unterschiedlichen Studentenversionen von Softwareprogrammen wie Autocad, Cinema4d, Photoshop erzeugt. Die Grafiken auf Seiten 32 (Abb. 24-24) und 34 (Abb. 26) sind im Zuge des Seminars Simulationstechnik (2007/2008) am Institut für Architektur und Medien an der TU-Graz entstanden. Die Verformungsbilder auf den Seiten 150 und 151 wurden mit der Software RFEM im Büro "Structural Design Olipitz" angefertigt. Die Ruckzuckgrafik auf Seite 64 oben wurde an der Technischen Universität Graz am Institut für Tragwerksentwurf erzeugt.

Abbildung 2: "Entwicklungsgeschichte des Computers", Edgar Vordran, 1982, VDE-Verlag GmbH, Berlin und Offenbach, S.66.

Abbildung 3: Ebd.,S.91 .

Abbildung 4: Ebd.,S.79

Abbildung 5: "Der Computer als Werkzeug und Medium", Michael Friedewald, Verlag für Geschichte und Naturwissenschaften und der Technik, Berlin, Diepholz 1999, S.5.

Abbildung 6: Ebd., S.85.

Abbildung 7: Ebd., S.104.

Abbildung 8: "The Force is in the mind: The making of Architecture", Elke Krasny, Architekturzentrum Wien, Birkhäuser, 2008, S.165.

Abbildung 9: "The Architecture Machine", Nicholas Negroponte, The MIT Press Cambridge, Massachusetts, 1970,S.18.

Abbildung 10: "The Logic of Architecture: Design, Computation, and Cognition", William J Mitchell, The MIT Press Cambridge, Massachusetts, 1990, S.153.

Abbildung 11: Ebd. S.170

Abbildung 12: Georg Nees - Generative Computergrafik, 1. Auflage 1969, Verlag: Siemens Aktiengesellschaft Berlin München, by Siemens Aktiengesellschaft, Bild 38, S.14.

Abbildung 13: Ebd., S.242.

Abbildung 14: <http://www.imachination.net> (07.03.2010)

Abbildung 15: <http://mysite.pratt.edu/~llauro/cg550/nake.jpg> (07.03.2010)

Abbildung 16: "Formel, Farbem Form", Georg Nees, Springer Verlag, 1. Auflage 1994, S.252.

Abbildung 17: "Ästhetische Probleme der Architektur unter dem Aspekt der Informationsästhetik", Manfred Kiemle, Verlag Schnelle Quickborn, Deutschland, 1967, S.65

Abbildung 18: Ebd., S.69.

Abbildung 19: "The Engineering Design Revolution", David E. Weisberg, e-Book 2008, <http://www.cadhistory.net> (28.02.2010).

Abbildung 22: <http://www.dma.ufg.ac.at/app/link/Grundlagen:3D-Grafik/module/13444?step=all>.

Abbildung 25: "Animate Form", Greg Lynn, Princeton Architectural Press New York, 1999. S.91.

Abbildung 31: <http://wiki.mcneel.com/labs/explicithistory/home>, (Stand 17.03.2010).

Abbildung 32: <http://www.alexhogrefe.com/blog/2009/6/8/multi-object-orientation-grasshopper-script-2.html> (Stand 17.03.2010).

Abbildung 33: <http://www.grasshopper3d.com/photo> (Stand 17.03.2010).

Abbildung 37: <http://www.patrikschumacher.com/> (Stand 18.03.2010).

Abbildung 38: Ebd.

Abbildung 39: "Digital Materiality in Architecture", Gramazio Kohler, Lars Müller Verlag, 2008, linkes Bild S.98 und rechtes Bild S.100-101.

Abbildung 40: "CAM of Freeforms in Architecture", Oliver Fritz, Hg. Institut für Raumplanung der Hochschule Liechtenstein, Michael Imhof Verlag GmbH & Co. KG, S.35

Abbildung 41: "Digital Materiality in Architecture", Gramazio Kohler, Lars Müller Verlag, 2008, linkes Bild S.106.

Abbildung 42: "Latente Utopien", Zaha Hadid/Patrik Schumacher, steirischer Herbst 2002, S.102.

Abbildung 43: "The Architecture Machine", Nicholas Negroponte, The MIT Press Cambridge, Massachusetts, 1970,S.60.

Abbildung 44: "Latente Utopien", Zaha Hadid/Patrik Schumacher, steirischer Herbst 2002, S.103.

Abbildung 45: Arch +, Zeitschrift für Architektur und Städtebau, Ausgabe 189, Oktober, 2008. S.66.

Abbildung 46: Ebd.

Abbildung 47: "From Control to Design", Editiert von Sakamoto u. Ferré, Verlag Actar-D 2008, S.108-109.

Abbildung 48: Ebd., S.104 u. 110.

Abbildung 49: Ebd., S.113.

Abbildung 50: "Articulated Grounds: Mediating Environment and Culture", Architectural Association London, AA Agendas No. 7. Edited by Anne Save de Beaurecueil and Frank Lee, 2009, S.17.,105,69,104,109.

Abbildung 57: <http://www.sofistik.de/infoportal/> (Stand 20.04.2010).

Abbildung 58: <http://bridges.transportation.org/Pages/Georgia.aspx>, (Stand 20.04.2010).

Abbildung 59: <http://www.sofistik.de/infoportal/> (Stand 20.04.2010).

Abbildung 60: <http://www.sofistik.de/infoportal/> (Stand 20.04.2010).

Abbildung 62: <http://www.bestech.co.uk/> (Stand 20.04.2010).

Abbildung 63: <http://www.sofistik.de/infoportal/> (Stand 20.04.2010).

Abbildung 64: <http://www.larsausa.com/> (Stand 20.04.2010).

Abbildung 65: Google Maps, <http://maps.google.at/> (Stand 25.04.2010).

Abbildung 66: Bing Maps, <http://www.bing.com/maps/>, 3d Ansicht (Stand 25.04.2010).
Bild wurde nachträglich verändert.

Quellenangaben

Bibliografie

Bücher

"A Pattern Language", Christopher Alexander, Oxford University Press, New York, 1977.

"A Pattern Language", Klaus W. Gantler, Technische Universität Graz, Seminar für Planungsmethoden entstandenen Übersetzung, 1979.

"Algorithmic Architecture", Kostas Terzidis, Architectural Press is an imprint of Elsevier, First Edition 2006

"Architekt – Ingenieur", Arbeiten am Institut für Entwerfen und Konstruieren, Kurt Ackermann, Stuttgart, Karl Krämer Verlag, 1997.

Architectural Design, Programming Cultures, Ausgabe July/August 2006, Wiley-Academy.

"architektur_theorie.doc", Hrsg. Gerd de Bruyn, Stephan Trüby, Birkhäuser Verlag, 2003.

"Ästhetische Probleme der Architektur unter dem Aspekt der Informationsästhetik", Manfred Kiemle, Verlag Schnelle Quickborn, Deutschland, 1967.

"Austreibung des Geistes aus den Geisteswissenschaften. Programme des Poststrukturalismus." Friedrich Kittler, Paderborn: Schöningh 1980.

"Being digital", Nicholas Negroponte, Vintage Books a division of Random House, 1995 USA.

"Bridge Engineering: A Global Perspective", Leonardo Fernández Troyano, Thomas Telford Publishing, Colegio de Ingenieros de Caminos, Canales y Puertos, 2003.

"Brücken: Ästhetik und Gestaltung", Fritz Leonhardt, Deutsche Verlags-Anstalt, 3. Auflage 1990.

"Brücken: Kühne Konstruktionen über Flüsse Täler Meere", David J. Brown, , deutsche Übersetzung, Verlag Georg D. W. Callwey GmbH & Co. KG, 2005.

"Brückenbau im 20. Jahrhundert", Dirk Bühler, Verlag Georg D. W. Callwey GmbH & Co. KG, 2005

"CAM of Freeforms in Architecture", Oliver Fritz, Hg. Institut für Raumplanung der Hochschule Liechtenstein, Michael Imhof Verlag GmbH & Co. KG.

"Coding for Fun", Gottfried Wolmeringer, Galileo Press, 1. Auflage, 2009.

"Der Computer als Werkzeug und Medium", Michael Friedewald, , Verlag für Geschichte und Naturwissenschaften und der Technik, Berlin, Diepholz 1999.

"Die Verdrängung des Ornaments – Zum Verhältnis von Architektur und Lebenspraxis", Michael Müller, Suhrkamp Verlag, Erste Auflage 1977.

"Digitales Entwerfen", Marco Hemmerling und Anke Tiggemann, Wilhelm Fink GmbH & Co. Verlags-KG, 2010.

"Digital Materiality in Architecture", Gramazio Kohler, Lars Müller Verlag, 2008.

"End-user development: tools that empower users to create their own software solutions", A. Sutcliffe and N. Mehandjiev, Communications of the ACM, vol. 47(9), 2004.

"Entwicklungsgeschichte des Computers", Edgar P. Vorndran, 1982, VDE-Verlag GmbH Berlin und Offenbach.

"From Control to Design", Editiert von Sakamoto u. Ferré, Verlag Actar-D 2008.

"Fußgängerbrücken: Konstruktion Gestalt Geschichte", Ursula Baus, Mike Schlaich, Birkhäuser Verlag 2008,

"Grundlage der Tragwerkslehre", Franz Krauss, Wilfried Führer, Hans J. Neukäter, Verlagsgesellschaft Müller, 2002.

"Guidance for good bridge design", International Federation for Structural Concret (fib), 2000.

"Kulturtechnik Entwerfen", Hg. Gethmann u. Hauser, 2009 transcript Verlag Bielefeld Deutschland.

"Latente Utopien", Zaha Hadid/Patrik Schumacher, steirischer Herbst 2002.

"leicht weit: Light Structures", Jörg Schalich, Hg. Annette Bögle, Peter Cachola Schmal, Ingeborg Flagge, Prestel Verlag Deutschland, 2004.

"Massivbau in ganzer Breite", Förderverein Massivbau der TU München e.V. u. Roland Niedermeier, Springer Verlag Berlin Heidelberg, 2005.

"Re-coded: Studio Rocker", Ingeborg Rocker, , Aedes Berlin, Juni 2005.

"Robert Maillart, Brückenschläge", Höhere Schule für Gestaltung Zürich, Schriftenreihe Nr. 13, Redaktion Claude Lichtenstein, 1990.

"Service Mashups: The New Generation of Web Applications", D. Benslimane, S. Dustdar, and A. Sheth, IEEE Internet Computing, vol. 12(5), 2008.

"Soziale Systeme", Niklas Luhmann, Grundriss einer allgemeinen Theorie, Suhrkamp Verlag, Erste Auflage 1987.

"The Logic of Architecture: Design Computation and Cognition", William J. Mitchell,

MIT Press Cambridge, Massachusetts, 1990.

"Tragwerkslehre in Beispielen und Zeichnungen", Leicher Gottfried, Werner Neuwied Verlag, 2006,

"User-Driven Requirements Engineering for Mobile Social Software" N. Seyff and F. Graf, Proceedings of 3rd. International Workshop on Social Software Engineering, 24. Feb. 2010 Paderborn, Germany.

Zeitschriften:

Architectural Design, Digital Cities, Parametricism - A New Global Style for Architecture and Urban Design, Ausgabe 79, Julie/August 2009, Editoren Neil Leach und Hellen Castle.

Arch +, Zeitschrift für Architektur und Städtebau, Ausgabe 148, 1999.

Arch +, Zeitschrift für Architektur und Städtebau, Ausgabe 188, Juli, 2008.

Arch +, Zeitschrift für Architektur und Städtebau, Ausgabe 189, Oktober, 2008.

Arch +, Zeitschrift für Architektur und Städtebau, Ausgabe 195, November, 2009.

Grazer Architektur Magazin, GAM06, Herausgeber Architektur Fakultät Technische Universität Graz, 2010.

Internet

e-Book:

The Engineering Design Revolution, David E. Weisberg, e-Book 2008,
<http://www.cadhistory.net> (28.02.2010).

Second Life Hinweis:

<http://secondlife.com/?v=1.1> (Stand 14.02.2010).

Gordon Moor:

<http://www.intel.com/cd/corporate/pressroom/emea/deu /archive/2005/212674.htm>
(Stand 12.02.2010).

Leo Dictionary, Online Wörterbuch, <http://dict.leo.org>,

Eine Liste von einigen CAD-Softwareprogrammen:

http://de.wikipedia.org/wiki/Liste_von_CAD-Programmen,
http://www.experiencefestival.com/a/List_of_CAD_companies_-_Commercial_CAD_Software/,
<http://crunkish.com/top-ten-cad-software>

Geschichte der Animation:

<http://www.dma.ufg.ac.at/app/link/app> (Stand 15.03.2010).

Geschichte 3d Studio Max:

http://www.maxunderground.com/the_history_of_3d_studio, (Stand 13.03.2010).

CFD-Simulationssoftware:

Next Limit Technologies, http://www.nextlimit.com/techno_fluid.php (Stand 15.03.2010).

Skriptsprachen und Mashup-Tool Informationen:

<http://usa.autodesk.com/adsk/servlet/item?siteID=123112&id=2309147>, (16.03.2010).
<http://www.py4d.com>, (16.03.2010);
<http://blog.rhino3d.com/2010/03/python-scripting-in-rhino-os-x.html>, (16.03.2010),
<http://wiki.blender.org/index.php/Doc:Manual/Extensions/Python>, (16.03.2010),
<http://blog.rhino3d.com/2010/03/python-scripting-in-rhino-os-x.html>; (16.03.2010.)
<http://www.grasshopper3d.com/> (Stand 17.03.2010).
<http://wiki.mcneel.com/labs/explicithistory/home>, (Stand 17.03.2010).
<http://www.tutorials.de/forum/attachments/cinema-4d/44406d1229278877-xpresso.jpg>,
(Stand 17.03.2010).

Mashup-Tool Information:

<http://usa.autodesk.com/adsk/servlet/index?siteID=123112&id=9469002>, (16.03.2010)

Processing:

<http://processing.org>

NetLogo:

<http://ccl.northwestern.edu/netlogo>, (Stand 17.03.2010).

Beispiele für Masscustomization im Internet:

<http://www.tailorstore.de/>, <http://www.zazzle.de/>,
<http://nikeid.nike.com/>,
<http://www.lbs-city.de/> (Stand 24.03.2010).

Peter Eisenmann:

Interview von Urban Center Books, About Books and book collecting,
YouTube Video, <http://www.youtube.com/watch?v=JvdDQzT56ks> (03.04.2010);
Interview mit Peter Eisenmann von Robert Locke am 27.07.2004,
http://archinect.com/features/article.php?id=4618_0_23_0_M (02.04.2010);
Peter Eisenman, Vortrag an der Vanderbilt University
<http://www.youtube.com/watch?v=AJMMnb0qrXA&NR=1>, (Stand 05.04.2010).

Rem Koolhaas:

Interview am 27.03.2006, Spiegel Online International,
<http://www.spiegel.de/international/spiegel/0,1518,408748,00.html> (02.04.2010).

Interview am 12.06.2008, Zeit Online,

<http://www.zeit.de/2008/24>, Koolhaas-Interview (02.04.2009).

Peter Zumthor:

Radiointerview, <http://irge.uni-stuttgart.de/lehre/themenreihe/identitaet.html>, (03.04.2010).

Santiago Calatrava:

Interview mit Charlie Rose, <http://kempton.wordpress.com/2009/07/30/calgary-peace-bridge/> (09.04.2010).

Milau Bridge Information:

http://de.wikipedia.org/wiki/Viaduc_de_Millau, (12.04.2010)

Definiton Bridge Architect bzw. Bridge Designer:

http://en.wikipedia.org/wiki/Bridge_architect (11.04.2010).

Winkelgewichte Berechnung:

Baustatik 1 Skript des Instituts für Baustatik, TU-Graz
http://www.ifb.tugraz.at/backup_old_homepage/educ/teaching_material/Baustatik/Baustatik1_Skriptum_IBK.pdf, (Stand 04.04.2010).

Finite Elemente Methode Information:

http://en.wikipedia.org/wiki/Finite_element_method (15.04.2010).

AASHTO Information:

"American Association of State Highway and Transportation Officials".
<http://www.transportation.org> (20.10.2010).

Topologie Optimierungsprogramm im Internet:

TopOpt 3d, Topopt Research Group, Dänemark,
<http://www.topopt.dtu.dk/?q=node/11>, (Stand 20.04.2010).

Ausschreibungen der zwei Wettbewerbe:

"Concrete Student Trophy 2009", Vereinigung der Österreichischen Zementindustrie,
<http://www.zement.at>.
"Connectiong Link", Magistrat der Stadt Wien Magistratsabteilung MA 29,
<http://www.wien.gv.at/verkehr/brueckenbau/index.html>.

Bemerkung: Die Wettbewerbsunterlagen sind inzwischen nicht mehr öffentlich erhältlich.

Sonstiges

Gespräch mit Softwareentwickler Georg Pircher von ABES Pircher & Partner GmbH am 20.10.2010 in Graz. Georg Picher ist Geschäftsführer und Gesellschafter von der Software Entwickler Firma ABES Pircher & Partner GmbH.

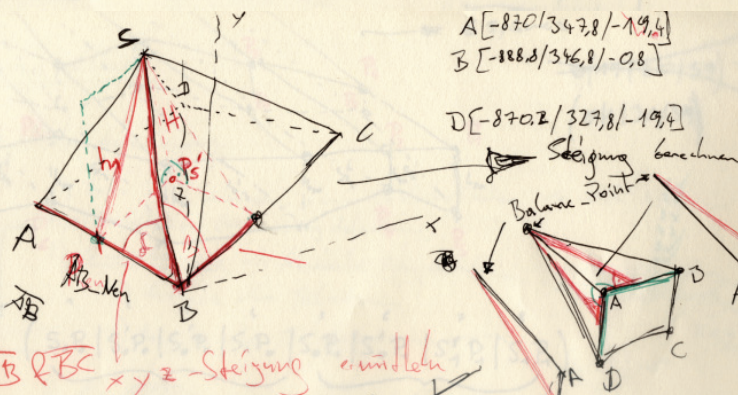
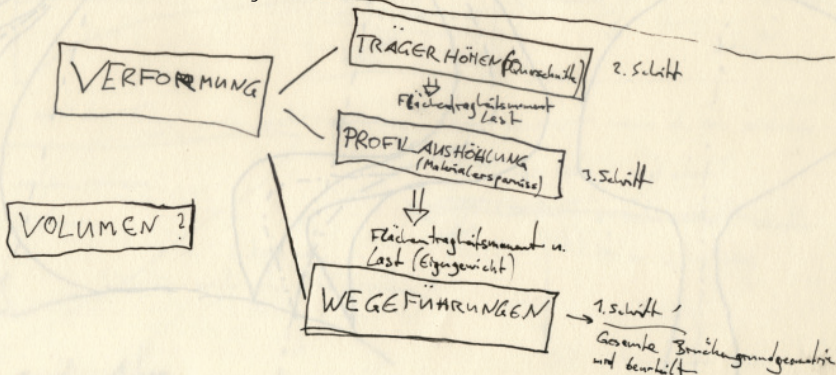
Gespräch mit Dipl. Ing. Florian Graf und Dipl. Ing. Dr. Norbert Seyff, City University of London am 23.02.2010. Bemerkung: Graf und Seyff forschen an Endbenutzerzentrierten Anforderungserhebungsmethoden und entwickelten im Rahmen ihrer Forschung den werkzeugunterstützten iRequire Ansatz.

Veränderungsgründe:

1. Verformung des Trägers
2. Spannungen in Ober- bzw. Unterzug
3. ~~Wasser~~ Achsenführung des Trägers \rightarrow Torsion
4. Wasserstand \rightarrow Torsionsmoment

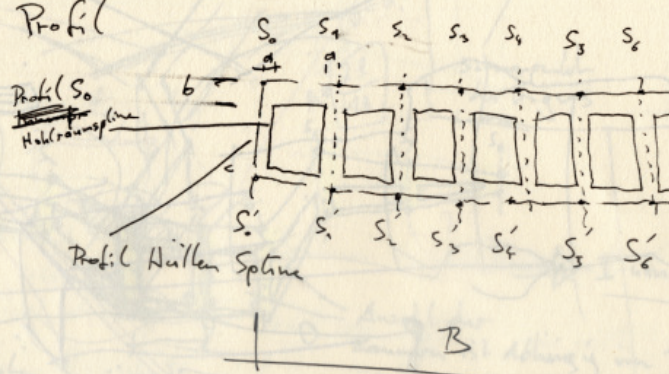
Appendix

Skizzenauszug

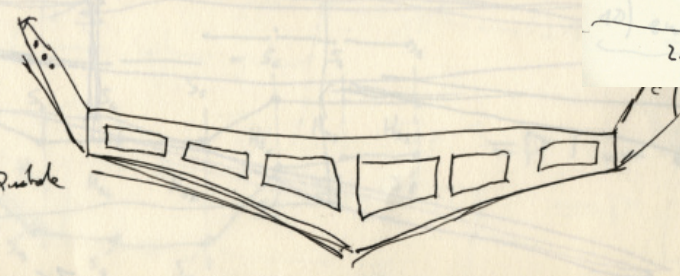


Nach welcher Logik wird der Querschnitt verändert und die Wege verschoben?

Neutrales Profil



Normales Profil



weil waren total veränderbare vorzubereiten Quader

$I_x = \frac{b \cdot h^3}{36}$
 $I_y = \frac{h \cdot b^3}{36}$
 $I_{AB} = \frac{B \cdot H^3}{12} = 126$
 $I_{AC} = \frac{H \cdot B^3}{12} = 171,5$
 $I_y = \frac{B \cdot h^3}{36} = 5,25$
 $I_{xz} = 28,58$
 $I_{yz} = 5,25$
 $I_{z2} = 28,58$

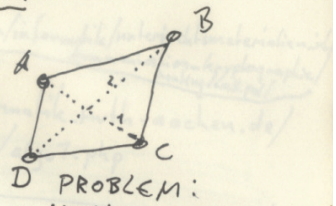
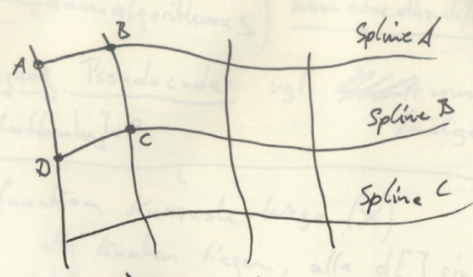
$I_y = I_{AC} \cdot l_{Ay}^2 + I_{AB} \cdot l_{By}^2 + [A_1 \cdot l_{y1}^2 + I_{y1} + A_2 \cdot l_{y2}^2 + I_{y2}]$
 $I_y = 42 \cdot 0^2 + 126 - [(10,5 \cdot 4 + 5,25) + (10,5 \cdot 4 + 5,25)]$
 $I_y = 126 - [47,25 + 47,25] = 31,5 \text{ cm}^4$

$I_x = A_{AC} \cdot l_{Ax}^2 + I_{AC} - [A_1 \cdot l_{x1}^2 + I_{x1} + A_2 \cdot l_{x2}^2 + I_{x2}]$
 $I_x = 42 \cdot 0^2 + 171,5 - [10,5 \cdot 1,111^2 + 28,58 + 10,5 \cdot 1,111^2 + 28,58]$
 $I_x = 171,5 - [43,44905 + 43,44905] = 84,6019 \text{ cm}^4$

1) $A_2 = \frac{h_2 \cdot B}{2} = 10,5$
 $A_3 = \frac{h_2 \cdot B}{2} = 10,5$
 $A_1 = 42 - 21 = 21$

2) $S_1(5,5/5)$
 $S_2(4,51/3)$
 $S_3(7/7)$
 $S_4(3,5/5)$
 $S_5(4,51/3)$
 $S_6(3,31/7)$

Fläche der gesamten Brücken Oberfläche berechnen:



Die Rechteckfläche wird in 2 Dreiecke zerlegt.

Dreiecksfläche $A = \sqrt{s \cdot (s-a) \cdot (s-b) \cdot (s-c)}$ $s = \text{halber Umfang}$

Berechnung: $\Delta 1$: Distanz zwischen $\overline{AB}, \overline{BC}, \overline{CA}$ berechnen.

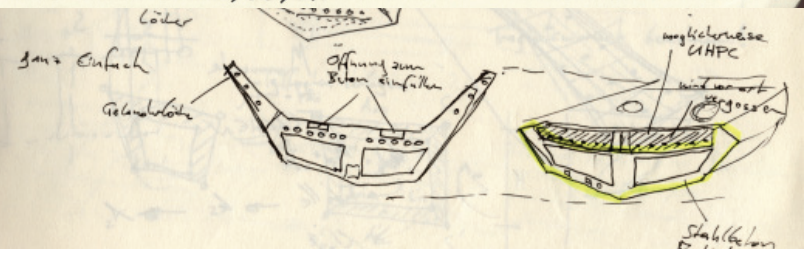
1.) $s = \frac{\overline{AB} + \overline{BC} + \overline{CA}}{2}$

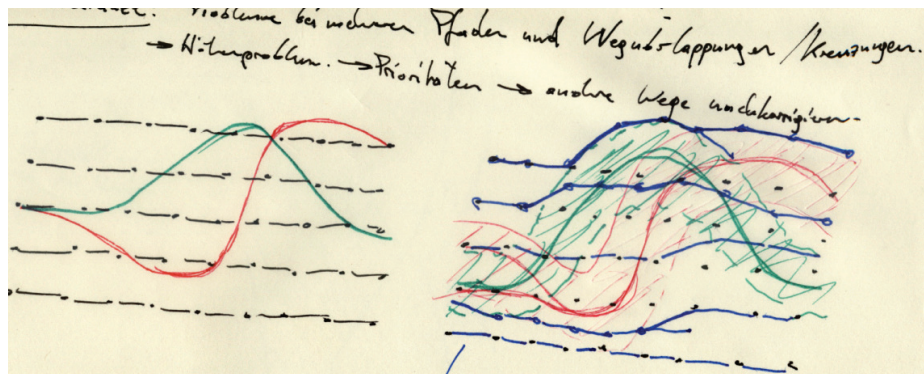
$A = \sqrt{s \cdot (s-AB) \cdot (s-BC) \cdot (s-CA)}$

2.) $\Delta 2$: WIEDERHOLEN MIT $\overline{AC}, \overline{CD}, \overline{DA}$

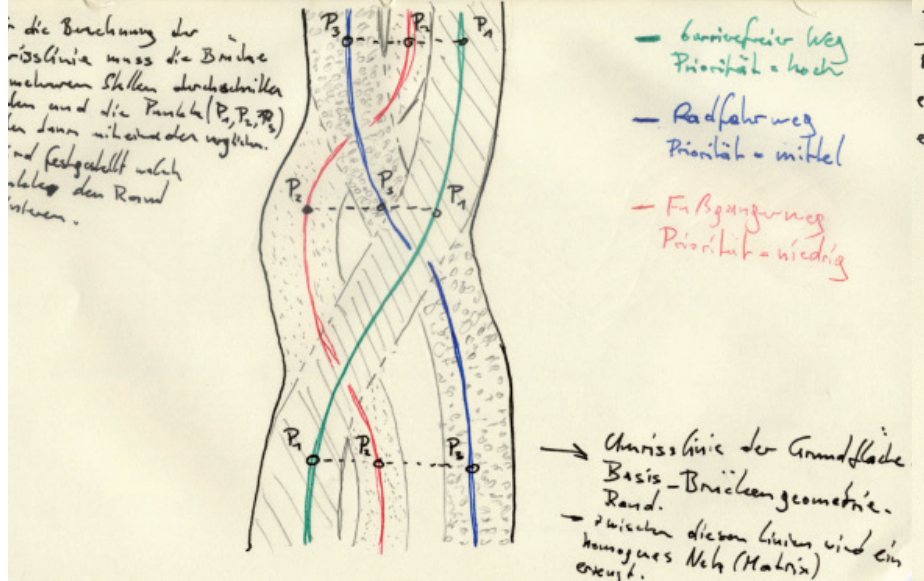
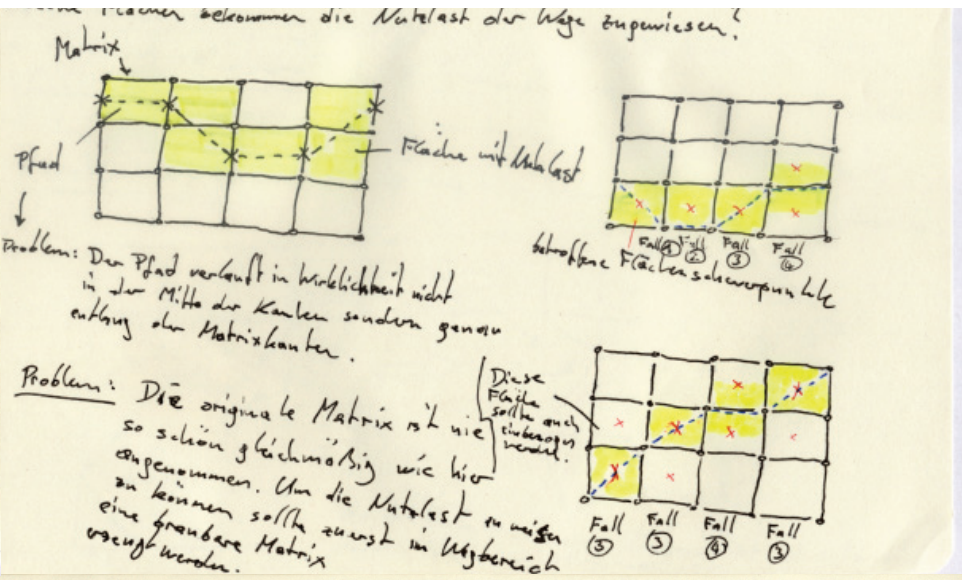
Nach einigen Versuchen Oberflächen mit einem TRIANGULIEREN, wurde die Diagonale AC gewählt

3) Dreiecke addieren FIN



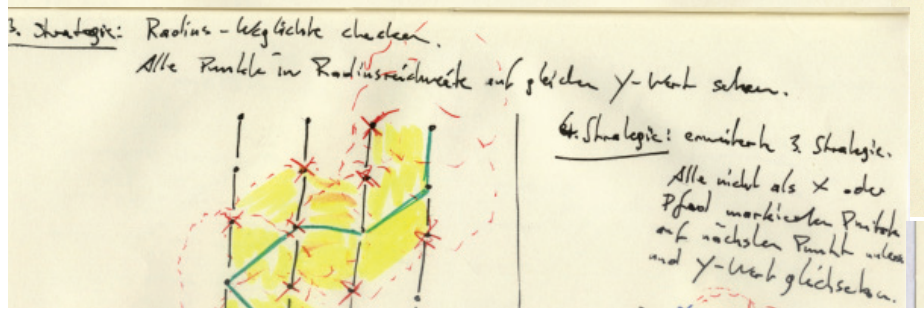
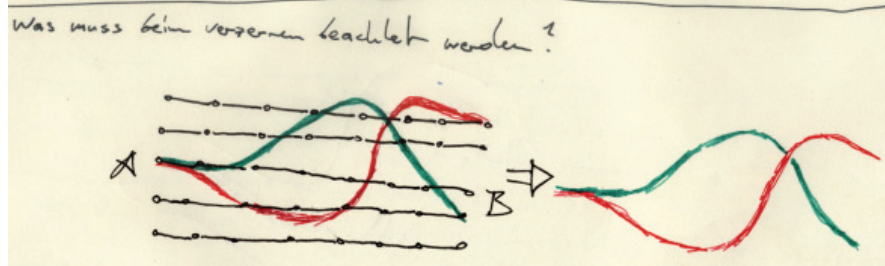


Es wird ein neues möglichst gleichmäßige Netz (Matrix) erzeugt, wobei sich keine Matrixspalte mit einer anderen überlappt.



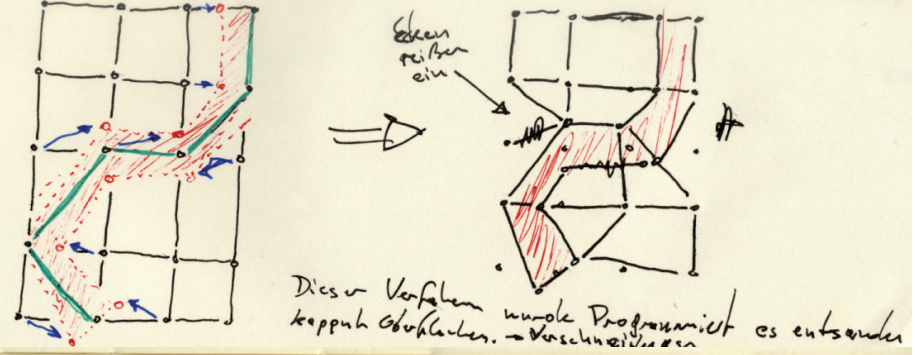
Path Clearance Programm: Definiert Wege- und Geländezonen

Aufgaben: nimmt BasisSurface und verändert dies aufgrund der vorhandenen Pfade.

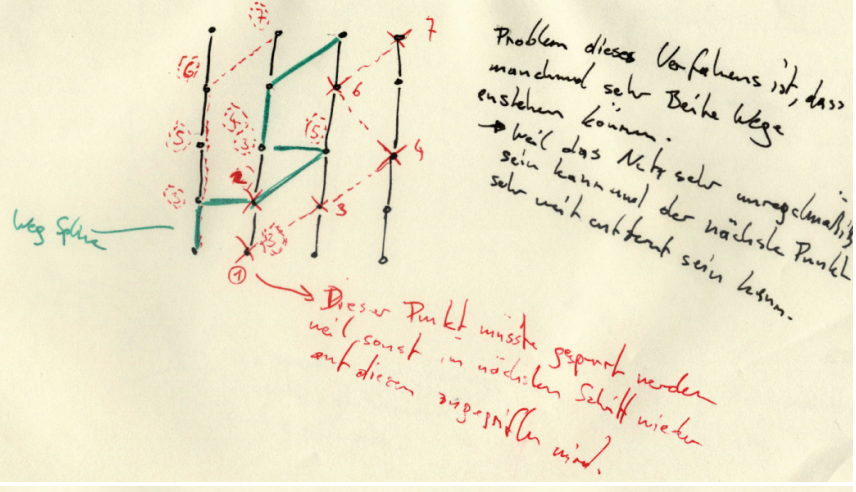


Path Clearance: Weglichte erzeugen.
 im Pfadbereich sollte eine ordentliche Grundmatrix erzeugt werden um die Lasten einfach zu verschieben zu können und um im Wegbereich eine ebene Oberfläche zu erhalten.

1. Strategie: Alle Nachbarnpunkte der Wegspalte werden auf die halbe Wegmündung verschoben.



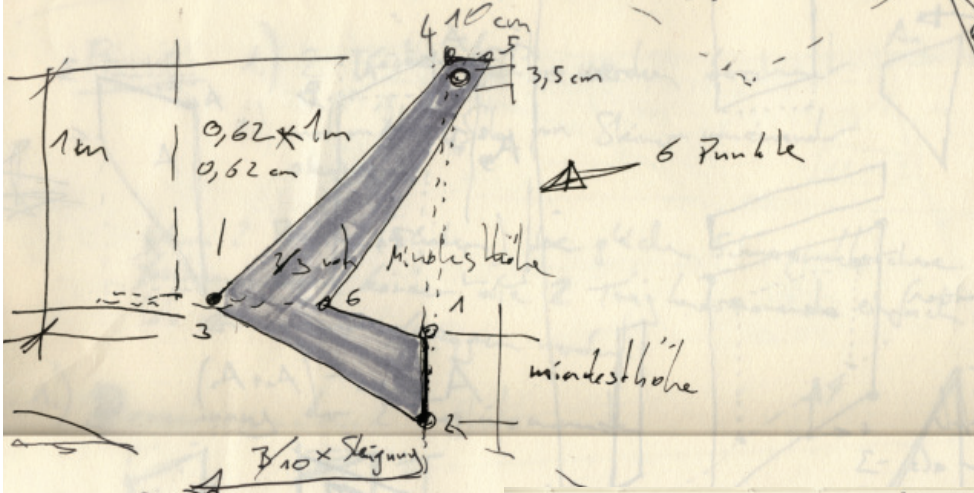
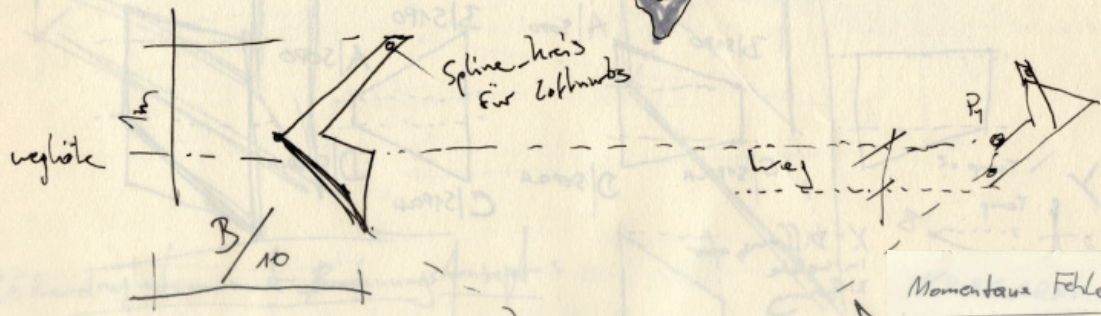
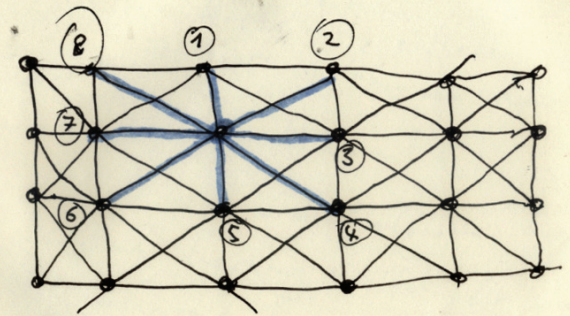
2. Strategie: Nur Y-Werte der nächsten Nachbarnspalte und deren nächsten Punkt zu dem aktuellen Pfadpunkt mit Pfadpunkt Y-Wert gleichsetzen.



Wie wird das Gelände erzeugt?

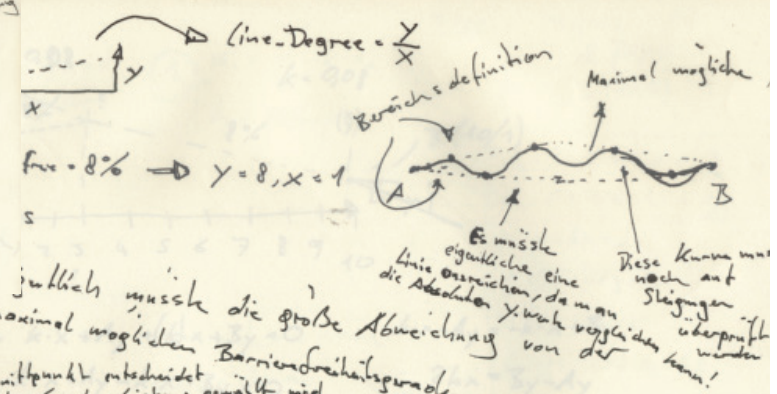
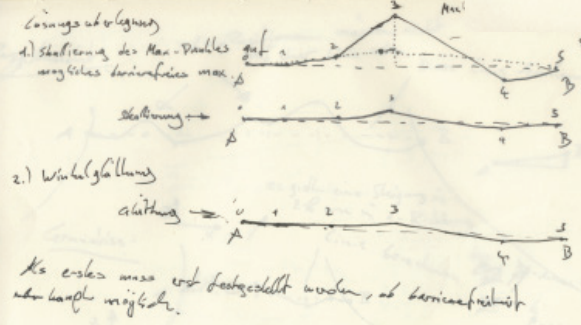
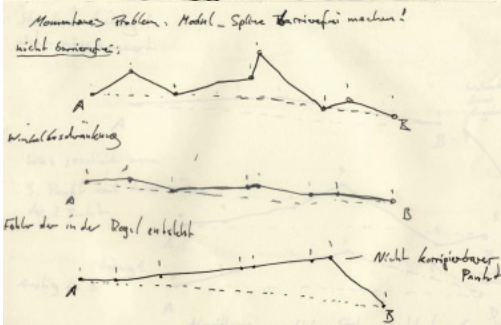
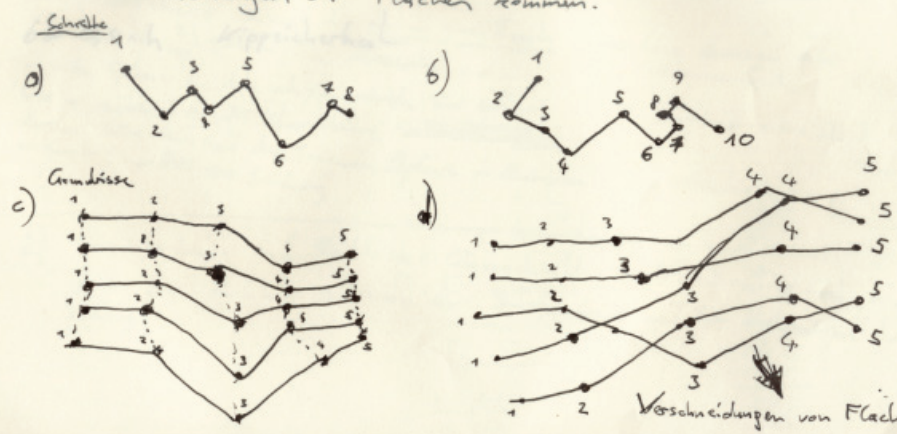


Definition d. Nachbarpunkte



Momentane Fehler oder Ausnahmsfälle / Sonderfälle

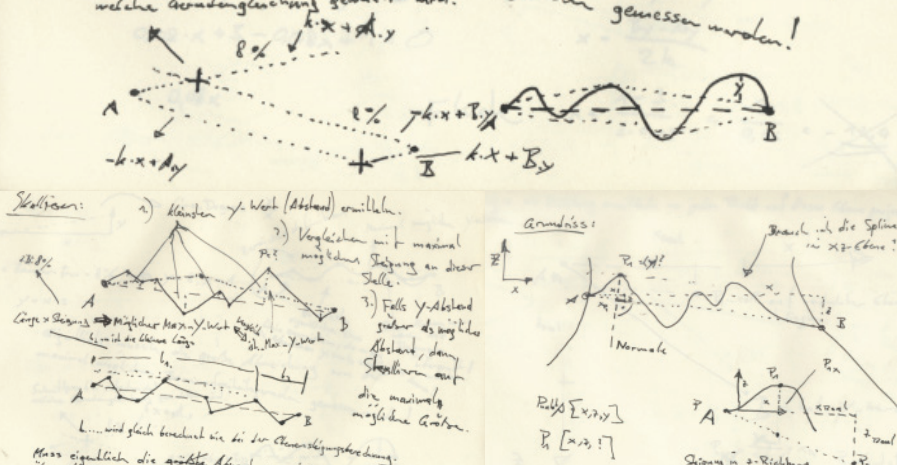
Je nach Deformation kann es z.B. zu Überlappungen der Splines bzw. Verschiebungen der Flächen kommen.



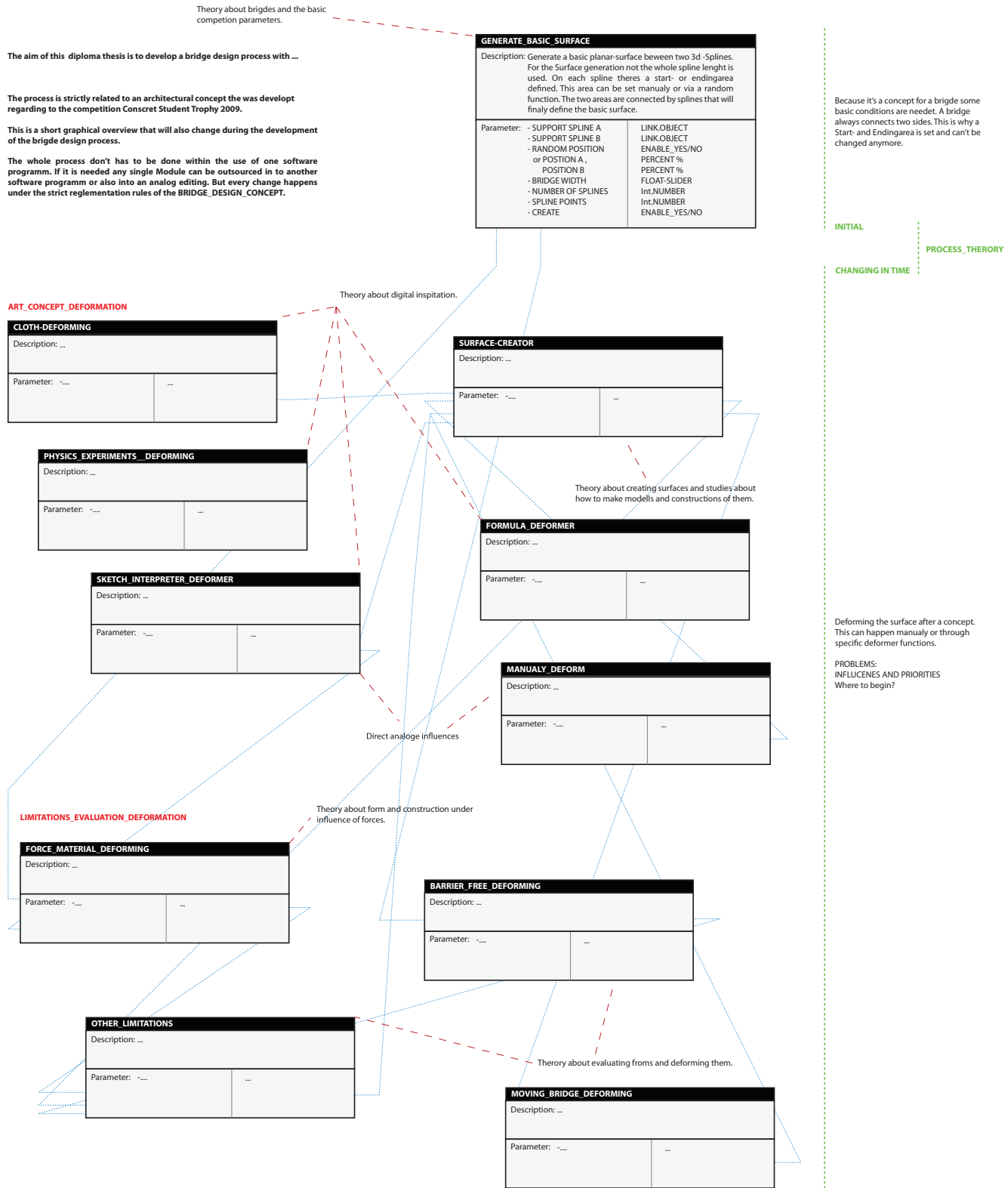
Kürzester Weg über die Brücke → Dijkstra Algorithmus (Bindefädenalgorithmus) www.educ.ethz.ch/lehrpersonen/informatik/unterrichtsmaterialien/inf111/kommunikationskryptographie/teaching/ka3.pdf

Aberlegung Pseudocode: vgl. www-11.informatik.tuwh-aachen.de/~algorithmus/algof.php
 $d[\text{Startknoten}] = 0$

- 1) function kürzeste Wege (x)
- 2) alle Knoten liegen, alle $d[]$ sind unendlich, nur $d[\text{Startknoten}] = 0$
- 3) while es liegende Knoten gibt do
- 4) $v :=$ der liegende Knoten mit dem kleinsten $d[v]$
- 5) mache v hängend
- 6) for all Fäden von v zu einem Nachbarn u der Länge L do
- 7) if $d[v] + L < d[u]$ then $d[u] = d[v] + L$
- 8) end for
- 9) end while
- 10) end



Entwurfsprozessüberlegungen



Theory about bridges and the basic competition parameters.

The **scripted bridge** is an example project to show how the computer can be integrated in the architectural drafting process.

The basic conditions and the architectural concept are regarding to the competition **Concret Student Trophy 2009'**.

Usually **bridge_shapes** are mainly determined by the forces that appear because of the loads and the chosen construction_type. Design a complex shape during the developing process by thinking forces...from ...lose complex form, nonstandart structure, design in forces , complexity show the process in the architecture...time, transformation...

Strictly referring to the **bridge_design_concept** a dynamic **bridge_design_process** is developed. The process is defined by different modules that interact with each other and determine the final output design. The moduls can be understood as different stages in the **bridge_design_process** which are considering different priorities and are influenced by diffent input parameters. The changing of this priorities and parameters finally lead to varieties of more or less similar bridges.

The whole process don't has to be done within the use of one software programm. If it is needed any single module can be outsourced in to another digital or analoge procedure.

The focus this theses is the design_process. To document this process this a short graphical overview that will also change during the development of the bridge design process.

GENERATE_BASIC_SURFACE	
Description: Generate a basic planar surface between two 3d-Splines. For the Surface generation not the whole spline length is used. On each spline theres a start- or endingarea defined. This area can be set manually or via a random function. The two areas are connected by splines that will finally define the basic surface.	
INPUT	OUTPUT
- SUPPORT SPLINE A - SUPPORT SPLINE B - RANDOM POSITION or POSITION A, POSITION B - BRIDGE WIDTH - NUMBER OF SPLINES - SPLINE POINTS - CREATE	LOFTNURBSOBJECT - SPLINES -
Note: The origin-points of the input splines have to be equal to the origin point of the world coordinates point zero.	

Where to begin an neverending cycle?

Because it's a concept for a bridge some basic conditions are needed. A bridge always connects two sides. This is why a **Start- and Endingarea** is set and can't be changed anymore.

INITIAL

PROCESS_THEROY

CHANGING IN TIME

ART_CONCEPT_DEFORMATION

CLOTH-DEFORMING	
Description: ...	
Parameter: -...	...

PHYSICS_EXPERIMENTS_DEFORMING	
Description: ...	
Parameter: -...	...

SKETCH_INTERPRETER_DEFORMER	
Description: ...	
Parameter: -...	...

Theory about digital inspiation.

SURFACE-CREATOR	
Description: ...	
Parameter: -...	...

Theory about creating surfaces and studies about how to make modells and constructions of them.

FORMULA_DEFORMER	
Description: ...	
Parameter: -...	...

Direct analoge influences

MANUALLY_DEFORM	
Description: ...	
Parameter: -...	...

Deforming the surface after a concept. This can happen manually or through specific deformer functions.

PROBLEMS:
INFLUCENES AND PRIORITIES
Where to begin?

To start a complex process fist the modules are developed and checked one their own. The **MAKE_SPLINE_BARRORER_FREE** Modul is in no direct connection to any other Modul.

To check the single modules on complex distort surfaces the spline points are moved manually. To save time an automatic spline deformer should be created next.

LIMITATIONS_EVALUATION_DEFORMATION

FORCE_MATERIAL_DEFORMING	
Description: ...	
Parameter: -...	...

Theory about form and construction under influence of forces.

MAKE_SPLINE_BARRIER_FREE	
Description: Compares the degree between the points of a single Spline. If the degree is bigger than input value (percent) the curve is changed until it's barrier-free.	
INPUT	OUTPUT
- STEIGUNG - SPLINENAME - CHECK ON/OFF	SPLINE -
Note: Temporary the SPLINENAME is ignored and all splines are checked and eventually changed.	

Theory about evaluating froms and deforming them.

OTHER_LIMITATIONS	
Description: ...	
Parameter: -...	...

MOVING_BRIDGE_DEFORMING	
Description: ...	
Parameter: -...	...

The **scripted bridge** is an example project to show how the computer can be intergrated in the architectural drafting process.

The basic conditions and the architectural concept are regarding to the competition **‘Concret Student Trophy 2009’**. Usually bridge shapes are mainly determined by the forces that appear because of the loads, the chosen construction type and the material that it is made of. The basic concept is to design a freeform bridge within the permanent thinking of forces which are appearing.

The main shape of the bridge is defined by 3 different paths that are generated from one bank to the other. These 3 paths are related to each other via their load bearing capacity.

Strictly referring to the **bridge design concept** a dynamic **bridge design process** is developed. The process is defined by different modules that interact with each other and determine the final output design. The modules can be understood as different stages in the **bridge design process** which are considering different priorities and are influenced by different input parameters. The changing of this priorities and parameters finally lead to varieties of more or less similar bridges.

The focus this theses is the design process. To document this process this a short graphical overview that will also change during the development of the bridge design process.

LIMITATIONS, EVALUATION, DEFORMATION

STRUCTURE_EVALUATING	
Description: Defines a design_space for the current geometry and evaluates the divergence between ideal_design_space and the current_geometry.	
INPUT	OUTPUT
- SPLINES - STRUCTURE_LOAD - SERVICE_LOAD - PROPORTION_FACTOR - CHECK ON/OFF	SPLINES - STRUCTURECALC_OBJECT - SINGLE_BALANCE_SPHERES - GEOMETRY_BALANCE_POINT - BRIDGE_SURFACE_AREA - BRIDGE_WEIGHT - SECTION_TORQUE -
Note: To calculate the maximum torque and der temporary torque in different bridge sections a load has to be set.	

PATH_CLEARANCE	
Description:	
INPUT	OUTPUT
- SPLINENAMES - PEDESTRIAL_WIDTH - BIKER_WIDTH - WHEELCHAIR_WIDTH - CHECK ON/OFF	PATH_SPLINE_0 -
Note: ...	

ART_CONCEPT_DEFORMATION

SIMPLE_SPLINE_DEFORMER	
Description: The spline_points are distorted by a cosinus_funktion. The frequency and amplitude is chosen by coincidence. With a global DISTORSION_FACTOR the distortion strenght can be controlled.	
INPUT	OUTPUT
- SPLINES - DISTORSION_FACTOR - CHECK ON/OFF	SPLINES -
Note: The beginning- and the endpoints of the splines are not distorted.	

PATH_OBJECT_GENERATOR	
Description: Creates 1 Path Spline_Object from one side to another.	
INPUT	OUTPUT
- SPLINE_POINTS - CREATE	PATH_SPLINE_0 -

SURFACE_CREATOR	
Description: ...	
Parameter:

Theory about creating surfaces and studies about how to make models and constructions of them.

BASIC_SETTINGS	
Description: Setting basic conditions that influcene the bridge shape.	
OUTPUT	
- AUFLAGER A - AUFLAGER B - SPLINES - SPLINE_PUNKTE - BRÜCKENBREITE - DEFORMFAKTOR - BARRIEREFREIHEIT	PATHDEGREE_FACTOR - FUßGÄNGER_BREITE - RADFAHRER_BREITE - ROLLSTUHLFAHRER_BREITE - EIGENGEWICHT - NUTZLAST -

Theory about bridges and the basoc competition parameters

GENERATE_BASIC_SURFACE	
Description: Generate a basic planar-surface between two 3d -Splines. For the Surface generation not the whole spline lenght is used. On each spline theres a start- or endingarea defined. This area can be set manually or via a random function. The two areas are connected by splines that will finally define the basic surface.	
INPUT	OUTPUT
- SUPPORT SPLINE A - SUPPORT SPLINE B - RANDOM POSITION or POSITION A, POSITION B - - BRIDGE WIDTH - NUMBER OF SPLINES - SPLINE POINTS - CREATE	LOFTNRBSOBJECT - SPLINES -
Note: The origin-points of the input splines have to be equal to the origin point of the world coordinates point zero.	

Because it's a concept for a bridge some basic conditions are needed. A bridge always connects two sides. This is why a **Start- and Endingarea** is set and can't be changed anymore.

INITIAL

PROCESS_THEROY

CHANGING IN TIME

Theory about form and construction under influence of forces.

MAKE_SPLINE_BARRIER_FREE	
Description: Compares the degree between the points of a single Spline. If the degree is bigger than input value [percent] the curve is changed until it's barrier-free.	
INPUT	OUTPUT
- STEIGUNG - SPLINENAME - CHECK ON/OFF	PATH_SPLINE_0 -
Note: Temporary the SPLINENAME is ignored and all splines are checked and eventually changed.	

Theory about evaluating forms and deforming them.

MOVING_BRIDGE_DEFORMING	
Description: ...	
Parameter:

Deforming the surface after a concept. This can happen manually or through specific deformer functions.

PROBLEMS:

Can the GENERATE_BASIC_SURFACE Modul be replaced by the PATH_Generating Moduls?

NO!

It's easier to keep GENERATE_BASIC_SURFACE Modul to generate a easy handable matrix. The basic surface has to be seen as PLASTICINE or as free formable modelling clay.

The main resolution of the bridge can be set by the basic surface.

The PATH_CLEARANCE_MODULE kneats the basic surface to the main bridge shape with is determined by the 3 different paths.

Theory about digital inspiration.

PATH_FINDER	
Description: This module generates 3 Spline_Paths over the bridge surface. Through the GRAD_FACTOR it can be defined how much the changing of surface_high matters to the path calculation. The script is based on the Dijkstra_Algorithmus.	
INPUT	OUTPUT
- SPLINES - GRADE_FACTOR - CHECK ON/OFF	PATH_SPLINE_0 - PATH_SPLINE_1 - PATH_SPLINE_2 -
Note: If the bridge is extremely distort, sometimes an error can appear (endless loop in the module). It has to do with the comparison value (Smallest_Distance) at the beginning of the program.	

MANUALLY_DEFORM	
Description: All spline_points can be moved manually at every time by selecting points via MOUSE.CLICK and transforming the analog mouse position into digital point coordinates.	
INPUT	OUTPUT
- MOUSE.CLICK - MOUSE.POSITION	SPLINE.POINTS -

Direct/Indirect Analoge Influences

ATTRACTOR_PATH_GENERATOR	
Description: Creates 1 Path Spline from one side to another. This Spline is distorted by the ATTRAKCOR_OBJECTS in the scene.	
INPUT	OUTPUT
- SPLINE_POINTS - ATTRACTOR_NAMES - CREATE	PATH_SPLINE_1 -

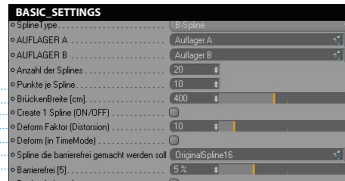
The **scripted bridge** is an example project to show how the computer can be integrated in the architectural drafting process.

The basic conditions and the architectural concept are regarding to the competition **'Concret Student Trophy 2009'**. Usually bridge shapes are mainly determined by the forces that appear because of the loads, the chosen construction type and the material that it is made of. The basic concept is to design a freeform bridge within the permanent thinking of forces which are appearing.

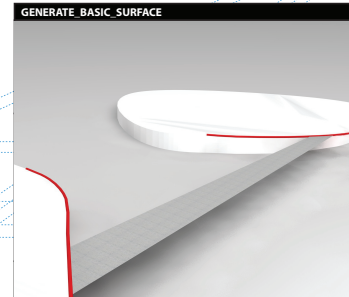
The main shape of the bridge is defined by 3 different paths that are generated from one bank to the other. These 3 paths are related to each other via their load bearing capacity.

Strictly referring to the **bridge design concept** a dynamic **bridge design process** is developed. The process is defined by different modules that interact with each other and determine the final output design. The modules can be understood as different stages in the **bridge design process** which are considering different priorities and are influenced by different input parameters. The changing of this priorities and parameters finally lead to varieties of more or less similar bridges.

The focus of these is the **design process**. To document this process this a short graphical overview that will also change during the development of the bridge design process.



Theory about bridges and the basic competition parameters



Because it's a concept for a bridge some basic conditions are needed. A bridge always connects two sides. This is why a **Start- and Endingarea** is set and can't be changed anymore.

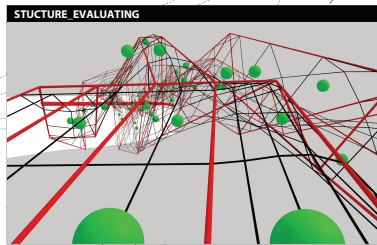
INITIAL

PROCESS_THERORY

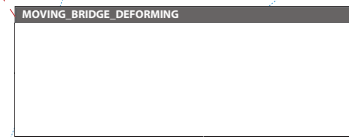
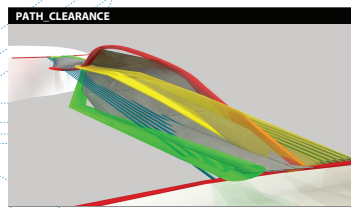
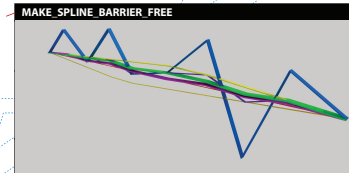
CHANGING IN TIME

LIMITATIONS_EVALUATION_DEFORMATION

Theory about form and construction under influence of forces.



Theory about evaluating forms and deforming them.



Deforming the surface after a concept. This can happen manually or through specific deformer functions.

PROBLEMS:

Can the **GENERATE_BASIC_SURFACE** Modul be replaced by the **PATH** Generating Modul?

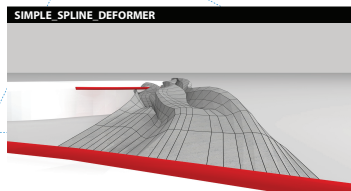
NO!

It's easier to keep **GENERATE_BASIC_SURFACE** Modul to generate a easy handable matrix. The basic surface has to be seen as **PLASTICINE** or as free formable modelling clay.

The main resolution of the bridge can be set by the basic surface.

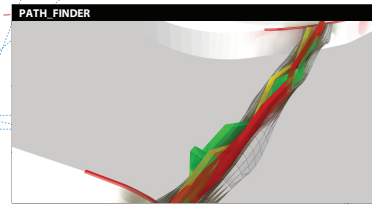
The **PATH_CLEARANCE_MODULE** knets the basic surface to the main bridge shape with is determined by the 3 different paths.

ART_CONCEPT_DEFORMATION

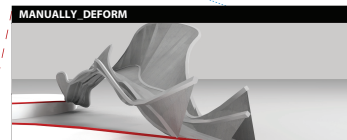
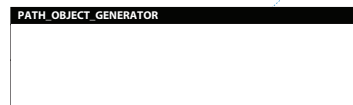


Theory about digital inspiation.

BRIDGE OBJECT



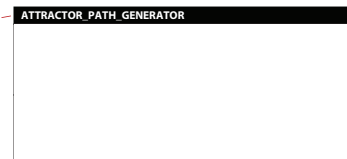
PATH OBJECTS



Direct/Indirect Analoge Influences



Theory about creating surfaces and studies about how to make models and constructions of them.



"Scripted Bridge" is an example project that shows how the computer can be integrated in the architectural drafting process. With an animation software a bridge designing process using scripting and mashup-tools was developed. With this process variations of the basic bridge concept can be generated. The basic conditions are regarding to the competitions "Concrete Student Trophy 2009" and "Connecting Link" which request a moveable bridge for pedestrians and bikers. Referring to current tendencies in architecture it was proofed how these digital tools could support the pre-designing process of bridge-constructions which deviate from standard shapes. In this context it is also questioned how material and construction decisions could be integrated. Due to the point of view that bridge designs are not only determined by problems that come out of dealing with forces an open process was created that allows to include other criteria.

The main shape of the bridge is defined by 3 different paths that are generated from one bank to the other. These 3 paths are related to each other via their load bearing capacity.

Strictly referring to the **bridge_design_concept** a dynamic **bridge_design_process** is developed. The process is defined by different modules that interact with each other and determine the final output design. The modules can be understood as different stages in the **bridge_design_process** which are considering different priorities and are influenced by different input parameters. The changing of this priorities and parameters finally lead to varieties of more or less similar bridges.

Here focus theses is the design_process. This is a short graphical overview which documents the developing process and changed during the development of the bridge design process.

BASIC_SETTINGS	
Description: Setting basic conditions that influence the bridge shape.	
OUTPUT	
- NUMBER OF ATTRACTOR SPHERES	MATERIAL WEIGHT [kg/m ²]
- CREATE ATTRAKTOR RANDOM MODE ON/OFF	SERVICE LOAD [kN/m ²]
- MAKE ATTRACTOR SPHERES	DIAGRAM FACTOR (TORQUEHEIGHT) (x)
- KNEAD PATH BETWEEN ATTRACTORS	SIGMA_ZULÄSSIG [kN/cm ²]
- ATTRACTED (PATH)-SPLINE	STATIC SYSTEM
- SPLINE TYPE	SUPPORT POSITION
- SUPPORT SPLINE A	EVALUATE STRUCTURE
- SUPPORT SPLINE B	PEDESTRIAN PATH WIDTH
- BRIDGE WIDTH	BIKER PATH WIDTH
- NUMBER OF SPLINES	WHEELCHAIR WIDTH
- SPLINE POINTS	DEFORM FACTOR (DISTORSION)
- CREATE SURFACE SPLINES (ON/OFF)	DEFORM MODE ON
- PEDESTRIAN PATH POINTS	BARRIER FREE PATH DEGREE
- CREATE PEDESTRIAN PATH	MAKE BARRIER FREE
- BARRIER FREE PATH POINTS	SCALE FACTOR (PATH OVERLAPPING)
- CREAT BARRIER FREE PATH	KNEAD BASIC SURFACE to 2 PATHS
- PATHFINDER HEIGHT FACTOR	PATH CLEARANCE
- BIKER PATH (PATHFINDER)	CREATE HANDRAIL
- WATERLEVEL	NUMBER OF CALCULATIONS
- BRIDGE MATERIAL	

GENERATE_BASIC_SURFACE	
Description: Generate a basic planar-surface between two 3d-Splines. For the Surface generation not the whole spline length is used. On each spline theres a start- or endingarea defined. This area can be set manually or via a random function. The two areas are connected by splines that will finally define the basic surface.	
INPUT	OUTPUT
- SPLINE TYPE	LOFTNRBS_OBJECT
- SUPPORT SPLINE A	BRIDGE_SURFACE_SPLINES
- SUPPORT SPLINE B	
- BRIDGE WIDTH	
- NUMBER OF SPLINES	
- SPLINE POINTS	
- CREATE SURFACE SPLINES	
Note: The origin-points of the input splines have to be equal to the origin point of the world coordinates point zero.	

Because it's a concept for a bridge some basic conditions are needed. A bridge always connects two sides. This is why a **Start- and Endingarea** is set and can't be changed anymore.

INITIAL

PROCESS_THEROY

CHANGING IN TIME

MAKE_SPLINE_BARRIER_FREE	
Description: Compares the degree between the points of a single Spline. If the degree is bigger than input value [percent] the curve is changed until it's barrier-free.	
INPUT	OUTPUT
- BARRIER FREE PATH DEGREE	SPLINES_CONTROLLPOINTS
- SPLINE_PATH_NAME	
- MAKE BARRIER FREE	
Note: The SPLINE_PATH_NAME is defined in the script.	

MAKE_ATTRAKTOR_SPHERES	
Description: Creates a specific number of spheres with two different basic names ("NEGATIV_1", "POSITIV_1"). If the random mode is switched on, the spheres are placed in variable positions and get different radiuses.	
INPUT	OUTPUT
- NUMBER OF ATTRAKTOR SPHERES	SPHERE_OBJECTS
- CREATE ATTRAKTOR RANDOM MODE ON/OFF	
- MAKE ATTRAKTOR SPHERES	

KNEAD_PATHS_TO_ATTRAKTORS	
Description: Kneads the selected spline (Path) depending on the positions, names and radiuses of Attractor-Spheres. It attracts the Spline-Controllpoints like magnets.	
INPUT	OUTPUT
- KNEAD PATH BETWEEN ATTRAKTORS	SPLINE_CONTROLLPOINTS
- ATTRACTED (PATH)-SPLINE	
- ATTRAKTOR_SPHERES_DATA	

PATH_CLEARANCE	
Description: This modul ensures that the bridge is useable for different users. The bridgesurface is flattened in the different pathclearance areas.	
INPUT	OUTPUT
- NUMBER OF SPLINES	BAISC_SURFACE_POINTS
- SPLINE POINTS	
- PEDESTRIAN_WIDTH	
- BIKER_WIDTH	
- WHEELCHAIR_WIDTH	
- PATH CLEARANCE	

ITERATOR	
Description: Starts the calculation x-times.	
INPUT	OUTPUT
- NUMBER OF CALCULATIONS	BEAM_NUMBER

KNEAD_TO_PATHS	
Description: Kneads the basic surface to two paths.	
INPUT	OUTPUT
- NUMBER OF SPLINES	BAISC_SURFACE_POINTS
- SPLINE POINTS	
- PEDESTRIAN_WIDTH	
- BIKER_WIDTH	
- WHEELCHAIR_WIDTH	
- SCALE FACTOR (PATH OVERLAPPING)	
- KNEAD BASIC SURFACE to 2 PATHS	

STRUCTURE_EVALUATING	
Description: Creates a volume proposal for the current surface. A lot of 3d objects that visualize the calculation data are created. To get less weight for the volume the structure is holed after a certain concept that considers material and construction.	
INPUT	OUTPUT
- NUMBER OF SPLINES	SECTION_VOLUME_SPLINES
- SPLINE POINTS	LOFTNRBS_OBJECT
- WATERLEVEL	BRIDGE_SURFACE_SPLINES
- BRIDGE MATERIAL	SINGLE_BALANCE_SPHERES
- MATERIAL WEIGHT	GEOMETRY_BALANCE_POINT
- SERVICE LOAD	BRIDGE_SURFACE_AREA
- DIAGRAM FACTOR	BRIDGE_WEIGHT
- SIGMA_ZULÄSSIG	STRUCTUR-TENSIONS
- STATIC SYSTEM	STRUCTUR_BENDING
- SUPPORT POSITION	SECTION_TORQUE_OBJECTS
- EVALUATE STRUCTURE	DEFORM MODE ON
- BEAM NUMBER	MAKE BARRIER FREE
- PEDESTRIAN PATH WIDTH	KNEAD PATH BETWEEN ATTRACTORS
- BIKER PATH WIDTH	KNEAD BASIC SURFACE to 2 PATHS
- WHEELCHAIR WIDTH	PATH CLEARANCE
- DEFORM FACTOR (DISTORSION)	CREATE HANDRAIL
- BARRIER FREE PATH DEGREE	
- SCALE FACTOR (PATH OVERLAPPING)	

MAKE_PEDESTRIAN_PATH	
Description: Creates 1 Path Spline_Object from one side to another.	
INPUT	OUTPUT
- NUMBER OF SPLINES	PATH_SPLINE_1
- SPLINE POINTS	
- PEDESTRIAN PATH POINTS	
- CREATE PEDESTRIAN PATH	

MAKE_BARRIER_FREE_PATH	
Description: Creates 1 Path Spline_Object from one side to another.	
INPUT	OUTPUT
- NUMBER OF SPLINES	PATH_SPLINE_2
- SPLINE POINTS	
- PEDESTRIAN PATH POINTS	
- CREAT BARRIER FREE PATH	

PATH_FINDER	
Description: This module generates a Spline_Path over the bridge surface. Through the GRAD_FACTOR it can be defined how much the changing of surface_high matters to the path calculation. The script is based on the Dijkstra_Algorithmus.	
INPUT	OUTPUT
- NUMBER OF SPLINES	PATH_SPLINE_0
- SPLINE POINTS	PATH_SPLINE_1
- PATHFINDER HEIGHT FACTOR	PATH_SPLINE_2
- BIKER PATH (PATHFINDER)	
Note: If the bridge is extremely distort, sometimes an error can appear (endless loop in the module). It has to do with the comparison value (Smallest_Distance) at the beginning of the program.	

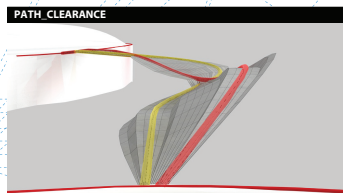
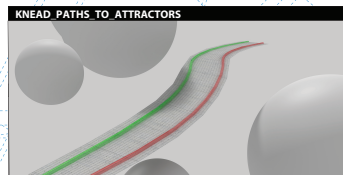
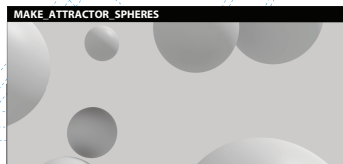
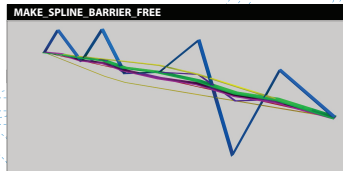
MANUALLY_DEFORM	
Description: All spline_points can be moved manually at every time by selecting points via MOUSE.CLICK and transforming the analog mouse position into digital point coordinates.	
INPUT	OUTPUT
- 3d_OBJECTS_DATA	3D_OBJECTS_DATA

CREATE_HANDRAIL	
Description: Creates 1 Path Spline from one side to another. This Spline is distorted by the ATTRAKTOR_OBJECTS in the scene.	
INPUT	OUTPUT
- NUMBER OF SPLINES	HANRAIL_OBJECTS
- SPLINE POINTS	
- PEDESTRIAN PATH WIDTH	
- BIKER PATH WIDTH	
- WHEELCHAIR WIDTH	
- CREATE HANDRAIL	

Started: 23.04.2009
by Cristian Pichlkastner
Version 9.0
03.02.2010

BASIC SETTINGS

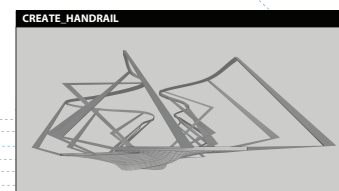
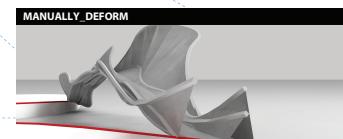
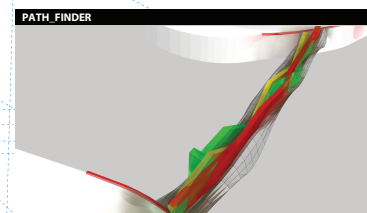
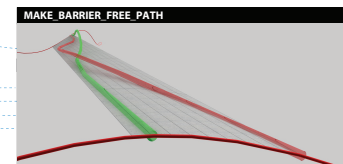
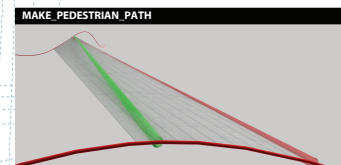
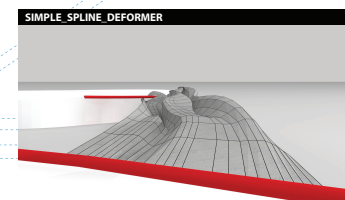
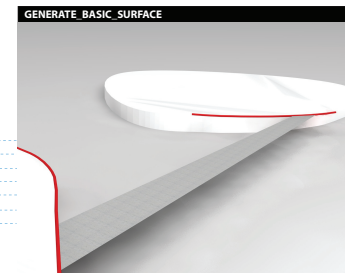
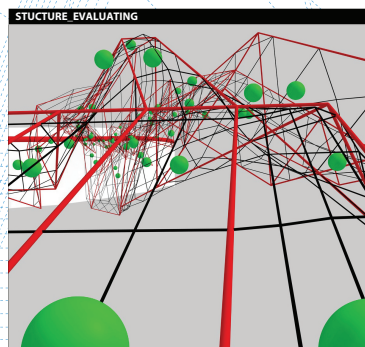
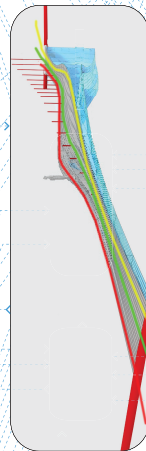
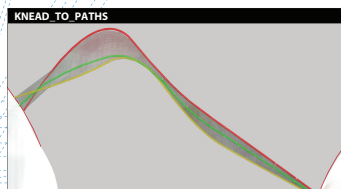
- o AUFLAGER B
- o Anzahl der Splines: 20
- o Punkte je Spline: 11
- o Brückenbreite [cm]: 335
- o Create Splines (ON/OFF):
- o Fußgängervog_Spline_Punkte: 4
- o Create Fußgängervog:
- o Anzahl der Attraktoren: 5
- o Attraktoren zufällig erzeugen EIN/AUS:
- o Attraktor Kugeln erzeugen:
- o ATTRACTED (PATH) SPLINE:
- o Weg zwischen Attraktoren aussichten:
- o Barrierfreier Weg_Spline_Punkte: 3
- o Create Barrierfreier Weg:
- o Scale_Faktor (Path overlapping): 0%
- o Knead Basic Surface to 2 Paths:
- o Path_Finder_Höheneinfluss_Faktor: 10
- o Fahrrad Weg Spline (PathFinder):
- o Barrierfrei [S]:
- o Platte Steigungskorrektur: 5%
- o Fußgänger (Breite): 40



ITERATOR

Description: Starts the calculation x-times.

INPUT	OUTPUT
- NUMBER OF CALCULATIONS	BEAM_NUMBER -



Because it's a concept for a bridge some basic conditions are needed. A bridge always connects two sides. This is why a **Start- and Endingarea** is set and can't be changed anymore.

INITIAL
PROCESS_THERORY
CHANGING IN TIME

Deforming the surface after a concept. This can happen manually or through specific deformer functions.

Quellcode

```
2 //Zu Beginn werden die am häufigsten verwendeten Unterprogramme
3 //zusammengefasst. Dadurch wird der Quellcode kürzer.
4 //Diese Unterprogramme müssen in jedes Skript (in den einzelnen Modulen),
5 //welches diese verwendet kopiert werden.
6
7 //Winkel zwischen 2 Vektoren berechnen (wobei der Nullpunkt auch angegeben werden muss!!!)
8 Angle_between_Vectors_Calc(v0,v1,v2)
9 {
10  println(" ");
11  println("Winkel zwischen 2 Vektoren berechnen.");
12  println(" ");
13  var L1, L2;
14  println("1.Vektor: 0.Punkt nach 1.Punkt");
15  println("2.Vektor: 0.Punkt nach 2.Punkt");
16  println("0. Punkt",v0," Nullpunkt");
17  println("Die zwei Punkte müssen um den Nullpunkt verschoben werden.");
18  println("1. Punkt",v1);
19  v1=v1-v0;
20  v1.y=0;//Da der Winkel in der XZ-Ebene berechnet wird -> Achse=0;
21  println("1. Punkt",v1," Neuer");
22  println("2. Punkt",v2);
23  v2=v2-v0;
24  v2.y=0;//Da der Winkel in der XZ-Ebene berechnet wird -> Achse=0;
25  L1=vlen(v1);
26  L2=vlen(v2);
27  V_Angle=180*acos((v1.x*v2.x+v1.y*v2.y+v1.z*v2.z)/(L1*L2))/pi;
28  println("2. Punkt",v2," Neuer");
29  println("Winkel: ",V_Angle,"");
30  return V_Angle;
31 }
32
33 //XZ-Abstand zwischen 2 Punkten berechnen
34 XZ_Dist_2_Points_Calc(p1,p2)
35 {
36  //println(" ");
37  //println("XZ-Abstand zwischen 2 Punkten berechnen");
38  var DistPoint_X,DistPoint_Z;
39  DistPoint_X=p2.x-p1.x;
40  DistPoint_Z=p2.z-p1.z;
41  Dist_current_Point=sqrt((DistPoint_X*DistPoint_X)+(DistPoint_Z*DistPoint_Z));
42  println("X-Abstand= ",DistPoint_X);
43  println("Z-Abstand= ",DistPoint_Z);
44  println("XZ-Abstand(Diagonale)= ",Dist_current_Point);
45  return Dist_current_Point;
46 }
47
48 //XYZ-Abstand zwischen 2 Punkten berechnen
49 XYZ_Dist_2_Points_Calc(p1,p2)
50 {
51  //println(" ");
52  //println("XYZ-Abstand zwischen 2 Punkten berechnen");
53  var DistPoint_X,DistPoint_Y,DistPoint_Z;
54  var i;
55  DistPoint_X=p2.x-p1.x;
56  DistPoint_Y=p2.y-p1.y;
57  DistPoint_Z=p2.z-p1.z;
58  DistPoint_Y=DistPoint_Y/Grade_Factor; //Die Höhe spielt eine untergeordnete Rolle -> Radfahrer
59  Dist_current_Points=sqrt((DistPoint_X*DistPoint_X)+(DistPoint_Y*DistPoint_Y)+(DistPoint_Z*DistPoint_Z));
60  return Dist_current_Points;
61 }
62
63 //Punktdata der Brückenoberfläche (LoftNurb) einlesen
64 GENERATE_BRIDGE_GEOMETRY_ARRAY()
65 {
66  println(" ");
67  println("PUNKTE_ARRAY der GESAMTEN aktuellen BRÜCKENGEOMETRIE erzeugen!");
68  println(" ");
69  var a,cnt;
70  var SplineNumber;
71  var SplineName,Spline; //Variablen für den SplineChooser
72  var Spline_Points = new(array, SplinePunkte);
73  for (a=1;a<=Anzahl_Splines;a++) //Start Spline Chooser
74  {
75    SplineName=(stradd("OriginalSpline",toString(a)));
76    if(doc->FindObject(SplineName))
77    {
78      Spline=doc->FindObject(SplineName);
79      //println("Punkte von Spline:",SplineName," in BRIDGE_POINTS_ARRAY schreiben!!!");
80      SplineNumber=a-1;
81      //Spline Punkte auslesen
82      for (cnt=0;cnt<SplinePunkte;cnt++)
83      {
84        Spline_Points[cnt]=Spline->GetPoint(cnt);
85        BRIDGE_POINTS_ARRAY[SplineNumber][cnt]=Spline_Points[cnt];
86        //println("BRIDGE_POINTS_ARRAY["SplineNumber+","+cnt+"] schreiben: ",BRIDGE_POINTS_ARRAY[SplineNumber][cnt]);
87      }
88    }
89    else println("Haven't found yet!");
90  } // Ende ARRAY ERZEUGEN FOR SCHLEIFE
91  return BRIDGE_POINTS_ARRAY;
92 }
93
94 //UPDATE_BRIDGE_SPLINES
95 UPDATE_BRIDGE_SPLINES()
96 {
97  var SplineName,Spline,a,cnt;
98  var New_Spline_Points=new(array,SplinePunkte);
99  for (a=1;a<=Anzahl_Splines;a++) //Start Spline Chooser
100  {
101    SplineName=(stradd("OriginalSpline",toString(a)));
102    if(doc->FindObject(SplineName))
103    {
104      for(cnt=0;cnt<SplinePunkte;cnt++)
105      {
106        Spline=doc->FindObject(SplineName);
107        New_Spline_Points[cnt]=BRIDGE_POINTS_ARRAY[a-1][cnt];
108        //println(a-1,"",cnt,"Point_Koordinaten: ",New_Spline_Points[cnt]);
109      }
110      Spline->SetPoints(New_Spline_Points);
111    }
112  }
113 }
114
115 //Berechnet die Punkte der 2 zu generierenden Grundpfade zwischen den Brückenkenden
116 PATH_POINTS_CALC()
117 {
118  //-----Punkte Position erzeugen-----
119  var i=0;
120  var X_Cord,Y_Cord,Z_Cord;
121  var X_Dist,Y_Dist,Z_Dist;
122  var SplineNr;
123  var Last_Path_Point_Num=Path_Punkte+1;
124  var zufall_1=new(Random);
125  var zahl_1,zahl_2;
126  zufall_1->Init(time());
127  var zahl_2=zufall_1->Get01();
128  Path_Points=new(array,Last_Path_Point_Num+1);
129  //Anfangspunkt generieren
130  zahl_1=zufall_1->Get01();
131  if(zahl_1>=0.5) SplineNr=Anzahl_Splines-1;
132  if(zahl_1<0.5) SplineNr=0;
133  //SplineNr=int(Anzahl_Splines*zahl_1);
134  //if(SplineNr==0) SplineNr=1;
135  //if(SplineNr==Anzahl_Splines) SplineNr=Anzahl_Splines-2;
136  println("1. SplineNummer",SplineNr);
137  Path_Points[0]=BRIDGE_POINTS_ARRAY[SplineNr][0];
138  //Endpunkt generieren
139  zahl_2=zufall_1->Get01();
140  if(zahl_2>=0.5) SplineNr=Anzahl_Splines-1;
141  if(zahl_2<0.5) SplineNr=0;
142  //SplineNr=int(Anzahl_Splines*zahl_2);
143  //if(SplineNr==0) SplineNr=1;
144  //if(SplineNr==Anzahl_Splines) SplineNr=Anzahl_Splines-2;
145  println("2. SplineNummer",SplineNr);
146  Path_Points[Last_Path_Point_Num]=BRIDGE_POINTS_ARRAY[SplineNr][SplinePunkte-1];
147  //-----Achsdistanzen ausrechnen-----
148  println("Achsen Distanzen berechnen!");
149  X_Dist=Path_Points[0].x-Path_Points[Last_Path_Point_Num].x;
150  Y_Dist=Path_Points[0].y-Path_Points[Last_Path_Point_Num].y;
151  Z_Dist=Path_Points[0].z-Path_Points[Last_Path_Point_Num].z;
152  //-----Segmentlängen für gleichmäßige Punktsetzung-----
153  X_Dist=X_Dist/(Last_Path_Point_Num);
154  Y_Dist=Y_Dist/(Last_Path_Point_Num);
155  Z_Dist=Z_Dist/(Last_Path_Point_Num);
156  //-----Punkte zwischen den Auflagern generieren-----
157  for(i=1;i<=Last_Path_Point_Num;i++)
158  {
159    X_Cord=Path_Points[0].x-X_Dist*i;
160    Y_Cord=Path_Points[0].y-Y_Dist*i;
161    Z_Cord=Path_Points[0].z-Z_Dist*i;
162    Path_Points[i]=vector(X_Cord,Y_Cord,Z_Cord);
163  }
164  for(i=0;i<=Last_Path_Point_Num;i++)
165  {
166    println("Punkt",i," Koordinaten:",Path_Points[i]);
167  }
168  return Path_Points;
}
```



```

169 }
170
171 //Spline mit eine bestimmten Punkteanzahl Zeichnen
172 DRAW_PATH_SPLINE0
173 {
174     println(" ");
175     println("PATHSPLINE zeichnen!!!");
176     println(" ");
177     //-----SplineObjekt erzeugen-----
178     var Path_Spline;
179     var Path_Name=("Pedestrian_Path_Spline");
180     var Path_Splines_Null;
181     var Path_Splines_Null_Name=("Path_Splines");
182     var i;
183
184     //NullObject Als Ordner ERSTELLEN
185     if(!doc->FindObject(Path_Splines_Null_Name))
186     {
187         Path_Splines_Null=new(NullObject);//Neues InstanzObjekt //Hier könnte man ander Objekte nehmen
188         Path_Splines_Null->SetName(Path_Splines_Null_Name); //InstanzObjektName zuweisen
189         doc->InsertObject(Path_Splines_Null,Null,Null);//Fügt ein Instancobjekt ein, wobei das Parent Objekt des die
190     }
191     if(!doc->FindObject(Path_Name))
192     {
193         Path_Splines_Null=doc->FindObject(Path_Splines_Null_Name);
194         Path_Spline=new(SplineObject);
195         var vc=new(VariableChanged);
196         var bt=new(BackupTags);
197         bt->Init(Path_Spline); // required because we are changing the number of points
198         vc->Init(0,Path_Punkte+2); // it used to have 0 points, now has 5
199         if (Path_Spline->Message(MSG_POINTS_CHANGED, vc))
200         {
201             bt->Restore();
202         }
203         doc->InsertObject(Path_Spline,Path_Splines_Null,NULL);
204         Path_Spline->SetName(Path_Name);
205         Path_Spline#SPLINEOBJECT_TYPE=3; // set the type of spline here
206     }
207
208 //MAKE_RECTANGLE
209 MAKE_RECTANGLE(Left_Pos,Right_Pos,Height,Name, Parent)
210 {
211     var Rectangle_Object;
212     var Rectangle_Points=new(array,4);
213
214     if(!doc->FindObject(Name))
215     {
216         Rectangle_Object=new(SplineObject);
217         var vc=new(VariableChanged);
218         var bt=new(BackupTags);
219         bt->Init(Rectangle_Object); // required because we are changing the number of points
220         vc->Init(0,4); // it used to have 0 points, now has 5
221         if (Rectangle_Object->Message(MSG_POINTS_CHANGED, vc))
222         {
223             bt->Restore();
224         }
225         doc->InsertObject(Rectangle_Object,Parent, null);
226         Rectangle_Object->SetName(Name);
227         Rectangle_Object#SPLINEOBJECT_TYPE=0; // set the type of spline here
228         Rectangle_Object#SPLINEOBJECT_CLOSED=True;
229     }
230
231     Rectangle_Points[0]=Left_Pos;
232     Left_Pos.y=Left_Pos.y-Height;
233     Rectangle_Points[1]= Left_Pos;
234     Right_Pos.y=Right_Pos.y-Height;
235     Rectangle_Points[2]= Right_Pos;
236     Right_Pos.y=Right_Pos.y+Height;
237     Rectangle_Points[3]=Right_Pos;
238     //println(Path_Punkte);
239     Rectangle_Object=doc->FindObject(Name);
240     Rectangle_Object->SetPoints(Rectangle_Points);
241     Rectangle_Object->Message(MSG_UPDATE);
242 }
243
244 //MAKE_SPHERE
245 MAKE_SPHERE(Scale,Name,Position,Parent)
246 {
247     var Sphere;
248     if(!doc->FindObject(Name))
249     {
250         Sphere = new(SphereObject);
251         Sphere->SetName(Name);
252         Sphere#PRIM_SPHERE_RAD=Scale;
253         Sphere->SetPosition(Position);
254         doc->InsertObject(Sphere,Parent, null);
255     }
256     else
257     {
258         Sphere = doc->FindObject(Name);
259         Sphere->SetPosition(Position);
260         Sphere#PRIM_SPHERE_RAD=Scale;
261     }
262     Sphere->Message(MSG_UPDATE);
263 }
264
265
266
267 //-----
268 //GENERATE_BASIC_SURFACE from SPLINE A to B |
269 //-----
270 //by Christian Pichlkastner
271 //
272 //In diesem Skript wird die Matrix, Grundknetfläche bzw.Brückenoberfläche erzeugt.
273 //
274 //Input: Typ, Auf_LA, Auf_LB, Bridge_Width, ONOFF, SplineAnzahl, SplinePunkte
275 //Output: Output1
276
277 //GLOBALE VARIABLEN
278 var Spline_A_Position,Spline_B_Position;
279 var LetzterPunkt;
280 var Count;
281 var doc;
282 var LoftObjekt,LoftObjekt_Name;
283 var zufall_1,zufall_2,zahl_1,zahl_2;
284 var percent_width;
285
286 //Brückenendpunkte erzeugen
287 ENDPUNKTE_ERZEUGEN(PointArray,doc,LetzterPunkt)
288 {
289     println("-----");
290     //println("IN SUB_FUNKTION ENDPUNKTE ERZEUGEN!");
291     //-----Position in Prozent berechnen-----
292     var Spline_A_Length,Spline_A_Name,ProzentPosition_A,SplineA,SplineAbstand_A;
293     var Spline_B_Length,Spline_B_Name,ProzentPosition_B,SplineB,SplineAbstand_B;
294     var Overlap_Check;
295     var Width;
296     //-----
297     println(" Position Auflager A",zahl_1);
298     Spline_A_Name=Auf_LA->GetName();
299     SplineA=doc->FindObject(Spline_A_Name);
300     SplineA->InitLength(0);
301     Spline_A_Length =SplineA->GetLength();
302     Width=Bridge_Width;
303
304     if(Bridge_Width>=Spline_A_Length) Width=Spline_A_Length;
305
306     println("Spline_A_Length: ",Spline_A_Length);
307     println(" Bridge_Width: ",Bridge_Width);
308     //Wenn Spline länge 100% dann sind Breite/Anzahl wieviel Prozent?
309     percent_width=((1/Spline_A_Length)*Width); //In Prozent umrechnen
310     println(" Width in Prozent der Gesamtlänge: ",percent_width);
311     SplineAbstand_A=percent_width/(SplineAnzahl-1);
312     println(" SplinesZwischenAbstand_A: ",SplineAbstand_A);
313     //-----Wenn die Brücke außerhalb des Auflagers aufliegen würde---
314     Overlap_Check=zahl_1+(SplineAnzahl-1)*SplineAbstand_A;
315     println("1.Overlap_Check=",Overlap_Check);
316
317     if (Overlap_Check>=1) zahl_1=zahl_1-(Overlap_Check-1);
318
319     if (Overlap_Check<=0) zahl_1=zahl_1+(Overlap_Check-1);
320
321     println(" gändert ZAH_L1: ",zahl_1);
322     ProzentPosition_A=zahl_1+SplineAbstand_A*(Count-1); //Prozentposition ausrechnen
323     println(" aktuelle PROZENTPOSITION_A: ",ProzentPosition_A);
324     //-----
325     println(" Position Auflager B",zahl_2);
326     Spline_B_Name=Auf_LB->GetName();
327     SplineB=doc->FindObject(Spline_B_Name);
328     SplineB->InitLength(0);
329     Spline_B_Length =SplineB->GetLength();
330     Width=Bridge_Width;
331
332     if(Bridge_Width>=Spline_B_Length) Width=Spline_B_Length;
333     println("Spline_B_Length: ",Spline_B_Length);
334     println(" Bridge_Width: ",Bridge_Width);
335     //Wenn Spline länge 100% dann sind Breite/Anzahl wieviel Prozent?
336     percent_width=((1/Spline_B_Length)*Width); //In Prozent umrechnen

```

```

337 println("Width in Prozent der Gesamtlänge: ",percent_width);
338 SplineAbstand_B=percent_width/(SplineAnzahl-1);
339 println("SplinesZwischenAbstand_B: ",SplineAbstand_B);
340 //-----Wenn die Brücke außerhalb des Auflagers aufliegen würde---
341 Overlap_Check=zahl_2+(SplineAnzahl-1)*SplineAbstand_B;
342 println("2.Overlap_Check=",Overlap_Check);
343 if (Overlap_Check>=1) zahl_2=zahl_2-(Overlap_Check-1);
344
345 if (Overlap_Check<=0) zahl_2=zahl_2+(Overlap_Check-1);
346
347 println("gändert ZAHL_2: ",zahl_2);
348 ProzentPosition_B=zahl_2+SplineAbstand_B*(Count-1); //Prozentposition ausrechnen
349 println("aktuelle PROZENTPOSITION_B: ",ProzentPosition_B);
350 //-----SplinePunktPoistion ermitteln-----
351 println("SplinePunktPosition ermitteln:");
352 //Path_1_Pos_Temp1=Path_1_Object->GetSplinePoint(Path_1_Object->UniformToNatural(Percent_Position_1);
353 Spline_A_Position=AufL_A->GetSplinePoint(AufL_A->UniformToNatural(ProzentPosition_A),0);
354 //Spline_A_Position=AufL_A->GetSplinePoint(ProzentPosition_A,0);
355 //Spline_B_Position=AufL_B->GetSplinePoint(ProzentPosition_B,0);
356 Spline_B_Position=AufL_B->GetSplinePoint(AufL_B->UniformToNatural(ProzentPosition_B),0);
357 PointArray[0]=Spline_A_Position;
358 PointArray[LetzterPunkt]=Spline_B_Position;
359 return PointArray,Spline_A_Position,Spline_B_Position,LetzterPunkt;
360 }
361
362 //Punkte zwischen den Uferzonen erzeugen
363 PUNKTE_ERZEUGEN(PointArray,Spline_A_Position,Spline_B_Position)
364 {
365 //-----Punkte Position erzeugen-----
366 var i=0;
367 var X_Cord,Y_Cord,Z_Cord;
368 var X_Dist,Y_Dist,Z_Dist;
369 println("Bin in der Restl.-PUNKTE_ERZEUGEN Funktion");
370 println("Der letzte Punkt ist Punkt Nummer ",LetzterPunkt);
371 PointArray[i]=Spline_A_Position;
372 //println("Punkt",i," Koordinate_Auflager A: ",Spline_A_Position); //-----Anfangspunkt-----
373 PointArray[LetzterPunkt]=Spline_B_Position;
374 //println("Punkt",LetzterPunkt," Koordinaten_Auflager B: ",Spline_B_Position); //-----Endpunkt-----
375 //-----Achsdistanzen ausrechnen-----
376 /*
377 println("Achsen Distanzen berechnen!");
378 println("Punkt_AufL_A.x: ",Spline_A_Position.x);
379 println("Punkt_AufL_A.y: ",Spline_A_Position.y);
380 println("Punkt_AufL_A.z: ",Spline_A_Position.z);
381 println("Punkt_AufL_B.x: ",Spline_B_Position.x);
382 println("Punkt_AufL_B.y: ",Spline_B_Position.y);
383 println("Punkt_AufL_B.z: ",Spline_B_Position.z);
384 */
385 X_Dist=Spline_B_Position.x-Spline_A_Position.x;
386 Y_Dist=Spline_B_Position.y-Spline_A_Position.y;
387 Z_Dist=Spline_B_Position.z-Spline_A_Position.z;
388 /*
389 println("X-Distanz vor der Schleife =",X_Dist);
390 println("Y-Distanz vor der Schleife =",Y_Dist);
391 println("Z-Distanz vor der Schleife =",Z_Dist);
392 */
393 //-----Segmentlängen für gleichmäßige Punktsetzung----
394 X_Dist=X_Dist/(LetzterPunkt);
395 Y_Dist=Y_Dist/(LetzterPunkt);
396 Z_Dist=Z_Dist/(LetzterPunkt);
397 /*
398 println("Segmentgröße X="X_Dist);
399 println("Segmentgröße Y="Y_Dist);
400 println("Segmentgröße Z="Z_Dist);
401 */
402 //-----Punkte zwischen den Auflagern generieren----
403 for(i=1;<LetzterPunkt;i++)
404 {
405 /*
406 println(i);
407 println("X-Distanz in der Schleife für Punkt",i,"=",X_Dist);
408 println("Y-Distanz in der Schleife für Punkt",i,"=",Y_Dist);
409 println("Z-Distanz in der Schleife für Punkt",i,"=",Z_Dist);
410 */
411 X_Cord=Spline_A_Position.x+X_Dist*i;
412 Y_Cord=Spline_A_Position.y+Y_Dist*i;
413 Z_Cord=Spline_A_Position.z+Z_Dist*i;
414 PointArray[i]=vector(X_Cord,Y_Cord,Z_Cord);
415 /*
416 println("Punkt",i," Auflager A X-Wert",Spline_A_Position.x);
417 println("Punkt",i," Koordinaten:",PointArray[i]);
418 */
419 }
420 return PointArray;
421 }
422
423 //-----
424 //-----
425 main()
426 {
427 var PointArray=new(array,SplinePunkte); // this example creates a spline with 5 points
428 doc=GetActiveDocument();
429 var SplinePunkteAnzahl;
430 Count=1;
431 SplinePunkteAnzahl=SplinePunkte;
432 LetzterPunkt=SplinePunkteAnzahl-1;
433 LoftObjekt_Name=("LoftObjekt");
434 if(ONOFF==TRUE)
435 {
436 //LoftObjekt als Ordner ERSTELLEN
437 if(!doc->FindObject("LoftObjekt"))
438 {
439 LoftObjekt=new(LoftObjekt); //Neues InstanzObjekt //Hier könnte man ander Objekte nehmen
440 LoftObjekt->SetName(LoftObjekt_Name); //InstanzObjektName zuweisen
441 doc->InsertObject(LoftObjekt,Null,Null); //Fügt ein Instancobjekt ein, wobei das Parent Objekt des die Referenz ist
442 }
443 println("Erzeuge Zufallszahlen für Auflagerpositionen:");
444 zufall_1=new(Random);
445 zufall_2=new(Random);
446 zufall_1->nit(time0);
447 zufall_2->nit(time0);
448 zahl_1=zufall_1->Get010;
449 zahl_2=zufall_1->Get010;
450 zahl_1=zufall_1->Get010;
451 println("zahl_1 START: ",zahl_1);
452 println("zahl_2 START: ",zahl_2);
453 for(Count=1;Count<=SplineAnzahl;Count++)
454 {
455 //Brückenendpunkte erzeugen
456 ENDPUNKTE_ERZEUGEN(PointArray,doc,LetzterPunkt);
457 //Punkte zwischen den Uferzonen erzeugen
458 PUNKTE_ERZEUGEN(PointArray,Spline_A_Position,Spline_B_Position);
459 //Spline Zeichen
460 DRAW_SPLINE(PointArray);
461 }
462 //LoftNurbs-Update
463 LoftObjekt=doc->FindObject(LoftObjekt_Name);
464 LoftObjekt#ID_BASEOBJECT_GENERATOR_FLAG=False;
465 LoftObjekt#ID_BASEOBJECT_GENERATOR_FLAG=True;
466 Output1=False;
467 }
468 }
469
470
471
472 //-----
473 //SIMPLE_SPLINE_DEFORMER I
474 //-----
475 //by Christian Pichlkastner
476 //Dieses Cinema4d Coffee Skript verzerrt Splines mittels eines Zufallgenerators.
477 //
478 //Eingang: Anzahl_Splines,SplinePunkte, Faktor, ONOFF1
479 //Ausgang: OUT
480 Spline_Deform(Spline,Spline_Points,DeformedPoints,cnt,zahl_1,SplinePunkte,cnt,zufall_1)
481 {
482 for(cnt;cnt<(SplinePunkte-1);cnt++)
483 {
484 zahl_1=zufall_1->Get010; //Neue Zufallszahl
485 println("In Verzerrten-Unterprogramm:");
486 println("Punkt",cnt," X-Koordinaten:",DeformedPoints[cnt].x);
487 println("Punkt",cnt," Y-Koordinaten:",DeformedPoints[cnt].y);
488 println("Punkt",cnt," Z-Koordinaten:",DeformedPoints[cnt].z);
489 println("Zufallszahl: ",zahl_1);
490 DeformedPoints[cnt].x=DeformedPoints[cnt].x+(Faktor*0.1)*cos(zahl_1*cnt*0.3); //je größer die zahl in der Sinuskammer desto ht
491 DeformedPoints[cnt].y=DeformedPoints[cnt].y+(Faktor*5)*cos(zahl_1*cnt*(Faktor*4)); //je größer die zahl in der Sinuskammer des
492 DeformedPoints[cnt].z=DeformedPoints[cnt].z+(Faktor*0.1)*cos(zahl_1*cnt*1); //je größer die zahl in der Sinuskammer desto höher
493 }
494 Spline_Points=DeformedPoints;
495 Spline->SetPoints(Spline_Points);
496 }
497
498 //-----
499 //-----
500 main()
501 {
502 var doc=GetActiveDocument();
503 var Spline,Spline_Name,Spline_Points,DeformedPoints;
504 var a,cnt;

```

```

505 var zufall_1=new(Random);
506 zufall_1->Init(time());
507 var zahl_1=zufall_1->Get(0);
508 if (ONOFF1==TRUE && doc->FindObject("LoftObjekt") && doc->FindObject("OriginalSpline1"))
509 {
510     for(a=1;a<=Anzahl_Splines;a++) //Start Spline Chooser
511     {
512         println("Zufallszahl_", zahl_1);
513         Spline_Name=(stradd("OriginalSpline",tostring(a)));
514         if(doc->FindObject(Spline_Name))
515         {
516             Spline=doc->FindObject(Spline_Name);
517             Spline_Name=Spline->GetName();
518             println("Found: ",Spline_Name);
519             Spline_Points=Spline->GetPoints();
520             DeformedPoints=Spline_Points;
521             //Deform Spline
522             if (a<=Anzahl_Splines) //blödsinn--
523             {
524                 cnt=1;
525                 Spline_Deform(Spline,Spline_Points,DeformedPoints,cnt,zahl_1,SplinePunkte,cnt,zufall_1);
526             }
527         }
528         else println("Haven't found Spline to deform");
529     } //Ende ForSchleife
530     var LoftnurbsNEW,Loftname;
531     Loftname=("LoftObjekt");
532     LoftnurbsNEW=doc->FindObject(Loftname);
533     LoftnurbsNEW#ID_BASEOBJECT_GENERATOR_FLAG=False;
534     LoftnurbsNEW#ID_BASEOBJECT_GENERATOR_FLAG=True;
535     } //If Input1==True -> Ende
536     else
537     {
538         if (ONOFF1==TRUE) println("Splines können nicht verzerrt werden, da kein LoftObjekt und keine Splines vorl
539     }
540     OUT=False;
541 }
542
543
544
545 //-----
546 //MAKE_BARRIER_FREE_SCRIPT |
547 //-----
548 //by Christian Pichlkastner
549 //
550 //Dieses Cinema4d Coffee Skript überprüft eine Spline auf Barrierefreiheit.
551 //Wenn diese nicht barrierefrei ist dann wird diese barrierefrei gemacht!!!
552 //
553 //Eingang: Spline, ONOFF, Steigung
554 //Ausgang: OFF
555 //Globale Variable
556 var CHECKED, V_Angle, X12, X34;
557 var LastPoint,FirstPoint,Ideal_Line_Degree,Ideal_Line_XZ_Length;
558 var Dist_MaxEbene_X,Dist_MaxEbene_Y,Dist_MaxEbene_Z,Dist_current_Point;
559 var PointLenght_on_XZ_Ideal_Line,Y_V_Divergence_to_Ideal_Line;
560 var pt,Curve_Degree;
561 var Y_DISTANCE,Biggest_Value,Biggest_Point,Scale_Faktor;
562
563 //Überprüfen ob Barrierefreiheit überhaupt möglich-----
564 Check_if_Barrier_Free_is_Possible(SplineObjekt,SplinePunkte)
565 {
566     var Checked,Possible_Y;
567     println(" ");
568     println("ÜBERPRÜFEN OB BARRIEREFREIHEIT ÜBERHAUPT MÖGLICH IST!!");
569     println("-----");
570     println("Anfangs- und Endpunkt finden.");
571     FirstPoint=SplineObjekt->GetPoint(0);
572     LastPoint=SplineObjekt->GetPoint(SplinePunkte-1);
573     println("Die Spline besteht aus ",SplinePunkte," Punkten.");
574     println("Firstpoint: X=",FirstPoint.x," Y=",FirstPoint.y," Z=",FirstPoint.z);
575     println("Lastpoint: X=",LastPoint.x," Y=",LastPoint.y," Z=",LastPoint.z);
576     println("Abstand der 2 Punkte im Raum ermitteln.");
577     Dist_MaxEbene_X=LastPoint.x-FirstPoint.x;
578     Dist_MaxEbene_Y=LastPoint.y-FirstPoint.y;
579     Dist_MaxEbene_Z=LastPoint.z-FirstPoint.z;
580     println("Distanz auf X-Achse: ",Dist_MaxEbene_X);
581     println("Distanz auf Y-Achse: ",Dist_MaxEbene_Y);
582     println("Distanz auf Z-Achse: ",Dist_MaxEbene_Z);
583     Ideal_Line_XZ_Length=sqrt((Dist_MaxEbene_X*Dist_MaxEbene_X)+(Dist_MaxEbene_Z*Dist_MaxEbene_Z));
584     println("Die Ideal_Line_XZ ist ",Ideal_Line_XZ_Length," lcm lang.");
585     Ideal_Line_Degree=Dist_MaxEbene_Y/Ideal_Line_XZ_Length;
586     println("Curve_Degree der Idealen Verbindungslinie ",Ideal_Line_Degree);
587     println("Aktuell geforderte barrierefreiheit:",Curve_Degree);
588     Possible_Y=Curve_Degree*Ideal_Line_XZ_Length;
589     println("Maximaler Y-Höhen unterschied darf ",Possible_Y," betragen");
590     println("Aktueller Y-Höhenunterschied beträgt: ",abs(Dist_MaxEbene_Y));
591     if (abs(Dist_MaxEbene_Y > Curve_Degree*Ideal_Line_XZ_Length))
592     {
593         println("Barrierefreiheit ist nicht möglich!!!");
594         return CHECKED=False;
595     }
596     else println("Barrierefreiheit ist möglich!!!");
597
598     return CHECKED=True,FirstPoint,LastPoint,Ideal_Line_Degree,Ideal_Line_XZ_Length,Dist_MaxEbene_X,Dist_MaxEbene_Y;
599 }
600
601 //X12-Länge und X34-Länge bestimmen. -> Für spätere Entscheidung, welche Geradengleichung gewählt werden muss
602 //Barrierefrei Grenzen ermitteln.
603 Get_X12_X34_Calc()
604 {
605     println(" ");
606     println("Ermittlung der Punkte X12 und X34 auf der XZ Ideal-Linie");
607     println(" ");
608     var d1,d2;
609     d1=FirstPoint.y-Curve_Degree*FirstPoint.x;
610     d2=LastPoint.y+Curve_Degree*(FirstPoint.x+Ideal_Line_XZ_Length);
611     X12=((d2-d1)/(2*Curve_Degree))-FirstPoint.x;
612     X34=Ideal_Line_XZ_Length-X12;
613     println("d1: ",d1);
614     println("d2: ",d2);
615     println("X12: ",X12); //Länge an der XZ-Ebene der Ideal-Gerade
616     println("X34: ",X34); //Länge an der XZ-Ebene der Ideal-Gerade
617     return X12,X34;
618 }
619
620 //PointLenght_on_Ideal_Line_Calc
621 PointLenght_on_Ideal_Line_Calc(SplinePunkte)
622 {
623     println(" ");
624     println("Neuen Länge für den aktuellen Punkt auf Idealgeraden ausrechnen");
625     println(" ");
626     PointLenght_on_XZ_Ideal_Line=Dist_current_Point*cos(V_Angle*(pi/180)); //winkel muss in rad umgerechnet werden =
627     println("cos(",V_Angle,")*Länge zwischen dem Anfangspunkt und dem Akutellen Punkt: ",Dist_current_Point," = Ankathe:
628     return PointLenght_on_XZ_Ideal_Line;
629 }
630
631 //Y-Abstand des aktuellen Punktes zur Ideal-Geraden bestimmen -> Um später mitbestimmen zu können welche Geraden
632 Y_Divergence_to_Ideal_Line_Calc(cnt,Ideal_Line_Degree,pt,PointLenght_on_XZ_Ideal_Line,Point_Cord_on_Ideal_Line)
633 {
634     println(" ");
635     println("Y-Abstand des aktuellen Punktes zur Ideal-Geraden bestimmen");
636     println(" ");
637     Y_Divergence_to_Ideal_Line=pt.y-(FirstPoint.y+PointLenght_on_XZ_Ideal_Line*Ideal_Line_Degree);
638     println("Aktueller Abstand von Idealgeraden: ",Y_Divergence_to_Ideal_Line);
639     Point_Cord_on_Ideal_Line[cnt].y=FirstPoint.y+PointLenght_on_XZ_Ideal_Line*Ideal_Line_Degree;
640     return Y_Divergence_to_Ideal_Line,Point_Cord_on_Ideal_Line;
641 }
642 //Spline Y-Abweichungen in den barrierefrei_machbaren Bereich verschieben
643 Force_Spline_into_BarrierFree_Bounds(cnt,Bounds_Checked_Spline_Points)
644 {
645     println(" ");
646     println("Spline Y-Abweichungen in den barrierefrei_machbaren Bereich verschieben");
647     println(" ");
648     var Actual_Curve_Degree;
649     if (Curve_Degree<Ideal_Line_Degree)
650     {
651         Actual_Curve_Degree=Ideal_Line_Degree;
652     }
653     else Actual_Curve_Degree=Curve_Degree;
654     println("Aktuelle Punkt Y.Koordinate: ",pt.y);
655     println("Y-Abweichung zur IdealLinie 'POSITIV' oder 'NEGATIV'?");
656     println("Y-Abweichung von IdealLinie: ",Y_Divergence_to_Ideal_Line);
657     println("Punktvektorlänge auf IdealGeraden: ",PointLenght_on_XZ_Ideal_Line);
658     println("Größer oder kleiner X12 oder X34?");
659     println("X12: ",X12);
660     println("X34: ",X34);
661     //Entscheidung welche Geradengleichung als Vergleich hergenommen wird.
662     if(Y_Divergence_to_Ideal_Line>=0) //Wenn Y_Divergence_to_Ideal_Line positiv ist!!!
663     {
664         if(PointLenght_on_XZ_Ideal_Line<=X12)
665         {
666             println("1. Geradengleichung");
667             if(pt.y>FirstPoint.y+Actual_Curve_Degree*PointLenght_on_XZ_Ideal_Line) //Anfangspunkt+Punktlänge*Curve_Degree
668             {
669                 println("Der Y-Wert aktuellen Punktes beträgt ",pt.y);
670                 pt.y=FirstPoint.y+Actual_Curve_Degree*PointLenght_on_XZ_Ideal_Line;
671                 println("Der aktuelle Punkt wird auf ",pt.y," korrigiert!!!");
672             }

```



```

673     else println("Der aktuelle Punkt muss nicht korrigiert werden!");
674 }
675 else
676 {
677     println("2. Geradengleichung");
678     if(pt.y>LastPoint.y+Actual_Curve_Degree*(Ideal_Line_XZ_Length-PointLenght_on_XZ_Ideal_Line))
679     {
680         println("Der Y-Wert aktuellen Punktes beträgt ",pt.y);
681         pt.y=LastPoint.y+Actual_Curve_Degree*(Ideal_Line_XZ_Length-PointLenght_on_XZ_Ideal_Line);
682         println("Der aktuelle Punkt wird auf ",pt.y," korrigiert!!!");
683     }
684     else println("Der aktuelle Punkt muss nicht korrigiert werden!");
685 }
686 }
687 else //Wenn Y_Divergence_to_Ideal_Line negativ ist!!!
688 {
689     if(PointLenght_on_XZ_Ideal_Line<=X34)
690     {
691         println("3. Geradengleichung");
692         if(pt.y<FirstPoint.y-Actual_Curve_Degree*PointLenght_on_XZ_Ideal_Line)
693         {
694             println("Der Y-Wert aktuellen Punktes beträgt ",pt.y);
695             pt.y=FirstPoint.y-Actual_Curve_Degree*PointLenght_on_XZ_Ideal_Line;
696             println("Der aktuelle Punkt wird auf ",pt.y," korrigiert!!!");
697         }
698         else println("Der aktuelle Punkt muss nicht korrigiert werden!");
699     }
700     else
701     {
702         println("4. Geradengleichung");
703         if(pt.y<LastPoint.y-Actual_Curve_Degree*(Ideal_Line_XZ_Length-PointLenght_on_XZ_Ideal_Line))
704         {
705             println("Der Y-Wert aktuellen Punktes beträgt ",pt.y);
706             pt.y=LastPoint.y-Actual_Curve_Degree*(Ideal_Line_XZ_Length-PointLenght_on_XZ_Ideal_Line);
707             println("Der aktuelle Punkt wird auf ",pt.y," korrigiert!!!");
708         }
709         else println("Der aktuelle Punkt muss nicht korrigiert werden!");
710     }
711 }
712 return Bounds_Checked_Spline_Points[cnt]=pt;
713 }
714
715 //Y-Abstand zwischen 2 Splines ermitteln
716 Get_Distance_Between_Splines(SplinePunkte,Original_Spline_Points,Bounds_Checked_Spline_Points)
717 {
718     println(" ");
719     println("Y-Abstände zwischen Original und VergleichsSpline ermitteln");
720     println(" ");
721     var i,Y_Dist=new(array,SplinePunkte);
722     for (i=0;i<SplinePunkte;i++)
723     {
724         Y_Dist[i]=Original_Spline_Points[i].y-Bounds_Checked_Spline_Points[i].y;
725         println(i,".Punkt OriginalSpline : ",Original_Spline_Points[i].y);
726         println(i,".Punkt BoundCheckedSpline: ",Bounds_Checked_Spline_Points[i].y);
727         println(i,".Punkt Y-Distanz: ",Y_Dist[i]);
728     }
729     Y_DISTANCE=Y_Dist;
730     return Y_DISTANCE;
731 }
732
733 //Größten Wert eines Array-Inhaltes ausgeben
734 Biggest_Value_Calc(SplinePunkte)
735 {
736     println(" ");
737     println("Größte Y-Abweichung berechnen.");
738     println(" ");
739     var i,Biggest_Y_PointNumber;
740     Biggest_Value=Y_DISTANCE[0];
741     PointNumber=0;
742     for (i=1;i<SplinePunkte;i++)
743     {
744         println(i,". Vorheriger Wert: ",abs(Y_DISTANCE[i-1]));
745         println(i,". Momentaner Wert: ",abs(Y_DISTANCE[i]));
746         if( Biggest_Value < abs(Y_DISTANCE[i]))
747         {
748             Biggest_Value=abs(Y_DISTANCE[i]);
749             PointNumber=i;
750         }
751     }
752     println(i,". größte Abweichung: ",Biggest_Value);
753     println("Punkt ",PointNumber," hat mit einem Betrag von: ",Biggest_Value," die größte Y-Abweichung!");
754     Biggest_Point=PointNumber;
755     return Biggest_Value,Biggest_Point;
756 }

```

```

757
758 //Spline anhand von maximaler Abweichung von Bounds_Checked_Spline_Points skallieren
759 Scale_Spline(SplinePunkte,Scaled_Spline_Points,Bounds_Checked_Spline_Points,Original_Spline_Points,Point_Cord_on_Ideal_Line)
760 {
761     println(" ");
762     println("SPLINE SKALLIEREN!");
763     println(" ");
764
765     var i;
766     if(Biggest_Value!=0)
767     {
768         //Stecke Punkt auf Idealgeraden-BoundaryPoint / Punkt auf Idealgeraden_OriginalSpline
769         Scale_Faktor=(Point_Cord_on_Ideal_Line[Biggest_Point].y-Bounds_Checked_Spline_Points[Biggest_Point].y)/(Point_Cord_on_Idea
Original_Spline_Points[Biggest_Point].y);
770     }
771     else Scale_Faktor=0;
772     println("Skallierfaktor:",Scale_Faktor);
773     for(i=0;i<SplinePunkte;i++)
774     {
775         println("Y_DISTANCE: ",Y_DISTANCE[i]);
776         Y_DISTANCE[i]=Y_DISTANCE[i]*Scale_Faktor;
777         println("Y_DISTANCE: ",Y_DISTANCE[i], " Neu");
778     }
779     for(i=0;i<SplinePunkte;i++)
780     {
781         Scaled_Spline_Points[i].y=Point_Cord_on_Ideal_Line[i].y+Y_DISTANCE[i];
782     }
783     Scaled_Spline_Points=Bounds_Checked_Spline_Points;
784     return Scaled_Spline_Points;
785 }
786
787 //SplinePunkt barrierefrei machen
788 Make_Spline_Barrier_Free(SplinePunkte,Bounds_Checked_Spline_Points,Barrier_Free_Spline_Points)
789 {
790     println(" ");
791     println("SPLINE BARRIEREFREI MACHEN!");
792     println(" ");
793
794     var Cord,Cord_before;
795     var Dist_X1,Dist_Y1,Dist_Z1,XZ_Dist1;
796     var cnt=1,Entscheidung;
797
798     Cord_before=Bounds_Checked_Spline_Points[0]; //Hier wird auch entschieden welche Spline gechecked wird!!!
799     //z.B.:SplineObjekt,Bounds_Checked_Spline,Scaled_Spline
800
801     pt=Cord; //pt wird hier ein Array, das später die veränderten Punktkoordinaten vergibt.
802     for(cnt=1;cnt<(SplinePunkte-1);cnt++)
803     {
804         println(" ");
805         println("Barrierefrei Check Punkt",cnt);
806         Cord=Bounds_Checked_Spline_Points[cnt];
807
808         //Distanzen ausrechnen
809         //Zwischen dem Punkt davor und dem Momentanen (Cnt) Punkt
810         //Mögliche Vorzeichenprobleme müssen erst (programmiert) ausgeschlossen werden!!!
811
812         println("Y-Distanz zwischen dem aktuellen Punkt ",cnt," dem Punkt ",cnt-1," davor!!!");
813         Dist_X1=Cord.x-Cord_before.x;
814         Dist_Z1=Cord.z-Cord_before.z;
815         Dist_Y1=Cord.y-Cord_before.y; //--> positive oder negative Curve_Degree!
816         XZ_Dist1=sqrt((Dist_X1*Dist_X1)+(Dist_Z1*Dist_Z1)); //Distanz in der Ebene
817
818         println("Punkt ",cnt-1," Koordinaten: ",Cord_before);
819         println("Punkt ",cnt," Koordinaten: ",Cord);
820         println("Abstand in XZ-Ebene: ",XZ_Dist1);
821         println("DIST_Y1: ",Dist_Y1);
822         println("Curve_Degree: ",Curve_Degree);
823
824         //je nach negativen oder positiven Höhenunterschied, wieder entschieden ob positive oder negative Curve_Degree!
825         if (Dist_Y1>=0)Entscheidung=1; //positive Richtung, positive Curve_Degree
826
827         if (Dist_Y1<0) Entscheidung=2; //positive Richtung, negative Curve_Degree
828
829         //Y-Vergleich - eventuell korrektur!!!
830         switch(Entscheidung)
831         {
832             case 1:
833                 println("Wenn Y_Distanz ",abs(Dist_Y1)," größer ist als ",XZ_Dist1* Curve_Degree," dann Punkt barrierefrei machen!");
834                 if (Dist_Y1> (XZ_Dist1* Curve_Degree))
835                 {
836                     println("Punkt wird barrierefrei gemacht");
837                     Cord.y=Cord_before.y+XZ_Dist1*Curve_Degree;
838                 }
839                 break;

```

```

840 case 2:
841 println("Wenn Y_Distanz ",abs(Dist_Y1)," größer ist als ",XZ_Dist1* Curve_Degree," dann Punkt barrierefrei
842 if (Dist_Y1K (XZ_Dist1*(-Curve_Degree)))
843 {
844     println("Punkt wird barrierefrei gemacht");
845     Cord.y=Cord_before.y+XZ_Dist1*(-Curve_Degree);
846 }
847 break;
848 }
849 Barrier_Free_Spline_Points[cnt]=Cord; //korrigierten "Boundary_Checked_Spline_Point" in Barriere_Free
850 Cord_before=Barrier_Free_Spline_Points[cnt];
851 }
852 return Barrier_Free_Spline_Points;
853 }
854
855 //-----
856 //-----
857 main()
858 {
859     var OriginalSpline;
860     var SplinePunkte,cnt;
861     var Original_Spline_Points,Bounds_Checked_Spline_Points, Barrier_Free_Spline_Points,Scaled_Spline_Point
862     var doc=GetActiveDocument();
863     var a,SplineName; //Variblen für den SplineChooser
864     var LoftObjekt;
865     if (ONOFF==TRUE && doc->FindObject("LoftObjekt"))
866     {
867         //-----Momentan werden alle Splines barrierefrei gemacht----muss verändern
868         for(a=1;a<=3;a++)
869         {
870             if(a==1) SplineName=("Pedestrian_Path_Spline");
871             if(a==2) SplineName=("Biker_Path_Spline");
872             if(a==3) SplineName=("Barrier_Free_Path_Spline");
873             if(a==1) Curve_Degree=0.30; //zulässige Steigungsgrade in Prozent (Fußgängerweg)
874             if(a==2) Curve_Degree=0.15; //zulässige Steigungsgrade in Prozent (Fahrradweg)
875             if(a==3) Curve_Degree=Steigung; //zulässige Steigungsgrade in Prozent (barrierefreier Weg)
876             if(doc->FindObject(SplineName))
877             {
878                 println("Checking Path: ",SplineName);
879                 OriginalSpline=doc->FindObject(SplineName);
880                 SplinePunkte=OriginalSpline->GetPointCount();
881                 println("Überprüfe Spline:",SplineName," auf Barrierefreiheit!");
882             }
883             else println("Haven't found yet");
884
885             Original_Spline_Points=OriginalSpline->GetPoints(); //Für späteren Vergleich;
886             Bounds_Checked_Spline_Points=OriginalSpline->GetPoints();
887             Barrier_Free_Spline_Points=OriginalSpline->GetPoints();
888             SplinePunkte=OriginalSpline->GetPointCount();
889             Scaled_Spline_Points=OriginalSpline->GetPoints();
890             Point_Cord_on_Ideal_Line=OriginalSpline->GetPoints();
891             Check_if_Barrier_Free_is_Possible(OriginalSpline,SplinePunkte);
892
893             if(CHECKED=True)
894             {
895                 println(" ");
896                 println ("BARRIEREFREI MACHEN!");
897                 println("-----");
898
899                 // 1. Teil: SplinePunkte auf den maximal möglichen Y-Abweichungsbereich verkleinern.
900                 println("1. Teil: SplinePunkte auf den maximal möglichen Y-Abweichungsbereich verkleinern");
901                 //X12 und X34 bestimmen. -> Für spätere Entscheidung, welche Geradengleichung gewählt werden muss
902                 Get_X12_X34_Calc();
903                 //1. Teil Schleife
904                 for (cnt=1;cnt<SplinePunkte;cnt++)
905                 {
906                     println(" ");
907                     println("-----Berechnung SplinePunkt_",cnt,"-----");
908                     pt=OriginalSpline->GetPoint(cnt); //Aktuelle Punktkoordinaten einlesen.
909                     //WINKEL zwischen den Vektoren ermitteln ermitteln-----
910                     var v0=FirstPoint,v1= LastPoint, v2=pt;
911                     Angle_between_Vectors_Calc(v0,v1,v2); // Ergebnis in "V_Angle"
912                     //XZ-Abstand zwischen dem AktuellenPunkt und dem Anfangspunkt berechnen
913                     var p1=FirstPoint, p2=pt;
914                     XZ_Dist_2_Points_Calc(p1,p2); // Ergebnis in "Dist_current_Point"
915                     //Punkt Länge auf XZ-Ideallgerade umrechnen -> Ankathete
916                     PointLenght_on_Ideal_Line_Calc(SplinePunkte); //Ergebnis in "PointLenght_on_XZ_Ideal_Line"
917                     //Y-Abweichung von Ideallinie Berechnen um festzustellen ob positive oder negative Abweichung.
918                     Y_Divergence_to_Ideal_Line_Calc(cnt,Ideal_Line_Degree,pt,PointLenght_on_XZ_Ideal_Line,Point_Cord_
919 "Y_Divergence_to_Ideal_Line","Bounds_Checked_Spline"
920 //Wenn momentane Y-Abweichungen nicht barrierefrei dann in den barrierefrei_machbaren Bereich ve
921 Force_Spline_into_BarrierFree_Bounds(cnt,Bounds_Checked_Spline_Points); //Ergebnis in "Bounds_Ch
922 }
923 //-----
924
925 // 2. Teil: Y-Abstände zwischen Original und VergleichsSpline ermitteln und die Originalspline eventuell skalieren.
926 Get_Distance_Between_Splines(SplinePunkte,Original_Spline_Points,Bounds_Checked_Spline_Points); //Ergebnis in '
927 //größte Y-Abweichung zwischen Original und der projizierten Spline ermitteln
928 Biggest_Value_Calc(SplinePunkte); //Ergebnis in "Biggest_Value","Biggest_Point"
929 //Spline Skalieren
930 Scaled_Spline_Points=Barrier_Free_Spline_Points;
931 Scale_Spline(SplinePunkte,Scaled_Spline_Points,Bounds_Checked_Spline_Points,Original_Spline_Points,Point_Cord,
932 //-----
933 // 3. TEIL: BARRIERE FREI MACHEN
934 //Bounds_Checked_Spline_Points=Scaled_Spline_Points; //Wenn das aktiviert ist, wir die spline skaliert
935 Make_Spline_Barrier_Free(SplinePunkte,Bounds_Checked_Spline_Points, Barrier_Free_Spline_Points); //Ergebnis in
936 //SPLINE KORRIGIEREN-ZEICHENEN
937 var new_Points;
938 for (cnt=0;cnt<SplinePunkte;cnt++)
939 {
940     //new_Points=Bounds_Checked_Spline_Points[cnt]; //Hier wird entschieden welches PunktArray die Spline bestim
941     new_Points=Scaled_Spline_Points[cnt];
942     //new_Points=Barrier_Free_Spline_Points[cnt]; //Hier wird entschieden welches PunktArray die Spline bestimmt.
943     println("Spline zeichnen:",new_Points);
944     OriginalSpline->SetPoint(cnt,new_Points);
945 }
946 //SPLINE-Update
947 var SplineNEW;
948 SplineName=OriginalSpline->GetName();
949 SplineNEW=doc->FindObject(SplineName);
950 SplineNEW#ID_BASEOBJECT_GENERATOR_FLAG=False;
951 SplineNEW#ID_BASEOBJECT_GENERATOR_FLAG=True;
952 //LoftNurbs-Update
953 var LoftnurbsNEW,Loftname;
954 Loftname=("LoftObjekt");
955 LoftnurbsNEW=doc->FindObject(Loftname);
956 LoftnurbsNEW#ID_BASEOBJECT_GENERATOR_FLAG=False;
957 LoftnurbsNEW#ID_BASEOBJECT_GENERATOR_FLAG=True;
958 OFF=False; //OFF=True;
959 } //if Checked=True ENDE
960 } //Ende der Pfade Wählen-Schleife
961 } //ENDE ONOFF=TRUE
962 else
963 {
964     if (ONOFF==TRUE)
965     {
966         println("Kann nicht barrierefrei gemacht werden, da kein LoftObjekt und keine Splines vorhanden sind!!!");
967         OFF=False;
968     }
969 }
970
971 //-----
972 //MAKE_PEDESTRIAN_PATH |
973 //-----
974 //by Christian Pichlkastner
975 //Fußgängerweg erzeugen.
976 //
977 //
978 //Eingang: Path_Punkte, ONOFF, AnzahlSplines, SplinePunkte
979 //Ausgang: OFF
980
981 //GLOBALE VARIABLEN
982 var doc;
983 var BRIDGE_POINTS_ARRAY;
984 var Path_Points;
985
986 //-----
987 //-----
988 main()
989 {
990     doc=GetActiveDocument();
991     if(ONOFF==TRUE)
992     {
993         var Pedestrian_Path_Spline,Pedestrian_Path_Name;
994         Pedestrian_Path_Name=("Pedestrian_Path_Spline");
995         if(doc->FindObject(Pedestrian_Path_Name)!=True);
996         {
997             BRIDGE_POINTS_ARRAY = new (array,AnzahlSplines,SplinePunkte);
998             println("Fußgänger_Weg wird generiert");
999
1000 //Punkte_Array von der Brückenflächengeometrie erzeugen
1001 GENERATE_BRIDGE_GEOMETRY_ARRAY(); //ERGBNIS: BRIDGE_POINTS_ARRAY[]];->[SplineAnzahl][Anzahl_Splin
1002
1003 //Pfadpunkte Berechnen
1004 PATH_POINTS_CALC();
1005
1006 //Pfad zeichnen

```

```

1007     DRAW_PATH_SPLINE0;
1008 }
1009 }
1010 OFF=FALSE;
1011 }
1012
1013 //-----
1014 //MAKE_BARRIER_FREE_PATH |
1015 //-----
1016 //by Christian Pichlkastner
1017 //Barrierefreien Weg erzeugen
1018 //
1019 //Eingang: Anzahl_Splines, SplinePunkte, Path_Punkte, ONOFF
1020 //Ausgang: OFF
1021 //GLOBALE VARIABLEN
1022 var doc;
1023 var BRIDGE_POINTS_ARRAY;
1024 var Path_Points;
1025
1026 //-----
1027 //-----
1028 main()
1029 {
1030     doc=GetActiveDocument();
1031     if(ONOFF==TRUE)
1032     {
1033         var Pedestrian_Path_Spline,Pedestrian_Path_Name;
1034         Pedestrian_Path_Name=("Pedestrian_Path_Spline");
1035         if(doc->FindObject(Pedestrian_Path_Name)!=True);
1036         {
1037             BRIDGE_POINTS_ARRAY = new (array,Anzahl_Splines,SplinePunkte);
1038             println("Fußgänger_Weg wird generiert");
1039
1040             //Punkte_Array von der Brückenflächengeometrie erzeugen
1041             GENERATE_BRIDGE_GEOMETRY_ARRAY0; //ERGEBNIS: BRIDGE_POINTS_ARRAY[[]]->{SplineAnzahl|}
1042
1043             //Pfadpunkte Berechnen
1044             PATH_POINTS_CALC0;
1045
1046             //Pfad zeichnen
1047             DRAW_PATH_SPLINE0;
1048         }
1049     }
1050     OFF=FALSE;
1051 }
1052
1053
1054
1055 //-----
1056 //PATHFINDER_SCRIPT |
1057 //-----
1058 //by Christian Pichlkastner
1059 //
1060 //Diese Skript erzeugt eine Weg-Spline über eine Oberfläche
1061 //
1062 //Eingang: Anzahl_Splines, SplinePunkte, Grade_Factor, ONOFF
1063 //Ausgang: OFF
1064
1065 //GLOBALE VARIABLEN
1066 var doc; // Damit Objekte in aktueller Szene benützt/gesucht werden können
1067 var BRIDGE_POINTS_ARRAY;
1068 var Dist_current_Points;
1069 var Path_Points,PathPointNum;
1070 var path_cnt;
1071
1072 //Kürzester Weg von Punkt A zu Punkt B suchen -> Dijkstra Algorithmus Methode
1073 SHORTEST_WAY_POINT_A_TO_B(Point_A_SplineNum,Point_A_PointNum,Point_B_SplineNum,Point_B_Poin
1074 {
1075     var Min_Path_Length;
1076     var Node_Count=SplinePunkte*Anzahl_Splines;
1077     var PreviousNode_Name=new(array,Anzahl_Splines,SplinePunkte);
1078     var Current_Spline,Current_Point;
1079     var Previous_Spline,Previous_Point;
1080     var a,cnt,Neighbours,i,Schleifnr=1;
1081     var Neighbour_SplineNum=new(array,8); //Es sind maximal 8 NachbarPunkte möglich
1082     var Neighbour_PointNum=new(array,8); //Es sind maximal 8 NachbarPunkte möglich
1083     var CurrentNode_Coordinates;
1084     var PreviousNode_Coordinates;
1085     var New_Link_Distance=0;
1086
1087     //jeder Knoten hat die 4 Daten:
1088     //KnotenNamen;Permanent/NonPermanent;Path_Distance;Before_Knot;
1089     var NODEDATA=new(array,Anzahl_Splines,SplinePunkte,4); //SplineNummer/PunktNummer/Daten
1090

```

```

1091 //PART I - Initialisieren | für alle Punkt-Startwerte vergeben
1092 for(a=0;a<Anzahl_Splines;a++)
1093 {
1094     for(cnt=0;cnt<SplinePunkte;cnt++)
1095     {
1096         NODEDATA[a][cnt][0]="NonPermanent";
1097         NODEDATA[a][cnt][1]=-1.0; //Null
1098         //NODEDATA[a][cnt][2]=Before_Knot_SplineNum;
1099         //NODEDATA[a][cnt][3]=Before_Knot_PointNum;
1100     }
1101 }
1102 //StartPunkt
1103 Current_Spline=Point_A_SplineNum;
1104 Current_Point=Point_A_PointNum;
1105 NODEDATA[Current_Spline][Current_Point][0]="PERMANENT-FIXED"; //Start als FixPunkt festlegen.
1106 NODEDATA[Current_Spline][Current_Point][1]=0; //Start als FixPunkt festlegen.
1107 NODEDATA[Current_Spline][Current_Point][2]=Current_Spline; //Start als FixPunkt festlegen.
1108 NODEDATA[Current_Spline][Current_Point][3]=Current_Point; //Start als FixPunkt festlegen.
1109 //-----Distanz auf einen großen wert setzen
1110 var Point_A_Coordinates,Point_B_Coordinates;
1111 var Smallest_Distance,Distance_Reset;
1112
1113 Point_A_Coordinates=BRIDGE_POINTS_ARRAY[Current_Spline][Current_Point];
1114 Point_B_Coordinates=BRIDGE_POINTS_ARRAY[Point_B_SplineNum][Point_B_PointNum];
1115
1116 //Dist_current_Points - Größe vergleichs Distanz berechnen
1117 XYZ_Dist_2_Points_Calc(Point_B_Coordinates,Point_A_Coordinates);
1118 Smallest_Distance=abs(Dist_current_Points); //Startwert -> sollte großer wert sein, der sicher unterboten wird.
1119 // Distance_Reset=Smallest_Distance*Point_A_SplineNum*100*Grade_Faktor; //10*Smallest_Distance;
1120 //FEHLERQUELLE - Wenn der Wert zu klein ist, dann kann eine EndlosSchleifeEntstehen
1121 Distance_Reset=Smallest_Distance; //Node_Count; //100000000000000;
1122 println("StartPunkt: ",Point_A_SplineNum,"|",Point_A_PointNum," | ZielPunkt: ",Point_B_SplineNum,"|",Point_B_PointNum);
1123 println("Die Distanz zwischen den 2 Punkten beträgt: ",Smallest_Distance);
1124
1125 //PART II - Bis Zielpunkt erreicht und Permanent Fixed ist.
1126 while (Current_Spline!=Point_B_SplineNum | Current_Point!=Point_B_PointNum)
1127 {
1128     //println("-----");
1129     println("IN SCHLEIFE Nr.:",Schleifnr);
1130     Neighbours=0;
1131     Smallest_Distance =Distance_Reset*(Schleifnr+1);
1132
1133     //größte Distanz finden
1134     for(a=0;a<Anzahl_Splines;a++)
1135     {
1136         for(cnt=0;cnt<SplinePunkte;cnt++)
1137         {
1138             if(Smallest_Distance <= NODEDATA[a][cnt][1])
1139             {
1140                 Smallest_Distance=NODEDATA[a][cnt][1]*NODEDATA[a][cnt][1]*120*Node_Count+Distance_Reset;
1141             }
1142         }
1143     }
1144     println("ResetDistanz: ",Smallest_Distance);
1145     //den Anfangsvergleichswert immer sehr hoch machen
1146     //1. Anzahl der möglichen NachbarPunkte berechnen.
1147
1148     //Eckpunkte
1149     if(Current_Spline == 0 && Current_Point == 0)
1150     {
1151         Neighbours =3;
1152         Neighbour_SplineNum[0]=Current_Spline;
1153         Neighbour_PointNum[0]=Current_Point+1;
1154         Neighbour_SplineNum[1]=Current_Spline+1;
1155         Neighbour_PointNum[1]=Current_Point+1;
1156         Neighbour_SplineNum[2]=Current_Spline+1;
1157         Neighbour_PointNum[2]=Current_Point;
1158     }
1159     if(Current_Spline == Anzahl_Splines-1 && Current_Point == 0)
1160     {
1161         Neighbours =3;
1162         Neighbour_SplineNum[0]=Current_Spline-1;
1163         Neighbour_PointNum[0]=Current_Point;
1164         Neighbour_SplineNum[1]=Current_Spline-1;
1165         Neighbour_PointNum[1]=Current_Point+1;
1166         Neighbour_SplineNum[2]=Current_Spline;
1167         Neighbour_PointNum[2]=Current_Point+1;
1168     }
1169     if(Current_Spline == 0 && Current_Point == SplinePunkte-1)
1170     {
1171         Neighbours =3;
1172         Neighbour_SplineNum[0]=Current_Spline+1;
1173         Neighbour_PointNum[0]=Current_Point;
1174         Neighbour_SplineNum[1]=Current_Spline+1;

```



```

1175 Neighbour_PointNum[1]=Current_Point-1;
1176 Neighbour_SplineNum[2]=Current_Spline;
1177 Neighbour_PointNum[2]=Current_Point-1;
1178 }
1179 if(Current_Spline == Anzahl_Splines-1 && Current_Point == SplinePunkte-1)
1180 {
1181     Neighbours =3;
1182     Neighbour_SplineNum[0]=Current_Spline;
1183     Neighbour_PointNum[0]=Current_Point-1;
1184     Neighbour_SplineNum[1]=Current_Spline-1;
1185     Neighbour_PointNum[1]=Current_Point-1;
1186     Neighbour_SplineNum[2]=Current_Spline-1;
1187     Neighbour_PointNum[2]=Current_Point;
1188 }
1189 //Randbereiche 5
1190 if(Current_Spline == 0 && Current_Point > 0 && Current_Point < SplinePunkte-1)
1191 {
1192     Neighbours =5;
1193     Neighbour_SplineNum[0]=Current_Spline;
1194     Neighbour_PointNum[0]=Current_Point+1;
1195     Neighbour_SplineNum[1]=Current_Spline+1;
1196     Neighbour_PointNum[1]=Current_Point+1;
1197     Neighbour_SplineNum[2]=Current_Spline+1;
1198     Neighbour_PointNum[2]=Current_Point;
1199     Neighbour_SplineNum[3]=Current_Spline+1;
1200     Neighbour_PointNum[3]=Current_Point-1;
1201     Neighbour_SplineNum[4]=Current_Spline;
1202     Neighbour_PointNum[4]=Current_Point-1;
1203 }
1204 if(Current_Spline == Anzahl_Splines-1 && Current_Point > 0 && Current_Point < SplinePunkte-1)
1205 {
1206     Neighbours =5;
1207     Neighbour_SplineNum[0]=Current_Spline-1;
1208     Neighbour_PointNum[0]=Current_Point;
1209     Neighbour_SplineNum[1]=Current_Spline-1;
1210     Neighbour_PointNum[1]=Current_Point+1;
1211     Neighbour_SplineNum[2]=Current_Spline;
1212     Neighbour_PointNum[2]=Current_Point+1;
1213     Neighbour_SplineNum[3]=Current_Spline;
1214     Neighbour_PointNum[3]=Current_Point-1;
1215     Neighbour_SplineNum[4]=Current_Spline-1;
1216     Neighbour_PointNum[4]=Current_Point-1;
1217 }
1218 if(Current_Spline > 0 && Current_Spline < Anzahl_Splines-1 && Current_Point == 0)
1219 {
1220     Neighbours =5;
1221     Neighbour_SplineNum[0]=Current_Spline-1;
1222     Neighbour_PointNum[0]=Current_Point;
1223     Neighbour_SplineNum[1]=Current_Spline-1;
1224     Neighbour_PointNum[1]=Current_Point+1;
1225     Neighbour_SplineNum[2]=Current_Spline;
1226     Neighbour_PointNum[2]=Current_Point+1;
1227     Neighbour_SplineNum[3]=Current_Spline+1;
1228     Neighbour_PointNum[3]=Current_Point+1;
1229     Neighbour_SplineNum[4]=Current_Spline+1;
1230     Neighbour_PointNum[4]=Current_Point;
1231 }
1232 if(Current_Spline > 0 && Current_Spline < Anzahl_Splines-1 && Current_Point == SplinePunkte-1)
1233 {
1234     Neighbours =5;
1235     Neighbour_SplineNum[0]=Current_Spline-1;
1236     Neighbour_PointNum[0]=Current_Point;
1237     Neighbour_SplineNum[1]=Current_Spline+1;
1238     Neighbour_PointNum[1]=Current_Point;
1239     Neighbour_SplineNum[2]=Current_Spline+1;
1240     Neighbour_PointNum[2]=Current_Point-1;
1241     Neighbour_SplineNum[3]=Current_Spline;
1242     Neighbour_PointNum[3]=Current_Point-1;
1243     Neighbour_SplineNum[4]=Current_Spline-1;
1244     Neighbour_PointNum[4]=Current_Point-1;
1245 }
1246
1247 //Zwischenbereich B //Anhand dieser Liste müssten sich eigentlich die if-Bedingungen davor kürzen lassen
1248 if(Current_Spline > 0 && Current_Spline < Anzahl_Splines-1 && Current_Point > 0 && Current_Point < Spl
1249 {
1250     Neighbours =8;
1251     Neighbour_SplineNum[0]=Current_Spline-1;
1252     Neighbour_PointNum[0]=Current_Point;
1253     Neighbour_SplineNum[1]=Current_Spline-1;
1254     Neighbour_PointNum[1]=Current_Point+1;
1255     Neighbour_SplineNum[2]=Current_Spline;
1256     Neighbour_PointNum[2]=Current_Point+1;
1257     Neighbour_SplineNum[3]=Current_Spline+1;
1258     Neighbour_PointNum[3]=Current_Point+1;
1259
1260     Neighbour_SplineNum[4]=Current_Spline+1;
1261     Neighbour_PointNum[4]=Current_Point;
1262     Neighbour_SplineNum[5]=Current_Spline+1;
1263     Neighbour_PointNum[5]=Current_Point-1;
1264     Neighbour_SplineNum[6]=Current_Spline;
1265     Neighbour_PointNum[6]=Current_Point-1;
1266     Neighbour_SplineNum[7]=Current_Spline-1;
1267     Neighbour_PointNum[7]=Current_Point-1;
1268 }
1269 /*
1270     println("Nach der Nachbarzuordnung.");
1271     println("Der Punkt ",Current_Spline,"",Current_Point," hat ",Neighbours," Nachbarpunkte.");
1272 */
1273 Previous_Spline=Current_Spline;
1274 Previous_Point=Current_Point;
1275 PreviousNode_Coordinates=BRIDGE_POINTS_ARRAY[Current_Spline][Current_Point];
1276 //Die Differenz zwischen dem Vorgänger_Punkt und seinen Nachbarpunkten berechnen
1277 println("DIFFERENZ zwischen NACHBARPUNKT UND VORGÄNGERPUNKTEN berechnen");
1278 for(a=0;a<Neighbours;a++)
1279 {
1280     Current_Spline=Neighbour_SplineNum[a]; //Die Nachbarpunkt in Glob.Position convertiert
1281     Current_Point=Neighbour_PointNum[a]; //Die Nachbarpunkt in Glob.Position convertiert
1282
1283     if(NODEDATA[Current_Spline][Current_Point][0]!="PERMANENT-FIXED")
1284     {
1285         CurrentNode_Coordinates=BRIDGE_POINTS_ARRAY[Current_Spline][Current_Point];
1286         //Dist_current_Points - Gewichtung der Strecken (Graphen)
1287         XYZ_Dist_2_Points_Calc(CurrentNode_Coordinates,PreviousNode_Coordinates);
1288         New_Link_Distance=NODEDATA[Previous_Spline][Previous_Point][1]+Dist_current_Points;
1289         /*
1290             println(" ");
1291             println("Distanz zwischen Current_Node:",Current_Spline,"",Current_Point," und Pervious_Node: ",Previous_Spline,
1292             ",Dist_current_Points);
1293             println("Aktuelle Distanz zum Anfangspunkt A = ",New_Link_Distance);
1294             */
1295         //Diesen Punkte verändern wenn Dist_current_Points < bisheriger Distanzwert in dem Punktdatenfeld.
1296         if (NODEDATA[Current_Spline][Current_Point][1]==-1.0 || New_Link_Distance <= NODEDATA[Current_Spline][Curri
1297         {
1298             /*
1299                 println("Alter Distanz-Wert:",NODEDATA[Current_Spline][Current_Point][1]);
1300                 println("Neuer Distanz-Wert:",New_Link_Distance);
1301                 println("Dieser Nachbar wurde mit einem kleinerem Distanzwert überschrieben.");
1302             */
1303             NODEDATA[Current_Spline][Current_Point][1]= New_Link_Distance;
1304             //Eintragen von welchem Punkt aus gemessen wurde //Da der momentan kürzeste Weg über diesen Punkt führt.
1305             NODEDATA[Current_Spline][Current_Point][2]=Previous_Spline;
1306             NODEDATA[Current_Spline][Current_Point][3]=Previous_Point;
1307             //println("VORGÄNGER wird auf ",Previous_Spline,"",Previous_Point," gesetzt");println(" ");
1308         }
1309         //else ("Der aktuelle Distanz-Wert wird nicht eingetragen, da dieser größer als der alte Wert ist.");
1310     }
1311     else //println("Der Punkt ",Current_Spline,"",Current_Point,"kann nicht verwendet werden!!!!!!");
1312 }
1313
1314 //PART III
1315 //Welcher Punkt aller bisherigen Punkte, der noch nicht als Permanent-Fixed markiert ist, hat die kleinste Distanz?
1316 //alle Punktwerte durchchecken.
1317 println("Welcher Punkt aller bisher bearbeiteten Punkte, der noch nicht als Permanent-Fixed markiert ist, hat die kleins
1318 var currentDistance_Value;
1319 var i,PointNumber;
1320 for(a=0;a<Anzahl_Splines;a++)
1321 {
1322     for(cnt=0;cnt<SplinePunkte;cnt++)
1323     {
1324         //println("Check Point: ",a,"",cnt,"");
1325         //Wenn Notedate ist nicht Permanent-Fixed oder die Distanz nicht -1.0- oder der Knoten nicht der Startknoten dann
1326         if(NODEDATA[a][cnt][0]!="PERMANENT-FIXED" && NODEDATA[a][cnt][1]!=-1.0)
1327         {
1328             currentDistance_Value=NODEDATA[a][cnt][1];
1329             println("Punkt ",a,"",cnt," ist nicht PERMANENT-FIXED und enthält als Distanz nicht den Wert -1.0 sondern: ",NODE
1330             println("Die Momentan kürzeste Distanze die in einem Punkt eingetragen ist lautet: ",Smallest_Distance);
1331             if(Smallest_Distance >= currentDistance_Value)
1332             {
1333                 Current_Spline=a; //Aktuelle Spline mit kleinster Distanz
1334                 Current_Point=cnt; //Aktueller Punkt mit kleinster Distanz
1335                 println(currentDistance_Value," ersetzt größeren alten Wert ", Smallest_Distance);
1336                 Smallest_Distance= currentDistance_Value;
1337             }
1338         }
1339         // else println("Punkt ",a,"",cnt," ist PERMANENT_FIXED oder enthält Distanz-Wert:-1.0 oder ist Startpunkt");
1340     }
1341 }
1342 println(" ");
1343 println("Punkt ",Current_Spline,"",Current_Point," wird zu aktuellem Punkt mit einem Betrag von: ",Smallest_Distance,

```

```

1342 //Dieser Knoten wird als definitiv markiert
1343 NODEDATA[Current_Spline][Current_Point][0]="PERMANENT-FIXED";
1344 Schleifnr=Schleifnr+1;
1345 //NOTBREMSE BEI wahrscheinlichem FEHLER - WhileSchleife beenden
1346 if(Schleifnr>500)
1347 {
1348     println("MÖGLICHER FEHLER ODER ZU KOMPLEXER PFAD!!!");
1349     Current_Spline=Point_B_SplineNum;
1350     Current_Point=Point_B_PointNum;
1351     break;
1352 }
1353 } //SCHLEIFE ENDE BIS ENDPUNKT=PERMANENT-FIXED!
1354 println("Letzter aktueller außerhalb der Scheife Punkt war ",Current_Spline,"|",Current_Point,"");
1355 /*
1356 //Überprüfung: Ausgabe der Punktdaten
1357 for(a=0;a<Anzahl_Splines;a++)
1358 {
1359     for(cnt=0;cnt<SplinePunkte;cnt++)
1360     {
1361         println("Knoten ",a,"|",cnt," Status: ",NODEDATA[a][cnt][0]);
1362         println("Knoten ",a,"|",cnt," Distanz: ",NODEDATA[a][cnt][1]);
1363         println("Knoten ",a,"|",cnt," vorhergehende Knoten: ",NODEDATA[a][cnt][2],"|",NODEDATA[a][cnt][3]);
1364         println(" ");
1365         Node_Count=Node_Count+1;
1366     }
1367 } //Überprüfung: Ausgabe der Punktdaten ENDE
1368 */
1369
1370 //PART 4 - Pfad bis zu A zurück verfolgen.
1371 PathPointNum=0;
1372 while (Current_Spline!=Point_A_SplineNum | Current_Point!=Point_A_PointNum)
1373 {
1374     Current_Spline=NODEDATA[Current_Spline][Current_Point][2];
1375     Current_Point=NODEDATA[Current_Spline][Current_Point][3];
1376     PathPointNum=PathPointNum+1;
1377 }
1378 PathPointNum=PathPointNum+1;
1379 println("Es wurden ",PathPointNum," Punkte als Pfad ermittelt!");
1380 Path_Points=new (array,PathPointNum);
1381 Current_Spline=Point_B_SplineNum;
1382 Current_Point=Point_B_PointNum;
1383 Min_Path_Length=NODEDATA[Current_Spline][Current_Point][1];
1384 for(i=PathPointNum-1;i>=0;i--)
1385 {
1386     Path_Points[i]=BRIDGE_POINTS_ARRAY[Current_Spline][Current_Point];
1387 }
1388 /*
1389 println("Pfad ",i,". Punkt:",Current_Spline,"|",Current_Point);
1390 println("Pfad ",i,". Koordinaten:",Path_Points[i]);
1391 */
1392 Current_Spline=NODEDATA[Current_Spline][Current_Point][2];
1393 Current_Point=NODEDATA[Current_Spline][Current_Point][3];
1394 }
1395 println("Die kürzeste Strecke beträgt: ",Min_Path_Length);
1396 return Path_Points;
1397 }
1398 //-----
1399 //-----
1400 main()
1401 {
1402     doc=GetActiveDocument();
1403     if (ONOFF==TRUE && doc->FindObject("LoftObjekt"))
1404     {
1405         var a; // Zählvariablen
1406         var Point_A_SplineNum,Point_A_PointNum,Point_B_SplineNum,Point_B_PointNum;
1407         BRIDGE_POINTS_ARRAY = new (array,Anzahl_Splines,SplinePunkte);
1408
1409         println("START PATHFINDER!!!");
1410
1411         //Punkte_Array von der Brückenflächengeometrie erzeugen
1412         GENERATE_BRIDGE_GEOMETRY_ARRAY(); //ERGEBNIS: BRIDGE_POINTS_ARRAY[[];->|SplineAnzahl]|Anz
1413
1414         //Anfangs und Endpunkt für den kürzesten Weg definieren
1415         Point_A_SplineNum=int(Anzahl_Splines/2);
1416         Point_A_PointNum=0;
1417         Point_B_SplineNum=int(Anzahl_Splines/2);
1418         Point_B_PointNum=SplinePunkte-1;
1419         println("Anfangspunkt: ",Point_A_SplineNum,"|",Point_A_PointNum);
1420         println("Endpunkt: ",Point_B_SplineNum,"|",Point_B_PointNum);
1421
1422         //Kürzester Weg von Punkt A zu Punkt B suchen -> Dijkstra Algorithmus Methode
1423         SHORTEST_WAY_POINT_A_TO_B(Point_A_SplineNum,Point_A_PointNum,Point_B_SplineNum,Point_B_P
1424
1425         //Punkte_Array von der Brückenflächengeometrie erzeugen

```

```

1426     DRAW_PATH_SPLINE();
1427     }
1428     else
1429     {
1430         if(ONOFF==TRUE)
1431         {
1432             println("Es kann kein Pfad bzw. Weg generiert werden, da keine Oberfläche vorhanden ist!!!");
1433         }
1434     }
1435     OFF==FALSE;
1436 }
1437
1438
1439 //-----
1440 //MAKE_ATTRACTOR_SPHERES |
1441 //-----
1442 //by Christian Pichlkastner
1443 //
1444 // Erzeugt Kugelobjekte. Wenn der Zufallsgenerator aktiviert ist, dan werden Kugeln
1445 // mit unterschiedlichen Radien und unterschiedlichen Positionen erzeugt.
1446 //
1447 //
1448 //Eingang: ON,Num_of_Attraktors,Random_ON
1449 //Ausgang: OFF
1450
1451 //GLOBALE VARIABLEN
1452 var doc;
1453 var Dist_current_Points;
1454 var Approx_Bridge_Middle_Point,MiddleSpline;
1455
1456 //MAKE_SPHERES
1457 MAKE_SPHERES()
1458 {
1459     var Parent=doc->FindObject("ATTRACTORS");
1460     var Attractor_Name,Attractor_Radius,Attraktor_Position;
1461     var Zufalls_Zahl1;
1462     var X_Zufall,Y_Zufall,Z_Zufall,Attraktor_Size_Zufall;
1463     var Field_Radius,Spreading_Field_Size,Y_Dist;
1464     var Zufall;
1465     var i,half_Attraktors_Num;
1466     var SplineObjekt;
1467     var SplinePunkte;
1468     var SplineName=("OriginalSpline"+toString(MiddleSpline));
1469     var SplinePunkt_0=SplineObjekt->GetPoint(0);
1470     SplineObjekt=doc->FindObject(SplineName);
1471
1472     Zufall=new(Random);
1473     Zufall->Init(time());
1474
1475     XYZ_Dist_2_Points_Calc(Approx_Bridge_Middle_Point,SplinePunkt_0);
1476     Field_Radius=Dist_current_Points;
1477     Spreading_Field_Size=Field_Radius*8;
1478     for(i=0;i<Num_of_Attraktors;i++)
1479     {
1480         if(Random_ON==True)
1481         {
1482             //Zufällige Positive oder Negative Attrakroen vergeben;
1483             Zufalls_Zahl1=Zufall->Get010;
1484             if(Zufalls_Zahl1<0.5) Attractor_Name=("NEGATIVE_ATTRACTOR_Sphere"+toString(i));
1485             if(Zufalls_Zahl1>0.5) Attractor_Name=("POSITIVE_ATTRACTOR_Sphere"+toString(i));
1486             Attractor_Size_Zufall=Zufall->Get010;
1487             Attractor_Radius=Field_Radius*Attraktor_Size_Zufall;
1488
1489             X_Zufall=Zufall->Get010;
1490             Y_Zufall=Zufall->Get010;
1491             Z_Zufall=Zufall->Get010;
1492             Attraktor_Position=Approx_Bridge_Middle_Point;
1493             Attraktor_Position.x=Attraktor_Position.x-Spreading_Field_Size/2+Spreading_Field_Size*X_Zufall;
1494             Attraktor_Position.y=Attraktor_Position.y-Spreading_Field_Size/6+Spreading_Field_Size/3*Y_Zufall;
1495             Attraktor_Position.z=Attraktor_Position.z-Spreading_Field_Size/2+Spreading_Field_Size*Z_Zufall;
1496         }
1497     }
1498     else
1499     {
1500         Attractor_Radius=(2*Field_Radius)/Num_of_Attraktors;
1501         Attraktor_Position=Approx_Bridge_Middle_Point;
1502         half_Attraktors_Num=int(Num_of_Attraktors/2);
1503         if(i<half_Attraktors_Num) Attractor_Name=("NEGATIVE_ATTRACTOR_Sphere"+toString(i));
1504         if(i>half_Attraktors_Num) Attractor_Name=("POSITIVE_ATTRACTOR_Sphere"+toString(i));
1505     }
1506     MAKE_SPHERE(Attraktor_Radius,Attractor_Name,Attraktor_Position,Parent);
1507 }
1508
1509 //-----

```

```

1510 //-----
1511 main()
1512 {
1513     if(ON==TRUE) //Warum ich die 2 Startbedingungen ( if(ON==TRUE && doc->FindObject("LoftObjekt")) nicht ir
Modulen ist mir nicht klar.
1514     {
1515         doc=GetActiveDocument();
1516         if(doc->FindObject("LoftObjekt"))
1517         {
1518             println(" ");
1519             println("ATTRAKTOREN ERZEUGEN");
1520
1521             //ATTRACTORS - Ordner ERSTELLEN
1522             var Attractors_NullObject;
1523             if(!doc->FindObject("ATTRACTORS"))
1524             {
1525                 var ATTRACTORS_Folder_Name="ATTRACTORS";
1526                 Attractors_NullObject=new(NullObject);
1527                 Attractors_NullObject->SetName(ATTRACTORS_Folder_Name);
1528                 doc->InsertObject(Attractors_NullObject,Null,Null);
1529             }
1530             //Anzahl_Splines feststellen;
1531             var i_Anzahl_Splines=1;
1532             var SplineName;
1533             for(i=1;i<=Anzahl_Splines;i++)
1534             {
1535                 SplineName="OriginalSpline"+toString(i);
1536                 if(doc->FindObject(SplineName))Anzahl_Splines=i+1;;
1537                 if(!doc->FindObject(SplineName))break;
1538             }
1539             Anzahl_Splines=Anzahl_Splines-1;
1540             println("Es gibt ",Anzahl_Splines," Splines.");
1541             //Spline im Mittleren Bereich auswählen
1542             MiddleSpline=int(Anzahl_Splines/2);
1543             println("Mittlere Spline_Nr: ",MiddleSpline);
1544             //Mittlere Spline als Objekt auslesen und Mittleren SplinePunkt bestimmen
1545             var SplineObjekt;
1546             var SplinePunkte;
1547             var Middle_SplinePoint;
1548             SplineName="OriginalSpline"+toString(MiddleSpline);
1549             SplineObjekt=doc->FindObject(SplineName);
1550             SplinePunkte=SplineObjekt->GetPointCount();
1551             Middle_SplinePoint=int(SplinePunkte/2);
1552             Approx_Bridge_Middle_Point=SplineObjekt->GetPoint(Middle_SplinePoint);
1553             println("Der Brückenmittelpunkt befindet sich an der Stelle: ",Approx_Bridge_Middle_Point);
1554
1555             MAKE_SPHERESO;
1556             } // if(doc->FindObject("LoftObjekt") ENDE
1557             } // if(ON==TRUE) ENDE
1558             OFF=FALSE;
1559         }
1560
1561
1562
1563 //-----
1564 //KNEAD_SPLINES_TO_ATTRAKTORES I
1565 //-----
1566 //by Christian Pichlkastner
1567 //
1568 //Die Kontrollpunkte einer ausgewählte Spline werden über den Einfluss der
1569 //Attraktorenkugeln verformt.
1570 //
1571 //Eingang: ON, SPLINE
1572 //Ausgang: OFF
1573 //GLOBALE VARIABLEN
1574 var doc,SplinePunkte;
1575 var Dist_current_Points;
1576 MOVE_SPLINE_POINTS()
1577 {
1578     //Alle SplinePunkte bis auf die Randpunkte durchgehen
1579     var i,a;
1580     var current_Spline_Point;
1581     var NEW_X=0.0,NEW_Y=0.0,NEW_Z=0.0,New_Point_Position=vector(0,0,0);
1582     var Attraktor_Num=0,Attraktor_Object, Negative_Attraktor_Name,Positive_Attraktor_Name,Attraktor_Radius,
1583     var Attraktor_Grav_X,Attraktor_Grav_Y,Attraktor_Grav_Z,X_Dist,Y_Dist,Z_Dist;
1584     var Prefix;
1585     for(i=1;i<SplinePunkte-1;i++)
1586     {
1587         //Festellen welchen Punkten der aktuelle SplinePunkt am nächsten ist
1588         current_Spline_Point=SPLINE->GetPoint(i);
1589         //Entfernung zu allen Attraktoren messen und Stärke berücksichtigen
1590         for(a=0;a<=Attraktor_Num;a++)
1591         {
1592             Negative_Attraktor_Name=("NEGATIVE_ATTRACTOR_Sphere"+toString(a));
1593             Positive_Attraktor_Name=("POSITIVE_ATTRACTOR_Sphere"+toString(a));
1594             if(doc->FindObject(Negative_Attraktor_Name) || doc->FindObject(Positive_Attraktor_Name)) Attraktor_Num=a+1;
1595             else break;
1596         }
1597         Attraktor_Num=Attraktor_Num;
1598         Attraktor_Grav_X=new(array,Attraktor_Num+1);
1599         Attraktor_Grav_Y=new(array,Attraktor_Num+1);
1600         Attraktor_Grav_Z=new(array,Attraktor_Num+1);
1601         for(a=0;a<Attraktor_Num;a++)
1602         {
1603             Negative_Attraktor_Name=("NEGATIVE_ATTRACTOR_Sphere"+toString(a));
1604             Positive_Attraktor_Name=("POSITIVE_ATTRACTOR_Sphere"+toString(a));
1605             if(doc->FindObject(Negative_Attraktor_Name))
1606             {
1607                 Attraktor_Object=doc->FindObject(Negative_Attraktor_Name);
1608                 Prefix=-1;
1609             }
1610             if(doc->FindObject(Positive_Attraktor_Name))
1611             {
1612                 Attraktor_Object=doc->FindObject(Positive_Attraktor_Name);
1613                 Prefix=1;
1614             }
1615             Attraktor_Position=Attraktor_Object->GetPosition();
1616             Attraktor_Radius=Attraktor_Object#PRIM_SPHERE_RAD;
1617             //Kraft nimmt mit der Entfernung zur 3. ab.
1618             X_Dist=current_Spline_Point.x-Attraktor_Position.x;
1619             Attraktor_Grav_X[a]=(X_Dist/pow(X_Dist,2))*Attraktor_Radius)*Prefix;
1620             Y_Dist=current_Spline_Point.y-Attraktor_Position.y;
1621             Attraktor_Grav_Y[a]=(Y_Dist/pow(Y_Dist,2))*Attraktor_Radius)*Prefix;
1622             Z_Dist=current_Spline_Point.z-Attraktor_Position.z;
1623             Attraktor_Grav_Z[a]=(Z_Dist/pow(Z_Dist,2))*Attraktor_Radius)*Prefix;
1624             NEW_X=NEW_X+Attraktor_Grav_X[a];
1625             NEW_Y=NEW_Y+Attraktor_Grav_Y[a];
1626             NEW_Z=NEW_Z+Attraktor_Grav_Z[a];
1627         }
1628         New_Point_Position.x=current_Spline_Point.x+NEW_X;
1629         New_Point_Position.y=current_Spline_Point.y+NEW_Y;
1630         New_Point_Position.z=current_Spline_Point.z+NEW_Z;
1631         println("Point Old_Position: ",current_Spline_Point);
1632         println("Point New_Position: ",New_Point_Position);
1633         SPLINE->SetPoint(i,New_Point_Position);
1634     }
1635     println("Es gibt ",Attraktor_Num," Attraktoren");
1636 }
1637
1638 //-----
1639 //-----
1640 main()
1641 {
1642     if(ON==TRUE) //Warum ich die 2 Startbedingungen ( if(ON==TRUE && doc->FindObject("LoftObjekt")) nicht in eine Zeile
Modulen ist mir nicht klar.
1643     {
1644         doc=GetActiveDocument();
1645         if(SPLINE!=NULL)
1646         {
1647             println(" ");
1648             println("SPLINE AN ATTRAKTOREN AUSRICHTEN");
1649             SplinePunkte=SPLINE->GetPointCount();
1650             MOVE_SPLINE_POINTS();
1651             SPLINE->Message(MSG_UPDATE);
1652         }
1653         else println("Es ist kein Spline_Objekt bzw. Weg_Objekt zum Ausrichten vorhanden!!!");
1654     } // if(ON==TRUE) ENDE
1655     OFF=FALSE;
1656 }
1657
1658
1659
1660 //-----
1661 //KNEAD_TO_PATHS_SCRIPT I
1662 //-----
1663 //by Christian Pichlkastner
1664 //
1665 //Diese Skript verformt die Brückenoberfläche nach zwei Pfaden
1666 //
1667 //Eingang: Anzahl_Splines, SplinePunkte, Pedestrian_Width, Biker_Width, WheelChair_Width, Scale_Factor, ONOFF
1668 //Ausgang: OFF
1669
1670 //GLOBALE VARIABLEN
1671 var doc; // Damit Objekte in aktueller Szene benützt/gesucht werden können
1672 var BRIDGE_POINTS_ARRAY;
1673 var Dist_current_Points;
1674 var Path_Points,PathPointNum;
1675 var path_cnt;

```



```

1676 var Path_Points_Cnt;
1677 var Nearest_Spline,Nearest_Point,Reset_Distance;
1678
1679 //NEAREST BRIDGPOINT TO PATHPOINT
1680 DEFORN_BASICSURFACE_TO_PATHSPLINES(Path_Object)
1681 {
1682   var Path_1_Object,Path_2_Object;
1683   var Path_1_Name,Path_2_Name;
1684   var Path_1_Position_Point,Path_2_Position_Point;
1685   var Section_Percent_Step,Percent_Position,Percent_Position_Interpolated,Percent_Position_Path_1,Percent_
1686   var Path_1_Length=0.0,Path_2_Length=0.0,Path_Middle_Length=0.0;
1687   var i,a,cnt,c,Points;
1688   var Distance_12=0;
1689   var Biggest_Distance=0,Dist_X,Dist_Y,Dist_Z;
1690   var X_Degree,Y_Degree,Z_Degree;
1691   var Path_Cnt=0,BetweenPaths_Points=0.0;
1692   var Mid_Point,HalfSplines=0.0,Scale=0.0;
1693   var Path_1_Pos_Temp1,Path_2_Pos_Temp1,Path_1_Pos_Temp2,Path_2_Pos_Temp2;
1694   var tolerance;
1695   var Path_1_Full_Length=0,Path_2_Full_Length=0;
1696   var X_Degree_L,Y_Degree_L,Z_Degree_L,X_Degree_R,Y_Degree_R,Z_Degree_R;
1697   var Left_Half_Width,Right_Half_Width;
1698   Path_1_Name=( "Pedestrian_Path_Spline" );
1699   Path_2_Name=( "Barrier_Free_Path_Spline" );
1700
1701   //PfadObjekte erstellen, Anzahl ermitteln, Gesamtlänge ermitteln
1702   if(doc->FindObject(Path_1_Name))
1703   {
1704     Path_1_Object=doc->FindObject(Path_1_Name);
1705     Path_1_Object->nitLength(0);
1706     Path_1_Full_Length=Path_1_Object->GetLength(0);
1707     Path_Cnt=Path_Cnt+1;
1708   }
1709   if(doc->FindObject(Path_2_Name))
1710   {
1711     Path_2_Object=doc->FindObject(Path_2_Name);
1712     Path_2_Object->nitLength(0);
1713     Path_2_Full_Length=Path_2_Object->GetLength(0);
1714     Path_Cnt=Path_Cnt+1;
1715   }
1716   println("Path_1_Full_Length: "+Path_1_Full_Length);
1717   println("Path_1_Full_Length/SplinePunkte: "+Path_1_Full_Length/SplinePunkte);
1718   println("Path_2_Full_Length: "+Path_2_Full_Length);
1719   println("Path_2_Full_Length/SplinePunkte: "+Path_2_Full_Length/SplinePunkte);
1720   Section_Percent_Step=1.0/(SplinePunkte-1); //Alle X Prozent wird geschnitten.
1721   Percent_Position=0.0;
1722   Percent_Position_Path_1=0.0;
1723   Percent_Position_Path_2=0.0;
1724
1725   //SCHNITTSCHLEIFE BEGINNEN - Schnitt-Anzahl = SplinePunkte-Anzahl
1726   for(i=0;i<SplinePunkte;i++)
1727   {
1728     println("SCHNITT "+i+1);
1729     //ProzentPositionen auf Durchschnittsposition korrigieren
1730     Percent_Position_Interpolated=0;
1731     Path_1_Length=0.0;
1732     Path_2_Length=0.0;
1733     //-----KORREKTURTEIL ANFANG-----
1734     for(c=0;c<i;c++)
1735     {
1736       //println("PROZENTPOSITIONEN WERDEN AUF DURCHSCHNITTSWERT KORRIGIERT");
1737       //println("Distanz zwischen 1. Punkt bei "+Percent_Position_Interpolated,"% und dem 2.Punkt bei "+Percent_
1738       //Wikipedia Traindriver Beispiel: var BodyPos = PathObj->GetMg()->GetMulP(PathObj->GetSplinePoint(Pat
1739       //Path_1_Pos_Temp1=Path_1_Object->GetSplinePoint(Path_1_Object->UniformToNatural(Percent_Positor
1740       if(doc->FindObject(Path_1_Name)) Path_1_Pos_Temp1=Path_1_Object->GetSplinePoint(Path_1_Object->U
1741       //println("Pedestrian_Path_Spline gefunden");
1742       if(doc->FindObject(Path_2_Name)) Path_2_Pos_Temp1=Path_2_Object->GetSplinePoint(Path_2_Object->
1743       //println("Barrier_Free_Path_Spline gefunden");
1744       Percent_Position_Interpolated=Percent_Position_Interpolated+Section_Percent_Step;
1745
1746       if(doc->FindObject(Path_1_Name)) Path_1_Pos_Temp2=Path_1_Object->GetSplinePoint(Path_1_Object->U
1747       //println("Pedestrian_Path_Spline gefunden");
1748       if(doc->FindObject(Path_2_Name)) Path_2_Pos_Temp2=Path_2_Object->GetSplinePoint(Path_2_Object->
1749       //println("Barrier_Free_Path_Spline gefunden");
1750       if(doc->FindObject(Path_1_Name)) XYZ_Dist_2_Points_Calc(Path_1_Pos_Temp1,Path_1_Pos_Temp2); Pat
1751       if(doc->FindObject(Path_2_Name)) XYZ_Dist_2_Points_Calc(Path_2_Pos_Temp1,Path_2_Pos_Temp2); P
1752     }
1753     //println("Pfadlänge1: "+Path_1_Length); //Path_1_Length ist die Weglänge vom Ausgangspunkt bis bis zum c
1754     //println("Pfadlänge2: "+Path_2_Length);
1755     //Wenn nicht 1.Punkt dann
1756     if(i>0)
1757     {
1758       Path_Middle_Length=(Path_1_Length+Path_2_Length)/Path_Cnt; //Mittlere Pfadlänge

```

```

1755   println("Mittlere Pfadlänge: "+Path_Middle_Length);
1756   if(doc->FindObject(Path_1_Name)) Percent_Position_Path_1=Path_Middle_Length/Path_1_Length;
1757   if(doc->FindObject(Path_2_Name)) Percent_Position_Path_2=Path_Middle_Length/Path_2_Length;
1758   //println("Mittlerer Pfad/Path1_Length: "+Percent_Position_Path_1);
1759   //println("Mittlerer Pfad/Path2_Length: "+Percent_Position_Path_2);
1760   if(doc->FindObject(Path_1_Name)) Percent_Position_Path_1=(Path_Middle_Length/Path_1_Length)*Percent_Position_Interpolated;
1761   if(doc->FindObject(Path_2_Name)) Percent_Position_Path_2=(Path_Middle_Length/Path_2_Length)*Percent_Position_Interpolated;
1762   }
1763   /*
1764   println("MOMENTANE POSITION: "+Percent_Position_Interpolated);
1765   println("Pfad1_Position: "+Percent_Position_Path_1);
1766   println("Pfad2_Position: "+Percent_Position_Path_2);
1767   */
1768
1769   //-----KORREKTURTEIL ENDE-----
1770   //Den vorergehenden Korrekturteil kann man ignorieren und die originalen Prozentwerte verwenden.
1771   //Beide Pfade werden eben nicht angeglichen sondern erhalten, die Selbe Prozentposition
1772   Percent_Position_Path_1=Percent_Position;
1773   Percent_Position_Path_2=Percent_Position;
1774   //-----
1775   //KOORDINATEN POSITION AN EINEM BESTIMMTEN SCHNITTPUNKT AUSLESEN
1776   if(doc->FindObject(Path_1_Name)) Path_1_Position_Point=Path_1_Object->GetSplinePoint(Path_1_Object->UniformToNatural(Perce
1777   //println("Pedestrian_Path_Spline gefunden");
1778   if(doc->FindObject(Path_2_Name)) Path_2_Position_Point=Path_2_Object->GetSplinePoint(Path_2_Object->UniformToNatural(Perce
1779   //println("Barrier_Free_Path_Spline gefunden");
1780   //1. Schnitt und distanz zwischen 2 od 3 Punkten Ausrechnen.
1781   if(doc->FindObject("Pedestrian_Path_Spline ") && doc->FindObject("Barrier_Free_Path_Spline"))
1782   {
1783     XZ_Dist_2_Points_Calc(Path_1_Position_Point,Path_2_Position_Point);
1784     Distance_12=Dist_current_Points;
1785     //println("Die Distanz zwischen Spline1 und Spline 2 beträgt: "+Distance_12);
1786   }
1787   //2. die größte Distanz ermitteln -> nur bei 3 pfaeden notwendig. -> Die 2 am weitesten entfernten Punkte als Randpunkte definieren.
1788   a=0;
1789   Points=0;
1790   Biggest_Distance=0;
1791   var SphereName;
1792   var Sphere_Scale;
1793   if(Distance_12==Biggest_Distance)
1794   {
1795     Biggest_Distance=Distance_12;
1796     Points=12; //Bedeutet weitesten Entfernung besteht zwischen 1 und 2. Spline.
1797     //println("Biggest_Distance=12");
1798   }
1799   println("Strecke "+Points," hat die größte Distanz mit="+Biggest_Distance);
1800   /*
1801   //MAKE_SPHERE(Scale,Name,Position,Parent) --zur Kontrolle
1802   Sphere_Scale=0.2;
1803   if(doc->FindObject(Path_1_Name))
1804   {
1805     SphereName=("1_PATH_Point_"+tostring(i));
1806     MAKE_SPHERE(Sphere_Scale,SphereName,Path_1_Position_Point,Null);
1807   }
1808   if(doc->FindObject(Path_2_Name))
1809   {
1810     SphereName=("2_PATH_Point_"+tostring(i));
1811     MAKE_SPHERE(Sphere_Scale,SphereName,Path_2_Position_Point,Null);
1812   }
1813   */
1814   //Bei 3 Stecken müssten hier mehrere Kombinations-Fälle unterschieden werden (12,13,23)
1815   //3. Steigung ermitteln
1816   if(Points==12)
1817   {
1818     Dist_X=Path_1_Position_Point.x-Path_2_Position_Point.x;
1819     Dist_Y=Path_1_Position_Point.y-Path_2_Position_Point.y;
1820     Dist_Z=Path_1_Position_Point.z-Path_2_Position_Point.z;
1821     Mid_Point=(Path_1_Position_Point+Path_2_Position_Point)/2;
1822   }
1823   //Scale Faktor Distance
1824   //Scale=Biggest_Distance*Scale_Factor; //Die Matrix überlappt den Weg um z.B.: ca. 20% der größten Wegdistanz.
1825   //Gesamtbreiten mit den jeweiligen Wegen mal die Skalierung
1826   Scale=Scale_Factor+1;
1827   //STEIGUNG IN ALLE 3 ACHSRICHTUNGEN ERMITTELN
1828   X_Degree_L=(Dist_X+(Pedestrian_Width)*(Dist_X/Biggest_Distance))*Scale/(Anzahl_Splines-1);
1829   Y_Degree_L=(Dist_Y+(Pedestrian_Width)*(Dist_Y/Biggest_Distance))*Scale/(Anzahl_Splines-1);
1830   Z_Degree_L=(Dist_Z+(Pedestrian_Width)*(Dist_Z/Biggest_Distance))*Scale/(Anzahl_Splines-1);
1831   X_Degree_R=(Dist_X+(WheelChair_Width)*(Dist_X/Biggest_Distance))*Scale/(Anzahl_Splines-1);
1832   Y_Degree_R=(Dist_Y+(WheelChair_Width)*(Dist_Y/Biggest_Distance))*Scale/(Anzahl_Splines-1);
1833   Z_Degree_R=(Dist_Z+(WheelChair_Width)*(Dist_Z/Biggest_Distance))*Scale/(Anzahl_Splines-1);
1834   //Für die if-Beurteilung
1835   X_Degree=(Dist_X)/(Anzahl_Splines-1)*Scale;
1836   Y_Degree=(Dist_Y)/(Anzahl_Splines-1)*Scale;
1837   Z_Degree=(Dist_Z)/(Anzahl_Splines-1)*Scale;
1838   if(i==SplinePunkte-1) println("Achtung Fehler");

```

```

1837 println("Pfad1_Position: ",Percent_Position_Path_1);
1838 //println("Pfad2_Position: ",Percent_Position_Path_2);
1839 println("X_Degree_L: ",X_Degree_L);
1840 println("Y_Degree_L: ",Y_Degree_L);
1841 println("Z_Degree_L: ",Z_Degree_L);
1842 println("X_Degree_R: ",X_Degree_R);
1843 println("Y_Degree_R: ",Y_Degree_R);
1844 println("Z_Degree_R: ",Z_Degree_R);
1845 //println("X_Degree: ",X_Degree);
1846 //println("Y_Degree: ",Y_Degree);
1847 //println("Z_Degree: ",Z_Degree);
1848 //BetweenPaths_Points=(AnzahlSplines-1)*Scale;
1849
1850 //4. BRIDGE_POINTS_ARRAY Punkte anpassen mit Scalefaktor
1851 HalfSplines=AnzahlSplines/2;
1852 //println("HalfSplines= ",HalfSplines);
1853 //NUN WIRD DIE FLÄCHE ZWISCHEN DEN 2 ÄUßERSTEN SPLINES GEKNETET
1854 //UM BEI BEDARF DIE KONTUR NUR IM GRUNDRISS ZU KNETEN MUSS DIE Y-BERECHNUNG DEAKTIVIER
1855 for(cnt=0;cnt<AnzahlSplines;cnt++)
1856 {
1857 //Es wird festgestellt ob der eine Punkt über oder unter dem anderen liegen
1858 //Je nachdem ob die Steigungswerte positiv oder negativ sind wird
1859 if(cnt<HalfSplines)
1860 {
1861 if(X_Degree<=0 && Z_Degree>=0) BRIDGE_POINTS_ARRAY[cnt][1].z=Mid_Point.z+Z_Degree_L*(HalfSpli
1862 if(X_Degree<=0 && Z_Degree>=0) BRIDGE_POINTS_ARRAY[cnt][1].x=Mid_Point.x+X_Degree_L*(HalfSpli
1863 if(X_Degree<=0 && Z_Degree>=0) BRIDGE_POINTS_ARRAY[cnt][1].y=Mid_Point.y+Y_Degree_L*(HalfSpli
deaktivieren
1864 if(X_Degree<=0 && Z_Degree<=0) BRIDGE_POINTS_ARRAY[cnt][1].z=Mid_Point.z-Z_Degree_L*(HalfSpli
1865 if(X_Degree<=0 && Z_Degree<=0) BRIDGE_POINTS_ARRAY[cnt][1].x=Mid_Point.x-X_Degree_L*(HalfSpli
1866 if(X_Degree<=0 && Z_Degree<=0) BRIDGE_POINTS_ARRAY[cnt][1].y=Mid_Point.y-Y_Degree_L*(HalfSpli
deaktivieren
1867 //Dieser Teil wurde nicht überprüft, da dieser Fall nie eingetreten ist!!
1868 if(X_Degree>0 && Z_Degree<=0) BRIDGE_POINTS_ARRAY[cnt][1].z=Mid_Point.z-Z_Degree_L*(HalfSpli
1869 if(X_Degree>0 && Z_Degree<=0) BRIDGE_POINTS_ARRAY[cnt][1].x=Mid_Point.x-X_Degree_L*(HalfSpli
1870 if(X_Degree>0 && Z_Degree<=0) BRIDGE_POINTS_ARRAY[cnt][1].y=Mid_Point.y-Y_Degree_L*(HalfSpli
1871 if(X_Degree>0 && Z_Degree>=0) BRIDGE_POINTS_ARRAY[cnt][1].z=Mid_Point.z+Z_Degree_L*(HalfSpli
Radausen und Fußgänger außen
1872 if(X_Degree>0 && Z_Degree>=0) BRIDGE_POINTS_ARRAY[cnt][1].x=Mid_Point.x+X_Degree_L*(HalfSpli
Radausen und Fußgänger außen
1873 if(X_Degree>0 && Z_Degree>=0) BRIDGE_POINTS_ARRAY[cnt][1].y=Mid_Point.y+Y_Degree_L*(HalfSpli
1874 //Ende nicht überprüfte Fläche
1875 }
1876 if(cnt)=HalfSplines)
1877 {
1878 if(X_Degree<=0 && Z_Degree>=0) BRIDGE_POINTS_ARRAY[cnt][1].z=Mid_Point.z+Z_Degree_R*(HalfSpli
1879 if(X_Degree<=0 && Z_Degree>=0) BRIDGE_POINTS_ARRAY[cnt][1].x=Mid_Point.x+X_Degree_R*(HalfSpli
1880 if(X_Degree<=0 && Z_Degree>=0) BRIDGE_POINTS_ARRAY[cnt][1].y=Mid_Point.y+Y_Degree_R*(HalfSpli
deaktivieren
1881 if(X_Degree<=0 && Z_Degree<=0) BRIDGE_POINTS_ARRAY[cnt][1].z=Mid_Point.z-Z_Degree_R*(HalfSpli
1882 if(X_Degree<=0 && Z_Degree<=0) BRIDGE_POINTS_ARRAY[cnt][1].x=Mid_Point.x-X_Degree_R*(HalfSpli
1883 if(X_Degree<=0 && Z_Degree<=0) BRIDGE_POINTS_ARRAY[cnt][1].y=Mid_Point.y-Y_Degree_R*(HalfSpli
deaktivieren
1884 //Dieser Teil wurde nicht überprüft, da dieser Fall nie eingetreten ist!!
1885 if(X_Degree>0 && Z_Degree<=0) BRIDGE_POINTS_ARRAY[cnt][1].z=Mid_Point.z-Z_Degree_R*(HalfSpli
1886 if(X_Degree>0 && Z_Degree<=0) BRIDGE_POINTS_ARRAY[cnt][1].x=Mid_Point.x-X_Degree_R*(HalfSpli
1887 if(X_Degree>0 && Z_Degree<=0) BRIDGE_POINTS_ARRAY[cnt][1].y=Mid_Point.y-Y_Degree_R*(HalfSpli
1888 if(X_Degree>0 && Z_Degree>=0) BRIDGE_POINTS_ARRAY[cnt][1].z=Mid_Point.z+Z_Degree_R*(HalfSpli
Radausen und Fußgänger außen
1889 if(X_Degree>0 && Z_Degree>=0) BRIDGE_POINTS_ARRAY[cnt][1].x=Mid_Point.x+X_Degree_R*(HalfSpli
Radausen und Fußgänger außen
1890 if(X_Degree>0 && Z_Degree>=0) BRIDGE_POINTS_ARRAY[cnt][1].y=Mid_Point.y+Y_Degree_R*(HalfSpli
1891 }
1892 }
1893 Percent_Position=Percent_Position+Section_Percent_Step;
1894 }
1895 //Spline Updaten -> Neuzeichen
1896 println("Splines Updaten");
1897 UPDATE_BRIDGE_SPLINES();
1898 }
1899
1900 //-----
1901 //-----
1902 main()
1903 {
1904 doc=GetActiveDocument();
1905 if (ONOFF==TRUE && doc->FindObject(" Path_Splines") && doc->FindObject("Pedestrian_Path_Spline") && d
1906 {
1907 var a; // Zählvariablen
1908 var Path_Object,Path_Name;
1909 BRIDGE_POINTS_ARRAY = new (array,AnzahlSplines,SplinePunkte);
1910
1911 //Punkte_Array von der Brückenflächengeometrie erzeugen
1912 GENERATE_BRIDGE_GEOMETRY_ARRAY(); //ERGEBNIS: BRIDGE_POINTS_ARRAY[1];->[SplineAnzahl][Anz

```

```

1913
1914 //DEFORM_BASICSURFACE_TO_PATHSPLINES
1915 DEFORM_BASICSURFACE_TO_PATHSPLINES(Path_Object);
1916
1917 //LoftNurbs-Updaten
1918 var LoftnurbsNEW,Loftname;
1919 Loftname=(" LoftObjekt");
1920 LoftnurbsNEW=doc->FindObject(Loftname);
1921 LoftnurbsNEW#ID_BASEOBJECT_GENERATOR_FLAG=False;
1922 LoftnurbsNEW#ID_BASEOBJECT_GENERATOR_FLAG=True;
1923 }
1924 else
1925 {
1926 if(ONOFF==TRUE) println("Es gibt keine 2 Pfade!!!");
1927 }
1928 OFF==FALSE;
1929 }
1930
1931
1932
1933 //-----
1934 //PATHCLEARANCE_SCRIPT |
1935 //-----
1936 //by Christian Pichlkastner
1937 //
1938 //Diese Skript ebnet die Brückenoberfläche in den Wegbereichen
1939 //
1940 //Eingang: AnzahlSplines, SplinePunkte, Pedestrian_Width, Biker_Width, WheelChair_Width, ONOFF
1941 //Ausgang: OFF
1942 //GLOBALE VARIABLEN
1943 var doc; // Damit Objekte in aktueller Szene benutzt/gesucht werden können
1944 var BRIDGE_POINTS_ARRAY;
1945 var Dist_current_Points;
1946 var Path_Points,PathPointNum;
1947 var path_cnt;
1948 var Path_Points_Cnt;
1949 var Nearest_Spline,Nearest_Point,Reset_Distance;
1950
1951 //Correct_Path_Overlapping
1952 CORRECT_PATH_OVERLAPPING()
1953 {
1954 //Wenn die Brücken geometrie im Pfadlichtenbereich andere Y-Werte als der Pfadaufweist,dann
1955 //überlappt ein anderer Pfad diesen und dieser muss an dieser Stelle nachkorrigiert werden.
1956 //MAN KANN ABER LEIDER NUR AUF KONTROLLPUNKTE DER PFADSPLINE ZUGREIFEN!!!
1957 //VORSCHLAG: FIKTIVE NACHBARPUNKTE (über Prozentrechnung) ERMITTELN UND AUF ÜBERLAPPUNG CHECKEN.
1958 //JE NACH STÄRKE DER ÜBERLAPPUNG WERDEN DIE KONTROLLPUNKTE MEHR ODER WENIG STARK VERSCHOBEN
1959 //einfachste Variante: stimmt ein y-Wert an einer prozentstelle in der lichte nicht mit der Brückengeometrie
1960 //.....dann wird der nächste Kontrollpunkt auf den Y-Brückengeometriewert gesetzt.
1961 println("Correct_Path_Overlapping");
1962 var i,a,cnt,c,j;
1963 var Path_Point_Coord;
1964 var CurrentBridgePoint;
1965 var Percent_Position=0.0,Section_Percent_Step;
1966 var Path_Object,Path_Name,Path_Control_Point,Current_Control_Point,Path_Width,Path_Points_Cnt,PointNum;
1967 var SamplingResolution,Sampling_Sections;
1968 var Height_Difference,Smallest_Distance,Tolerance_Value;
1969
1970 //var NODEDATA=new(array,AnzahlSplines,SplinePunkte); //SplineNummer/PunktNummer/Daten
1971 SamplingResolution=(SplinePunkte)*10;
1972 Sampling_Sections=SamplingResolution/(SplinePunkte);
1973 Section_Percent_Step=1.0/SamplingResolution;
1974 //Make Path Clear
1975 for(i=1;i<=2;j++)
1976 {
1977 if(i==1) Path_Name=(" Biker_Path_Spline");
1978 if(i==2) Path_Name=(" Pedestrian_Path_Spline");
1979 if(i==1) Path_Width=Biker_Width;
1980 if(i==2) Path_Width=Pedestrian_Width;
1981 println(" ");
1982 println(i," Überprüfe ",Path_Name);
1983 if(doc->FindObject(Path_Name))
1984 {
1985 Path_Object=doc->FindObject(Path_Name);
1986 for(a=0;a<AnzahlSplines;a++)
1987 {
1988 for (cnt=0;cnt<SplinePunkte;cnt++)
1989 {
1990 CurrentBridgePoint=BRIDGE_POINTS_ARRAY[a][cnt];
1991 //println("Punkt ["a","i","cnt","j] wird verglichen");
1992 Percent_Position=0;
1993 for (i=0;i<SamplingResolution;i++)
1994 {
1995 Path_Point_Coord=Path_Object->GetSplinePoint(Percent_Position,0);
1996 XZ_Dist_2_Points_Calc(Path_Point_Coord,CurrentBridgePoint);

```

```

1997     Dist_current_Points=abs(Dist_current_Points);
1998
1999     if(Dist_current_Points<=(Path_Width/2)) //Wenn im Pfadbereich dann check Y-Wert
2000     {
2001         //println(i, "Der Brückenpunkt ",Percent_Position," ist im Pfadbereich");
2002         Height_Difference=Path_Point_Coord.y-CurrentBridgePoint.y;
2003         BRIDGE_POINTS_ARRAY[a][cnt].y=Path_Point_Coord.y;
2004         Tolerance_Value=20;
2005         if(abs(Height_Difference)>=Tolerance_Value)
2006         {
2007             //Nächsten PfadKontrollPunkt finden und verändern.
2008             //desto weiter dieser Punkt entfernt ist desto stärker
2009             //wird dieser Konrollpunkt verändert.
2010             //println("Höhendifferenz beträgt: ",Height_Difference);
2011             Path_Points_Cnt=Path_Object->GetPointCount(0);
2012             Smallest_Distance=10000000000;
2013             PointNum=0;
2014             for(c=0;c<Path_Points_Cnt;c++)
2015             {
2016                 Path_Control_Point=Path_Object->GetPoint(c);
2017                 XYZ_Dist_2_Points_Calc(Path_Control_Point,CurrentBridgePoint);
2018                 Dist_current_Points=abs(Dist_current_Points);
2019                 if(Dist_current_Points<Smallest_Distance)
2020                 {
2021                     Smallest_Distance=Dist_current_Points;
2022                     Current_Control_Point=Path_Control_Point;
2023                     PointNum=c;
2024                 }
2025             }
2026             //println("Nächster Control Punkt von ist ",Smallest_Distance," entfernt.");
2027             //println("Nächster Control Punkt von ",Path_Name," ist Punkt",PointNum," mit den Koordinaten: ",C,
2028             if (abs(Smallest_Distance/200)>= 0) Height_Difference=Height_Difference*(1/(Smallest_Distance/1
abgeschwächt.
2029
2030             //println("Neue Höhendifferenz beträgt: ",Height_Difference);
2031             Current_Control_Point.y=Current_Control_Point.y-Height_Difference; //Hier wird der Pfadpunkt ko
2032             Path_Object->SetPoint(PointNum,Current_Control_Point);
2033             Path_Object#ID_BASEOBJECT_GENERATOR_FLAG=False;
2034             Path_Object#ID_BASEOBJECT_GENERATOR_FLAG=True;
2035             //println("Neuer Control Punkt ",PointNum," mit den Koordinaten: ",Current_Control_Point);
2036         }
2037     }
2038     Percent_Position=Percent_Position+Section_Percent_Step;
2039 }
2040 }
2041 }
2042 } //IF PATH FOUND ENDE
2043 } //PATH CHOOSER ENDE
2044 } //CORRECT OVERLAPPING ENDE
2045
2046 //Make Path Clear
2047 MAKE_PATH_CLEAR(Path_Height, Path_Width,Path_Name)
2048 {
2049     println(" ");
2050     println("Make ",Path_Name," clear");
2051     println(" ");
2052     var i,a,cnt;
2053     var Path_Point_Coord;
2054     var CurrentBridgePoint;
2055     var Percent_Position=0.0,Section_Percent_Step;
2056     var Path_Object,Path_Full_Lenght;
2057     var SamplingResolution,Sampling_Sections,Sampling_Error_Dist;
2058     //var NODEDATA=new(array,Anzahl_Splines,SplinePunkte); //SplineNummer/PunktNummer/Daten
2059     Path_Object=doc->FindObject(Path_Name);
2060     SamplingResolution=(SplinePunkte)*10;
2061     Sampling_Sections=SamplingResolution/(SplinePunkte);
2062     Section_Percent_Step=1.0/SamplingResolution;
2063     Path_Object->InitLength(0);
2064     Path_Full_Lenght=Path_Object->GetLength(0);
2065     Sampling_Error_Dist=Path_Full_Lenght/SamplingResolution;
2066     println("SamplingResolution: ",SamplingResolution);
2067     println("Sampling_Sections: ", Sampling_Sections);
2068     println("Section_Percent_Step: ",Section_Percent_Step);
2069     println("Sampling_Error_Dist: ",Sampling_Error_Dist);
2070     for(a=0;a<Anzahl_Splines;a++)
2071     {
2072         for (cnt=0;cnt<SplinePunkte;cnt++)
2073         {
2074             CurrentBridgePoint=BRIDGE_POINTS_ARRAY[a][cnt];
2075             //println("Punkt [",a,"|",cnt,"] wird verglichen");
2076             Percent_Position=0;
2077             for (i=0;i<SamplingResolution;i++)
2078             {
2079                 //println("Punkt [",a,"|",cnt,"] wird mit Pfadpunkt bei ",Percent_Position,"% verglichen.");
2080                 //println("Pfadbreite: ",Path_Width);
2081                 Path_Point_Coord=Path_Object->GetSplinePoint(Percent_Position,0);
2082                 XZ_Dist_2_Points_Calc(Path_Point_Coord,CurrentBridgePoint);
2083                 //println(i,"Distanz: ",Dist_current_Points);
2084                 Dist_current_Points=abs(Dist_current_Points);
2085                 if(Dist_current_Points<=(Path_Width/2)+Sampling_Error_Dist)
2086                 {
2087                     //println("Y-Wert wird verändert.");
2088                     BRIDGE_POINTS_ARRAY[a][cnt].y=Path_Point_Coord.y;
2089                 }
2090                 Percent_Position=Percent_Position+Section_Percent_Step;
2091             }
2092         }
2093     }
2094     UPDATE_BRIDGE_SPLINES(0);
2095 }
2096
2097 //-----
2098 //-----
2099 main()
2100 {
2101     doc=GetActiveDocument();
2102     if (ONOFF==TRUE && doc->FindObject("LoftObjekt") && doc->FindObject("Path_Splines"))
2103     {
2104         var a; // Zählvariablen
2105         var Biker_Height,Biker_Width, Pedestrian_Height, Pedestrian_Width, Wheelchair_Height, Wheelchair_Width;
2106         var Path_Height,Path_Width;
2107         var Path_Name;
2108         BRIDGE_POINTS_ARRAY = new (array,Anzahl_Splines,SplinePunkte);
2109         //Weg_Lichte_Profil (Rechteck)
2110         Biker_Height=180;
2111         Pedestrian_Height=200;
2112         Wheelchair_Height=200;
2113         println("START TO MAKE CLEARANCE OF PATHS!!!");
2114
2115         //Punkte_Array von der Brückenflächengeometrie erzeugen
2116         GENERATE_BRIDGE_GEOMETRY_ARRAY(0); //ERGEBNIS: BRIDGE_POINTS_ARRAY[[]]->[SplineAnzahl][Anzahl_Splines]
2117         //Make Path Clear
2118         for(a=1;a<=3;a++)
2119         {
2120             if(a==1) Path_Name=(Pedestrian_Path_Spline);
2121             if(a==2) Path_Name=(Biker_Path_Spline);
2122             if(a==3) Path_Name=(Barrier_Free_Path_Spline);
2123             if(doc->FindObject(Path_Name))
2124             {
2125                 println("Checking Path: ",Path_Name);
2126                 Path_Height=Biker_Height;
2127                 Path_Width=Biker_Width;
2128                 if(a==1) Path_Height=Pedestrian_Height; Path_Width=Biker_Width;
2129                 if(a==2)Path_Height=Biker_Height; Path_Width=Pedestrian_Width;
2130                 if(a==3)Path_Height= Wheelchair_Height; Path_Width=WheelChair_Width;
2131                 MAKE_PATH_CLEAR(Path_Height, Path_Width,Path_Name);
2132             }
2133         }
2134         //Correct_Path_Overlapping
2135         CORRECT_PATH_OVERLAPPING(0);
2136         //LoftNurbs-Update
2137         var LoftnurbsNEW,Loftname;
2138         Loftname=(LoftObjekt);
2139         LoftnurbsNEW=doc->FindObject(Loftname);
2140         LoftnurbsNEW#ID_BASEOBJECT_GENERATOR_FLAG=False;
2141         LoftnurbsNEW#ID_BASEOBJECT_GENERATOR_FLAG=True;
2142     }
2143     else
2144     {
2145         if(ONOFF==TRUE) println("Es gibt kein Pfad!!!");
2146     }
2147     OFF==FALSE;
2148 }
2149
2150 //-----
2151 //STRUCTURE_EVALUATING_SCRIPT |
2152 //-----
2153 //by Christian Pichlkastner
2154 //Dieses Cinema4d Coffee Skript überprüft die Brüche an mehreren Stellen auf ihre
2155 //Tragfähigkeit und versucht eine Vorbemessung zu erzielen.
2156 //Wenn die Brücke nicht Tragfähig ist, dann kann die Brücke tragfähig gemacht werden.
2157 //
2158 //Eingang: Anzahl_Splines, SplinePunkte, Wasserpegel, Material_Typ, Structure_Load,
2159 //ServiceLoad, Diagram_Factor, Sigma_Zul, Torque_Calc_Mode, Support_Position, ONOFF,
2160 //Beam_Num_In, Pedestrian_Width, Biker_Width, WheelChair_Width, Spline_Deformer_Factor_In,
2161 //Barrier_Free_Path_Degree_In, Path_Overlapping_Factor_In

```



```

2164 //
2165 //Ausgang: OFF, SPLINE_DEFORMER_ON, CHECK_SPLINE_DEGREES_ON, Barrier_Free_Path_Degree_Out,
2166 //KNEAD_TO_PATHS_ON, PATH_CLEARANCE_ON, CREATE_HANDRAIL_ON, Anz_Splines_Out, Anz_Splines
2167 //Pedestrian_Width_Out, Biker_Width_Out, WheelChair_Width_Out, Spline_Deformer_Factor_Out,
2168 //Path_Overlapping_Factor_Out, Beam_Num_Out, KNEAD_TO_SPLINE_TO_ATTRAKTORES_ON,
2169 //Attractor_Spline_Object_Out
2170
2171 //GLOBALE VARIABLEN
2172 var doc; // Damit Objekte in aktueller Szene benötigt/gesucht werden können
2173 var Dist_current_Points;
2174 var BRIDGE_POINTS_ARRAY;
2175 var EntirePlane,Sector_Plane,SinglePlanes,SinglePlane_BalancePoint,Planes_Count,Surface_Balance_Point; //
2176 var SinglePlanes_Load,Single_Volume_Cubes_Load,Structure_Load_NEW,Support_Res_Force_A,Support_Res
Support_Z_Force_A,Support_Z_Force_B;
2177 var Section_Torque_X,Section_Torque_Z,Res_Section_Torque,Section_Torque_RES;
2178 var System_Axis_Points;
2179 var IdeaL_Beam_Heights; //Hier ist die Dicke des Trägers gespeichert
2180 var BRIDGE_VOLUME_POINTS_ARRAY;
2181 var Cube_Volume_Balance_Point,Single_Cube_Volume,Pyramid_Angle,Pyramid_Base_Area;
2182 var Positiv_Cubes_Volume, Positiv_Entire_Volume;
2183 var Negativ_Cubes_Volume, Negativ_Entire_Volume;
2184 var PROFILETYPE;
2185 var Sum_Cubes_Balance_Points,Entire_Structure_Load_Balance_Point, Entire_Service_Load_Balance_Point,E
2186 var Entire_Structure_Volume,Sum_of_Pyramides_Volumes;
2187 var Entire_Bridge_Load,Single_Bridge_Load_Points,Single_Bridge_Balance_Points,Entire_Bridge_Balance_Po
2188 var Minimal_Construction_Height;
2189 var OG_Height,UG_Height,Left_Width,Right_Width,OG_Height_Percent,UG_Height_Percent,Left_Width_Percent
Untergurtweite...in Prozent;
2190 var Beam_Proportion_Faktor,Obergurt_Mindesthoehe,Untergurt_Mindesthoehe;
2191 var Section_Shape_Mode; //Definiert wie sich das Profil zum Rand hin verläuft
2192 var Stegbreiten_Faktor; //Definiert, wie Breit die Stege im Verhältnis zur Höhe sein müssen.
2193 var Rectangle_Area_Value,Rectangle_Area_Balance_Point,Triangle_Area_Value,Triangle_Area_Balance_Point;
2194 var section_Load_pos,Section_Load;
2195 var Section_Moments_of_Inertia_Y,Section_Moments_of_Inertia_XZ,Section_Area_Balance_Point,Section_Are
2196 var Formula_Divident_Arm_1,Formula_Divident_Arm_2,Faktor_1_Enable,Faktor_2_Enable,Faktor_2_Proportio
Faktor_2_Enable_Extern,Section_Shape_Mode_Extern,Change_Bridge_Symmetry;
2197 var Global_Safty_Factor,Beam_Number_Intern; //Stabilitäts_Check
2198 var OG_Restiance_Torque, UG_Restiance_Torque, Left_Side_Restiance_Torque, Right_Side_Restiance_Torque
2199 var Sigma_UG_Actual,Sigma_UG_Actual,Sigma_Left_Actual,Sigma_Right_Actual;
2200 var OG_Efficiency, UG_Efficiency, Left_Efficiency, Right_Efficiency,Bending_of_Arm_1_Efficiency,Bending_of_
Bending_Section; //Trägerauslastung
2201 var Waterlevel,Waterlevel_Point;
2202 var Torque_Curve_Calc,Torque_Curve_Calc_Mode; //Trägervordimensionierung anhand des Momenten verlauf
2203 var Change_Bridge_Thickness; //0: bedeutet Brückendicke soll nicht verändert werden; 1: bedeutet eine Veränd
nach oben erlaubt.
2204 var Formula_Divident_Arm_1_Extern,Formula_Divident_Arm_2_Extern;
2205 var Path_Area_Point;
2206 var Section_Balance_Extern; //Kann den Wert 0 oder 1 haben; 0=kein Wegbereich;1=Wegbereich;
2207 var Cantilever_Arm_1,Cantilever_Arm_2,Bridge_Lenght,Bridge_Segment_Lenght;
2208 var Angle_Weight; //Winkelgewicht
2209 var Fittest_Beam_Number;
2210
2211 //MAKE_PYRAMID
2212 MAKE_PYRAMID(Size,Name,Position,Parent)
2213 {
2214     var Pyramid_Object;
2215     if(!doc->FindObject(Name))
2216     {
2217         Pyramid_Object = new(PyramidObject);
2218         Pyramid_Object->SetName(Name);
2219         Pyramid_Object#PRIM_PYRAMID_LEN=vector(Size,Size,Size);
2220         Position.y= Position.y-Size/2;
2221         Pyramid_Object->SetPosition(Position);
2222         doc->InsertObject(Pyramid_Object,Parent, null);
2223     }
2224     else
2225     {
2226         Pyramid_Object = doc->FindObject(Name);
2227         Position.y= Position.y-Size/2;
2228         Pyramid_Object->SetPosition(Position);
2229     }
2230 }
2231
2232 //MAKE_CUBE
2233 MAKE_CUBE(Size,Name,Position,Parent)
2234 {
2235     var Cube_Object;
2236     if(!doc->FindObject(Name))
2237     {
2238         Cube_Object = new(CubeObject);
2239         Cube_Object->SetName(Name);
2240         Cube_Object#PRIM_CUBE_LEN=Size;
2241         Cube_Object->SetPosition(Position);
2242         doc->InsertObject(Cube_Object,Parent, null);
2243     }
2244     else
2245     {
2246         Cube_Object = doc->FindObject(Name);
2247         Cube_Object#PRIM_CUBE_LEN=Size;
2248         Cube_Object->SetPosition(Position);
2249     }
2250 }
2251
2252 //MAKE A 4 Points defined RECTANGLE
2253 MAKE_4_POINT_RECTANGLE(UL,UR,DR,DL,Name,Parent)
2254 {
2255     var Rectangle_Object;
2256     var Rectangle_Points=new(array,4);
2257
2258     if(!doc->FindObject(Name))
2259     {
2260         Rectangle_Object=new(SplineObject);
2261         var vc=new(VariableChanged);
2262         var bt=new(BackupTags);
2263         bt->Init(Rectangle_Object); // required because we are changing the number of points
2264         vc->Init(0,4); // it used to have 0 points, now has 5
2265         if (Rectangle_Object->Message(MSG_POINTS_CHANGED, vc))
2266         {
2267             bt->Restore();
2268         }
2269         doc->InsertObject(Rectangle_Object,Parent, null);
2270         Rectangle_Object->SetName(Name);
2271         Rectangle_Object#SPLINEOBJECT_TYPE=0; // set the type of spline here
2272         Rectangle_Object#SPLINEOBJECT_CLOSED=True;
2273     }
2274     Rectangle_Points[0]=UL;
2275     Rectangle_Points[1]=UR;
2276     Rectangle_Points[2]=DR;
2277     Rectangle_Points[3]=DL;
2278     //println(Path_Punkte);
2279     Rectangle_Object->FindObject(Name);
2280     Rectangle_Object->SetPoints(Rectangle_Points);
2281     Rectangle_Object->Message(MSG_UPDATE);
2282 }
2283
2284 //MAKE_3RD_BEAM
2285 MAKE_3RD_BEAM_PROFILE(Section,IdeaL_Beam_Heights,Name,Parent)
2286 {
2287     var c,cnt,a,i;
2288     var Profil_Object;
2289     var Profil_Punkte_Anzahl=AnzahlSplines*2;
2290     var Profile_Points=new(array,Profil_Punkte_Anzahl);
2291     if(!doc->FindObject(Name))
2292     {
2293         Profil_Object=new(SplineObject);
2294         var vc=new(VariableChanged);
2295         var bt=new(BackupTags);
2296         bt->Init(Profil_Object); // required because we are changing the number of points
2297         vc->Init(0,Profil_Punkte_Anzahl); // it used to have 0 points, now has 5
2298         if (Profil_Object->Message(MSG_POINTS_CHANGED, vc))
2299         {
2300             bt->Restore();
2301         }
2302         doc->InsertObject(Profil_Object,Parent, null);
2303         Profil_Object->SetName(Name);
2304         Profil_Object#SPLINEOBJECT_TYPE=0; // set the type of spline here
2305         Profil_Object#SPLINEOBJECT_CLOSED=True;
2306     }
2307     for(c=0;c<Profil_Punkte_Anzahl;c++)
2308     {
2309         Profile_Points[c]=BRIDGE_VOLUME_POINTS_ARRAY[c][Section];
2310     }
2311     //println(Path_Punkte);
2312     Profil_Object=doc->FindObject(Name);
2313     Profil_Object->SetPoints(Profile_Points);
2314     Profil_Object->Message(MSG_UPDATE);
2315 }
2316
2317 //MAKE_PARABLE_KONTUR(IdeaL_Beam_Heights)
2318 MAKE_PARABLE_KONTUR(IdeaL_Beam_Heights)
2319 {
2320     //-----Parabelförmige Verjüngung zum Rand hin-----
2321     //-----
2322     //Pro Segment verjüngt sich die Höhe nach einer Quadratischen Parabel
2323     //Die Verjüngung müsste in Richtunge der idealline zwischen ufer a und b des
2324     //Brückenschwerpunktes berücksichtigt werden um eine gering torsion zu erhalten.
2325     var a,cnt;

```

```

2327 var Mittlere_Spline_1,Mittlere_Spline_2,Abweichung;
2328 var Dist,current_Spline,Middle_Spline,Max_DIST_1,Max_DIST_2,Max_Percent_1,Max_Percent_2,Faktor_1,Fak
2329
2330 Abweichung=AnzahlSplines/2;
2331 if(Abweichung!=int(Abweichung))
2332 { //ungerade Splineanzahl
2333   Mittlere_Spline_1=int(AnzahlSplines/2)+1; //wenn immer abgerundet wird...dann stimmt dies //Ansonsten.
2334   Mittlere_Spline_2=int(AnzahlSplines/2)+1; // = Spline 1
2335 }
2336 else
2337 {
2338   //gerade Splineanzahl=2 Mittelsplines
2339   Mittlere_Spline_1=int(AnzahlSplines/2)-1;
2340   Mittlere_Spline_2=int(AnzahlSplines/2);
2341 }
2342 //println("Mittlere_Spline_1: ",Mittlere_Spline_1);
2343 //println("Mittlere_Spline_2: ",Mittlere_Spline_2);
2344
2345 for (a=0;a<SplinePunkte;a++)
2346 {
2347   //1.Hälfte
2348   for (cnt=0;cnt<=Mittlere_Spline_1;cnt++)
2349   {
2350     //println("----- ");
2351     //println("cnt.",Spline Schleife 1 Schnitt: ",a);
2352     current_Spline=BRIDGE_POINTS_ARRAY[0][a];
2353     Middle_Spline=BRIDGE_POINTS_ARRAY[Mittlere_Spline_1][a];
2354     XYZ_Dist_2_Points_Calc(current_Spline,Middle_Spline);
2355     Max_DIST_1=abs(Dist_current_Points);
2356     //println("Max_DIST_1: ",Max_DIST_1);
2357     current_Spline=BRIDGE_POINTS_ARRAY[cnt][a];
2358     Middle_Spline=BRIDGE_POINTS_ARRAY[Mittlere_Spline_1][a];
2359     XYZ_Dist_2_Points_Calc(current_Spline,Middle_Spline);
2360     Dist=abs(Dist_current_Points);
2361     //println("DIST: ",Dist);
2362     //je nach Modus wird der Schnitt gegen Rand verlaufen
2363     if(Section_Shape_Mode==1) //Konkav
2364     {
2365       Max_Percent_1=sqrt(Max_DIST_1)/2;
2366       Faktor_1=(sqrt(Dist)/2)/Max_Percent_1;
2367       Faktor_1=abs(1-Faktor_1);
2368     }
2369     if(Section_Shape_Mode==2) //Konvex
2370     {
2371       Max_Percent_1=(Max_DIST_1*Max_DIST_1)/2;
2372       Faktor_1=((Dist*Dist)/2)/Max_Percent_1;
2373       Faktor_1=abs(1-Faktor_1);
2374     }
2375     Ideal_Beam_Heights[cnt][a]=(Ideal_Beam_Heights[cnt][a])*Faktor_1+(Minimal_Construction_Height/3.5);
2376   }
2377   //2.Hälfte
2378   for (cnt=AnzahlSplines-1;cnt>=Mittlere_Spline_2;cnt--)
2379   {
2380     //println("cnt.",Spline Schleife 2 Schnitt: ",a);
2381     current_Spline=BRIDGE_POINTS_ARRAY[AnzahlSplines-1][a];
2382     Middle_Spline=BRIDGE_POINTS_ARRAY[Mittlere_Spline_2][a];
2383     XYZ_Dist_2_Points_Calc(current_Spline,Middle_Spline);
2384     Max_DIST_2=abs(Dist_current_Points);
2385     //println("Max_DIST_2 ",Max_DIST_2);
2386     current_Spline=BRIDGE_POINTS_ARRAY[cnt][a];
2387     Middle_Spline=BRIDGE_POINTS_ARRAY[Mittlere_Spline_2][a];
2388     XYZ_Dist_2_Points_Calc(current_Spline,Middle_Spline);
2389     Dist=abs(Dist_current_Points);
2390     //println("DIST ",Dist);
2391     //je nach Modus wird der Schnitt gegen Rand verlaufen
2392     if(Section_Shape_Mode==1) //Konkav
2393     {
2394       Max_Percent_2=sqrt(Max_DIST_2)/2;
2395       Faktor_2=(sqrt(Dist)/2)/Max_Percent_2;
2396       Faktor_2=abs(1-Faktor_2);
2397     }
2398     if(Section_Shape_Mode==2) //Konvex
2399     {
2400       Max_Percent_2=(Max_DIST_2*Max_DIST_2)/2;
2401       Faktor_2=((Dist*Dist)/2)/Max_Percent_2;
2402       Faktor_2=abs(1-Faktor_2);
2403     }
2404     //println("Faktor_2 ",Faktor_2);
2405     //println("ALT_Ideal_Beam_Heights[cnt][a]: ",Ideal_Beam_Heights[cnt][a]);
2406     //Ideal_Beam_Heights[cnt][a]=(Ideal_Beam_Heights[cnt][a]+Minimal_Height)*Faktor_2;
2407     Ideal_Beam_Heights[cnt][a]=(Ideal_Beam_Heights[cnt][a])*Faktor_2+(Minimal_Construction_Height/3.5);
2408     //if(Ideal_Beam_Heights[cnt][a]<Minimal_Height) Ideal_Beam_Heights[cnt][a]=10;
2409     //println("NEU_Ideal_Beam_Heights",cnt,"I",a," ",Ideal_Beam_Heights[cnt][a]);
2410   }

```

```

2411 }
2412 return Ideal_Beam_Heights;
2413 }
2414
2415 //Read_Bridge_Outlines:
2416 READ_BRIDGE_SHAPE()
2417 {
2418   println(" ");
2419   println("READ BRIDGE_SHAPE");
2420   var a,cnt;
2421   var Beamkontur_Object;
2422   var Beamkontur_Name;
2423   var Changed__Point,temp_Point_Upside,temp_Point_Downside;
2424   var temp_Height;
2425   var Profil_Punkte=2*AnzahlSplines;
2426   var SplineNrDownside;
2427   for (a=0;a<SplinePunkte;a++)
2428   {
2429     for (cnt=0;cnt<AnzahlSplines;cnt++)
2430     {
2431       Beamkontur_Name=(toString(Fittest_Beam_Number)+"BEAMKONTUR"+toString(a)); //bsp.: 1BEAMKONTUR18
2432       Beamkontur_Object=doc->FindObject(Beamkontur_Name);
2433       //Achtung die Konturpunkte laufen rund um den Träger->DownPoint ist nicht cnt+AnzahlSplines
2434       temp_Point_Upside=Beamkontur_Object->GetPoint(cnt);
2435       //println("Oberflächenpunkt gelesen BRIDGE_POINTS_ARRAY",cnt,"I",a,"");
2436       BRIDGE_VOLUME_POINTS_ARRAY[cnt][a]=BRIDGE_POINTS_ARRAY[cnt][a];
2437       SplineNrDownside=(Profil_Punkte-1)-cnt;
2438       temp_Point_Downside=Beamkontur_Object->GetPoint(SplineNrDownside);
2439       //println("Dazugehörigen Unterseitenpunkt gelesen BRIDGE_POINTS_ARRAY",SplineNrDownside,"I",a,"");
2440       temp_Height=temp_Point_Upside.y-temp_Point_Downside.y;
2441       if(abs(temp_Height) < Minimal_Construction_Height) temp_Height=Minimal_Construction_Height;
2442       Ideal_Beam_Heights[cnt][a]=temp_Height;
2443       temp_Point_Downside=BRIDGE_POINTS_ARRAY[cnt][a];
2444       temp_Point_Downside.y=temp_Point_Downside.y-temp_Height;
2445       BRIDGE_VOLUME_POINTS_ARRAY[SplineNrDownside][a]=temp_Point_Downside;
2446     }
2447   }
2448   if(Beam_Number_Intern==2) //Träger 2 besitzt einen Rechtecksquerschnitt! Träger 3 wird später konkav gezeichnet, daher muss fit
Rechtecksquerschnitt hier in einen konkaven Träger umgerechnet werden.
2449   {
2450     println("Träger 2 besitzt einen Rechtecksquerschnitt! Träger 3 wird später konkav gezeichnet, daher muss für die Volumensberech
hier in einen konkaven Träger umgerechnet werden.");
2451     if(Section_Shape_Model=0)
2452     {
2453       MAKE_PARABLE_KONTUR(Ideal_Beam_Heights); //Man bekommt am ende die Veränderten "Ideal_Beam_Heights[cnt][a]" zurück
2454     }
2455     //Volumshöhenpunkte zuweisen
2456     var Profil_Punkte=2*AnzahlSplines;
2457     for (a=0;a<SplinePunkte;a++)
2458     {
2459       for (cnt=0;cnt<AnzahlSplines;cnt++)
2460       {
2461         BRIDGE_VOLUME_POINTS_ARRAY[cnt][a]=BRIDGE_POINTS_ARRAY[cnt][a];
2462         BRIDGE_VOLUME_POINTS_ARRAY[(Profil_Punkte-1)-cnt][a]=BRIDGE_POINTS_ARRAY[cnt][a];
2463         BRIDGE_VOLUME_POINTS_ARRAY[(Profil_Punkte-1)-cnt][a].y=BRIDGE_VOLUME_POINTS_ARRAY[(Profil_Punkte-1)-cnt][a].y-|
//println("HÖHEN->Ideal_Beam_Heights",cnt,"I",a," ",Ideal_Beam_Heights[cnt][a]);
2466       }
2467     }
2468   }
2469 }
2470 //CHOOSE_FITTEST_BEAM
2471 CHOOSE_FITTEST_BEAM()
2472 {
2473   println(" ");
2474   println("Der fitteste Träger wird ausgewählt!");
2475   println("-----");
2476   var Temp_Beam_Number,a;
2477   var temp_Nr=Beam_Number_Intern+1;
2478   var Beam_Compare_Data=new(array,temp_Nr,3); //Beam_Compare_Data[Beam_Number,0:Beam_Bending,1:Beam_Volume,2:Fit,Nr
2479   var Bending_Arm_1,Bending_Arm_2,Max_Bending_Arm,temp_Beam_Volume, max_Bending_Arm, temp_Volume;
2480   var temp_Value=0.0;
2481   var Status="NOT FIT";
2482
2483   println("Beam_Number_Intern: ",Beam_Number_Intern);
2484   if(Beam_Number_Intern<=4)
2485   {
2486     println("Beam_Number: ",Beam_Number_Intern+1,". Es sind erst weniger als 4 Träger erzeugt worden, es wird einfach der Vorgäng
"mutiert.");
2487     Fittest_Beam_Number=Beam_Number_Intern;
2488   }
2489
2490   //Alle Träger Daten einlesen (Durchbiegungen & Volumen)
2491   if(Beam_Number_Intern>=5)

```

```

2492 {
2493     println("Es wird der aus ",Beam_Number_Intern-3," Trägern ausgesucht");
2494     println("Werte aus 3d Objekten auslesen");
2495     for(Temp_Beam_Number=4;Temp_Beam_Number<=Beam_Number_Intern;Temp_Beam_Number++)
2496     {
2497         println("Träger ",Temp_Beam_Number," wird überprüft");
2498         if(doc->FindObject("Beam_"+tostring(Temp_Beam_Number)+"_Bending_of_Arm_1_Efficiency_Extern"))
2499         {
2500             var Bending_of_Arm_1_Efficiency_Extern_Object;
2501             Bending_of_Arm_1_Efficiency_Extern_Object=doc->FindObject("Beam_"+tostring(Temp_Beam_Number)+
2502             Bending_Arm_1=Bending_of_Arm_1_Efficiency_Extern_Object#PRIM_SPHERE_RAD;
2503         }
2504         if(doc->FindObject("Beam_"+tostring(Temp_Beam_Number)+"_Bending_of_Arm_2_Efficiency_Extern"))
2505         {
2506             var Bending_of_Arm_2_Efficiency_Extern_Object;
2507             Bending_of_Arm_2_Efficiency_Extern_Object=doc->FindObject("Beam_"+tostring(Temp_Beam_Number)+
2508             Bending_Arm_2=Bending_of_Arm_2_Efficiency_Extern_Object#PRIM_SPHERE_RAD;
2509         }
2510         if(Bending_Arm_1>=Bending_Arm_2)
2511         {
2512             Max_Bending_Arm=Bending_Arm_1;
2513         }
2514         else Max_Bending_Arm=Bending_Arm_2;
2515
2516         println(Temp_Beam_Number, " Max_Bending_Arm: ",Max_Bending_Arm);
2517         Beam_Compare_Data[Temp_Beam_Number][0]=Max_Bending_Arm;
2518
2519         if(doc->FindObject("Beam_"+tostring(Temp_Beam_Number)+"_Entire_Structure_Volume"))
2520         {
2521             var Beam_Structure_Volume_Object;
2522             Beam_Structure_Volume_Object=doc->FindObject("Beam_"+tostring(Temp_Beam_Number)+"_Entire_Str
2523             temp_Volume=Beam_Structure_Volume_Object#PRIM_SPHERE_RAD;
2524             Beam_Compare_Data[Temp_Beam_Number][1]= temp_Volume;
2525         }
2526         println("temp_Volume: ",temp_Volume);
2527     }//for(Temp_Beam_Number=4;Temp_Beam_Number<=Beam_Number_Intern;Temp_Beam_Number++) End
2528     //Trägervergleichen und besten Wählen.
2529     for(Temp_Beam_Number=4;Temp_Beam_Number<=Beam_Number_Intern;Temp_Beam_Number++)
2530     {
2531         Beam_Compare_Data[Temp_Beam_Number][2]="NOT FIT";
2532     }
2533
2534     println("Werte sortieren");
2535     for(Temp_Beam_Number=4;Temp_Beam_Number<=Beam_Number_Intern;Temp_Beam_Number++)
2536     {
2537         println("Träger ",Temp_Beam_Number);
2538         temp_Value=Beam_Compare_Data[Temp_Beam_Number][0];
2539         //println("Träger ",Temp_Beam_Number," hat kurz vor der Entscheidung die Bewertung: ",Beam_Compare.
Wert:"temp_Value);
2540         if(temp_Value<=1.0)
2541         {
2542             Status="FIT";
2543             println("Träger ",Temp_Beam_Number," wurde als FIT erkannt!");
2544             Beam_Compare_Data[Temp_Beam_Number][2]=Status; //Duchbiegung im zulässigen Bereich
2545         }
2546         else
2547         {
2548             Status="NOT FIT";
2549             println("Träger ",Temp_Beam_Number," wurde als NOT FIT erkannt!");
2550             Beam_Compare_Data[Temp_Beam_Number][2]=Status;
2551         }
2552     }
2553     var Smallest_Beam_Volume=100000000;
2554     var temp_Volume=0;
2555     var temp_Name;
2556     println("Es wird aus den fittesten Träger ausgewählt.");
2557     for(Temp_Beam_Number=4;Temp_Beam_Number<=Beam_Number_Intern;Temp_Beam_Number++)
2558     {
2559         //Nun wird der Fitteste Träger unter den Fitten ausgewählt.
2560         //Der mit der Geringsten Durchbiegung ist am Effizientesten
2561         println("Ist Träger ",Temp_Beam_Number," fit?");
2562         temp_Volume=Beam_Compare_Data[Temp_Beam_Number][1];
2563         temp_Name=Beam_Compare_Data[Temp_Beam_Number][2];
2564         if(temp_Name=="FIT")
2565         {
2566             println("Träger ",Temp_Beam_Number," ist fit und wird auf sein Volumen überprüft ");
2567             if(Smallest_Beam_Volume>=temp_Volume)
2568             {
2569                 Smallest_Beam_Volume=temp_Volume; //Aktuellkleinstes Volumen mit dem aktuellen Volumen vergleich
2570                 Fittest_Beam_Number=Temp_Beam_Number;
2571             }
2572         }
2573     }
2574     if(Smallest_Beam_Volume==100000000)

```

```

2575 {
2576     Fittest_Beam_Number=Beam_Number_Intern; //Wenn kein Smallest vergeben wurde, dann gibt es keine fitten. Es wird
2577     println("ES GIBT NICHT WIRKLICH EINEN FITTEN TRÄGER -> Es wird einfach weiter gemacht!");
2578 }
2579 println("Smallest_Beam_Volume=",Smallest_Beam_Volume);
2580 println("Fittester Träger ist Träger Nr.:",Fittest_Beam_Number);
2581 }
2582 }
2583
2584 //MAKE_VARIABLE_FOLDER
2585 WRITE_VARIABLE_FOLDER()
2586 {
2587     println(" ");
2588     println("VARIABLEN IN ORDNER SCHREIBEN");
2589
2590 //NullObjekte als Ordner ERSTELLEN
2591 var a;
2592 var STRUCTURE_NullObject;
2593 var Variable_Container_Folder_Object;
2594 var Variable_Container_Name=("VARIABLE_CONTAINER");
2595 var Position=vector(0,0,0);
2596 STRUCTURE_NullObject=doc->FindObject("STRUCTURE_CALC");
2597 if(!doc->FindObject("VARIABLE_CONTAINER"))
2598 {
2599     STRUCTURE_NullObject=doc->FindObject("STRUCTURE_CALC");
2600     Variable_Container_Folder_Object=new(NullObject);
2601     Variable_Container_Folder_Object->SetName(Variable_Container_Name);
2602     Variable_Container_Folder_Object#ID_BASEOBJECT_VISIBILITY_EDITOR=False;
2603     Variable_Container_Folder_Object#ID_BASEOBJECT_VISIBILITY_RENDER=False;
2604     doc->InsertObject(Variable_Container_Folder_Object,STRUCTURE_NullObject,Null);
2605 }
2606 Variable_Container_Folder_Object=doc->FindObject("VARIABLE_CONTAINER");
2607 var OG_Height_Percent_Name=("Beam_"+tostring(Beam_Number_Intern)+"_OG_Height_Percent");
2608 MAKE_SPHERE(OG_Height_Percent,OG_Height_Percent_Name,Position,Variable_Container_Folder_Object);
2609 var UG_Height_Percent_Name=("Beam_"+tostring(Beam_Number_Intern)+"_UG_Height_Percent");
2610 MAKE_SPHERE(UG_Height_Percent,UG_Height_Percent_Name,Position,Variable_Container_Folder_Object);
2611 var Change_Bridge_Thickness_Name=("Beam_"+tostring(Beam_Number_Intern)+"_Change_Bridge_Thickness");
2612 MAKE_SPHERE(Change_Bridge_Thickness,Change_Bridge_Thickness_Name,Position,Variable_Container_Folder_Object
2613 var Torque_Curve_Calc_Mode_Name=("Beam_"+tostring(Beam_Number_Intern)+"_Torque_Curve_Calc_Mode");
2614 MAKE_SPHERE(Torque_Curve_Calc_Mode,Torque_Curve_Calc_Mode_Name,Position,Variable_Container_Folder_Object
2615 var Formula_Divident_Arm_1_Extern_Name=("Beam_"+tostring(Beam_Number_Intern)+"_Formula_Divident_Arm_1_Ex
2616 MAKE_SPHERE(Formula_Divident_Arm_1_Extern,Formula_Divident_Arm_1_Extern_Name,Position,Variable_Container_F
2617 var Formula_Divident_Arm_2_Extern_Name=("Beam_"+tostring(Beam_Number_Intern)+"_Formula_Divident_Arm_2_E
2618 MAKE_SPHERE(Formula_Divident_Arm_2_Extern,Formula_Divident_Arm_2_Extern_Name,Position,Variable_Container_
2619 var Bending_of_Arm_1_Efficiency_Extern_Name=("Beam_"+tostring(Beam_Number_Intern)+"_Bending_of_Arm_1_Effic
2620 MAKE_SPHERE(Bending_of_Arm_1_Efficiency,Bending_of_Arm_1_Efficiency_Extern_Name,Position,Variable_Container.
2621 var Bending_of_Arm_2_Efficiency_Extern_Name=("Beam_"+tostring(Beam_Number_Intern)+"_Bending_of_Arm_2_Eff
2622 MAKE_SPHERE(Bending_of_Arm_2_Efficiency,Bending_of_Arm_2_Efficiency_Extern_Name,Position,Variable_Containe
2623 var Faktor_1_Enable_Extern_Name=("Beam_"+tostring(Beam_Number_Intern)+"_Faktor_2_Enable_Extern");
2624 MAKE_SPHERE(Faktor_1_Enable_Extern,Faktor_1_Enable_Extern_Name,Position,Variable_Container_Folder_Object);
2625 var Faktor_1_Enable_Extern_Name=("Beam_"+tostring(Beam_Number_Intern)+"_Faktor_2_Enable_Extern");
2626 MAKE_SPHERE(Faktor_1_Enable_Extern,Faktor_1_Enable_Extern_Name,Position,Variable_Container_Folder_Object);
2627
2628 var Section_Shape_Mode_Extern_Name=("Beam_"+tostring(Beam_Number_Intern)+"_Section_Shape_Mode_Extern");
2629 MAKE_SPHERE(Section_Shape_Mode_Extern,Section_Shape_Mode_Extern_Name,Position,Variable_Container_Folder_
2630 var Entire_Structure_Volume_Name=("Beam_"+tostring(Beam_Number_Intern)+"_Entire_Structure_Volume");
2631 MAKE_SPHERE(Entire_Structure_Volume,Entire_Structure_Volume_Name,Position,Variable_Container_Folder_Object);
2632
2633 var OG_Efficiency_Value,OG_Efficiency_Name;
2634 for (a=0;a<SplinePunkte;a++) //Einzelne Schnittwerte übergeben;
2635 {
2636     OG_Efficiency_Name=("Beam_"+tostring(Beam_Number_Intern)+"_"+tostring(a)+"_OG_Efficiency");
2637     OG_Efficiency_Value=OG_Efficiency[a];
2638     MAKE_SPHERE(OG_Efficiency_Value,OG_Efficiency_Name,Position,Variable_Container_Folder_Object);
2639 }
2640
2641 var UG_Efficiency_Value,UG_Efficiency_Name;
2642 for (a=0;a<SplinePunkte;a++) //Einzelne Schnittwerte übergeben;
2643 {
2644     UG_Efficiency_Name=("Beam_"+tostring(Beam_Number_Intern)+"_"+tostring(a)+"_UG_Efficiency");
2645     UG_Efficiency_Value=UG_Efficiency[a];
2646     MAKE_SPHERE(UG_Efficiency_Value,UG_Efficiency_Name,Position,Variable_Container_Folder_Object);
2647 }
2648 var Section_Bending_Efficiency_Value,Section_Bending_Efficiency_Name;
2649 for (a=0;a<SplinePunkte;a++) //Einzelne Schnittwerte übergeben;
2650 {
2651     Section_Bending_Efficiency_Name=("Beam_"+tostring(Beam_Number_Intern)+"_"+tostring(a)+"_Section_Bending_Effic
2652     Section_Bending_Efficiency_Value=Section_Bending_Efficiency[a];
2653     MAKE_SPHERE(Section_Bending_Efficiency_Value,Section_Bending_Efficiency_Name,Position,Variable_Container_Fol
2654 }
2655 var Section_Balance_Value=1,Section_Balance_Value_Name;
2656 var Section_Balance_Extern;
2657 for (a=0;a<SplinePunkte;a++) //Einzelne Schnittwerte übergeben;
2658 {

```



```

2659 Section_Balance_Extern=Section_Area_Balance_Point[a];
2660 Section_Balance_Value_Name=(("Beam_" + toString(Beam_Number_Intern) + "_" + toString(a) + "_Section_Balanc
2661 MAKE_SPHERE(Section_Balance_Value,Section_Balance_Value_Name,Section_Balance_Extern,Variable_C
2662 )
2663 }
2664
2665 //READ_VARIABLE_FOLDER
2666 READ_VARIABLE_FOLDER()
2667 {
2668   println(" ");
2669   println("VARIABLEN AUS ORDNER LESEN");
2670
2671   var a;
2672
2673   if(doc->FindObject("Beam_" + toString(Fittest_Beam_Number) + "_OG_Height_Percent"))
2674   {
2675     var OG_Height_Percent_Object;
2676     OG_Height_Percent_Object=doc->FindObject("Beam_" + toString(Fittest_Beam_Number) + "_OG_Height_Perc
2677     OG_Height_Percent=OG_Height_Percent_Object#PRIM_SPHERE_RAD;
2678   }
2679   else
2680   {
2681     if(Material_Typ==0) OG_Height_Percent=0.05;
2682     if(Material_Typ==1) OG_Height_Percent=0.10;
2683   }
2684
2685   //println("OG_Height_Percent: ",OG_Height_Percent);
2686   if(doc->FindObject("Beam_" + toString(Fittest_Beam_Number) + "_UG_Height_Percent"))
2687   {
2688     var UG_Height_Percent_Object;
2689     UG_Height_Percent_Object=doc->FindObject("Beam_" + toString(Fittest_Beam_Number) + "_UG_Height_Perc
2690     UG_Height_Percent=UG_Height_Percent_Object#PRIM_SPHERE_RAD;
2691   }
2692   else
2693   {
2694     if(Material_Typ==0) UG_Height_Percent=0.1;
2695     if(Material_Typ==1) UG_Height_Percent=0.30;
2696   }
2697
2698   //println("UG_Height_Percent: ",UG_Height_Percent);
2699   if(doc->FindObject("Beam_" + toString(Fittest_Beam_Number) + "_Change_Bridge_Thickness"))
2700   {
2701     var Change_Bridge_Thickness_Object;
2702     Change_Bridge_Thickness_Object=doc->FindObject("Beam_" + toString(Fittest_Beam_Number) + "_Change_B
2703     Change_Bridge_Thickness=Change_Bridge_Thickness_Object#PRIM_SPHERE_RAD;
2704   }
2705
2706   //println("Change_Bridge_Thickness: ",Change_Bridge_Thickness);
2707   if(doc->FindObject("Beam_" + toString(Fittest_Beam_Number) + "_Torque_Curve_Calc_Mode"))
2708   {
2709     var Torque_Curve_Calc_Mode_Object;
2710     Torque_Curve_Calc_Mode_Object=doc->FindObject("Beam_" + toString(Fittest_Beam_Number) + "_Torque_C
2711     Torque_Curve_Calc_Mode=Torque_Curve_Calc_Mode_Object#PRIM_SPHERE_RAD;
2712   }
2713
2714   if(doc->FindObject("Beam_" + toString(Fittest_Beam_Number) + "_Formula_Divident_Arm_1_Extern"))
2715   {
2716     var Formula_Divident_Arm_1_Extern_Object;
2717     Formula_Divident_Arm_1_Extern_Object=doc->FindObject("Beam_" + toString(Fittest_Beam_Number) + "_For
2718     Formula_Divident_Arm_1_Extern=Formula_Divident_Arm_1_Extern_Object#PRIM_SPHERE_RAD;
2719   }
2720
2721   if(doc->FindObject("Beam_" + toString(Fittest_Beam_Number) + "_Formula_Divident_Arm_2_Extern"))
2722   {
2723     var Formula_Divident_Arm_2_Extern_Object;
2724     Formula_Divident_Arm_2_Extern_Object=doc->FindObject("Beam_" + toString(Fittest_Beam_Number) + "_Fc
2725     Formula_Divident_Arm_2_Extern=Formula_Divident_Arm_2_Extern_Object#PRIM_SPHERE_RAD;
2726   }
2727
2728   if(doc->FindObject("Beam_" + toString(Fittest_Beam_Number) + "_Bending_of_Arm_1_Efficiency_Extern"))
2729   {
2730     var Bending_of_Arm_1_Efficiency_Extern_Object;
2731     Bending_of_Arm_1_Efficiency_Extern_Object=doc->FindObject("Beam_" + toString(Fittest_Beam_Number) +
2732     Bending_of_Arm_1_Efficiency=Bending_of_Arm_1_Efficiency_Extern_Object#PRIM_SPHERE_RAD;
2733   }
2734
2735   if(doc->FindObject("Beam_" + toString(Fittest_Beam_Number) + "_Bending_of_Arm_2_Efficiency_Extern"))
2736   {
2737     var Bending_of_Arm_2_Efficiency_Extern_Object;
2738     Bending_of_Arm_2_Efficiency_Extern_Object=doc->FindObject("Beam_" + toString(Fittest_Beam_Number) +
2739     Bending_of_Arm_2_Efficiency=Bending_of_Arm_2_Efficiency_Extern_Object#PRIM_SPHERE_RAD;
2740   }
2741
2742   if(doc->FindObject("Beam_" + toString(Fittest_Beam_Number) + "_Faktor_1_Enable_Extern"))
2743   {
2744     var Faktor_1_Enable_Extern_Object;
2745     Faktor_1_Enable_Extern_Object=doc->FindObject("Beam_" + toString(Fittest_Beam_Number) + "_Faktor_1_Enable_Extern");
2746     Faktor_1_Enable_Extern=Faktor_1_Enable_Extern_Object#PRIM_SPHERE_RAD;
2747   }
2748
2749   if(doc->FindObject("Beam_" + toString(Fittest_Beam_Number) + "_Faktor_2_Enable_Extern"))
2750   {
2751     var Faktor_2_Enable_Extern_Object;
2752     Faktor_2_Enable_Extern_Object=doc->FindObject("Beam_" + toString(Fittest_Beam_Number) + "_Faktor_2_Enable_Extern");
2753     Faktor_2_Enable_Extern=Faktor_2_Enable_Extern_Object#PRIM_SPHERE_RAD;
2754   }
2755
2756   if(doc->FindObject("Beam_" + toString(Fittest_Beam_Number) + "_Section_Shape_Mode_Extern"))
2757   {
2758     var Section_Shape_Mode_Extern_Object;
2759     Section_Shape_Mode_Extern_Object=doc->FindObject("Beam_" + toString(Fittest_Beam_Number) + "_Section_Shape_Mode_Extern");
2760     Section_Shape_Mode_Extern=Section_Shape_Mode_Extern_Object#PRIM_SPHERE_RAD;
2761   }
2762
2763   //println("Torque_Curve_Calc_Mode: ",Torque_Curve_Calc_Mode);
2764   var OG_Efficiency_Name,OG_Efficiency_Object;
2765   for (a=0;a<SplinePunkte;a++) //Einzelne Schnittwerte übergeben;
2766   {
2767     OG_Efficiency_Name=(("Beam_" + toString(Fittest_Beam_Number) + "_" + toString(a) + "_OG_Efficiency");
2768     OG_Efficiency_Object=doc->FindObject(OG_Efficiency_Name);
2769     OG_Efficiency[a]=OG_Efficiency_Object#PRIM_SPHERE_RAD;
2770     //println("OG_Efficiency",a," ",OG_Efficiency[a]);
2771   }
2772
2773   var UG_Efficiency_Name,UG_Efficiency_Object;
2774   for (a=0;a<SplinePunkte;a++) //Einzelne Schnittwerte übergeben;
2775   {
2776     UG_Efficiency_Name=(("Beam_" + toString(Fittest_Beam_Number) + "_" + toString(a) + "_UG_Efficiency");
2777     UG_Efficiency_Object=doc->FindObject(UG_Efficiency_Name);
2778     UG_Efficiency[a]=UG_Efficiency_Object#PRIM_SPHERE_RAD;
2779     //println("UG_Efficiency",a," ",UG_Efficiency[a]);
2780   }
2781
2782   var UG_Efficiency_Name,UG_Efficiency_Object;
2783   for (a=0;a<SplinePunkte;a++) //Einzelne Schnittwerte übergeben;
2784   {
2785     UG_Efficiency_Name=(("Beam_" + toString(Fittest_Beam_Number) + "_" + toString(a) + "_UG_Efficiency");
2786     UG_Efficiency_Object=doc->FindObject(UG_Efficiency_Name);
2787     UG_Efficiency[a]=UG_Efficiency_Object#PRIM_SPHERE_RAD;
2788     //println("UG_Efficiency",a," ",UG_Efficiency[a]);
2789   }
2790
2791   var Section_Bending_Efficiency_Name,Section_Bending_Efficiency_Object;
2792   for (a=0;a<SplinePunkte;a++) //Einzelne Schnittwerte übergeben;
2793   {
2794     Section_Bending_Efficiency_Name=(("Beam_" + toString(Fittest_Beam_Number) + "_" + toString(a) + "_Section_Bending_Efficiency");
2795     Section_Bending_Efficiency_Object=doc->FindObject(Section_Bending_Efficiency_Name);
2796     Section_Bending_Efficiency[a]=Section_Bending_Efficiency_Object#PRIM_SPHERE_RAD;
2797     //println("Section_Bending_Efficiency",a," ",Section_Bending_Efficiency[a]);
2798   }
2799   for (a=0;a<SplinePunkte;a++) //Einzelne Schnittwerte übergeben;
2800   {
2801     Section_Area_Balance_Point[a]=vector(0,0,0);
2802   }
2803
2804   var Section_Balance_Extern_Name,Section_Balance_Coord_Object,Section_Balance_Coord=vector(0,0,0);
2805   for (a=0;a<SplinePunkte;a++) //Einzelne Schnittwerte übergeben;
2806   {
2807     Section_Balance_Extern_Name=(("Beam_" + toString(Fittest_Beam_Number) + "_" + toString(a) + "_Section_Balance_Extern");
2808     Section_Balance_Coord_Object=doc->FindObject(Section_Balance_Extern_Name);
2809     Section_Balance_Coord=Section_Balance_Coord_Object->GetPosition(0);
2810     Section_Area_Balance_Point[a]=Section_Balance_Coord;
2811     //println("Section_Area_Balance_Point",a," ",Section_Area_Balance_Point[a]);
2812   }
2813
2814
2815   //Vom tiefsten Uferpunkt das Wasserlevel abziehen
2816   WATERLEVEL_POINT_CALC()
2817   {
2818     println(" ");
2819     println("WASSERPEGEL MESSPUNKT BERECHNEN!");
2820     var a,cnt,i;
2821     var current_Point_Ufer_A,current_Point_Ufer_B;
2822     var current_deepest_Point;
2823     var PunktNr,SplineNr;
2824     //Den tiefsten Uferpunkt berechnen;
2825     current_deepest_Point=BRIDGE_POINTS_ARRAY[0][0];
2826     for (cnt=0;cnt<=AnzahlSplines-1;cnt++)

```

```

2827 {
2828     current_Point_Ufer_A=BRIDGE_POINTS_ARRAY[cnt][0];
2829     current_Point_Ufer_B=BRIDGE_POINTS_ARRAY[cnt][SplinePunkte-1];
2830     //Wenn der aktuelle y.Wert kleiner ist als der vorhergehende, dann ist aktueller Punkt der neue Tiefpunkt
2831     if(current_Point_Ufer_A.y<current_deepest_Point.y)
2832     {
2833         current_deepest_Point=current_Point_Ufer_A;
2834         Waterlevel_Point=current_Point_Ufer_A;
2835         Waterlevel_Point.y=Waterlevel_Point.y+Waterlevel;
2836         PunktNr=SplinePunkte-1;
2837         SplineNr=cnt;
2838     }
2839     if(current_Point_Ufer_B.y<current_deepest_Point.y)
2840     {
2841         current_deepest_Point=current_Point_Ufer_B;
2842         Waterlevel_Point=current_Point_Ufer_B;
2843         Waterlevel_Point.y=Waterlevel_Point.y+Waterlevel;
2844         PunktNr=0;
2845         SplineNr=cnt;
2846     }
2847 }
2848 println("Der Wasserpegel wird unter der Spline ",SplineNr," und dem Punkt ",PunktNr," an der Stelle ",Waterlev
2849 )
2850
2851 //CHANGE_Bridge_SHAPE...CheckWaterlebel ect...
2852 CHECK_AND_CHANGE_BRIDGE_SHAPE()
2853 {
2854     println(" ");
2855     println("CHECK AND CHANGE BRIDGE_SHAPE");
2856     var a,cnt;
2857     var Beamkontur_Object;
2858     var Beamkontur_Name;
2859     var Changed_Point,temp_Point_Upside,temp_Point_Downside;
2860     var temp_Height_Upside,temp_Height_Downside, temp_High;
2861     var Profile_Points=AnzahlSplines*2;
2862     var SplineDownSide;
2863     //Die Brücken dicke wird eventuel verändert;
2864     var Change_Faktor_Upside=1;
2865     var Change_Faktor_Downside=1;
2866     var Zufall, Zufallszahl_1,Zufallszahl_2,Zufallszahl_3,Cross_Efficiency;
2867     var Water_Dist;
2868     Zufall=new(Random);
2869     Zufall->Init(time0);
2870     Zufallszahl_1=Zufall->Get010;
2871     Zufallszahl_2=Zufall->Get010;
2872     Zufallszahl_3=Zufall->Get010;
2873     var Fittest_Bending, Max_Efficiency;
2874
2875     if(Bending_of_Arm_1_Efficiency>Bending_of_Arm_2_Efficiency) Max_Efficiency=Bending_of_Arm_1_Efficiency;
2876     if(Bending_of_Arm_1_Efficiency<=Bending_of_Arm_2_Efficiency) Max_Efficiency=Bending_of_Arm_2_Efficiency;
2877
2878     if(Max_Efficiency>=1) Max_Efficiency=Max_Efficiency*1.3;
2879     if(Max_Efficiency<1) Max_Efficiency=Max_Efficiency*0.7;
2880
2881     //Höhe des Trägers ändern
2882     if(Zufallszahl_2<=0.5)
2883     {
2884         for (a=0;a<SplinePunkte;a++)
2885         {
2886             Fittest_Bending=1+(1-(Section_Bending_Efficiency[SplinePunkte-a-1]));
2887             if(0.2<Zufallszahl_1<0.8) Fittest_Bending=Fittest_Bending*Zufallszahl_1;
2888             //println("Fittest_Bending nach Zufall: ",Fittest_Bending);
2889             for (cnt=0;cnt<AnzahlSplines;cnt++)
2890             {
2891                 //println("Wegpunkte mutieren");
2892                 SplineDownSide=(Profile_Points-1)-cnt;
2893                 temp_Point_Upside=BRIDGE_VOLUME_POINTS_ARRAY[cnt][a];
2894                 temp_Point_Downside=BRIDGE_VOLUME_POINTS_ARRAY[SplineDownSide][a];
2895                 temp_Height_Upside=temp_Point_Upside.y-Section_Area_Balance_Point[a].y;
2896                 temp_Point_Upside.y=Section_Area_Balance_Point[a].y+(temp_Height_Upside*Fittest_Bending*Max_Efficiency);
2897                 temp_Height_Downside=Section_Area_Balance_Point[a].y-temp_Point_Downside.y;
2898                 temp_Point_Downside.y=Section_Area_Balance_Point[a].y-(temp_Height_Downside*Fittest_Bending*Max_Efficiency);
2899                 temp_High=abs(temp_Point_Upside.y-temp_Point_Downside.y);
2900                 //println("temp_Point_Upside.y: ",temp_Point_Upside.y);
2901                 //println("temp_Point_Downside.y: ",temp_Point_Downside.y);
2902                 //println("temp_High: ",temp_High);
2903                 if(temp_High<Minimal_Construction_Height)
2904                 {
2905                     temp_High=Minimal_Construction_Height;
2906                     temp_Point_Upside=BRIDGE_VOLUME_POINTS_ARRAY[cnt][a];
2907                     temp_Point_Downside.y=temp_Point_Upside.y-temp_High;
2908                     BRIDGE_VOLUME_POINTS_ARRAY[SplineDownSide][a]=temp_Point_Downside;
2909                     //println("temp_Point_Upside.y: ",temp_Point_Upside.y);
2910                     //println("temp_Point_Downside.y: ",temp_Point_Downside.y);
2911
2912                     //println("temp_High: ",temp_High);
2913                 }
2914                 if(Path_Area_Point[cnt][a]==0) //Veränderungen nach oben nur wenn keine Wege vorhanden sind.
2915                 {
2916                     if(Waterlevel_Point.y>temp_Point_Downside.y)
2917                     {
2918                         Water_Dist=abs(Waterlevel_Point.y-temp_Point_Downside.y);
2919                         temp_Point_Upside.y=temp_Point_Upside.y*1.1+Water_Dist;
2920                         temp_Point_Downside.y=temp_Point_Downside.y+Water_Dist;
2921                     }
2922                     BRIDGE_VOLUME_POINTS_ARRAY[cnt][a]=temp_Point_Upside;
2923                 }
2924                 if(0.2<Zufallszahl_3)
2925                 {
2926                     if(Waterlevel_Point.y>temp_Point_Downside.y) temp_Point_Downside.y=Waterlevel_Point.y; //erzwingt die Wasser
2927                     BRIDGE_VOLUME_POINTS_ARRAY[SplineDownSide][a]=temp_Point_Downside;
2928                 }
2929             }
2930         }
2931     }
2932     else //Aushöhlgrad ändern;
2933     {
2934         println("Aushöhlgrad ändern");
2935         if(Zufallszahl_1<0.3) Max_Efficiency=Max_Efficiency*0.8;
2936         if(Zufallszahl_1<0.7) Max_Efficiency=Max_Efficiency*1.2;
2937         if(0.3<=Zufallszahl_1<=0.7) Max_Efficiency=Max_Efficiency;
2938         OG_Height_Percent=OG_Height_Percent*Max_Efficiency;//0.12
2939         UG_Height_Percent= Right_Width_Percent*Max_Efficiency;
2940         Left_Width_Percent=Right_Width_Percent*Max_Efficiency; //Der Wert darf nicht höher als über 0.5 sein
2941         Right_Width_Percent= Right_Width_Percent*Max_Efficiency; //Der Wert darf nicht höher als über 0.5 sein
2942         if(OG_Height_Percent>=0.5) OG_Height_Percent=0.49;
2943         if(UG_Height_Percent>=0.5) UG_Height_Percent=0.49;
2944         if(Left_Width_Percent>=0.5) Left_Width_Percent=0.49;
2945         if(Right_Width_Percent>=0.5) Right_Width_Percent=0.49;
2946     }
2947
2948 //SURFACE_CALC
2949 BRIDGE_SURFACE_CALC()
2950 {
2951     println(" ");
2952     println("BRÜCKENFLÄCHEN BRECHNUNG");
2953     var Plane_Triangle1,Plane_Triangle2,SinglePlane,Half_Outline; //Half_Outline = HalberUmfang
2954     var AB_Length,BC_Length,CD_Length,DA_Length,AC_Diagonale_Length; // Seitenlängen
2955     var A_Point,B_Point,C_Point,D_Point;
2956     var AC_PointSUM;
2957     var a,c=0,cnt,SectionNum,Section_PlaneNum;
2958     Planes_Count=(AnzahlSplines-1)*(SplinePunkte-1);
2959     SinglePlane_BalancePoint=new (array,AnzahlSplines-1,SplinePunkte-1); //Teiflächenschwerpunkte
2960     SinglePlanes=new (array,AnzahlSplines-1,SplinePunkte-1);
2961     Sector_Plane=new (array,SplinePunkte-1);
2962     EntirePlane=0;
2963     SectionNum=SplinePunkte-1; //SchnittNr.
2964     Section_PlaneNum=AnzahlSplines-1; //Punkte je Schnitt
2965
2966     for (cnt=0;cnt<Section_PlaneNum;cnt++) //SplineNummer
2967     {
2968         for (a=0;a<SectionNum;a++) //PunktNr
2969         {
2970             //Distanz zwischen den Punkten ausrechnen
2971             A_Point=BRIDGE_POINTS_ARRAY[cnt][a];
2972             B_Point=BRIDGE_POINTS_ARRAY[cnt][a+1];
2973             C_Point=BRIDGE_POINTS_ARRAY[cnt+1][a+1];
2974             D_Point=BRIDGE_POINTS_ARRAY[cnt+1][a];
2975             XYZ_Dist_2_Points_Calc(A_Point,C_Point);
2976             AC_Diagonale_Length=Dist_current_Points;
2977             XYZ_Dist_2_Points_Calc(A_Point,B_Point);
2978             AB_Length=Dist_current_Points;
2979             XYZ_Dist_2_Points_Calc(B_Point,C_Point);
2980             BC_Length=Dist_current_Points;
2981             XYZ_Dist_2_Points_Calc(C_Point,D_Point);
2982             CD_Length=Dist_current_Points;
2983             XYZ_Dist_2_Points_Calc(D_Point,A_Point);
2984             DA_Length=Dist_current_Points;
2985             //Dreieck 1
2986             Half_Outline=(AB_Length+BC_Length+AC_Diagonale_Length)/2;
2987             Plane_Triangle1=sqrt(Half_Outline*(Half_Outline-AB_Length)*(Half_Outline-BC_Length)*(Half_Outline-AC_Diagonale));
2988             //Dreieck 2
2989             Half_Outline=(AC_Diagonale_Length+CD_Length+DA_Length)/2;
2990             Plane_Triangle2=sqrt(Half_Outline*(Half_Outline-AC_Diagonale_Length)*(Half_Outline-CD_Length)*(Half_Outline-DA));
2991             SinglePlane=Plane_Triangle1+Plane_Triangle2;
2992             EntirePlane=EntirePlane+SinglePlane;
2993             //EinzelFlächenschwerpunkt brechnen;
2994             SinglePlane_BalancePoint[cnt][a]=t(vector(A_Point.x,A_Point.y,A_Point.z)+vector(C_Point.x,C_Point.y,C_Point.z))/2;

```

```

2995 SinglePlanes[cnt][a]=SinglePlane;
2996 /*
2997 println("Schwerpunkt ",cnt,"|",a," Koordinaten:",SinglePlane_BalancePoint[cnt][a]);
2998 println(" ");
2999 println("SEKTOR: ",a," | Fläche: ",cnt);
3000 println("Punkt_A: ",A_Point);
3001 println("Punkt_B: ",B_Point);
3002 println("Punkt_C: ",C_Point);
3003 println("Punkt_D: ",D_Point);
3004 println("AC_Diagonale_Lenght: ",AC_Diagonale_Lenght);
3005 println("AB: ",AB_Lenght);
3006 println("BC: ",BC_Lenght);
3007 println("CD: ",CD_Lenght);
3008 println("DA: ",DA_Lenght);
3009 println("Fläche 1.Dreieck: ",Plane_Triangle1);
3010 println("Fläche 2.Dreieck: ",Plane_Triangle2);
3011 println("SinglePlane: ",SinglePlane);
3012 println("Momentane GesamtFläche: ",EntirePlane);
3013 */
3014 } //SplinePunkteSchleifeEnde
3015 } //SplineAnzahlSchleifeEnde
3016
3017 //Flächenschwerpunkt der Geometrie ausrechnen ->Vielleicht brauche ich den -> bei gleichlast eventuell inter
3018 println("Es gibt ",Planes_Count," Oberflächen_Rechtecke welche eine Gesamtfläche von ",EntirePlane/10000,"
3019 Surface_Balance_Point=vector(0,0,0);
3020 for (cnt=0;cnt<SectionNum;cnt++)
3021 {
3022     for (a=0;a<SectionNum;a++)
3023     {
3024         Surface_Balance_Point=Surface_Balance_Point+(SinglePlane_BalancePoint[cnt][a]*SinglePlanes[cnt][a]);
3025         /*
3026         println("Plane ",a,"|",cnt," Schwerpunkt: ",SinglePlane_BalancePoint[cnt][a]);
3027         println("Aktuelle SchwepunktSumme: ",Surface_Balance_Point);
3028         println(" ");
3029         */
3030     }
3031 }
3032 Surface_Balance_Point=Surface_Balance_Point/EntirePlane;
3033 return EntirePlane,SinglePlane_BalancePoint,Sector_Plane,SinglePlanes;
3034 }
3035
3036 //TORQUE_CALC
3037 LOAD_CALC()
3038 {
3039     println(" ");
3040     println("LASTFÄLLE BERECHNEN!");
3041     var Path_Point_Crd,Path_1_Object,Path_2_Object,Path_3_Object;
3042     var a,cnt,i,current_Balance_Point_Crd;
3043     var Path_to_Balance_Point_Distance;
3044     var SamplingResolution,Sampling_Sections,Sampling_Error_Dist1,Sampling_Error_Dist2,Sampling_Error_Dist3;
3045     var Section_Percent_Step,Percent_Position=0.0;
3046     var SectionNum,Section_PlaneNum; //Schnittnummer, Planennummer
3047     var Path_Width, Path_1_Full_Lenght, Path_2_Full_Lenght, Path_3_Full_Lenght;
3048     var temp_Load_Balance_Point;
3049     SinglePlanes_Load=new(array,Anzahl_Splines-1,SplinePunkte-1); //Schnitt / Punkte-Schnitt
3050     Structure_Load_NEW=new (array,Anzahl_Splines-1,SplinePunkte-1); //Eigengewicht Annahme
3051     Single_Volume_Cubes_Load=new(array,Anzahl_Splines-1,SplinePunkte-1);
3052     Single_Bridge_Balance_Points=new(array,Anzahl_Splines-1,SplinePunkte-1);
3053     Single_Bridge_Load_Points=new(array,Anzahl_Splines-1,SplinePunkte-1);
3054     SamplingResolution=(SplinePunkte)*2; //alte einstellung war 4 , desto niedriger der Wert desto schneller, weil
3055     Sampling_Sections=SamplingResolution/(SplinePunkte);
3056     Section_Percent_Step=1.0/SamplingResolution;
3057     if(doc->FindObject("Pedestrian_Path_Spline"))
3058     {
3059         Path_1_Object=doc->FindObject("Pedestrian_Path_Spline");
3060         Path_1_Object->InitLength(0);
3061         Path_1_Full_Lenght=Path_1_Object->GetLength(0);
3062         Sampling_Error_Dist1=(Path_1_Full_Lenght/SamplingResolution)/4; //weil Abstraten-Fehler wird lichte er
3063     }
3064     if(doc->FindObject("Biker_Path_Spline"))
3065     {
3066         Path_2_Object=doc->FindObject("Biker_Path_Spline");
3067         Path_2_Object->InitLength(0);
3068         Path_2_Full_Lenght=Path_2_Object->GetLength(0);
3069         Sampling_Error_Dist2=(Path_2_Full_Lenght/SamplingResolution)/4; //weil Abstraten-Fehler wird lichte e
3070     }
3071     if(doc->FindObject("Barrier_Free_Path_Spline"))
3072     {
3073         Path_3_Object=doc->FindObject("Barrier_Free_Path_Spline");
3074         Path_3_Object->InitLength(0);
3075         Path_3_Full_Lenght=Path_3_Object->GetLength(0);
3076         Sampling_Error_Dist3=(Path_3_Full_Lenght/SamplingResolution)/4; //weil Abstraten-Fehler wird lichte e
3077     }
3078     SectionNum=SplinePunkte-1; //SchnittNr.

```

```

3079     Section_PlaneNum=Anzahl_Splines-1; //Punkte im Schnitt
3080
3081     //EIGENGEWICHTSBERECHNUNG für jedes Volumen;
3082     //Falls keine Weglasten hinzukommen dann wird hier schonmal das Eigengewicht berechnet
3083     //Bemerkung -> Es wird immer alles in [cm] umgewandelt
3084     for (a=0;a<SectionNum;a++) //PunktNr
3085     {
3086         for (cnt=0;cnt<Section_PlaneNum;cnt++) //Splinenummer
3087         {
3088             //2500kg/m³ *10 = 25000N/m³/100 = 25kN/m³ ==Structure_Load/100 || cm³ / 1000000 = m³ = Sum_of_Pyramides_Volumes/100
3089             Single_Volume_Cubes_Load[cnt][a]=(Structure_Load/100)*(Sum_of_Pyramides_Volumes[cnt][a]/1000000);
3090             //println("Single_Volume_Cubes_Load",cnt,"|",a,"= ",Single_Volume_Cubes_Load[cnt][a]);
3091         }
3092     }
3093     //Gesamtes Konstruktionsgewicht
3094     if(Entire_Structure_Volume==0) Entire_Structure_Volume=0.0000001;
3095     Entire_Structure_Load=(Structure_Load/100)*(Entire_Structure_Volume/1000000);
3096     //println("Das gesamte Brücken_Eigengewicht beträgt:",Entire_Structure_Load,"kN");
3097     //println("Das gesamte Brücken_Eigengewicht beträgt:",Entire_Structure_Load*0.1,"t");
3098     //Nutzlasten auf Nullsetzen
3099     for (a=0;a<SectionNum;a++) //PunktNr
3100     {
3101         for (cnt=0;cnt<Section_PlaneNum;cnt++) //Splinenummer
3102         {
3103             // 5.1kN/m² -> 0.051kN/dm²-> 0.00051kN/cm² = /10000
3104             SinglePlanes_Load[cnt][a]=0;
3105             //Path_Area_Point[cnt][a]=0;
3106             //println("SinglePlanes_Load",cnt,"|",a,"= ",SinglePlanes_Load[cnt][a],"kN");
3107         }
3108     }
3109
3110     //Nutzlastberechnung
3111     println("Wege für die Lastermittlung suchen");
3112     //Wenn irgendein Schwerpunkt in Weglichte, dann Nutzlast addieren.
3113     //if SinglePlane_BalancePoint[cnt][a] distanz weglichte entfernung
3114     for (a=0;a<SectionNum;a++) //PunktNr
3115     {
3116         for (cnt=0;cnt<Section_PlaneNum;cnt++) //Splinenummer
3117         {
3118             current_Balance_Point_Crd=SinglePlane_BalancePoint[cnt][a];
3119             Percent_Position=0;
3120             for (i=0;i< SamplingResolution;i++)
3121             {
3122                 if(doc->FindObject("Pedestrian_Path_Spline"))
3123                 {
3124                     Path_Point_Crd=Path_1_Object->GetSplinePoint(Path_1_Object->UniformToNatural(Percent_Position),0);
3125                     XZ_Dist_2_Points_Calc(current_Balance_Point_Crd,Path_Point_Crd);
3126                     Path_to_Balance_Point_Distance=abs(Dist_current_Points);
3127                     Path_Width=Pedestrian_Width;
3128                     if(Path_to_Balance_Point_Distance<=((Path_Width/2)+Sampling_Error_Dist1))
3129                     {
3130                         // 5.1kN/m² -> 0.051kN/dm²-> 0.00051kN/cm² = /10000
3131                         SinglePlanes_Load[cnt][a]= (Service_Load/10000)*SinglePlanes[cnt][a]; //Möglicherweise Einheitenfehler...die Kraft würde ich ;
3132                     }
3133                 }
3134                 if(doc->FindObject("Biker_Path_Spline"))
3135                 {
3136                     Path_Point_Crd=Path_2_Object->GetSplinePoint(Path_2_Object->UniformToNatural(Percent_Position),0);
3137                     XZ_Dist_2_Points_Calc(current_Balance_Point_Crd,Path_Point_Crd);
3138                     Path_to_Balance_Point_Distance=abs(Dist_current_Points);
3139                     Path_Width=Biker_Width;
3140                     if(Path_to_Balance_Point_Distance<=((Path_Width/2)+Sampling_Error_Dist2))
3141                     {
3142                         SinglePlanes_Load[cnt][a]= (Service_Load/10000)*SinglePlanes[cnt][a];
3143                     }
3144                 }
3145                 if(doc->FindObject("Barrier_Free_Path_Spline"))
3146                 {
3147                     Path_Point_Crd=Path_3_Object->GetSplinePoint(Path_3_Object->UniformToNatural(Percent_Position),0);
3148                     XZ_Dist_2_Points_Calc(current_Balance_Point_Crd,Path_Point_Crd);
3149                     Path_to_Balance_Point_Distance=abs(Dist_current_Points);
3150                     Path_Width=WheelChair_Width;
3151                     if( Path_to_Balance_Point_Distance<=((Path_Width/2)+Sampling_Error_Dist3))
3152                     {
3153                         SinglePlanes_Load[cnt][a]=(Service_Load/10000)*SinglePlanes[cnt][a];
3154                     }
3155                 }
3156                 Percent_Position=Percent_Position+Section_Percent_Step;
3157             }
3158         }
3159     }
3160
3161     //-----
3162     //Überprüfen, welche Brückenpunkte im Wegbereich sind;

```



```

3163 //ACHTUNG: DAS KANN NICHT MIT OBERER SCHLEIFE ZUSAMMENGEFASST WERDEN,
3164 //DA NUN NICHT DIE SCHWERPUNKTE ZÄHLEN SONDERN DIE MATRIX PUNKTE.
3165 //DAS KOSTET SEHR VIEL ZEIT IN DER BERECHNUNG UND
3166 //SOLLTE SPÄTER NOCHEINMAL ÜBERDACHT WERDEN
3167 var current_Point_Crd;
3168 /*
3169 Sampling_Error_Dist1=Sampling_Error_Dist1*0.1;
3170 Sampling_Error_Dist2=Sampling_Error_Dist2*0.1;
3171 Sampling_Error_Dist3=Sampling_Error_Dist3*0.1;
3172 */
3173 Path_Area_Point=new(array,AnzahlSplines,SplinePunkte);
3174 for (cnt=0;cnt<AnzahlSplines;cnt++) //PunktNr
3175 {
3176     for (a=0;a<SplinePunkte;a++) //SplineNummer
3177     {
3178         Path_Area_Point[cnt][a]=0; //Brückenpunkt ist nicht i Wege bereich
3179     }
3180 }
3181 if(doc->FindObject("Pedestrian_Path_Spline")) Sampling_Error_Dist1=Sampling_Error_Dist1*1.15;
3182 if(doc->FindObject("Biker_Path_Spline")) Sampling_Error_Dist2=Sampling_Error_Dist2*1.15;
3183 if(doc->FindObject("Barrier_Free_Path_Spline")) Sampling_Error_Dist3=Sampling_Error_Dist3*1.15;
3184 for (a=0;a<SplinePunkte;a++) //PunktNr
3185 {
3186     for (cnt=0;cnt<AnzahlSplines;cnt++) //SplineNummer
3187     {
3188         current_Point_Crd=BRIDGE_POINTS_ARRAY[cnt][a];
3189         Percent_Position=0;
3190         for (i=0;i<SamplingResolution;i++)
3191         {
3192             if(doc->FindObject("Pedestrian_Path_Spline"))
3193             {
3194                 Path_Point_Crd=Path_1_Object->GetSplinePoint(Path_1_Object->UniformToNatural(Percent_Posit
3195                 XZ_Dist_2_Points_Calc(current_Point_Crd,Path_Point_Crd);
3196                 Path_to_Balance_Point_Distance=abs(Dist_current_Points);
3197                 Path_Width=Pedestrian_Width;
3198                 if(Path_to_Balance_Point_Distance<=((Path_Width/2)+Sampling_Error_Dist1))
3199                 {
3200                     Path_Area_Point[cnt][a]=1;
3201                 }
3202             }
3203             if(doc->FindObject("Biker_Path_Spline"))
3204             {
3205                 Path_Point_Crd=Path_2_Object->GetSplinePoint(Path_2_Object->UniformToNatural(Percent_Pos
3206                 XZ_Dist_2_Points_Calc(current_Point_Crd,Path_Point_Crd);
3207                 Path_to_Balance_Point_Distance=abs(Dist_current_Points);
3208                 Path_Width=Biker_Width;
3209                 if(Path_to_Balance_Point_Distance<=((Path_Width/2)+Sampling_Error_Dist2))
3210                 {
3211                     Path_Area_Point[cnt][a]=1;
3212                 }
3213             }
3214             if(doc->FindObject("Barrier_Free_Path_Spline"))
3215             {
3216                 Path_Point_Crd=Path_3_Object->GetSplinePoint(Path_3_Object->UniformToNatural(Percent_Pos
3217                 XZ_Dist_2_Points_Calc(current_Point_Crd,Path_Point_Crd);
3218                 Path_to_Balance_Point_Distance=abs(Dist_current_Points);
3219                 Path_Width=WheelChair_Width;
3220                 if(Path_to_Balance_Point_Distance<=((Path_Width/2)+Sampling_Error_Dist3))
3221                 {
3222                     Path_Area_Point[cnt][a]=1;
3223                 }
3224             }
3225             Percent_Position=Percent_Position+Section_Percent_Step;
3226         }
3227     }
3228 }
3229 //println("Masse-Schwerpunkt des Eigengewichts berechnen!");
3230 temp_Load_Balance_Point=vector(0,0,0);
3231 for (cnt=0;cnt<Section_PlaneNum;cnt++)
3232 {
3233     for (a=0;a<SectionNum;a++)
3234     {
3235         if(!Sum_of_Pyramides_Volumes[cnt][a]==0)
3236         {
3237             //println("Sum_Cubes_Balance_Points[cnt][a],Sum_Cubes_Balance_Points[cnt][a]);
3238             temp_Load_Balance_Point=temp_Load_Balance_Point+(Sum_Cubes_Balance_Points[cnt][a]*Sin
3239         }
3240     }
3241     else
3242     {
3243         temp_Load_Balance_Point=Surface_Balance_Point;
3244     }
3245 }
3246 if(!Entire_Structure_Load==0)

```

```

3247 {
3248     temp_Load_Balance_Point=temp_Load_Balance_Point/Entire_Structure_Load;
3249 }
3250 else temp_Load_Balance_Point=Surface_Balance_Point;
3251
3252 Entire_Structure_Load_Balance_Point=temp_Load_Balance_Point;
3253
3254 //println("NUTZLASTSCHWERPUNKT berechnen!");
3255 Entire_Service_Load_Balance_Point=vector(0,0,0);
3256 Entire_Service_Load=0.0;
3257
3258 for (cnt=0;cnt<Section_PlaneNum;cnt++)
3259 {
3260     for (a=0;a<SectionNum;a++)
3261     {
3262         if(!SinglePlanes_Load[cnt][a]==0)
3263         {
3264             Entire_Service_Load_Balance_Point=Entire_Service_Load_Balance_Point+(SinglePlane_BalancePoint[cnt][a]*Sin
3265             Entire_Service_Load=Entire_Service_Load+SinglePlanes_Load[cnt][a];
3266         }
3267     }
3268     else
3269     {
3270         Entire_Service_Load_Balance_Point=Entire_Service_Load_Balance_Point;
3271         Entire_Service_Load=Entire_Service_Load+0;
3272     }
3273 }
3274 if(!Entire_Service_Load==0)
3275 {
3276     Entire_Service_Load_Balance_Point=Entire_Service_Load_Balance_Point/Entire_Service_Load;
3277 }
3278 else Entire_Service_Load_Balance_Point=Surface_Balance_Point;
3279 Entire_Bridge_Load=Entire_Service_Load+Entire_Structure_Load;
3280
3281 //BRÜCHEN GESAMT LASTEN BERECHNEN (Eigengewicht + Nutzlast)
3282 for (cnt=0;cnt<Section_PlaneNum;cnt++)
3283 {
3284     for (a=0;a<SectionNum;a++)
3285     {
3286         //SUMME der EINZEL BALANCE_PUNKTE
3287         Single_Bridge_Load_Points[cnt][a]=Single_Volume_Cubes_Load[cnt][a]+SinglePlanes_Load[cnt][a];
3288         Single_Bridge_Balance_Points[cnt][a]=(Sum_Cubes_Balance_Points[cnt][a]*Single_Volume_Cubes_Load[cnt][a]+Si
3289         SinglePlanes_Load[cnt][a])/Single_Bridge_Load_Points[cnt][a];
3290
3291 //Single_Bridge_Balance_Points[cnt][a].x=((Single_Volume_Cubes_Load[cnt][a]*Sum_Cubes_Balance_Points[cnt][a].x)+(S
3292         Point[cnt][a].x))/Single_Bridge_Load_Points[cnt][a];
3293
3294 //Single_Bridge_Balance_Points[cnt][a].z=((Single_Volume_Cubes_Load[cnt][a]*Sum_Cubes_Balance_Points[cnt][a].z)+(S
3295         Point[cnt][a].z))/Single_Bridge_Load_Points[cnt][a];
3296 //GESAMT BALANCEPUNKT berechnen
3297 if(Entire_Service_Load!=0)
3298 {
3299     Entire_Bridge_Balance_Point=((Entire_Structure_Load_Balance_Point*Entire_Structure_Load)+(Entire_Service_L
3300     Entire_Bridge_Load;
3301     //Entire_Bridge_Balance_Point.x=((Entire_Service_Load_Balance_Point.x*Entire_Service_Load)+(Entire_Structur
3302     Entire_Structure_Load))/Entire_Bridge_Load;
3303     //Entire_Bridge_Balance_Point.z=((Entire_Service_Load_Balance_Point.z*Entire_Service_Load)+(Entire_Structur
3304     Entire_Structure_Load))/Entire_Bridge_Load;
3305 }
3306 else Entire_Bridge_Balance_Point=Entire_Structure_Load_Balance_Point;
3307
3308 //-----Wenn Y-Achse nicht irgnoriert werden sollte.
3309
3310 //Entire_Bridge_Balance_Point[cnt][a]=((Single_Volume_Cubes_Load[cnt][a]*Sum_Cubes_Balance_Points[cnt][a])+(Singl
3311         cnt[a]))/2;
3312 //Entire_Bridge_Balance_Point=((Entire_Service_Load_Balance_Point*Entire_Service_Load)+(Entire_Structure_Lc
3313         cnt[a]))/2;
3314 }
3315 }
3316 println("Das Gesamt angenommene Brücken gewicht beträgt: ",Entire_Bridge_Load,"kN das entspricht ",Entire_Bridge.
3317
3318 //-----
3319 //LASTEN ZEICHEN
3320 //-----
3321 //Teil 1: Eigengewicht
3322 var Structur_Folder_Name=("STRUCTURE_CALC"),STRUCTURE_NullObject;
3323 var Structure_Balance_Points_Folder_Name=("STRUCTURE_LOADS");
3324 var Structure_BalancePoints_Folder_Object;
3325 var current_Position,Size=i0;
3326
3327 //Support Ordner erstellen
3328 if(!doc->FindObject(Structure_Balance_Points_Folder_Name))
3329 {
3330     STRUCTURE_NullObject=doc->FindObject(Structur_Folder_Name);

```

```

3321 Structure_BalancePoints_Folder_Object=new(NullObject);
3322 Structure_BalancePoints_Folder_Object->SetName(Structure_Balance_Points_Folder_Name);
3323 doc->InsertObject(Structure_BalancePoints_Folder_Object,STRUCTURE_NullObject,Null);
3324 }
3325 //Eigengewicht_Schwerpunkt zeichnen
3326 Structure_BalancePoints_Folder_Object=doc->FindObject(Structure_Balance_Points_Folder_Name);
3327 //Cubus_Eigengewicht_Schwerpunkte zeichnen
3328 //println("Masse-Schwerpunkte der einzelnen Kubus_Volumen zeichnen!");
3329 var Cubes_Balance_Point_Object_Name;
3330 for (a=0;a<SplinePunkte-1;a++)
3331 {
3332     for (cnt=0;cnt<Anzahl_Splines-1;cnt++)
3333     {
3334         current_Position= Sum_Cubes_Balance_Points[cnt][a];
3335         //println("Sum_Cubes_Balance_Points["cnt","l","a,"]: ",Sum_Cubes_Balance_Points[cnt][a]);
3336         Cubes_Balance_Point_Object_Name=("l"+tostring(cnt)+"l"+tostring(a)+"lCube_Volume_Load");
3337         //println("SIZE_Single_Volume_Cubes_Load["cnt","l","a,"]= ",Single_Volume_Cubes_Load[cnt][a]);
3338         //println("SIZE_Cubes_Balance_Point_Object_Name= ",Cubes_Balance_Point_Object_Name);
3339         Size=Single_Volume_Cubes_Load[cnt][a];
3340         MAKE_SPHERE(Size,Cubes_Balance_Point_Object_Name,current_Position,Structure_BalancePoints_Fc
3341     }
3342 }
3343 //println("Eigengewicht-Schwerpunkte zeichnen!");
3344 var Structure_Load_Balance_Point_Object_Name=("STRUCTURE_BALANCE_POINT");
3345 Size=Entire_Structure_Load/10; // durch 10 bedeutet das der Radius in Tonnen ausgegeben wird
3346 current_Position=Entire_Structure_Load_Balance_Point;
3347 MAKE_SPHERE(Size,Structure_Load_Balance_Point_Object_Name,current_Position,Structure_BalancePo
3348
3349 //Teil 2: Nutzlast
3350 var Service_Balance_Points_Folder_Name=("SERVICE_LOADS");
3351 var Service_BalancePoints_Folder_Object;
3352 var current_Position,Size=10;
3353
3354 //Support Ordner erstellen
3355 if(!doc->FindObject(Service_Balance_Points_Folder_Name))
3356 {
3357     STRUCTURE_NullObject=doc->FindObject(Structur_Folder_Name);
3358     Service_BalancePoints_Folder_Object=new(NullObject);
3359     Service_BalancePoints_Folder_Object->SetName(Service_Balance_Points_Folder_Name);
3360     doc->InsertObject(Service_BalancePoints_Folder_Object,STRUCTURE_NullObject,Null);
3361 }
3362 Service_BalancePoints_Folder_Object=doc->FindObject(Service_Balance_Points_Folder_Name);
3363 //Cubus_Eigengewicht_Schwerpunkte zeichnen
3364 //println("Einzelne Nutzlasten zeichnen!");
3365 var Balance_Point_Object_Name;
3366 for (a=0;a<SplinePunkte-1;a++)
3367 {
3368     for (cnt=0;cnt<Anzahl_Splines-1;cnt++)
3369     {
3370         current_Position= SinglePlane_BalancePoint[cnt][a];
3371         Balance_Point_Object_Name=("l"+tostring(cnt)+"l"+tostring(a)+"lService_Load");
3372         Size=SinglePlanes_Load[cnt][a];
3373         MAKE_SPHERE(Size,Balance_Point_Object_Name,current_Position,Service_BalancePoints_Folder_Objec
3374     }
3375 }
3376 //Eigengewicht_Schwerpunkt zeichnen
3377 //println("Nutzlast-Schwerpunkt zeichnen!");
3378 Size=Entire_Service_Load/10; // durch 10 bedeutet das der Radius in Tonnen ausgegeben wird
3379 var Service_Load_Balance_Point_Object_Name=("ENTIRE_SERVICE_LOAD_POINT");
3380 current_Position=Entire_Service_Load_Balance_Point;
3381 MAKE_SPHERE(Size,Service_Load_Balance_Point_Object_Name,current_Position,Service_BalancePoints_
3382 //Teil 3: Gesamte Brückenlast
3383 var Service_Balance_Points_Folder_Name=("BRIDGE_LOADS");
3384 var Service_BalancePoints_Folder_Object;
3385 var current_Position,Size=10;
3386 //Support Ordner erstellen
3387 if(!doc->FindObject(Service_Balance_Points_Folder_Name))
3388 {
3389     STRUCTURE_NullObject=doc->FindObject(Structur_Folder_Name);
3390     Service_BalancePoints_Folder_Object=new(NullObject);
3391     Service_BalancePoints_Folder_Object->SetName(Service_Balance_Points_Folder_Name);
3392     doc->InsertObject(Service_BalancePoints_Folder_Object,STRUCTURE_NullObject,Null);
3393 }
3394
3395 Service_BalancePoints_Folder_Object=doc->FindObject(Service_Balance_Points_Folder_Name);
3396 //Cubus_Eigengewicht_Schwerpunkte zeichnen
3397 //println("Einzelne Brückenlasten zeichnen!");
3398 var Balance_Point_Object_Name;
3399 for (a=0;a<SplinePunkte-1;a++)
3400 {
3401     for (cnt=0;cnt<Anzahl_Splines-1;cnt++)
3402     {
3403         current_Position= Single_Bridge_Balance_Points[cnt][a];
3404         Balance_Point_Object_Name=("l"+tostring(cnt)+"l"+tostring(a)+"lBridge_Load");
3405         //println("Size= ",Single_Bridge_Load_Points[cnt][a]);
3406         Size=Single_Bridge_Load_Points[cnt][a];
3407         MAKE_SPHERE(Size,Balance_Point_Object_Name,current_Position,Service_BalancePoints_Folder_Object);
3408     }
3409 }
3410 //Eigengewicht_Schwerpunkt zeichnen
3411 //println("Gesamten-Brücken-Schwerpunkt zeichnen!");
3412 Size=Entire_Bridge_Load/10; // durch 10 bedeutet das der Radius in Tonnen ausgegeben wird
3413 var Service_Load_Balance_Point_Object_Name=("ENTIRE_BRIDGE_LOAD_POINT");
3414 current_Position=Entire_Bridge_Balance_Point;
3415 MAKE_SPHERE(Size,Service_Load_Balance_Point_Object_Name,current_Position,Service_BalancePoints_Folder_Object);
3416 }
3417
3418 //Momenten berechnung - Kragarm (cantilever arm)
3419 TORQUE_CALC()
3420 {
3421     println(" ");
3422     println("MOMENTE AN EXTREMPUNKTEN BERECHNEN!");
3423     var i,c, cnt,a;
3424     var Section_Balance_Point=new(array,SplinePunkte);
3425     var current_Balance_Point;
3426     var SectionNum,Section_PlaneNum,Temp_Balance_Point;
3427     var X_Dist,Z_Dist,Temp_X,Temp_Z,Dist_RES,Temp_RES;
3428     var Average_Support_Position=vector(0,0,0);
3429     var Temp_Torque_X=new(array,SplinePunkte);
3430     var Temp_Torque_Z=new(array,SplinePunkte);
3431     var Temp_Torque_RES=new(array,SplinePunkte);
3432     var P1,P2;
3433     Section_Torque_X=new(array,SplinePunkte);
3434     Section_Torque_Z=new(array,SplinePunkte);
3435     Section_Torque_RES=new(array,SplinePunkte);
3436     System_Axis_Points=new(array,SplinePunkte);
3437     SectionNum=SplinePunkte-1; //SchnittNr.
3438     Res_Section_Torque=new(array,SplinePunkte);
3439     //mittle AUFLAGER-POSITION berechnen
3440     for (cnt=0;cnt<Anzahl_Splines;cnt++)
3441     {
3442         Average_Support_Position=Average_Support_Position+BRIDGE_POINTS_ARRAY[cnt][Support_Position-1];
3443     }
3444     Average_Support_Position=Average_Support_Position/Anzahl_Splines;
3445     //Durchschnittsposition pro Schnitt bestimmen -> an Brücken-Geometrie (Splinepunkte) -> SystemAchse
3446     current_Balance_Point=vector(0,0,0);
3447     Temp_Balance_Point=vector(0,0,0);
3448     for (a=0;a<SplinePunkte;a++)
3449     {
3450         Section_Balance_Point[a]=vector(0,0,0);
3451         for (cnt=0;cnt<Anzahl_Splines;cnt++)
3452         {
3453             current_Balance_Point=BRIDGE_POINTS_ARRAY[cnt][a];
3454             Temp_Balance_Point=Temp_Balance_Point+current_Balance_Point;
3455         }
3456         Section_Balance_Point[a]=Temp_Balance_Point/(Anzahl_Splines);
3457         System_Axis_Points[a]=Section_Balance_Point[a]; //Die globale Variable mit den System_Achsen_Punkten wird belegt
3458         Temp_Balance_Point=0;
3459     }
3460
3461     //SUMME DER SECTOR MOMENTE JE NACH AUFLAGERPOSITION
3462     //println(" ");
3463     //println("SUMME DER SECTOR MOMENTE JE NACH AUFLAGERPOSITION");
3464     section_Load_pos=new(array,SplinePunkte);
3465     Section_Load=new(array,SplinePunkte);
3466     var c,Distanz,P1,P2;
3467     var temp,temp_pos=vector(0,0,0);
3468     temp=0.0;
3469     Distanz=vector(0,0,0);
3470     for (a=SplinePunkte-1;a=0;a--)
3471     {
3472         for (cnt=0;cnt<Anzahl_Splines-1;cnt++)
3473         {
3474             Section_Load[a]=0.0;
3475             section_Load_pos[a]=vector(0,0,0);
3476             Section_Torque_X[a]=0.0; //ALLE MOMENTE AUF NULL SETZEN
3477             Section_Torque_Z[a]=0.0; //ALLE MOMENTE AUF NULL SETZEN
3478             Res_Section_Torque[a]=0.0; //ALLE MOMENTE AUF NULL SETZEN
3479         }
3480     }
3481
3482     var Structur_Folder_Name=("STRUCTURE_CALC");
3483     var STRUCTURE_NullObject,Section_Balance_Folder_Object;
3484     var Section_Balance_Points_Folder_Name=("Beam_"+tostring(Beam_Number_Intern)+"_SectionLoads");
3485     //Balance Punkte_Ordner erstellen
3486     if(!doc->FindObject(Section_Balance_Points_Folder_Name))
3487     {
3488         STRUCTURE_NullObject=doc->FindObject(Structur_Folder_Name);

```

```

3489 Section_Balance_Folder_Object=new(NullObject);
3490 Section_Balance_Folder_Object->SetName(Section_Balance_Points_Folder_Name);
3491 doc->InsertObject(Section_Balance_Folder_Object,STRUCTURE_NullObject,Null);
3492 }
3493 //-----verschiedene Momentenberechnungsmodi-----
3494 if(Torque_Calc_Mode==1) //KRAGARME VOM AUFLAGER WEG
3495 {
3496     if(Support_Position!=1)
3497     {
3498         //println("2 Kragarme von Auflager aus.");
3499         for (c=1;c<=Support_Position-1;c++) //Alle Punkte von 1 bis zum Auflager zählen z.B.: max 1-19
3500         {
3501             //println("SCHNITT ",c," Schleife A");
3502             //println("Section_Balance_Point["c,"]=",Section_Balance_Point(c));
3503             temp=0.0;
3504             temp_pos=vector(0,0,0);
3505             //Die Summe aller Resultierenden die im Schnitt betrachtet werden multipliziert mit deren Abstand zum
3506             //for (a=c;a>=1;a--) //Vom aktuellen Schnitt bis zum Schnitt 1 herunter zählen (z.B.: Schnitt 1 x Load 0)
3507             {
3508                 for (cnt=0;cnt<AnzahlSplines-1;cnt++) //Lasten und deren Position des aktuellen Schnittes berechnen
3509                 {
3510                     temp=temp+Single_Bridge_Load_Points[cnt][a-1]; //Alle Lasten des temporären Schnittes mit den bei
3511                     //Gesamtschwerpontsposition berechnung -> verändert sich mit jeder addierten Last (in Richtung d
3512                     Distanz.x=Single_Bridge_Balance_Points[cnt][a-1].x-Single_Bridge_Balance_Points[0][0].x;//der Bala
3513                     Distanz.y=Single_Bridge_Balance_Points[cnt][a-1].y-Single_Bridge_Balance_Points[0][0].y;
3514                     Distanz.z=Single_Bridge_Balance_Points[cnt][a-1].z-Single_Bridge_Balance_Points[0][0].z;
3515                     temp_pos=temp_pos+Distanz*Single_Bridge_Load_Points[cnt][a-1];
3516                 }
3517                 Section_Load[c]=temp; //Temp erhöht sich mit jedem Durchlauf bis der aktuelle schnitt "c" erreicht ist.
3518                 section_Load_pos[c]=Single_Bridge_Balance_Points[0][0].x+temp_pos/temp; //jetzt wird die tatsächliche
3519             }
3520             //Überprüfung LASTPOSTION EINZEICHEN
3521             var Scale=Section_Load[c]; //Skalierung hat Auswirkung auf die SchwerpunktKugelgrößen
3522             var pos=section_Load_pos[c];
3523             var Kugel_Name;
3524             Kugel_Name="BEAM_"+tostring(Beam_Number_Intern)+" SCHNITTLAST_"+tostring(c);
3525             MAKE_SPHERE(Scale,Kugel_Name,pos,Section_Balance_Folder_Object);
3526             //Momente brechnen
3527             //Distanz zum System_Axis_Points[a]
3528             X_Dist=System_Axis_Points[c].x-section_Load_pos[c].x;
3529             Z_Dist=System_Axis_Points[c].z-section_Load_pos[c].z;
3530             P1=System_Axis_Points[c];
3531             P2=section_Load_pos[c];
3532             XZ_Dist_2_Points_Calc(P1,P2);
3533             Dist_RES=Dist_current_Points;
3534             Section_Torque_X[c]=abs(X_Dist)*Section_Load[c];
3535             Section_Torque_Z[c]=abs(Z_Dist)*Section_Load[c];
3536             Res_Section_Torque[c]=abs(Dist_RES)*Section_Load[c];
3537             /*
3538             println("Section_Load["c,"]",Section_Load[c]);
3539             println("section_Load_pos["c,"]",section_Load_pos[c]);
3540             println("X_Dist: ",X_Dist);
3541             println("X-Moment an Schnitt ",c," beträgt: ",Section_Torque_X[c]);
3542             println("Z_Dist: ",Z_Dist);
3543             println("Z-Moment an Schnitt ",c," beträgt: ",Section_Torque_Z[c]);
3544             println("Dist_RES: ",Dist_RES);
3545             println("Res_Section_Torque["c,""] beträgt: ",Res_Section_Torque[c]);
3546             */
3547         }
3548         for(c=SplinePunkte-2;c>=Support_Position;c--) //Alle Punkte von Oben nach Unten bis zum Auflager zäh
3549         {
3550             //println("SCHNITT ",c," Schleife B");
3551             temp=0.0;
3552             temp_pos=vector(0,0,0);
3553             //Die Summe aller Resultierenden die im Schnitt betrachtet werden multipliziert mit deren Abstand zum
3554             //for (a=c-1;a<=SplinePunkte-2;a++) //Vom aktuellen Schnitt bis zum vorletzten Schnitt rechnen
3555             {
3556                 for (cnt=0;cnt<AnzahlSplines-1;cnt++) //Lasten des aktuellen Schnittes berechnen
3557                 {
3558                     temp=temp+Single_Bridge_Load_Points[cnt][a];
3559                     Distanz.x=Single_Bridge_Balance_Points[cnt][a].x-Single_Bridge_Balance_Points[0][0].x;
3560                     Distanz.y=Single_Bridge_Balance_Points[cnt][a].y-Single_Bridge_Balance_Points[0][0].y;
3561                     Distanz.z=Single_Bridge_Balance_Points[cnt][a].z-Single_Bridge_Balance_Points[0][0].z;
3562                     temp_pos=temp_pos+Distanz*Single_Bridge_Load_Points[cnt][a];
3563                 }
3564                 Section_Load[c]=temp;
3565                 section_Load_pos[c]=Single_Bridge_Balance_Points[0][0].x+temp_pos/temp;
3566             }
3567             //Überprüfung LASTPOSTION EINZEICHEN
3568             var Scale=Section_Load[c]; //Skalierung hat Auswirkung auf die SchwerpunktKugelgrößen
3569             var pos=section_Load_pos[c];
3570             var Kugel_Name;
3571             Kugel_Name="BEAM_"+tostring(Beam_Number_Intern)+" SCHNITTLAST_"+tostring(c);
3572             MAKE_SPHERE(Scale,Kugel_Name,pos,Section_Balance_Folder_Object);
3573             //Momente berechnen
3574             //Distanz zum System_Axis_Points[a]
3575             X_Dist=System_Axis_Points[c].x-section_Load_pos[c].x;
3576             Z_Dist=System_Axis_Points[c].z-section_Load_pos[c].z;
3577             P1=System_Axis_Points[c];
3578             P2=section_Load_pos[c];
3579             XZ_Dist_2_Points_Calc(P1,P2);
3580             Dist_RES=Dist_current_Points;
3581             Section_Torque_X[c]=abs(X_Dist)*Section_Load[c];
3582             Section_Torque_Z[c]=abs(Z_Dist)*Section_Load[c];
3583             Res_Section_Torque[c]=abs(Dist_RES)*Section_Load[c];
3584             /*
3585             println("Section_Load["c,"]",Section_Load[c]);
3586             println("section_Load_pos["c,"]",section_Load_pos[c]);
3587             println("X_Dist: ",X_Dist);
3588             println("X-Moment an Schnitt ",c," beträgt: ",Section_Torque_X[c]);
3589             println("Z_Dist: ",Z_Dist);
3590             println("Z-Moment an Schnitt ",c," beträgt: ",Section_Torque_Z[c]);
3591             println("Dist_RES: ",Dist_RES);
3592             println("Res_Section_Torque["c,""] beträgt: ",Res_Section_Torque[c]);
3593             */
3594         }
3595     } //if(Support_Position!=1) ENDE
3596     if(Support_Position==1) //Wenn Auflagerposition = 1 ist dann normaler Rechenmodus
3597     {
3598         //println("NORMALER BERECHNUNGSMODUS");
3599         //println("SCHNITT ",c," Schleife A");
3600         //println("1 Kragarm von Uferzone aus");
3601         for (c=SplinePunkte-2;c>=Support_Position-1;c--) //Alle Punkte von 1 bis zum Auflager zählen z.B.: max 0-19
3602         {
3603             //println("Section_Balance_Point["c,"]=",Section_Balance_Point(c));
3604             temp=0.0;
3605             temp_pos=vector(0,0,0);
3606             //Die Summe aller Resultierenden die im Schnitt betrachtet werden multipliziert mit deren Abstand zum Schnitt.
3607             //for (a=c;a<=SplinePunkte-2;a++) //Vom aktuellen Schnitt bis zum Schnitt 1 mal Load 0
3608             {
3609                 for (cnt=0;cnt<AnzahlSplines-1;cnt++) //Lasten des aktuellen Schnittes berechnen
3610                 {
3611                     temp=temp+Single_Bridge_Load_Points[cnt][a];
3612                     Distanz.x=Single_Bridge_Balance_Points[cnt][a].x-Single_Bridge_Balance_Points[0][0].x;
3613                     Distanz.y=Single_Bridge_Balance_Points[cnt][a].y-Single_Bridge_Balance_Points[0][0].y;
3614                     Distanz.z=Single_Bridge_Balance_Points[cnt][a].z-Single_Bridge_Balance_Points[0][0].z;
3615                     temp_pos=temp_pos+Distanz*Single_Bridge_Load_Points[cnt][a];
3616                     //println("Single_Bridge_Load_Points["cnt,""]["a,""]",Single_Bridge_Load_Points[cnt][a]);
3617                 }
3618                 Section_Load[c]=temp;
3619                 section_Load_pos[c]=Single_Bridge_Balance_Points[0][0].x+temp_pos/temp;
3620             }
3621             //Überprüfung LASTPOSTION EINZEICHEN
3622             var Scale=Section_Load[c]; //Skalierung hat Auswirkung auf die SchwerpunktKugelgrößen
3623             var pos=section_Load_pos[c];
3624             var Kugel_Name;
3625             Kugel_Name="BEAM_"+tostring(Beam_Number_Intern)+" SCHNITTLAST_"+tostring(c);
3626             MAKE_SPHERE(Scale,Kugel_Name,pos,Section_Balance_Folder_Object);
3627             //Momente brechnen
3628             //Distanz zum System_Axis_Points[a]
3629             X_Dist=System_Axis_Points[c].x-section_Load_pos[c].x;
3630             Z_Dist=System_Axis_Points[c].z-section_Load_pos[c].z;
3631             P1=System_Axis_Points[c];
3632             P2=section_Load_pos[c];
3633             XZ_Dist_2_Points_Calc(P1,P2);
3634             Dist_RES=Dist_current_Points;
3635             Section_Torque_X[c]=abs(X_Dist)*Section_Load[c];
3636             Section_Torque_Z[c]=abs(Z_Dist)*Section_Load[c];
3637             Res_Section_Torque[c]=abs(Dist_RES)*Section_Load[c];
3638             /*
3639             println("Section_Load["c,"]",Section_Load[c]);
3640             println("X_Dist: ",X_Dist);
3641             println("X-Moment an Schnitt ",c," beträgt: ",Section_Torque_X[c]);
3642             println("Z_Dist: ",Z_Dist);
3643             println("Z-Moment an Schnitt ",c," beträgt: ",Section_Torque_Z[c]);
3644             println("Dist_RES: ",Dist_RES);
3645             println("Res_Section_Torque["c,""] beträgt: ",Res_Section_Torque[c]);
3646             */
3647         }
3648     } //if(Torque_Calc_Mode==1) ENDE
3649     if(Torque_Calc_Mode==0) //2 Kragarme von der Uferzone weg
3650     {
3651         //println("2 Kragarme von Uferzonen -> Momentenberechnung");
3652         //1. ARM
3653         for(c=Support_Position-2;c>=0;c--) //Alle Punkte von Oben nach Unten zählen z.B.: max 19-1
3654         {

```



```

3657 //println("SCHNITT ",c," Schleife C");
3658 temp=0.0;
3659 temp_pos=vector(0,0,0);
3660 //Die Summe aller Resultierenden die im Schnitt betrachtet werden multipliziert mit deren Abstand zum Sc
3661 for (a=c;a<=Support_Position-2;a++)
3662 {
3663   for (cnt=0;cnt<AnzahlSplines-1;cnt++) //Lasten des aktuellen Schnittes berechnen
3664   {
3665     temp=temp+Single_Bridge_Load_Points[cnt][a];
3666     Distanz.x=Single_Bridge_Balance_Points[cnt][a].x-Single_Bridge_Balance_Points[0][0].x;
3667     Distanz.y=Single_Bridge_Balance_Points[cnt][a].y-Single_Bridge_Balance_Points[0][0].y;
3668     Distanz.z=Single_Bridge_Balance_Points[cnt][a].z-Single_Bridge_Balance_Points[0][0].z;
3669     temp_pos=temp_pos+Distanz*Single_Bridge_Load_Points[cnt][a];
3670     //println("Single_Bridge_Load_Points",cnt,"|",a,"|",Single_Bridge_Load_Points[cnt][a]);
3671   }
3672   Section_Load[c]=temp;
3673   section_Load_pos[c]=Single_Bridge_Balance_Points[0][0]+temp_pos/temp;
3674 }
3675
3676 //Überprüfung LASTPOSTION EINZEICHEN
3677 var Scale=Section_Load[c]; //Skalierung hat Auswirkung auf die SchwerpunktKugelgrößen
3678 var pos=section_Load_pos[c];
3679 var Kugel_Name;
3680 Kugel_Name=("BEAM_" + toString(Beam_Number_Intern) + " SCHNITTLAST_" + toString(c));
3681 MAKE_SPHERE(Scale,Kugel_Name,pos,Section_Balance_Folder_Object);
3682 //Momente brechnen
3683 //Distanz zum System_Axis_Points[a]
3684 X_Dist=System_Axis_Points[c].x-section_Load_pos[c].x;
3685 Z_Dist=System_Axis_Points[c].z-section_Load_pos[c].z;
3686 P1=System_Axis_Points[c];
3687 P2=section_Load_pos[c];
3688 XZ_Dist_2_Points_Calc(P1,P2);
3689 Dist_RES=Dist_current_Points;
3690 Section_Torque_X[c]=abs(X_Dist)*Section_Load[c];
3691 Section_Torque_Z[c]=abs(Z_Dist)*Section_Load[c];
3692 Res_Section_Torque[c]=abs(Dist_RES)*Section_Load[c];
3693 /*
3694 println("Section_Load",c,"|",Section_Load[c]);
3695 println("section_Load_pos",c,"|",section_Load_pos[c]);
3696 println("X_Dist: ",X_Dist);
3697 println("X-Moment an Schnitt ",c," beträgt: ",Section_Torque_X[c]);
3698 println("Z_Dist: ",Z_Dist);
3699 println("Z-Moment an Schnitt ",c," beträgt: ",Section_Torque_Z[c]);
3700 println("Dist_RES: ",Dist_RES);
3701 println("Res_Section_Torque",c," beträgt: ",Res_Section_Torque[c]);
3702 */
3703 } //1. Arm Ende
3704
3705 //2. ARM
3706 for (c=Support_Position;c<=SplinePunkte-1;c++) //invertiert -> Alle Punkte von Unten nach Oben zählen z.B.
3707 {
3708   //println("SCHNITT ",c," Schleife D");
3709   //println("Section_Balance_Point",c,"|",Section_Balance_Point[c]);
3710   //Die Summe aller Resultierenden die im Schnitt betrachtet werden multipliziert mit deren Abstand zum Sc
3711   temp=0.0;
3712   temp_pos=vector(0,0,0);
3713   for (a=c-1;a>=Support_Position-1;a--) //Alle Punkte von C nach Oben-1 zählen z.B.: (max 0-19) max 0-18=
3714     Schnitte.
3715     {
3716       //println("SCHNITT ",c," Schleife D");
3717       for (cnt=0;cnt<AnzahlSplines-1;cnt++) //Lasten des aktuellen Schnittes berechnen
3718       {
3719         temp=temp+Single_Bridge_Load_Points[cnt][a];
3720         Distanz.x=Single_Bridge_Balance_Points[cnt][a].x-Single_Bridge_Balance_Points[0][0].x;
3721         Distanz.y=Single_Bridge_Balance_Points[cnt][a].y-Single_Bridge_Balance_Points[0][0].y;
3722         Distanz.z=Single_Bridge_Balance_Points[cnt][a].z-Single_Bridge_Balance_Points[0][0].z;
3723         temp_pos=temp_pos+Distanz*Single_Bridge_Load_Points[cnt][a];
3724         //println("Single_Bridge_Load_Points",cnt,"|",a,"|",Single_Bridge_Load_Points[cnt][a]);
3725       }
3726       Section_Load[c]=temp;
3727       section_Load_pos[c]=Single_Bridge_Balance_Points[0][0]+temp_pos/temp;
3728     }
3729   //Überprüfung LASTPOSTION EINZEICHEN
3730   var Scale=Section_Load[c]; //Skalierung hat Auswirkung auf die SchwerpunktKugelgrößen
3731   var pos=section_Load_pos[c];
3732   var Kugel_Name;
3733   Kugel_Name=("BEAM_" + toString(Beam_Number_Intern) + " SCHNITTLAST_" + toString(c));
3734   MAKE_SPHERE(Scale,Kugel_Name,pos,Section_Balance_Folder_Object);
3735   //Momente brechnen
3736   //Distanz zum System_Axis_Points[a]
3737   X_Dist=System_Axis_Points[c].x-section_Load_pos[c].x;
3738   Z_Dist=System_Axis_Points[c].z-section_Load_pos[c].z;
3739   P1=System_Axis_Points[c];
3740   P2=section_Load_pos[c];

```

```

3740 XZ_Dist_2_Points_Calc(P1,P2);
3741 Dist_RES=Dist_current_Points;
3742 Section_Torque_X[c]=abs(X_Dist)*Section_Load[c];
3743 Section_Torque_Z[c]=abs(Z_Dist)*Section_Load[c];
3744 Res_Section_Torque[c]=abs(Dist_RES)*Section_Load[c];
3745 /*
3746 println("Section_Load",c,"|",Section_Load[c]);
3747 println("section_Load_pos",c,"|",section_Load_pos[c]);
3748 println("X_Dist: ",X_Dist);
3749 println("X-Moment an Schnitt ",c," beträgt: ",Section_Torque_X[c]);
3750 println("Z_Dist: ",Z_Dist);
3751 println("Z-Moment an Schnitt ",c," beträgt: ",Section_Torque_Z[c]);
3752 println("Dist_RES: ",Dist_RES);
3753 println("Res_Section_Torque",c," beträgt: ",Res_Section_Torque[c]);
3754 */
3755 } //2. Arm Ende
3756 } // if(Torque_Calc_Mode==0) ENDE
3757 if(Torque_Calc_Mode==2) //Einfeldträger
3758 {
3759   var Dist_ALL_X_Dist_ALL,Z_Dist_ALL;
3760   println("Es wird ein Einfeldträger berechnet");
3761   //Auflagerkräfte berechnen;
3762   //Auflagerkraft B=Summe aller Momente um A
3763   //Achtung nachstehender teil muss mit folgenden 2 Variablen kürzer programmiert werden...
3764   //Entire_Bridge_Load..Entire_Bridge_Balance_Point
3765   P1=System_Axis_Points[0];
3766   P2=System_Axis_Points[SplinePunkte-1];
3767   XZ_Dist_2_Points_Calc(P1,P2);
3768   Dist_ALL=Dist_current_Points;
3769   P1=System_Axis_Points[0];
3770   P2=Entire_Bridge_Balance_Point;
3771   XZ_Dist_2_Points_Calc(P1,P2);
3772   Dist_RES=Dist_current_Points;
3773   Support_Res_Force_B=(Entire_Bridge_Load*Dist_RES)/Dist_ALL;
3774   Support_Res_Force_A=Entire_Bridge_Load-Support_Res_Force_B;
3775   X_Dist_ALL=abs(System_Axis_Points[0].x-System_Axis_Points[SplinePunkte-1].x);
3776   X_Dist=abs(System_Axis_Points[0].x-Entire_Bridge_Balance_Point.x);
3777   Support_X_Force_B=(Entire_Bridge_Load*X_Dist)/X_Dist_ALL;
3778   Support_X_Force_A=Entire_Bridge_Load-Support_X_Force_B;
3779   Z_Dist_ALL=abs(System_Axis_Points[0].z-System_Axis_Points[SplinePunkte-1].z);
3780   Z_Dist=abs(System_Axis_Points[0].z-Entire_Bridge_Balance_Point.z);
3781   Support_Z_Force_B=(Entire_Bridge_Load*Z_Dist)/Z_Dist_ALL;
3782   Support_Z_Force_A=Entire_Bridge_Load-Support_Z_Force_B;
3783   /*
3784   println("Entire_Bridge_Load= ",Entire_Bridge_Load);
3785   println("Auflager A_x= ",Support_X_Force_A);
3786   println("Auflager A_z= ",Support_Z_Force_A);
3787   println("Auflager A_Res= ",Support_Res_Force_A);
3788   println("Auflager B_x= ",Support_X_Force_B);
3789   println("Auflager B_z= ",Support_Z_Force_B);
3790   println("Auflager B_Res= ",Support_Res_Force_B);
3791   */
3792   var Res_Armlenght=0.0,X_Armlenght=0.0,Z_Armlenght=0.0;
3793   var Res_Segment_Lenght=0.0,X_Segment_Lenght=0.0,Z_Segment_Lenght=0.0;
3794
3795   //MOMENTENVERLAUFBERECHNEN unter Berücksichtigung des entgegenwirkenden Auflagermomentes berechnen.
3796   for(a=SplinePunkte-2;a>=0;a--) //Alle Schnitte von Oben nach Unten zählen z.B.: max 18-0
3797   {
3798     temp=0.0;
3799     temp_pos=vector(0,0,0);
3800     section_Load_pos[a]=vector(0,0,0);
3801     //Hebelsarmlängen berechnen
3802     X_Dist=System_Axis_Points[a].x-section_Load_pos[a+1].x;
3803     X_Segment_Lenght=X_Segment_Lenght+X_Dist;
3804     Z_Dist=System_Axis_Points[a].z-section_Load_pos[a+1].z;
3805     Z_Segment_Lenght=Z_Segment_Lenght+Z_Dist;
3806     P1=System_Axis_Points[a];
3807     P2=System_Axis_Points[a+1];
3808     XZ_Dist_2_Points_Calc(P1,P2);
3809     Res_Segment_Lenght=Dist_current_Points;
3810     Res_Armlenght=Res_Armlenght+Res_Segment_Lenght;
3811     for(c=a;c<=SplinePunkte-2;c++) //Alle Schnitte von Oben nach Unten zählen z.B.: max 18-0
3812     {
3813       //Segment Last berechnen
3814       for (cnt=0;cnt<AnzahlSplines-1;cnt++) //Lasten des aktuellen Schnittes berechnen
3815       {
3816         temp=temp+Single_Bridge_Load_Points[cnt][c];
3817         Distanz.x=Single_Bridge_Balance_Points[cnt][c].x-Single_Bridge_Balance_Points[0][0].x;
3818         Distanz.y=Single_Bridge_Balance_Points[cnt][c].y-Single_Bridge_Balance_Points[0][0].y;
3819         Distanz.z=Single_Bridge_Balance_Points[cnt][c].z-Single_Bridge_Balance_Points[0][0].z;
3820         temp_pos=temp_pos+Distanz*Single_Bridge_Load_Points[cnt][c];
3821       }
3822     }
3823     Section_Load[a]=temp;

```

```

3824 section_Load_pos[a]=Single_Bridge_Balance_Points[0][0]+temp_pos/temp;
3825 //Überprüfung LASTPOSITION EINZEICHEN
3826 var Scales=Section_Load[a]; //Skalierung hat Auswirkung auf die SchwerpunktKugelgrößen
3827 var pos=section_Load_pos[a];
3828 var Kugel_Name;
3829 Kugel_Name="(BEAM_"+tostring(Beam_Number_Intern)+" SCHNITTLAST_"+tostring(a));
3830 MAKE_SPHERE(Scale,Kugel_Name,pos,Section_Balance_Folder_Object);
3831 X_Dist=System_Axis_Points[a].x-section_Load_pos[a].x;
3832 Z_Dist=System_Axis_Points[a].z-section_Load_pos[a].z;
3833 P1=System_Axis_Points[a];
3834 P2=section_Load_pos[a];
3835 XZ_Dist_2_Points_Calc(P1,P2);
3836 Dist_RES=Dist_current_Points;
3837 //Auflager B Abstand zu aktuellem Schnitt
3838 var Sup_X_Dist=0.0, Sup_Z_Dist=0.0, Sup_Res_Dist=0.0;
3839
3840 Sup_X_Dist=System_Axis_Points[a].x-System_Axis_Points[SplinePunkte-1].x;
3841 Sup_Z_Dist=System_Axis_Points[a].z-System_Axis_Points[SplinePunkte-1].z;
3842 P1=System_Axis_Points[a];
3843 P2=System_Axis_Points[SplinePunkte-1];
3844 XZ_Dist_2_Points_Calc(P1,P2);
3845 Sup_Res_Dist=Dist_current_Points;
3846
3847 Section_Torque_X[a]=abs(X_Dist*Section_Load[a])-abs(Sup_X_Dist*Support_X_Force_B);
3848 Section_Torque_Z[a]=abs(Z_Dist*Section_Load[a])-abs(Sup_Z_Dist*Support_Z_Force_B);
3849 Res_Section_Torque[a]=abs(Dist_RES*Section_Load[a])-abs(Sup_Res_Dist*Support_Res_Force_B);
3850 Section_Torque_X[a]=abs(Section_Torque_X[a]);
3851 Section_Torque_Z[a]=abs(Section_Torque_Z[a]);
3852 Res_Section_Torque[a]=abs(Res_Section_Torque[a]);
3853 Section_Torque_X[SplinePunkte-1]=0;
3854 Section_Torque_Z[SplinePunkte-1]=0;
3855 Res_Section_Torque[SplinePunkte-1]=0;
3856 /*
3857 println("Section_Load",a,"",Section_Load(c));
3858 println("section_Load_pos",a,"",section_Load_pos[a]);
3859 println("X_Dist: ",X_Dist);
3860 println("X-Moment an Schnitt ",a," beträgt: ",Section_Torque_X[a]);
3861 println("Z_Dist: ",Z_Dist);
3862 println("Z-Moment an Schnitt ",a," beträgt: ",Section_Torque_Z[a]);
3863 println("Dist_RES: ",Dist_RES);
3864 println("Res_Section_Torque",a,") beträgt: ",Res_Section_Torque[a]);
3865 */
3866 }
3867 //-----GRAFISCHE DARSTELLUNG-----
3868 //AUFLAGERPOSITION zeichnen
3869 var Structur_Folder_Name="(STRUCTURE_CALC)";
3870 var Support_Folder_Name="(SUPPORT)";
3871 var Support_Folder_Object,current_Support_Position,STRUCTURE_NullObject;
3872 var Support_Object_Name,Pyramid_Size=20;
3873 //Support Ordner erstellen
3874 if(!doc->FindObject(Support_Folder_Name))
3875 {
3876 STRUCTURE_NullObject=doc->FindObject(Structur_Folder_Name);
3877 Support_Folder_Object=new(NullObject);
3878 Support_Folder_Object->SetName(Support_Folder_Name);
3879 doc->InsertObject(Support_Folder_Object,STRUCTURE_NullObject,Null);
3880 }
3881 Support_Folder_Object=doc->FindObject(Support_Folder_Name);
3882 for (cnt=0;cnt<Anzahl_Splines;cnt++)
3883 {
3884 current_Support_Position=BRIDGE_POINTS_ARRAY[cnt][Support_Position-1];
3885 Support_Object_Name="(Support"+tostring(cnt));
3886 MAKE_SPHERE(Pyramid_Size,Support_Object_Name, current_Support_Position,Support_Folder_Object);
3887 }
3888 //Zeichne Durchschnitt Auflager
3889 var Average_Support_Name="(Average_Support)";
3890 STRUCTURE_NullObject=doc->FindObject(Structur_Folder_Name);
3891 MAKE_PYRAMID(Pyramid_Size*5,Average_Support_Name,Average_Support_Position, STRUCTURE_NullObj);
3892 //MOMENTE zeichnen
3893 var Size=vector(0,0,0);
3894 var Torque_Object_Name;
3895 var Torque_Folder_Name="(Beam_"+tostring(Beam_Number_Intern)+"_Torque_Folder)";
3896 //var Torque_Folder_Name="(Torque_Folder)";
3897 var Torque_Folder_Object;
3898 var Torque_Scale_Factor=Diagram_Factor;
3899 var Result_Torque_Folder_Object_Name="(Beam_"+tostring(Beam_Number_Intern)+"_Result_Torque)";
3900 //var Result_Torque_Folder_Object_Name="(Result_Torque)";
3901 var Result_Torque_Folder_Object;
3902 if(!doc->FindObject(Torque_Folder_Name))
3903 {
3904 STRUCTURE_NullObject=doc->FindObject(Structur_Folder_Name);
3905 Torque_Folder_Object=new(NullObject);
3906 Torque_Folder_Object->SetName(Torque_Folder_Name);

```

```

3908 doc->InsertObject(Torque_Folder_Object,STRUCTURE_NullObject,Null);
3909 }
3910 if(!doc->FindObject(Result_Torque_Folder_Object_Name))
3911 {
3912 Torque_Folder_Object=doc->FindObject(Torque_Folder_Name);
3913 Result_Torque_Folder_Object=new(NullObject);
3914 Result_Torque_Folder_Object->SetName(Result_Torque_Folder_Object_Name);
3915 doc->InsertObject(Result_Torque_Folder_Object,Torque_Folder_Object,Null);
3916 }
3917 Result_Torque_Folder_Object=doc->FindObject(Result_Torque_Folder_Object_Name);
3918 Torque_Folder_Object=doc->FindObject(Torque_Folder_Name);
3919 //Momente zeichnen
3920
3921 //Aufgeteilt in 2 Schleifen, damit Objektordnerstruktur beider Kraagarme gleich bleibt.
3922 for (a=SectionNum;a>=Support_Position-1;a--)
3923 {
3924 Torque_Object_Name="(Beam_"+tostring(Beam_Number_Intern)+"_X_Torque_Section_"+tostring(a));
3925 Size=vector(abs(Section_Torque_X[a])/Torque_Scale_Factor,5,5); //Würfelabmessungen
3926 Section_Balance_Point[a].x=Section_Balance_Point[a].x+(Section_Torque_X[a]/Torque_Scale_Factor)/2; //Würfelpositi
3927 MAKE_CUBE(Size,Torque_Object_Name,Section_Balance_Point[a], Torque_Folder_Object);
3928 Torque_Object_Name="(Beam_"+tostring(Beam_Number_Intern)+"_Z_Torque_Section_"+tostring(a));
3929 Size=vector(5,5,abs(Section_Torque_Z[a])/Torque_Scale_Factor); //Würfelabmessungen
3930 Section_Balance_Point[a].x=Section_Balance_Point[a].x-(Section_Torque_X[a]/Torque_Scale_Factor)/2; //Würfelpositi
3931 Section_Balance_Point[a].z=Section_Balance_Point[a].z+(Section_Torque_Z[a]/Torque_Scale_Factor)/2; //Würfelpositi
3932 MAKE_CUBE(Size,Torque_Object_Name,Section_Balance_Point[a], Torque_Folder_Object);
3933 Torque_Object_Name="(Beam_"+tostring(Beam_Number_Intern)+"_Res_Torque_Section_"+tostring(a));
3934 Size=vector(5,Res_Section_Torque[a]/Torque_Scale_Factor,5); //Würfelabmessungen
3935 Section_Balance_Point[a].y=Section_Balance_Point[a].y+(Res_Section_Torque[a]/Torque_Scale_Factor)/2; //Würfelpos
3936 Section_Balance_Point[a].z=Section_Balance_Point[a].z-(Section_Torque_Z[a]/Torque_Scale_Factor)/2;
3937 MAKE_CUBE(Size,Torque_Object_Name,Section_Balance_Point[a], Result_Torque_Folder_Object);
3938 Section_Balance_Point[a].z=Section_Balance_Point[a].z+(Section_Torque_Z[a]/Torque_Scale_Factor)/2;
3939 }
3940 if(Support_Position!=1)
3941 {
3942 for (a=Support_Position-2;a>=0;a--)// for (a=0;a<Support_Position-1;a++)
3943 {
3944 Torque_Object_Name="(X_Torque_Section_"+tostring(a));
3945 Size=vector(abs(Section_Torque_X[a])/Torque_Scale_Factor,5,5); //Würfelabmessungen
3946 Section_Balance_Point[a].x=Section_Balance_Point[a].x+(Section_Torque_X[a]/Torque_Scale_Factor)/2; //Würfelposi
3947 MAKE_CUBE(Size,Torque_Object_Name,Section_Balance_Point[a], Torque_Folder_Object);
3948 Torque_Object_Name="(Z_Torque_Section_"+tostring(a));
3949 Size=vector(5,5,abs(Section_Torque_Z[a])/Torque_Scale_Factor); //Würfelabmessungen
3950 Section_Balance_Point[a].x=Section_Balance_Point[a].x-(Section_Torque_X[a]/Torque_Scale_Factor)/2; //Würfelposi
3951 Section_Balance_Point[a].z=Section_Balance_Point[a].z+(Section_Torque_Z[a]/Torque_Scale_Factor)/2; //Würfelposi
3952 MAKE_CUBE(Size,Torque_Object_Name,Section_Balance_Point[a], Torque_Folder_Object);
3953 Torque_Object_Name="(Res_Torque_Section_"+tostring(a));
3954 Size=vector(5,Res_Section_Torque[a]/Torque_Scale_Factor,5); //Würfelabmessungen
3955 Section_Balance_Point[a].y=Section_Balance_Point[a].y+(Res_Section_Torque[a]/Torque_Scale_Factor)/2; //Würfelposi
3956 Section_Balance_Point[a].z=Section_Balance_Point[a].z-(Section_Torque_Z[a]/Torque_Scale_Factor)/2;
3957 MAKE_CUBE(Size,Torque_Object_Name,Section_Balance_Point[a], Result_Torque_Folder_Object);
3958 Section_Balance_Point[a].z=Section_Balance_Point[a].z+(Section_Torque_Z[a]/Torque_Scale_Factor)/2;
3959 }
3960 }
3961 //Träger berechnen und zeichnen
3962 BEAM_CALC(Beam_Number_Intern)
3963 {
3964 println(" ");
3965 if(Beam_Number_Intern<=1) println("IDEALTRÄGER ZEICHEN");
3966 if(Beam_Number_Intern>1) println("Beam_Number_Intern","_TRÄGER ZEICHEN");
3967 var c,cnt,a;
3968 var First_Spline,Last_Spline;
3969 var Ideal_Beam_Width=new(array,SplinePunkte);
3970 var Temp_Height;
3971 var current_Position_1,current_Position_2;
3972 var temp_factor,Factor_1=1.0;
3973 var Widerstandsmoment;
3974 //Breite an den einzelnen Netzpunkten (Matrixpunkten) berechnen;
3975 for (a=0;a<SplinePunkte;a++)
3976 {
3977 First_Spline=BRIDGE_POINTS_ARRAY[0][a];
3978 Last_Spline=BRIDGE_POINTS_ARRAY[Anzahl_Splines-1][a];
3979 XZ_Dist_2_Points_Calc(First_Spline,Last_Spline);
3980 Ideal_Beam_Width[a]=Dist_current_Points;
3981 //println("Trägerbreite an Stelle ",a," beträgt: ",Ideal_Beam_Width[a]);
3982 }
3983 current_Position_1=System_Axis_Points[0];
3984 current_Position_2=System_Axis_Points[Support_Position-1];
3985 XZ_Dist_2_Points_Calc(current_Position_1, current_Position_2);
3986 Cantilever_Arm_1=abs(Dist_current_Points);
3987 current_Position_1=System_Axis_Points[SplinePunkte-1];
3988 XZ_Dist_2_Points_Calc(current_Position_1, current_Position_2);
3989 Cantilever_Arm_2=abs(Dist_current_Points);

```

```

3992 if(Torque_Calc_Mode==2) //Einfeldträger
3993 {
3994     current_Position_1=System_Axis_Points[0];
3995     current_Position_2=System_Axis_Points[SplinePunkte-1];
3996     XZ_Dist_2_Points_Calc(current_Position_1, current_Position_2);
3997     Cantilever_Arm_1=abs(Dist_current_Points);
3998     Cantilever_Arm_2=0.0;
3999 }
4000 if(Torque_Curve_Calc==True)
4001 {
4002     //-----
4003     //-----
4004     //-----Die Maximale Höhe den Momenten angleichen-----
4005     //-----
4006     println(" Torque_Curve_Calc=true");
4007     println(" Formula_Divident_Arm_1: ",Formula_Divident_Arm_1);
4008     println(" Formula_Divident_Arm_2: ",Formula_Divident_Arm_2);
4009     println(" Cantilever_Arm_1: ", Cantilever_Arm_1);
4010     println(" Cantilever_Arm_2: ", Cantilever_Arm_2);
4011     //Section_Torque_X,Section_Torque_Z,Res_Section_Torque;
4012     var pos; //korrekturwert wenn auflager an stelle null. -> keine referentmoment vorhanden
4013     if(Torque_Calc_Mode==1) //KRAGARME VOM AUFLAGER WEG
4014     {
4015         if(Support_Position!=1)
4016         {
4017             for (a=0;a<=Support_Position-1;a++) //Alle Punkte von 1 bis zum Auflager zählen z.B.: max 1-19
4018             {
4019                 for (cnt=0;cnt<Anzahl_Splines;cnt++)
4020                 {
4021                     Temp_Height=(2*Cantilever_Arm_1)/Formula_Divident_Arm_2;
4022                     if(Res_Section_Torque[a]!=0) //Wenn keine Momente vorhanden sind dann gibt es keine Lasten und a
4023                     {
4024                         Ideal_Beam_Heights[cnt][a]=((Temp_Height/Res_Section_Torque[Support_Position-1])*Res_Section.
4025                     }
4026                     else Ideal_Beam_Heights[cnt][a]=Minimal_Construction_Height;//oder Null
4027                 }
4028             }
4029             for(a=SplinePunkte-1;a>=Support_Position;a--) //Alle Punkte von Oben nach Unten bis zum Auflager zäh
4030             {
4031                 for (cnt=0;cnt<Anzahl_Splines;cnt++)
4032                 {
4033                     Temp_Height=(2*Cantilever_Arm_2)/Formula_Divident_Arm_1;
4034                     if(Res_Section_Torque[a]!=0) //Wenn keine Momente vorhanden sind dann gibt es keine Lasten und a
4035                     {
4036                         Ideal_Beam_Heights[cnt][a]=((Temp_Height/Res_Section_Torque[Support_Position])*Res_Section_T
4037                     }
4038                     else Ideal_Beam_Heights[cnt][a]=Minimal_Construction_Height;//oder Null
4039                 }
4040             }
4041         } //if(Support_Position!=1) ENDE
4042     }
4043     if(Support_Position==1) //Wenn Auflagerposition = 1 ist dann normaler Rechenmodus
4044     {
4045         for (a=SplinePunkte-1;a>=Support_Position-1;a--) //Alle Punkte von 1 bis zum Auflager zählen z.B.: max
4046         {
4047             for (cnt=0;cnt<Anzahl_Splines;cnt++)
4048             {
4049                 Temp_Height=(2*Cantilever_Arm_2)/Formula_Divident_Arm_2;
4050                 if(Res_Section_Torque[a]!=0) //Wenn keine Momente vorhanden sind dann gibt es keine Lasten und a
4051                 {
4052                     Ideal_Beam_Heights[cnt][a]=((Temp_Height/Res_Section_Torque[0])*Res_Section_Torque[a])+Minin
4053                 }
4054                 else Ideal_Beam_Heights[cnt][a]=Minimal_Construction_Height;//oder Null
4055             }
4056         }
4057     }
4058 } //if(Torque_Calc_Mode==1) ENDE
4059
4060 if(Torque_Calc_Mode==0) //2 Kragarme von der Uferzone weg
4061 {
4062     for(a=Support_Position-1;a>=0;a--) //Alle Punkte von Oben nach Unten zählen z.B.: max 19-1
4063     {
4064         for (cnt=0;cnt<Anzahl_Splines;cnt++)
4065         {
4066             Temp_Height=(2*Cantilever_Arm_1)/Formula_Divident_Arm_2;
4067             if(Res_Section_Torque[a]!=0) //Wenn keine Momente vorhanden sind dann gibt es keine Lasten und au
4068             {
4069                 Ideal_Beam_Heights[cnt][a]=((Temp_Height/Res_Section_Torque[0])*Res_Section_Torque[a])+Minim
4070             }
4071             else Ideal_Beam_Heights[cnt][a]=Minimal_Construction_Height;//oder Null
4072         }
4073     } //1. Arm Ende
4074     for (a=Support_Position;a<SplinePunkte-1;a++) //invertiert -> Alle Punkte von Unten nach Oben zählen z.
4075     {
4076         for (cnt=0;cnt<Anzahl_Splines;cnt++)
4077         {
4078             Temp_Height=(2*Cantilever_Arm_2)/Formula_Divident_Arm_2;
4079             if(Res_Section_Torque[a]!=0) //Wenn keine Momente vorhanden sind dann gibt es keine Lasten und auch keine Dicke (Höhe)
4080             {
4081                 Ideal_Beam_Heights[cnt][a]=((Temp_Height/Res_Section_Torque[SplinePunkte-1])*Res_Section_Torque[a])+Minimal_Construc
4082             }
4083             else Ideal_Beam_Heights[cnt][a]=Minimal_Construction_Height;//oder Null
4084         }
4085     } //2. Arm Ende
4086 } //if(Torque_Calc_Mode==0) ENDE
4087
4088 if(Torque_Calc_Mode==2) //2 Kragarme von der Uferzone weg
4089 {
4090     //Welches Moment ist am größten
4091     var Res_Section_Max_Torque=0.0;
4092     for(a=0;a<SplinePunkte-1;a++) //Alle Punkte von Oben nach Unten zählen z.B.: max 19-1
4093     {
4094         if(Res_Section_Torque[a]>Res_Section_Max_Torque) Res_Section_Max_Torque=Res_Section_Torque[a];
4095     }
4096     for(a=SplinePunkte-1;a>=0;a--) //Alle Punkte von Oben nach Unten zählen z.B.: max 19-1
4097     {
4098         for (cnt=0;cnt<Anzahl_Splines;cnt++)
4099         {
4100             Temp_Height=(Cantilever_Arm_1)/(Formula_Divident_Arm_1/0.6);
4101             if(Res_Section_Max_Torque!=0) //Wenn keine Momente vorhanden sind dann gibt es keine Lasten und auch keine Dicke (Höhe)
4102             {
4103                 Ideal_Beam_Heights[cnt][a]=((Temp_Height/Res_Section_Max_Torque)*Res_Section_Torque[a])+Minimal_Construction_Height
4104             }
4105             else Ideal_Beam_Heights[cnt][a]=Minimal_Construction_Height;//oder Null
4106         }
4107     } //1. Arm Ende
4108 } // if(Torque_Calc_Mode==2) ENDE
4109
4110 if(Faktor_1_Enable==True)
4111 {
4112     //-----
4113     //----FAKTOR 1 für Höhen/Breiten Verhältnis einrechnen; Ideal=H/B=2.5----
4114     //-----
4115     var temp_faktor;
4116     for (a=0;a<SplinePunkte;a++)
4117     {
4118         for (cnt=0;cnt<Anzahl_Splines;cnt++)
4119         {
4120             temp_faktor=1/Beam_Proportion_Faktor; //z.b= 0.4; Da Beam_Proportion_Faktor=2.5;
4121             Widerstandsmoment=((Ideal_Beam_Heights[cnt][a]*temp_faktor)*Ideal_Beam_Heights[cnt][a]*Ideal_Beam_Heights[cnt][a])/6; //I
4122             Breite angenommen (0.4*Höhe -> Idealträger) und ein ideales Widerstandsmoment berechnet
4123             temp_faktor=sqrt((6*Widerstandsmoment)/Ideal_Beam_Width[a]); //Nun wird die Formel für das Widerstandsmoment (Rechteck)
4124             Höhe zu errechnen. Die Sollhöhe wird jetzt errechnet indem die Gesamtbreite eingesetzt wird.
4125             Ideal_Beam_Heights[cnt][a]=temp_faktor*Minimal_Construction_Height; //Sollhöhe ist schließlich
4126         }
4127     }
4128     //println(a, " temp_faktor= ",temp_faktor);
4129     //println(a, " Faktor_1: ",Faktor_1);
4130 } //if(Beam_Proportion_Faktor!=0) ENDE
4131
4132 if(Faktor_2_Enable==True)
4133 {
4134     //-----
4135     //----FAKTOR 2 für Höhen/Breiten Verhältnis PLUS Formfaktor Höhe 1 zu Breite 0.4 = 100%
4136     //-----
4137     var AVERAGE_High;
4138     var Faktor_2;
4139     for (a=0;a<SplinePunkte;a++)
4140     {
4141         AVERAGE_High=0.0;
4142         for (cnt=0;cnt<Anzahl_Splines;cnt++)
4143         {
4144             AVERAGE_High=AVERAGE_High+Ideal_Beam_Heights[cnt][a]; //Sollhöhe ist schließlich
4145         }
4146         AVERAGE_High=AVERAGE_High/Anzahl_Splines;
4147         Faktor_2=(Ideal_Beam_Width[a]/AVERAGE_High); //der sollte 0.4 oder kleiner sein.
4148         Faktor_2=Faktor_2*Proportion_Value/Faktor_2;
4149         for (cnt=0;cnt<Anzahl_Splines;cnt++)
4150         {
4151             //Wenn Träger höher dann günstiger
4152             Ideal_Beam_Heights[cnt][a]=Faktor_2*Ideal_Beam_Heights[cnt][a];
4153             if(Ideal_Beam_Heights[cnt][a]<Minimal_Construction_Height) Ideal_Beam_Heights[cnt][a]=Minimal_Construction_Height;
4154         }
4155     }
4156 } // if(Faktor_2_Enable==True) ENDE
4157 if(Section_Shape_Model==0)
4158 {
4159     MAKE_PARABLE_KONTUR(Ideal_Beam_Heights); //Man bekommt am ende die Veränderten "Ideal_Beam_Heights[cnt][a]" zurück

```



```

4158 }
4159 //Volumshöhenpunkte zuweisen
4160 var Profil_Punkte=2*Anzahl_Splines;
4161 for (a=0;a<SplinesPunkte;a++)
4162 {
4163     for (cnt=0;cnt<Anzahl_Splines;cnt++)
4164     {
4165         BRIDGE_VOLUME_POINTS_ARRAY[cnt][a]=BRIDGE_POINTS_ARRAY[cnt][a];
4166         BRIDGE_VOLUME_POINTS_ARRAY[(Profil_Punkte-1)-cnt][a]=BRIDGE_POINTS_ARRAY[cnt][a];
4167         BRIDGE_VOLUME_POINTS_ARRAY[(Profil_Punkte-1)-cnt][a].y=BRIDGE_VOLUME_POINTS_ARRAY[(Profil_Punkte-1)-cnt][a].y;
4168         //println("HÖHEN->Ideal_Beam_Heights",cnt,"I","a",".");Ideal_Beam_Heights[cnt][a];
4169     }
4170 }
4171 //if(Torque_Curve_Calc==True) ENDE
4172 //-----
4173 //-----
4174 //TRÄGER ZEICHNEN
4175 var Structur_Folder_Name=("STRUCTURE_CALC"),STRUCTURE_NullObject;
4176 var Beam_Folder_Name=(toString(Beam_Number_Intern)+"_BEAM");
4177 var Beam_Folder_Object, Beam_Folder_Object_Name=(toString(Beam_Number_Intern)+"BEAM_Folder_SPA");
4178 //Haupt-Ordner erstellen //z.B.: 3_BEAM ->Beam_Folder_Name
4179 if(!doc->FindObject(Beam_Folder_Name))
4180 {
4181     STRUCTURE_NullObject=doc->FindObject(Structur_Folder_Name);
4182     Beam_Folder_Object=new(NullObject);
4183     Beam_Folder_Object->SetName(Beam_Folder_Name);
4184     doc->InsertObject(Beam_Folder_Object,STRUCTURE_NullObject,Null);
4185 }
4186 //Positiv_Volumen-Ordner erstellen //z.B.: 3_POSITIV_VOLUME
4187 var Positiv_Volume_Object;
4188 var Positiv_Volume_Object_Name=(toString(Beam_Number_Intern)+"_POSITIV_VOLUME");
4189 if(!doc->FindObject(Positiv_Volume_Object_Name))
4190 {
4191     Beam_Folder_Object=doc->FindObject(Beam_Folder_Name);
4192     Positiv_Volume_Object=new(LoftObject);
4193     Positiv_Volume_Object->SetName(Positiv_Volume_Object_Name);
4194     doc->InsertObject(Positiv_Volume_Object,Beam_Folder_Object,Null);
4195 }
4196
4197 //AUßENHÜLLE ZEICHEN
4198 var Beam_Kontur_Name;
4199 Positiv_Volume_Object=doc->FindObject(Positiv_Volume_Object_Name);
4200 for (a=0;a<SplinesPunkte;a++)
4201 {
4202     Beam_Kontur_Name=(toString(Beam_Number_Intern)+"_BEAMKONTUR_"+toString(a));
4203     MAKE_3RD_BEAM_PROFILE(a,Ideal_Beam_Heights,Beam_Kontur_Name,Positiv_Volume_Object);
4204 }
4205 //NegativVolumen-Ordner erstellen
4206 var Negativ_Volume_Object,Negativ_Volume_Object_Name=(toString(Beam_Number_Intern)+"_NEGATIV_VOL");
4207 if(!doc->FindObject(Negativ_Volume_Object_Name))
4208 {
4209     Beam_Folder_Object=doc->FindObject(Beam_Folder_Name);
4210     Negativ_Volume_Object=new(NullObject);
4211     Negativ_Volume_Object->SetName(Negativ_Volume_Object_Name);
4212     doc->InsertObject(Negativ_Volume_Object,Beam_Folder_Object,Null);
4213 }
4214 //Profiltyp definieren
4215 var TYP_Front,TYP_Back;
4216 var S0P0,S0P0_H,S1P0_H,S1P0; //4 Eckpunkte
4217 var X_DEG,Y_DEG,Z_DEG;
4218 var Dist_S0P0S1P0,Dist_S1P0S1P0_H,Dist_S1P0_HS0P0_H,Dist_S0P0_HS0P0;
4219 var Temp_Point_1=vector(0,0,0),Temp_Point_2=vector(0,0,0),Temp_Point_3=vector(0,0,0),Temp_Point_4=vector(0,0,0);
4220 var Left_M_Point,Right_M_Point,Profil_Name;
4221 var Temp_Distance,Temp_Point=vector(0,0,0);
4222 for (cnt=0;cnt<Anzahl_Splines-1;cnt++)
4223 {
4224     //LOFTOBJEKTORDNER ERSTELLEN;
4225     var Negativ_Tube_Object_1,Negativ_Tube_Object_1_Name=("Beam_"+toString(Beam_Number_Intern)+"_1");
4226     if(!doc->FindObject(Negativ_Tube_Object_1_Name))
4227     {
4228         Negativ_Volume_Object=doc->FindObject(Negativ_Volume_Object_Name);
4229         Negativ_Tube_Object_1=new(LoftObject);
4230         Negativ_Tube_Object_1->SetName(Negativ_Tube_Object_1_Name);
4231         doc->InsertObject(Negativ_Tube_Object_1,Negativ_Volume_Object,Null);
4232     }
4233     var Negativ_Tube_Object_2,Negativ_Tube_Object_2_Name=("Beam_"+toString(Beam_Number_Intern)+"_2");
4234     if(!doc->FindObject(Negativ_Tube_Object_2_Name))
4235     {
4236         Negativ_Volume_Object=doc->FindObject(Negativ_Volume_Object_Name);
4237         Negativ_Tube_Object_2=new(LoftObject);
4238         Negativ_Tube_Object_2->SetName(Negativ_Tube_Object_2_Name);
4239         doc->InsertObject(Negativ_Tube_Object_2,Negativ_Volume_Object,Null);
4240     }
4241     Negativ_Volume_Object=doc->FindObject(Negativ_Volume_Object_Name);
4242
4243     for (a=0;a<SplinesPunkte;a++)
4244     {
4245         TYP_Front=PROFILETYPE[cnt][a];
4246         //println("TYP_Front:",cnt,"I","a",".");TYP_Front="TYP_Front";
4247         if(TYP_Front==1) //Vollprofil
4248         {
4249             OG_Height=0.49999;
4250             UG_Height=0.49999;
4251             Left_Width=0.49999;
4252             Right_Width=0.49999;
4253         }
4254         if(TYP_Front==2) //C-Profil
4255         {
4256             OG_Height=OG_Height_Percent;
4257             UG_Height=UG_Height_Percent;
4258             Left_Width=Left_Width_Percent;
4259             Right_Width=0.0;
4260         }
4261         if(TYP_Front==3) //Nur Ober und Untergurt-Profil
4262         {
4263             OG_Height=OG_Height_Percent;
4264             UG_Height=UG_Height_Percent;
4265             Left_Width=0.0;
4266             Right_Width=0.0;
4267         }
4268         if(TYP_Front==4) //verkehrtes C-Profil
4269         {
4270             OG_Height=OG_Height_Percent;
4271             UG_Height=UG_Height_Percent;
4272             Left_Width=0.0;
4273             Right_Width=Right_Width_Percent;
4274         }
4275         if(TYP_Front==5) //Rechteckiges Hohlprofil
4276         {
4277             OG_Height=OG_Height_Percent;
4278             UG_Height=UG_Height_Percent;
4279             Left_Width=Left_Width_Percent/1.5;
4280             Right_Width=Right_Width_Percent/1.5;
4281         }
4282         S0P0=BRIDGE_VOLUME_POINTS_ARRAY[cnt][a];
4283         S1P0=BRIDGE_VOLUME_POINTS_ARRAY[cnt+1][a];
4284         S0P0_H=BRIDGE_VOLUME_POINTS_ARRAY[(Anzahl_Splines*2-1)-cnt][a];
4285         S1P0_H=BRIDGE_VOLUME_POINTS_ARRAY[(Anzahl_Splines*2-1)-cnt+1][a];
4286         XYZ_Dist_2_Points_Calc(S0P0,S1P0);
4287         Dist_S0P0S1P0=Dist_current_Points;
4288         XYZ_Dist_2_Points_Calc(S1P0,S1P0_H);
4289         Dist_S1P0S1P0_H=Dist_current_Points;
4290         XYZ_Dist_2_Points_Calc(S1P0_H,S0P0_H);
4291         Dist_S1P0_HS0P0_H=Dist_current_Points;
4292         XYZ_Dist_2_Points_Calc(S0P0_H,S0P0);
4293         Dist_S0P0_HS0P0=Dist_current_Points;
4294         //PunktLinksOben
4295         X_DEG=S0P0.x-S1P0.x;
4296         Y_DEG=S0P0.y-S1P0.y;
4297         Z_DEG=S0P0.z-S1P0.z;
4298         Temp_Point_1=S0P0;
4299         Temp_Point_1.x=S0P0.x-(X_DEG/Dist_S0P0S1P0)*(Dist_S0P0S1P0*Left_Width);
4300         Temp_Point_1.y=S0P0.y-(Y_DEG/Dist_S0P0S1P0)*(Dist_S0P0S1P0*Left_Width);
4301         Temp_Point_1.z=S0P0.z-(Z_DEG/Dist_S0P0S1P0)*(Dist_S0P0S1P0*Left_Width);
4302         Temp_Point=Temp_Point_1;
4303         X_DEG=S0P0.x-S0P0_H.x;
4304         Y_DEG=S0P0.y-S0P0_H.y;
4305         Z_DEG=S0P0.z-S0P0_H.z;
4306         Temp_Point_1.x=S0P0.x-(X_DEG/Dist_S0P0_HS0P0)*(Dist_S0P0_HS0P0*OG_Height);
4307         Temp_Point_1.y=S0P0.y-(Y_DEG/Dist_S0P0_HS0P0)*(Dist_S0P0_HS0P0*OG_Height);
4308         Temp_Point_1.z=S0P0.z-(Z_DEG/Dist_S0P0_HS0P0)*(Dist_S0P0_HS0P0*OG_Height);
4309         XYZ_Dist_2_Points_Calc(Temp_Point,Temp_Point_1);
4310         Temp_Distance=abs(Dist_current_Points);
4311         if(Temp_Distance<=Obergurt_Mindesthoehe)
4312         {
4313             Temp_Point_1.y=Temp_Point.y-Obergurt_Mindesthoehe;
4314         }
4315         //PunktRechtsOben
4316         X_DEG=S1P0.x-S0P0.x;
4317         Y_DEG=S1P0.y-S0P0.y;
4318         Z_DEG=S1P0.z-S0P0.z;
4319         Temp_Point_2=S1P0;
4320         Temp_Point_2.x=S1P0.x-(X_DEG/Dist_S0P0S1P0)*(Dist_S0P0S1P0*Right_Width);
4321         Temp_Point_2.y=S1P0.y-(Y_DEG/Dist_S0P0S1P0)*(Dist_S0P0S1P0*Right_Width);
4322         Temp_Point_2.z=S1P0.z-(Z_DEG/Dist_S0P0S1P0)*(Dist_S0P0S1P0*Right_Width);
4323         Temp_Point=Temp_Point_2;
4324         X_DEG=S1P0.x-S1P0_H.x;
4325         Y_DEG=S1P0.y-S1P0_H.y;

```

```

4326 Z_DEG=S1P0.z-S1P0.H.z;
4327 Temp_Point_2.x=Temp_Point_2.x-((X_DEG/Dist_S1P0S1P0_H)*(Dist_S1P0S1P0_H*OG_Height));
4328 Temp_Point_2.y=Temp_Point_2.y-((Y_DEG/Dist_S1P0S1P0_H)*(Dist_S1P0S1P0_H*OG_Height));
4329 Temp_Point_2.z=Temp_Point_2.z-((Z_DEG/Dist_S1P0S1P0_H)*(Dist_S1P0S1P0_H*OG_Height));
4330 XYZ_Dist_2_Points_Calc(Temp_Point,Temp_Point_2);
4331 Temp_Distance=abs(Dist_current_Points);
4332 if(Temp_Distance<=Obergurt_Mindesthoehe)
4333 {
4334     Temp_Point_2.y=Temp_Point.y-Obergurt_Mindesthoehe;
4335 }
4336 //PunktRechtsUnten
4337 X_DEG=S1P0.H.x-S0P0.H.x;
4338 Y_DEG=S1P0.H.y-S0P0.H.y;
4339 Z_DEG=S1P0.H.z-S0P0.H.z;
4340 Temp_Point_3=S1P0.H;
4341 Temp_Point_3.x=S1P0.H.x-((X_DEG/Dist_S1P0_HS0P0_H)*(Dist_S1P0_HS0P0_H*Right_Width));
4342 Temp_Point_3.y=S1P0.H.y-((Y_DEG/Dist_S1P0_HS0P0_H)*(Dist_S1P0_HS0P0_H*Right_Width));
4343 Temp_Point_3.z=S1P0.H.z-((Z_DEG/Dist_S1P0_HS0P0_H)*(Dist_S1P0_HS0P0_H*Right_Width));
4344 Temp_Point=Temp_Point_3;
4345
4346 X_DEG=S1P0.H.x-S1P0.x;
4347 Y_DEG=S1P0.H.y-S1P0.y;
4348 Z_DEG=S1P0.H.z-S1P0.z;
4349 Temp_Point_3.x=Temp_Point_3.x-((X_DEG/Dist_S1P0S1P0_H)*(Dist_S1P0S1P0_H*UG_Height));
4350 Temp_Point_3.y=Temp_Point_3.y-((Y_DEG/Dist_S1P0S1P0_H)*(Dist_S1P0S1P0_H*UG_Height));
4351 Temp_Point_3.z=Temp_Point_3.z-((Z_DEG/Dist_S1P0S1P0_H)*(Dist_S1P0S1P0_H*UG_Height));
4352 XYZ_Dist_2_Points_Calc(Temp_Point,Temp_Point_3);
4353 Temp_Distance=abs(Dist_current_Points);
4354 if(Temp_Distance<=Untergurt_Mindesthoehe)
4355 {
4356     Temp_Point_3.y=Temp_Point.y+Untergurt_Mindesthoehe;
4357 }
4358 //PunktLinksUnten
4359 X_DEG=S0P0.H.x-S1P0.H.x;
4360 Y_DEG=S0P0.H.y-S1P0.H.y;
4361 Z_DEG=S0P0.H.z-S1P0.H.z;
4362 Temp_Point_4=S0P0.H;
4363 Temp_Point_4.x=S0P0.H.x-((X_DEG/Dist_S1P0_HS0P0_H)*(Dist_S1P0_HS0P0_H*Left_Width));
4364 Temp_Point_4.y=S0P0.H.y-((Y_DEG/Dist_S1P0_HS0P0_H)*(Dist_S1P0_HS0P0_H*Left_Width));
4365 Temp_Point_4.z=S0P0.H.z-((Z_DEG/Dist_S1P0_HS0P0_H)*(Dist_S1P0_HS0P0_H*Left_Width));
4366 Temp_Point=Temp_Point_4;
4367 X_DEG=S0P0.H.x-S0P0.x;
4368 Y_DEG=S0P0.H.y-S0P0.y;
4369 Z_DEG=S0P0.H.z-S0P0.z;
4370 Temp_Point_4.x=Temp_Point_4.x-((X_DEG/Dist_S0P0_HS0P0)*(Dist_S0P0_HS0P0*UG_Height));
4371 Temp_Point_4.y=Temp_Point_4.y-((Y_DEG/Dist_S0P0_HS0P0)*(Dist_S0P0_HS0P0*UG_Height));
4372 Temp_Point_4.z=Temp_Point_4.z-((Z_DEG/Dist_S0P0_HS0P0)*(Dist_S0P0_HS0P0*UG_Height));
4373 XYZ_Dist_2_Points_Calc(Temp_Point,Temp_Point_4);
4374 Temp_Distance=abs(Dist_current_Points);
4375 if(Temp_Distance<=Untergurt_Mindesthoehe)
4376 {
4377     Temp_Point_4.y=Temp_Point.y+Untergurt_Mindesthoehe;
4378 }
4379 //Punkte zuweisen
4380 S0P0=Temp_Point_1;
4381 S1P0=Temp_Point_2;
4382 S1P0_H=Temp_Point_3;
4383 S0P0_H=Temp_Point_4;
4384 if(abs(Temp_Point_1.y-Temp_Point_4.y)<=(Minimal_Construction_Height))
4385 {
4386     S0P0=(Temp_Point_1+Temp_Point_4)/2;
4387     S0P0_H=(Temp_Point_1+Temp_Point_4)/2;
4388     S0P0.H.y=S0P0.H.y-0.0001;
4389 }
4390 if(abs(Temp_Point_2.y-Temp_Point_3.y)<=(Minimal_Construction_Height))
4391 {
4392     S1P0=(Temp_Point_2+Temp_Point_3)/2;
4393     S1P0_H=(Temp_Point_2+Temp_Point_3)/2;
4394     S1P0.H.y=S1P0.H.y-0.0001;
4395 }
4396 //2 RECHTECKE für Innenvolumen zeichnen
4397 //Oberes Rechteck
4398 Left_M_Point=(S0P0+S0P0_H)/2;
4399 Right_M_Point=(S1P0+S1P0_H)/2;
4400 /*
4401 println("I",cnt,"I",a,"ISOPO:",S0P0);
4402 println("I",cnt,"I",a,"S1P0:",S1P0);
4403 println("I",cnt,"I",a,"Right_M_Poin:",Right_M_Point);
4404 println("I",cnt,"I",a,"Left_M_Point:",Left_M_Point);
4405 println("I",cnt,"I",a,"S1P0_H:",S1P0_H);
4406 println("I",cnt,"I",a,"ISOPO_H:",S0P0_H);
4407 */
4408 if(TYP_Front==1)
4409 {

```

```

4410     S0P0=Left_M_Point;
4411     S0P0.y=S0P0.y+0.0001;
4412     S1P0=Left_M_Point;
4413     S1P0.y=S1P0.y+0.0001;
4414     S1P0_H=Left_M_Point;
4415     S1P0.H.y=S1P0.H.y-0.0001;
4416     S0P0_H=Left_M_Point;
4417     S0P0.H.y=S0P0.H.y+0.0001;
4418 }
4419
4420 Profil_Name=("Beam_"+tostring(Beam_Number_Intern)+"_"+I+(tostring(cnt))+I+(tostring(a))+I UPPER_NEGATIV_RECT");
4421 Negativ_Tube_Object_1=doc->FindObject(Negativ_Tube_Object_1_Name);
4422 MAKE_4_POINT_RECTANGLE(S0P0,S1P0,Right_M_Point,Left_M_Point,Profil_Name,Negativ_Tube_Object_1);
4423 //Unteres Rechteck zeichnen
4424 Profil_Name=("Beam_"+tostring(Beam_Number_Intern)+"_"+I+(tostring(cnt))+I+(tostring(a))+I LOWER_NEGATIV_RECT");
4425 Negativ_Tube_Object_2=doc->FindObject(Negativ_Tube_Object_2_Name);
4426 MAKE_4_POINT_RECTANGLE(Left_M_Point,Right_M_Point,S1P0_H,S0P0_H,Profil_Name,Negativ_Tube_Object_2);
4427 }
4428 }
4429 }
4430
4431 //Dreiecksfläche berechnen
4432 Triangle_Area(A_Point,B_Point,C_Point)
4433 {
4434     /*
4435     println(" ");
4436     println("Dreiecksfläche berechnen");
4437     println(" ");
4438     */
4439     var AC_Diagonale_Lenght,AB_Lenght,BC_Lenght;
4440     var Half_Outline;
4441     var Plane_Triangle1;
4442     XYZ_Dist_2_Points_Calc(A_Point,C_Point);
4443     AC_Diagonale_Lenght=Dist_current_Points;
4444     XYZ_Dist_2_Points_Calc(A_Point,B_Point);
4445     AB_Lenght=Dist_current_Points;
4446     XYZ_Dist_2_Points_Calc(B_Point,C_Point);
4447     BC_Lenght=Dist_current_Points;
4448     /*
4449     println("AC_Diagonale_Lenght: "+AC_Diagonale_Lenght);
4450     println("AB_Diagonale_Lenght: "+AB_Lenght);
4451     println("BC_Diagonale_Lenght: "+BC_Lenght);
4452     println("CD_Diagonale_Lenght: "+CD_Lenght);
4453     println("DA_Diagonale_Lenght: "+DA_Lenght);
4454     */
4455     //Dreieck 1
4456     Half_Outline=(AB_Lenght+BC_Lenght+AC_Diagonale_Lenght)/2;
4457     Plane_Triangle1=sqrt(Half_Outline*(Half_Outline-AB_Lenght)*(Half_Outline-BC_Lenght)*(Half_Outline-AC_Diagonale_Lenght));
4458     Triangle_Area_Value=Plane_Triangle1;
4459     Triangle_Area_Balance_Point=vector(0,0,0);
4460     Triangle_Area_Balance_Point=(A_Point+B_Point+C_Point)/3;
4461     return Triangle_Area_Value,Triangle_Area_Balance_Point;
4462 }
4463
4464 //Rechtecksfläche berechnen
4465 Rectangle_Area(A_Point,B_Point,C_Point,D_Point)
4466 {
4467     /*
4468     println(" ");
4469     println("Rechtecksfläche berechnen");
4470     println(" ");
4471     */
4472     var AC_Diagonale_Lenght,AB_Lenght,BC_Lenght,CD_Lenght,DA_Lenght;
4473     var Half_Outline;
4474     var Plane_Triangle1,Plane_Triangle2;
4475     XYZ_Dist_2_Points_Calc(A_Point,B_Point);
4476     AB_Lenght=Dist_current_Points;
4477     XYZ_Dist_2_Points_Calc(B_Point,C_Point);
4478     BC_Lenght=Dist_current_Points;
4479     XYZ_Dist_2_Points_Calc(C_Point,D_Point);
4480     CD_Lenght=Dist_current_Points;
4481     XYZ_Dist_2_Points_Calc(D_Point,A_Point);
4482     DA_Lenght=Dist_current_Points;
4483     XYZ_Dist_2_Points_Calc(A_Point,C_Point);
4484     AC_Diagonale_Lenght=Dist_current_Points;
4485     /*
4486     println("AC_Diagonale_Lenght: "+AC_Diagonale_Lenght);
4487     println("AB_Diagonale_Lenght: "+AB_Lenght);
4488     println("BC_Diagonale_Lenght: "+BC_Lenght);
4489     println("CD_Diagonale_Lenght: "+CD_Lenght);
4490     println("DA_Diagonale_Lenght: "+DA_Lenght);
4491     */
4492     //Dreieck 1
4493     Half_Outline=(AB_Lenght+BC_Lenght+AC_Diagonale_Lenght)/2;

```

```

4494 Plane_Triangle1=sqrt(Half_Outline*(Half_Outline-AB_Length)*(Half_Outline-BC_Length)*(Half_Outline-AC_Di
4495 //Dreieck 2
4496 Half_Outline=(AC_Diagonale_Length+CD_Length+DA_Length)/2;
4497 Plane_Triangle2=sqrt(Half_Outline*(Half_Outline-AC_Diagonale_Length)*(Half_Outline-CD_Length)*(Half_Or
4498 Pyramind_Base_Area=abs(Plane_Triangle1)+abs(Plane_Triangle2));//Eigentlich kann das Ergebnis nur Positiv
4499 Rectangle_Area_Value=Pyramind_Base_Area;
4500 Rectangle_Area_Balance_Point=vector(0,0,0);
4501 Rectangle_Area_Balance_Point=(A_Point+B_Point+C_Point+D_Point)/4;
4502 return Pyramind_Base_Area,Rectangle_Area_Value,Rectangle_Area_Balance_Point;
4503 }
4504
4505 //Berechnung der Einzel_Volumen und des Gesamten für
4506 CUBE_VOLUMES_BALCANCE_POINTS_CALC(P1,P2,P3,P4,P5,P6,P7,P8,cnt,a)
4507 {
4508     var i;
4509     var Part_1_Volume,Part_2_Volume,Spat_Volume,Cube_Volume;
4510     var Vector_SA,Vector_SB,Vector_SC,Vector_SD;
4511     var Cube_Volume_Balance_Point_Groundplane=vector(0,0,0);
4512     var Point_A,Point_B,Point_C,Point_D;
4513     var Temp_Balance_Point,Temp_Height, Balance_Point_1=vector(0,0,0),Balance_Point_2=vector(0,0,0),Pyrar
4514     var X_Degree,Y_Degree,Z_Degree;
4515     var Sum_Pyramid_Balance_Point=new(array,6);
4516     var Pyramid_Volume=new(array,6);
4517     Cube_Volume_Balance_Point=(P1+P2+P3+P4+P5+P6+P7+P8)/8;
4518     //6 Pyramidenvolumen berechnen
4519     //P1,P2,P3,P4,P5,P6,P7,P8 = S0P0,S1P0,S0P1,S1P1,S0P0_H,S1P0_H,S0P1_H,S1P1_H
4520     //1. Pyramide berechnen (P1,P2,P6,P5,Cube_Volume_Balance_Point)
4521     //2. Pyramide berechnen (P3,P7,P8,P4,Cube_Volume_Balance_Point)
4522     //3. Pyramide berechnen (P5,P6,P8,P7,Cube_Volume_Balance_Point)
4523     //4. Pyramide berechnen (P1,P3,P4,P2,Cube_Volume_Balance_Point)
4524     //5. Pyramide berechnen (P1,P5,P7,P3,Cube_Volume_Balance_Point)
4525     //6. Pyramide berechnen (P2,P4,P8,P6,Cube_Volume_Balance_Point)
4526     //-----
4527     Single_Cube_Volume=0;
4528     for(i=1;(i<=6);i++)
4529     {
4530         //println(" ");
4531         //println(i, " Pyramide |",cnt,"|",a,"| ");
4532         //println("BERECHNE PYRAMIDE ",i);
4533         if(i==1)Point_A=P1,Point_B=P2,Point_C=P6,Point_D=P5;//Vorderseite als Pyramidengrundfläche //Funktioni
4534         vorhanden...(Rechterwinkel von Schwerpunkt auf Line AB und AD.)
4535         if(i==2)Point_A=P4,Point_B=P3,Point_C=P7,Point_D=P8;//Rückseite als Pyramidengrundfläche
4536         if(i==3)Point_A=P7,Point_B=P5,Point_C=P6,Point_D=P8;//Unterseite als Pyramidengrundfläche//Funktionie
4537         weil mit rechtwinkligem anstatt eines schiefwinkligen dreicks gerchnet wird.
4538         if(i==4)Point_A=P1,Point_B=P3,Point_C=P4,Point_D=P2;//Oberseite als Pyramidengrundfläche//Funktionier
4539         if(i==5)Point_A=P3,Point_B=P1,Point_C=P5,Point_D=P7;//Linkeseite als Pyramidengrundfläche//
4540         if(i==6)Point_A=P2,Point_B=P6,Point_C=P8,Point_D=P4;//Rechteseite als Pyramidengrundfläche//
4541         /*
4542         println("Point_A: ",Point_A);
4543         println("Point_B: ",Point_B);
4544         println("Point_C: ",Point_C);
4545         println("Point_D: ",Point_D);
4546         println("Spitze: ",Cube_Volume_Balance_Point);
4547         */
4548         //Diese Pyramide wird weiter in 2 Pyramiden Unterteilt
4549         //1. Teilpyramide
4550         //Es werden die Vektoren berechnet die Pyramide Beschreiben. -> Richtung und Betrag -> Alle 3 Vektoren n
4551         Vector_SA=Point_A-Cube_Volume_Balance_Point;
4552         Vector_SB=Point_B-Cube_Volume_Balance_Point;
4553         Vector_SC=Point_C-Cube_Volume_Balance_Point;
4554         //println("Vector_SA: ", Vector_SA);
4555         //println("Vector_SB: ", Vector_SB);
4556         //println("Vector_SC: ", Vector_SC);
4557         //Spat_Volume= Kreuzprodukt aus 2 Verkoren * dem 3. Vektor und das ganze durch 6
4558         //ALT
4559         //Spat_Volume=Vector_SC.x*Vector_SA.y*Vector_SB.z-Vector_SC.x*Vector_SA.z*Vector_SB.y+Vector_SC.y*
4560         or_SB.z+Vector_SC.z*Vector_SA.x*Vector_SB.y-Vector_SC.z*Vector_SA.y*Vector_SB.x;
4561         var KreuzproduktSASB=vector(0,0,0);
4562         var Kreuzprodukt_X,Kreuzprodukt_Y,Kreuzprodukt_Z;
4563         Kreuzprodukt_X=Vector_SA.y*Vector_SB.z-Vector_SA.z*Vector_SB.y;
4564         Kreuzprodukt_Y=Vector_SA.z*Vector_SB.x-Vector_SA.x*Vector_SB.z;
4565         Kreuzprodukt_Z=Vector_SA.x*Vector_SB.y-Vector_SA.y*Vector_SB.x;
4566         KreuzproduktSASB.x=Kreuzprodukt_X;
4567         KreuzproduktSASB.y=Kreuzprodukt_Y;
4568         KreuzproduktSASB.z=Kreuzprodukt_Z;
4569         //Scalarprodukt mit 3.Punkt; durch 6
4570         Spat_Volume=abs((KreuzproduktSASB.x*Vector_SC.x+KreuzproduktSASB.y*Vector_SC.y+KreuzproduktSASB
4571         Part_1_Volume=Spat_Volume;
4572         //ALT Part_1_Volume=abs(Spat_Volume/6);
4573         //println(" 1. Teilvervolumen: ", Part_1_Volume);
4574         //1. Teilschwerpunkt berechnen.
4575         Temp_Balance_Point=(Point_A+Point_B+Point_C)/3; //Summe der Grundflächenpunkte/deren Anzahl
4576         XYZ_Dist_2_Points_Calc(Temp_Balance_Point,Cube_Volume_Balance_Point);
4577         Temp_Height=Dist_currentPoints;
4578         X_Degree=(Temp_Balance_Point.x-Cube_Volume_Balance_Point.x)/Temp_Height;
4579         Y_Degree=(Temp_Balance_Point.y-Cube_Volume_Balance_Point.y)/Temp_Height;
4580         Z_Degree=(Temp_Balance_Point.z-Cube_Volume_Balance_Point.z)/Temp_Height;
4581         Balance_Point_1.x=Temp_Balance_Point.x+X_Degree*(Temp_Height/3);
4582         Balance_Point_1.y=Temp_Balance_Point.y+Y_Degree*(Temp_Height/3);
4583         Balance_Point_1.z=Temp_Balance_Point.z+Z_Degree*(Temp_Height/3);
4584         //2. Teilpyramide
4585         Vector_SA=Point_A-Cube_Volume_Balance_Point;
4586         Vector_SC=Point_C-Cube_Volume_Balance_Point;
4587         Vector_SD=Point_D-Cube_Volume_Balance_Point;
4588         //println("Vector_SA: ", Vector_SA);
4589         //println("Vector_SC: ", Vector_SC);
4590         //println("Vector_SD: ", Vector_SD);
4591         //ALTSpat_Volume=Vector_SC.x*Vector_SA.y*Vector_SB.z-Vector_SC.x*Vector_SA.z*Vector_SB.y+Vector_SC.y*Vec
4592         //t*Vector_SA.x*Vector_SB.z+Vector_SC.z*Vector_SA.x*Vector_SB.y-Vector_SC.z*Vector_SA.y*Vector_SB.x;
4593         //ALTPart_2_Volume=abs(Spat_Volume/6);
4594         //println(" 2. Teilvervolumen: ", Part_2_Volume);
4595         var KreuzproduktSASC=vector(0,0,0);
4596         var Kreuzprodukt_X,Kreuzprodukt_Y,Kreuzprodukt_Z;
4597         Kreuzprodukt_X=Vector_SA.y*Vector_SC.z-Vector_SA.z*Vector_SC.y;
4598         Kreuzprodukt_Y=Vector_SA.z*Vector_SC.x-Vector_SA.x*Vector_SC.z;
4599         Kreuzprodukt_Z=Vector_SA.x*Vector_SC.y-Vector_SA.y*Vector_SC.x;
4600         KreuzproduktSASC.x=Kreuzprodukt_X;
4601         KreuzproduktSASC.y=Kreuzprodukt_Y;
4602         KreuzproduktSASC.z=Kreuzprodukt_Z;
4603         //Scalarprodukt mit 3.Punkt; durch 6
4604         Spat_Volume=abs((KreuzproduktSASC.x*Vector_SD.x+KreuzproduktSASC.y*Vector_SD.y+KreuzproduktSASC.z*Vecto
4605         Part_2_Volume=Spat_Volume;
4606         //2. Teilschwerpunkt berechnen.
4607         Temp_Balance_Point=(Point_A+Point_C+Point_D)/3; //Summe der Grundflächenpunkte/deren Anzahl
4608         XYZ_Dist_2_Points_Calc(Temp_Balance_Point,Cube_Volume_Balance_Point);
4609         Temp_Height=Dist_currentPoints;
4610         X_Degree=(Temp_Balance_Point.x-Cube_Volume_Balance_Point.x)/Temp_Height;
4611         Y_Degree=(Temp_Balance_Point.y-Cube_Volume_Balance_Point.y)/Temp_Height;
4612         Z_Degree=(Temp_Balance_Point.z-Cube_Volume_Balance_Point.z)/Temp_Height;
4613         Balance_Point_2.x=Temp_Balance_Point.x+X_Degree*(Temp_Height/3);
4614         Balance_Point_2.y=Temp_Balance_Point.y+Y_Degree*(Temp_Height/3);
4615         Balance_Point_2.z=Temp_Balance_Point.z+Z_Degree*(Temp_Height/3);
4616         Pyramid_Volume[i-1]=Part_1_Volume+Part_2_Volume;
4617         //println(i, " Pyramide_Volumen: ", Pyramid_Volume[i-1]);
4618         if(Pyramid_Volume[i-1]!=0)
4619         {
4620             Pyramid_Balance_Point=(Part_1_Volume*Balance_Point_1+Part_2_Volume*Balance_Point_2)/Pyramid_Volume[i-1];
4621         }
4622         else
4623         {
4624             Pyramid_Balance_Point==(P1+P2+P3+P4+P5+P6+P7+P8)/8;
4625         }
4626         Sum_Pyramid_Balance_Point[i-1]=Pyramid_Balance_Point;
4627         Single_Cube_Volume= Single_Cube_Volume+Pyramid_Volume[i-1];
4628     }
4629     //println("in unterprogramm Single_Cubes_Volumen: ", Single_Cube_Volume);
4630     if(Single_Cube_Volume!=0)
4631     {
4632         Cube_Volume_Balance_Point=((Sum_Pyramid_Balance_Point[0]*Pyramid_Volume[0])+((Sum_Pyramid_Balance_Point[1]
4633         Sum_Pyramid_Balance_Point[2]
4634         *Pyramid_Volume[2])+((Sum_Pyramid_Balance_Point[3]*Pyramid_Volume[3])+((Sum_Pyramid_Balance_Point[4]*Pyrar
4635         [5]
4636         *Pyramid_Volume[5])))/Single_Cube_Volume;
4637         //println("Cube_Volume_Balance_Point= ",Cube_Volume_Balance_Point);
4638     }
4639     else Cube_Volume_Balance_Point=(P1+P2+P3+P4+P5+P6+P7+P8)/8;
4640     return Single_Cube_Volume,Cube_Volume_Balance_Point;
4641 }
4642
4643 //Berechnung der Einzel_Volumen und des Gesamten für
4644 BRIDGE_VOLUME_CALC()
4645 {
4646     println(" ");
4647     println("BRÜCKEN VOLUMSBERECHNUNG");
4648
4649     var c,cnt,a;
4650     var Positiv_Cubes_Volume, Positiv_Entire_Volume,Positiv_Cubes_Balance_Point;
4651     var Negativ_Cubes_Volume, Negativ_Entire_Volume,Negativ_Cubes_Balance_Point;
4652     var Positiv_Cubes_Balance_Point,Negativ_Cubes_Balance_Point;
4653     var S0P0,S0P0_H,S1P0_H,S1P0,S0P1,S0P1_H,S1P1_H,S1P1; //8 Volumspunkte
4654     var TYP_Front,TYP_Back;
4655     var Temp_Point_1,Temp_Point_2,Temp_Point_3,Temp_Point_4;
4656     var X_DEG,Y_DEG,Z_DEG;
4657     var Temp_Point,Temp_Distance;
4658     var Profil_Point_Num=2*AnzahlSplines;
4659     var DownPointCNT;
4660     Positiv_Cubes_Volume=new(array,AnzahlSplines-1,SplinePunkte-1);
4661     Negativ_Cubes_Volume=new(array,AnzahlSplines-1,SplinePunkte-1);

```



```

4656 Positiv_Cubes_Balance_Point=new(array,AnzahlSplines-1,SplinePunkte-1);
4657 Negativ_Cubes_Balance_Point=new(array,AnzahlSplines-1,SplinePunkte-1);
4658 Sum_Cubes_Balance_Points=new(array,AnzahlSplines-1,SplinePunkte-1);
4659 Sum_of_Pyramides_Volumes=new(array,AnzahlSplines-1,SplinePunkte-1);
4660 //Es sollten die einzelschwerpunkte und der Gesamtschwerpunkt (Eigengewicht) berechnet werden
4661 //so wie auch Einzel- und Gesamtvolumen
4662 Positiv_Entire_Volume=0.0;
4663 Negativ_Entire_Volume=0.0;
4664 Entire_Structure_Volume=0.0;
4665 //Alle Cubus bildenden Punkte und Profile abtasten
4666 for (a=0;a<SplinesPunkte-1;a++)
4667 {
4668     for (cnt=0;cnt<AnzahlSplines-1;cnt++)
4669     {
4670         //Außenvolumen (Positivvolumen) eines Elements berechnen
4671         //Volume Pointsabfragen...dazu muss man den aktuellenstand abfragen.
4672         SOPO=BRIDGE_VOLUME_POINTS_ARRAY[cnt][a];
4673         SIPO=BRIDGE_VOLUME_POINTS_ARRAY[cnt+1][a];
4674         SOPI=BRIDGE_VOLUME_POINTS_ARRAY[cnt][a+1];
4675         SIPI=BRIDGE_VOLUME_POINTS_ARRAY[cnt+1][a+1];
4676         DownPointCNT=(Profil_Point_Num-1)-cnt;
4677         SOPO_H=BRIDGE_VOLUME_POINTS_ARRAY[DownPointCNT][a];
4678         SIPO_H=BRIDGE_VOLUME_POINTS_ARRAY[DownPointCNT-1][a];
4679         SOPI_H=BRIDGE_VOLUME_POINTS_ARRAY[DownPointCNT][a+1];
4680         SIPI_H=BRIDGE_VOLUME_POINTS_ARRAY[DownPointCNT-1][a+1];
4681         CUBE_VOLUMES_BALCANCE_POINTS_CALC(SOPO,SIPO,SOPI,SIPI,SOPO_H,SIPO_H,SOPI_H,SIPI_H,c
4682         Positiv_Cubes_Balance_Point[cnt][a]=Cube_Volume_Balance_Point;
4683         Positiv_Cubes_Volume[cnt][a]=Single_Cube_Volume;
4684         //println("Hauptprogramm: Single_Cube_Volumen: ",Single_Cube_Volume);
4685         Positiv_Entire_Volume=Positiv_Entire_Volume+ Positiv_Cubes_Volume[cnt][a];
4686
4687         //Innenvolumen (Negativvolumen) eines Elements berechnen
4688         //Berechnungstyp übergeben (Typ_1=0;Typ_1=1;Typ_2=2;Typ_3=3;)
4689
4690         TYP_Front=PROFILERTYPE[cnt][a];
4691         TYP_Back =PROFILERTYPE[cnt][a+1];
4692         //println("TYP_Front: ",TYP_Front);
4693         //println("TYP_Back: ",TYP_Back);
4694         if(TYP_Front==1) //Voll-Profil
4695         {
4696             OG_Height=0.5;
4697             UG_Height=0.5;
4698             Left_Width=0.5;
4699             Right_Width=0.5;
4700         }
4701         if(TYP_Front==2) //C-Profil
4702         {
4703             OG_Height=OG_Height_Percent;
4704             UG_Height=UG_Height_Percent;
4705             Left_Width=Left_Width_Percent;
4706             Right_Width=0.0;
4707         }
4708         if(TYP_Front==3) //Nur Ober und Untergurt-Profil
4709         {
4710             OG_Height=OG_Height_Percent;
4711             UG_Height=UG_Height_Percent;
4712             Left_Width=0.0;
4713             Right_Width=0.0;
4714         }
4715         if(TYP_Front==4) //verkehrtes C-Profil
4716         {
4717             OG_Height=OG_Height_Percent;
4718             UG_Height=UG_Height_Percent;
4719             Left_Width=0.0;
4720             Right_Width=Right_Width_Percent;
4721         }
4722         if(TYP_Front==5) //Rechteckiges Hohlprofil
4723         {
4724             OG_Height=OG_Height_Percent;
4725             UG_Height=UG_Height_Percent;
4726             Left_Width=Left_Width_Percent/1.5;
4727             Right_Width=Right_Width_Percent/1.5;
4728         }
4729         var Dist_SOP0SIPO,Dist_SIP0SIPO_H,Dist_SIP0_HSOPO_H,Dist_SOPO_HSOPO;
4730         SOPO=BRIDGE_VOLUME_POINTS_ARRAY[cnt][a];
4731         SIPO=BRIDGE_VOLUME_POINTS_ARRAY[cnt+1][a];
4732         SOPO_H=BRIDGE_VOLUME_POINTS_ARRAY[(Profil_Point_Num-1)-cnt][a];
4733         SIPO_H=BRIDGE_VOLUME_POINTS_ARRAY[(Profil_Point_Num-1)-cnt-1][a];
4734         XYZ_Dist_2_Points_Calc(SOPO,SIPO);
4735         Dist_SOP0SIPO=Dist_current_Points;
4736         XYZ_Dist_2_Points_Calc(SIPO,SIPO_H);
4737         Dist_SIP0SIPO_H=Dist_current_Points;
4738         XYZ_Dist_2_Points_Calc(SIPO_H,SOPO_H);
4739         Dist_SIP0_HSOPO_H=Dist_current_Points;

```

```

4740 XYZ_Dist_2_Points_Calc(SOPO_H,SIPO);
4741 Dist_SOPO_HSOPO=Dist_current_Points;
4742 //PunktLinksOben
4743 X_DEG=SOPO.x-SIPO.x;
4744 Y_DEG=SOPO.y-SIPO.y;
4745 Z_DEG=SOPO.z-SIPO.z;
4746 Temp_Point_1=SOPO;
4747 Temp_Point_1.x=SOPO.x-((X_DEG/Dist_SOP0SIPO)*(Dist_SOP0SIPO*Left_Width));
4748 Temp_Point_1.y=SOPO.y-((Y_DEG/Dist_SOP0SIPO)*(Dist_SOP0SIPO*Left_Width));
4749 Temp_Point_1.z=SOPO.z-((Z_DEG/Dist_SOP0SIPO)*(Dist_SOP0SIPO*Left_Width));
4750 Temp_Point=Temp_Point_1;
4751 X_DEG=SOPO.x-SOPO_H.x;
4752 Y_DEG=SOPO.y-SOPO_H.y;
4753 Z_DEG=SOPO.z-SOPO_H.z;
4754
4755 Temp_Point_1.x=Temp_Point_1.x-((X_DEG/Dist_SOP0_HSOPO)*(Dist_SOP0_HSOPO*OG_Height));
4756 Temp_Point_1.y=Temp_Point_1.y-((Y_DEG/Dist_SOP0_HSOPO)*(Dist_SOP0_HSOPO*OG_Height));
4757 Temp_Point_1.z=Temp_Point_1.z-((Z_DEG/Dist_SOP0_HSOPO)*(Dist_SOP0_HSOPO*OG_Height));
4758 XYZ_Dist_2_Points_Calc(Temp_Point,Temp_Point_1);
4759 Temp_Distance=abs(Dist_current_Points);
4760 if(Temp_Distance<=Obergurt_Mindesthoehe)
4761 {
4762     Temp_Point_1.y=Temp_Point.y-Obergurt_Mindesthoehe;
4763 }
4764 //PunktRechtsOben
4765 X_DEG=SIPO.x-SOPO.x;
4766 Y_DEG=SIPO.y-SOPO.y;
4767 Z_DEG=SIPO.z-SOPO.z;
4768 Temp_Point_2=SIPO;
4769 Temp_Point_2.x=SIPO.x-((X_DEG/Dist_SOP0SIPO)*(Dist_SOP0SIPO*Right_Width));
4770 Temp_Point_2.y=SIPO.y-((Y_DEG/Dist_SOP0SIPO)*(Dist_SOP0SIPO*Right_Width));
4771 Temp_Point_2.z=SIPO.z-((Z_DEG/Dist_SOP0SIPO)*(Dist_SOP0SIPO*Right_Width));
4772 Temp_Point=Temp_Point_2;
4773 X_DEG=SIPO.x-SIPO_H.x;
4774 Y_DEG=SIPO.y-SIPO_H.y;
4775 Z_DEG=SIPO.z-SIPO_H.z;
4776
4777 Temp_Point_2.x=Temp_Point_2.x-((X_DEG/Dist_SIP0SIPO_H)*(Dist_SIP0SIPO_H*OG_Height));
4778 Temp_Point_2.y=Temp_Point_2.y-((Y_DEG/Dist_SIP0SIPO_H)*(Dist_SIP0SIPO_H*OG_Height));
4779 Temp_Point_2.z=Temp_Point_2.z-((Z_DEG/Dist_SIP0SIPO_H)*(Dist_SIP0SIPO_H*OG_Height));
4780 XYZ_Dist_2_Points_Calc(Temp_Point,Temp_Point_2);
4781 Temp_Distance=abs(Dist_current_Points);
4782 if(Temp_Distance<=Obergurt_Mindesthoehe)
4783 {
4784     Temp_Point_2.y=Temp_Point.y-Obergurt_Mindesthoehe;
4785 }
4786 //PunktRechtsUnten
4787 X_DEG=SIPO_H.x-SOPO_H.x;
4788 Y_DEG=SIPO_H.y-SOPO_H.y;
4789 Z_DEG=SIPO_H.z-SOPO_H.z;
4790
4791 Temp_Point_3=SIPO_H;
4792 Temp_Point_3.x=SIPO_H.x-((X_DEG/Dist_SIP0_HSOPO_H)*(Dist_SIP0_HSOPO_H*Right_Width));
4793 Temp_Point_3.y=SIPO_H.y-((Y_DEG/Dist_SIP0_HSOPO_H)*(Dist_SIP0_HSOPO_H*Right_Width));
4794 Temp_Point_3.z=SIPO_H.z-((Z_DEG/Dist_SIP0_HSOPO_H)*(Dist_SIP0_HSOPO_H*Right_Width));
4795 Temp_Point=Temp_Point_3;
4796 X_DEG=SIPO_H.x-SIPO.x;
4797 Y_DEG=SIPO_H.y-SIPO.y;
4798 Z_DEG=SIPO_H.z-SIPO.z;
4799 Temp_Point_3.x=Temp_Point_3.x-((X_DEG/Dist_SIP0SIPO_H)*(Dist_SIP0SIPO_H*UG_Height));
4800 Temp_Point_3.y=Temp_Point_3.y-((Y_DEG/Dist_SIP0SIPO_H)*(Dist_SIP0SIPO_H*UG_Height));
4801 Temp_Point_3.z=Temp_Point_3.z-((Z_DEG/Dist_SIP0SIPO_H)*(Dist_SIP0SIPO_H*UG_Height));
4802 XYZ_Dist_2_Points_Calc(Temp_Point,Temp_Point_3);
4803 Temp_Distance=abs(Dist_current_Points);
4804 if(Temp_Distance<=Untergurt_Mindesthoehe)
4805 {
4806     Temp_Point_3.y=Temp_Point.y+Untergurt_Mindesthoehe;
4807 }
4808 //PunktLinksUnten
4809 X_DEG=SOPO_H.x-SIPO_H.x;
4810 Y_DEG=SOPO_H.y-SIPO_H.y;
4811 Z_DEG=SOPO_H.z-SIPO_H.z;
4812
4813 Temp_Point_4=SOPO_H;
4814 Temp_Point_4.x=SOPO_H.x-((X_DEG/Dist_SIP0_HSOPO_H)*(Dist_SIP0_HSOPO_H*Left_Width));
4815 Temp_Point_4.y=SOPO_H.y-((Y_DEG/Dist_SIP0_HSOPO_H)*(Dist_SIP0_HSOPO_H*Left_Width));
4816 Temp_Point_4.z=SOPO_H.z-((Z_DEG/Dist_SIP0_HSOPO_H)*(Dist_SIP0_HSOPO_H*Left_Width));
4817 Temp_Point=Temp_Point_4;
4818 X_DEG=SOPO_H.x-SOPO.x;
4819 Y_DEG=SOPO_H.y-SOPO.y;
4820 Z_DEG=SOPO_H.z-SOPO.z;
4821 Temp_Point_4.x=Temp_Point_4.x-((X_DEG/Dist_SOP0_HSOPO)*(Dist_SOP0_HSOPO*UG_Height));
4822 Temp_Point_4.y=Temp_Point_4.y-((Y_DEG/Dist_SOP0_HSOPO)*(Dist_SOP0_HSOPO*UG_Height));
4823 Temp_Point_4.z=Temp_Point_4.z-((Z_DEG/Dist_SOP0_HSOPO)*(Dist_SOP0_HSOPO*UG_Height));

```

```

4824 XYZ_Dist_2_Points_Calc(Temp_Point,Temp_Point_4);
4825 Temp_Distance=abs(Dist_current_Points);
4826 if(Temp_Distance<=Untergurt_Mindesthoehe)
4827 {
4828     Temp_Point_4.y=Temp_Point.y+Untergurt_Mindesthoehe;
4829 }
4830 //Punkte zuweisen
4831 SOP0=Temp_Point_1;
4832 S1P0=Temp_Point_2;
4833 S1P0_H=Temp_Point_3;
4834 SOP0_H=Temp_Point_4;
4835 if(abs(Temp_Point_1.y-Temp_Point_4.y)<=(Minimal_Construction_Height))
4836 {
4837     SOP0=(Temp_Point_1+Temp_Point_4)/2;
4838     SOP0_H=(Temp_Point_1+Temp_Point_4)/2;
4839 }
4840 if(abs(Temp_Point_2.y-Temp_Point_3.y)<=(Minimal_Construction_Height))
4841 {
4842     S1P0=(Temp_Point_2+Temp_Point_3)/2;
4843     S1P0_H=(Temp_Point_2+Temp_Point_3)/2;
4844 }
4845 if(TYP_Back==1) //Vollprofil
4846 {
4847     OG_Height=0.5;
4848     UG_Height=0.5;
4849     Left_Width=0.5;
4850     Right_Width=0.5;
4851 }
4852 if(TYP_Back==2) //C-Profil
4853 {
4854     OG_Height=OG_Height_Percent;
4855     UG_Height=UG_Height_Percent;
4856     Left_Width=Left_Width_Percent;
4857     Right_Width=0.0;
4858 }
4859 if(TYP_Back==3) //Nur Ober und Untergurt-Profil
4860 {
4861     OG_Height=OG_Height_Percent;
4862     UG_Height=UG_Height_Percent;
4863     Left_Width=0.0;
4864     Right_Width=0.0;
4865 }
4866 if(TYP_Back==4) //verkehrtes C-Profil
4867 {
4868     OG_Height=OG_Height_Percent;
4869     UG_Height=UG_Height_Percent;
4870     Left_Width=0.0;
4871     Right_Width=Right_Width_Percent;
4872 }
4873 if(TYP_Back==5) //Rechteckiges Hohlprofil
4874 {
4875     OG_Height=OG_Height_Percent;
4876     UG_Height=UG_Height_Percent;
4877     Left_Width=Left_Width_Percent/1.5;
4878     Right_Width=Right_Width_Percent/1.5;
4879 }
4880 S0P1=BRIDGE_VOLUME_POINTS_ARRAY[cnt][a+1];
4881 S1P1=BRIDGE_VOLUME_POINTS_ARRAY[cnt+1][a+1];
4882 SOP1_H=BRIDGE_VOLUME_POINTS_ARRAY[(Profil_Point_Num-1)-cnt][a+1];
4883 S1P1_H=BRIDGE_VOLUME_POINTS_ARRAY[(Profil_Point_Num-1)-cnt-1][a+1];
4884 XYZ_Dist_2_Points_Calc(S0P1,S1P1);
4885 Dist_SOPOS1P0=Dist_current_Points;
4886 XYZ_Dist_2_Points_Calc(S1P1,S1P1_H);
4887 Dist_S1POS1P0_H=Dist_current_Points;
4888 XYZ_Dist_2_Points_Calc(S1P1_H,S0P1_H);
4889 Dist_S1P0_HS0P0_H=Dist_current_Points;
4890 XYZ_Dist_2_Points_Calc(S0P1_H,S0P1);
4891 Dist_S0P0_HS0P0=Dist_current_Points;
4892
4893 //PunktLinksOben - back
4894 X_DEG=S0P1.x-S1P1.x;
4895 Y_DEG=S0P1.y-S1P1.y;
4896 Z_DEG=S0P1.z-S1P1.z;
4897 /*
4898 println("-----");
4899 println("Spline: ",cnt," Punkt: ",a);
4900 println("S0P0: ",S0P0);
4901 println("S1P0: ",S1P0);
4902 println("Dist_S0P0S1P0: ",Dist_S0P0S1P0);
4903 println("Dist_S1P0S1P0_H: ",Dist_S1P0S1P0_H);
4904 println("Dist_S1P0_HS0P0_H: ",Dist_S1P0_HS0P0_H);
4905 println("Dist_S0P0_HS0P0: ",Dist_S0P0_HS0P0);
4906 */
4907 Temp_Point_1=S0P1;
4908
4909 Temp_Point_1.x=S0P1.x-((X_DEG/Dist_S0P0S1P0)*(Dist_S0P0S1P0*Left_Width));
4910 Temp_Point_1.y=S0P1.y-((Y_DEG/Dist_S0P0S1P0)*(Dist_S0P0S1P0*Left_Width));
4911 Temp_Point_1.z=S0P1.z-((Z_DEG/Dist_S0P0S1P0)*(Dist_S0P0S1P0*Left_Width));
4912
4913 Temp_Point=Temp_Point_1;
4914 X_DEG=S0P1.x-S0P1_H.x;
4915 Y_DEG=S0P1.y-S0P1_H.y;
4916 Z_DEG=S0P1.z-S0P1_H.z;
4917
4918 Temp_Point_1.x=Temp_Point_1.x-((X_DEG/Dist_S0P0_HS0P0)*(Dist_S0P0_HS0P0*OG_Height));
4919 Temp_Point_1.y=Temp_Point_1.y-((Y_DEG/Dist_S0P0_HS0P0)*(Dist_S0P0_HS0P0*OG_Height));
4920 Temp_Point_1.z=Temp_Point_1.z-((Z_DEG/Dist_S0P0_HS0P0)*(Dist_S0P0_HS0P0*OG_Height));
4921 XYZ_Dist_2_Points_Calc(Temp_Point,Temp_Point_1);
4922 Temp_Distance=abs(Dist_current_Points);
4923 if(Temp_Distance<=Obergurt_Mindesthoehe)
4924 {
4925     Temp_Point_1.y=Temp_Point.y-Obergurt_Mindesthoehe;
4926 }
4927 //PunktRechtsOben - back
4928 X_DEG=S1P1.x-S0P1.x;
4929 Y_DEG=S1P1.y-S0P1.y;
4930 Z_DEG=S1P1.z-S0P1.z;
4931 Temp_Point_2=S1P1;
4932 Temp_Point_2.x=S1P1.x-((X_DEG/Dist_S0P0S1P0)*(Dist_S0P0S1P0*Right_Width));
4933 Temp_Point_2.y=S1P1.y-((Y_DEG/Dist_S0P0S1P0)*(Dist_S0P0S1P0*Right_Width));
4934 Temp_Point_2.z=S1P1.z-((Z_DEG/Dist_S0P0S1P0)*(Dist_S0P0S1P0*Right_Width));
4935 Temp_Point=Temp_Point_2;
4936 X_DEG=S1P1.x-S1P1_H.x;
4937 Y_DEG=S1P1.y-S1P1_H.y;
4938 Z_DEG=S1P1.z-S1P1_H.z;
4939 Temp_Point_2.x=Temp_Point_2.x-((X_DEG/Dist_S1P0S1P0_H)*(Dist_S1P0S1P0_H*OG_Height));
4940 Temp_Point_2.y=Temp_Point_2.y-((Y_DEG/Dist_S1P0S1P0_H)*(Dist_S1P0S1P0_H*OG_Height));
4941 Temp_Point_2.z=Temp_Point_2.z-((Z_DEG/Dist_S1P0S1P0_H)*(Dist_S1P0S1P0_H*OG_Height));
4942 XYZ_Dist_2_Points_Calc(Temp_Point,Temp_Point_2);
4943 Temp_Distance=abs(Dist_current_Points);
4944 if(Temp_Distance<=Obergurt_Mindesthoehe)
4945 {
4946     Temp_Point_2.y=Temp_Point.y-Obergurt_Mindesthoehe;
4947 }
4948 //PunktRechtsUnten - back
4949 X_DEG=S1P1_H.x-S0P1_H.x;
4950 Y_DEG=S1P1_H.y-S0P1_H.y;
4951 Z_DEG=S1P1_H.z-S0P1_H.z;
4952 Temp_Point_3=S1P1_H;
4953 Temp_Point_3.x=S1P1_H.x-((X_DEG/Dist_S1P0_HS0P0_H)*(Dist_S1P0_HS0P0_H*Right_Width));
4954 Temp_Point_3.y=S1P1_H.y-((Y_DEG/Dist_S1P0_HS0P0_H)*(Dist_S1P0_HS0P0_H*Right_Width));
4955 Temp_Point_3.z=S1P1_H.z-((Z_DEG/Dist_S1P0_HS0P0_H)*(Dist_S1P0_HS0P0_H*Right_Width));
4956 Temp_Point=Temp_Point_3;
4957 X_DEG=S1P1_H.x-S1P1.x;
4958 Y_DEG=S1P1_H.y-S1P1.y;
4959 Z_DEG=S1P1_H.z-S1P1.z;
4960 Temp_Point_3.x=Temp_Point_3.x-((X_DEG/Dist_S1P0S1P0_H)*(Dist_S1P0S1P0_H*UG_Height));
4961 Temp_Point_3.y=Temp_Point_3.y-((Y_DEG/Dist_S1P0S1P0_H)*(Dist_S1P0S1P0_H*UG_Height));
4962 Temp_Point_3.z=Temp_Point_3.z-((Z_DEG/Dist_S1P0S1P0_H)*(Dist_S1P0S1P0_H*UG_Height));
4963 XYZ_Dist_2_Points_Calc(Temp_Point,Temp_Point_3);
4964 Temp_Distance=abs(Dist_current_Points);
4965 if(Temp_Distance<=Untergurt_Mindesthoehe)
4966 {
4967     Temp_Point_3.y=Temp_Point.y+Untergurt_Mindesthoehe;
4968 }
4969 //PunktLinksUnten - back
4970 X_DEG=S0P1_H.x-S1P1_H.x;
4971 Y_DEG=S0P1_H.y-S1P1_H.y;
4972 Z_DEG=S0P1_H.z-S1P1_H.z;
4973 Temp_Point_4=S0P1_H;
4974 Temp_Point_4.x=S0P1_H.x-((X_DEG/Dist_S1P0_HS0P0_H)*(Dist_S1P0_HS0P0_H*Left_Width));
4975 Temp_Point_4.y=S0P1_H.y-((Y_DEG/Dist_S1P0_HS0P0_H)*(Dist_S1P0_HS0P0_H*Left_Width));
4976 Temp_Point_4.z=S0P1_H.z-((Z_DEG/Dist_S1P0_HS0P0_H)*(Dist_S1P0_HS0P0_H*Left_Width));
4977
4978 Temp_Point=Temp_Point_4;
4979 X_DEG=S0P1_H.x-S0P1.x;
4980 Y_DEG=S0P1_H.y-S0P1.y;
4981 Z_DEG=S0P1_H.z-S0P1.z;
4982 Temp_Point_4.x=Temp_Point_4.x-((X_DEG/Dist_S0P0_HS0P0)*(Dist_S0P0_HS0P0*UG_Height));
4983 Temp_Point_4.y=Temp_Point_4.y-((Y_DEG/Dist_S0P0_HS0P0)*(Dist_S0P0_HS0P0*UG_Height));
4984 Temp_Point_4.z=Temp_Point_4.z-((Z_DEG/Dist_S0P0_HS0P0)*(Dist_S0P0_HS0P0*UG_Height));
4985 XYZ_Dist_2_Points_Calc(Temp_Point,Temp_Point_4);
4986 Temp_Distance=abs(Dist_current_Points);
4987 if(Temp_Distance<=Untergurt_Mindesthoehe)
4988 {
4989     Temp_Point_4.y=Temp_Point.y+Untergurt_Mindesthoehe;
4990 }
4991 //Punkte zuweisen
4992 S0P1=Temp_Point_1;

```

```

4992 SIPI=Temp_Point_2;
4993 SIPI_H=Temp_Point_3;
4994 S0P1_H=Temp_Point_4;
4995
4996 if(abs(Temp_Point_1.y-Temp_Point_4.y)<=(Minimal_Construction_Height))
4997 {
4998     S0P1=(Temp_Point_1+Temp_Point_4)/2;
4999     S0P1_H=(Temp_Point_1+Temp_Point_4)/2;
5000 }
5001 if(abs(Temp_Point_2.y-Temp_Point_3.y)<=(Minimal_Construction_Height))
5002 {
5003     SIPI=(Temp_Point_2+Temp_Point_3)/2;
5004     SIPI_H=(Temp_Point_2+Temp_Point_3)/2;
5005 }
5006
5007 CUBE_VOLUMES_BALCANCE_POINTS_CALC(S0P0,SIP0,S0P1,SIP1,S0P0_H,SIP0_H,S0P1_H,SIP1_H,cr
5008 Negativ_Cubes_Balance_Point[cnt][a]=Cube_Volume_Balance_Point;
5009 Negativ_Cubes_Volume[cnt][a]=Single_Cube_Volume;
5010 Negativ_Entire_Volume=Negativ_Entire_Volume+ Negativ_Cubes_Volume[cnt][a];
5011
5012 //Summe
5013 Sum_of_Pyramides_Volumes[cnt][a]=Positiv_Cubes_Volume[cnt][a]-Negativ_Cubes_Volume[cnt][a];
5014 Sum_Cubes_Balance_Points[cnt][a]=Positiv_Cubes_Balance_Point[cnt][a]; //DIES STIMMT NOCH NICHT :)
5015 //println("Volumsbrechung: Positiv_Cubes_Balance_Point[cnt][a]: ",Positiv_Cubes_Balance_Point[cnt][a])
5016 //println("Volumsbrechung: Sum_Cubes_Balance_Points[cnt][a]: ",Sum_Cubes_Balance_Points[cnt][a]);
5017 Entire_Structure_Volume=Entire_Structure_Volume+Sum_of_Pyramides_Volumes[cnt][a];
5018 }
5019 }
5020 //println("Das Positive_Gesamtvolumen beträgt: ",Positiv_Entire_Volume,"[cm³]");
5021 println("Das Positive_Gesamtvolumen beträgt: ",Positiv_Entire_Volume/1000000,"[m³]");
5022 //println("Das Negative_Gesamtvolumen beträgt: ",Negativ_Entire_Volume,"[cm³]");
5023 println("Das Negative_Gesamtvolumen beträgt: ",Negativ_Entire_Volume/1000000,"[m³]");
5024 //println("Das Structur_Volumen beträgt: ",Entire_Structure_Volume,"[cm³]");
5025 println("Das Structur_Volumen beträgt: ",Entire_Structure_Volume/1000000,"[m³]");
5026 }
5027
5028
5029 //Profiltypen für den Brückenquerschnitt definieren //5 Typen je nach Brückenbreite und Höhe
5030 DEFINE_PROFILETYPE(SO
5031 {
5032     println(" ");
5033     println("SCHNITTPROFILE DEFINIEREN");
5034     var a,cnt,i;
5035     var P1,P2;
5036     var LastSpline=Anzahl_Splines-1,FirstSpline=0;
5037     var Bridge_Width,Brigde_Height,current_Element_Width;
5038     var Num_Profiles,StepSize,Real_StepSize,Real_StepSize_Width;
5039     var Max_Element_Width,Min_Element_Width,Vollprofil_Mindest_Breite;
5040     var Middle_Profil_Height,Spline_Steps,ProfilAxis=False;
5041     var Mittlere_Spline_1,Mittlere_Spline_2,Abweichung,Temp_Height;
5042     var ProfilAxis_Spline;
5043     var Num_Part_Profiles; //Wenn ein Steg sehr dick ist, dann muss er aus mehreren Profilen zusammengesetzt
5044     var ProfilPunkte=Anzahl_Splines*2;
5045     var DownSpline;
5046     PROFILETYPE=new(array,Anzahl_Splines,SplinePunkte);
5047
5048     //Kammerbreiten vergeben
5049     if(Material_Typ==0) //STAHL
5050     {
5051         Max_Element_Width=200; //Es müssen mindestens alles 200 meter stege sein.
5052         Min_Element_Width=20; //kleinere Kammern lassen sich schwerer herstellen und machen höchstwahrschei
5053     }
5054     else //BETON
5055     {
5056         Max_Element_Width=200; //Es müssen mindestens alles 200 meter stege sein.
5057         Min_Element_Width=50; //höchstens alle 80cm ein Stegkleinere Kammern lassen sich schwerer betonier
5058     }
5059     //PROFILTYPEN
5060     //1_Vollprofil
5061     //2_C-Profil
5062     //3_nur Ober und Untergurt
5063     //4_verkehrtes C-Profil
5064     //5_Hohlprofil
5065     //-----
5066     if(Beam_Number_Intern<=3) //Dem Idealträger, dem 2. Träger und dem 3. Träger werden Vollquerschnitt zug
5067     {
5068         if(Beam_Number_Intern==1)
5069         {
5070             println("Für die Idealträgerberechnung werden alles VOLLPROFILE vergeben");
5071         }
5072         else println("Es werden nochmals VOLLPROFILE vergeben");
5073         for (a=0;a<SplinePunkte;a++)
5074         {
5075             for (cnt=0;cnt<Anzahl_Splines;cnt++)

```

```

5076     {
5077         PROFILETYPE[cnt][a]=1; //Vollprofil
5078     }
5079 }
5080 }
5081 else
5082 {
5083     for (a=0;a<SplinePunkte;a++)
5084     {
5085         //Durchschnittshöhe berechnen
5086         Middle_Profil_Height=0;
5087         //println("Schnitt: ",a);
5088         for (cnt=0;cnt<Anzahl_Splines;cnt++)
5089         {
5090             P1=BRIDGE_VOLUME_POINTS_ARRAY[cnt][a];
5091             DownSpline=(ProfilPunkte-1)-cnt;
5092             P2=BRIDGE_VOLUME_POINTS_ARRAY[DownSpline][a];
5093             XYZ_Dist_2_Points_Calc(P1,P2);
5094             Temp_Height=Dist_current_Points;
5095             Middle_Profil_Height=Middle_Profil_Height+Temp_Height;
5096             //println(cnt," Temp_Height: ",Temp_Height);
5097         }
5098         Middle_Profil_Height=Middle_Profil_Height/Anzahl_Splines;
5099
5100         //println("Profil ",a," Minimal_Construction_Height: ",Minimal_Construction_Height);
5101         //println("Profil ",a," Middle_Profil_Height: ",Middle_Profil_Height);
5102         //1. TEIL: Breiten, und Stegabstände, für aktuellen Schnitt ermitteln
5103         //Schnitt_Breite berechnen
5104         P1=BRIDGE_POINTS_ARRAY[FirstSpline][a];
5105         P2=BRIDGE_POINTS_ARRAY[LastSpline][a];
5106         XZ_Dist_2_Points_Calc(P1,P2);
5107         Bridge_Width=abs(Dist_current_Points);
5108         //println("BRÜCKENBREITE: ",Bridge_Width);
5109         //MITTLERE SPLINES/-s Ermitteln-----
5110         Abweichung=Anzahl_Splines/2;
5111         if(Abweichung!=int(Abweichung)) //Wenn die Abweichung z.B.: Abweichung 9.5 ist, dann ist sie ungleich int(Abweichung)=9. -> Erg
5112         {
5113             //ungerade Splineanzahl
5114             Mittlere_Spline_1=int(Anzahl_Splines/2)+1; //wenn immer abgerundet wird...dann stimmt dies //Ansonsten...
5115             Mittlere_Spline_2=int(Anzahl_Splines/2)+1; //Spline 1
5116         }
5117         else
5118         {
5119             //gerade Splineanzahl=2 Mittelsplines
5120             Mittlere_Spline_1=int(Anzahl_Splines/2)-1;
5121             Mittlere_Spline_2=int(Anzahl_Splines/2);
5122         }
5123         //println("Mittlere_Spline_1=",Mittlere_Spline_1," Mittlere_Spline_2=",Mittlere_Spline_2);
5124         //StegAbstand-Schrittweite Ideales Stegabstands_Verhältnis = 1/0.4=2.25=>H/B=2.5->Beam_Proportion_Faktor
5125         if(Beam_Proportion_Faktor!=0) //ACHTUNG -> Dies ob die folgenden 5 Zeilen Sinn machen ist erst zu überprüfen
5126         {
5127             Real_StepSize_Width=Middle_Profil_Height/Beam_Proportion_Faktor; //Idealer Stegabstand in cm.
5128         }
5129         else Real_StepSize_Width=Middle_Profil_Height; //
5130         if(Real_StepSize_Width>=Max_Element_Width) //Wenn der Wegabstand größer als der Maximal erlaubte Stegabstand ist dann setze
5131         maximalen Stegabstand
5132         {
5133             Real_StepSize_Width=Max_Element_Width;
5134             //println("1",cnt,"[",a,"] Real_StepSize_Width=Max_Element_Width");
5135         }
5136         if(Real_StepSize_Width<=Min_Element_Width) //Wenn der Wegabstand kleiner als der minimal erlaubte Stegabstand ist dann setze
5137         minimalen Stegabstand
5138         {
5139             Real_StepSize_Width=Min_Element_Width;
5140             //println("2",cnt,"[",a,"] Real_StepSize_Width=Min_Element_Width");
5141         }
5142         //MAXIMALE STEGANZAHL ERMITTELN
5143         Real_StepSize=Bridge_Width/Real_StepSize_Width; //Brückenbreite /Elementbreite= Anzahl der Elemente ->
5144         StepSize=int(Real_StepSize); //Da es keine Halben Stege gibt, wird abgerundet.
5145
5146         //Wieviele Profileprofile werden benötigt?
5147         Num_Profiles=StepSize+1; //Anzahl der geforderten Stege //alte version ohne +1
5148         //Welche Splines werden als ProfilAchsen verwendet?
5149         //jede Spline_Steps Spline
5150         Spline_Steps=1; //Würde bedeuten jede Spline
5151         if(Num_Profiles-1!=0) Spline_Steps=Anzahl_Splines/(Num_Profiles); //z.B.: 20 Splines/4 Profile = 5 Steps...-> alle 5 Splines ist eir
5152         Num_Profiles-1
5153         //println("-----");
5154         for (cnt=0;cnt<Mittlere_Spline_1;cnt++)
5155         {
5156             // Anfangs wird jedem Profil der 3_Typ zugewiesen
5157             PROFILETYPE[cnt][a]=3; //3_nur Ober und Untergurt
5158             if(Middle_Profil_Height>(Minimal_Construction_Height)) //Wenn die Mittlere Profilhöhe größer ist als die Minimale Konstruktionshi

```



```

5157 {
5158 //println("1. Hälfte: PROFILETYPE["cnt","l","a,."] - Es wird vorerst einmal ein Obergurt-Untergurtprofil v
5159 //Teilquerschnittbreite berechnen - kleine Elementbreite
5160 P1=BRIDGE_POINTS_ARRAY[cnt][a];
5161 P2=BRIDGE_POINTS_ARRAY[cnt+1][a];
5162 XZ_Dist_2_Points_Calc(P1,P2);
5163 current_Element_Width=abs(Dist_current_Points);
5164
5165 //2. TEIL UNTERSUCHEN OB AKTURELLE SPLINE EINE ACHSENSPLINE IST
5166 ProfilAxis=False;
5167 //Von Rand zur Mittelspline hin untersuchen
5168 //1.HÄLFTE
5169 ProfilAxis_Spline=0;
5170 for (i=0;i<=Mittlere_Spline_1;i++)
5171 {
5172 //println(i," ProfilAxis_Spline=",ProfilAxis_Spline);
5173 if(cnt==ProfilAxis_Spline) //Noch falsch
5174 {
5175 //println("Spline ",cnt," ist ein Achsprofil");
5176 ProfilAxis=True;
5177 }
5178 //println(i," Spline_Steps=",Spline_Steps);
5179 ProfilAxis_Spline=ProfilAxis_Spline+Spline_Steps; //Hier werden die Splines vom Rand zur Mitte hin
5180 }
5181 P1=BRIDGE_VOLUME_POINTS_ARRAY[cnt][a];
5182 DownSpline=(ProfilPunkte-1)-cnt;
5183 P2=BRIDGE_VOLUME_POINTS_ARRAY[DownSpline][a];
5184 XYZ_Dist_2_Points_Calc(P1,P2);
5185 Temp_Height=Dist_current_Points;
5186 //println("Height",Temp_Height);
5187 //println("P1["cnt","l","a,."] = ",P1," P2["DownSpline","l","a,."] = ",P2," 1nd Half_Height: ",Temp_Height);
5188 //WENN AKTUELLE SPLINE EINE PROFIL ACHSE IST, DANN, BERECHNE HÖHE AN DER STELLE
5189 if(ProfilAxis==True)
5190 {
5191 //Wieviel sollte die Stegbreite (Vollprofilbreite) sein?
5192 Vollprofil_Mindest_Breite=Temp_Height*Stegbreiten_Faktor; //Voll-Profil z.B.: 10% der Breite
5193 //Wieviele Vollprofile werden benötigt?
5194 Num_Part_Profiles=abs(Vollprofil_Mindest_Breite/current_Element_Width);
5195 //if(Num_Part_Profiles<Anzahl_Splines) Num_Part_Profiles=Anzahl_Splines-1; //Maximal mögliche F
5196 //println("Num_Part_Profiles: ",Num_Part_Profiles," Vollprofil_Mindest_Breite: ",Vollprofil_Mindest_B
5197 var AchsVerschiebung=int(Num_Part_Profiles/2); //Weil die aktuelle Spline die Achsenmitte ist!!!
5198 var Vollprofil_Abweichung;
5199 var temp_Nr;
5200 Vollprofil_Abweichung=Num_Part_Profiles-int(Num_Part_Profiles); //Die Restbreite die übrig bleibt -
5201
5202 //println("Benötigte Stegprofile: ",Num_Part_Profiles," | AchsVerschiebung von Spline: ",AchsVerschie
5203 " ,Vollprofil_Abweichung);
5204 if((cnt-AchsVerschiebung)<=0) AchsVerschiebung=0; //-> wichtig für Rand
5205 i=0;
5206 for(i=0;i<int(Num_Part_Profiles);i++)
5207 {
5208 //println("Vollprofil_Abweichung:",Vollprofil_Abweichung," AchsVerschiebung: ",AchsVerschiebung,"
5209 PROFILETYPE[cnt+i-AchsVerschiebung][a]=1; //Vollprofil
5210 temp_Nr=cnt+i-AchsVerschiebung;
5211 //println("VOLLPROFIL wird für PROFILNUMMER["temp_Nr,","l","a,."] vergeben!");
5212 }
5213 //i=i+1;
5214 //Was passiert wenn sich kein Vollprofil ausgeht oder eine komma Anzahl z.B.: 2.5 Vollprofile?
5215 if(Vollprofil_Abweichung!=0.0)
5216 {
5217 //println("int(Num_Part_Profiles):",i,"| Aktuelle Spline cnt:","cnt," | AchsVerschiebung: ",AchsVerschie
5218 //Eigentlich sollte die Wertigkeit aufgrund der Tragfähigkeit sein: Vollprofil, C-Profil, Hohlprofil,UGOI
5219 //Bei gringer der Wert der Abweichung, kann ein niederwertiges Profil eingesetzt werden.
5220 //println("a,","a,","Vollprofil_Abweichung:",Vollprofil_Abweichung," AchsVerschiebung: ",AchsVerschie
5221 //Bei Trophy wurde überall Profil 4 eingesetzt...
5222 if(Material_Typ==0) //STAHL
5223 {
5224 if(Vollprofil_Abweichung>0.9)
5225 {
5226 PROFILETYPE[cnt+i-AchsVerschiebung][a]=1; //Vollprofil
5227 //println("Es wird ein Vollprofil vergeben für cnt: ",cnt+i-AchsVerschiebung," vergeben");
5228 }
5229 if(0.5<Vollprofil_Abweichung && Vollprofil_Abweichung<=0.9)
5230 {
5231 PROFILETYPE[cnt+i-AchsVerschiebung][a]=2; //C-Profil
5232 //println("Es wird ein C-Profil vergeben für cnt: ",cnt+i-AchsVerschiebung," vergeben");
5233 }
5234 if(0.4<Vollprofil_Abweichung && Vollprofil_Abweichung<=0.5)
5235 {
5236 PROFILETYPE[cnt+i-AchsVerschiebung][a]=5; //Hohlprofil -> Dieses kommt oft vor
5237 //println("Es wird ein Hohl-Profil vergeben für cnt: ",cnt+i-AchsVerschiebung," vergeben");
5238 }
5239 if(Vollprofil_Abweichung<=0.4)
5240 {
5241 PROFILETYPE[cnt+i-AchsVerschiebung][a]=3; //3_nur Ober und Untergurt
5242 //println("Es wird ein Ober- und Untergurt vergeben für cnt: ",cnt+i-AchsVerschiebung," vergr
5243 }
5244 }
5245 if(Material_Typ==1) //Beton
5246 {
5247 if(Vollprofil_Abweichung>0.9) PROFILETYPE[cnt+i-AchsVerschiebung][a]=1; //Vollprofil
5248 if(0.5<Vollprofil_Abweichung<=0.9) PROFILETYPE[cnt+i-AchsVerschiebung][a]=2; //C-Profil
5249 if(0.4<Vollprofil_Abweichung<=0.5) PROFILETYPE[cnt+i-AchsVerschiebung][a]=3; //Hohlprofil
5250 if(Vollprofil_Abweichung<=0.4) PROFILETYPE[cnt+i-AchsVerschiebung][a]=3; //UGOG-Profil=
5251 }
5252 //println("VollprofilAbweichung beträgt: ",Vollprofil_Abweichung," , deshalb wurde noch ein ",PRC
5253 } //if(Vollprofil_Abweichung!=0.0) ENDE
5254 } // if(ProfilAxis==True)
5255 } //else PROFILETYPE[cnt][a]=3; //3_nur Ober und Untergurt
5256 if(Temp_Height<=Minimal_Construction_Height)
5257 { //println("Temp_Height<=Minimal_Construction_Height -> Es wird ein Vollprofil für PROFILETYPE
5258 PROFILETYPE[cnt][a]=1;
5259 }
5260 } //Middle_Profil_Height>(Minimal_Construction_Height)
5261 else
5262 {
5263 PROFILETYPE[cnt][a]=1; //Vollprofil //Wenn die Konstruktion sehr niedrig ist dann werden alles Voll
5264 //println("ELSE: Es wird ein Vollprofil für PROFILETYPE["cnt-1","l","a,."] vergeben! - //Wenn die Kor
5265 }
5266 //println("Gewählter PROFILETYPE["cnt","l","a,."] : ",PROFILETYPE[cnt][a]);
5267 //println("-----");
5268 } //if(Middle_Profil_Height>(Minimal_Construction_Height)) ENDE
5269
5270 //2. Hälfte-----
5271 for (cnt=Anzahl_Splines-1;cnt>=Mittlere_Spline_2;cnt--)
5272 {
5273 //println("2. Hälfte: PROFILETYPE["cnt","l","a,."] - Es wird vorerst einmal ein Obergurt-Untergurtprofi
5274 // Anfangs wird jedem Profil der 3_Typ zugewiesen
5275 PROFILETYPE[cnt-1][a]=3; //3_nur Ober und Untergurt
5276 if(Middle_Profil_Height>(Minimal_Construction_Height)) //Wenn die Mittlere Profilhöhe größer ist al
5277 {
5278 //Teilquerschnittbreite berechnen - kleine Elementbreite
5279 P1=BRIDGE_POINTS_ARRAY[cnt-1][a];
5280 P2=BRIDGE_POINTS_ARRAY[cnt][a];
5281 XZ_Dist_2_Points_Calc(P1,P2);
5282 Current_Element_Width=abs(Dist_current_Points);
5283
5284 //2. TEIL UNTERSUCHEN OB AKTURELLE SPLINE EINE ACHSENSPLINE IST
5285 ProfilAxis=False;
5286 //Von Rand zur Mittelspline hin untersuchen
5287 //1.HÄLFTE
5288 ProfilAxis_Spline=0;
5289
5290 //2.HÄLFTE
5291 ProfilAxis_Spline=Anzahl_Splines-1;
5292 for (i=Anzahl_Splines-1;i>=Mittlere_Spline_2;i--)
5293 {
5294 if(cnt==ProfilAxis_Spline) //Noch falsch
5295 {
5296 //println("Spline ",cnt," ist ein Achsprofil");
5297 ProfilAxis=True;
5298 }
5299 //println("Spline_Steps=",Spline_Steps);
5300 ProfilAxis_Spline=ProfilAxis_Spline-Spline_Steps; //Hier werden die Splines vom Rand zur Mitte
5301 }
5302 P1=BRIDGE_VOLUME_POINTS_ARRAY[cnt][a];
5303 DownSpline=(ProfilPunkte-1)-cnt;
5304 P2=BRIDGE_VOLUME_POINTS_ARRAY[DownSpline][a];
5305 XYZ_Dist_2_Points_Calc(P1,P2);
5306 Temp_Height=Dist_current_Points;
5307 //println("Height",Temp_Height);
5308 //println("P1["cnt","l","a,."] = ",P1," | P2["DownSpline","l","a,."] = ",P2," | 2nd Half_Height: ",Temp_Height
5309 //WENN AKTUELLE SPLINE EINE PROFIL ACHSE IST, DANN, BERECHNE HÖHE AN DER STELLI
5310 if(ProfilAxis==True)
5311 {
5312 //Wieviel sollte die Stegbreite (Vollprofilbreite) sein?
5313 Vollprofil_Mindest_Breite=Temp_Height*Stegbreiten_Faktor; //Voll-Profil z.B.: 10% der Breite
5314 //Wieviele Vollprofile werden benötigt?
5315 Num_Part_Profiles=abs(Vollprofil_Mindest_Breite/current_Element_Width);
5316 var AchsVerschiebung=int(Num_Part_Profiles/2); //Weil die aktuelle Spline die Achsenmitte ist!!!
5317 var Vollprofil_Abweichung;
5318 var temp_Nr;
5319 Vollprofil_Abweichung=Num_Part_Profiles-int(Num_Part_Profiles); //Die Restbreite die übrig bl
5320
5321 //println("Benötigte Stegprofile: ",Num_Part_Profiles," | AchsVerschiebung: ",AchsVerschiebung,"
5322 if((cnt+AchsVerschiebung)>=Anzahl_Splines-1) AchsVerschiebung=0; //-> wichtig für Rand
5323 i=0;
5324 for(i=0;i<int(Num_Part_Profiles);i++)

```

```

5324 {
5325 PROFILETYPE[cnt-1+i+AchsVerschiebung][a]=1; //Vollprofil
5326 temp_Nr=cnt-1+i+AchsVerschiebung;
5327 //println("VOLLPROFIL wird für PROFILETYPE["",temp_Nr,"","a,"] vergeben!");
5328 }
5329
5330 //println("Vollprofil_Abweichung:",Vollprofil_Abweichung," AchsVerschiebung: ",AchsVerschiebung," cr
5331 //Was passiert wenn sich kein Vollprofil ausgeht oder eine komma Anzahl z.B.: 2.5 Vollprofile?
5332 if(Vollprofil_Abweichung!=0.0)
5333 {
5334 //if(i>=Anzahl_Splines-1-cnt) i=Anzahl_Splines-1-cnt;
5335 //Eigentlich sollte die Wertigkeit aufgrund der Tragfähigkeit sein: Vollprofil, C-Profil, Hohlprofil,UGOG
5336 //Bei gringer der Wert der Abweichung, kann ein niederwertiges Profil eingesetzt werden.
5337 //Bei Trophy wurde überall Profil 2 eingesetzt...
5338 if(Material_Typ==0) //STAHL
5339 {
5340 if(Vollprofil_Abweichung>0.9)
5341 {
5342 PROFILETYPE[cnt-1-1+i+AchsVerschiebung][a]=1; //Vollprofil
5343 //println("Es wird ein Vollprofil für cnt: ",cnt-1+i+AchsVerschiebung," vergeben");
5344 }
5345 if(0.5<Vollprofil_Abweichung && Vollprofil_Abweichung<=0.9)
5346 {
5347 PROFILETYPE[cnt-1+i+AchsVerschiebung][a]=4; //umgekehrtes C-Profil
5348 //println("Es wird ein C-Profil für cnt: ",cnt-1+i+AchsVerschiebung," vergeben");
5349 }
5350 if(0.4<Vollprofil_Abweichung && Vollprofil_Abweichung<=0.5)
5351 {
5352 PROFILETYPE[cnt-1+i+AchsVerschiebung][a]=5; //Hohlprofil --> Dieses kommt oft vor
5353 //println("Es wird ein Hohl-Profil für cnt: ",cnt-1+i+AchsVerschiebung," vergeben");
5354 }
5355 if(Vollprofil_Abweichung<=0.4)
5356 {
5357 PROFILETYPE[cnt-1+i+AchsVerschiebung][a]=3; //3_nur Ober und Untergurt
5358 //println("Es wird ein Ober- und Untergurt für cnt: ",cnt-1+i+AchsVerschiebung," vergeben");
5359 }
5360 }
5361 if(Material_Typ==1) //STAHL
5362 {
5363 if(Vollprofil_Abweichung>0.9) PROFILETYPE[cnt-1+i+AchsVerschiebung][a]=1; //Vollprofil
5364 if(0.5<Vollprofil_Abweichung<=0.9) PROFILETYPE[cnt-1+i+AchsVerschiebung][a]=4; //umgekehrtes C
5365 if(0.4<Vollprofil_Abweichung<=0.5) PROFILETYPE[cnt-1+i+AchsVerschiebung][a]=3; //Hohlprofil -->
5366 if(Vollprofil_Abweichung<=0.4) PROFILETYPE[cnt-1+i+AchsVerschiebung][a]=3; //UGOG-Profil=norm
5367 }
5368 //println("Vollprofil_Abweichung beträgt: ",Vollprofil_Abweichung," , deshalb wurde noch ein ",PROFILE
5369 } // if(Vollprofil_Abweichung!=0.0) ENDE
5370 } //if(ProfileAxis==True)
5371 //else PROFILETYPE[cnt][a]=3; //3_nur Ober und Untergurt
5372 if (Temp_Height<=Minimal_Construction_Height) PROFILETYPE[cnt-1][a]=1;
5373 } //if(Middle_Profil_Height>Minimal_Construction_Height)) ENDE
5374 else
5375 {
5376 PROFILETYPE[cnt-1][a]=1; //Vollprofil //Wenn die Konstruktion sehr niedrig ist dann werden alles Vollpro
5377 //println("ELSE: Es wird ein Vollprofil für PROFILETYPE["",cnt-1,"","a,"] vergeben! - //Wenn die Konstru
5378 }
5379 //println("Gewählter PROFILETYPE["",cnt,"","a,": ",PROFILETYPE[cnt][a]);
5380 //println("-----");
5381 } //Splineschleife Ende
5382 } //Schnittschleife Ende
5383 } // else -> if(Beam_Number_Intern<=2) ENDE
5384 }
5385
5386 //STABILITY_CHECK
5387 MOMENTS_OF_INERTIA_CALC0
5388 {
5389 println(" ");
5390 println("FLÄCHENTRÄGHEITSMOMENTE BERECHNEN");
5391 //Je nach Ausgang dieser Berechnung werden,
5392 //A. die Pfade verschoben
5393 //B. die Dicken geändert
5394 //C. die Brücke mehr ausgehöhlt
5395 //je nach ausgang müssen das knet und path clearance modul angesteuert werden.
5396 //SEQUENCE
5397 //1. Schnittflächen und Profilschwerpunkte berechnen
5398 //2. Flächenträgheitsmomente um X un Y berechnen,
5399 //3. Sigma Zulässig Ober, Untergurt, /Sicherheitsbeiwerte berücksichtigt
5400 //4. Maßnahmen setzen - z.B.: 1. Über die Ausgänge - Bridgekonstruktion Fine = False|True; A:Pfad Punkte v
5401 Aushöhlen), C. Verzerrung der Splinepunkte (außer den Punkten im Wegbereich);
5402 //5. ACHTUNG: Es muss ein Zähler programmiert werden, damit nie unendlich lange optimiert werden kann.
5403
5404 var cnt,a;
5405 var TYP_Front;
5406 var SOPO,SOP0_H,SIP0_H,SIP0,SOP1,SOP1_H,SIP1_H,SIP1; //8 Volumspunkte
5407 var X_DEG,Y_DEG,Z_DEG,Temp_Point_1,Temp_Point,Temp_Distance,Temp_Point_2,Temp_Point_3,Temp_P

```

```

5407 var Temp_Section_Area,Balance_Point,Temp_Section_Moments_of_Inertia_Y,Temp_Section_Moments_of_Inertia_XZ,Temp_Area_Si
5408 Section_Moments_of_Inertia_Y=new(array,SplinePunkte);
5409 Section_Moments_of_Inertia_XZ=new(array,SplinePunkte);
5410 Section_Area,Balance_Point=new(array,SplinePunkte);
5411 Section_Area=new(array,SplinePunkte);
5412 //2 verzogene Rechtecke berechnen
5413 var Rect_1_Area,Rect_1_Balance_Point,Rect_2_Area,Rect_2_Balance_Point;
5414 var Rect_Area,Rect_Balance_Point;
5415 var OUTER_Rect_Moments_of_Inertia_Y,OUTER_Rect_Moments_of_Inertia_Z;
5416 var INNER_Rect_Moments_of_Inertia_Y,INNER_Rect_Moments_of_Inertia_Z;
5417 var Part_Profil_Moments_of_Inertia_Y,Part_Profil_Moments_of_Inertia_Z,Part_Profil_Area;
5418 var Rect_Moments_of_Inertia_Y,Rect_Moments_of_Inertia_Z;
5419 var Rect_1_Moments_of_Inertia_Y,Rect_2_Moments_of_Inertia_Y;
5420 var Rect_1_Moments_of_Inertia_Z,Rect_2_Moments_of_Inertia_Z;
5421 var OUTER_Profil_Rect_Area,OUTER_Rect_Balance_Point=vector(0,0,0);
5422 var INNER_Profil_Rect_Area,INNER_Rect_Balance_Point=vector(0,0,0);
5423 var Triangle_1_Moments_of_Inertia_Z,Triangle_2_Moments_of_Inertia_Z;
5424 var Triangle_1_Moments_of_Inertia_Y,Triangle_2_Moments_of_Inertia_Y;
5425 var Temp_Dist_1,Temp_Dist_2,Temp_Dist_3,Temp_Point;
5426 var Triangle_1_Balance_Point,Triangle_2_Balance_Point;
5427 var Triangle_1_Area,Triangle_2_Area;
5428 var Temp_Section_Area;
5429 var Part_Profil_Sum_Balance_Point=vector(0,0,0);
5430 Rect_1_Balance_Point=vector(0,0,0);
5431 Rect_2_Balance_Point=vector(0,0,0);
5432 Rect_Balance_Point=vector(0,0,0);
5433 Triangle_1_Balance_Point=vector(0,0,0);
5434 Triangle_2_Balance_Point=vector(0,0,0);
5435 Temp_Point=vector(0,0,0);
5436
5437 //Schleife - Alle Profilschitte und Kammern durchgehen
5438 for (a=0;a<SplinePunkte;a++)
5439 {
5440 Temp_Section_Moments_of_Inertia_Y=0;
5441 Temp_Section_Moments_of_Inertia_XZ=0;
5442 Temp_Section_Area,Balance_Point=vector(0,0,0);
5443 Temp_Section_Area=0.0;
5444 for (cnt=0;cnt<Anzahl_Splines-1;cnt++)
5445 {
5446 //1.Schnittflächen und Profilschwerpunkte //MAKE_4_POINT_RECTANGLE(SOP0,SIP0,Right_M_Point,Left_M_Point);
5447 //Äußeres Rechteck:
5448 var A_Point,B_Point,C_Point,D_Point;
5449 var Beam_Kontur_Name=(toString(Beam_Number_Intern)+)*"BEAMKONTUR"+toString(a);
5450 var Beam_Kontur_Object=doc->FindObject(Beam_Kontur_Name);
5451
5452 A_Point=Beam_Kontur_Object->GetPoint(cnt);
5453 B_Point=Beam_Kontur_Object->GetPoint(cnt+1);
5454 C_Point=Beam_Kontur_Object->GetPoint(Anzahl_Splines*2-cnt-2);
5455 D_Point=Beam_Kontur_Object->GetPoint(Anzahl_Splines*2-cnt-1);
5456
5457 //Inneres Rechteck: SOP0,SIP0,SIP0_H,SOP0_H;
5458 // B_Point o---__
5459 // | | ---__
5460 // | o-SIP0 ----o A_Point
5461 // | | | --- ___ | |
5462 // | | | | o SOP0
5463 // | | | | | |
5464 // | | SOP0_H o |
5465 // SIP0_H o--- ___--o D_Point
5466 // | | ---__
5467 // Point C o---
5468 //
5469 //Flächenträgheitsmoment um Y = (h/6)*0;
5470 //-----1. Rechteck: Außenpunkte-----
5471 //Teilflächenträgheitsmomente berechnen
5472 //1. um Moment um Y // A.) 1. Dreieck B.) 2.Dreieck C.) Gesamtträgheitsmoment
5473 //A.Dreieck
5474 XZ_Dist_2_Points_Calc(A_Point,B_Point);
5475 Temp_Dist_1=abs(Dist_current_Points); //Breite
5476 Temp_Dist_2=abs(A_Point.y-B_Point.y); //Höhe
5477 Triangle_1_Moments_of_Inertia_Y=(Temp_Dist_1*(Temp_Dist_2*Temp_Dist_2*Temp_Dist_2))/36;
5478 Triangle_1_Moments_of_Inertia_Z=(Temp_Dist_2*(Temp_Dist_1*Temp_Dist_1*Temp_Dist_1))/36;
5479 /*
5480 println(a,"|",cnt,"|-----");
5481 println("Außen:");
5482 println("1.Dreiecks_Breite:",Temp_Dist_1);
5483 println("1.Dreiecks_Höhe:",Temp_Dist_2);
5484 println("1.Dreieck Moment_Y:",Triangle_1_Moments_of_Inertia_Y);
5485 println("1.Dreieck Moment_XZ:", Triangle_1_Moments_of_Inertia_Z);
5486 */
5487 //Kantenlängen für Flächenberechnung und Balance_Punkt ermitteln
5488 var Temp1_Point_A,Temp1_Point_B, Temp1_Point_C,Temp1_Point_D;
5489 if(A_Point.y<=B_Point.y)
5490 {

```

```

5491 Temp_Point=A_Point;
5492 Temp_Point.y=Temp_Point.y+Temp_Dist_2;
5493 Temp1_Point_A=Temp_Point;
5494 Temp1_Point_B=B_Point;
5495 }
5496 else
5497 {
5498 Temp_Point=B_Point;
5499 Temp_Point.y=Temp_Point.y+Temp_Dist_2;
5500 Temp1_Point_A=A_Point;
5501 Temp1_Point_B=Temp_Point;
5502 }
5503
5504 Triangle_Area(A_Point,B_Point,Temp_Point);
5505 Triangle_1_Area=Triangle_Area_Value;
5506 Triangle_1_Balalance_Point=Triangle_Area_Balance_Point;
5507 //println("1. Dreiecksfläche: ",Triangle_1_Area);
5508
5509 //B.Dreieck
5510 XZ_Dist_2_Points_Calc(D_Point,C_Point);
5511 Temp_Dist_1=abs(Dist_current_Points); //Breite
5512 Temp_Dist_2=abs(D_Point.y-C_Point.y); //Höhe
5513 Triangle_2_Moments_of_Inertia_Y=(Temp_Dist_1*(Temp_Dist_2*Temp_Dist_2*Temp_Dist_2))/36;
5514 Triangle_2_Moments_of_Inertia_Z=(Temp_Dist_2*(Temp_Dist_1*Temp_Dist_1*Temp_Dist_1))/36;
5515 /*
5516 println("2.Dreiecks_Breite: ",Temp_Dist_1);
5517 println("2.Dreiecks_Höhe: ",Temp_Dist_2);
5518 println("2.Dreieck Moment_Y: ",Triangle_2_Moments_of_Inertia_Y);
5519 println("2.Dreieck Moment_XZ: ", Triangle_2_Moments_of_Inertia_Z);
5520 */
5521 //Kantenlängen für Flächenberechnung und Balance_Punkt ermitteln
5522 if(D_Point.y<=C_Point.y)
5523 {
5524 Temp_Point=C_Point;
5525 Temp_Point.y=Temp_Point.y-Temp_Dist_2;
5526 Temp1_Point_C=Temp_Point;
5527 Temp1_Point_D=D_Point;
5528 }
5529 else
5530 {
5531 Temp_Point=D_Point;
5532 Temp_Point.y=Temp_Point.y+Temp_Dist_2;
5533 Temp1_Point_C=C_Point;
5534 Temp1_Point_D=Temp_Point;
5535 }
5536 Triangle_Area(D_Point,C_Point,Temp_Point);
5537 Triangle_2_Area=Triangle_Area_Value;
5538 Triangle_2_Balalance_Point=Triangle_Area_Balance_Point;
5539 //println("2. Dreiecksfläche: ",Triangle_2_Area);
5540
5541 //C.) Trägheitsmoment_Rechteck
5542 XZ_Dist_2_Points_Calc(A_Point,B_Point);
5543 Temp_Dist_1=abs(Dist_current_Points); //Breite
5544 //Es müssen wirklich die äußersten Punkte gewählt werden -> ACHTUNG:Fehlerquelle
5545 //Die größere Länge ist die Höhe des umschließenden Rechtecks
5546 Temp_Dist_2=abs(Temp1_Point_A.y-Temp1_Point_D.y); //Höhe
5547 Temp_Dist_3=abs(Temp1_Point_B.y-Temp1_Point_C.y); //Höhe
5548 if(Temp_Dist_3>=Temp_Dist_2) Temp_Dist_2=Temp_Dist_3;
5549 Rect_Moments_of_Inertia_Y=(Temp_Dist_1*(Temp_Dist_2*Temp_Dist_2*Temp_Dist_2))/12;
5550 Rect_Moments_of_Inertia_Z=(Temp_Dist_2*(Temp_Dist_1*Temp_Dist_1*Temp_Dist_1))/12;
5551 /*
5552 println("Rechteck BREITE: ",Temp_Dist_1," HÖHE: ",Temp_Dist_2);
5553 println("Rechteck Moment_Y: ",Rect_Moments_of_Inertia_Y);
5554 println("Rechteck Moment_XZ: ", Rect_Moments_of_Inertia_Z);
5555 */
5556 var OUTER_Rect_Area=Temp_Dist_1*Temp_Dist_2;
5557 //println("Rechtecksfläche: ",OUTER_Rect_Area);
5558 //Rechtecksschwerpunkt = die 4 Ecken /4
5559 var OUTER_Rect_Balalance_Point=(Temp1_Point_A+Temp1_Point_B+Temp1_Point_C+Temp1_Point_D)/4;
5560 //Gesamt Flächenträgheitsmoment von dem Außenrechteck berechnen
5561 var OUTER_Profil_Balance_Point;
5562
5563 Rectangle_Area(A_Point,B_Point,C_Point,D_Point); //Außen
5564 OUTER_Profil_Rect_Area=Rectangle_Area_Value;
5565 OUTER_Profil_Balance_Point=Rectangle_Area_Balance_Point;
5566 var Dist_Triangle_1_AchseY,Dist_Triangle_2_AchseY,Dist_Rec_Y;
5567 Dist_Triangle_1_AchseY=abs(OUTER_Profil_Balance_Point.y-Triangle_1_Balalance_Point.y);
5568 Dist_Triangle_2_AchseY=abs(OUTER_Profil_Balance_Point.y-Triangle_2_Balalance_Point.y);
5569 Dist_Rec_Y=abs(OUTER_Profil_Balance_Point.y-OUTER_Rect_Balalance_Point.y);
5570 /*
5571 println("1.Dreieck Y_Distanz: ",Dist_Triangle_1_AchseY);
5572 println("2.Dreieck Y_Distanz: ",Dist_Triangle_2_AchseY);
5573 println("Rechteck Y_Distanz: ",Dist_Rec_Y);
5574 */

```

```

5575 OUTER_Rect_Moments_of_Inertia_Y=OUTER_Rect_Area*Dist_Rec_Y*Dist_Rec_Y+Rect_Moments_of_Inertia_Y*(Tri:
Dist_Triangle_1_AchseY+Triangle_1_Moments_of_Inertia_Y+Triangle_2_Area*Dist_Triangle_2_AchseY*Dist_Triangle_2_
//Satz von Steiner
5576 //println(a,"|",cnt," ÄUßERES Rechteck_PROFIL Trägheitsmoment_Y: ",OUTER_Rect_Moments_of_Inertia_Y);
5577 var Dist_Triangle_1_AchseXZ,Dist_Triangle_2_AchseXZ,Dist_Rec_XZ;
5578 XZ_Dist_2_Points_Calc(OUTER_Profil_Balance_Point,Triangle_1_Balalance_Point);
5579 Dist_Triangle_1_AchseXZ=abs(Dist_current_Points);
5580 XZ_Dist_2_Points_Calc(OUTER_Profil_Balance_Point,Triangle_2_Balalance_Point);
5581 Dist_Triangle_2_AchseXZ=abs(Dist_current_Points);
5582 XZ_Dist_2_Points_Calc(OUTER_Profil_Balance_Point,OUTER_Rect_Balalance_Point);
5583 Dist_Rec_XZ=abs(Dist_current_Points);
5584 OUTER_Rect_Moments_of_Inertia_Z=OUTER_Rect_Area*Dist_Rec_XZ*Dist_Rec_XZ+Rect_Moments_of_Inertia_Z*(
Dist_Triangle_1_AchseXZ+Triangle_1_Moments_of_Inertia_Z+Triangle_2_Area*Dist_Triangle_2_AchseXZ*Dist_Triangle_
Triangle_2_Moments_of_Inertia_Z);//Satz von Steiner
5585 /*
5586 println("1.Dreieck XZ_Distanz: ",Dist_Triangle_1_AchseXZ);
5587 println("2.Dreieck XZ_Distanz: ",Dist_Triangle_2_AchseXZ);
5588 println("Rechteck XZ_Distanz: ",Dist_Rec_XZ);
5589 println(a,"|",cnt," ÄUßERES Rechteck_PROFIL Trägheitsmoment_XZ: ",OUTER_Rect_Moments_of_Inertia_Z);
5590 */
5591 //-----2. Rechteck: Innenpunkte-----
5592 // SIPO o-----o S0P0
5593 // | | |
5594 // | | |
5595 // | | |
5596 // | | |
5597 // SIPO_H o---
5598 //
5599 var UPPER_Neagitiv_Beam_Kontur_Name=(Beam_1_+toString(Beam_Number_Intern)+"_1_")+toString(cnt)+"_1_"+toString(c:
var UPPER_Negativ_Beam_Kontur_Object=doc->FindObject(UPPER_Neagitiv_Beam_Kontur_Name);
5601 //z.B: Beam_1_1819| UPPER_NEGATIV_RECT //ACHTUNG bedeutet: Erste Brücke 18. oberer Negativhohlraum-Loft
5602 S0P0=UPPER_Negativ_Beam_Kontur_Object->GetPoint(0);
5603 SIPO=UPPER_Negativ_Beam_Kontur_Object->GetPoint(1);
5604 var LOWER_Neagitiv_Beam_Kontur_Name=(Beam_1_+toString(Beam_Number_Intern)+"_1_")+toString(cnt)+"_1_"+toString(c:
var LOWER_Negativ_Beam_Kontur_Object=doc->FindObject(LOWER_Neagitiv_Beam_Kontur_Name);
5606 //z.B:Beam_1_1819| LOWER_NEGATIV_RECT
5607 SIPO_H=LOWER_Negativ_Beam_Kontur_Object->GetPoint(2);
5608 S0P0_H=LOWER_Negativ_Beam_Kontur_Object->GetPoint(3);
5609
5610 //A.Dreieck
5611 XZ_Dist_2_Points_Calc(S0P0,SIPO);
5612 Temp_Dist_1=abs(Dist_current_Points); //Breite
5613 Temp_Dist_2=abs(S0P0.y-SIPO.y); //Höhe
5614 Triangle_1_Moments_of_Inertia_Y=(Temp_Dist_1*(Temp_Dist_2*Temp_Dist_2*Temp_Dist_2))/36;
5615 Triangle_1_Moments_of_Inertia_Z=(Temp_Dist_2*(Temp_Dist_1*Temp_Dist_1*Temp_Dist_1))/36;
5616 /*
5617 println("INNEN:");
5618 println("1.Dreieck Moment_Y: ",Triangle_1_Moments_of_Inertia_Y);
5619 println("1.Dreieck Moment_XZ: ", Triangle_1_Moments_of_Inertia_Z);
5620 */
5621 if(S0P0.y<=SIPO.y)
5622 {
5623 Temp_Point=S0P0;
5624 Temp_Point.y=Temp_Point.y+Temp_Dist_2;
5625 Temp1_Point_A=Temp_Point;
5626 Temp1_Point_B=SIPO;
5627 }
5628 else
5629 {
5630 Temp_Point=SIPO;
5631 Temp_Point.y=Temp_Point.y+Temp_Dist_2;
5632 Temp1_Point_A=S0P0;
5633 Temp1_Point_B=Temp_Point;
5634 }
5635 Triangle_Area(S0P0,SIPO,Temp_Point);
5636 Triangle_1_Area=Triangle_Area_Value;
5637 Triangle_1_Balalance_Point=Triangle_Area_Balance_Point;
5638 //println("1. Dreiecksfläche: ",Triangle_1_Area);
5639 //B.Dreieck
5640 XZ_Dist_2_Points_Calc(S0P0_H,SIPO_H);
5641 Temp_Dist_1=abs(Dist_current_Points); //Breite
5642 Temp_Dist_2=abs(S0P0_H.y-SIPO_H.y); //Höhe
5643 Triangle_2_Moments_of_Inertia_Y=(Temp_Dist_1*(Temp_Dist_2*Temp_Dist_2*Temp_Dist_2))/36;
5644 Triangle_2_Moments_of_Inertia_Z=(Temp_Dist_2*(Temp_Dist_1*Temp_Dist_1*Temp_Dist_1))/36;
5645
5646 //println("2.Dreieck Moment_Y: ",Triangle_2_Moments_of_Inertia_Y);
5647 //println("2.Dreieck Moment_XZ: ", Triangle_2_Moments_of_Inertia_Z);
5648 if(S0P0_H.y<=SIPO_H.y)
5649 {
5650 Temp_Point=SIPO_H;
5651 Temp_Point.y=Temp_Point.y-Temp_Dist_2;
5652 Temp1_Point_C=Temp_Point;
5653 Temp1_Point_D=S0P0_H;
5654 }

```



```

5655 else
5656 {
5657     Temp_Point=SOP0_H;
5658     Temp_Point.y=Temp_Point.y-Temp_Dist_2;
5659     Temp1_Point_C=S1P0_H;
5660     Temp1_Point_D=Temp_Point;
5661 }
5662 Triangle_Area(S1P0_H,SOP0_H,Temp_Point);
5663 Triangle_2_Area=Triangle_Area_Value;
5664 Triangle_2_Balance_Point=Triangle_Area_Balance_Point;
5665 //println("2. Dreiecksfläche: ",Triangle_2_Area);
5666
5667 //C.) Trägheitmoment_Rechteck
5668 XZ_Dist_2_Points_Calc(SOP0,S1P0);
5669 Temp_Dist_1=abs(Dist_current_Points); //Breite
5670 //Die größte Länge ist die Höhe des umschließenden Rechtecks
5671 Temp_Dist_2=abs(Temp1_Point_A.y-Temp1_Point_D.y); //Höhe
5672 Temp_Dist_3=abs(Temp1_Point_B.y-Temp1_Point_C.y); //Höhe
5673 if(Temp_Dist_3>Temp_Dist_2) Temp_Dist_2=Temp_Dist_3;
5674 Rect_Moments_of_Inertia_Y=(Temp_Dist_1*(Temp_Dist_2*Temp_Dist_2*Temp_Dist_2))/12;
5675 Rect_Moments_of_Inertia_Z=(Temp_Dist_2*(Temp_Dist_1*Temp_Dist_1*Temp_Dist_1))/12;
5676 /*
5677 println("Rechteck BREITE: ",Temp_Dist_1," HÖHE: ",Temp_Dist_2);
5678 println("Rechteck Moment_Y:",Rect_Moments_of_Inertia_Y);
5679 println("Rechteck Moment_XZ:", Rect_Moments_of_Inertia_Z);
5680 */
5681 var INNER_Rect_Area=Temp_Dist_1*Temp_Dist_2;
5682 //println("Rechtecksfläche: ",INNER_Rect_Area);
5683 //Rechtecksschwerpunkt = die 4 Ecken /4
5684 var INNER_Rect_Balance_Point=(Temp1_Point_A+Temp1_Point_B+Temp1_Point_C+Temp1_Point_D)/4;
5685 //Gesamt Flächenträgheitsmoment von dem Innenrechteck berechnen
5686 var INNER_Profil_Balance_Point;
5687 Rectangle_Area(SOP0,S1P0,S1P0_H,SOP0_H); //INNEN
5688 INNER_Profil_Rect_Area=Rectangle_Area_Value;
5689 INNER_Profil_Balance_Point=Rectangle_Area_Balance_Point;
5690
5691 var Dist_Triangle_1_AchseY,Dist_Triangle_2_AchseY,Dist_Rec_Y;
5692 Dist_Triangle_1_AchseY=abs(INNER_Profil_Balance_Point.y-Triangle_1_Balance_Point.y);
5693 Dist_Triangle_2_AchseY=abs(INNER_Profil_Balance_Point.y-Triangle_2_Balance_Point.y);
5694 Dist_Rec_Y=abs(INNER_Profil_Balance_Point.y- INNER_Rect_Balance_Point.y);
5695 /*
5696 println("1.Dreieck Y_Distanz: ",Dist_Triangle_1_AchseY);
5697 println("2.Dreieck Y_Distanz: ",Dist_Triangle_2_AchseY);
5698 println("Rechteck Y_Distanz: ",Dist_Rec_Y);
5699 */
5700 INNER_Rect_Moments_of_Inertia_Y=INNER_Rect_Area*Dist_Rec_Y*Dist_Rec_Y+Rect_Moments_of_Inert
Dist_Triangle_1_AchseY+Triangle_1_Moments_of_Inertia_Y+Triangle_2_Area*Dist_Triangle_2_AchseY*Dist_1
//Satz von Steiner
5701 //println(a,"I",cnt," INNERES Rechteck_PROFIL Trägheitsmoment_Y: ",INNER_Rect_Moments_of_Inertia_Y
5702 var Dist_Triangle_1_AchseXZ,Dist_Triangle_2_AchseXZ,Dist_Rec_XZ;
5703 XZ_Dist_2_Points_Calc(INNER_Profil_Balance_Point,Triangle_1_Balance_Point);
5704 Dist_Triangle_1_AchseXZ=abs(Dist_current_Points);
5705 XZ_Dist_2_Points_Calc(INNER_Profil_Balance_Point,Triangle_2_Balance_Point);
5706 Dist_Triangle_2_AchseXZ=abs(Dist_current_Points);
5707 XZ_Dist_2_Points_Calc(INNER_Profil_Balance_Point,INNER_Rect_Balance_Point);
5708 Dist_Rec_XZ=abs(Dist_current_Points);
5709 INNER_Rect_Moments_of_Inertia_Z=INNER_Rect_Area*Dist_Rec_XZ*Dist_Rec_XZ+Rect_Moments_of_In
Dist_Triangle_1_AchseXZ+Triangle_1_Moments_of_Inertia_Z+Triangle_2_Area*Dist_Triangle_2_AchseXZ*Dist
Triangle_2_Moments_of_Inertia_Z);//Satz von Steiner
5710 /*
5711 println("1.Dreieck XZ_Distanz: ",Dist_Triangle_1_AchseXZ);
5712 println("2.Dreieck XZ_Distanz: ",Dist_Triangle_2_AchseXZ);
5713 println("Rechteck XZ_Distanz: ",Dist_Rec_XZ);
5714 println(a,"I",cnt," INNERES Rechteck_PROFIL Trägheitsmoment_XZ: ",INNER_Rect_Moments_of_Inertia_Z)
5715 */
5716 //AUßEN und INNEN FLÄCHENTRÄGHEITSMOMENTE VEREINEN
5717 var OUTER_Dist_Axis_Y,OUTER_Dist_Axis_XZ,INNER_Dist_Axis_Y,INNER_Dist_Axis_XZ;
5718 Part_Profil_Sum_Balance_Point=(OUTER_Profil_Rect_Area*OUTER_Profil_Balance_Point)+(INNER_Prof
OUTER_Profil_Rect_Area+INNER_Profil_Rect_Area);//Teil_Profil_Schwerpunkt berechnen
5719 OUTER_Dist_Axis_Y=abs(Part_Profil_Sum_Balance_Point.y-OUTER_Profil_Balance_Point.y);
5720 INNER_Dist_Axis_Y=abs(Part_Profil_Sum_Balance_Point.y-INNER_Profil_Balance_Point.y);
5721 //Teilprofil Y-Flächenträgheitsmoment
5722 Part_Profil_Moments_of_Inertia_Y=(OUTER_Profil_Rect_Area*OUTER_Dist_Axis_Y*OUTER_Dist_Axis_Y
INNER_Profil_Rect_Area*INNER_Dist_Axis_Y*INNER_Dist_Axis_Y+INNER_Rect_Moments_of_Inertia_Y); //Sa
XZ_Dist_2_Points_Calc(Part_Profil_Sum_Balance_Point,OUTER_Profil_Balance_Point);
5724 OUTER_Dist_Axis_XZ=abs(Dist_current_Points);
5725 XZ_Dist_2_Points_Calc(Part_Profil_Sum_Balance_Point,INNER_Profil_Balance_Point);
5726 INNER_Dist_Axis_XZ=abs(Dist_current_Points);
5727 //Teilprofil XZ-Flächenträgheitsmoment
5728 Part_Profil_Moments_of_Inertia_Z=(OUTER_Profil_Rect_Area*OUTER_Dist_Axis_XZ*OUTER_Dist_Axis_
INNER_Profil_Rect_Area*INNER_Dist_Axis_XZ*INNER_Dist_Axis_XZ+INNER_Rect_Moments_of_Inertia_Z); //
Part_Profil_Area=OUTER_Profil_Rect_Area+INNER_Profil_Rect_Area;
5729 //println("TEILPROFILS_FLÄCHENTRÄGHEITSMOMENT_Y: ",Part_Profil_Moments_of_Inertia_Y);
5730 //println("TEILPROFILS_FLÄCHENTRÄGHEITSMOMENT_XZ: ", Part_Profil_Moments_of_Inertia_Z);
5731
5732 //SCHNITT AKTUALISIEREN -> temporärer Schnittbalancepunkt und temp. Flächenträgheitsmoment
5733 var Dist1_Axis_Y,Dist1_Axis_XZ,Dist2_Axis_Y,Dist2_Axis_XZ,Old_Balance_Point;
5734 Old_Balance_Point=Temp_Section_Area_Balance_Point;
5735 //TEMPORÄRER SCHNITT MITTELPUKNT
5736 Temp_Section_Area_Balance_Point=(Temp_Section_Area_Balance_Point*Temp_Section_Area+Part_Profil_Sum_Balance_Point*F
Temp_Section_Area+Part_Profil_Area);
5737 Dist1_Axis_Y=abs(Temp_Section_Area_Balance_Point.y-Old_Balance_Point.y); //Abstand aktueller Querschnittsbalancepunkt zum
Dist2_Axis_Y=abs(Temp_Section_Area_Balance_Point.y-Part_Profil_Sum_Balance_Point.y); //Abstand aktueller Querschnittsbalan
Teilquerschnittbalancepunkt
5739 // VORHERGEHENDER QUERSCHNITT + AKTUELLEM TEILQU
5740 Temp_Section_Moments_of_Inertia_Y=(Temp_Section_Area*Dist1_Axis_Y*Dist1_Axis_Y+Temp_Section_Moments_of_Inertia_Y)+(
*Dist2_Axis_Y+Part_Profil_Moments_of_Inertia_Y); //Satz von Steiner.
5741 XZ_Dist_2_Points_Calc(Temp_Section_Area_Balance_Point,Old_Balance_Point);
5742 Dist1_Axis_XZ=abs(Dist_current_Points);
5743 XZ_Dist_2_Points_Calc(Temp_Section_Area_Balance_Point,Part_Profil_Sum_Balance_Point);
5744 Dist2_Axis_XZ=abs(Dist_current_Points);
5745 Temp_Section_Moments_of_Inertia_XZ=(Temp_Section_Area*Dist1_Axis_XZ*Dist1_Axis_XZ+Temp_Section_Moments_of_Inertia_
Dist2_Axis_XZ*Dist2_Axis_XZ+Part_Profil_Moments_of_Inertia_XZ); //Satz von Steiner.
Temp_Section_Area=Temp_Section_Area+Part_Profil_Area;
5746
5747 //Überprüfung ob die richtigen Eckpunkte für die Rechtecke gewählt wurden
5748 var Scale=0.5; //Skalierung hat Auswirkung auf die SchwerpunktKugelgrößen
5749 var Eckpunkt_Name;
5750 Eckpunkt_Name=("I"+tostring(cnt)+"I"+tostring(a)+"L_Profil_Part_Balance_Point");
5751 //MAKE_SPHERE(Scale,Eckpunkt_Name,Temp_Section_Area_Balance_Point,Null);
5752 /*
5753 Eckpunkt_Name=("I"+tostring(cnt)+"I"+tostring(a)+"L_TEMP_SECTION_BALANCEPOINT");
5754 MAKE_SPHERE(Scale,Eckpunkt_Name,Part_Profil_Sum_Balance_Point,Null);
5755 Eckpunkt_Name=("I"+tostring(cnt)+"I"+tostring(a)+"L_A_Point");
5756 MAKE_SPHERE(Scale,Eckpunkt_Name,A_Point,Null);
5757 Eckpunkt_Name=("I"+tostring(cnt)+"I"+tostring(a)+"L_B_Point");
5758 MAKE_SPHERE(Scale,Eckpunkt_Name,B_Point,Null);
5759 Eckpunkt_Name=("I"+tostring(cnt)+"I"+tostring(a)+"L_C_Point");
5760 MAKE_SPHERE(Scale,Eckpunkt_Name,C_Point,Null);
5761 Eckpunkt_Name=("I"+tostring(cnt)+"I"+tostring(a)+"L_D_Point");
5762 MAKE_SPHERE(Scale,Eckpunkt_Name,D_Point,Null);
5763 Eckpunkt_Name=("I"+tostring(cnt)+"I"+tostring(a)+"L_SOP0");
5764 MAKE_SPHERE(Scale,Eckpunkt_Name,SOP0,Null);
5765 Eckpunkt_Name=("I"+tostring(cnt)+"I"+tostring(a)+"L_S1P0");
5766 MAKE_SPHERE(Scale,Eckpunkt_Name,S1P0,Null);
5767 Eckpunkt_Name=("I"+tostring(cnt)+"I"+tostring(a)+"L_S1P0_H");
5768 MAKE_SPHERE(Scale,Eckpunkt_Name,S1P0_H,Null);
5769 Eckpunkt_Name=("I"+tostring(cnt)+"I"+tostring(a)+"L_SOP0_H");
5770 MAKE_SPHERE(Scale,Eckpunkt_Name,SOP0_H,Null);
5771 Scale=1;
5772 Eckpunkt_Name=("I"+tostring(cnt)+"I"+tostring(a)+"L_Temp1_Point_A");
5773 MAKE_SPHERE(Scale,Eckpunkt_Name,Temp1_Point_A,Null);
5774 Eckpunkt_Name=("I"+tostring(cnt)+"I"+tostring(a)+"L_Temp1_Point_B");
5775 MAKE_SPHERE(Scale,Eckpunkt_Name,Temp1_Point_B,Null);
5776 Eckpunkt_Name=("I"+tostring(cnt)+"I"+tostring(a)+"L_Temp1_Point_C");
5777 MAKE_SPHERE(Scale,Eckpunkt_Name,Temp1_Point_C,Null);
5778 Eckpunkt_Name=("I"+tostring(cnt)+"I"+tostring(a)+"L_Temp1_Point_D");
5779 MAKE_SPHERE(Scale,Eckpunkt_Name,Temp1_Point_D,Null);
5780 Scale=2;
5781 Eckpunkt_Name=("I"+tostring(cnt)+"I"+tostring(a)+"L_Outer_REC_BalancePoint");
5782 MAKE_SPHERE(Scale,Eckpunkt_Name,OUTER_Rect_Balance_Point,Null);
5783 Eckpunkt_Name=("I"+tostring(cnt)+"I"+tostring(a)+"L_Profil_Outer_REC_BalancePoint");
5784 MAKE_SPHERE(Scale,Eckpunkt_Name,OUTER_Profil_Balance_Point,Null);
5785 Eckpunkt_Name=("I"+tostring(cnt)+"I"+tostring(a)+"L_Inner_REC_BalancePoint");
5786 MAKE_SPHERE(Scale,Eckpunkt_Name,INNER_Rect_Balance_Point,Null);
5787 Eckpunkt_Name=("I"+tostring(cnt)+"I"+tostring(a)+"L_Profil_Inner_REC_BalancePoint");
5788 MAKE_SPHERE(Scale,Eckpunkt_Name,INNER_Profil_Balance_Point,Null);
5789 Scale=0.1;
5790 Eckpunkt_Name=("I"+tostring(cnt)+"I"+tostring(a)+"L_Inner_Tri_1_BalancePoint");
5791 MAKE_SPHERE(Scale,Eckpunkt_Name,Triangle_1_Balance_Point,Null);
5792 Eckpunkt_Name=("I"+tostring(cnt)+"I"+tostring(a)+"L_Inner_Tri_2_BalancePoint");
5793 MAKE_SPHERE(Scale,Eckpunkt_Name,Triangle_2_Balance_Point,Null);
5794 */
5795 }
5796 //println(a,".Kontroll Schnitt_Gesamtfläche: ",Kontrollflaeche/10000);
5797 //Schnitte den Gesamtwert zuweisen:
5798 Section_Moments_of_Inertia_Y[a]=Temp_Section_Moments_of_Inertia_Y;
5799 Section_Moments_of_Inertia_XZ[a]=Temp_Section_Moments_of_Inertia_XZ;
5800 Section_Area_Balance_Point[a]=Temp_Section_Area_Balance_Point;
5801 Section_Area[a]=Temp_Section_Area;
5802 //println(a,"I SCHNITTFLÄCHENTRÄGHEITSMOMENT_Y: ", Section_Moments_of_Inertia_Y[a]);
5803 //println(a,"I SCHNITTFLÄCHENTRÄGHEITSMOMENT_XZ: ", Section_Moments_of_Inertia_XZ[a]);
5804 /*
5805 var Scale=2; //Skalierung hat Auswirkung auf die SchwerpunktKugelgrößen
5806 var Eckpunkt_Name,Punkt;
5807 Punkt= Section_Area_Balance_Point[a];
5808 Eckpunkt_Name=("I"+tostring(cnt)+"I"+tostring(a)+"L_Profil_BALANCE_Point");
5809 MAKE_SPHERE(Scale,Eckpunkt_Name,Punkt,Null);
5810 */

```

```

5812 } //Schnittberechnen Ende
5813 }
5814
5815 //BENDING_CALC
5816 BENDING_CALC()
5817 {
5818     println(" ");
5819     println("DURCHBIEGUNG DES TRÄGERS SCHÄTZEN");
5820     var a,i;
5821     var E_Modul,Average_Section_Moments_of_Inertia_Y;
5822     var temp_Moments_of_Inertia_Y=0.0;
5823     var Max_Bending_of_Arm_1,Max_Bending_of_Arm_2;
5824     //println("Hebelsarm 1: ", Cantilever_Arm_1);
5825     //println("Hebelsarm 2: ", Cantilever_Arm_2);
5826     Max_Bending_of_Arm_1=Cantilever_Arm_1/150;
5827     Max_Bending_of_Arm_2=Cantilever_Arm_2/150;
5828     if(Torque_Calc_Mode==2) Max_Bending_of_Arm_1=Cantilever_Arm_1/300;
5829     if(Torque_Calc_Mode==2) Max_Bending_of_Arm_2=Cantilever_Arm_2/300;
5830
5831     //Section_Moments_of_Inertia_Y(a);
5832     if(Material_Typ==0) //Stahl: E= Elastizitätsmodul 21000 kN/cm2 210kN/mm²
5833     {
5834         E_Modul=21000;
5835     }
5836     else E_Modul=2500; //Beton: E= Elastizitätsmodul 2500 kN/cm2 25 kN/mm²
5837
5838     //Achsenlängen für die Linienlast q berechnen.
5839     var Temp_Point_1,Temp_Point_2;
5840     Bridge_Segment_Lenght=new(array,SplinePunkte-1);
5841     Bridge_Lenght=0.0;
5842     for (a=0;a<SplinePunkte-1;a++)
5843     {
5844         Temp_Point_1=System_Axis_Points[a];
5845         Temp_Point_2=System_Axis_Points[a+1];
5846         XYZ_Dist_2_Points_Calc(Temp_Point_1,Temp_Point_2);
5847         Bridge_Segment_Lenght[a]=Dist_current_Points;
5848         Bridge_Lenght=Bridge_Lenght+Bridge_Segment_Lenght[a];
5849         //println("Brückensegment ",a," ist ",Bridge_Segment_Lenght[a],"m lang.");
5850     }
5851     println("Die Brückensystem_Achse ist ",Bridge_Lenght,"m lang.");
5852
5853     var Arm_1_Load=0.0;
5854     var Arm_2_Load=0.0;
5855     var Bending_Arm_1_Lenght=0.0;
5856     var Bending_Arm_2_Lenght=0.0;
5857
5858     //WINKELGEWICHTE IN JEDEM SCHNITT JE NACH AUFLAGERPOSITION BERECHNEN;
5859     Angle_Weight=new(array,SplinePunkte);
5860     println("Winkelgewichte berechnen.");
5861     //1. Randwert
5862     Angle_Weight[0]=(1/(E_Modul*Section_Moments_of_Inertia_Y[0]))*(Bridge_Segment_Lenght[0]/6)*2*Section_Torque_X[a+1];
5863     for(a=1;a<SplinePunkte-1;a++)
5864     {
5865         Angle_Weight[a]=(1/(E_Modul*Section_Moments_of_Inertia_Y[a]))*(Bridge_Segment_Lenght[a]/6)*(Section_Torque_X[a+1]);
5866         //println("1/(E_Modul*Section_Moments_of_Inertia_Y[a]))*(Bridge_Segment_Lenght[a]/6)*(Section_Torque_X[a+1]);
5867     }
5868     //println("Angle_Weight",a,": ",Angle_Weight[a]);
5869 }
5870 //2.Randwert
5871 Angle_Weight[SplinePunkte-1]=(1/(E_Modul*Section_Moments_of_Inertia_Y[SplinePunkte-1]))*(Bridge_Segment_Lenght[SplinePunkte-2]+2*Section_Torque_X[SplinePunkte-1]);
5872 if(Support_Position!=1 && Support_Position!=SplinePunkte)
5873 {
5874     Angle_Weight[Support_Position-1]=(1/(E_Modul*Section_Moments_of_Inertia_Y[Support_Position-1]))*(Bridge_Segment_Lenght[Support_Position-2]+4*Section_Torque_X[Support_Position-1]+Section_Torque_X[Support_Position]);
5875 }
5876 //Kragarnsberechnung mit Vertikal gespiegeltem System und den Angle_Weights als Einzellasten.
5877 Bending_Section=new(array,SplinePunkte);
5878 var temp_Bending;
5879 var temp_Distanz_Section;
5880 var Section_Position;
5881 var temp_Angle_Weight_Point_Position;
5882 var c;
5883 //Angle_Weight[a]--> Entspricht der Kraft an den Schnitten --> System_Axis_Points[a]
5884 for(a=0;a<SplinePunkte;a++)
5885 {
5886     Bending_Section[a]=0.0;
5887 }
5888 //-----verschiedene Momentenberechnungsmodi-----
5889 //Torque_Calc_Mode==0 muss umgekehrt zu Momentenberechnung verwendet werden...da wo in der Mome
5890 if(Torque_Calc_Mode==0) //KRAGARME VOM AUFLAGER WEG in Momentenberechnung Torque_Calc_Mode

```

```

5891 {
5892     if(Support_Position!=1)
5893     {
5894         println("Biegung berechnen Arm 1 ursprünglich 2 Kragarme von Uferzonen -> umgekehrtes System = 2 Kragarme von Uferzonen weg in Momentenberechnung Torque_Calc_Mode==0");
5895         for (c=1;c<=Support_Position-1;c++) //Alle Punkte von 1 bis zum Auflager zählen z.B.: max 1-19
5896         {
5897             //Die Summe aller Resultierenden die im Schnitt betrachtet werden multipliziert mit deren Abstand zum Schnitt.
5898             temp_Bending=0.0;
5899             Section_Position=System_Axis_Points[c];
5900             for (a=c;a>0;a--) //Vom aktuellen Schnitt bis zum Schnitt 1 herunter zählen (z.B.: Schnitt 1 x Load 0)
5901             {
5902                 temp_Angle_Weight_Point_Position=System_Axis_Points[a];
5903                 XZ_Dist_2_Points_Calc(Section_Position,temp_Angle_Weight_Point_Position);
5904                 temp_Distanz_Section=Dist_current_Points;
5905                 temp_Bending=temp_Bending+temp_Distanz_Section*Angle_Weight[a];
5906             }
5907             Bending_Section[c]=temp_Bending;
5908             Bending_Section[0]=0;
5909         }
5910         for(c=SplinePunkte-2;c>=Support_Position;c--) //Alle Punkte von Oben nach Unten bis zum Auflager zählen z.B.: max 19-1
5911         {
5912             //println("SCHNITT ",c," Schleife B");
5913             temp_Bending=0.0;
5914             Section_Position=System_Axis_Points[c];
5915             //Die Summe aller Resultierenden die im Schnitt betrachtet werden multipliziert mit deren Abstand zum Schnitt.
5916             for (a=c-1;a<=SplinePunkte-1;a++) //Vom aktuellen Schnitt bis zum vorletzten Schnitt rechnen
5917             {
5918                 temp_Angle_Weight_Point_Position=System_Axis_Points[a];
5919                 XZ_Dist_2_Points_Calc(Section_Position,temp_Angle_Weight_Point_Position);
5920                 temp_Distanz_Section=Dist_current_Points;
5921                 temp_Bending=temp_Bending+temp_Distanz_Section*Angle_Weight[a];
5922             }
5923             Bending_Section[c]=temp_Bending;
5924         }
5925     } //if(Support_Position!=1) ENDE
5926     if(Support_Position==1) //Wenn Auflagerposition = 1 ist dann normaler Rechenmodus
5927     {
5928         //println("NORMALER BERECHNUNGSMODUS");
5929         for (c=SplinePunkte-2;c>=Support_Position-1;c--) //Alle Punkte von 1 bis zum Auflager zählen z.B.: max 0-19
5930         {
5931             temp_Bending=0.0;
5932             Section_Position=System_Axis_Points[c];
5933             //Die Summe aller Resultierenden die im Schnitt betrachtet werden multipliziert mit deren Abstand zum Schnitt.
5934             for (a=c;a<=SplinePunkte-1;a++) //Vom aktuellen Schnitt bis zum Schnitt 1 mal Load 0
5935             {
5936                 temp_Angle_Weight_Point_Position=System_Axis_Points[a];
5937                 XZ_Dist_2_Points_Calc(Section_Position,temp_Angle_Weight_Point_Position);
5938                 temp_Distanz_Section=Dist_current_Points;
5939                 temp_Bending=temp_Bending+temp_Distanz_Section*Angle_Weight[a];
5940             }
5941             Bending_Section[c]=temp_Bending;
5942             Bending_Section[SplinePunkte-1]=0;
5943         }
5944     } //if(Torque_Calc_Mode==1) ENDE
5945
5946     if(Torque_Calc_Mode==1) //2 Kragarme von der Uferzone weg in Momentenberechnung Torque_Calc_Mode==0
5947     {
5948         println("Biegung berechnen Arm 1 ursprünglich 2 Kragarme von Auflagerweg -> umgekehrtes System = 2 Kragarme von Auflagerweg weg in Momentenberechnung Torque_Calc_Mode==0");
5949         //SUPPORT IST KRAGARMSPITZE
5950         //1. ARM
5951         for(c=Support_Position-2;c>=0;c--) //Alle Punkte von Support bis nach 0 zählen z.B.: max 18-0 -Schnitte
5952         {
5953             temp_Bending=0.0;
5954             Section_Position=System_Axis_Points[c];
5955             //Die Summe aller Resultierenden die im Schnitt betrachtet werden multipliziert mit deren Abstand zum Schnitt.
5956             for (a=c+1;a<=Support_Position-1;a++)
5957             {
5958                 temp_Angle_Weight_Point_Position=System_Axis_Points[a];
5959                 XZ_Dist_2_Points_Calc(Section_Position,temp_Angle_Weight_Point_Position);
5960                 temp_Distanz_Section=Dist_current_Points;
5961                 temp_Bending=temp_Bending+temp_Distanz_Section*Angle_Weight[a];
5962             }
5963             Bending_Section[c]=temp_Bending;
5964             //Bending_Section[SplinePunkte-1]=0;
5965         } //1. Arm Ende
5966         //2. ARM
5967         for (c=Support_Position;c<=SplinePunkte-1;c++) //invertiert -> Alle Punkte von Unten nach Support zählen z.B.: max 0-19
5968         {
5969             temp_Bending=0.0;
5970             Section_Position=System_Axis_Points[c];
5971             //println(" ");
5972             //println("Schnitt ",c);
5973             for (a=c-1;a>=Support_Position-1;a--) //Alle Punkte von C nach unten zählen z.B.: (max c-0)

```

```

5975 {
5976   temp_Angle_Weight_Point_Position=System_Axis_Points[a];
5977   XZ_Dist_2_Points_Calc(Section_Position,temp_Angle_Weight_Point_Position);
5978   temp_Distanz_Section=Dist_current_Points;
5979   temp_Bending=temp_Bending+temp_Distanz_Section*Angle_Weight[a];
5980   //print(temp_Distanz_Section,"",Angle_Weight[a], " ");
5981 }
5982 Bending_Section[c]=temp_Bending;
5983 //println("Bending_Section["c,"]: ",Bending_Section[c]);
5984 } //2.Arm Ende
5985 } // if(Torque_Calc_Mode==0) ENDE
5986
5987 if(Torque_Calc_Mode==2) //Einfeldträger
5988 {
5989   //WINKELGEWICHTE IN JEDEM SCHNITT JE NACH AUFLAGERPOSITION BERECHNEN;
5990   Angle_Weight=new(array,SplinePunkte);
5991   Angle_Weight[0]=1/(E_Modul*Section_Moments_of_Inertia_Y[0])*(Bridge_Segment_Lenght[0]/6)*(2*Sec
5992   //println("Angle_Weight["0,"]: ", Angle_Weight[0]);
5993   for(a=1;a<SplinePunkte-1;a++)
5994   {
5995     Angle_Weight[a]=1/(E_Modul*Section_Moments_of_Inertia_Y[a])*(Bridge_Segment_Lenght[a]/6)*(Sec
5996     Section_Torque_X[a+1]);
5997   }
5998   //Randwerte
5999   Angle_Weight[SplinePunkte-1]=1/(E_Modul*Section_Moments_of_Inertia_Y[SplinePunkte-1])*(Bridge_Seg
6000   SplinePunkte-2]+2*Section_Torque_X[SplinePunkte-1]);
6001   //println("Angle_Weight["SplinePunkte-1,"]: ", Angle_Weight[SplinePunkte-1]);
6002   //Summe Aller Angle_Weight
6003   var Sum_Angle_Weight=0.0;
6004   var temp_pos,Sum_Angle_Weight_Balance_Point;
6005   temp_pos=vector(0,0,0);
6006   for(a=0;a<SplinePunkte-1;a++) //Alle Schnitte von Oben nach Unten zählen z.B.: max 18-0
6007   {
6008     Sum_Angle_Weight=Sum_Angle_Weight+Angle_Weight[a];
6009     temp_pos=temp_pos+System_Axis_Points[a]*Angle_Weight[a];
6010   }
6011   Sum_Angle_Weight_Balance_Point=temp_pos/Sum_Angle_Weight;
6012   //println("Sum_Angle_Weight: ", Sum_Angle_Weight);
6013   //println("Sum_Angle_Weight_Balance_Point: ", Sum_Angle_Weight_Balance_Point);
6014   //Auflagerkräfte berechnen;
6015   //Auflagerkraft B=Summe aller Momente um A
6016   //Achtung nachstehender teil muss mit folgenden 2 Variablen kürzer programmiert werden..
6017   var Dist_ALL,Dist_RES;
6018   var Support_Angle_Weight_A,Support_Angle_Weight_B;
6019   var P1,P2;
6020   P1=System_Axis_Points[SplinePunkte-1];
6021   P2=System_Axis_Points[0];
6022   XZ_Dist_2_Points_Calc(P1,P2);
6023   Dist_ALL=Dist_current_Points;
6024   P1=System_Axis_Points[SplinePunkte-1];
6025   P2=Sum_Angle_Weight_Balance_Point;
6026   XZ_Dist_2_Points_Calc(P1,P2);
6027   Dist_RES=Dist_current_Points;
6028   Support_Angle_Weight_B=(Sum_Angle_Weight*Dist_RES)/Dist_ALL;
6029   Support_Angle_Weight_A=Sum_Angle_Weight-Support_Angle_Weight_B;
6030   //println("Support_Angle_Weight_A: ",Support_Angle_Weight_A);
6031   //println("Support_Angle_Weight_B: ",Support_Angle_Weight_B);
6032   var Armlenght=0.0;
6033   var Section_Angle_Weight_Pos=vector(0,0,0);
6034   var Section_Angle_Weight=new(array,SplinePunkte);
6035   var X_Dist,Y_Dist,Z_Dist,Res_Dist;
6036   var Res_Dist,Dist_Sup;
6037   var temp_Bending;
6038   //MOMENTENVERLAUFBERECHNEN unter Berücksichtigung des entgegenwirkenden Auflagermomentes
6039   for(a=SplinePunkte-2;a>=0;a--) //Alle Schnitte von Oben nach Unten zählen z.B.: max 19-0
6040   { //Summe aller Winkelgewichte und Durchschnittsposition
6041     temp_Bending=0.0;
6042     //Summe aller Kräfte mal Abstand //Winkelgewicht x Abstand zum Schnitt
6043     for(c=a+1;c<SplinePunkte-1;c++) //Alle Schnitte von Oben nach Unten zählen z.B.: max 18-0
6044     {
6045       P1=System_Axis_Points[a];
6046       P2=System_Axis_Points[c];
6047       XZ_Dist_2_Points_Calc(P1,P2);
6048       Res_Dist=Dist_current_Points;
6049       temp_Bending=temp_Bending+Res_Dist*Angle_Weight[c]; //Kraft mal Kraftarm
6050     }
6051     P1=System_Axis_Points[a];
6052     P2=System_Axis_Points[SplinePunkte-1];
6053     XZ_Dist_2_Points_Calc(P1,P2);
6054     Dist_Sup=Dist_current_Points;
6055     //println("temp_Bending: ",temp_Bending," - Support_Angle_Weight_B*Dist_Sup: ",Support_Angle_Weight
6056     Bending_Section[a]=abs(temp_Bending)-abs(Support_Angle_Weight_B*Dist_Sup);
6057   }

```

```

6057   Bending_Section[SplinePunkte-1]=0.0;
6058   Bending_Section[0]=0.0;
6059   //Bending Werte umdrehen -> da gepiegeltes System;
6060   var temp_Bending=new(array,SplinePunkte);
6061   for(a=0;a<SplinePunkte-1;a++)
6062   {
6063     temp_Bending[a]=Bending_Section[a];
6064   }
6065   for(a=0;a<SplinePunkte-1;a++)
6066   {
6067     Bending_Section[a]=abs(temp_Bending[SplinePunkte-1-a]);
6068     //println("Bending_Section["a,"]: ",Bending_Section[a]);
6069   }
6070   } // if(Torque_Calc_Mode==2) ENDE
6071
6072 //-----
6073 /*
6074 for(a=0;a<SplinePunkte;a++)
6075 {
6076   println("-----");
6077   println("Das Schnittmoment am Schnitt["a,"] beträgt",Section_Torque_X[a]);
6078   println("Flächenträgheitsmoment Y["a,"] = ",Section_Moments_of_Inertia_Y[a], " cm^4.");
6079   //println("Das Winkelgewicht an Schnitt["a,"] beträgt",Angle_Weight[a]);
6080   //if(a<SplinePunkte-1) println("Segmentlänge Schnitt["a,"]: ", Bridge_Segment_Lenght[a]);
6081   println("Durchbiegung Schnitt["a,"]: ",Bending_Section[a], "cm.");
6082 }
6083 println(" ");
6084 */
6085 //Je nach Auflagerung jeweilige Durchbiegung zuweisen.
6086 var Current_Bending_Arm_1;
6087 var Current_Bending_Arm_2;
6088
6089 if(Torque_Calc_Mode==0) //2 Kragarme vom Ufer aus -> Größte Durchbiegung ist am einestelten Auflager (Spitze)
6090 {
6091   if(Support_Position!=1 && Support_Position!=SplinePunkte)
6092   {
6093     Current_Bending_Arm_1=Bending_Section[Support_Position-1];
6094     Current_Bending_Arm_2=Bending_Section[Support_Position];
6095   }
6096   if(Support_Position==1)
6097   {
6098     Current_Bending_Arm_1=0;
6099     Current_Bending_Arm_2=Bending_Section[Support_Position-1];
6100   }
6101   if(Support_Position==SplinePunkte)
6102   {
6103     Current_Bending_Arm_1=Bending_Section[Support_Position-1];
6104     Current_Bending_Arm_2=0;
6105   }
6106 }
6107
6108 if(Torque_Calc_Mode==1) //2 Kragarme vom Auflager -> Größte Durchbiegung an den Ufern (Spitzen)
6109 {
6110   if(Support_Position!=1 && Support_Position!=SplinePunkte)
6111   {
6112     Current_Bending_Arm_1=Bending_Section[0];
6113     Current_Bending_Arm_2=Bending_Section[SplinePunkte-1];
6114   }
6115   if(Support_Position==1)
6116   {
6117     Current_Bending_Arm_1=0;
6118     Current_Bending_Arm_2=Bending_Section[SplinePunkte-1];
6119   }
6120   if(Support_Position==SplinePunkte)
6121   {
6122     Current_Bending_Arm_1=Bending_Section[0];
6123     Current_Bending_Arm_2=0;
6124   }
6125 }
6126
6127 if(Torque_Calc_Mode==2) //Einfeldträger
6128 {
6129   var Max_Bending=0.0;
6130   for(a=0;a<SplinePunkte-1;a++)
6131   {
6132     if(Bending_Section[a]==abs(Max_Bending)) Max_Bending=Bending_Section[a];
6133   }
6134   Current_Bending_Arm_1=Max_Bending;
6135   Current_Bending_Arm_2=Max_Bending;
6136 }
6137
6138 if(Current_Bending_Arm_1!=0)
6139 {
6140   Bending_of_Arm_1_Efficiency=1/(Max_Bending_of_Arm_1/Current_Bending_Arm_1);

```



```

6141 } else Bending_of_Arm_1_Efficiency=0;
6142
6143 if(Current_Bending_Arm_2!=0)
6144 {
6145     Bending_of_Arm_2_Efficiency=1/(Max_Bending_of_Arm_2/Current_Bending_Arm_2);
6146 } else Bending_of_Arm_2_Efficiency=0;
6147 var MaxBending,temp_Bending;
6148
6149 if(Bending_of_Arm_1_Efficiency>Bending_of_Arm_2_Efficiency)
6150 {
6151     MaxBending=Bending_of_Arm_1_Efficiency;
6152 }
6153 else MaxBending=Bending_of_Arm_2_Efficiency;
6154
6155 var Current_Max_Bending=0;
6156 Section_Bending_Efficiency=new(array,SplinePunkte);
6157 for(a=0;a<SplinePunkte;a++) //Alle Schnitte von Oben nach Unten zählen z.B.: max 19-0
6158 {
6159     if(Bending_Section[a]>Current_Max_Bending) Current_Max_Bending=Bending_Section[a];
6160 }
6161 for(a=0;a<SplinePunkte;a++) //Alle Schnitte von Oben nach Unten zählen z.B.: max 19-0
6162 {
6163     Section_Bending_Efficiency[a]=(Bending_Section[a]/Current_Max_Bending);
6164     //println("Section_Bending_Efficiency["+a+"]",Section_Bending_Efficiency[a]);
6165     //println("Bending_Section["+a+"]",Bending_Section[a]);
6166 }
6167
6168 println("Kragarm 1 Länge (Brückenlänge)= " Cantilever_Arm_1," cm.");
6169 println("Kragarm 2 Länge (Brückenlänge)= " Cantilever_Arm_2," cm.");
6170 println("Träger 1 darf sich max. um " Max_Bending_of_Arm_1," cm durchbiegen!");
6171 println("Träger 2 darf sich max. um " Max_Bending_of_Arm_2," cm durchbiegen!");
6172 println("Träger 1 biegt sich " Current_Bending_Arm_1," cm durch!");
6173 println("Träger 2 biegt sich " Current_Bending_Arm_2," cm durch!");
6174 println("Das E-Modul beträgt: " E_Modul," kN/cm².");
6175 println("Das durchschnittliche Flächenträgheitsmoment beträgt " Average_Section_Moments_of_Inertia_Y," cm");
6176 println("Bending_Arm_1_Efficiency: " Bending_of_Arm_1_Efficiency*100,"%");
6177 println("Bending_Arm_2_Efficiency: " Bending_of_Arm_2_Efficiency*100,"%");
6178 }
6179
6180
6181 //STABILITY CHECK
6182 STABILITY_CHECK()
6183 {
6184     println(" ");
6185     println("AUF ZULÄSSIGE SPANNUNGEN ÜBERPRÜFEN");
6186     var a,cnt;
6187     var Bal_Point,Check_Point;
6188     var Check_Distance_Y,Check_Distance_XZ,Smallest_Distance_Y,Smallest_Distance_XZ,Biggest_Check_Distance
6189     var Check_Distance_X, Smallest_Distance_X,Biggest_Check_Distance_X;
6190     var Check_Distance_Z, Smallest_Distance_Z,Biggest_Check_Distance_Z;
6191     var OG_ARM,UG_ARM,Max_Left_ARM,Max_Right_ARM;
6192     var OG_Point, UG_Point, Max_Left_Point, Max_Right_Point;
6193     OG_Restiance_Torque=new(array,SplinePunkte);
6194     UG_Restiance_Torque=new(array,SplinePunkte);
6195     Left_Side_Restiance_Torque=new(array,SplinePunkte);
6196     Right_Side_Restiance_Torque=new(array,SplinePunkte);
6197     var prefix_Z=1;
6198     var prefix_X=1;
6199     var Sigma_Zul=Intern=Sigma_Zul;
6200     OG_Efficiency=new(array,SplinePunkte);
6201     UG_Efficiency=new(array,SplinePunkte);
6202     Left_Efficiency=new(array,SplinePunkte);
6203     Right_Efficiency=new(array,SplinePunkte);
6204
6205     //-----SCHNITTE FÜR HEBELARME CHECKEN-----
6206     for (a=0;a<SplinePunkte;a++) //Einzelne Schnitte überprüfen
6207     {
6208         //Hebelarmeberechnen vom Schwerpunkt zu OBER- und UNTERGURT (sowie auch Links und Rechts) bere
6209         Smallest_Distance_Y=0.0;
6210         Smallest_Distance_XZ=0.0;
6211         OG_ARM=0.0;
6212         UG_ARM=0.0;
6213         Max_Left_ARM=0.0;
6214         Max_Right_ARM=0.0;
6215         OG_Point=0;
6216         UG_Point=0;
6217         Max_Left_Point=0;
6218         Max_Right_Point=0;
6219
6220         for (cnt=0;cnt<AnzahlSplines*2;cnt++)
6221         {
6222             Check_Distance_Y=Section_Area_Balance_Point[a].y-BRIDGE_VOLUME_POINTS_ARRAY[cnt][a].y;
6223             if(Check_Distance_Y>OG_ARM)
6224                 OG_ARM=Check_Distance_Y;
6225                 OG_Point=cnt;
6226         }
6227         if(Check_Distance_Y<UG_ARM)
6228             UG_ARM=Check_Distance_Y;
6229             UG_Point=cnt;
6230         }
6231         //Vorzeichen feststellen
6232         Check_Distance_Z=Section_Area_Balance_Point[a].z-BRIDGE_VOLUME_POINTS_ARRAY[cnt][a].z;
6233         if(Check_Distance_Z==0) prefix_Z=1;
6234         if(Check_Distance_Z<0) prefix_Z=-1;
6235         Check_Distance_X=Section_Area_Balance_Point[a].x-BRIDGE_VOLUME_POINTS_ARRAY[cnt][a].x;
6236         if(Check_Distance_X>0) prefix_X=1;
6237         if(Check_Distance_X<0) prefix_X=-1;
6238         Bal_Point=Section_Area_Balance_Point[a];
6239         Check_Point=BRIDGE_VOLUME_POINTS_ARRAY[cnt][a];
6240         XZ_Dist_2_Points_Calc(Check_Point,Bal_Point);
6241         Check_Distance_XZ=Dist_current_Points;
6242         //println("Check_Distance_XZ: " Check_Distance_XZ);
6243         if(prefix_Z<0 && prefix_X<0) Check_Distance_XZ=-Check_Distance_XZ;
6244         if(prefix_Z<0 && prefix_X>0) Check_Distance_XZ=-Check_Distance_XZ;
6245         if(prefix_Z>0 && prefix_X<0) Check_Distance_XZ=Check_Distance_XZ;
6246         if(prefix_Z>0 && prefix_X>0) Check_Distance_XZ=Check_Distance_XZ;
6247         //Links
6248         if(Check_Distance_XZ<=0)
6249         {
6250             if(Check_Distance_XZ<=Max_Left_ARM)
6251             {
6252                 Max_Left_ARM=Check_Distance_XZ;
6253                 Max_Left_Point=cnt;
6254             }
6255         }
6256         //Rechts
6257         if(Check_Distance_XZ>0)
6258         {
6259             if(Check_Distance_XZ>Max_Right_ARM)
6260             {
6261                 Max_Right_ARM=Check_Distance_XZ;
6262                 Max_Right_Point=cnt;
6263             }
6264         }
6265     }
6266     /*
6267     println("SchnittNr: " a);
6268     println("OG Punkt " OG_Point," hat einen Hebelarm von " OG_ARM," cm.");
6269     println("UG Punkt " UG_Point," hat einen Hebelarm von " UG_ARM," cm.");
6270     println("Der linke Punkt " Max_Left_Point," hat einen Hebelarm von " Max_Left_ARM," cm.");
6271     println("Der rechte Punkt " Max_Right_Point," hat einen Hebelarm von " Max_Right_ARM," cm.");
6272     */
6273     //-----
6274     if(Material_Typ==0) //STAHL
6275     {
6276         //println("Der Stabilitätsnachweis für Stahlbrücke wird berechnet");
6277         //1.:W=I/z;
6278         //2.:SIGMA_ZUL=M/W;
6279         //Widerstandsmomente aus Trägheitsmomente berechnen.
6280         if(OG_ARM==0) OG_ARM=0.000000001;
6281         if(UG_ARM==0) UG_ARM=0.000000001;
6282         if(Max_Left_ARM==0) Max_Left_ARM=0.000000001;
6283         if(Max_Right_ARM==0) Max_Right_ARM=0.000000001;
6284         OG_Restiance_Torque[a]=Section_Moments_of_Inertia_Y[a]/OG_ARM;
6285         UG_Restiance_Torque[a]=Section_Moments_of_Inertia_Y[a]/UG_ARM;
6286         if(Section_Torque_X[a]==0) Section_Torque_X[a]=0.000000001;
6287         if(Section_Torque_Z[a]==0) Section_Torque_Z[a]=0.000000001;
6288         /*
6289         println("-----");
6290         println("SchnittNr: " a);
6291         println("Flächenträgheitsmoment um Y: " Section_Moments_of_Inertia_Y[a]," cm^4.");
6292         println("Flächenträgheitsmoment um XZ: " Section_Moments_of_Inertia_XZ[a]," cm^4.");
6293         println("OG-Hebelarm: " OG_ARM," cm.");
6294         println("UG-Hebelarm: " UG_ARM," cm.");
6295         println("OG-Widerstandsmoment: " OG_Restiance_Torque[a]," cm³");
6296         println("UG-Widerstandsmoment: " UG_Restiance_Torque[a]," cm³");
6297         println("MOMENT um X: " Section_Torque_X[a]," kNcm");
6298         println("MOMENT um XZ: " Section_Torque_Z[a]," kNcm");
6299         */
6300         //Aktuelles Sigma ausrechnen!
6301         //2.:SIGMA_ZUL=M/W;
6302         Sigma_OG_Actual=(Global_Safety_Factor*Section_Torque_X[a]/OG_Restiance_Torque[a]);
6303         Sigma_UG_Actual=(Global_Safety_Factor*Section_Torque_X[a]/UG_Restiance_Torque[a]);
6304         /*
6305         println("Sigma_Zul: " Sigma_Zul," kN/cm²");
6306     }

```

```

6309   println("Sigma_OG_Actual: ",Sigma_OG_Actual,"kN/cm²");
6310   println("Sigma_UG_Actual: ",Sigma_UG_Actual,"kN/cm²");
6311   println("Sigma_Left_Actual: ",Sigma_Left_Actual,"kN/cm²");
6312   println("Sigma_Right_Actual: ",Sigma_Right_Actual,"kN/cm²");
6313   */
6314   //Aktuelles Sigma mit Sigma zulässig vergleichen!
6315   //SigmaZul wird in kN/cm² angegeben.
6316   //OG_Efficiency,UG_Efficiency
6317   //Auslastung berechnen
6318   //max.Sigma / zul.Sigma
6319   OG_Efficiency[a]=abs(Sigma_Zul_Intern/100*Sigma_OG_Actual);
6320   UG_Efficiency[a]=abs(Sigma_Zul_Intern/100*Sigma_UG_Actual);
6321   //println("[",a,"] Obergurt ist zu ",OG_Efficiency[a]*100,"% ausgelastet!");
6322   //println("[",a,"] Untergurt ist zu ",UG_Efficiency[a]*100,"% ausgelastet!");
6323   //Einzelne Profile sehr überschlägig auf Torsion bewerten.
6324   }
6325   else //Stahl_Beton
6326   {
6327   //Durchschnittshöhenwerte der oberen Negativvolumspunkte berechnen -> für Hebelarm -> Stahlspannstan
6328   //Durchschnittshöhenwerte der Positiven Unteren Punkte -> für Hebelarm -> Betonpressung
6329   //Kd-Verfahren
6330   var i;
6331   var d_CONCRETE_ARM,STEEL_ARM;
6332   var Width_Calc; //z.B.: 50% der Brückenbreite
6333   var kd_Value,ks_Value,Chart_Row;
6334   var kd_Chart=new(array,37);
6335   var ks_Chart=new(array,37);
6336   var As_Erf;
6337   var Error=False;
6338
6339   if(OG_ARM==0) OG_ARM=0.000000001;
6340   if(UG_ARM==0) UG_ARM=0.000000001;
6341   if(Max_Left_ARM==0) Max_Left_ARM=0.000000001;
6342   if(Max_Right_ARM==0) Max_Right_ARM=0.000000001;
6343   if(Section_Torque_X[a]==0) Section_Torque_X[a]=0.000000001;
6344   if(Section_Torque_Z[a]==0) Section_Torque_Z[a]=0.000000001;
6345   d_CONCRETE_ARM=abs(OG_ARM+UG_ARM)*0.9; //cm Achtung: Wird später in m eingesetzt
6346   STEEL_ARM=abs(OG_ARM)+abs(UG_ARM)-5;
6347   Width_Calc=(abs(Max_Left_ARM)+abs(Max_Right_ARM))*0.5; //z.B.: 50% der Brückenbreite
6348   kd_Value=(d_CONCRETE_ARM/100)/(sqrt((Global_Safety_Factor*Section_Torque_X[a]/100)/Width_Calc));
6349   println("kd_Value = ",kd_Value);
6350   //kd_Tabelle für B50
6351   kd_Chart[0]=3.65; kd_Chart[1]=3.16; kd_Chart[2]=2.83; kd_Chart[3]=2.58;
6352   kd_Chart[4]=2.39; kd_Chart[5]=2.24; kd_Chart[6]=2.11; kd_Chart[7]=2.00;
6353   kd_Chart[8]=1.91; kd_Chart[9]=1.83; kd_Chart[10]=1.75; kd_Chart[11]=1.69;
6354   kd_Chart[12]=1.63; kd_Chart[13]=1.58; kd_Chart[14]=1.53; kd_Chart[15]=1.49;
6355   kd_Chart[16]=1.45; kd_Chart[17]=1.41; kd_Chart[18]=1.38; kd_Chart[19]=1.35;
6356   kd_Chart[20]=1.32; kd_Chart[21]=1.29; kd_Chart[22]=1.29; kd_Chart[23]=1.26;
6357   kd_Chart[24]=1.24; kd_Chart[25]=1.22; kd_Chart[26]=1.20; kd_Chart[27]=1.17;
6358   kd_Chart[28]=1.16; kd_Chart[29]=1.15; kd_Chart[30]=1.14; kd_Chart[31]=1.12;
6359   kd_Chart[32]=1.10; kd_Chart[33]=1.08; kd_Chart[34]=1.07; kd_Chart[35]=1.05;
6360   kd_Chart[36]=1.05;
6361
6362   for(i=0;i<36;i++)
6363   {
6364     if(kd_Value>kd_Chart[i])
6365     {
6366       Error=True;
6367       Chart_Row=0;
6368       break;
6369     }
6370     if(kd_Chart[i]>= kd_Value >=kd_Chart[i+1])
6371     {
6372       Chart_Row=i;
6373     }
6374     if(kd_Value<kd_Chart[36])
6375     {
6376       Error=True;
6377       Chart_Row=36;
6378       break;
6379     }
6380   }
6381
6382   if(Error==True)
6383   {
6384     if(Chart_Row==0)
6385     {
6386       println("System versagt!!!");
6387       OG_Efficiency[a]=1.7;
6388       UG_Efficiency[a]=1.7;
6389     }
6390     if(Chart_Row==36)
6391     {
6392       println("System ist überdimensioniert!!!");

```

```

6393     OG_Efficiency[a]=0.7;
6394     UG_Efficiency[a]=0.7;
6395   }
6396   }
6397   println("Tabellen_Zeile: ",Chart_Row);
6398   //In ks_Tabelle Wert nachschlagen
6399   ks_Chart[0]=47.1; ks_Chart[1]=46.8; ks_Chart[2]=46.5; ks_Chart[3]=46.3;
6400   ks_Chart[4]=46.0; ks_Chart[5]=45.7; ks_Chart[6]=45.5; ks_Chart[7]=45.2;
6401   ks_Chart[8]=44.9; ks_Chart[9]=44.6; ks_Chart[10]=44.4; ks_Chart[11]=44.1;
6402   ks_Chart[12]=43.8; ks_Chart[13]=43.5; ks_Chart[14]=43.2; ks_Chart[15]=42.9;
6403   ks_Chart[16]=42.6; ks_Chart[17]=42.2; ks_Chart[18]=41.9; ks_Chart[19]=41.6;
6404   ks_Chart[20]=41.3; ks_Chart[21]=40.9; ks_Chart[22]=40.8; ks_Chart[23]=40.6;
6405   ks_Chart[24]=40.2; ks_Chart[25]=39.8; ks_Chart[26]=39.5; ks_Chart[27]=39.1;
6406   ks_Chart[28]=38.9; ks_Chart[29]=38.7; ks_Chart[30]=38.3; ks_Chart[31]=37.9;
6407   ks_Chart[32]=37.5; ks_Chart[33]=37.0; ks_Chart[34]=36.6; ks_Chart[35]=36.1;
6408   ks_Chart[36]=36.0;
6409   //Erforderliche Stahlfläche berechnen
6410   ks_Value=ks_Chart[Chart_Row];
6411   println("ks_Value: ",ks_Value);
6412   if(d_CONCRETE_ARM==0.0)
6413   {
6414     println("Beton Hebelarm ist sehr klein!");
6415     d_CONCRETE_ARM=0.00001;
6416   }
6417   As_Erf=(Global_Safety_Factor*Section_Torque_X[a]/100)/(ks_Value*(d_CONCRETE_ARM/100));
6418   if(Error==False)
6419   {
6420     println("Die erforderliche Stahlfläche beträgt: ",As_Erf);
6421   }
6422   else println("Die erforderliche Stahlfläche mit: ",As_Erf," ist falsch, da kd-Wert bereits falsch berechnet wurde!");
6423   }
6424   }
6425   }
6426
6427   //Die Kontrollpunkte der Weg verzerren
6428   MODIFY_PATHS0
6429   {
6430     println(" ");
6431     println("Die Wegführung wird verändert!");
6432     var a,cnt,i,c;
6433     var Section_Percent_Step,Percent_Position=0.0;
6434     var Path_Point_Crd,Path_1_Object,Path_2_Object,Path_3_Object;
6435     var Path_Width,Path_1_Full_Lenght,Path_2_Full_Lenght,Path_3_Full_Lenght;
6436     var Path_1_Control_Points,Path_2_Control_Points,Path_3_Control_Points;
6437     var current_Point_Crd,NearestSection_Num=0;
6438     var Path_to_Point_Distance,temp_Distance,Smallest_Distance;
6439     var Change_Faktor_1;
6440     var X_Distanz_to_Section_Balance_Point,Y_Distanz_to_Section_Balance_Point,Z_Distanz_to_Section_Balance_Point;
6441     var Y_Distanz_to_Water;
6442     var New_Path_1_Point_Crd,New_Path_2_Point_Crd,New_Path_3_Point_Crd;
6443     var P1,P2;
6444     var Path_Ideal_Lenght,Near_Distance,Point_Distance_Path1_Path2,Point_Distance_Path1_Path3,Point_Distance_Path2_Path3;
6445     var Path_1_is_Near=False,Path_2_is_Near=False,Path_3_is_Near=False;
6446     var Path_1_Near_Points_FLAG,Path_2_Near_Points_FLAG,Path_3_Near_Points_FLAG;
6447     var Path_1_Point_Crd=vector(0,0,0),Path_2_Point_Crd=vector(0,0,0),Path_3_Point_Crd=vector(0,0,0);
6448     var Deepest_Point,Deepest_Point_Num;
6449     var Waterlevel_Already_Checked=False; //-> Damit die Wege nur einmal nach oben verschoben werden müssen
6450     var Max_Torque_Z,Max_Torque_X,Temp_Torque;
6451     var Change_Paths=0;
6452     Path_to_Point_Distance=100000000;
6453     Smallest_Distance=100000000;
6454     var Zufall,Zufallszahl_1,Zufallszahl_2,Zufallszahl_3;
6455     Zufall=new(Random);
6456     Zufall->Init(time());
6457     var BridgeWidth=Pedestrian_Width+Biker_Width+WheelChair_Width;
6458     //Verhältnis zwischen Momenten berechnen.
6459     Max_Torque_Z=Section_Torque_Z[0];
6460     for (a=1;a<SplinePunkte-1;a++) //PunktNr
6461     {
6462       Temp_Torque=Section_Torque_Z[a];
6463       if(Temp_Torque>=Max_Torque_Z) Max_Torque_Z=Temp_Torque;
6464     }
6465     Max_Torque_X=Section_Torque_X[0];
6466     for (a=1;a<SplinePunkte-1;a++) //PunktNr
6467     {
6468       Temp_Torque=Section_Torque_X[a];
6469       if(Temp_Torque>=Max_Torque_X) Max_Torque_X=Temp_Torque;
6470     }
6471     //if(Max_Torque_Z==Max_Torque_X/10) Change_Direction=True;
6472     if(Max_Torque_Z<=(Max_Torque_X/4)) Change_Paths=0; //Pfade nicht verändern
6473     if(Max_Torque_Z>(Max_Torque_X/4)) Change_Paths=1; //Pfade weg von der Ideallinie bewegen
6474     if(Max_Torque_Z>(Max_Torque_X/2)) Change_Paths=2; //Pfade zur Ideallinie bewegen
6475     println("Max_Torque_Z: ",Max_Torque_Z,"Max_Torque_X: ",Max_Torque_X);
6476     //Welcher SplinePunkt ist am Nächsten zum Kontroll_Punkt -> Mit dem Resultat kann der Schnitt an der Stelle beurteilt werden.

```

```

6477 //-----
6478 if(doc->FindObject("Pedestrian_Path_Spline"))
6479 {
6480 Path_1_Object=doc->FindObject("Pedestrian_Path_Spline");
6481 Path_1_Control_Points=Path_1_Object->GetPointCount();
6482 println("Pedestrian_Path_Spline gefunden mit ",Path_1_Control_Points," Controlpoints gefunden!!!");
6483 //Welcher Schnitt ist am nächsten zum aktuellen Path_Control_Point?
6484 for(i=1; i<Path_1_Control_Points-1; i++)
6485 {
6486     println("Controlpoint_Num: ",i);
6487     Path_Point_Crd=Path_1_Object->GetPoint(i);
6488     for (a=1; a<SplinePunkte-1; a++) //PunktNr
6489     {
6490         current_Point_Crd=Section_Area_Balance_Point[a];
6491         XYZ_Dist_2_Points_Calc(current_Point_Crd,Path_Point_Crd);
6492         Path_to_Point_Distance=abs(Dist_current_Points);
6493         if(Path_to_Point_Distance<=Smallest_Distance)
6494         {
6495             NearestSection_Num=a;
6496             Smallest_Distance=Path_to_Point_Distance;
6497             //println("NearestSection_Num: ",NearestSection_Num," und Smallest_Distance: ",Smallest_Distance);
6498         }
6499     }
6500     New_Path_1_Point_Crd=Path_Point_Crd;
6501     current_Point_Crd=Section_Area_Balance_Point[NearestSection_Num];
6502     P1=Path_1_Object->GetPoint(0);
6503     P2=Path_1_Object->GetPoint(Path_1_Control_Points-1);
6504     XYZ_Dist_2_Points_Calc(P1,P2);
6505     Path_Ideal_Lenght=abs(Dist_current_Points);
6506     Near_Distance=Path_Ideal_Lenght/Path_1_Control_Points;
6507     //-----
6508     //Liegt ein oder mehrerer anderer Pfadkontrollpunkt in unmittelbarer Nähe?
6509     if(doc->FindObject("Biker_Path_Spline"))
6510     {
6511         Path_2_Object=doc->FindObject("Biker_Path_Spline");
6512         Path_2_Control_Points=Path_2_Object->GetPointCount();
6513         Path_2_Near_Points_FLAG=new(array,Path_2_Control_Points);
6514         //Welcher der Path_2_Punkte liegt näher als ... an New_Path_1_Point_Crd
6515         for(a=1; a<Path_2_Control_Points-1; a++)
6516         {
6517             Path_Point_Crd=Path_2_Object->GetPoint(a);
6518             XYZ_Dist_2_Points_Calc(New_Path_1_Point_Crd,Path_Point_Crd);
6519             Point_Distance_Path1_Path2=abs(Dist_current_Points);
6520             Path_2_Near_Points_FLAG[a]=False;
6521             if(Point_Distance_Path1_Path2<Near_Distance)
6522             {
6523                 Path_2_is_Near=True;
6524                 Path_2_Near_Points_FLAG[a]=True;
6525             }
6526         }
6527     }
6528 }
6529 if(doc->FindObject("Barrier_Free_Path_Spline"))
6530 {
6531     Path_3_Object=doc->FindObject("Barrier_Free_Path_Spline");
6532     Path_3_Control_Points=Path_3_Object->GetPointCount();
6533     Path_3_Near_Points_FLAG=new(array,Path_3_Control_Points);
6534     for(a=1; a<Path_3_Control_Points-1; a++)
6535     {
6536         Path_Point_Crd=Path_3_Object->GetPoint(a);
6537         XYZ_Dist_2_Points_Calc(New_Path_1_Point_Crd,Path_Point_Crd);
6538         Point_Distance_Path1_Path3=abs(Dist_current_Points);
6539         Path_3_Near_Points_FLAG[a]=False;
6540         if(Point_Distance_Path1_Path3<Near_Distance)
6541         {
6542             Path_3_is_Near=True;
6543             Path_3_Near_Points_FLAG[a]=True;
6544         }
6545     }
6546 }
6547 //-----
6548 //Nun steht fest ob und welche anderen Pfadkontrollpunkte sich in der Nähe befinden
6549 //WASSERSTAND BERÜCKSICHTIGEN: Abfragen und eventuell Veränderungen vornehmen
6550 var current_Point;
6551 Deepest_Point=BRIDGE_VOLUME_POINTS_ARRAY[0][NearestSection_Num];
6552 Deepest_Point_Num=0;
6553 for(cnt=0; cnt<Anzahl_Splines*; cnt++)
6554 {
6555     current_Point=BRIDGE_VOLUME_POINTS_ARRAY[cnt][NearestSection_Num];
6556     if(current_Point.y<Deepest_Point.y)
6557     {
6558         Deepest_Point=BRIDGE_VOLUME_POINTS_ARRAY[cnt][NearestSection_Num];
6559         Deepest_Point_Num=cnt+1;
6560         //println("Der Tiefste Punkt an Schnitt ",NearestSection_Num," ist Punkt",cnt,"1",NearestSection_Num,"
6561 }
6562 }
6563 }
6564 }
6565 }
6566 }
6567 }
6568 }
6569 }
6570 }
6571 }
6572 }
6573 }
6574 }
6575 }
6576 }
6577 }
6578 }
6579 }
6580 }
6581 }
6582 }
6583 }
6584 }
6585 }
6586 }
6587 }
6588 }
6589 }
6590 }
6591 }
6592 }
6593 }
6594 }
6595 }
6596 }
6597 }
6598 }
6599 }
6600 }
6601 }
6602 }
6603 }
6604 }
6605 }
6606 }
6607 }
6608 }
6609 }
6610 }
6611 }
6612 }
6613 }
6614 }
6615 }
6616 }
6617 }
6618 }
6619 }
6620 }
6621 }
6622 }
6623 }
6624 }
6625 }
6626 }
6627 }
6628 }
6629 }
6630 }
6631 }
6632 }
6633 }
6634 }
6635 }
6636 }
6637 }
6638 }
6639 }
6640 }
6641 }
6642 }
6643 }
6644 }
6645 }
6646 }
6647 }
6648 }
6649 }
6650 }
6651 }
6652 }
6653 }
6654 }
6655 }
6656 }
6657 }
6658 }
6659 }
6660 }
6661 }
6662 }
6663 }
6664 }
6665 }
6666 }
6667 }
6668 }
6669 }
6670 }
6671 }
6672 }
6673 }
6674 }
6675 }
6676 }
6677 }
6678 }
6679 }
6680 }
6681 }
6682 }
6683 }
6684 }
6685 }
6686 }
6687 }
6688 }
6689 }
6690 }
6691 }
6692 }
6693 }
6694 }
6695 }
6696 }
6697 }
6698 }
6699 }
6700 }
6701 }
6702 }
6703 }
6704 }
6705 }
6706 }
6707 }
6708 }
6709 }
6710 }
6711 }
6712 }
6713 }
6714 }
6715 }
6716 }
6717 }
6718 }
6719 }
6720 }
6721 }
6722 }
6723 }
6724 }
6725 }
6726 }
6727 }
6728 }
6729 }
6730 }
6731 }
6732 }
6733 }
6734 }
6735 }
6736 }
6737 }
6738 }
6739 }
6740 }
6741 }
6742 }
6743 }
6744 }
6745 }
6746 }
6747 }
6748 }
6749 }
6750 }
6751 }
6752 }
6753 }
6754 }
6755 }
6756 }
6757 }
6758 }
6759 }
6760 }
6761 }
6762 }
6763 }
6764 }
6765 }
6766 }
6767 }
6768 }
6769 }
6770 }
6771 }
6772 }
6773 }
6774 }
6775 }
6776 }
6777 }
6778 }
6779 }
6780 }
6781 }
6782 }
6783 }
6784 }
6785 }
6786 }
6787 }
6788 }
6789 }
6790 }
6791 }
6792 }
6793 }
6794 }
6795 }
6796 }
6797 }
6798 }
6799 }
6800 }
6801 }
6802 }
6803 }
6804 }
6805 }
6806 }
6807 }
6808 }
6809 }
6810 }
6811 }
6812 }
6813 }
6814 }
6815 }
6816 }
6817 }
6818 }
6819 }
6820 }
6821 }
6822 }
6823 }
6824 }
6825 }
6826 }
6827 }
6828 }
6829 }
6830 }
6831 }
6832 }
6833 }
6834 }
6835 }
6836 }
6837 }
6838 }
6839 }
6840 }
6841 }
6842 }
6843 }
6844 }
6845 }
6846 }
6847 }
6848 }
6849 }
6850 }
6851 }
6852 }
6853 }
6854 }
6855 }
6856 }
6857 }
6858 }
6859 }
6860 }
6861 }
6862 }
6863 }
6864 }
6865 }
6866 }
6867 }
6868 }
6869 }
6870 }
6871 }
6872 }
6873 }
6874 }
6875 }
6876 }
6877 }
6878 }
6879 }
6880 }
6881 }
6882 }
6883 }
6884 }
6885 }
6886 }
6887 }
6888 }
6889 }
6890 }
6891 }
6892 }
6893 }
6894 }
6895 }
6896 }
6897 }
6898 }
6899 }
6900 }
6901 }
6902 }
6903 }
6904 }
6905 }
6906 }
6907 }
6908 }
6909 }
6910 }
6911 }
6912 }
6913 }
6914 }
6915 }
6916 }
6917 }
6918 }
6919 }
6920 }
6921 }
6922 }
6923 }
6924 }
6925 }
6926 }
6927 }
6928 }
6929 }
6930 }
6931 }
6932 }
6933 }
6934 }
6935 }
6936 }
6937 }
6938 }
6939 }
6940 }
6941 }
6942 }
6943 }
6944 }
6945 }
6946 }
6947 }
6948 }
6949 }
6950 }
6951 }
6952 }
6953 }
6954 }
6955 }
6956 }
6957 }
6958 }
6959 }
6960 }
6961 }
6962 }
6963 }
6964 }
6965 }
6966 }
6967 }
6968 }
6969 }
6970 }
6971 }
6972 }
6973 }
6974 }
6975 }
6976 }
6977 }
6978 }
6979 }
6980 }
6981 }
6982 }
6983 }
6984 }
6985 }
6986 }
6987 }
6988 }
6989 }
6990 }
6991 }
6992 }
6993 }
6994 }
6995 }
6996 }
6997 }
6998 }
6999 }
7000 }

```



```

6644 {
6645     if(abs(Degree_Ideal_Line)>abs(Degree_Path_Point)) Prefix=-1;
6646     if(abs(Degree_Ideal_Line)<abs(Degree_Path_Point)) Prefix=1;
6647 }
6648 }
6649 else
6650 {
6651     if(Change_Paths==1)
6652     {
6653         if(abs(Degree_Ideal_Line)>abs(Degree_Path_Point)) Prefix=-1;
6654         if(abs(Degree_Ideal_Line)<abs(Degree_Path_Point)) Prefix=1;
6655     }
6656     if(Change_Paths==2)
6657     {
6658         if(abs(Degree_Ideal_Line)>abs(Degree_Path_Point)) Prefix=-1;
6659         if(abs(Degree_Ideal_Line)<abs(Degree_Path_Point)) Prefix=1;
6660     }
6661 }
6662 if(Change_Paths==0) Prefix=0;
6663 Zufallszahl_1=Zufall->Get010();
6664 Zufallszahl_1=Zufallszahl_1+1;
6665 New_Path_1_Point_Crd=Path_Point_Crd;
6666 New_Path_1_Point_Crd.x=Path_Point_Crd.x+Prefix*((Pedestrian_Width/4)*Zufallszahl_1)*Normal_Degree
6667 New_Path_1_Point_Crd.z=Path_Point_Crd.z+Prefix*((Pedestrian_Width/4)*Zufallszahl_1;
6668 }
6669 Path_1_Object->SetPoint(i,New_Path_1_Point_Crd);
6670 }
6671 Path_1_Object->Message(MSG_UPDATE);
6672 }
6673 //-----
6674 if(doc->FindObject("Biker_Path_Spline"))
6675 {
6676     Path_2_Object=doc->FindObject("Biker_Path_Spline");
6677     Path_2_ControlPoints=Path_2_Object->GetPointCount();
6678     println("Biker_Path_Spline gefunden mit ",Path_2_ControlPoints," Controlpoints gefunden!!!");
6679     //Welcher Schnitt ist am nächsten zum aktuellen Path_Control_Point?
6680     for(i=1;<Path_2_ControlPoints-1;++)
6681     {
6682         println("Controlpoint_Num: ",i);
6683         Path_Point_Crd=Path_2_Object->GetPoint(i);
6684         for (a=1;a<SplinePunkte-1;a++) //PunktNr
6685         {
6686             current_Point_Crd=Section_Area_Balance_Point[a];
6687             XZ_Dist_2_Points_Calc(current_Point_Crd,Path_Point_Crd);
6688             Path_to_Point_Distance=abs(Dist_current_Points);
6689             if(Path_to_Point_Distance<=Smallest_Distance)
6690             {
6691                 NearestSection_Num=a;
6692                 Smallest_Distance=Path_to_Point_Distance;
6693                 //println("NearestSection_Num: ",NearestSection_Num," und Smallest_Distance: ",Smallest_Distance);
6694             }
6695         }
6696         New_Path_2_Point_Crd=Path_Point_Crd;
6697         current_Point_Crd=Section_Area_Balance_Point[NearestSection_Num];
6698         P1=Path_2_Object->GetPoint(0);
6699         P2=Path_2_Object->GetPoint(Path_2_ControlPoints-1);
6700         XYZ_Dist_2_Points_Calc(P1,P2);
6701         Path_Ideal_Lenght=abs(Dist_current_Points);
6702         Near_Distance=Path_Ideal_Lenght/Path_2_ControlPoints;
6703         //-----
6704         //Liegt ein oder mehrerer anderer Pfadkontrollpunkt in unmittelbarer Nähe?
6705         if(doc->FindObject("Pedestrian_Path_Spline"))
6706         {
6707             Path_1_Object=doc->FindObject("Pedestrian_Path_Spline");
6708             Path_1_ControlPoints=Path_1_Object->GetPointCount();
6709             Path_1_Near_Points_FLAG=new(array,Path_1_ControlPoints);
6710             //Welcher der Path_2_Punkte liegt näher als ... an New_Path_1_Point_Crd
6711             for(a=1;a<Path_1_ControlPoints-1;a++)
6712             {
6713                 Path_Point_Crd=Path_1_Object->GetPoint(a);
6714                 XYZ_Dist_2_Points_Calc(New_Path_2_Point_Crd,Path_Point_Crd);
6715                 Point_Distance_Path1_Path2=abs(Dist_current_Points);
6716                 Path_1_Near_Points_FLAG[a]=False;
6717                 if(Point_Distance_Path1_Path2<Near_Distance)
6718                 {
6719                     Path_1_is_Near=True;
6720                     Path_1_Near_Points_FLAG[a]=True;
6721                 }
6722             }
6723         }
6724     }
6725     if(doc->FindObject("Barrier_Free_Path_Spline"))
6726     {
6727         Path_3_Object=doc->FindObject("Biker_Path_Spline");
6728         Path_3_ControlPoints=Path_3_Object->GetPointCount();
6729         Path_3_Near_Points_FLAG=new(array,Path_3_ControlPoints);
6730         for(a=1;a<Path_3_ControlPoints-1;a++)
6731         {
6732             Path_Point_Crd=Path_3_Object->GetPoint(a);
6733             XYZ_Dist_2_Points_Calc(New_Path_2_Point_Crd,Path_Point_Crd);
6734             Point_Distance_Path1_Path3=abs(Dist_current_Points);
6735             Path_3_Near_Points_FLAG[a]=False;
6736             if(Point_Distance_Path1_Path3<Near_Distance)
6737             {
6738                 Path_3_is_Near=True;
6739                 Path_3_Near_Points_FLAG[a]=True;
6740             }
6741         }
6742         //-----
6743         //Nun steht fest ob und welche anderen Pfadkontrollpunkte sich in der Nähe befinden
6744         //WASSERSTAND BERÜCKSICHTIGEN: Abfragen und eventuell Veränderungen vornehmen
6745         if(Path_2_Near_Points_FLAG[i]==False) //Wenn dieser Punkt bereits vorher verschoben wurde dann keine Überprüfung
6746         {
6747             var current_Point;
6748             Deepest_Point=BRIDGE_VOLUME_POINTS_ARRAY[0][NearestSection_Num];
6749             Deepest_Point_Num=0;
6750             for(cnt=0;cnt<AnzahlSplines*2;cnt++)
6751             {
6752                 current_Point=BRIDGE_VOLUME_POINTS_ARRAY[cnt][NearestSection_Num];
6753                 if(current_Point.y<Deepest_Point.y)
6754                 {
6755                     Deepest_Point=BRIDGE_VOLUME_POINTS_ARRAY[cnt][NearestSection_Num];
6756                     Deepest_Point_Num=Deepest_Point_Num+1;
6757                     //println("Der Tiefste Punkt an Schnitt ",NearestSection_Num," ist Punkt",cnt,"1",NearestSection_Num,".");
6758                 }
6759             }
6760             println("Waterlevel_Point: ",Waterlevel_Point);
6761             if(Deepest_Point.y<=Waterlevel_Point.y+Minimal_Construction_Height)
6762             {
6763                 //Waterlevel_Already_Checked=True;
6764                 Y_Distanz_to_Water=(Waterlevel_Point.y+Minimal_Construction_Height)-Deepest_Point.y;
6765                 println("Der Punkt",Deepest_Point," ist im Wasser, das sind ",Y_Distanz_to_Water,"cm zuviel!");
6766                 //Nun müssen alle Weg gleichmäßig nach oben verschoben werden
6767                 New_Path_2_Point_Crd.y=(Waterlevel_Point.y+Minimal_Construction_Height)+Y_Distanz_to_Water;
6768                 println("Punkt ",i," der Biker_Path_Spline wird verschoben");
6769                 if(doc->FindObject("Pedestrian_Path_Spline"))
6770                 {
6771                     //Alle nahen Path_2_Control_Punkte nach oben verschieben.
6772                     for(c=1;c<Path_1_ControlPoints-1;c++)
6773                     {
6774                         if(Path_1_Near_Points_FLAG[c]==True)
6775                         {
6776                             Path_1_Point_Crd=Path_1_Object->GetPoint(c);
6777                             Path_1_Point_Crd.y= Path_1_Point_Crd.y+Y_Distanz_to_Water;
6778                             Path_1_Object->SetPoint(c);
6779                             println("Punkt ",c," der Pedestrian_Path_Spline wird verschoben");
6780                         }
6781                     }
6782                     Path_1_Object->Message(MSG_UPDATE);
6783                 } //if(doc->FindObject("Biker_Path_Spline")) ENDE
6784                 if(doc->FindObject("Barrier_Free_Path_Spline"))
6785                 {
6786                     //Alle nahen Path_3_Control_Punkte nach oben verschieben.
6787                     for(c=1;c<Path_3_ControlPoints-1;c++)
6788                     {
6789                         if(Path_3_Near_Points_FLAG[c]==True)
6790                         {
6791                             Path_3_Point_Crd=Path_3_Object->GetPoint(c);
6792                             Path_3_Point_Crd.y= Path_3_Point_Crd.y+Y_Distanz_to_Water;
6793                             Path_3_Object->SetPoint(c);
6794                             println("Punkt ",c," der Barrier_Free_Path_Spline wird verschoben");
6795                         }
6796                     }
6797                     Path_3_Object->Message(MSG_UPDATE);
6798                 } //if(doc->FindObject("Biker_Path_Spline")) ENDE
6799                 //WASSERSTAD BERÜCKSICHTIGEN ENDE
6800                 else println("Der Punkt",Deepest_Point," ist nicht im Wasser!");
6801                 // if(Waterlevel_Already_Checked==False) ENDE
6802                 else println("Punkt ",i," wird nicht überprüft, da dieser bereits vorher verschoben wurde!");
6803                 Path_2_Object->SetPoint(i,New_Path_1_Point_Crd);
6804                 Path_2_Object->Message(MSG_UPDATE);
6805             }
6806             //BRÜCKEN ACHSLINIENFÜHRUNG VERÄNDERN -> Um Platz für Querschnittveränderungen nach oben zu schaffen und um event
6807             veringern.
6808             if(Change_Bridge_Symmetry==True)
6809             {
6810                 var Ideal_Line_Start_Point,Ideal_Line_End_Point,New_Ideal_Endpoint,Ideal_Spline_Num,Degree_Ideal_Line,Normal_Degree_Ideal
6811                 var Path_Point_New_Temp,Count,Degree_Path_Point;

```

```

6811 var Prefix;
6812
6813 //1 ZWEI ENDPUNTE DER IDEALSPLINE FESTLEGEN
6814 Ideal_Spline_Num=Int(Anzahl_Splines/2);
6815 Ideal_Line_Start_Point=BRIDGE_VOLUME_POINTS_ARRAY[Ideal_Spline_Num][0];
6816 Ideal_Line_End_Point=BRIDGE_VOLUME_POINTS_ARRAY[Ideal_Spline_Num][SplinePunkte-1];
6817 New_Ideal_Endpoint=Ideal_Line_End_Point;
6818 New_Ideal_Endpoint.x=Ideal_Line_End_Point.x-Ideal_Line_Start_Point.x;
6819 New_Ideal_Endpoint.z=Ideal_Line_End_Point.z-Ideal_Line_Start_Point.z;
6820 Degree_Ideal_Line=New_Ideal_Endpoint.x/New_Ideal_Endpoint.z;
6821 Normal_Degree_Ideal_Line=New_Ideal_Endpoint.z/New_Ideal_Endpoint.x;
6822 XZ_Dist_2_Points_Calc(Ideal_Line_Start_Point,Ideal_Line_End_Point);
6823 Ideal_Line_Length=Dist_current_Points;
6824 Path_Point_Crd=Path_2_Object->GetPoint(i);
6825 Path_Point_New_Temp=Path_Point_Crd;
6826 Path_Point_New_Temp.x=Path_Point_Crd.x-Ideal_Line_Start_Point.x;
6827 Path_Point_New_Temp.z=Path_Point_Crd.z-Ideal_Line_Start_Point.z;
6828 Degree_Path_Point=Path_Point_New_Temp.x/Path_Point_New_Temp.z;
6829 if(Degree_Path_Point<0)
6830 {
6831     if(Change_Paths==1)
6832     {
6833         if(abs(Degree_Ideal_Line)>abs(Degree_Path_Point)) Prefix=1;
6834         if(abs(Degree_Ideal_Line)<abs(Degree_Path_Point)) Prefix=-1;
6835     }
6836     if(Change_Paths==2)
6837     {
6838         if(abs(Degree_Ideal_Line)>abs(Degree_Path_Point)) Prefix=-1;
6839         if(abs(Degree_Ideal_Line)<abs(Degree_Path_Point)) Prefix=1;
6840     }
6841 }
6842 else
6843 {
6844     if(Change_Paths==1)
6845     {
6846         if(abs(Degree_Ideal_Line)>abs(Degree_Path_Point)) Prefix=-1;
6847         if(abs(Degree_Ideal_Line)<abs(Degree_Path_Point)) Prefix=1;
6848     }
6849     if(Change_Paths==2)
6850     {
6851         if(abs(Degree_Ideal_Line)>abs(Degree_Path_Point)) Prefix=1;
6852         if(abs(Degree_Ideal_Line)<abs(Degree_Path_Point)) Prefix=-1;
6853     }
6854 }
6855 if(Change_Paths==0) Prefix=0;
6856 Zufallszahl_2=Zufall->Get010;
6857 Zufallszahl_2=Zufallszahl_2+1;
6858 New_Path_2_Point_Crd=Path_Point_Crd;
6859 New_Path_2_Point_Crd.x=Path_Point_Crd.x+Prefix*((Biker_Width/4)*Zufallszahl_2)*Normal_Degree_Ide
6860 New_Path_2_Point_Crd.z=Path_Point_Crd.z+Prefix*((Biker_Width/4)*Zufallszahl_2);
6861 }
6862 Path_2_Object->SetPoint(i,New_Path_2_Point_Crd);
6863 }
6864 Path_2_Object->Message(MSG_UPDATE);
6865 }
6866 //-----
6867 if(doc->FindObject("Barrier_Free_Path_Spline"))
6868 {
6869     Path_3_Object=doc->FindObject("Barrier_Free_Path_Spline");
6870     Path_3_Control_Points=Path_3_Object->GetPointCount();
6871     println("Barrier_Free_Path_Spline gefunden mit ",Path_3_Control_Points," Controlpoints gefunden!!!");
6872     //Welcher Schnitt ist am nächsten zum aktuellen Path_Control_Point?
6873     for(i=1;<Path_3_Control_Points-1;++)
6874     {
6875         println("Controlpoint_Num: ",i);
6876         Path_Point_Crd=Path_3_Object->GetPoint(i);
6877         for (a=1;a<SplinePunkte-1;a++) //PunktNr
6878         {
6879             current_Point_Crd=Section_Area_Balance_Point[a];
6880             XZ_Dist_2_Points_Calc(current_Point_Crd,Path_Point_Crd);
6881             Path_to_Point_Distance=abs(Dist_current_Points);
6882             if(Path_to_Point_Distance<=Smallest_Distance)
6883             {
6884                 NearestSection_Num=a;
6885                 Smallest_Distance=Path_to_Point_Distance;
6886                 //println("NearestSection_Num: ",NearestSection_Num," und Smallest_Distance: ",Smallest_Distance);
6887             }
6888         }
6889         New_Path_3_Point_Crd=Path_Point_Crd;
6890         current_Point_Crd=Section_Area_Balance_Point[NearestSection_Num];
6891         P1=Path_3_Object->GetPoint(0);
6892         P2=Path_3_Object->GetPoint(Path_3_Control_Points-1);
6893         XYZ_Dist_2_Points_Calc(P1,P2);
6894         Path_Ideal_Length=abs(Dist_current_Points);

```

```

6895     Near_Distance=Path_Ideal_Length/Path_3_Control_Points;
6896     //-----
6897     //Liegt ein oder mehrere andere Pfadkontrollpunkt in unmittelbarer Nähe?
6898     if(doc->FindObject("Pedestrian_Path_Spline"))
6899     {
6900         Path_1_Object=doc->FindObject("Pedestrian_Path_Spline");
6901         Path_1_Control_Points=Path_1_Object->GetPointCount();
6902         Path_1_Near_Points_FLAG=new(array,Path_1_Control_Points);
6903         //Welcher der Path_2_Punkte liegt näher als ... an New_Path_1_Point_Crd
6904         for(a=1;a<Path_1_Control_Points-1;a++)
6905         {
6906             Path_Point_Crd=Path_1_Object->GetPoint(a);
6907             XYZ_Dist_2_Points_Calc(New_Path_3_Point_Crd,Path_Point_Crd);
6908             Point_Distance_Path1_Path3=abs(Dist_current_Points);
6909             Path_1_Near_Points_FLAG[a]=False;
6910             if(Point_Distance_Path1_Path3<Near_Distance)
6911             {
6912                 Path_1_is_Near=True;
6913                 Path_1_Near_Points_FLAG[a]=True;
6914             }
6915         }
6916     }
6917     if(doc->FindObject("Biker_Path_Spline"))
6918     {
6919         Path_2_Object=doc->FindObject("Biker_Path_Spline");
6920         Path_2_Control_Points=Path_2_Object->GetPointCount();
6921         Path_2_Near_Points_FLAG=new(array,Path_2_Control_Points);
6922         for(a=1;a<Path_2_Control_Points-1;a++)
6923         {
6924             Path_Point_Crd=Path_2_Object->GetPoint(a);
6925             XYZ_Dist_2_Points_Calc(New_Path_3_Point_Crd,Path_Point_Crd);
6926             Point_Distance_Path2_Path3=abs(Dist_current_Points);
6927             Path_2_Near_Points_FLAG[a]=False;
6928             if(Point_Distance_Path2_Path3<Near_Distance)
6929             {
6930                 Path_2_is_Near=True;
6931                 Path_2_Near_Points_FLAG[a]=True;
6932             }
6933         }
6934     }
6935     //-----
6936     //Nun steht fest ob und welche anderen Pfadkontrollpunkte sich in der Nähe befinden
6937     //WASSERSTAND BERÜCKSICHTIGEN: Abfragen und eventuell Veränderungen vornehmen
6938     if(Path_3_Near_Points_FLAG[i]==False) //Wenn dieser Punkt bereits vorher verschoben wurde dann
6939     {
6940         var current_Point;
6941         Deepest_Point=BRIDGE_VOLUME_POINTS_ARRAY[0][NearestSection_Num];
6942         Deepest_Point_Num=0;
6943         for(cnt=0;cnt<Anzahl_Splines*2;cnt++)
6944         {
6945             current_Point=BRIDGE_VOLUME_POINTS_ARRAY[cnt][NearestSection_Num];
6946             if(current_Point.y<Deepest_Point.y)
6947             {
6948                 Deepest_Point=BRIDGE_VOLUME_POINTS_ARRAY[cnt][NearestSection_Num];
6949                 Deepest_Point_Num=Deepest_Point_Num+1;
6950                 //println("Der Tiefste Punkt an Schnitt ",NearestSection_Num," ist Punkt",cnt,"",NearestSection
6951             }
6952         }
6953         println("Waterlevel_Point: ",Waterlevel_Point);
6954         if(Deepest_Point.y<Waterlevel_Point.y+Minimal_Construction_Height)
6955         {
6956             //Waterlevel_Already_Checked=True;
6957             Y_Distanz_to_Water=(Waterlevel_Point.y+Minimal_Construction_Height)-Deepest_Point.y;
6958             println("Der Punkt",Deepest_Point," ist im Wasser, das sind ",Y_Distanz_to_Water,"cm zuviel!");
6959             //Nun müssen alle Weg gleichmäßig nach oben verschoben werden
6960             New_Path_3_Point_Crd.y=(Waterlevel_Point.y+Minimal_Construction_Height)+Y_Distanz_to_Water
6961             println("Punkt ",i," der Barrier_Free_Path_Spline wird verschoben");
6962             if(doc->FindObject("Pedestrian_Path_Spline"))
6963             {
6964                 //Alle nahen Path_2_Control_Punkte nach oben verschieben.
6965                 for(c=1;c<Path_1_Control_Points-1;c++)
6966                 {
6967                     if(Path_1_Near_Points_FLAG[c]==True)
6968                     {
6969                         Path_1_Point_Crd=Path_1_Object->GetPoint(c);
6970                         Path_1_Point_Crd.y= Path_1_Point_Crd.y+Y_Distanz_to_Water;
6971                         Path_1_Object->SetPoint(c);
6972                         println("Punkt ",c," der Pedestrian_Path_Spline wird verschoben");
6973                     }
6974                 }
6975                 Path_1_Object->Message(MSG_UPDATE);
6976             } //if(doc->FindObject("Biker_Path_Spline")) ENDE
6977             if(doc->FindObject("Biker_Path_Spline"))
6978             { //Alle nahen Path_3_Control_Punkte nach oben verschieben.

```

```

6979     for(c=1;c<Path_2_Control_Points-1;c++)
6980     {
6981         if(Path_2_Near_Points_FLAG[c]==True)
6982         {
6983             Path_2_Point_Crd=Path_2_Object->GetPoint(c);
6984             Path_2_Point_Crd.y= Path_2_Point_Crd.y+Y_Distanz_to_Water;
6985             Path_2_Object->SetPoint(c);
6986             println("Punkt ",c," der Biker_Path_Spline wird verschoben");
6987         }
6988     }
6989     Path_2_Object->Message(MSG_UPDATE);
6990     } //if(doc->FindObject("Biker_Path_Spline")) ENDE
6991 }//WASSERSTNAD BERÜCKSICHTIGEN ENDE
6992 else println("Der Punkt",Deepest_Point," ist nicht im Wasser!");
6993 } //if(Waterlevel_Already_Checked==False) ENDE
6994 else println("Punkt ",i," wird nicht überprüft, da dieser bereits vorher verschoben wurde!");
6995 Path_3_Object->SetPoint(i,New_Path_3_Point_Crd);
6996 Path_3_Object->Message(MSG_UPDATE);
6997 if(Change_Bridge_Symmetry==True)
6998 {
6999     var Ideal_Line_Start_Point,Ideal_Line_End_Point, New_Ideal_Endpoint,Ideal_Spline_Num,Degree_Ideal_LL
7000     var Path_Point_New_Temp,Count,Degree_Path_Point;
7001     var Prefix;
7002     //1 ZWEI ENDPUNTE DER IDEALSPLINE FESTLEGEN
7003     Ideal_Spline_Num=int(Anzahl_Splines/2);
7004     Ideal_Line_Start_Point=BRIDGE_VOLUME_POINTS_ARRAY[Ideal_Spline_Num][0];
7005     Ideal_Line_End_Point=BRIDGE_VOLUME_POINTS_ARRAY[Ideal_Spline_Num][SplinePunkte-1];
7006     New_Ideal_Endpoint=Ideal_Line_End_Point;
7007     New_Ideal_Endpoint.x=Ideal_Line_End_Point.x-Ideal_Line_Start_Point.x;
7008     New_Ideal_Endpoint.z=Ideal_Line_End_Point.z-Ideal_Line_Start_Point.z;
7009     Degree_Ideal_Line=New_Ideal_Endpoint.x/New_Ideal_Endpoint.z;
7010     Normal_Degree_Ideal_Line=New_Ideal_Endpoint.z/New_Ideal_Endpoint.x;
7011     XZ_Dist_2_Points_Calc(Ideal_Line_Start_Point,Ideal_Line_End_Point);
7012     Ideal_Line_Length=Dist_current_Points;
7013     Path_Point_Crd=Path_3_Object->GetPoint(i);
7014     Path_Point_New_Temp=Path_Point_Crd;
7015     Path_Point_New_Temp.x=Path_Point_Crd.x-Ideal_Line_Start_Point.x;
7016     Path_Point_New_Temp.z=Path_Point_Crd.z-Ideal_Line_Start_Point.z;
7017     Degree_Path_Point=Path_Point_New_Temp.x/Path_Point_New_Temp.z;
7018     if(Degree_Path_Point<0)
7019     {
7020         if(Change_Paths==1)
7021         {
7022             if(abs(Degree_Ideal_Line)>abs(Degree_Path_Point)) Prefix=1;
7023             if(abs(Degree_Ideal_Line)<abs(Degree_Path_Point)) Prefix=-1;
7024         }
7025         if(Change_Paths==2)
7026         {
7027             if(abs(Degree_Ideal_Line)>abs(Degree_Path_Point)) Prefix=-1;
7028             if(abs(Degree_Ideal_Line)<abs(Degree_Path_Point)) Prefix=1;
7029         }
7030     }
7031     else
7032     {
7033         if(Change_Paths==1)
7034         {
7035             if(abs(Degree_Ideal_Line)>abs(Degree_Path_Point)) Prefix=-1;
7036             if(abs(Degree_Ideal_Line)<abs(Degree_Path_Point)) Prefix=1;
7037         }
7038         if(Change_Paths==2)
7039         {
7040             if(abs(Degree_Ideal_Line)>abs(Degree_Path_Point)) Prefix=1;
7041             if(abs(Degree_Ideal_Line)<abs(Degree_Path_Point)) Prefix=-1;
7042         }
7043     }
7044     if(Change_Paths==0) Prefix=0;
7045     Zufallszahl_3=Zufall->Get010;
7046     Zufallszahl_3=Zufallszahl_3+1;
7047     New_Path_3_Point_Crd=Path_Point_Crd;
7048     New_Path_3_Point_Crd.x=Path_Point_Crd.x+Prefix*((WheelChair_Width/4)*Zufallszahl_3)*Normal_Degr
7049     New_Path_3_Point_Crd.z=Path_Point_Crd.z+Prefix*((WheelChair_Width/4)*Zufallszahl_3);
7050 }
7051 Path_3_Object->SetPoint(i,New_Path_3_Point_Crd);
7052 }
7053 Path_3_Object->Message(MSG_UPDATE);
7054 }
7055 }
7056
7057 //MODIFY BRIDGE GEOMETRIE
7058 CHANGE_BRIDGE_PARAMETERS0
7059 {
7060     println(" ");
7061     println("BRÜCKENGEOMETRIE VERÄNDERN!");

```

```

7063     var a;
7064     //Was dient als Entscheidungsgrundlage für Veränderungen?
7065
7066     println("Entscheidungsgrundlagen:");
7067     println("Auslastung Arm_1 durch Durchbiegung: ",Bending_of_Arm_1_Efficiency*100,"%");
7068     println("Auslastung Arm_2 durch Durchbiegung: ",Bending_of_Arm_2_Efficiency*100,"%");
7069
7070     //Variablen auf Grundwerte setzen bevor sie neu beschrieben werden
7071     if(Beam_Number_Intern<=2) //1-2
7072     {
7073         Formula_Divident_Arm_1_Extern=Formula_Divident_Arm_1;
7074         Formula_Divident_Arm_2_Extern=Formula_Divident_Arm_2;
7075         Torque_Curve_Calc_Mode=1;
7076         Change_Bridge_Thickness=1;
7077         Section_Shape_Mode_Extern=1;
7078         Faktor_1_Enable_Extern=0;
7079         Faktor_2_Enable_Extern=0;
7080         println("MODIFY_PATHS_ON=True");
7081         MODIFY_PATHS0; //Pfade verändern.
7082         println("CHECK_SPLINE_DEGREES_ON=True");
7083         CHECK_SPLINE_DEGREES_ON=True;
7084         /*
7085         println("KNEAD_TO_PATHS_ON=True");
7086         KNEAD_TO_PATHS_ON=True;
7087         */
7088         println("PATH_CLEARANCE_ON=True");
7089         PATH_CLEARANCE_ON=True;
7090     }
7091     if(Beam_Number_Intern>3)//ab 4
7092     {
7093         //Vorbemessungsformel Ändern:
7094         println("Formula_Divident_Arm_1:",Formula_Divident_Arm_1," Bending_of_Arm_1_Efficiency: ",Bending_of_Arm_1_Efficiency);
7095         //if(Bending_of_Arm_1_Efficiency>0) Formula_Divident_Arm_1_Extern=Formula_Divident_Arm_1/(Bending_of_Arm_1_Efficiency*1.1)
7096         if(Bending_of_Arm_1_Efficiency>0) Formula_Divident_Arm_1_Extern=Formula_Divident_Arm_1//BLEIBT GLEICH
7097         println("Formula_Divident_Arm_2:",Formula_Divident_Arm_2," Bending_of_Arm_2_Efficiency: ",Bending_of_Arm_2_Efficiency);
7098         // if(Bending_of_Arm_2_Efficiency>0) Formula_Divident_Arm_2_Extern=Formula_Divident_Arm_2/(Bending_of_Arm_2_Efficiency
7099         //1.1 sind 10% mehr oder weniger Veränderung
7100         if(Bending_of_Arm_2_Efficiency>0) Formula_Divident_Arm_2_Extern=Formula_Divident_Arm_2//BLEIBT GLEICH
7101         Formula_Divident_Arm_1_Extern=Formula_Divident_Arm_1;
7102         Formula_Divident_Arm_2_Extern=Formula_Divident_Arm_2;
7103         if(Bending_of_Arm_1_Efficiency==0.0) Formula_Divident_Arm_1_Extern=0;
7104         if(Bending_of_Arm_2_Efficiency==0.0) Formula_Divident_Arm_2_Extern=0;
7105         //Änderungen nach oben oder untenhin ausschließen
7106         //Change_Bridge_Thickness=1;
7107         //Change_Bridge_Symmetry=True;
7108         Torque_Curve_Calc_Mode=0;
7109         //Grundsätzliche Profil Kontur:
7110         Section_Shape_Mode_Extern=1;
7111         //Korrekturfaktor 1 erlauben 1:Ja / 2: Nein
7112         Faktor_1_Enable_Extern=0;
7113         //Korrekturfaktor 1 erlauben 1:Ja / 2: Nein
7114         Faktor_2_Enable_Extern=0;
7115
7116         var Zufall, Zufallszahl_1,Zufallszahl_2,Cross_Efficiency;
7117         Zufall=new(Random);
7118         Zufall->Init(time0);
7119         Zufallszahl_1=Zufall->Get010;
7120         Zufallszahl_2=Zufall->Get010;
7121         if(Zufallszahl_2<=0.9)
7122         {
7123             println("Pfade werden auch im Grundriss verändert");
7124             Change_Bridge_Symmetry=True;
7125             println("KNEAD_TO_PATHS_ON=True");
7126             KNEAD_TO_PATHS_ON=True;
7127         }
7128         println("MODIFY_PATHS_ON=True");
7129         MODIFY_PATHS0; //Pfade verändern.
7130         println("CHECK_SPLINE_DEGREES_ON=True");
7131         CHECK_SPLINE_DEGREES_ON=True;
7132         if(Zufallszahl_1<=0.1)
7133         {
7134             println("KNEAD_TO_PATHS_ON=True");
7135             KNEAD_TO_PATHS_ON=True;
7136         }
7137         println("PATH_CLEARANCE_ON=True");
7138         PATH_CLEARANCE_ON=True;
7139         Formula_Divident_Arm_1_Extern=Formula_Divident_Arm_1;
7140         Formula_Divident_Arm_2_Extern=Formula_Divident_Arm_2;
7141         Torque_Curve_Calc_Mode=0;
7142         Change_Bridge_Thickness=1;
7143         Section_Shape_Mode_Extern=1;
7144         Faktor_1_Enable_Extern=0;
7145         Faktor_2_Enable_Extern=0;
7146     }

```



```

7147 }
7148
7149 //-----
7150 //-----
7151 main()
7152 {
7153     var SplineName=("OriginalSpline!");
7154     doc=GetActiveDocument();
7155     if (ONOFF==TRUE && doc->FindObject("LoftObjekt")&& doc->FindObject(SplineName))
7156     {
7157         var cnt,a; // Zählvariablen
7158         BRIDGE_POINTS_ARRAY = new (array,Anzahl_Splines,SplinePunkte);
7159         BRIDGE_VOLUME_POINTS_ARRAY=new(array,Anzahl_Splines*2,SplinePunkte);
7160         Sum_of_Pyramides_Volumes=new (array,Anzahl_Splines-1,SplinePunkte-1);//Eigengewicht Annahme
7161         Ideal_Beam_Heights=new(array,Anzahl_Splines,SplinePunkte);
7162         //Eigengewicht annehmen.
7163         for(cnt=0;cnt<Anzahl_Splines-1;cnt++)
7164         {
7165             for(a=0;a<SplinePunkte-1;a++) Sum_of_Pyramides_Volumes[cnt][a]=Structure_Load; //Eigengewicht Anna
7166         }
7167         //NullObjekte als Ordner ERSTELLEN
7168         var STRUCTURE_NullObject;
7169         if(!doc->FindObject("STRUCTURE_CALC"))
7170         {
7171             var STRUCTURE_NullObjectName=("STRUCTURE_CALC");
7172             STRUCTURE_NullObject=new(NullObject);
7173             STRUCTURE_NullObject->SetName(STRUCTURE_NullObjectName);
7174             doc->InsertObject(STRUCTURE_NullObject,Null,Null);
7175             //Geometry_BalancePoints Ordner erstellen
7176         }
7177         println("-----");
7178         println("TRAGWERKSBEURTEILUNG START!!!");
7179         println("-----");
7180
7181         //-----
7182         //STARTBEDINGUNGEN
7183         //-----
7184         Section_Shape_Mode=1; //Definiert wie sich das Profil zum Rand hin verläuft;0=rechteckig,1=konkav,2=konv
7185         //für die Proportion der Profile
7186         if(Material_Typ==0) //STAHL
7187         {
7188             Obergurt_Mindesthoehe=2;
7189             Untergurt_Mindesthoehe=2;
7190             OG_Height_Percent=0.03; //0.12
7191             UG_Height_Percent=0.10;
7192             Left_Width_Percent=0.15; //Der Wert darf nicht höher als über 0.5 sein
7193             Right_Width_Percent=0.15; //Der Wert darf nicht höher als über 0.5 sein
7194             //Für Aushöhlungsprogramm
7195             Stegbreiten_Faktor=0.12; //Stegbreite muss mindestens z.B.: 8% der Höhe besitzen.
7196             Minimal_Construction_Height=Obergurt_Mindesthoehe+Untergurt_Mindesthoehe; //Concrete_Entwurf=35
7197         }
7198         if(Material_Typ==1) //STAHLBETON
7199         {
7200             Obergurt_Mindesthoehe=10;
7201             Untergurt_Mindesthoehe=7;
7202             OG_Height_Percent=0.05; //0.12
7203             UG_Height_Percent=0.30;
7204             Left_Width_Percent=0.25; //Der Wert darf nicht höher als über 0.5 sein
7205             Right_Width_Percent=0.25; //Der Wert darf nicht höher als über 0.5 sein
7206             //Für Aushöhlungsprogramm
7207             Stegbreiten_Faktor=0.12; //Stegbreite muss mindestens z.B.: 8% der Höhe besitzen.
7208             Minimal_Construction_Height=Obergurt_Mindesthoehe+Untergurt_Mindesthoehe; //Concrete_Entwurf=35
7209         }
7210
7211         Beam_Proportion_Faktor=2.5; //Der Wert "0" bedeutet deaktivieren.//Der Wert 3 würde die Trophy verv
7212         Stegabstands_Verhältnis = 1/0.4=2.25=>H/B=2.5 //Hat wesentlichen Einfluss auf Kurven verlauf in der Steiten;
7213         Faktor_1_Enable==True; //1. Berücksichtigungsfaktor Ein/Aus = True/False -> Hier wird ein ideales Rechteck:
7214         Brückenbreite (und einer Idealhöhe) berechnet und dann wird über das Widerstandsmoment eine neue Höhe b
7215         Faktor_2_Proportion_Value=2.5; //
7216         Faktor_2_Enable=False; //2. Berücksichtigungsfaktor Ein/Aus = True/False
7217         //Für den Stabilitätsnachweis
7218         Global_Saftey_Faktor=1.4; //Normal=1.4; //Globaler Sicherheitsbeiwert = 1.4; -> Für Vorbemessung ausreichen
7219         Waterlevel=Wasserpegel;
7220         Change_Bridge_Thickness=0;
7221
7222         //Punkte_Array von der Brückenflächengeometrie erzeugen
7223         GENERATE_BRIDGE_GEOMETRY_ARRAY(); //ERGEBNIS: BRIDGE_POINTS_ARRAY[][];->SplineAnzahl|Sp
7224
7225         //SURFACE_CALC
7226         BRIDGE_SURFACE_CALC(); //ERGEBNIS: EntirePlane,SinglePlane_BalancePoint[cnt][a],SinglePlanes[cnt][a]
7227
7228         //Vom tiefsten Uferpunkt das Wasserlevel abziehen
7229         WATERLEVEL_POINT_CALC();
7230
7231
7232
7233
7234
7235
7236
7237
7238
7239
7240
7241
7242
7243
7244
7245
7246
7247
7248
7249
7250
7251
7252
7253
7254
7255
7256
7257
7258
7259
7260
7261
7262
7263
7264
7265
7266
7267
7268
7269
7270
7271
7272
7273
7274
7275
7276
7277
7278
7279
7280
7281
7282
7283
7284
7285
7286
7287
7288
7289
7290
7291
7292
7293
7294
7295
7296
7297
7298
7299
7300
7301
7302
7303
7304
7305
7306
7307
7308
7309
7310
7311
7312
7313
7314
7315
7316
7317
7318
7319
7320
7321
7322
7323
7324
7325
7326
7327
7328
7329
7330
7331
7332
7333
7334
7335
7336
7337
7338
7339
7340
7341
7342
7343
7344
7345
7346
7347
7348
7349
7350
7351
7352
7353
7354
7355
7356
7357
7358
7359
7360
7361
7362
7363
7364
7365
7366
7367
7368
7369
7370
7371
7372
7373
7374
7375
7376
7377
7378
7379
7380
7381
7382
7383
7384
7385
7386
7387
7388
7389
7390
7391
7392
7393
7394
7395
7396
7397
7398
7399
7400
7401
7402
7403
7404
7405
7406
7407
7408
7409
7410
7411
7412
7413
7414
7415
7416
7417
7418
7419
7420
7421
7422
7423
7424
7425
7426
7427
7428
7429
7430
7431
7432
7433
7434
7435
7436
7437
7438
7439
7440
7441
7442
7443
7444
7445
7446
7447
7448
7449
7450
7451
7452
7453
7454
7455
7456
7457
7458
7459
7460
7461
7462
7463
7464
7465
7466
7467
7468
7469
7470
7471
7472
7473
7474
7475
7476
7477
7478
7479
7480
7481
7482
7483
7484
7485
7486
7487
7488
7489
7490
7491
7492
7493
7494
7495
7496
7497
7498
7499
7500
7501
7502
7503
7504
7505
7506
7507
7508
7509
7510
7511
7512
7513
7514
7515
7516
7517
7518
7519
7520
7521
7522
7523
7524
7525
7526
7527
7528
7529
7530
7531
7532
7533
7534
7535
7536
7537
7538
7539
7540
7541
7542
7543
7544
7545
7546
7547
7548
7549
7550
7551
7552
7553
7554
7555
7556
7557
7558
7559
7560
7561
7562
7563
7564
7565
7566
7567
7568
7569
7570
7571
7572
7573
7574
7575
7576
7577
7578
7579
7580
7581
7582
7583
7584
7585
7586
7587
7588
7589
7590
7591
7592
7593
7594
7595
7596
7597
7598
7599
7600
7601
7602
7603
7604
7605
7606
7607
7608
7609
7610
7611
7612
7613
7614
7615
7616
7617
7618
7619
7620
7621
7622
7623
7624
7625
7626
7627
7628
7629
7630
7631
7632
7633
7634
7635
7636
7637
7638
7639
7640
7641
7642
7643
7644
7645
7646
7647
7648
7649
7650
7651
7652
7653
7654
7655
7656
7657
7658
7659
7660
7661
7662
7663
7664
7665
7666
7667
7668
7669
7670
7671
7672
7673
7674
7675
7676
7677
7678
7679
7680
7681
7682
7683
7684
7685
7686
7687
7688
7689
7690
7691
7692
7693
7694
7695
7696
7697
7698
7699
7700
7701
7702
7703
7704
7705
7706
7707
7708
7709
7710
7711
7712
7713
7714
7715
7716
7717
7718
7719
7720
7721
7722
7723
7724
7725
7726
7727
7728
7729
7730
7731
7732
7733
7734
7735
7736
7737
7738
7739
7740
7741
7742
7743
7744
7745
7746
7747
7748
7749
7750
7751
7752
7753
7754
7755
7756
7757
7758
7759
7760
7761
7762
7763
7764
7765
7766
7767
7768
7769
7770
7771
7772
7773
7774
7775
7776
7777
7778
7779
7780
7781
7782
7783
7784
7785
7786
7787
7788
7789
7790
7791
7792
7793
7794
7795
7796
7797
7798
7799
7800
7801
7802
7803
7804
7805
7806
7807
7808
7809
7810
7811
7812
7813
7814
7815
7816
7817
7818
7819
7820
7821
7822
7823
7824
7825
7826
7827
7828
7829
7830
7831
7832
7833
7834
7835
7836
7837
7838
7839
7840
7841
7842
7843
7844
7845
7846
7847
7848
7849
7850
7851
7852
7853
7854
7855
7856
7857
7858
7859
7860
7861
7862
7863
7864
7865
7866
7867
7868
7869
7870
7871
7872
7873
7874
7875
7876
7877
7878
7879
7880
7881
7882
7883
7884
7885
7886
7887
7888
7889
7890
7891
7892
7893
7894
7895
7896
7897
7898
7899
7900
7901
7902
7903
7904
7905
7906
7907
7908
7909
7910
7911
7912
7913
7914
7915
7916
7917
7918
7919
7920
7921
7922
7923
7924
7925
7926
7927
7928
7929
7930
7931
7932
7933
7934
7935
7936
7937
7938
7939
7940
7941
7942
7943
7944
7945
7946
7947
7948
7949
7950
7951
7952
7953
7954
7955
7956
7957
7958
7959
7960
7961
7962
7963
7964
7965
7966
7967
7968
7969
7970
7971
7972
7973
7974
7975
7976
7977
7978
7979
7980
7981
7982
7983
7984
7985
7986
7987
7988
7989
7990
7991
7992
7993
7994
7995
7996
7997
7998
7999
8000
8001
8002
8003
8004
8005
8006
8007
8008
8009
8010
8011
8012
8013
8014
8015
8016
8017
8018
8019
8020
8021
8022
8023
8024
8025
8026
8027
8028
8029
8030
8031
8032
8033
8034
8035
8036
8037
8038
8039
8040
8041
8042
8043
8044
8045
8046
8047
8048
8049
8050
8051
8052
8053
8054
8055
8056
8057
8058
8059
8060
8061
8062
8063
8064
8065
8066
8067
8068
8069
8070
8071
8072
8073
8074
8075
8076
8077
8078
8079
8080
8081
8082
8083
8084
8085
8086
8087
8088
8089
8090
8091
8092
8093
8094
8095
8096
8097
8098
8099
8100
8101
8102
8103
8104
8105
8106
8107
8108
8109
8110
8111
8112
8113
8114
8115
8116
8117
8118
8119
8120
8121
8122
8123
8124
8125
8126
8127
8128
8129
8130
8131
8132
8133
8134
8135
8136
8137
8138
8139
8140
8141
8142
8143
8144
8145
8146
8147
8148
8149
8150
8151
8152
8153
8154
8155
8156
8157
8158
8159
8160
8161
8162
8163
8164
8165
8166
8167
8168
8169
8170
8171
8172
8173
8174
8175
8176
8177
8178
8179
8180
8181
8182
8183
8184
8185
8186
8187
8188
8189
8190
8191
8192
8193
8194
8195
8196
8197
8198
8199
8200
8201
8202
8203
8204
8205
8206
8207
8208
8209
8210
8211
8212
8213
8214
8215
8216
8217
8218
8219
8220
8221
8222
8223
8224
8225
8226
8227
8228
8229
8230
8231
8232
8233
8234
8235
8236
8237
8238
8239
8240
8241
8242
8243
8244
8245
8246
8247
8248
8249
8250
8251
8252
8253
8254
8255
8256
8257
8258
8259
8260
8261
8262
8263
8264
8265
8266
8267
8268
8269
8270
8271
8272
8273
8274
8275
8276
8277
8278
8279
8280
8281
8282
8283
8284
8285
8286
8287
8288
8289
8290
8291
8292
8293
8294
8295
8296
8297
8298
8299
8300
8301
8302
8303
8304
8305
8306
8307
8308
8309
8310
8311
8312
8313
8314
8315
8316
8317
8318
8319
8320
8321
8322
8323
8324
8325
8326
8327
8328
8329
8330
8331
8332
8333
8334
8335
8336
8337
8338
8339
8340
8341
8342
8343
8344
8345
8346
8347
8348
8349
8350
8351
8352
8353
8354
8355
8356
8357
8358
8359
8360
8361
8362
8363
8364
8365
8366
8367
8368
8369
8370
8371
8372
8373
8374
8375
8376
8377
8378
8379
8380
8381
8382
8383
8384
8385
8386
8387
8388
8389
8390
8391
8392
8393
8394
8395
8396
8397
8398
8399
8400
8401
8402
8403
8404
8405
8406
8407
8408
8409
8410
8411
8412
8413
8414
8415
8416
8417
8418
8419
8420
8421
8422
8423
8424
8425
8426
8427
8428
8429
8430
8431
8432
8433
8434
8435
8436
8437
8438
8439
8440
8441
8442
8443
8444
8445
8446
8447
8448
8449
8450
8451
8452
8453
8454
8455
8456
8457
8458
8459
8460
8461
8462
8463
8464
8465
8466
8467
8468
8469
8470
8471
8472
8473
8474
8475
8476
8477
8478
8479
8480
8481
8482
8483
8484
8485
8486
8487
8488
8489
8490
8491
8492
8493
8494
8495
8496
8497
8498
8499
8500
8501
8502
8503
8504
8505
8506
8507
8508
8509
8510
8511
8512
8513
8514
8515
8516
8517
8518
8519
8520
8521
8522
8523
8524
8525
8526
8527
8528
8529
8530
8531
8532
8533
8534
8535
8536
8537
8538
8539
8540
8541
8542
8543
8544
8545
8546
8547
8548
8549
8550
8551
8552
8553
8554
8555
8556
8557
8558
8559
8560
8561
8562
8563
8564
8565
8566
8567
8568
8569
8570
8571
8572
8573
8574
8575
8576
8577
8578
8579
8580
8581
8582
8583
8584
8585
8586
8587
8588
8589
8590
8591
8592
8593
8594
8595
8596
8597
8598
8599
8600
8601
8602
8603
8604
8605
8606
8607
8608
8609
8610
8611
8612
8613
8614
8615
8616
8617
8618
8619
8620
8621
8622
8623
8624
8625
8626
8627
8628
8629
8630
8631
8632
8633
8634
8635
8636
8637
8638
8639
8640
8641
8642
8643
8644
8645
8646
8647
8648
8649
8650
8651
8652
8653
8654
8655
8656
8657
8658
8659
8660
8661
8662
8663
8664
8665
8666
8667
8668
8669
8670
8671
8672
8673
8674
8675
8676
8677
8678
8679
8680
8681
8682
8683
8684
8685
8686
8687
8688
8689
8690
8691
8692
8693
8694
8695
8696
8697
8698
8699
8700
8701
8702
8703
8704
8705
8706
8707
8708
8709
8710
8711
8712
8713
8714
8715
8716
8717
8718
8719
8720
8721
8722
8723
8724
8725
8726
8727
8728
8729
8730
8731
8732
8733
8734
8735
8736
8737
8738
8739
8740
8741
8742
8743
8744
8745
8746
8747
8748
8749
8750
8751
8752
8753
8754
8755
8756
8757
8758
8759
8760
8761
8762
8763
8764
8765
8766
8767
8768
8769
8770
8771
8772
8773
8774
8775
8776
8777
8778
8779
8780
8781
8782
8783
8784
8785
8786
8787
8788
8789
8790
8791
8792
8793
8794
8795
8796
8797
8798
8799
8800
8801
8802
8803
8804
8805
8806
8807
8808
8809
8810
8811
8812
8813
8814
8815
8816
8817
8818
8819
8820
8821
8822
8823
8824
8825
8826
8827
8828
8829
8830
8831
8832
8833
8834
8835
8836
8837
8838
8839
8840
8841
8842
8843
8844
8845
8846
8847
8848
8849
8850
8851
8852
8853
8854
8855
8856
8857
8858
8859
8860
8861
8862
8863
8864
8865
8866
8867
8868
8869
8870
8871
8872
8873
8874
8875
8876
8877
8878
8879
8880
8881
8882
8883
8884
8885
8886
8887
8888
8889
8890
8891
8892
8893
8894
8895
8896
8897
8898
8899
8900
8901
8902
8903
8904
8905
8906
8907
8908
8909
8910
8911
8912
8913
8914
8915
8916
8917
8918
8919
8920
8921
8922
8923
8924
8925
8926
8927
8928
8929
8930
8931
8932
8933
8934
8935
8936
8937
8938
8939
8940
8941
8942
8943
8944
8945
8946
8947
8948
8949
8950
8951
8952
8953
8954
8955
8956
8957
8958
8959
8960
8961
8962
8963
8964
8965
8966
8967
8968
8969
8970
8971
8972
8973
8974
8975
8976
8977
8978
8979
8980
8981
8982
8983
8984
8985
8986
8987
8988
8989
8990
8991
8992
8993
8994
8995
8996
8997
8998
8999
9000

```

```

7312
7313 //NEUEN TRÄGER BERECHNEN ODER/UND ZEICHEN
7314 BEAM_CALC(Beam_Number_Intern);
7315 println("Nun wird dieser berechnet!");
7316 //Berechnung der Einzel_Volumen und des Gesamten Trägers
7317
7318 BRIDGE_VOLUME_CALC0;
7319 //LOADCALC
7320 LOAD_CALC0;
7321
7322 //TORQUE_CALC
7323 TORQUE_CALC0;
7324 }
7325
7326 //MOMENTS OF INERTIA CALC
7327 MOMENTS_OF_INERTIA_CALC0;
7328
7329 //BENDING_CALC
7330 BENDING_CALC0;
7331
7332 //STABILITY CHECK-----
7333 STABILITY_CHECK0;
7334
7335 //MODIFY BRIDGE PARAMETERS
7336 CHANGE_BRIDGE_PARAMETERS0;
7337
7338 //WRITE_VARIABLE_FOLDER
7339 WRITE_VARIABLE_FOLDER0;
7340 Beam_Num_Out=Beam_Number_Intern;
7341 println("FIN");
7342 //-----
7343 //Werte an Ausgang weitergeben (durchgeschliffen oder verändert)
7344 Anz_Splines_Out=Anzahl_Splines;
7345 Anz_Spline_Punkte_Out=SplinePunkte;
7346 Pedestrian_Width_Out=Pedestrian_Width;
7347 Biker_Width_Out=Biker_Width;
7348 WheelChair_Width_Out=WheelChair_Width;
7349 Barrier_Free_Path_Degree_Out=Barrier_Free_Path_Degree_In;
7350 Spline_Deformer_Factor_Out=Spline_Deformer_Factor_In;
7351 Path_Overlapping_Factor_Out=Path_Overlapping_Factor_In;
7352 //LoftNurbs-Update
7353 var LoftnurbsNEW,Loftname;
7354 Loftname=("LoftObjekt");
7355 LoftnurbsNEW=doc->FindObject(Loftname);
7356 LoftnurbsNEW#ID_BASEOBJECT_GENERATOR_FLAG=False;
7357 LoftnurbsNEW#ID_BASEOBJECT_GENERATOR_FLAG=True;
7358 OFF=False;
7359 } // Ende ONOFF==TRUE
7360 else
7361 {
7362 if (ONOFF==TRUE)
7363 {
7364 println("Tragwerk kann nicht beurteilt werden, da kein LoftObjekt und keine Spline vorhanden sind!!!");
7365 }
7366 }
7367
7368
7369
7370 //-----
7371 //CREATE_HANDRAIL_SCRIPT ]
7372 //-----
7373 //by Christian Pichlkastner
7374 //
7375 //In diesem Code wird das Geländer für die Brücke generiert
7376 //
7377 //Eingang: Anzahl_Splines, SplinePunkte, Pedestrian_Width, Biker_Width, WheelChair_Width, ONOFF, Beam_Nr
7378 //Ausgang: OFF
7379
7380 //GLOBALE VARIABLEN
7381 var doc; // Damit Objekte in aktueller Szene benützt/gesucht werden können
7382 var Dist_current_Points;
7383 var BRIDGE_POINTS_ARRAY;
7384 var V_Angle;
7385 var Handrail_Height;
7386 var Thickness; //Brückengeländer_Dicke
7387 var Spitzen_Neigung; //In Grad
7388 //Punkte_Array von der Brückenflächengeometrie erzeugen
7389
7390 //MAKE A 6 Points defined Spline
7391 MAKE_6_POINT_POLYGON(P1,P2,P3,P4,P5,P6,Name,Parent)
7392 {
7393 var Rectangle_Object;
7394 var Rectangle_Points=new(array,6);
7395

```

```

7396 if(!doc->FindObject(Name))
7397 {
7398 Rectangle_Object=new(SplineObject);
7399 var vc=new(VariableChanged);
7400 var bt=new(BackupTags);
7401 bt->Init(Rectangle_Object); // required because we are changing the number of points
7402 vc->Init(0,6); // it used to have 0 points, now has 6
7403 if (Rectangle_Object->Message(MSG_POINTS_CHANGED,vc))
7404 {
7405 bt->Restore0;
7406 }
7407 doc->InsertObject(Rectangle_Object,Parent, null);
7408 Rectangle_Object->SetName(Name);
7409 Rectangle_Object#SPLINEOBJECT_TYPE=0; // set the type of spline here
7410 Rectangle_Object#SPLINEOBJECT_CLOSED=True;
7411 }
7412
7413 Rectangle_Points[0]=P1;
7414 Rectangle_Points[1]=P2;
7415 Rectangle_Points[2]=P3;
7416 Rectangle_Points[3]=P4;
7417 Rectangle_Points[4]=P5;
7418 Rectangle_Points[5]=P6;
7419 //println(Path_Punkte);
7420 Rectangle_Object=doc->FindObject(Name);
7421 Rectangle_Object->SetPoints(Rectangle_Points);
7422 Rectangle_Object->Message(MSG_UPDATE);
7423 }
7424
7425 //HANDRAIL
7426 GENERATE_HANDRAIL0
7427 {
7428 //1BEAMKONTUR19
7429 //AUßENHÜLLEN (Profil-)PUNKTE abtasten
7430 var a,cnt,i;
7431 var Beam_Kontur_Name,Beam_Kontur_Object;
7432 var Kontur_Points=new(array,Anzahl_Splines*2);
7433 var Abweichung,Mittlere_Spline_1,Mittlere_Spline_2,Middle_Spline_Point;
7434 var X_Deg,Y_Deg,Z_Deg;
7435 var P1,P2,P3,P4,P5,P6;
7436 var Distance_to_Surf_Mid;
7437 var Profil_Balance_Point;
7438 var Rail_Height=4;
7439
7440 var Left_Rail_Folder_Object_Name,Left_Rail_Folder_Object;
7441 Left_Rail_Folder_Object_Name=(toString(Beam_Num)+"_Left_Rail_Folder_Object");
7442
7443 if(!doc->FindObject(Left_Rail_Folder_Object_Name))
7444 {
7445 var STRUCTURE_NullObject_Name=(toString(Beam_Num)+"_HANDRAIL");
7446 var STRUCTURE_NullObject=doc->FindObject(STRUCTURE_NullObject_Name);
7447 Left_Rail_Folder_Object=new(LoftObject);
7448 Left_Rail_Folder_Object->SetName(Left_Rail_Folder_Object_Name);
7449 doc->InsertObject(Left_Rail_Folder_Object,STRUCTURE_NullObject,Null);
7450 }
7451
7452 var Right_Rail_Folder_Object_Name,Right_Rail_Folder_Object;
7453 Right_Rail_Folder_Object_Name=(toString(Beam_Num)+"_Right_Rail_Folder_Object");
7454
7455 if(!doc->FindObject(Right_Rail_Folder_Object_Name))
7456 {
7457 var STRUCTURE_NullObject_Name=(toString(Beam_Num)+"_HANDRAIL");
7458 var STRUCTURE_NullObject=doc->FindObject(STRUCTURE_NullObject_Name);
7459 Right_Rail_Folder_Object=new(LoftObject);
7460 Right_Rail_Folder_Object->SetName(Right_Rail_Folder_Object_Name);
7461 doc->InsertObject(Right_Rail_Folder_Object,STRUCTURE_NullObject,Null);
7462 }
7463
7464 Left_Rail_Folder_Object=doc->FindObject(Left_Rail_Folder_Object_Name);
7465 Right_Rail_Folder_Object=doc->FindObject(Right_Rail_Folder_Object_Name);
7466
7467 for (a=0;a<SplinePunkte;a++)
7468 {
7469 Beam_Kontur_Name=(toString(Beam_Num)+"BEAMKONTUR"+toString(a));
7470 Beam_Kontur_Object=doc->FindObject(Beam_Kontur_Name);
7471 for (cnt=0;cnt<<(Anzahl_Splines*2);cnt++)
7472 {
7473 Kontur_Points[cnt]=Beam_Kontur_Object->GetPoint(cnt);
7474 }
7475
7476 //Durchschnittshöhe berechnen
7477 var P1,P2,Temp_Height;
7478 var Middle_Profil_Height=0.0;
7479 Profil_Balance_Point=vector(0,0,0);

```

```

7480 for (cnt=0;cnt<Anzahl_Splines;cnt++)
7481 {
7482   P1=Kontur_Points[cnt];
7483   P2=Kontur_Points[cnt+Anzahl_Splines];
7484   XYZ_Dist_2_Points_Calc(P1,P2);
7485   Temp_Height=Dist_current_Points;
7486   Middle_Profil_Height=Middle_Profil_Height+Temp_Height;
7487   Profil_Balance_Point=Kontur_Points[cnt]+Kontur_Points[cnt+Anzahl_Splines];
7488 }
7489 Middle_Profil_Height=Middle_Profil_Height/Anzahl_Splines;
7490 Profil_Balance_Point=Profil_Balance_Point/(Anzahl_Splines*2);
7491 Abweichung=Anzahl_Splines/2;
7492 if(Abweichung!=int(Abweichung))
7493 //ungerade Splineanzahl
7494   Mittlere_Spline_1=int((Anzahl_Splines/2)+1); //wenn immer abgerundet wird...dann stimmt dies //Ansonsten
7495   Mittlere_Spline_2=int((Anzahl_Splines/2)+1); //= Spline 1
7496 }
7497 else
7498 //gerade Splineanzahl=2 Mittelsplines
7499   Mittlere_Spline_1=int((Anzahl_Splines/2)-1);
7500   Mittlere_Spline_2=int((Anzahl_Splines/2));
7501 }
7502 Mittlere_Spline_1=Mittlere_Spline_1+Anzahl_Splines;
7503 Mittlere_Spline_2=Mittlere_Spline_2+Anzahl_Splines;
7504 P1=Kontur_Points[Mittlere_Spline_1];
7505 P2=Kontur_Points[Mittlere_Spline_2];
7506 Middle_Spline_Point=(P1+P2)/2;
7507 //Middle_Spline_Point.y=Middle_Spline_Point.y-Middle_Profil_Height;
7508 //LINKES GELÄNDER
7509 var Handrail_Object_Name,Parent;
7510 var Length;
7511 Parent=doc->FindObject(tostring(Beam_Num)+"_HANDRAIL");
7512 var Handrail_Folder_Object,Handrail_Folder_Name;
7513 Handrail_Folder_Name=(tostring(Beam_Num)+"_RIGHT_HANDRAIL_LOFT"+tostring(a));
7514 if(!doc->FindObject(Handrail_Folder_Name))
7515 {
7516   var STRUCTURE_NullObject_Name=(tostring(Beam_Num)+"_RIGHT_HANDRAIL_LOFT");
7517   Handrail_Folder_Object=new(LoftObject);
7518   Handrail_Folder_Object->SetName(Handrail_Folder_Name);
7519   doc->InsertObject(Handrail_Folder_Object,Parent,Null);
7520 }
7521 Handrail_Folder_Object=doc->FindObject(Handrail_Folder_Name);
7522 P1=Kontur_Points[(2*Anzahl_Splines)-1]; //Unterkante Rand=2.Polygonpunkt
7523 XYZ_Dist_2_Points_Calc(P1,Middle_Spline_Point);
7524 Length=Dist_current_Points;
7525 X_Deg=(P1.x-Middle_Spline_Point.x)/Length;
7526 Y_Deg=(P1.y-Middle_Spline_Point.y)/Length;
7527 Z_Deg=(P1.z-Middle_Spline_Point.z)/Length;
7528 P1=Kontur_Points[0];
7529 P2=Kontur_Points[(2*Anzahl_Splines)-1];
7530 var v1,v2;
7531 v1=Kontur_Points[Mittlere_Spline_2-Anzahl_Splines];
7532 v2=P2;
7533 //Middle_Spline_Point
7534 Angle_between_Vectors_Calc(Profil_Balance_Point,v1,v2);
7535 Length=Handrail_Height*cos(V_Angle*(pi/180));
7536 v1=P1;
7537 v2=Kontur_Points[Mittlere_Spline_1];
7538 XYZ_Dist_2_Points_Calc(v1,v2);
7539 Distance_to_Surf_Mid=abs(Dist_current_Points);
7540 P6=P1;
7541 P6.x=P1.x+(X_Deg*(Length))/(Distance_to_Surf_Mid/62);
7542 P6.y=P1.y+(Y_Deg*(Length))/(Distance_to_Surf_Mid/62);
7543 P6.z=P1.z+(Z_Deg*(Length))/(Distance_to_Surf_Mid/62);
7544 XYZ_Dist_2_Points_Calc(P1,P2);
7545 Length=abs(Dist_current_Points);
7546 P5=P1;
7547 P5.x=P5.x-10;
7548 P5.z=P5.z-10;
7549 P5.y=P1.y+Handrail_Height;
7550 P4=P5;
7551 /*
7552 P4.x=P5.x+(X_Deg*Length/3);
7553 P4.y=P5.y+(Y_Deg*Length/3);
7554 P4.z=P5.z+(Z_Deg*Length/3);
7555 Spitzen Breite 3cm */
7556
7557 P4.x=P5.x+(X_Deg*3);
7558 P4.y=P5.y+(Y_Deg*3);
7559 P4.z=P5.z+(Z_Deg*3);
7560 //Mitte - Breite=Length*3.33
7561 P3=P6;
7562 P3.x=P6.x+(X_Deg*(Length*3.33));
7563 P3.y=P6.y+(Y_Deg*(Length/1));

```

```

7564 P3.z=P6.z+(Z_Deg*(Length*3.33));
7565
7566 Handrail_Object_Name=(tostring(Beam_Num)+"_LEFT_A_HANDRAIL"+tostring(a));
7567 MAKE_6_POINT_POLYGON(P1,P2,P3,P4,P5,P6,Handrail_Object_Name,Handrail_Folder_Object);
7568 var Rail_Object_Name=(tostring(Beam_Num)+"_LEFT_HANDRAIL"+tostring(a));
7569 MAKE_RECTANGLE(P4,P5,Rail_Height,Rail_Object_Name,Left_Rail_Folder_Object);
7570 P1.x=P1.x+Z_Deg*Thickness;
7571 P1.z=P1.z+X_Deg*Thickness;
7572 P2.x=P2.x+Z_Deg*Thickness;
7573 P2.z=P2.z+X_Deg*Thickness;
7574 P3.x=P3.x+Z_Deg*Thickness;
7575 P3.z=P3.z+X_Deg*Thickness;
7576 P4.x=P4.x+Z_Deg*Thickness;
7577 P4.z=P4.z+X_Deg*Thickness;
7578 P5.x=P5.x+Z_Deg*Thickness;
7579 P5.z=P5.z+X_Deg*Thickness;
7580 P6.x=P6.x+Z_Deg*Thickness;
7581 P6.z=P6.z+X_Deg*Thickness;
7582 Handrail_Object_Name=(tostring(Beam_Num)+"_LEFT_B_HANDRAIL"+tostring(a));
7583 MAKE_6_POINT_POLYGON(P1,P2,P3,P4,P5,P6,Handrail_Object_Name,Handrail_Folder_Object);
7584
7585 //RECHTES GELÄNDER
7586 Parent=doc->FindObject(tostring(Beam_Num)+"_HANDRAIL");
7587 var Handrail_Folder_Object,Handrail_Folder_Name;
7588 Handrail_Folder_Name=(tostring(Beam_Num)+"_LEFT_HANDRAIL_LOFT"+tostring(a));
7589 if(!doc->FindObject(Handrail_Folder_Name))
7590 {
7591   var STRUCTURE_NullObject_Name=(tostring(Beam_Num)+"_RIGHT_HANDRAIL_LOFT");
7592   Handrail_Folder_Object=new(LoftObject);
7593   Handrail_Folder_Object->SetName(Handrail_Folder_Name);
7594   doc->InsertObject(Handrail_Folder_Object,Parent,Null);
7595 }
7596
7597 Handrail_Folder_Object=doc->FindObject(Handrail_Folder_Name);
7598 //P1=Kontur_Points[2*Anzahl_Splines]; //Unterkante Rand=2.Polygonpunkt
7599 var Handrail_Object_Name;
7600 var Length;
7601 P1=Kontur_Points[(2*Anzahl_Splines)-1]; //Unterkante Rand=2.Polygonpunkt
7602 XYZ_Dist_2_Points_Calc(P1,Middle_Spline_Point);
7603 Length=Dist_current_Points;
7604 X_Deg=(P1.x-Middle_Spline_Point.x)/Length;
7605 Y_Deg=(P1.y-Middle_Spline_Point.y)/Length;
7606 Z_Deg=(P1.z-Middle_Spline_Point.z)/Length;
7607 P1=Kontur_Points[Anzahl_Splines-1];
7608 P2=Kontur_Points[Anzahl_Splines];
7609 P3=P2;
7610
7611 v1=Kontur_Points[Mittlere_Spline_1-Anzahl_Splines];
7612 v2=P2;
7613
7614 //Middle_Spline_Point
7615 Angle_between_Vectors_Calc(Profil_Balance_Point,v1,v2);
7616 Length=Handrail_Height*cos(V_Angle*(pi/180));
7617 v1=P1;
7618 v2=Kontur_Points[Mittlere_Spline_2];
7619 XYZ_Dist_2_Points_Calc(v1,v2);
7620 Distance_to_Surf_Mid=abs(Dist_current_Points);
7621 P6=P1;
7622 P6.x=P1.x-(X_Deg*(Length))/(Distance_to_Surf_Mid/62);
7623 P6.y=P1.y+(Y_Deg*(Length))/(Distance_to_Surf_Mid/62);
7624 P6.z=P1.z-(Z_Deg*(Length))/(Distance_to_Surf_Mid/62);
7625 XYZ_Dist_2_Points_Calc(P1,P2);
7626 Length=abs(Dist_current_Points);
7627 P5=P1;
7628 P5.x=P5.x+10;
7629 P5.z=P5.z+10;
7630 P5.y=P1.y+Handrail_Height;
7631 P4=P5;
7632
7633 //Spitzen Breite 3cm
7634 P4.x=P5.x-(X_Deg*3);
7635 P4.y=P5.y+(Y_Deg*3);
7636 P4.z=P5.z-(Z_Deg*3);
7637
7638 //Mitte - Breite=Length*3.33//Von Brückenbreite Abhängig
7639 P3=P6;
7640 P3.x=P6.x-(X_Deg*(Length*3.33));
7641 P3.y=P6.y+(Y_Deg*(Length/3));
7642 P3.z=P6.z-(Z_Deg*(Length*3.33));
7643 Handrail_Object_Name=(tostring(Beam_Num)+"_RIGHT_A_HANDRAIL"+tostring(a));
7644 MAKE_6_POINT_POLYGON(P1,P2,P3,P4,P5,P6,Handrail_Object_Name,Handrail_Folder_Object);
7645 var Rail_Object_Name=(tostring(Beam_Num)+"_Right_HANDRAIL"+tostring(a));
7646 MAKE_RECTANGLE(P4,P5,Rail_Height,Rail_Object_Name,Right_Rail_Folder_Object);
7647 P1.x=P1.x+Z_Deg*Thickness;

```



```

7648 P1.z=P1.z+X_Deg*Thickness;
7649 P2.x=P2.x+Z_Deg*Thickness;
7650 P2.z=P2.z+X_Deg*Thickness;
7651 P3.x=P3.x+Z_Deg*Thickness;
7652 P3.z=P3.z+X_Deg*Thickness;
7653 P4.x=P4.x+Z_Deg*Thickness;
7654 P4.z=P4.z+X_Deg*Thickness;
7655 P5.x=P5.x+Z_Deg*Thickness;
7656 P5.z=P5.z+X_Deg*Thickness;
7657 P6.x=P6.x+Z_Deg*Thickness;
7658 P6.z=P6.z+X_Deg*Thickness;
7659 Handrail_Object_Name=(toString(Beam_Num)+"_RIGHT_B_HANDRAIL"+toString(a));
7660 MAKE_6_POINT_POLYGON(P1,P2,P3,P4,P5,P6,Handrail_Object_Name,Handrail_Folder_Object);
7661 }
7662 }
7663
7664 //-----
7665 //-----
7666 main()
7667 {
7668   var SplineName=("OriginalSpline1");
7669   doc=GetActiveDocument();
7670   if (ONOFF==TRUE && doc->FindObject("LoftObjekt")&& doc->FindObject(SplineName))
7671   {
7672     println("GELÄNDER GENERIEREN!!!");
7673     var cnt,a; // Zählvariablen
7674     Spitzen_Neigung=50; //90 Grad bedeutet senkrecht es Gelände
7675     BRIDGE_POINTS_ARRAY = new (array,Anzahl_Splines,SplinePunkte);
7676     Handrail_Height=100;
7677     Thickness=3; //Metallkonstruktions_Dicke
7678     //NullObjekte als Ordner ERSTELLEN
7679     var STRUCTURE_NullObject;
7680     if(!doc->FindObject(toString(Beam_Num)+"_HANDRAIL"))
7681     {
7682       var STRUCTURE_NullObject_Name=(toString(Beam_Num)+"_HANDRAIL");
7683       STRUCTURE_NullObject=new(NullObject);
7684       STRUCTURE_NullObject->SetName(STRUCTURE_NullObject_Name);
7685       doc->InsertObject(STRUCTURE_NullObject,Null,Null);
7686       //Geometry_BalancePoints Ordner erstellen
7687     }
7688
7689     //Punkte_Array von der Brückenflächengeometrie erzeugen
7690     GENERATE_BRIDGE_GEOMETRY_ARRAY(); //ERGEBNIS: BRIDGE_POINTS_ARRAY[[]]->[SplineAnzahl]S;
7691
7692     //HANDRAIL
7693     GENERATE_HANDRAIL();
7694     //println("FIN");
7695     //LoftNurbs-Update
7696     var LoftnurbsNEW,Loftname;
7697     Loftname=("LoftObjekt");
7698     LoftnurbsNEW=doc->FindObject(Loftname);
7699     LoftnurbsNEW#ID_BASEOBJECT_GENERATOR_FLAG=False;
7700     LoftnurbsNEW#ID_BASEOBJECT_GENERATOR_FLAG=True;
7701     OFF=False;
7702   } // Ende ONOFF==TRUE
7703   else
7704   {
7705     if (ONOFF==TRUE)
7706     {
7707       println("Es kann kein Gelände erzeugt werden, da keine Geometrie vorhanden ist!!!");
7708     }
7709   }
7710 }

```